

## درسنامه مکانیک کوانتومی

وحید کریمی پور  
دانشگاه صنعتی شریف  
دانشکده فیزیک

این یادداشت ها بیشتر فهرست مطالب درس هایی است (بدون هیچ گونه تفصیلی ) که برای درس مکانیک کوانتومی در نیمسال تحصیلی دوم درسال تحصیلی ( ۸۵ - ۱۳۸۴ ) تهیه کرده ام. این یادداشت هادرشکل فعلی بسیار ناقص اند و به هیچ وجه دانشجویان این کلاس را از مراجعه به کتاب درسی ویاکتاب های دیگری نیاز نمی کنند. هدف من ازانتشارآن ها روی سایت شخصی ام آن است که به دانشجویان کمک کنم بتوانند خط سیر کلی درس را دنبال کنند. درسال آینده که بازهم این درس را ارایه خواهم کرد این یادداشت هاراتکمیل خواهم کرد. لازم می دانم دراینجا از یاری یکی از دانشجویان خوب کلاس ، آقای شاهین کاوه قدردانی کنم. ایشان با دقت ستودنی تمام اشکالاتی را که در نسخه اولیه این درسنامه ها وجود داشت بانظم وترتیب یادداشت کرده و به من یادآوری کردند. سعی کرده ام که تمام این اشکالات را برطرف کنم.

## درس اول : مروری بر مکانیک کلاسیک

### ۱ مقدمه

هدف مادر این درس آن است که به طور خلاصه مبانی مکانیک کلاسیک را مرور کنیم. فهم دقیق این مبانی بخصوص صورتبندی هامیلتونی مکانیک کلاسیک برای فهم مکانیک کوانتومی اهمیت فوق العاده دارد، زیرا بسیاری از مفاهیمی که در آینده با آنها آشنا خواهیم شد، تعمیم مفاهیم مربوطه در مکانیک کلاسیک هستند. در این فصل نخست صورت بندی لاگرانژ و سپس صورت بندی هامیلتون را از مکانیک کلاسیک مطالعه خواهیم کرد.

### ۲ صورت بندی لاگرانژ از مکانیک

دستگاهی در نظر بگیرید که برای توصیف حالت آن احتیاج به مختصات  $(q_1, q_2, \dots, q_N)$  دارید. این مختصات لزوماً مختصات دکارتی نیستند و می توانند طول، زاویه یا هر چیز دیگری باشند که برای توصیف موقعیت دستگاه لازم است. سرعت های تعمیم یافته را با  $(\dot{q}_1, \dot{q}_2, \dots, \dot{q}_N)$  نشان می دهیم. مجموعه  $(q, \dot{q})$  را که در آن منظور از  $q$  تمامی مختصه هاست یک پیکربندی یا *Configuration* از دستگاه می خوانیم و  $2N$  را تعداد درجات آزادی دستگاه می گوئیم. از این به بعد نماد خلاصه  $(q, \dot{q})$  را بجای  $(q_1, q_2, \dots, q_N, \dot{q}_1, \dot{q}_2, \dots, \dot{q}_N)$  بکار خواهیم برد. مجموعه تمام هیئت های قابل تصور برای یک دستگاه را فضای پیکر بندی یا *Configuration Space* می خوانیم. خاصیت مهم طبیعت آن است که مختصات  $q_i$  و سرعت های  $\dot{q}_i$  از یک دستگاه در یک لحظه شتاب های آن دستگاه یعنی  $\ddot{q}_i$  ها را در همان لحظه تعیین خواهد کرد. این امر به این معناست که در یک لحظه بی نهایت کوچک بعد به فاصله  $\epsilon$ ، می توان مختصات و سرعت ها را بدست آورد، زیرا:

$$\begin{aligned} q_i(t + \epsilon) &= q_i(t) + \epsilon \dot{q}_i(t) \\ \dot{q}_i(t + \epsilon) &= \dot{q}_i(t) + \epsilon \ddot{q}_i(t). \end{aligned} \quad (1)$$

بنابراین هرگاه هیئت یک دستگاه فیزیکی در یک لحظه از زمان معلوم شود، می توان هیئت این دستگاه را در همه لحظات آینده به طور یکتا تعیین کرد. بنابراین دانستن هیئت  $(q(0), \dot{q}(0))$ ، هیئت های  $(q(t), \dot{q}(t))$  را در همه لحظات آینده یا به عبارت دیگر مسیر حرکت را به طور یکتا تعیین خواهد کرد.

توجه به این مسئله مهم است که آنچه که در بالا گفتیم یک خاصیت مهم از طبیعت و دنیای ماست و نمی توان آن را بر اساس بنیادی تری توضیح داد. مثلاً می شد دنیا چنان باشد که در آن تنها مختصات یک دستگاه در هر لحظه می توانست سرعت ها را در همان لحظه تعیین کند. ولی جهانی که ما در آن زندگی می کنیم چنین نیست و در آن مختصات و سرعت ها در هر لحظه مستقل از یکدیگرند و نمی توان با دانستن مختصات در یک لحظه سرعت ها را در همان لحظه تعیین کرد. حال سوال اساسی

این است که مسیر یک دستگاه در فضای پیکربندی چگونه تعیین می شود؟ پاسخ این سوال توسط یک اصل مهم مکانیک داده می شود که آن را اصل کمترین عمل می گویند.

## ۱.۲ اصل کمترین عمل

فرض کنید که در لحظه  $t_1$  دستگاه در پیکربندی  $(q_a, \dot{q}_a)$  باشد و دینامیک دستگاه در لحظه  $t_2$  آن را در پیکربندی  $(q_b, \dot{q}_b)$  قرارداده باشد. در این صورت می پرسیم که این دستگاه برای تحول از پیکربندی اولیه به نهایی چه مسیری را در فضای پیکربندی ها طی کرده است. به عبارت ساده تر می پرسیم که مسیرحرکت آن از  $(q_a, \dot{q}_a)$  به  $(q_b, \dot{q}_b)$  چه بوده است. مطابق با اصل کمترین عمل یا *Principle of least action* تابعی موسوم به لاگرانژی وجود دارد که آن را با  $L(q, \dot{q})$  نشان می دهیم و مسیر حرکت دستگاه چنان است که انتگرال این تابع در طول مسیر که آن را کنش می گوئیم و با  $S$  نشان می دهیم، در فضای همه مسیرهای ممکن یک اکسترمم موضعی است. معنای این حرف آن است تغییرات درجه اول این کمیت نسبت به تغییرات کوچک در اطراف آن برابر با صفر است.

*Principle of least action* مسیر حرکت می بایست چنان باشد که کمیت زیر موسوم به کنش

$$S = \int_{t_1}^{t_2} L(q(t), \dot{q}(t)) dt \quad (2)$$

در ادامه درباره این که تابع لاگرانژی، چه تابعی از مختصات و سرعت هاست صحبت خواهیم کرد. فعلاً می خواهیم ببینیم نتایج اصل کمترین عمل چیست. مسیر دلخواهی مثل  $q(t)$  را در نظر می گیریم که در لحظه  $t_1$  برابر با  $q_a$  و در لحظه  $t_2$  برابر با  $q_b$  باشد. به عبارت دیگر مسیری در نظر گرفته ایم که نقطه  $q_a$  را به نقطه  $q_b$  وصل کند. برای این مسیر، کنش به شکل زیر است:

$$S[q] := \int_{t_1}^{t_2} L(q_i, \dot{q}_i, t) dt \quad (3)$$

اگر این مسیر، واقعاً مسیر حرکت باشد می بایست تغییرات درجه اول کنش حول آن برابر با صفر باشد یعنی

$$\frac{\delta S}{\delta q} = 0. \quad (4)$$

به زبان ساده تراگر مسیری مثل  $q'(t) = q(t) + \eta(t)$  در نظر بگیریم که در آن  $\eta(t)$  بی نهایت کوچک باشد می بایست تغییرات درجه اول کنش برابر با صفر باشد: یعنی تا مرتبه اول از  $\eta$  باید داشته باشیم:

$$S[q + \eta] - S[q] = 0. \quad (5)$$

از این رابطه بدست می آوریم ( در روابط زیر از قرارداد جمع استفاده شده است یعنی روی اندیس های تکراری جمع زده می شود)

$$S[q + \eta] = \int_{t_1}^{t_2} L(q_i + \eta_i, \dot{q}_i + \dot{\eta}_i, t) dt$$

$$\begin{aligned}
 &= \int_{t_1}^{t_2} \left[ L(q_i, \dot{q}_i, t) + \frac{\partial L}{\partial q_i} \eta_i + \frac{\partial L}{\partial \dot{q}_i} \dot{\eta}_i \right] dt \\
 &= S + \int_{t_1}^{t_2} \left[ \frac{\partial L}{\partial q_i} \eta_i + \frac{d}{dt} \left( \frac{\partial L}{\partial \dot{q}_i} \eta_i \right) - \eta_i \frac{d}{dt} \left( \frac{\partial L}{\partial q_i} \right) \right] dt \\
 &= S + \int_{t_1}^{t_2} \eta_i \left[ \frac{\partial L}{\partial q_i} - \frac{d}{dt} \left( \frac{\partial L}{\partial q_i} \right) \right] dt \quad (6)
 \end{aligned}$$

از آنجا که تغییرات  $S$  می بایست برای هر نوع تغییر بی نهایت کوچک مسیر برابر با صفر باشد نتیجه می گیریم که شرط زیر می بایست برقرار باشد.

$$\frac{\partial L}{\partial q_i} - \frac{d}{dt} \frac{\partial L}{\partial \dot{q}_i} = 0. \quad (7)$$

این معادلات معادلات اوایلر-لاگرانژ نامیده می شوند. سوالی که در برابر ما قرار دارد آن است که لاگرانژین چه نوع تابعی است. برای یک دستگاه بسته، لاگرانژی عبارت است از تابع زیر:

$$L = T(q, \dot{q}) - V(q_1, q_2, \dots, q_N), \quad (8)$$

که در آن  $T$  انرژی جنبشی ذرات موجود در دستگاه و  $V$  تابعی موسوم به تابع پتانسیل است که بستگی به نوع برهم کنش ذرات موجود در آن دستگاه را تعیین می کند.

مثال ۱: ذره ای که در پتانسیل  $V$  قرار دارد. مختصات تعمیم یافته را همان مختصات دکارتی ذره می گیریم. بنابراین داریم

$$L = \frac{1}{2} m (\dot{x}^2 + \dot{y}^2 + \dot{z}^2) - V(x, y, z). \quad (9)$$

برای این لاگرانژی، معادلات اوایلر و لاگرانژ منجر می شوند به:

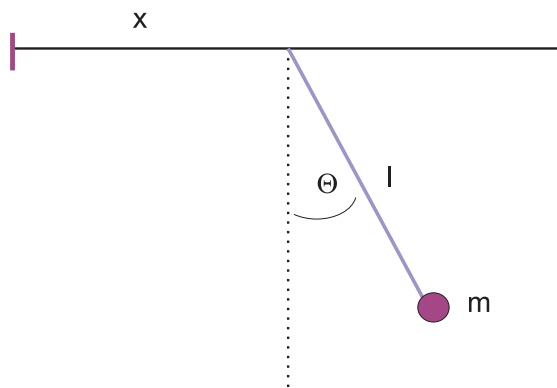
$$m\ddot{x} = -\frac{\partial V}{\partial x}, \quad m\ddot{y} = -\frac{\partial V}{\partial y}, \quad m\ddot{z} = -\frac{\partial V}{\partial z}, \quad (10)$$

که همان معادلات نیوتن هستند.

مثال ۲: پاندول با نقطه اتکای لغزان: شکل ۱، یک پاندول را نشان می دهد که نقطه اتکای آن روی یک میله بدون اصطکاک می لغزد. برای این پاندول مختصات تعمیم یافته را  $(x, \theta)$  می گیریم که در آن  $X$  فاصله نقطه اتکای پاندول با یک نقطه مرجع و  $\theta$  زاویه پاندول با راستای قائم است. برای آنکه لاگرانژی را بنویسیم از این مطلب استفاده می کنیم که:

$$x = X + l \sin \theta, \quad y = -l \cos \theta, \quad (11)$$

و در نتیجه



شکل ۱: پاندولی که نقطه اتکای آن لغزان است.



شکل ۲: نوسانگرهای هارمونیک جفت شده.

$$\dot{x} = \dot{X} + l \cos \theta \dot{\theta}, \quad \dot{y} = l \sin \theta \dot{\theta}, \quad V = -gl \cos \theta. \quad (12)$$

بنابراین لاگرانژی عبارت خواهد بود با:

$$L = \frac{1}{2}m(\dot{X}^2 + l^2\dot{\theta}^2 + 2l \cos \theta \dot{X}\dot{\theta}) + gl \cos \theta. \quad (13)$$

مثال ۳: ذره در یک پتانسیل با تقارن کروی: در این حالت مختصات ذره را با  $(r, \theta, \phi)$  نشان می دهیم. داریم  $V = V(r)$  و  $T = \frac{1}{2}m(\dot{r}^2 + r^2\dot{\theta}^2 + r^2 \sin^2 \theta \dot{\phi}^2)$  بنابراین لاگرانژی عبارت است از:

$$L = \frac{1}{2}m(\dot{r}^2 + r^2\dot{\theta}^2 + r^2 \sin^2 \theta \dot{\phi}^2) - V(r). \quad (14)$$

مثال ۴: دو نوسانگر هارمونیک جفت شده: برای سادگی فرض می کنیم که دو نوسانگر جرم مساوی دارند. این دو نوسانگر با یک فنر با ثابت فنر  $k$  به یکدیگر متصل شده اند و هرکدام از آنها نیز با فنر مشابهی به دیواره وصل شده اند، شکل (۲). اگر طول فنرها را در حالت عادی صفر فرض کنیم (فنرهای بسیار کشسان) و اگر انحراف هر جرم  $m_i$  را از نقطه تعادل آن با  $x_i$  نشان دهیم آنگاه داریم

$$L = \frac{1}{2}m\dot{x}_1^2 + \frac{1}{2}m\dot{x}_2^2 - \frac{1}{2}kx_1^2 - \frac{1}{2}kx_2^2 - \frac{1}{2}k(x_1 - x_2)^2. \quad (15)$$

مثال ۵: ذره باردار در میدان الکترومغناطیسی: این مثال بدلیل کلیت آن اهمیت دارد زیرا نشان می دهد که چگونه می توان برهم کنش ذره باردار را با میدان الکترومغناطیسی توصیف کرد. می دانیم که یک میدان الکترومغناطیسی را می توان با پتانسیل اسکالر  $\phi$  و پتانسیل برداری  $\mathbf{A}$  توصیف کرد. میدان الکتریکی و میدان مغناطیسی به ترتیب زیر از این پتانسیل ها بدست می آیند:

$$\begin{aligned} \mathbf{E} &= -\nabla\phi - \frac{1}{c} \frac{\partial \mathbf{A}}{\partial t}, \\ \mathbf{B} &= \nabla \times \mathbf{A}. \end{aligned} \quad (16)$$

برای ذره باردار که با بار الکتریکی  $q$  درچنین میدانی قرار گرفته است، لاگرانژی عبارت است از:

$$L = \frac{1}{2} m \mathbf{v}^2 - q\phi + \frac{q}{c} \mathbf{v} \cdot \mathbf{A}. \quad (17)$$

خواننده خود می تواند با استفاده از معادلات اوپلر-لاگرانژ نشان دهد که معادله حرکتی که از این لاگرانژی بدست می آید همان معادله لورنتز است یعنی

$$\frac{d}{dt} m \mathbf{v} = q \mathbf{E} + \frac{q}{c} \mathbf{v} \times \mathbf{B}. \quad (18)$$

### ۳ صورت بندی هامیلتون از مکانیک

برای یک دستگاه با  $N$  درجه آزادی، در صورت بندی لاگرانژ  $N$  معادله دیفرانسیل درجه دوم داریم که این معادلات با در دست داشتن مختصات و سرعت های اولیه یک حل یکتا به عنوان مسیر در فضای پیکربندی ها بدست می دهند. هامیلتون صورت بندی متفاوت زیر را از مکانیک کلاسیک بدست داده است که از بسیاری جهات بخصوص برای تعمیم نظری مکانیک کلاسیک به چهارچوب کوانتومی مناسب است. برای توصیف این صورت بندی لازم است که نخست تکانه یا تکانه تعمیم یافته را تعریف کنیم: تکانه مزدوج با مختصه  $q_i$  به شکل زیر تعریف می شود:

$$p_i := \frac{\partial L}{\partial \dot{q}_i} \quad (19)$$

این تکانه با تکانه خطی لزوماً یکی نیست. متغیرهای  $(q_i, p_i)$  را یک جفت مختصه مزدوج بایکدیگر می گوئیم. هامیلتونی دستگاه به صورت زیر تعریف می شود:

$$H := \sum_{i=1}^N \dot{q}_i p_i - L. \quad (20)$$

باید تاکید کنیم که در فرمول بندی هامیلتون متغیرهای مستقل  $q_i$  ها و  $p_i$  ها هستند. برای فهم این نکته می نویسیم

$$dH = \sum_{i=1}^N dq_i p_i + \dot{q}_i dp_i - dL = \sum_{i=1}^N dq_i p_i + \dot{q}_i dp_i - \frac{\partial L}{\partial q_i} dq_i - \frac{\partial L}{\partial \dot{q}_i} d\dot{q}_i. \quad (21)$$

اما جمله اول و آخر با توجه به تعریف تکانه مزدوج یعنی  $p_i := \frac{\partial L}{\partial \dot{q}_i}$  یکدیگر را حذف می کنند و باقی می ماند:

$$dH = \sum_{i=1}^N \dot{q}_i dp_i - \frac{\partial L}{\partial q_i} dq_i = \dot{q}_i dp_i - \dot{p}_i dq_i, \quad (22)$$

که در جمله آخر از معادله اویلر-لاگرانژ استفاده کرده ایم. این رابطه نشان می دهد که اولاً متغیرهای مستقل  $H$  برابرند با  $q_i$  و  $p_i$ ، ثانیاً

$$\begin{aligned} \dot{q}_i &= \frac{\partial H}{\partial p_i} \\ \dot{p}_i &= - \frac{\partial H}{\partial q_i}. \end{aligned} \quad (23)$$

این معادلات که  $2N$  معادله دیفرانسیل درجه یک هستند معادلات هامیلتون نامیده می شوند و معادلات حرکت در صورت بندی هامیلتونی نامیده می شوند.

بامشخص کردن شرایط اولیه یعنی  $(q(t_0), p(t_0))$  معادلات بالا یک حل یکتا بدست می دهند که همان مسیر حرکت کلاسیک است.

حال سوال می کنیم که عبارت هامیلتونی چه ربطی به انرژی جنبشی و پتانسیل دارد. برای پاسخ به این سوال دقت می کنیم که لاگرانژی به صورت زیر است:

$$L(q, \dot{q}) = T(q, \dot{q}) - V(q). \quad (24)$$

بنابراین

$$H = \sum_i \dot{q}_i \frac{\partial L}{\partial \dot{q}_i} - L = \sum_i \dot{q}_i \frac{\partial T}{\partial \dot{q}_i} - (T - V). \quad (25)$$

در بسیاری از موارد انرژی جنبشی یک تابع درجه دو از سرعت هاست. یک قضیه ریاضی که اثبات آن را در ضمیمه ی انتهای این درس می توانید ببینید، بیان می کند که برای چنین تابعی داریم

$$\sum_i \dot{q}_i \frac{\partial T}{\partial \dot{q}_i} = 2T$$

در نتیجه برای این سیستم ها خواهیم داشت:

$$H = T + V. \quad (26)$$

مثال : نوسانگر هارمونیک برای نوسانگر هارمونیک به جرم  $m$  و فرکانس  $\omega$ ، هامیلتونی برابر است با:

$$H = \frac{p^2}{2m} + \frac{1}{2}m\omega^2q^2. \quad (27)$$

$p$  و  $q$  دو مختصه مزدوج هستند. معادلات هامیلتون عبارت خواهند بود از:

$$\frac{dq}{dt} = \frac{p}{m}, \quad \frac{dp}{dt} = -m\omega^2q. \quad (28)$$

با ترکیب این دو معادله بدست می آوریم

$$\frac{d^2q}{dt^2} + \omega^2q^2 = 0, \quad (29)$$

که معادله حرکت یک نوسانگر هارمونیک است.

مثال : حرکت یک ذره در میدان الکترومغناطیسی دیدیم که لاگرانژی یک ذره در میدان الکترومغناطیسی به شکل زیر است:

$$L = \frac{1}{2}mv^2 - q\phi + \frac{q}{c}\mathbf{v} \cdot \mathbf{A}. \quad (30)$$

بنابراین تکانه تعمیم یافته مزدوج با  $x_i$  برابر خواهد بود با:

$$p_i = \frac{\partial L}{\partial v_i} = mv_i + \frac{q}{c}A_i, \quad (31)$$

و یا به شکل برداری

$$\mathbf{p} = m\mathbf{v} + \frac{q}{c}\mathbf{A}. \quad (32)$$

بنابراین

$$\mathbf{v} = \frac{\mathbf{p} - \frac{q}{c}\mathbf{A}}{m}, \quad (33)$$

و در نتیجه

$$H = \mathbf{v} \cdot \mathbf{p} - L = \mathbf{v} \cdot \left( m\mathbf{v} + \frac{q}{c}\mathbf{A} \right) - \frac{1}{2}m\mathbf{v}^2 + q\phi - \frac{q}{c}\mathbf{v} \cdot \mathbf{A} \quad (34)$$

$$= \frac{1}{2}m\mathbf{v}^2 + q\phi. \quad (35)$$

از آنجا که هامیلتونی می بایست تابعی از مختصات و تکانه ها باشد، شکل نهایی هامیلتونی عبارت خواهد بود از:

$$H = \frac{1}{2m}(\mathbf{p} - \frac{q}{c}\mathbf{A})^2 + q\phi. \quad (36)$$



### ۱.۳ فضای فاز، حالت و مشاهده پذیر

فرض فیزیک کلاسیک آن است که علی الاصول می توان مختصات و تکانه های یک دستگاه فیزیکی را با هر دقتی تعیین کرد. بنابراین کامل ترین توصیف از یک دستگاه فیزیکی به معنای مشخص کردن تمام مختصات و تکانه هاست. بنابراین «حالت» یک دستگاه فیزیکی با مشخص کردن تمام مختصه های  $\{q_i\}$  و تکانه های مزدوج آنها یعنی  $p_i$  ها معین می شود. به ازای هر حالت  $(q, p) := (q_1, \dots, q_N, p_1, \dots, p_N)$  می توان یک نقطه در یک فضای  $2N$  که آن را فضای فاز می گوئیم در نظر گرفت. فضای فاز مجموعه تمام حالاتی است که یک دستگاه فیزیکی منطقاً می تواند اختیار کند. با مشخص کردن حالت اولیه به عنوان یک نقطه در این فضا، معادلات حرکت یا همان معادلات هامیلتون یک مسیری که در این فضا تعیین می کنند که مسیر حرکت دستگاه فیزیکی است. از آنجا مطابق با فیزیک کلاسیک، نقطه اولیه را می توانیم با هر دقتی تعیین کنیم، مسیر حرکت نیز یک مسیر مشخص و معین است.

وقتی که دستگاه فیزیکی در حالت  $(q, p)$  است علی الاصول می توانیم هر خاصیتی از آن را اندازه گیری کنیم. این خاصیت به طور کلی کمیتی است که به حالت دستگاه و نه چیز دیگر بستگی دارد. بنابراین تابعی است حقیقی از  $(q, p)$  مثل  $A(q, p)$  یا  $B(q, p)$  و نظایر آن. بنابراین به طور کلی می توانیم بگوئیم که هر مشاهده پذیر چیزی نیست جز یک تابع حقیقی که روی فضای فاز تعریف شده است. این که از نظر فیزیکی و عملی کدام یک از این مشاهده پذیرها راحت تر اندازه گیری می شوند یا اهمیت بیشتری دارند، موضوع دیگری است.

### ۲.۳ کروشه پواسون

برای هر دو تابع  $f, g$  که در روی فضای فاز تعریف می شوند می توان کروشه پواسون را به شکل زیر تعریف کرد:

$$\{f, g\} := \sum_{i=1}^N \frac{\partial f}{\partial q_i} \frac{\partial g}{\partial p_i} - \frac{\partial f}{\partial p_i} \frac{\partial g}{\partial q_i}. \quad (37)$$

خواننده می تواند براحتی خواص زیر را برای کروشه پواسون ثابت کند:

$$\begin{aligned} \{f, g\} &= -\{g, f\} \\ \{f, g+h\} &= \{f, g\} + \{f, h\} \\ \{f, gh\} &= \{f, g\}h + g\{f, h\} \\ \{\{f, g\}, h\} + \{\{g, h\}, f\} + \{h, \{f, g\}\} &= 0. \end{aligned} \quad (38)$$

هم چنین داریم

$$\{q_i, q_j\} = \{p_i, p_j\} = 0 \quad \{q_i, p_j\} = \delta_{ij}. \quad (39)$$

تمرین: درستی روابط زیر را نشان دهید. برای هر تابع  $A(q, p)$ :

$$\{q_i, A\} = \frac{\partial A}{\partial p_i}, \quad \{p_i, A\} = -\frac{\partial A}{\partial q_i}. \quad (40)$$

تمرین: مختصات و تکانه های یک ذره در دستگاه مختصات دکارتی را با  $(x, y, z, p_x, p_y, p_z)$  نشان می دهیم. هرگاه  $L_x, L_y, L_z$  مولفه های تکانه زاویه ای باشند، نشان دهید که:

$$\{L_i, L_j\} = \epsilon_{i,j,k} L_k, \quad (41)$$

$$\{L_i, x_j\} = \epsilon_{i,j,k} x_k, \quad (42)$$

$$\{L_i, p_j\} = \epsilon_{i,j,k} p_k. \quad (43)$$

با استفاده از گروه پواسون می توان معادلات حرکت را به شکل زیر نوشت:

$$\begin{aligned} \frac{dq_i}{dt} &= \{q_i, H\} \\ \frac{dp_i}{dt} &= \{p_i, H\}. \end{aligned} \quad (44)$$

هرگاه کمیتی (مشاهده پذیری) مثل  $f(q, p, t)$  روی فضای فاز تعریف شده باشد می توان تغییرات آن را روی مسیر حرکت بصورت زیر بدست آورد:

$$\begin{aligned} \frac{df}{dt} &= \frac{\partial f}{\partial t} + \sum_{i=1}^N \frac{\partial f}{\partial q_i} \frac{dq_i}{dt} + \frac{\partial f}{\partial p_i} \frac{dp_i}{dt} \\ &= \frac{\partial f}{\partial t} + \{f, H\}, \end{aligned} \quad (45)$$

که در خط آخر از معادلات حرکت بر حسب گروه پواسون استفاده کرده ایم. در صورتی که مشاهده پذیر  $f$  بستگی جداگانه ای به زمان نداشته باشد و تغییرات آن تنها به دلیل تغییرات حالت دستگاه ایجاد شود رابطه بالا تبدیل به رابطه زیر می شود:

$$\frac{df}{dt} = \{f, H\}. \quad (46)$$

تمرین:  $\mathbf{r}$  و  $\mathbf{p}$  بردارهای مختصه و تکانه یک ذره هستند. نشان دهید که برای هر تابع  $A(\mathbf{r}, \mathbf{p})$  روابط زیر برقرارند:

$$\{\mathbf{p}, A\} = -\nabla_{\mathbf{r}} A =: -\frac{\partial A}{\partial x} \hat{x} - \frac{\partial A}{\partial y} \hat{y} - \frac{\partial A}{\partial z} \hat{z} \quad (47)$$

$$\{\mathbf{r}, A\} = \nabla_{\mathbf{p}} A =: \frac{\partial A}{\partial p_x} \hat{x} + \frac{\partial A}{\partial p_y} \hat{y} + \frac{\partial A}{\partial p_z} \hat{z}. \quad (48)$$

حال فرض کنید که تابع  $A$  را یک بار در نقطه  $(\mathbf{r}, \mathbf{p})$  و یک بار هم در نقطه  $(\mathbf{r} + \mathbf{a}, \mathbf{p})$  حساب کنیم. در این صورت داریم

$$A(\mathbf{r} + \mathbf{a}, \mathbf{p}) = A(\mathbf{r}, \mathbf{p}) + \mathbf{a} \cdot \nabla_{\mathbf{r}} A = A(\mathbf{r}, \mathbf{p}) - \{\mathbf{a} \cdot \mathbf{p}, A\}. \quad (49)$$

اصطلاحاً می‌گوییم که  $\hat{\mathbf{a}} \cdot \mathbf{p}$  مولد انتقال در مکان در جهت برداری که  $\hat{\mathbf{a}}$  است. به طریق مشابه می‌توانیم بگوییم که  $\hat{\mathbf{a}} \cdot \mathbf{r}$  مولد انتقال در تکانه در جهت بردار  $\hat{\mathbf{a}}$  است.

تمرین: در همان مسئله قبل اگر  $\mathbf{L} = \mathbf{r} \times \mathbf{p}$  بردار تکانه زاویه ای باشد نشان دهید که

$$\{\mathbf{L}, A\} = -(\mathbf{r} \times \nabla_{\mathbf{r}} + \mathbf{p} \times \nabla_{\mathbf{p}})A. \quad (50)$$

حال فرض کنید که تابع  $A$  را یک بار در نقطه  $(\mathbf{r}, \mathbf{p})$  و یک بار هم در نقطه ای که نسبت به آن به اندازه کوچکی چرخیده است حساب می‌کنیم. فرض می‌کنیم که که دوران حول محور  $\mathbf{n}$  به اندازه زاویه کوچک  $\theta$  چرخیده است. در این صورت نقطه ای که چرخیده است دارای مختصات  $(\mathbf{r} + \theta \mathbf{n} \times \mathbf{r}, \mathbf{p} + \theta \mathbf{n} \times \mathbf{p})$  است. بنابراین بدست می‌آوریم

$$\begin{aligned} A(\mathbf{r} + \theta \mathbf{n} \times \mathbf{r}, \mathbf{p} + \theta \mathbf{n} \times \mathbf{p}) &= A(\mathbf{r}, \mathbf{p}) + \theta \mathbf{n} \times \mathbf{r} \cdot \nabla_{\mathbf{r}} A + \theta \mathbf{n} \times \mathbf{p} \cdot \nabla_{\mathbf{p}} A \\ &= A(\mathbf{r}, \mathbf{p}) + \theta \mathbf{n} \cdot (\mathbf{r} \times \nabla_{\mathbf{r}} + \mathbf{p} \times \nabla_{\mathbf{p}})A \\ &= A(\mathbf{r}, \mathbf{p}) - \theta \mathbf{n} \cdot \{\mathbf{L}, A\}. \end{aligned} \quad (51)$$

بنابراین نشان دادیم که

$$A(\mathbf{r} + \theta \mathbf{n} \times \mathbf{r}, \mathbf{p} + \theta \mathbf{n} \times \mathbf{p}) = A(\mathbf{r}, \mathbf{p}) - \theta \mathbf{n} \cdot \{\mathbf{L}, A\}. \quad (52)$$

اصطلاحاً می‌گوییم  $\mathbf{n} \cdot \mathbf{L}$  مولد دوران حول محور  $\mathbf{n}$  است.

## ۴ تقارن و نتایج آن

جهان اطراف ما و پدیده‌های فیزیکی که در آن اتفاق می‌افتند، از بعضی جهات متقارن است. به عنوان مثال اگر آزمایشی را امروز انجام دهیم و سپس فردا آن را تکرار کنیم، همان نتیجه ای را به دست خواهیم آورد که امروز بدست می‌آوریم. این امر ناشی از همگنی زمان است و یک خاصیت مهم طبیعت است. البته فردا با امروز از بسیاری جهات مثل دما و رطوبت، میزان تابش آفتاب و وزش باد متفاوت است، به همین دلیل وقتی که از همگنی زمان سخن می‌گوییم می‌بایست توجه خود را به یک آزمایش ایده آل که عوامل فوق در آن موثر نیستند معطوف کنیم و یا اینکه آزمایش را در همان شرایط دما و رطوبت و غیر آن تکرار کنیم. بنابراین می‌توانیم بگوییم رفتار یک سیستم تحت انتقال در زمان مطلق و یا رفتار یک سیستم بسته تحت انتقال در زمان متقارن است و تغییر نمی‌کند. این تقارن آنقدر واضح و بدیهی است که اهمیت آن را کمتر حس می‌کنیم، باین وجود این تقارن بسیار مهم است و در واقع دلیل اصلی قانون بقای انرژی است. به همین ترتیب دنیای اطراف ما تحت انتقال در فضای

مطلق متقارن است (می توان فضای بین کهکشان ها را فضای مطلق در نظر گرفت که در آن تقریباً هیچ عاملی روی یک آزمایش که انجام می دهیم اثر ندارد)، یا اینکه بگوییم رفتار یک سیستم بسته تحت انتقال در فضا متقارن است. اگر آزمایشی را در تهران انجام دهیم همان نتیجه ای را بدست می آوریم که در تبریز. خواهیم دید که این تقارن منجر به یک قانون بقای مهم یعنی قانون بقای تکانه خطی می شود. و بالاخره دنیای اطراف ما تحت دوران در فضای مطلق نیز متقارن است یا رفتار یک سیستم بسته تحت دوران در فضا متقارن است. اگر آزمایشی را رویه شمال انجام دهیم همان نتیجه ای را بدست می آوریم که رویه جنوب. البته اگر میدان مغناطیسی زمین در این آزمایش تاثیر گذار باشد، دو نتیجه متفاوت بدست خواهند آمد، ولی در این صورت سیستم بسته نیست. این تقارن منجر به قانون بقای اندازه حرکت زاویه ای می شود. این خواص تقارنی هستند که تکرار پذیری آزمایش ها و اساساً قدرت پیش بینی علم فیزیک را امکان پذیر می کنند. در این بخش هدف ما آن است که ارتباط تقارن و قوانین بقا را بفهمیم. نخست تبدیلاتی را که از آنها سخن گفتیم با دقت بیشتری معرفی می کنیم، سپس به معرفی مولد های این تبدیلات می پردازیم و دست آخر به رابطه تقارن و قوانین بقا می پردازیم.

#### ۱.۴ همگنی زمان و قانون بقای انرژی

برای یک سیستم بسته هامیلتونی تنها تابع مختصات و تکانه هاست و به طور مستقل به زمان بستگی ندارد. این امر ناشی از همگنی زمان است. بنابراین تغییرات هامیلتونی در طول زمان برابر است با:

$$\frac{dH}{dt} = \{H, H\} = 0, \quad (53)$$

یعنی  $H$  یا همان انرژی یک ثابت حرکت است. بنابراین بقای انرژی ناشی از همگنی زمان است.

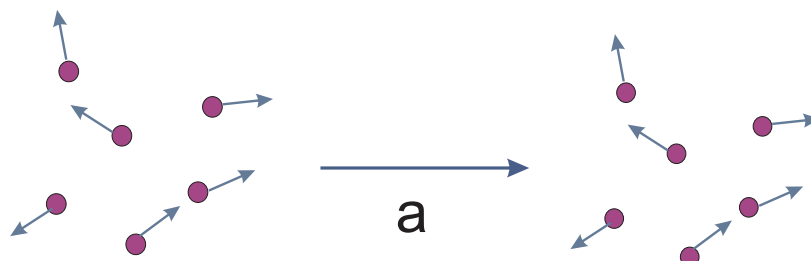
#### ۲.۴ همگنی فضا و قانون بقای اندازه حرکت خطی

دستگاهی در نظر بگیرید متشکل از  $N$  ذره که با مختصات  $\mathbf{r}_1, \dots, \mathbf{r}_N$  و تکانه های  $\mathbf{p}_1, \dots, \mathbf{p}_N$  توصیف می شود. همگنی فضا به این معناست که اگر مکان همه ذرات را به اندازه بردار  $\mathbf{a}$  دلیخواه  $\mathbf{a}$  جابجا کنیم، ولی تکانه های آنها را دست نزنیم، (شکل ۳) هامیلتونی هیچ تغییری نمی کند، یعنی

$$H(\mathbf{r}_1, \dots, \mathbf{r}_N; \mathbf{p}_1, \dots, \mathbf{p}_N) = H(\mathbf{r}_1 + \mathbf{a}, \dots, \mathbf{r}_N + \mathbf{a}; \mathbf{p}_1, \dots, \mathbf{p}_N). \quad (54)$$

از آنجا که تساوی فوق برای هر بردار  $\mathbf{a}$  برقرار است، بردار  $\mathbf{a}$  را بی نهایت کوچک می گیریم و طرف دوم را تا مرتبه اول بر حسب  $\mathbf{a}$  بسط می دهیم. بدست می آوریم

$$0 = H(\mathbf{r}_1 + \mathbf{a}, \dots, \mathbf{r}_N + \mathbf{a}; \mathbf{p}_1, \dots, \mathbf{p}_N) - H(\mathbf{r}_1, \dots, \mathbf{r}_N; \mathbf{p}_1, \dots, \mathbf{p}_N) = \mathbf{a} \cdot \sum_{i=1}^N \nabla_{\mathbf{r}_i} H$$



شکل ۳: تقارن یک دستگاه تحت انتقال به این معناست که  $H(\mathbf{r} + \mathbf{a}, \mathbf{p}) = H(\mathbf{r}, \mathbf{p})$ . دقت کنید که تکانه ها تغییر نمی کنند.

$$= -\mathbf{a} \cdot \sum_{i=1}^N \{\mathbf{p}_i, H\} \quad (55)$$

بدلیل آنکه این تقارن برای تمام  $\mathbf{a}$  ها برقرار است نتیجه می گیریم که

$$\{P, H\} = 0, \quad (56)$$

که در آن  $\mathbf{P} = \sum_{i=1}^N \mathbf{p}_i$  تکانه کل است. بنابراین تقارن تحت انتقال در مکان به این معناست که تکانه زاویه ای کل با هامیلتونی جابجا می شود. نتیجه این رابطه این است که

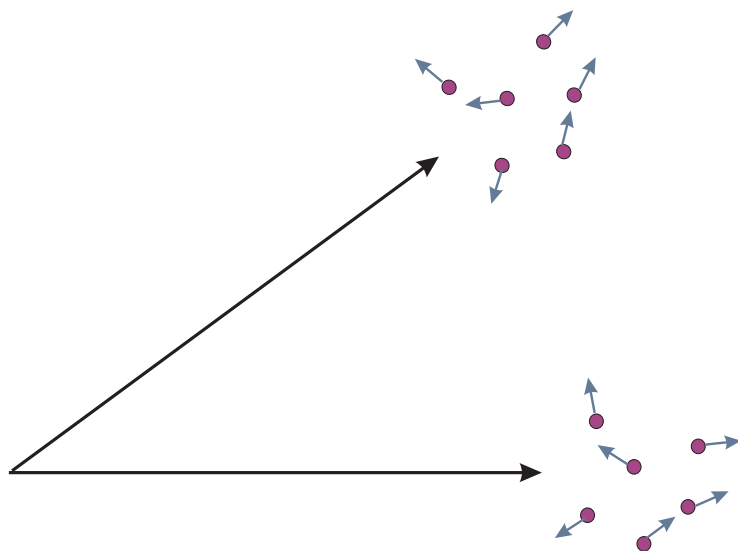
$$\frac{dP}{dt} = \{P, H\} = 0, \quad (57)$$

یعنی تکانه خطی کل یک ثابت حرکت است.

### ۳.۴ همسانگردی فضا و قانون بقای اندازه حرکت زاویه ای

دستگاهی در نظر بگیرید متشکل از  $N$  ذره که با مختصات  $\mathbf{r}_1, \dots, \mathbf{r}_N$  و تکانه های  $\mathbf{p}_1, \dots, \mathbf{p}_N$  توصیف می شود. هسانگردی فضا به این معناست که اگر این دستگاه را به اندازه زاویه  $\theta$  بچرخانیم، هامیلتونی هیچ تغییری نمی کند. چرخش دستگاه به این معناست که هم بردارهای مکان و هم بردارهای تکانه به اندازه زاویه  $\theta$  می چرخند. (شکل ۴)

تقارن تحت دوران به این معناست که هامیلتونی تحت دوران مختصات و تکانه ها تغییر نمی کند. یعنی



شکل ۴: تقارن یک دستگاه تحت دوران به این معناست که  $H(r, p) = H(r', p')$  که در آن  $r'$  و  $p'$  دوران یافته  $r$  و  $p$  است.

$$\begin{aligned}
 0 &= H(\mathbf{r}_1 + \theta \mathbf{n} \times \mathbf{r}_1, \dots, \mathbf{r}_N + \theta \mathbf{n} \times \mathbf{r}_N; \mathbf{p}_1 + \theta \mathbf{n} \times \mathbf{p}_1, \dots, \mathbf{p}_N + \theta \mathbf{n} \times \mathbf{p}_N) - H(\mathbf{r}_1, \dots, \mathbf{r}_N; \mathbf{p}_1, \dots, \mathbf{p}_N) \\
 &= \theta \hat{\mathbf{n}} \cdot \left( \sum_i \mathbf{r}_i \times \nabla_{\mathbf{r}_i} + \mathbf{p}_i \times \nabla_{\mathbf{p}_i} \right) H \\
 &= -\theta \mathbf{n} \cdot \{\mathbf{L}, H\}.
 \end{aligned} \tag{58}$$

این امر به این معناست که

$$\frac{d\mathbf{L}}{dt} = \{\mathbf{L}, H\} = 0. \tag{59}$$

بنابراین بقای تکانه زاویه ای نتیجه مستقیم همسانگردی فضا است. در پایان بهتر است که آنچه را که آموخته ایم به عنوان اصول موضوع مکانیک کلاسیک بیان کنیم.

## ۵ اصول موضوع مکانیک کلاسیک

در مکانیک کلاسیک فرض بنیادی آن است که مادی توانیم مکان و تکانه هر ذره یا دستگاهی متشکل از ذرات را با دقت دلخواه اندازه گیری کنیم.

می توان برای مقایسه بهتر با ساختار مکانیک کوانتومی که در پی خواهد آمد اصول موضوع مکانیک کلاسیک را در اینجا بیان کرد.

**اصل موضوع یک – معنای حالت :** حالت یک ذره با  $N$  درجه آزادی با مختصات مکان و تکانه ذرات آن یعنی  $(q, p) := (q_1, q_2, \dots, q_n, p_1, p_2, \dots, p_n)$  مشخص می شود. فرض اساسی مکانیک کلاسیک آن است که علی الاصول می توان با هر دقت دلخواهی مختصات مکان و تکانه ذرات را مشخص کرد. مجموعه تمام حالت ها خمینه ای را تعریف می کند که به آن فضای فاز می گوئیم. هر نقطه از این فضای فاز یک حالت قابل حصول برای دستگاه فیزیکی است. فضای فاز خمینه ای است که به یک گروه پواسون با تعریف زیر مجهز شده است:

$$\{q_i, p_j\} = \delta_{ij} \quad \{q_i, q_j\} = \{p_i, p_j\} = 0 \quad (60)$$

**اصل موضوع دو – معنای مشاهده پذیر:** هرگاه دستگاهی در حالت  $(q, p)$  باشد می توان هر خاصیتی که کمیت آن به  $(q, p)$  بستگی دارد تعیین کرد. به این خاصیت یک مشاهده پذیر یا *Observable* در فضای فاز می گوئیم. بنابراین متناظر با هر مشاهده پذیر  $A$  (مثل انرژی، تکانه زاویه ای و یا هر چیز دیگر) یک تابع «حقیقی»  $A$  وجود دارد که مقدار آن در نقطه  $(q, p)$  یعنی  $A(q, p)$  مقدار مشاهده پذیر را، وقتی که دستگاه در حالت  $(q, p)$  قرار دارد، بدست می دهد.

**اصل موضوع سه – اندازه گیری :** هرگاه دستگاه در حالت  $(q, p)$  باشد، اندازه گیری کمیت  $A$  مقدار  $A(q, p)$  را با دقتی که توسط ابزار اندازه گیری تعیین می شود بدست می دهد و حالت سیستم نیز دست نخورده باقی خواهد ماند.

**اصل موضوع چهار – دینامیک :** حالت دستگاه مطابق با معادلات زیر در طول زمان تغییر می کند:

$$\begin{aligned} \frac{dq_i}{dt} &= \{q_i, H\} \\ \frac{dp_i}{dt} &= \{p_i, H\}, \end{aligned} \quad (61)$$

که در آن  $H(q, p)$  هامیلتونی است. برای بسیاری از سیستم ها تابع هامیلتونی عبارت است از  $T - V$  که در آن  $T$  انرژی جنبشی و  $V$  پتانسیل است.

## ۶ ضمیمه یک

در این ضمیمه قضیه ای را که برای استخراج معادلات حرکت در صورت بندی هامیلتونی مورد استفاده قرار دادیم ثابت می کنیم. تعریف : یک تابع چند متغیره  $f(x_1, x_2, \dots, x_N)$  یک تابع همگن از درجه  $n$  خوانده می شود هرگاه در شرط زیر صدق کند:

$$f(\lambda x_1, \lambda x_2, \dots, \lambda x_N) = \lambda^n f(x_1, x_2, \dots, x_N) \quad \forall \lambda. \quad (62)$$

قضیه: برای یک تابع همگن از درجه  $n$  داریم:

$$\sum_{i=1}^n x_i \frac{\partial f}{\partial x_i} = n f. \quad (63)$$

اثبات: کافی است که از طرفین رابطه 62 نسبت به  $\lambda$  مشتق بگیریم و دست آخر  $\lambda$  را مساوی یک قرار دهیم.

## ۷ ضمیمه دو

در این ضمیمه مفهوم مولد تبدیل کانونیک را معرفی می کنیم. دیدیم که برای هر مشاهده پذیر  $A$  (که بستگی صریحی به زمان ندارد) رابطه زیر برقرار است:

$$\frac{dA}{dt} = \{A, H\}. \quad (64)$$

این رابطه نشان می دهد که در طول حرکت مقدار مشاهده پذیر  $A$  چگونه تغییر می کند. به عبارت دیگر داریم

$$A(t + \epsilon) = A(t) + \epsilon \{A, H\}. \quad (65)$$

بنابراین  $H$  را مولد تبدیل در زمان می خوانیم زیرا به مفهومی که در روابط بالا آمده است تحول یافته هر مشاهده پذیری را در زمان بدست می دهد. حال می توانیم سوال کنیم که آیا برای تبدیلات دیگر مثل انتقال یا دوران هم می توانیم مولد تعریف کنیم یا خیر؟ نخست مفهوم مولد را به طور کلی تعریف می کنیم. تبدیلی را در نظر بگیرید که فقط بایک پارامتر مشخص می شود. مقداری نهایت کوچک این پارامتر را با نماد  $\epsilon$  نشان می دهیم. فرض کنید که این تبدیل بی نهایت کوچک به صورت زیر عمل می کند:

$$(q_i, p_i) \longrightarrow (q'_i, p'_i) = (q_i + \delta_\epsilon q_i, p_i + \delta_\epsilon p_i).$$

در این صورت می گوییم تابع  $G$  مولد این تبدیل است هرگاه داشته باشیم

$$\begin{aligned} \delta_\epsilon q_i &= \epsilon \{q_i, G\} \equiv \epsilon \frac{\partial G}{\partial p_i} \\ \delta_\epsilon p_i &= \epsilon \{p_i, G\} \equiv -\epsilon \frac{\partial G}{\partial q_i}. \end{aligned} \quad (66)$$

روابط فوق تضمین می کنند که نقطه جدید با مختصات  $(q'_i, p'_i)$  همچنان نقطه ای است در فضای فاز و روابط کانونیک  $\{q'_i, p'_j\} = \delta_{ij}$  برقرار هستند:

$$\{q'_i, p'_j\} = \{q_i + \delta_\epsilon q_i, p_j + \delta_\epsilon p_j\} = \delta_{ij} + \{\delta_\epsilon q_i, p_j\} + \{q_i, \delta_\epsilon p_j\}$$



$$\begin{aligned}
 &= \delta_{ij} + \epsilon\{\{q_i, G\}, p_j\} + \epsilon\{q_i, \{p_j, G\}\} \\
 &= \delta_{ij} + \epsilon\{\{q_i, p_j\}, G\} = \delta_{ij} + \epsilon\{\delta_{ij}, G\} = \delta_{ij},
 \end{aligned} \tag{67}$$

که در آن از اتحاد جاکوبی استفاده کرده ایم.

حال مشاهده پذیری دلخواه مثل  $A$  را در نظر می گیریم. تفاوت این مشاهده پذیر را در دو نقطه  $(q, p)$  و  $(q + \delta_\epsilon q, p + \delta_\epsilon p)$  حساب می کنیم. یک محاسبه ساده نشان می دهد که

$$\begin{aligned}
 \delta A &:= A(q + \delta_\epsilon q, p + \delta_\epsilon p) - A(q, p) = \frac{\partial A}{\partial q_i} \delta_\epsilon q_i + \frac{\partial A}{\partial p_i} \delta_\epsilon p_i \\
 &= \epsilon \frac{\partial A}{\partial q_i} \frac{\partial G}{\partial p_i} - \epsilon \frac{\partial A}{\partial p_i} \frac{\partial G}{\partial q_i} = \epsilon \{A, G\}.
 \end{aligned} \tag{68}$$

قضیه زیر قضیه بسیار مهمی در ارتباط با تقارن است:

قضیه: هرگاه  $H$  تحت تبدیلی که مولد آن  $G$  است تغییر نکند، یعنی دارای تقارن باشد، در این صورت  $G$  یک ثابت حرکت است.

اثبات: چون  $H$  تغییر نمی کند داریم  $\delta H = 0$ . بنابراین رابطه (68) داریم

$$\{G, H\} = \delta H = 0. \tag{69}$$

بنابراین

$$\frac{dG}{dt} = 0. \tag{70}$$

از این قضیه دو نتیجه مهم می گیریم یکی آنکه مولدهای تقارن با هامیلتونی جابجا می شوند و دوم اینکه ثابت حرکت هستند.

## درس نامه مکانیک کوانتومی

### درس دوم: آشنایی با ساختمان ریاضی مکانیک کوانتومی

#### ۱ مقدمه

در این درس با ریاضیات مورد نیاز برای فهم چارچوب نظری مکانیک کوانتومی آشنایی شویم. فرض می‌کنیم که خواننده با مفهوم میدان اعداد آشناست. دو نمونه مهم از میدان‌ها عبارت‌اند از میدان اعداد حقیقی و میدان اعداد مختلط. نخست فضاهای برداری بابعاد محدود را بررسی می‌کنیم و سپس به فضاهای برداری بی‌نهایت بعدی خواهیم پرداخت. تاکید ما به خصوص بر معرفی نمادگذاری دیراک برای بردارها و عملگرهاست که به طور گسترده‌ای در مکانیک کوانتومی مورد استفاده قرار می‌گیرد. باید تاکید کنیم که

#### ۲ فضای برداری

مجموعه  $V$  را یک فضای برداری روی میدان اعداد  $F$  می‌گوییم هرگاه دو عمل زیر تعریف شده

$$+ : V \times V \longrightarrow V \quad \text{و} \quad \cdot : F \times V \longrightarrow V \quad (1)$$

و دارای خاصیت‌های زیر باشند:

$$A1 : \quad x + y = y + x$$

$$A2 : \quad (x + y) + z = x + (y + z)$$

$$A3 : \quad \exists 0 \in V \mid 0 + x = x$$

$$A4 : \quad \forall x \in V \quad \exists -x \in V \mid -x + x = 0,$$

$$M1 : \quad \alpha(x + y) = \alpha x + \alpha y$$

$$M2 : \quad (\alpha + \beta)x = \alpha x + \beta x$$

$$M1 : \quad \alpha(\beta x) = (\alpha\beta)x$$

$$M1 : \quad 1x = x. \quad (2)$$

به ازای هر دو بردار  $u$  و  $v$  و هر عدد  $\alpha \in F$ ،  $u + v$  جمع دو بردار و  $\alpha u$  ضرب اسکالر  $\alpha$  در بردار  $v$  نامیده می شود. بسته به این که  $F$  میدان اعداد حقیقی  $R$  یا میدان اعداد مختلط  $C$  باشد، فضای برداری  $V$  را فضای برداری حقیقی یا مختلط می گوئیم.

مثال ها: مجموعه های زیر هرکدام یک فضای برداری هستند. در اغلب این مثال ها تعریف جمع  $+$  و ضرب اسکالر بدیهی است و خواننده می تواند خود تعریف طبیعی مورد نظر را پیشنهاد کند.

۱ -  $R^n$  یا مجموعه  $n$  تایی های مرتب حقیقی یک فضای برداری حقیقی است.

۲ -  $C^n$  یا مجموعه  $n$  تایی مرتب مختلط، یک فضای برداری مختلط است.

۳ -  $M_{m \times n}(F)$  یا مجموعه ماتریس های  $m \times n$  که درایه های آن عناصر یک میدان  $F$  هستند، نیز یک فضای برداری است.

۴ -  $P_n([a, b])$  یا مجموعه چند جمله های حقیقی مرتبه  $n$  از متغیر  $x$  که در فاصله  $[a, b]$  تعریف شده اند.

۵ -  $C^k[a, b]$  یا مجموعه توابع حقیقی یا مختلط  $k$  بار مشتق پذیر در فاصله  $[a, b]$ . دو تابع  $f$  و  $g$  به صورت زیر با یکدیگر جمع می شوند:

$$(f + g)(x) := f(x) + g(x), \quad (\alpha : f)(x) = \alpha f(x). \quad (3)$$

از این به بعد منحصراً با فضاهای برداری مختلط کار می کنیم.

تعریف: هرگاه  $V$  یک فضای برداری و  $W \subset V$  زیرمجموعه ای از آن باشد، آنگاه  $W$  را یک زیرفضای  $V$  می گوئیم اگر  $W$  نسبت به جمع بردارها و ضرب اعداد در بردارها بسته باشد.

مثال ها:

۱ - در فضای ۳ بعدی معمولی، صفحه  $xy$  یک زیرفضا از فضای ۳ بعدی است. به طور کلی تر هر خطی که از مبدأ بگذرد یک زیرفضای یک بعدی و هر صفحه ای که از مبدأ بگذرد یک زیرفضای دو بعدی از فضای سه بعدی است.

۲ - در فضای ماتریس های مربعی، مجموعه ماتریس های بالا مثلثی یک زیرفضا است.

۳ - در فضای توابع پیوسته  $C[a, b]$ ، مجموعه  $P_n([a, b])$  یک زیر فضا است.

۴ - در فضای توابع پیوسته، مجموعه توابع مشتق پذیر یک زیر فضا است.

### ۳ ضرب داخلی و اندازه

تعریف: در یک فضای برداری  $V$  یک عمل دوتایی  $\langle \cdot, \cdot \rangle : V \times V \rightarrow C$  را یک ضرب داخلی می نامیم هرگاه در شرایط زیر صدق کند:

$$\begin{aligned} \langle x, y + \alpha z \rangle &= \langle x, y \rangle + \alpha \langle x, z \rangle \\ \langle x, y \rangle &= \langle y, x \rangle^* \\ \langle x, x \rangle &\geq 0 \\ \langle x, x \rangle = 0 &\longrightarrow x = 0. \end{aligned} \quad (4)$$

مثالهایی از ضرب داخلی:

الف - در  $C^n$ :

$$\langle x, y \rangle := \sum_{i=1}^n x_i^* y_i \quad (5)$$

ب - در  $M_{n,m}(C)$ :

$$\langle A, B \rangle := \text{tr}(AB^\dagger) \quad (6)$$

ج - در  $C^k[a, b]$ :

$$\langle f, g \rangle := \int_a^b f^*(x)g(x)dx. \quad (7)$$

فضایی را که به یک ضرب داخلی مجهز شده باشد یک فضای برداری ضرب داخلی یا *Inner product space* می گوئیم.

قضیه کوشی-شوارتز: در یک فضای ضرب داخلی داریم:

$$|\langle x, y \rangle|^2 \leq \langle x, x \rangle \langle y, y \rangle. \quad (8)$$

اثبات: بردار  $v := \alpha x + y$  را در نظر می‌گیریم. داریم

$$\begin{aligned} f(\alpha, \alpha^*) &:= \langle v, v \rangle \geq 0 \longrightarrow \langle \alpha x + y, \alpha x + y \rangle \geq 0 \\ &\longrightarrow |\alpha|^2 \langle x, x \rangle + \alpha^* \langle x, y \rangle + \alpha \langle y, x \rangle + \langle y, y \rangle \geq 0. \end{aligned} \quad (9)$$

طرف چپ این رابطه یک تابع درجه ۲ از متغیر مختلط  $\alpha$  است و به ازای هر مقدار از این متغیر، از جمله  $\alpha = \frac{-\langle x, y \rangle}{\langle x, x \rangle}$ ، باز هم بزرگتر از صفر است. هرگاه این مقدار  $\alpha$  را در طرف چپ قرار دهیم و عبارت بدست آمده را ساده کنیم به نامساوی کوشی شوارتز می‌رسیم.

اندازه یک بردار:

در فضای ضرب داخلی می‌توان اندازه یک بردار را به شکل زیر تعریف کرد:

$$\|x\| := \sqrt{\langle x, x \rangle}. \quad (10)$$

باتوجه به نامساوی کوشی شوارتز می‌توان نوشت:

$$|\langle x, y \rangle| \leq \|x\| \|y\|. \quad (11)$$

مثال‌هایی از اندازه یک بردار:

الف - در  $C^n$ :

$$|x|^2 := \sum_{i=1}^n x_i^* x_i \quad (12)$$

ب - در  $M_{n,m}(C)$

$$|A|^2 := \text{tr}(AA^\dagger) \quad (13)$$

ج - در  $C^k[a, b]$ .

$$|f| := \int_a^b f^*(x) f(x) dx. \quad (14)$$

از نامساوی کوشی شوارتز دو نتیجه مهم حاصل می شود. یکی تعریف زاویه بین دو بردار به صورت

$$\cos \phi := \frac{|\langle x, y \rangle|}{\|x\| \|y\|} \quad (15)$$

و دیگری نامساوی مثلث:

$$\|x + y\| \leq \|x\| + \|y\|. \quad (16)$$

فضای نِرم دار یا اندازه دار: یک فضای برداری  $V$  که در آن نگاشت  $\|\cdot\| : V \rightarrow R$  تعریف شده باشد را فضای اندازه دار یا *Normed Space* می گوئیم هرگاه شرایط زیر برقرار باشند:

$$\begin{aligned} \|v\| &\geq 0 \quad \forall v \\ \|v\| &= 0 \implies v = 0 \\ \|\alpha v\| &= |\alpha| \|v\| \\ \|v + w\| &\leq \|v\| + \|w\|. \end{aligned} \quad (17)$$

هر فضای ضرب داخلی با همان اندازه ای که از روی ضرب داخلی تعریف می شود یک فضای اندازه دار است، ولی یک فضای اندازه دار الزاماً یک فضای ضرب داخلی نیست. به عبارت دیگر یک اندازه لزوماً از روی یک ضرب داخلی تعریف نشده است. به عنوان مثال در فضای توابع  $C[a, b]$  نگاشت  $\|f\| = \sup_{x \in [a, b]} |f(x)|$  یک اندازه است که از روی یک ضرب داخلی تعریف نشده است.

فضای متریک: در یک فضای برداری نِرم دار  $V$  می توان فاصله بین دو بردار را به شکل زیر تعریف کرد:

$$d(x, y) := \|x - y\|. \quad (18)$$

این فاصله دارای خواص زیر است:

$$\begin{aligned} d(x, y) &\geq 0 \\ d(x, x) &= 0 \quad d(x, y) = 0 \implies x = y \\ d(x, z) &\leq d(x, y) + d(y, z). \end{aligned} \quad (19)$$

اما می توان در یک مجموعه  $M$  که الزاماً فضای برداری نیست، فاصله بین دو نقطه را تعریف کرد به این شکل که هر تابع  $d : M \times M \rightarrow R$  را متریک می گوئیم هرگاه در خواص بالا صدق کند.

## ۴ پایه

استقلال خطی: در فضای برداری  $V$ ، بردارهای  $v_1, v_2, \dots, v_n$  مستقل خطی نامیده می‌شوند اگر تنها حل معادله  $\sum_{i=1}^n c_i v_i = 0$  برای اعداد حقیقی یا مختلط  $c_1, c_2, \dots, c_n$  آن باشد که  $c_1 = c_2 = \dots = c_n = 0$ . یک مجموعه بردار مستقل خطی  $e_1, e_2, \dots, e_n$  یک پایه برای فضای برداری  $V$  خوانده می‌شود هرگاه این مجموعه بردارها مستقل خطی باشند و ثانیاً هر بردار متعلق به  $V$  را بتوان به صورت خطی برحسب این بردارها بسط داد، یعنی

$$\forall v \in V, \rightarrow v = \sum_{i=1}^n v_i e_i. \quad (20)$$

$v_i$  ها مولفه های بردار  $v$  در پایه فوق خوانده می‌شوند. بدیهی است که وقتی پایه را عوض کنیم، مولفه های یک بردار نیز عوض می‌شوند.

یک پایه متعامد یکه یا بهنجار خوانده می‌شود هرگاه شرط زیر را برآورده کند:

$$\langle e_i, e_j \rangle = \delta_{i,j}, \quad (21)$$

که به این معناست که بردارهای پایه دو به دو برهم عمودند و اندازه هرکدام از آنها برابر با یک است.

پایه بهنجار  $\{e_i, i = 1, \dots, N\}$  را برای فضای  $V$  در نظر می‌گیریم.  $x \in V$  را می‌توان برحسب این بردارهای پایه بسط داد و نوشت:

$$x = \sum_{i=1}^N x_i e_i. \quad (22)$$

بدیهی است که

$$x_i = \langle e_i, x \rangle. \quad (23)$$

روش گرام اشمیت *Gram - Schmidt* برای ساختن پایه بهنجار

در یک فضای ضرب داخلی، از یک پایه دلخواه مثل  $\{v_1, v_2, \dots, v_N\}$  می‌توان به روش زیر که به روش گرام اشمیت موسوم است یک پایه بهنجار ساخت: قرار می‌دهیم:

$$e_1 := \frac{v_1}{|v_1|}, \quad e_2 := \frac{v_2 - \langle e_1, v_2 \rangle e_1}{|v_2 - \langle e_1, v_2 \rangle e_1|}, \quad e_3 := \frac{v_3 - \langle e_1, v_3 \rangle e_1 - \langle e_2, v_3 \rangle e_2}{|v_3 - \langle e_1, v_3 \rangle e_1 - \langle e_2, v_3 \rangle e_2|}, \dots \quad (24)$$

خواننده می‌تواند براحتی تحقیق کند که پایه جدید بهنجار است. تعبیر هندسی روش بالا نیز روشن و ساده است.

مثالهایی از پایه های بهنجار:

الف - در  $R^n$  و  $C^n$ :

$$e_1 = \begin{pmatrix} 1 \\ 0 \\ \vdots \\ 0 \end{pmatrix} \quad e_2 = \begin{pmatrix} 0 \\ 1 \\ \vdots \\ 0 \end{pmatrix} \quad e_n = \begin{pmatrix} 0 \\ 0 \\ \vdots \\ 1 \end{pmatrix} \quad (25)$$

ب - در  $M_{\mu \times n}(C), M_{m \times n}(R)$ :

$$E_{ij}, \quad i = 1, \dots, m, \quad j = 1 \dots n, \quad (26)$$

که در آن  $E_{ij}$  ماتریسی است که درایه  $(i, j)$  آن برابر با ۱ و بقیه درایه های آن برابر با صفر است.

ج - در  $C^k[a, b]$ ، مجموعه  $\{e_n(x), f_n(x), \quad n = 0 \dots \infty\}$  با تعریف

$$e_n(x) := \sqrt{\frac{2}{b-a}} \sin\left(\frac{n\pi}{b-a}\right)x, \quad f_n := \sqrt{\frac{2}{b-a}} \cos\left(\frac{n\pi}{b-a}\right)x. \quad (27)$$

د - در  $P_n[a, b]$ ، می توان یک پایه مثل  $\{1, x, x^2, \dots, x^n\}$  در نظر گرفت و آن را با فرایند گرام-اشمیت بهنجار کرد. تکمیل این تمرین را به خواننده واگذار می کنیم.

تغییر پایه فرض کنید که  $\{e_i, i = 1 \dots n\}$  و  $\{e'_i, i = 1 \dots n\}$  دو پایه بهنجار برای یک فضای برداری  $V$  باشند. در این صورت می توان نوشت

$$e'_i = S_{ij} e_j \quad (28)$$

که در نوشتن این رابطه از قرارداد جمع استفاده کرده ایم یعنی روی شاخص های تکراری جمع زده ایم. در این صورت چون هر دو پایه بهنجار هستند داریم

$$\delta_{ij} \equiv \langle e'_i, e'_j \rangle = \langle S_{ik} e_k, S_{jl} e_l \rangle = S_{ik}^* S_{jl} \langle e_k, e_l \rangle = S_{ik}^* S_{jk} \delta_{kl} = S_{il}^* S_{jl}. \quad (29)$$



هرگاه این رابطه را به شکل ماتریسی بنویسیم خواهیم داشت:

$$S^\dagger S = I, \quad (30)$$

که در آن الحاقی یک ماتریس به شکل زیر تعریف شده است:  $(S^\dagger)_{ij} = S_{ji}^*$ . ماتریس هایی که دارای خاصیت فوق باشند، یعنی الحاقی آنها با وارون آنها برابر باشد، ماتریس های یکانی خوانده می شوند. تحت تغییر پایه مولفه های یک بردار تغییر می کنند. داریم

$$x = \sum_{i=1}^n x_i e_i = \sum_{j=1}^n x'_j e'_j. \quad (31)$$

می خواهیم بین مولفه های این بردار در دو پایه چه ربطی به هم دارند. می نویسیم

$$x'_i = \langle e'_i, x \rangle = \langle S_{ij} e_j, x \rangle = S_{ij}^* \langle e_j, x \rangle = S_{ij}^* x_j. \quad (32)$$

## ۵ تبدیلات خطی

در یک فضای برداری  $V$ ، نگاشت  $\hat{T}: V \rightarrow V$  را یک تبدیل خطی یا عملگر خطی *Linear operator* می گوئیم هرگاه دارای خاصیت زیر باشد:

$$\hat{T}(x + \alpha y) = \hat{T}(x) + \alpha \hat{T}(y) \quad \forall \alpha \in F, \quad x, y \in V. \quad (33)$$

بدلیل خطی بودن، یک عملگر خطی تنها با اثرش روی بردارهای پایه مشخص می شود، زیرا

$$\hat{T}x = \hat{T}\left(\sum_{i=1}^N x_i e_i\right) = \sum_{i=1}^N x_i \hat{T}e_i. \quad (34)$$

از آنجا که  $\hat{T}e_i$  برداری از فضای  $V$  است، می توانیم آن را بر حسب بردارهای پایه بسط دهیم. می نویسیم:

$$\hat{T}e_i = \sum_{j=1}^N T_{ji} e_j \quad (35)$$

ماتریس  $T$  با درایه های  $T_{mn}$  را ماتریس مربوط به تبدیل خطی  $\hat{T}$  در پایه  $\{e_i\}$  می گوئیم. هرگاه پایه فوق بهنجار باشد می توانیم بنویسیم

$$\langle e_j, \hat{T}e_i \rangle = T_{ji}. \quad (36)$$

اثر تبدیل خطی  $\hat{T}$  روی یک بردار  $x$  عبارت خواهد بود از:

$$\hat{T}x = \hat{T}x_i e_i = x_i(\hat{T}e_i) = x_i T_{ji} e_j = (T_{ji} x_i) e_j = (Tx)_j e_j \quad (37)$$

بنابراین اثر تبدیل خطی  $\hat{T}$  روی  $x$  آن است که ماتریس تبدیل خطی  $T$  از چپ در ماتریس ستونی  $x$  ضرب می شود.

هرگاه پایه را عوض کنیم ماتریس تبدیل خطی نیز عوض خواهد شد. اگر به جای پایه  $\{e_i\}$  پایه  $\{e'_i\}$  را در نظر بگیریم که در آن  $e'_i = S_{li} e_l$  آنگاه خواهیم داشت

$$T'_{ij} = \langle e'_i, \hat{T}e'_j \rangle = \langle S_{li} e_l, \hat{T}S_{mj} e_m \rangle = S_{li}^* T_{lm} S_{mj}, \quad (38)$$

که به صورت فشرده زیر قابل بازنویسی است:

$$T' = S^\dagger T S, \quad (39)$$

که در آن  $S^\dagger$  با الحاقی ماتریس  $S$  خوانده می شود و چنین تعریف می شود:

$$S^\dagger = (S^*)^T, \quad \text{یا} \quad S_{ij}^\dagger = (S^*)_{ji}. \quad (40)$$

تذکر تبدیل خطی لزومی ندارد که از یک فضای برداری به همان فضا تعریف شود. در حالت کلی تبدیل خطی یک نگاشت  $\hat{T} : V \rightarrow W$  از یک فضای برداری به یک فضای برداری دیگر، تبدیل خطی است اگر در شرط  $\hat{T}(\alpha x + y) = \alpha \hat{T}x + \hat{T}y \quad \forall \alpha, x, y$  صدق کند. با این شرط معلوم می شود که میدانی که هر دو فضای برداری روی آن تعریف می شوند می بایست یکی باشد تا تبدیل خطی قابل تعریف باشد.

هرگاه  $\hat{A}$  و  $\hat{B}$  دو تبدیل خطی دلخواه روی  $V$  و  $\alpha$  عددی دلخواه متعلق به میدان  $F$  باشد، آنگاه  $\alpha \hat{A} + \hat{B}$  نیز یک تبدیل خطی روی  $V$  است. بنابراین مجموعه تبدیلات خطی روی  $V$  تشکیل یک فضای برداری می دهد که آن را با  $L(V)$  نمایش می دهیم. هم چنین ضرب دو تبدیل خطی با تعریف

$$(\hat{A}\hat{B})x := \hat{A}(\hat{B}x) \quad (41)$$

نیز یک تبدیل خطی است. بنابراین  $L(V)$  نه تنها یک فضای برداری است بلکه یک جبر است به این معنا که یک فضای برداری است که در آن یک عمل ضرب شرکت پذیر  $(\hat{A}\hat{B})\hat{C} = \hat{A}(\hat{B}\hat{C})$  تعریف شده است. این جبر جابجایی نیست  $(\hat{A}\hat{B} \neq \hat{B}\hat{A})$  اما یکه داریا یونیتال (*Unital*) است به این معنا که در آن عنصریکه وجود دارد (در اینجا عملگر همانی) با خاصیت  $\hat{A}\hat{I} = \hat{I}\hat{A} = \hat{A}$  زیر

دیدیم که به یک عملگر خطی می توان یک ماتریس نسبت داد. وقتی که پایه فضا را معین می کنیم بین فضای تبدیلات خطی یعنی  $L(V)$  و فضای ماتریس های  $M_{n \times n}(C)$  یک یکسانی بوجود می آید. بنابراین می توان از یک تبدیل خطی ویا ماتریس آن بسته به راحتی سخن گفت. می توان با تعریف زیر، فضای تبدیلات خطی روی  $V$  را به یک فضای ضرب داخلی تبدیل کرد:

$$\langle \hat{A}, \hat{B} \rangle = tr(AB^\dagger) \quad (42)$$

خواننده می تواند نشان دهد که این تعریف مستقل از پایه ای است که برای فضای برداری در نظر می گیریم.

### مثال هایی از تبدیلات خطی:

الف - در  $C^n$ ، هر تبدیل به صورت  $x \rightarrow x' = Ax$  که در آن  $A \in M_{n \times n}(C)$  یک تبدیل خطی تعریف می کند. بالعکس هر تبدیل خطی در  $C^n$  چیزی نیست جز ضرب یک ماتریس مربعی  $n \times n$  در یک بردار ستونی  $n$  بعدی.

ب - در  $M_{m \times n}(C)$ ، هر تبدیلی که  $x \in M_{m \times n}(C)$  را به صورت زیر تبدیل می کند

$$x \rightarrow x' = AxB^T, \quad (43)$$

که در آن  $A \in M_{m,m}(C)$  و  $B \in M_{n,n}(C)$  یک تبدیل خطی است. خواننده با الهام از مثال الف و اینکه هر ماتریس  $m \times n$  را می توان به صورت یک بردار  $mn$  بعدی در نظر گرفت می تواند ثابت کند که کلی ترین تبدیل خطی روی چنین فضایی عبارت است از جمعی از تبدیلات فوق. یعنی کلی ترین تبدیل روی ماتریس های  $M_{m \times n}(C)$  عبارت است از:

$$x \rightarrow x' := \sum_i A_i x B_i. \quad (44)$$

ج - در  $C^k[a, b]$ . با الهام از مثال الف می توانیم بگوییم که کلی ترین تبدیل خطی روی چنین فضایی، تبدیلی است که  $f \in C^k(a, b)$  را به صورت زیر تبدیل می کند:

$$f(x) \rightarrow f'(x) := \int_a^b K(x, y) f(y) \quad (45)$$

که در آن  $K(x, y)$  تابعی است که نسبت به هر دو مختصه خود  $k$  بار مشتق پذیر است. این تبدیل را یک تبدیل انتگرال و  $K(x, y)$  را هسته آن می خوانند. در بعضی از موارد می توان تبدیل خطی را به صورت یک عملگر دیفرانسیل نیز نوشت: به عنوان مثال در فضای  $C^\infty[a, b]$  یعنی فضای توابع بی نهایت مشتق پذیر تبدیلات از نوع

$$f(x) \rightarrow \frac{d^r}{dx^r} f(x) \quad \text{یا} \quad f(x) \rightarrow x^r f(x) \quad (46)$$

و هر ترکیب خطی از آنها یک عملگر خطی است مثل تبدیل زیر:

$$f(x) \longrightarrow \left(x^2 \frac{d^2}{dx^2} + \frac{d}{dx} + 1\right)f(x). \quad (47)$$

یکسانی دو فضای برداری دو فضای برداری  $V$  و  $W$  یکسان خوانده می شوند هرگاه بتوان بین آنها یک نگاشت خطی وارون پذیر تعریف کرد. به عنوان مثال فضای برداری ماتریس های  $m \times n$  با فضای برداری  $C^{mn}$  یکسان است. هم چنین فضای برداری چند جمله ای های مختلط مرتبه  $n$  با فضای  $C^n$  یکسان است. خواننده خود می تواند مثال های بیشتری از یکسانی بین فضاهای برداری پیدا کند.

## ۶ فضای کامل، باناخ و هیلبرت

دنباله کوشی: در یک فضای برداری دنباله ای از بردارها مثل  $\{x_1, x_2, \dots, x_n, \dots\}$  در نظر می گیریم. این دنباله یک دنباله کوشی نامیده می شود هرگاه فاصله بین بردارها به تدریج کم شود. به عبارت دقیقتر هرگاه به ازای هر  $\epsilon > 0$  عددی مثل  $N$  یافت شود به قسمی که

$$\forall m, n > N \longrightarrow |x_n - x_m| \leq \epsilon. \quad (48)$$

در یک فضای برداری حد یک دنباله کوشی لزوماً در خود فضا قرار ندارد. به عنوان مثال هرگاه میدان اعداد گویا را به عنوان یک فضای برداری روی خودش در نظر بگیریم دنباله  $\left\{\left(1 + \frac{1}{n}\right)^n\right\}$  اگرچه یک دنباله کوشی است، ولی حد آن در داخل میدان اعداد گویا قرار ندارد. با افزودن اعداد گنگ به اعداد گویا میدان اعداد حقیقی بدست می آید که کامل است یعنی حد دنباله های کوشی را در خود دارد.

فضای برداری کامل: یک فضای برداری را فضای برداری کامل می گوئیم هرگاه حد دنباله های کوشی را در خود داشته باشد.

فضای باناخ: یک فضای برداری نرم دار را که کامل باشد فضای باناخ می نامیم.

فضای هیلبرت: یک فضای ضرب داخلی را که کامل باشد فضای هیلبرت می نامیم. از آنجا که میدان اعداد حقیقی و مختلط کامل هستند، می توان ثابت کرد که هر فضای محدود بعدی که روی این میدان ها ساخته می شود نیز کامل بوده و بنابراین یک فضای هیلبرت است.

مثال: فضای توابع حقیقی  $C[-1, 1]$  را با ضرب داخلی استاندارد  $\langle f, g \rangle = \int_{-1}^2 f(x)g(x)dx$  در نظر می گیریم. در این فضا

دنباله توابع زیر را تعریف می کنیم:

$$f_n(x) := \begin{cases} 0 & x \leq -\frac{1}{n} \\ \frac{1}{2}(nx + 1) & -\frac{1}{n} \leq x \leq \frac{1}{n} \\ 1 & \frac{1}{n} \leq x \end{cases} \quad (49)$$

خواننده می تواند براحتی نشان دهد که این دنباله یک دنباله کوشی است. اما حد این دنباله تابع ناپیوسته پله است که در فضای  $C[-1, 1]$  قرار ندارد. بنابراین  $C[-1, 1]$  یک فضای هیلبرت نیست.

فضای  $L_w^2[a, b]$ : فضای توابع مختلط با ضرب داخلی  $\langle f, g \rangle = \int_a^b w(x) f^*(x) g(x) dx$  که در آن  $w$  یک تابع دلخواه مثبت است با شرط  $\|f\| < \infty$ ، فضای توابع انتگرال مجذور پذیر خوانده می شود. هیلبرت ثابت کرده است که این فضا کامل است و به همین مناسبت این فضا یک فضای هیلبرت نامیده می شود. اهمیت این نوع فضاها در استفاده وسیع آنها در مکانیک کوانتومی است. برای اثبات این قضیه و قضیه زیر، خواننده می بایست به کتاب های آنالیز یا آنالیز تابعی مراجعه کند.

قضیه: هر فضای هیلبرت که محدود بعد نباشد، با فضای  $L_w^2[a, b]$  یکسان است.

## ۷ مسئله ویژه مقدار

عمگنر  $\hat{T}: V \rightarrow V$  را در نظر می گیریم. مسئله ویژه مقدار عبارت است از یافتن بردارهای غیر صفری است که تحت اثر  $\hat{T}$  به ضربی از خود تبدیل شوند، یعنی

$$\hat{T}x = \lambda x \quad (50)$$

بردار  $x$  غیر صفر خواهد بود هرگاه ماتریس  $T - \lambda I$  وارون پذیر نباشد یعنی اینکه

$$\det(T - \lambda I) = 0. \quad (51)$$

این معادله یک معادله درجه  $N$  است که در حوزه اعداد مختلط حتماً  $N$  تا جواب دارد که آنها را با  $\{\lambda_i, i = 1, \dots, N\}$  نشان می دهیم و آن ها را ویژه مقدارهای تبدیل  $\hat{T}$  می گوئیم. این جواب ها لزوماً همه باهم متفاوت نیستند. بردار مربوط به  $\lambda_i$  را که در معادله  $\hat{T}v_i = \lambda_i v_i$  صدق می کند ویژه بردار مربوط به آن ویژه مقدار می گوئیم. هرگاه که یک ویژه مقدار مثل  $\lambda_i$ ،  $g_i$  بار تکرار شود گوئیم درجه واگنی آن  $g_i$  است.

هرگاه  $x$  و  $y$  ویژه بردار مربوط به  $\lambda$  باشند بدیهی است که هر ترکیب خطی آنها نیز ویژه بردار مربوط به  $\lambda$  است. بنابراین مجموعه بردارهای متعلق به یک ویژه مقدار تشکیل یک زیرفضای دهند که آن را ویژه فضای مربوط به آن ویژه مقدار می گویند.

## ۸ عملگرهای هرمیتی، یکانی و بهنجار

تعریف: در یک فضای ضرب داخلی، الحاقی یا *Adjoint* یک عملگر  $T$  عملگری مثل  $\hat{T}^\dagger$  است که در شرط زیر صدق کند:

$$\langle v, \hat{T}w \rangle = \langle \hat{T}^\dagger v, w \rangle \quad \forall v, w \in V. \quad (52)$$

با استفاده از این تعریف می توان براحتی خواص زیر را ثابت کرد.  
قضیه:

$$\begin{aligned} (\hat{A}^\dagger)^\dagger &= \hat{A} \\ (c\hat{A})^\dagger &= c^* \hat{A}^\dagger \\ (\hat{A} + \hat{B})^\dagger &= \hat{A}^\dagger + \hat{B}^\dagger \\ (\hat{A}\hat{B})^\dagger &= \hat{B}^\dagger \hat{A}^\dagger. \end{aligned} \quad (53)$$

اثبات: فقط رابطه آخر را ثابت می کنیم. اثبات بقیه روابط مشابه است. داریم

$$\langle x, \hat{A}\hat{B}y \rangle = \langle (\hat{A}\hat{B})^\dagger x, y \rangle \quad (54)$$

از طرفی

$$\langle x, \hat{A}\hat{B}y \rangle = \langle \hat{A}^\dagger, \hat{B}y \rangle = \langle \hat{B}^\dagger \hat{A}^\dagger x, y \rangle. \quad (55)$$

با مقایسه این دو رابطه بدست می آوریم

$$\langle [(\hat{A}\hat{B})^\dagger - \hat{B}^\dagger \hat{A}^\dagger]x, y \rangle = 0, \quad \forall x, y. \quad (56)$$

از آنجا که این رابطه برای هر بردار  $y$  درست است نتیجه می گیریم

$$[(\hat{A}\hat{B})^\dagger - \hat{B}^\dagger \hat{A}^\dagger]x = 0 \quad \forall x, \quad \longrightarrow \quad (\hat{A}\hat{B})^\dagger = \hat{B}^\dagger \hat{A}^\dagger. \quad (57)$$

تعریف: عملگر هرمیتی: در یک فضای ضرب داخلی عملگر هرمیتی به عملگری گفته می شود که در شرط  $\hat{T}^\dagger = \hat{T}$  صدق کند. عملگر پاد هرمیتی به عملگری گفته می شود که در شرط  $\hat{T}^\dagger = -\hat{T}$  صدق کند.

مثال: در فضای  $C^\infty[a, b]$  عملگر  $\hat{D} := \frac{\partial}{\partial x}$  را در نظر می گیریم. این عملگر در زیر فضایی که از توابع تناوبی تشکیل می شود (با شرط  $f(a) = f(b)$ ) پاد هرمیتی است. در نتیجه عملگر  $\hat{P} := -i\hat{D}$  در این زیرفضا هرمیتی خواهد بود. هم چنین این تابع در فضای هیلبرت  $L^2[-\infty, \infty]$  هرمیتی است.

عملگر یکانی: در یک فضای ضرب داخلی، عملگری یکانی  $\hat{U}$  به عملگری گفته می شود که ضرب داخلی بردارها را حفظ کند، یعنی

$$\langle \hat{U}v, \hat{U}w \rangle = \langle v, w \rangle. \quad (58)$$

چنین عملگری در شرط  $\hat{U}\hat{U}^\dagger = \hat{U}^\dagger\hat{U} = I$  صدق می کند. واضح است که یک عملگر یکانی را وقتی در یک پایه بهنجار نمایش دهیم متناظر با یک ماتریس یکانی خواهد بود.

قضیه: عملگری  $\hat{U}$  یکانی است اگر و فقط اگر اندازه همه بردارها را حفظ کند.

اثبات: اگر  $\hat{U}$  یکانی باشد با استفاده از 58 معلوم می شود که اندازه بردارها را حفظ می کند. حال فرض کنید که  $\hat{U}$  اندازه همه بردارها را حفظ کند. به ازای هر دو بردار دلخواه  $x, y$  می دانیم که

$$\|\hat{U}x\| = \|x\|, \quad \|\hat{U}y\| = \|y\|, \quad \|\hat{U}(x+y)\| = \|x+y\|, \quad \|\hat{U}(x+iy)\| = \|x+iy\|. \quad (59)$$

از این روابط نتیجه می گیریم که  $\langle \hat{U}x, \hat{U}y \rangle = \langle x, y \rangle$ .

تعریف: عملگر بهنجاریان نرمال: عملگر نرمال عملگری است که بالحقاقی خود جابجا شود. طبیعی است که یک عملگر هرمیتی ویکانی نرمال است.

خواننده می تواند ثابت کند که در یک پایه متعامد یکه، ماتریس مربوط به یک عملگر هرمیتی، یکانی یا بهنجار، یک ماتریس هرمیتی، یکانی یا بهنجار است.

قضیه: عملگر  $\hat{A}$  بهنجار است اگر و فقط اگر به ازای هر بردار  $x$  داشته باشیم

$$\|\hat{A}x\| = \|\hat{A}^\dagger x\|. \quad (60)$$

اثبات: اثبات جهت اول: اگر  $A$  بهنجار باشد داریم  $\hat{A}\hat{A}^\dagger = \hat{A}^\dagger\hat{A}$ . بنابراین

$$\langle \hat{A}x, \hat{A}x \rangle = \langle \hat{A}^\dagger \hat{A}x, x \rangle = \langle \hat{A}\hat{A}^\dagger x, x \rangle = \langle \hat{A}^\dagger x, \hat{A}^\dagger x \rangle. \quad (61)$$

اثبات جهت دوم: از تساوی (60) برای  $x, y, x+y$  و  $x, iy, x+iy$  که در آن  $x$  و  $y$  دوبردار دلخواه هستند نتیجه می گیریم

$$\langle \hat{A}x, \hat{A}y \rangle = \langle \hat{A}^\dagger x, \hat{A}^\dagger y \rangle, \quad \forall x, y. \quad (62)$$

در نتیجه

$$\langle \hat{A}^\dagger \hat{A}x, y \rangle = \langle \hat{A}\hat{A}^\dagger x, y \rangle, \quad (63)$$

و یا

$$\langle (\hat{A}^\dagger \hat{A} - \hat{A}\hat{A}^\dagger)x, y \rangle = 0. \quad (64)$$

چون  $x$  و  $y$  دلخواه هستند نتیجه می گیریم که  $\hat{A}^\dagger \hat{A} = \hat{A}\hat{A}^\dagger$  و بنابراین  $\hat{A}$  یک عملگر بهنجار است.

قضیه: فرض کنید که  $\hat{A}$  یک عملگر بهنجار است. در این صورت اگر  $\hat{A}x = \lambda x$  آنگاه  $\hat{A}^\dagger x = \lambda^* x$ .  
اثبات: اگر  $\hat{A}$  بهنجار باشد آنگاه  $\hat{A} - \lambda I$  نیز بهنجار است. حال از قضیه قبل استفاده می کنیم:

$$\|(\hat{A} - \lambda I)x\| = 0 \longrightarrow \|(\hat{A} - \lambda I)^\dagger x\| = 0 \longrightarrow \|(\hat{A}^\dagger - \lambda^* I)x\| = 0 \longrightarrow \hat{A}^\dagger x = \lambda^* x. \quad (65)$$

از این قضیه دو نتیجه ساده بدست می آید:

نتیجه اول: ویژه مقادیر یک عملگر هرمیتی حقیقی هستند.

نتیجه دوم: ویژه مقادیر یک عملگر یکانی فازخالص هستند.

قضیه: ویژه بردارهای یک عملگر نرمال که متناظرا ویژه مقدارهای متمایز هستند برهم عمودند.

اثبات: فرض کنیم  $\hat{A}x = \lambda x$  و  $\hat{A}y = \mu y$ . در این صورت

$$\langle x, \mu y \rangle = \langle x, \hat{A}y \rangle = \langle \hat{A}^\dagger x, y \rangle = \langle \lambda^* x, y \rangle, \quad (66)$$



وازانجا

$$\rightarrow (\mu - \lambda)\langle x, y \rangle = 0 \rightarrow \langle x, y \rangle = 0. \quad (67)$$

## ۹ تجزیه طیفی Spectral Decomposition

قضیه: در یک فضای برداری محدود بعد ویژه بردارهای یک عملگر بهنجاری یک پایه برای فضا تشکیل می دهند.

اثبات: عملگر نرمال  $\hat{A}$  را روی فضای  $n$  بعدی  $V$  در نظر می گیریم. می دانیم که هر عملگر حتماً یک ویژه مقدار و یک ویژه بردار دارد. این ویژه مقدار و ویژه بردار مربوطه را با  $\lambda_1$  و  $e_1$  نشان می دهیم:

$$\hat{A}e_1 = \lambda_1 e_1. \quad (68)$$

پایه ای برای فضا انتخاب می کنیم که  $e_1$  اولین عضو آن باشد. در این صورت ماتریس عملگر  $A$  به شکل زیر درمی آید:

$$A = \begin{pmatrix} \lambda_1 & b_{n-1} \\ 0 & A_{n-1} \end{pmatrix} \quad (69)$$

که در آن  $A_{n-1}$  یک ماتریس  $n-1$  بعدی و  $b_{n-1}$  یک بردار سطر  $n-1$  بعدی است. اما از قضیه های قبل می دانیم که اگر  $Ae_1 = \lambda_1 e_1$  آنگاه  $A^\dagger e_1 = \lambda_1^* e_1$ . در این جا از بهنجاری بودن عملگر  $A$  استفاده کرده ایم. بنابراین ماتریس  $A^\dagger$  نیز می بایست به فرم بالا مثلثی باشد و در نتیجه می بایست  $b_{n-1} = 0$ . پس  $A$  به شکل بلوکه قطری زیر درمی آید:

$$A = \begin{pmatrix} \lambda_1 & 0 \\ 0 & A_{n-1} \end{pmatrix}. \quad (70)$$

(یک راه ساده تر آن است که مستقیماً از تساوی  $AA^\dagger = A^\dagger A$  استفاده کنیم.) حال  $A_{n-1}$  به نوبه خود یک عملگر نرمال است و حداقل یک ویژه مقدار و یک ویژه بردار دارد. همین استدلال را در مورد آن تکرار می کنیم و می بینیم که در پایه ای که اولین و دومین عنصر آن  $e_1$  و  $e_2$  هستند ماتریس عملگر  $A$  به شکل زیر درمی آید:

$$A = \begin{pmatrix} \lambda_1 & 0 & 0 \\ 0 & \lambda_2 & 0 \\ 0 & 0 & A_{n-2} \end{pmatrix}. \quad (71)$$

با تکرار این عمل می بینیم که در پایه ویژه بردارهای  $A$  یعنی پایه  $\{e_1, e_2, \dots, e_n\}$ ،  $A$  به طور کامل قطری می شود.

این موضوع برای عملگرهای ماتریس های نابهنجار صادق نیست. به عنوان مثال، ماتریس زیر را در نظر می گیریم

$$B = \begin{pmatrix} 1 & c \\ 0 & 1 \end{pmatrix}, \quad c \neq 0. \quad (72)$$

ویژه مقدارهای این ماتریس هردو برابر یک هستند. اما تنها یک ویژه بردار برای این ماتریس وجود دارد که به شکل  $\begin{pmatrix} 1 \\ 0 \end{pmatrix}$  است. بنابراین ویژه بردارهای این ماتریس نمی توانند یک پایه برای فضا تشکیل دهند.

## ۱.۹ قطری کردن

دیدیم که یک عملگر نرمال در پایه ویژه بردارهای خود قطری است. این امر به این معناست که یک تبدیل یکانی وجود دارد که ماتریس عملگر  $A$  را قطری می کند. برای پیدا کردن فرم صریح این تبدیل یکانی به ترتیب زیر عمل می کنیم. ویژه مقدارها و ویژه بردارهای  $A$  را پیدا می کنیم:

$$Ae_i = \lambda_i e_i, \quad i = 1, \dots, n. \quad (73)$$

می دانیم که ویژه بردارهای متناظر با ویژه مقدارهای متمایز برهم عمود هستند. ویژه بردارهای مربوط به یک ویژه مقدارواگن را نیز با روش گرام اشمیت برهم عمود می کنیم. در نتیجه این ویژه بردارها در شرایط  $\langle e_i, e_j \rangle = \delta_{ij}$  صدق می کنند. اگر  $e_i$  ها را به صورت بردارهای ستونی در نظر بگیریم،  $e_i^\dagger$  ها به صورت بردارهای سطری در خواهند آمد و رابطه بهنجار بودن آنها به شکل زیر بیان می شود  $e_i^\dagger e_j = \delta_{ij}$ . حال ماتریس  $S$  را به شکل زیر می نویسیم:

$$S = ( e_1 \quad e_2 \quad \dots \quad e_n ) \quad (74)$$

که در آن  $e_i$  ها به عنوان بردارهای ستونی در  $S$  قرار گرفته اند. در نتیجه خواهیم داشت

$$S^\dagger = \begin{pmatrix} e_1^\dagger \\ e_2^\dagger \\ \vdots \\ e_n^\dagger \end{pmatrix}. \quad (75)$$

بدلیل شرط  $e_i^\dagger e_j = \delta_{ij}$  نتیجه می گیریم که

$$S^\dagger S = \begin{pmatrix} e_1^\dagger \\ e_2^\dagger \\ \vdots \\ e_n^\dagger \end{pmatrix} ( e_1 \quad e_2 \quad \dots \quad e_n ) = I, \quad (76)$$

یعنی  $S$  یکانی است.

از آنجا که  $Ae_i = \lambda_i e_i$ ، بدست می آوریم

$$AS = A ( e_1 \ e_2 \ \cdots \ e_n ) = ( \lambda_1 e_1 \ \lambda_2 e_2 \ \cdots \ \lambda_n e_n ) \quad (77)$$

و در نتیجه

$$S^\dagger AS = \begin{pmatrix} \lambda_1 & 0 & \cdots & 0 \\ 0 & \lambda_2 & \cdots & 0 \\ 0 & 0 & \cdots & 0 \\ 0 & 0 & \cdots & \lambda_n \end{pmatrix}. \quad (78)$$

بنابراین  $A$  بایک تبدیل یکانی قطری شده است. به مجموعه ویژه بردارها و ویژه مقادیرهای یک عملگر نرمال اصطلاحاً طیف یا *spectrum* آن عملگر می گویند. به همین جهت است که قطری کردن یک عملگر تجزیه طیفی نیز نامیده می شود.

**قضیه:** دو عملگر نرمال  $A$  و  $B$  بایکدیگر جابجایی شوند اگر و فقط اگر بتوان برای آنها یک مجموعه کامل از ویژه بردارهای مشترک یافت.

این قضیه را به شکل دیگری نیز می توان بیان کرد و آن اینکه اگر دو عملگر نرمال بایکدیگر جابجاشوند حتماً می توان پایه ای یافت که در آن هر دو عملگر قطری باشند. باید تاکید کنیم که این خاصیت برای هر پایه دلخواهی برقرار نیست و قضیه تنهایی گوید که می توان پایه ای یافت که در آن این خاصیت برقرار باشد.

این قضیه هم از نظر مفهومی و هم از نظر کاربردی اهمیت زیادی در مکانیک کوانتومی دارد و خواننده می بایست به دقت اثبات آنرا فرا بگیرد.

اثبات: فرض کنیم که  $A$  و  $B$  دو عملگر باشند که یک مجموعه ویژه بردار مشترک مثل  $\{e_1, e_2, \dots, e_N\}$  داشته باشند. از آنجا که این دو عملگر هرمیتی هستند این مجموعه را می توان به عنوان پایه فضا انتخاب کرد. در این پایه داریم

$$Ae_i = \lambda_i e_i, \quad Be_i = \mu_i e_i \quad (79)$$

که از آن نتیجه می گیریم

$$ABe_i = BAe_i \longrightarrow AB = BA \longrightarrow [A, B] = 0. \quad (80)$$

برعکس فرض کنیم که  $[A, B] = 0$ .

ویژه بردارهای عملگر  $A$  را پیدا می کنیم. واگنی ویژه مقدار  $\lambda_i$  را  $g_i$  می نامیم. در پایه ویژه بردارهایش،  $A$  شکل زیر را پیدامی کند.

$$A = \begin{pmatrix} \lambda_1 I_{g_1 \times g_1} & & \\ & \ddots & \\ & & \lambda_k I_{g_k \times g_k} \end{pmatrix} \quad (81)$$

حال به ترتیب زیر عمل می‌کنیم: به ازای هر  $e_i$

$$A(Be_i) = B(Ae_i) = B(\lambda_i e_i) = \lambda_i(Be_i), \quad (82)$$

که در آن از جابجاشدن  $A$  و  $B$  استفاده کرده ایم. رابطه فوق نشان می‌دهد که بردار  $Be_i$  نیز یک ویژه بردار عملگر  $A$  با ویژه مقدار  $\lambda_i$  است. بنابراین  $Be_i$  نیز برحسب بردارهای پایه ویژه فضای  $\lambda_i$  قابل بسط است. این امر به این معناست که در این پایه (همان پایه ای که  $A$  در آن قطری است) عملگر  $B$  به شکل زیر است:

$$B = \begin{pmatrix} B_{1g_1 \times g_1} & & \\ & \ddots & \\ & & B_{kg_k \times g_k} \end{pmatrix}. \quad (83)$$

به عبارت دیگر در پایه فوق عملگر  $A$  قطری و عملگر  $B$  بلوکه قطری شده است. حال می‌توان با تبدیل

$$S = \begin{pmatrix} S_{1g_1 \times g_1} & & \\ & \ddots & \\ & & S_{kg_k \times g_k} \end{pmatrix}. \quad (84)$$

که در آن  $S_i$  قطری کننده ماتریس  $B_i$  است کل ماتریس  $B$  را قطری کرد. این تبدیل قطری بودن  $A$  را دست نمی‌زند زیرا  $S_i I_i S_i^\dagger = I_i$ . پایه جدید پایه ای است که در آن هر دو عملگر قطری هستند.

## ۲.۹ نمادگذاری دیراک

یک فضای برداری  $N$ -بعدی با پایه بهنجار  $\{e_1, e_2, \dots, e_N\}$  در نظر می‌گیریم. هر بردار  $v \in V$  بسطی از بردارهای پایه به شکل زیر است:

$$v = \sum_{i=1}^N v_i e_i \quad (85)$$

ضرب داخلی این بردار درخودش به صورت زیرنوشته می شود:

$$\langle v, v \rangle = \sum_{i=1}^N v_i^* v_i. \quad (86)$$

می توان به ازای هرچنین برداری یک بردارسطری بانماد  $|v\rangle$  و یک بردارستونی بانماد  $\langle v|$  به شکل زیرتعریف کرد:

$$|v\rangle = \begin{pmatrix} v_1 \\ v_2 \\ \vdots \\ v_N \end{pmatrix} \quad (87)$$

و

$$\langle v| = (v_1^*, v_2^*, \dots, v_N^*). \quad (88)$$

بردار  $|v\rangle$  را یک بردار *ket* و بردار  $\langle v|$  را یک بردار *Bra* نام می نهیم. حال به این نکته توجه می کنیم که این دو بردار را می توانیم دریکدیگر ضرب کنیم:

$$\langle v|v\rangle = \sum_{i=1}^N v_i^* v_i = \langle v, v \rangle. \quad (89)$$

طرف راست یک ضرب داخلی است ولی طرف چپ ضرب دو ماتریس است. خوبی نمادگذاری دیراک آن است که انواع عملیاتی را که مامی خواهیم روی بردارها انجام دهیم به عملیاتی از نوع ضرب ماتریس هاتقلیل می دهد.

بردارهای پایه  $e_1, \dots, e_N$  نیز نمایش کت و برای زیر را پیدامی کنند:

$$|1\rangle = \begin{pmatrix} 1 \\ 0 \\ \vdots \\ 0 \end{pmatrix} \quad |2\rangle = \begin{pmatrix} 0 \\ 1 \\ \vdots \\ 0 \end{pmatrix} \quad |N\rangle = \begin{pmatrix} 0 \\ 0 \\ \vdots \\ 1 \end{pmatrix} \quad (90)$$

$$\langle 1| = (1 \ 0 \ 0 \ \dots \ 0) \quad \langle 2| = (0 \ 1 \ 0 \ \dots \ 0) \quad \langle N| = (0 \ 0 \ 0 \ \dots \ 1). \quad (91)$$

بنابراین داریم :

$$|v\rangle := \sum_{i=1}^n v_i |i\rangle. \quad (92)$$

$$\langle v | := \sum_{i=1}^n v_i^* \langle i |. \quad (93)$$

از این به بعد تمام بردارها را به صورت کت و برا نمایش می دهیم و از نوشتن بردارها به صورت  $v = \sum_{i=1}^n e_i$  صرف نظر می کنیم. می توان یک بردار برا مثل  $\langle v |$  و یک بردار کت مثل  $|w\rangle$  را به صورت درهم ضرب کرد و یک عدد بدست آورد که به آن براکت می گوئیم

$$\langle v | w \rangle := \sum_{i=1}^n v_i^* w_i, \quad (94)$$

که در واقع همان ضرب داخلی بین دو بردار  $w$  و  $v$  است. این براکت دارای خاصیت های زیر است:

$$\begin{aligned} \langle v | w + w' \rangle &= \langle v | w \rangle + \langle v | w' \rangle \\ \langle v | cw \rangle &= c \langle v | w \rangle \\ \langle cv | w \rangle &= c^* \langle v | w \rangle \\ \langle v | v \rangle &\geq 0 \\ \langle v | v \rangle &= 0 \longrightarrow |v\rangle = \langle v| = 0 \end{aligned} \quad (95)$$

براحتی می توان دید که:

$$|v\rangle = \sum_{i=1}^N v_i |i\rangle, \langle i | v \rangle = v_i. \quad (96)$$

می توان یک بردار کت مثل  $|v\rangle$  و یک بردار برا مثل  $\langle w|$  را به صورت درهم ضرب کرد و یک ماتریس بدست آورد:

$$|v\rangle \langle w| := \begin{pmatrix} v_1 w_1^* & v_1 w_2^* & v_1 w_3^* & \cdots & v_1 w_n^* \\ v_2 w_1^* & v_2 w_2^* & v_2 w_3^* & \cdots & v_2 w_n^* \\ v_3 w_1^* & v_3 w_2^* & v_3 w_3^* & \cdots & v_3 w_n^* \\ \vdots & \vdots & \vdots & \ddots & \vdots \\ v_n w_1^* & v_n w_2^* & v_n w_3^* & \cdots & v_n w_n^* \end{pmatrix} \quad (97)$$

واضح است که :

$$\begin{aligned} |v\rangle \langle w + w'| &= |v\rangle \langle w| + |v\rangle \langle w'| \\ |v\rangle \langle cw| &= c^* |v\rangle \langle w| \\ |cv\rangle \langle w| &= c |v\rangle \langle w|. \end{aligned} \quad (98)$$

مهمترین روابطی که در مورد بردارهای کت و برا می بایست به یاد داشته باشیم و دائماً از آنها استفاده کنیم روابط زیر است:

$$\begin{aligned} \langle i|j\rangle &= \delta_{ij} \\ \sum_i |i\rangle\langle i| &= I \end{aligned} \quad (99)$$

نمایش دیراک این حسن بسیار مهم را دارد که بسیاری از روابط دیگر نظیر آنچه را که در بخش های پیشین دیدیم به استفاده ساده ای از این دو رابطه تقلیل پیدا می کنند. به عنوان مثال می توانیم بنویسیم:

$$\begin{aligned} |v\rangle &= I|v\rangle = \sum_{i=1}^N |i\rangle\langle i|v\rangle = \sum_{i=1}^N v_i|i\rangle, \\ T &= \sum_j |j\rangle\langle j|T \sum_i |i\rangle\langle i| = \sum_{i,j} T_{ji}|j\rangle\langle i|, \\ \langle i|AB|j\rangle &= \sum_k \langle i|A|k\rangle\langle k|B|j\rangle \end{aligned} \quad (100)$$

رابطه اول بسط یک بردار بر حسب بردارهای پایه را بیان می کند، رابطه دوم بسط یک عملگر را بر حسب عملگرهای پایه  $|i\rangle\langle j|$  بیان می کند و بالاخره رابطه آخر در واقع بیان می کند که ماتریس حاصل ضرب دو تبدیل خطی برابر است با حاصل ضرب ماتریس های آن دو تبدیل خطی.

هرگاه پایه فضای برداری را عوض کنیم مولفه های یک بردار عوض می شوند. نحوه عوض شدن به ترتیب زیر است:

$$v'_i := \langle i'|v\rangle = \sum_{j=1}^n \langle i'|j\rangle\langle j|v\rangle \longrightarrow v'_i = \sum_{j=1}^n S_{ij}v_j \quad (101)$$

یا به صورت ماتریسی :

$$v' := Sv \quad (102)$$

که در آن ماتریس مربعی  $S$  با درایه های  $S_{ij} := \langle i'|j\rangle$  ماتریس تبدیل پایه است.

هم چنین تحت تغییر پایه درایه های یک تبدیل خطی نیز عوض می شوند. به شکل زیر:

$$\langle i'|T|j'\rangle = \sum_{i,j} \langle i'|i\rangle\langle i|T|j\rangle\langle j|j'\rangle \longrightarrow T' := STS^{-1}. \quad (103)$$

## ۱۰ نگاشت بین فضای کت ها و فضای براها

بین فضای کت ها و فضای براها می توان نگاشتی به شکل زیر تعریف کرد:

$$\dagger : |v\rangle \longrightarrow \langle v|, \quad \dagger : \langle v| \longrightarrow |v\rangle. \quad (104)$$

براحتی دیده می شود که این نگاشت که نگاشت الحاقی نامیده می شود خواص زیر را دارد:

$$\begin{aligned} |cv\rangle^\dagger &= c^* \langle v| \\ |v+w\rangle^\dagger &= \langle v+w| \\ (|v\rangle^\dagger)^\dagger &= |v\rangle \end{aligned} \quad (105)$$

با توجه به اینکه عملگر الحاقی هم روی کت ها و هم روی براها اثر می کند می توان آن را روی تبدیل های خطی نیز اعمال کرد به این معنا که:

$$\dagger(A) = \dagger \left( \sum_{i,j} A_{ij} |i\rangle \langle j| \right) = \sum_{i,j} A_{ij}^* |j\rangle \langle i| \quad (106)$$

در نتیجه هرگاه به عملگرها به شکل ماتریس نگاه کنیم خواهیم داشت :

$$A^\dagger = (A^*)^T \quad (107)$$

که در آن نماد  $T$  به معنای ترانپوز ماتریس است.

با استفاده از این تعریف می توان براحتی نشان داد که :

$$|w\rangle = T|v\rangle \longrightarrow \langle w| = \langle v|T^\dagger \quad (108)$$

و با استفاده از رابطه اخیر می توان صحت روابط زیر را در مورد عملگرها و الحاقی آنها تحقیق کرد:

$$\begin{aligned} (AB)^\dagger &= B^\dagger A^\dagger, \\ (cA)^\dagger &= c^* A^\dagger, \\ ((A)^\dagger)^\dagger &= A \\ (A+B)^\dagger &= A^\dagger + B^\dagger. \end{aligned} \quad (109)$$

### عملگرهای تصویرگر:

فضای برداری  $V$  و یک زیرفضای آن مثل  $W$  در نظر می گیریم. برای یک پایه مثل  $\{|i\rangle, i=1, \dots, m\}$  در نظر می گیریم. در این صورت عملگر

$$P_W := \sum_{i=1}^m |i\rangle \langle i| \quad (110)$$



عملگر تصویر روی  $V$  خوانده می شود. این عملگر بردارهای فضا را بروی  $W$  تصویر می کند. این عملگر هرمیتی است و در شرط  $P^2 = P$  صدق می کند.

تجزیه طیفی و عملگرهای تصویری فرض کنید که  $A$  یک عملگر بهنجار باشد. اگر  $a_1$  یک ویژه مقدار این عملگر با درجه واگنی  $K$  باشد، و ویژه بردارهای متعامد و یکدیگر متناظر با این عملگر را با  $|e_1^{(1)}\rangle, |e_1^{(2)}\rangle, \dots, |e_1^{(K)}\rangle$  نشان دهیم در این صورت ویژه فضای مربوط به  $a_1$  با بردارهای یکدیگر متعامد فوق جاروب می شود و عملگر

$$P_1 = \sum_{i=1}^K |e_1^{(i)}\rangle \langle e_1^{(i)}|, \quad (111)$$

عملگر تصویر روی این ویژه فضا است. خواننده براحتی می تواند نشان دهد که عملگر  $A$  به طور کامل چنین نوشته می شود:

$$A = \sum_m a_m P_m, \quad (112)$$

که در آن جمع روی تمام ویژه مقدارهای عملگر  $A$  است.

### توابع عملگرهای نرمال:

در مکانیک کوانتومی اغلب نیاز داریم که توابعی از عملگرهای هرمیتی را تعریف کنیم. فرض کنید که  $T$  یک عملگر دلخواه و  $f: C \rightarrow C$  تابعی با بسط زیر باشد:

$$f(x) = \sum_{n=0}^{\infty} f_n x^n \quad (113)$$

در این صورت تابع  $f(T)$  نیز با همین بسط تعریف می شود.

$$f(T) := \sum_{n=0}^{\infty} f_n T^n. \quad (114)$$

از آنجا که عملگر  $T$  نرمال و در نتیجه قطری پذیر است می توان نوشت  $T = \Omega D \Omega^{-1}$  که در آن  $D$  قطری شده  $T$  و  $\Omega$  ماتریس قطری کننده  $T$  است. هرگاه به این نکته توجه کنیم که  $T^n = \Omega D^n \Omega^{-1}$  آنگاه رابطه بالا به شکل زیر درمی آید:

$$f(T) = \sum_{n=0}^{\infty} f_n \Omega D^n \Omega^{-1} = \Omega \sum_{n=0}^{\infty} f_n D^n \Omega^{-1} = \Omega f(D) \Omega^{-1}, \quad (115)$$

که در آن

$$f(D) := \sum_{n=0}^{\infty} f_n D^n. \quad (116)$$

دقت کنید که ماتریس  $f(D)$  براحتی محاسبه می شود. فرض کنید که  $T$  یک ماتریس  $N$  بعدی با مقادیر ویژه  $\lambda_1, \dots, \lambda_N$  باشد. در این صورت

$$D = \begin{pmatrix} \lambda_1 & & & & \\ & \lambda_2 & & & \\ & & \ddots & & \\ & & & \ddots & \\ & & & & \lambda_N \end{pmatrix} \quad (117)$$

و با توجه به تعریف 116

$$f(D) = \begin{pmatrix} f(\lambda_1) & & & & \\ & f(\lambda_2) & & & \\ & & \ddots & & \\ & & & \ddots & \\ & & & & f(\lambda_N) \end{pmatrix}. \quad (118)$$

رابطه 115 در واقع تعریف کلی تری از تابع یک عملگر بدست می دهد که برای وقتی که تابع بسط تایلور نیز ندارد بکار می رود. این تعریف عبارت است از:

$$f(T) = \Omega f(D) \Omega^{-1}. \quad (119)$$

## ۱۱ ضرب تانسوری فضاهای برداری

برای سادگی در این درس ضرب تانسوری دو فضای برداری را به طور مجرد و مستقل از پایه تعریف نمی کنیم. برای چنین تعریفی خواننده می تواند به هر کتاب جبرخطی مراجعه کند.

هرگاه  $(A)_{m \times n}$  و  $(B)_{p \times q}$  دو ماتریس با ابعاد داده شده باشند می توان ضرب تانسوری آنها را که ماتریسی با ابعاد  $(mp \times nq)$  است به شکل زیر تعریف کرد:

$$(A \otimes B)_{ij,kl} := A_{ik} B_{jl} \quad (120)$$

به لحاظ عملی ضرب این دو ماتریس به شکل زیر محاسبه می شود:

$$A \otimes B := \begin{pmatrix} a_{11}B & a_{12}B & \cdots & a_{1n}B \\ a_{21}B & a_{22}B & \cdots & a_{2n}B \\ \cdots & \cdots & \cdots & \cdots \\ a_{m1}B & a_{m2}B & \cdots & a_{mn}B \end{pmatrix} \quad (121)$$

این ضرب دارای خواص زیراست که خواننده می تواند با استفاده از تعریف صحت آنها را تحقیق کند:

$$\begin{aligned}
 A \otimes (B + C) &= A \otimes B + A \otimes C \\
 A \otimes (\alpha B) &= (\alpha A) \otimes B = \alpha(A \otimes B) \\
 (A \otimes B) \otimes C &= A \otimes (B \otimes C) \\
 (A \otimes B)(C \otimes D) &= AC \otimes BD \\
 (A \otimes B)^\dagger &= A^\dagger \otimes B^\dagger
 \end{aligned} \tag{122}$$

حال اگر فضای برداری  $V$  با بردارهای پایه  $\{|i\rangle, i = 1, \dots, n\}$  و فضای برداری  $W$  با بردارهای پایه  $\{|j\rangle, j = 1 \dots m\}$  را در نظر بگیریم. می توان ضرب تانسوری بردارهای پایه را مطابق با تعریف بالا بدست آوریم. به این ترتیب  $mn$  بردار پایه به شکل  $|i\rangle \otimes |j\rangle$  بدست می آوریم که آنها را به اختصار با  $|i, j\rangle$  نمایش می دهیم:

$$|i, j\rangle := |i\rangle \otimes |j\rangle \quad i = 1 \dots m, j = 1 \dots n. \tag{123}$$

ضرب داخلی این بردارها را به صورت زیر تعریف می کنیم:

$$\langle i, j | k, l \rangle = \langle i | k \rangle \langle j | l \rangle. \tag{124}$$

بنابراین اگر بردارهای پایه فضاهای اولیه متعامد یک باشند، بردارهای پایه فضای ضرب تانسوری نیز متعامد یک خواهند بود، یعنی

$$\langle i, j | k, l \rangle = \delta_{i,k} \delta_{j,l}. \tag{125}$$

این بردارهای جدید یک فضای  $mn$  بعدی را جاروب می کنند که آن را ضرب تانسوری فضاهای  $V$  و  $W$  می خوانیم. درحقیقت داریم:

$$V \otimes W := \text{Span}\{|i, j\rangle\}. \tag{126}$$

مثال: هرگاه  $V$  یک فضای برداری با پایه

$$\{|0\rangle = \begin{pmatrix} 1 \\ 0 \end{pmatrix}, |1\rangle = \begin{pmatrix} 0 \\ 1 \end{pmatrix}\}$$

باشد آنگاه  $V \otimes V$  یک فضای برداری ۴ بعدی با پایه های زیراست:

$$|0, 0\rangle := \begin{pmatrix} 1 \\ 0 \\ 0 \\ 0 \end{pmatrix} \quad |0, 1\rangle := \begin{pmatrix} 0 \\ 1 \\ 0 \\ 0 \end{pmatrix} \quad |1, 0\rangle := \begin{pmatrix} 0 \\ 0 \\ 1 \\ 0 \end{pmatrix} \quad |1, 1\rangle := \begin{pmatrix} 0 \\ 0 \\ 0 \\ 1 \end{pmatrix} \tag{127}$$

به ازای هر دو بردار  $|v\rangle$  و  $|w\rangle$  می توان برداری در فضای  $V \otimes W$  به شکل زیر تعریف کرد:

$$|v\rangle \otimes |w\rangle := v_i w_j |i, j\rangle \quad (128)$$

این بردار را ضرب تانسوری بردارهای  $|v\rangle$  و  $|w\rangle$  می گوئیم. این ضرب به طور بدیهی از همان خواصی پیروی می کند که ضرب ماتریسی، یعنی

$$\begin{aligned} |v\rangle \otimes (|w\rangle + |z\rangle) &= |v\rangle \otimes |w\rangle + |v\rangle \otimes |z\rangle \\ |v\rangle \otimes (\alpha|w\rangle) &= (\alpha|v\rangle) \otimes |w\rangle = \alpha(|v\rangle \otimes |w\rangle) \\ (|v\rangle \otimes |w\rangle) \otimes |z\rangle &= |v\rangle \otimes (|w\rangle \otimes |z\rangle) \\ (|v\rangle \otimes |w\rangle)^\dagger &= \langle v| \otimes \langle w|. \end{aligned} \quad (129)$$

یک بردار دلخواه در فضای  $V \otimes W$  را الزاما نمی توان به صورت  $|v\rangle \otimes |w\rangle$  نوشت مثل بردار زیر

$$|\psi\rangle := |0, 0\rangle + |1, 1\rangle \quad (130)$$

که خواننده خود می تواند این امر را نشان دهد. چنین بردارهایی را درهم تنیده می گوئیم. یکی از مسائل مهم در نظریه اطلاعات کوانتومی و در مکانیک کوانتومی که دامنه آن به ریاضیات خالص نیز کشیده شده است مطالعه این حالت های درهم تنیده است.

هرگاه  $A : V \rightarrow V$  و  $B : W \rightarrow W$  دو عملگر خطی باشند می توان اثر آنها را به شکل زیر روی بردارهای پایه تعریف کرد:

$$(A \otimes B)(|i, j\rangle) := (A|i\rangle) \otimes (B|j\rangle). \quad (131)$$

برای تعیین عناصر ماتریسی این عملگر به طریق معمول عمل می کنیم:

$$(A \otimes B)_{kl, ij} := \langle k, l|A \otimes B|i, j\rangle = \langle k|A|i\rangle \langle l|B|j\rangle = A_{ki} B_{lj} \quad (132)$$

که نشان می دهد ماتریس ضرب تانسوری عملگرها از ضرب تانسوری ماتریس های دو عملگر بدست می آید.

## ۱۲ تابع دلتای دیراک

تابع پیوسته زیر را در نظری می گیریم که در آن  $0 < \epsilon \ll 1$ .

$$\delta_\epsilon(x) := \begin{cases} 0 & x \leq -\epsilon \\ \frac{1}{2\epsilon} & -\epsilon \leq x \leq \epsilon \\ 0 & \epsilon \leq x \end{cases} \quad (133)$$

این تابع دارای خاصیت های زیر است:  
الف:

$$\int_{-\infty}^{\infty} \delta_\epsilon(x) dx = 1, \quad (134)$$

ب: برای هر تابعی که در فاصله  $(-\epsilon, \epsilon)$  متناهی باشد،

$$\int_{-\infty}^{\infty} \delta_\epsilon(x) f(x) dx = f(0) + O(\epsilon) \quad (135)$$

که در آن  $O(\epsilon)$  کمیتی از مرتبه  $\epsilon$  است.

حد تابع  $\delta_\epsilon(x)$  را وقتی که  $\epsilon \rightarrow 0$  با تابع  $\delta(x)$  نشان می دهیم و قرار می دهیم

$$\delta(x) := \lim_{\epsilon \rightarrow 0} \delta_\epsilon(x). \quad (136)$$

و آن را تابع دلتای دیراک می نامیم. به خودی خود  $\delta(x)$  یک تابع نیست بلکه می توان به آن به عنوان یک عملگر نگاه کرد که تنها در زیر یک انتگرال معنادار دارد. در نتیجه خواهیم داشت:

$$\int_{-\infty}^{\infty} \delta(x) dx = 1, \quad \int_{-\infty}^{\infty} \delta(x) f(x) dx = f(0). \quad (137)$$

می توان تابع  $\delta(x - b)$  را به طور مشابه تعریف کرد. این تابع دارای خاصیت های زیر است:

$$\int_{-\infty}^{\infty} \delta(x - b) dx = 1, \quad \int_{-\infty}^{\infty} \delta(x - b) f(x) dx = f(b), \quad (138)$$

تابع دلتای دیراک را می توان به عنوان حد دنباله های دیگری از توابع نیز گرفت. در زیر چند تا از این دنباله ها را معرفی می کنیم.

دنباله اول : قراری دهیم

$$g_{\sigma}(x) := \frac{1}{\sigma\sqrt{2\pi}} e^{-\frac{x^2}{2\sigma^2}}, \quad (139)$$

که نشان دهنده تابعی گاوسی با پهنای  $\sigma$  و ماکزیمم  $\frac{1}{\sigma\sqrt{2\pi}}$  در نقطه  $x = 0$  است. سطح زیرمنحنی آن نیز برابر است با ۱. در اینجا داریم

$$\delta(x) := \lim_{\sigma \rightarrow 0} g_{\sigma}(x). \quad (140)$$

دنباله دوم: قراری دهیم

$$\delta_T(x) := \frac{1}{2\pi} \int_{-T}^T e^{ix} dt = \frac{\sin Tx}{\pi x}. \quad (141)$$

داریم

$$\int_{-\infty}^{\infty} D_T(x) dx = \int_{-\infty}^{\infty} D_T(x) dx = \int_{-\infty}^{\infty} \frac{\sin y}{y} dy = 1. \quad (142)$$

برای این دنباله داریم

$$\delta(x) := \lim_{T \rightarrow \infty} D_T(x). \quad (143)$$

و از آنجا به رابطه بسیار مهم زیر می رسیم:

$$\delta(x) := \frac{1}{2\pi} \int_{-\infty}^{\infty} e^{ixt} dt. \quad (144)$$

بعضی دیگر از خواص تابع دلتا به شرح زیر هستند:

$$\begin{aligned} \delta(x - x') &= \delta(x' - x) \\ \int \delta'(x - x') f(x') dx' &= -\frac{df}{dx}(x). \end{aligned} \quad (145)$$

### ۱۳ توابع دلنا به عنوان پایه ای برای فضای توابع

در این قسمت می خواهیم نشان دهیم که توابع دلتا نامی توان به عنوان یک پایه برای فضای توابع در نظر گرفت. فضای توابع  $F[0, 1]$  را در نظر می گیریم. هیچ نوع فرض بخصوصی درباره این توابع نظیر پیوستگی یا مشتق پذیری نمی کنیم. این فضایی بی نهایت بعدی است. حال به ازای هر عدد بزرگ  $N$  برای این فضا یک پایه در نظر می گیریم که با تقریب خوبی می تواند فضای توابع را جاروب کند. سپس حد  $N \rightarrow \infty$  را در نظر می گیریم که در آن توابع فضا با دقت توسط پایه تعریف شده نمایش داده می شوند. فاصله  $[0, 1]$  را به  $N$  قسمت تقسیم می کنیم. به این ترتیب داریم

$$[0, 1] = \Delta_1 \cup \Delta_2 \cup \dots \cup \Delta_N \quad (146)$$

که در آن

$$\Delta_n := \left[ \frac{n-1}{N}, \frac{n}{N} \right] \quad (147)$$

توابع زیر را تعریف می کنیم:

$$e_n(x) := \begin{cases} N & x \in \Delta_n \\ 0 & x \notin \Delta_n \end{cases} \quad (148)$$

سطح زیر این توابع مساوی بایک است. این توابع بر یکدیگر عمودند اما بهنجار نیستند:

$$\langle e_n, e_m \rangle \equiv \int_0^1 e_n^*(x) e_m(x) dx = N \delta_{m,n}. \quad (149)$$

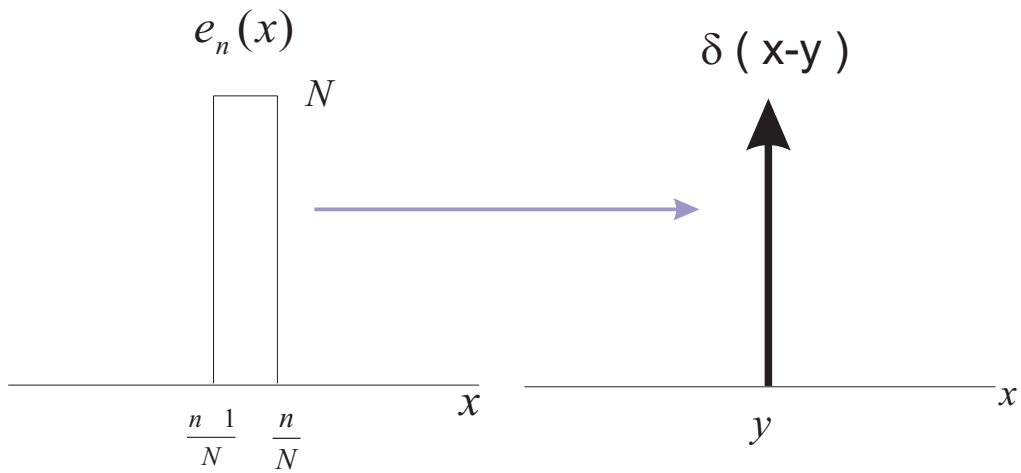
هم چنین این خاصیت را دارند که به ازای هر تابع  $f \in F[0, 1]$  داریم:

$$\langle e_n, f \rangle \equiv \int_0^1 e_n^*(x) f(x) dx = N \int_{x \in \Delta_n} f(x) dx =: N \left( \frac{1}{N} f(x_n) \right) = f(x_n), \quad (150)$$

که در آن  $x_n \in \Delta_n$  نقطه ای درون  $\Delta_n$  است که با تقریب خوبی نشان دهنده مقدار تابع در ناحیه  $\Delta_n$  است، به عبارت دیگر:

$$f(x_n) := \frac{\int_{x \in \Delta_n} f(x) dx}{\frac{1}{N}} \quad (151)$$

حال  $N$  را به سمت بی نهایت میل می دهیم. در این حالت اندیس  $n$  نیز جای خود را به یک اندیس پیوسته مثل  $y := \frac{n}{N}$  می دهد. تابع  $e_n(x)$  نیز مطابق با نمایشی که قبلاً در مورد توابع دیراک دیدیم به تابع دلتای دیراک یعنی  $\delta(x - y)$  میل می کند، شکل (۱)



شکل ۱: در حد  $N \rightarrow \infty$ ، شاخص گسسته  $\frac{n}{N}$  به سمت شاخص پیوسته  $y$  و تابع  $e_n(x)$  به تابع  $\delta(x-y)$  میل می کند.

نحوه تبدیل کمیت ها در حد  $N \rightarrow \infty$  به شکل زیر است.

$$\begin{aligned}
 \frac{n}{N} &\longrightarrow y \\
 e_n(x) &\longrightarrow \delta(x-y) \\
 |e_n\rangle &\longrightarrow |y\rangle \\
 \langle x|e_n\rangle &\longrightarrow \langle x|y\rangle \\
 \langle e_n|e_m\rangle = \delta_{n,m} &\longrightarrow \langle y|y'\rangle = \delta(y-y').
 \end{aligned}
 \tag{152}$$

تابع  $e_n$  را در این حالت به صورت برداری  $|y\rangle$  نشان می دهیم که نمایش برای آن به صورت  $|y\rangle$  است. رابطه (150) به شکل زیر درمی آید.

$$\langle y|f\rangle = \int_0^1 \delta(y-x)f(x)dx = f(y),
 \tag{153}$$

هرگاه در این حد  $N\delta_{m,n}$  را به عنوان تابع  $K(y, y')$  نشان دهیم که در آن  $y = \frac{n}{N}$  و  $y' = \frac{m}{N}$  هستند، از تساوی

$$\sum_n N\delta_{m,n} \frac{1}{N} = 1
 \tag{154}$$



نتیجه می گیریم که

$$\int K(y, y') dy' = \lim_{N \rightarrow \infty} \sum_m N \delta_{m,n} \frac{\Delta y}{\Delta m} = \sum_m N \delta_{m,n} \frac{1}{N} = 1. \quad (155)$$

بنابراین  $K(y, y')$  همان تابع دلتای دیراک است و رابطه (149) را می بایست به صورت زیرنوشت:

$$\langle y|y' \rangle = \delta(y - y'). \quad (156)$$

یا

$$\int_0^1 dx \delta(x - y) \delta(x - y') dx = \delta(y - y'). \quad (157)$$

آنچه که می خواهیم در پایان این بخش روی آن تاکید کنیم آن است که یک تابع  $f \in F[0, 1]$  را به صورت یک بردارکت  $|f\rangle$  یا برای  $\langle f|$  نمایش می دهیم. مقدار این تابع یعنی  $f(x)$  تصویر آن روی بردار پایه  $|x\rangle$  است، یعنی

$$f(x) = \langle x|f \rangle. \quad (158)$$

رابطه (157) نیز به شکل زیر درمی آید:

$$\int_0^1 \langle y|x \rangle \langle x|y' \rangle dx = \langle y|y' \rangle, \quad (159)$$

و یا با برداشتن  $|y\rangle$  و  $|y'\rangle$  از دو طرف

$$\int_0^1 |x\rangle \langle x| dx = I, \quad (160)$$

که در آن  $I$  عملگر همانی است.

باید تاکید کنیم که تنها برای سادگی فاصله  $[0, 1]$  را در نظر گرفتیم. این پایه برای فضای توابع  $F[a, b]$  و یا  $F(-\infty, \infty)$  نیز برقرار است. هم چنین براحتی این روابط به بیشتر از یک بعد نیز تعمیم می یابند.

## ۱۴ تبدیل فوریه

فضای توابع مختلط در فاصله  $[-\frac{L}{2}, \frac{L}{2}]$  را در نظر می گیریم. این فضا را با  $C[-\frac{L}{2}, \frac{L}{2}]$  نشان می دهیم. ضرب داخلی روی این فضا به شکل  $\langle f, g \rangle = \int_{-\frac{L}{2}}^{\frac{L}{2}} f(x) g^*(x) dx$  تعریف شده است. توابع

$$e_n(x) := \frac{1}{\sqrt{L}} e^{\frac{2\pi i n x}{L}}, \quad n \in Z \quad (161)$$

را در نظری می گیریم. این توابع بر یکدیگر عمود بوده و نرم همه آنها برابر با واحد است:

$$\langle e_n, e_m \rangle = \int_{-\frac{L}{2}}^{\frac{L}{2}} e_n^*(x) e_m(x) dx = \frac{1}{L} \int_{-\frac{L}{2}}^{\frac{L}{2}} e^{-\frac{2\pi i n x}{L}} e^{\frac{2\pi i m x}{L}} dx = \delta_{n,m}. \quad (162)$$

علاوه بر این، هر تابع دلخواه را می توان بر حسب این توابع بسط داد:

$$f(x) = \sum_{n=-\infty}^{\infty} f_n e_n(x). \quad (163)$$

ضرایب  $f_n$  را می توان به ترتیب زیر بدست آورد:

$$f_n = \langle e_n, f \rangle = \int_{-\frac{L}{2}}^{\frac{L}{2}} e_n^*(x) f(x) dx = \frac{1}{\sqrt{L}} \int_{-\frac{L}{2}}^{\frac{L}{2}} e^{-\frac{2\pi i n x}{L}} f(x) dx. \quad (164)$$

بنابراین مجموعه توابع  $\{e_n\}$  تشکیل یک پایه برای این فضا می دهند. با جایگزینی (164) در رابطه (163) بدست می آوریم

$$f(x) = \sum_{n=-\infty}^{\infty} \int_{-\frac{L}{2}}^{\frac{L}{2}} e_n^*(y) f(y) dy e_n(x) = \int_{-\frac{L}{2}}^{\frac{L}{2}} \left( \sum_{n=-\infty}^{\infty} e_n(y)^* e_n(x) \right) f(y) dy \quad (165)$$

مقایسه ای با رابطه (145) نشان می دهد که

$$\sum_{n=-\infty}^{\infty} e_n(y)^* e_n(x) = \delta(x - y). \quad (166)$$

این رابطه را رابطه کامل بودن پایه های  $\{e_n\}$  می گوئیم.

حال  $L$  را به سمت بی نهایت میل می دهیم. در این حالت توابع  $e_n(x)$  بخاطر عامل  $\frac{2\pi i n}{L}$  بسیار به هم نزدیک می شوند و در نتیجه بهتر است که آنها را بایک شاخص پیوسته یعنی  $k := \frac{2\pi n}{L}$  مشخص کنیم. علاوه بر آن اگر به همین شکل در این توابع حد  $L \rightarrow \infty$  را اعمال کنیم، به خاطر عامل  $\frac{1}{\sqrt{L}}$  این توابع همگی صفر خواهند شد. بنابراین می بایستی توابع پایه جدید را ضمن جایگزینی شاخص گسسته  $\frac{2\pi n}{L}$  با شاخص پیوسته  $k$  در توابع اولیه در ضریب مشخصی نیز ضرب کنیم. توابع جدید را با  $\hat{e}_k(x)$  نشان می دهیم و قرار می دهیم

$$\hat{e}_k(x) := A e_n(x) \quad k := \frac{2\pi n}{L} \quad (167)$$

که در آن ضریب  $A$  می بایست تعیین شود. بهترین راه برای این کار توجه به کامل بودن پایه یعنی رابطه (166) است. این رابطه را به صورت زیر می توانیم بنویسیم:

$$\begin{aligned} \sum_{n=-\infty}^{\infty} e_n(y)^* e_n(x) &= \sum_{k=-\infty}^{\infty} e_n(y)^* e_n(x) \frac{\Delta n}{\Delta k} \Delta k \\ &= \sum_{k=-\infty}^{\infty} \frac{1}{C^2} \hat{e}_k(y)^* \hat{e}_k(x) \frac{L}{2\pi} \Delta k = \delta(x - y). \end{aligned} \quad (168)$$

این رابطه به مامی گوید که می بایست  $C$  را برابر با  $\sqrt{\frac{L}{2\pi}}$  بگیریم. باین جایگزینی خواهیم داشت:

$$\hat{e}_k(x) := \frac{1}{\sqrt{2\pi}} e^{ikx} \quad (169)$$

ورابطه (168) به شکل زیر درمی آید:

$$\int_{-\infty}^{\infty} \hat{e}_k^*(x) \hat{e}_k(y) dk \equiv \frac{1}{2\pi} \int_{-\infty}^{\infty} e^{-ik(x-y)} dk = \delta(x - y). \quad (170)$$

باین جایگزینی روابط قبلی یک به یک تغییر می کنند. نخست به رابطه (163) نگاه می کنیم: از آنجا که شاخص  $n$  جای خود را به یک شاخص پیوسته  $k = \frac{2\pi n}{L}$  داده است این رابطه به صورت زیر درمی آید:

$$\begin{aligned} f(x) &= \sum_{n=-\infty}^{\infty} f_n e_n(x) \approx \sum_{k=-\infty}^{\infty} f_n e_n(x) \frac{\Delta n}{\Delta k} \Delta k \\ &= \sum_{k=-\infty}^{\infty} f_n e_n(x) \frac{L}{2\pi} \Delta k = \int_{-\infty}^{\infty} dk \hat{f}(k) \hat{e}_k(x) \\ &= \frac{1}{\sqrt{2\pi}} \int_{-\infty}^{\infty} e^{ikx} \hat{f}(k) dk. \end{aligned} \quad (171)$$

که در آن  $\hat{f}(k) := \sqrt{\frac{L}{2\pi}} f_n$ . از رابطه بالا می توانیم با توجه به رابطه (164)،  $\hat{f}(k)$  را بر حسب  $f(x)$  بدست آورد:

$$\hat{f}(k) \equiv \sqrt{\frac{L}{2\pi}} f_n = \frac{1}{\sqrt{2\pi}} \int_{-\infty}^{\infty} e^{-ikx} f(x) dx. \quad (172)$$

جفت روابط

$$f(x) \equiv \frac{1}{\sqrt{2\pi}} \int_{-\infty}^{\infty} e^{ikx} \hat{f}(k) dk$$

$$\hat{f}(k) = \frac{1}{\sqrt{2\pi}} \int_{-\infty}^{\infty} e^{-ikx} f(x) dx. \quad (173)$$

رایک تبدیل فوریه در فضای توابع یک متغیره می گویند. این رابطه به صورت زیر به فضای  $n$  بعدی تعمیم می یابند.

$$\begin{aligned} f(x) &\equiv \frac{1}{\sqrt{2\pi^n}} \int_{-\infty}^{\infty} e^{ik \cdot x} \hat{f}(k) d^n k \\ \hat{f}(k) &= \frac{1}{\sqrt{2\pi^n}} \int_{-\infty}^{\infty} e^{-ik \cdot x} f(x) d^n x. \end{aligned} \quad (174)$$

در این جا مبانی ریاضی لازم برای درک ساختار مکانیک کوانتومی به پایان می رسد. در ضمیمه هایی که در صفحات بعد آمده اند، خواننده بعضی مطالب اختیاری را خواهد آموخت.

## ۱۵ ضمیمه یک: جمع مستقیم دو فضا

تعریف: فرض کنید که  $V$  و  $W$  دو فضای به ترتیب  $m$  بعدی و  $n$  بعدی باشند جمع مستقیم این دو فضا به شکل زیر تعریف می شود.

$$V \oplus W := \left\{ \begin{pmatrix} v \\ w \end{pmatrix}, v \in V, w \in W \right\}. \quad (175)$$

جمع دو بردار و ضرب یک بردار در یک اسکالر به شکل زیر تعریف می شود:

$$\begin{aligned} \begin{pmatrix} v \\ w \end{pmatrix} + \begin{pmatrix} v' \\ w' \end{pmatrix} &= \begin{pmatrix} v + v' \\ w + w' \end{pmatrix}, \\ \alpha \begin{pmatrix} v \\ w \end{pmatrix} &= \begin{pmatrix} \alpha v \\ \alpha w \end{pmatrix}. \end{aligned} \quad (176)$$

برخواننده است که تحقیق کند  $V \oplus W$  با جمع و ضرب تعریف شده در بالا واقعاً یک فضای برداری  $m+n$  بعدی است.

به عنوان مثال خواننده می تواند براحتی تحقیق کند که  $R^3 = R^2 \oplus R$ .

حال دسته ای از تبدیلات خطی روی  $V \oplus W$  وجود دارند که به شکل زیر هستند:

$$T = \begin{pmatrix} A & 0 \\ 0 & B \end{pmatrix}. \quad (177)$$

این نوع تبدیلات خطی در واقع روی فضای  $V$  مثل تبدیل خطی  $A$  و روی فضای  $W$  مثل تبدیل خطی  $B$  عمل می کنند. به همین جهت بهتر است که آنها را با  $A \oplus B$  نشان دهیم. رابطه (177) نشان می دهد که اگر برای فضای برداری  $V$  و  $W$  پایه انتخاب کنیم و تبدیلات روی آنها را با ماتریس نشان دهیم، ماتریس تبدیل  $T$  بصورت بلوکه قطری در خواهد آمد. البته همه تبدیلات روی فضای  $V \oplus W$  به صورت (177) نیستند.

## ۱۶ ضمیمه دو: زیرفضاهای ناورد

تعریف: فرض کنید که  $V$  یک فضای برداری،  $M \subset V$  یک زیرفضای آن و  $A$  یک عملگر خطی روی  $V$  باشد. در این صورت گوئیم  $M$  زیرفضای ناوردی عملگر  $A$  است اگر

$$\forall m \in M \longrightarrow Am \in M. \quad (178)$$

این رابطه را به طور فشرده چنین می نویسیم  $A(M) \subset M$ . گوئیم  $M$  عملگر  $A$  را کاهش می دهد یا وامی کاهد اگر  $A(M') \subset M'$  و  $A(M) \subset M$  و  $V = M \oplus M'$

هرگاه  $\{e_1, \dots, e_r\}$  پایه  $M$  باشد و آن را به پایه  $\{e_1, \dots, e_r, e_{r+1}, \dots, e_n\}$  برای کل فضا گسترش دهیم، آنگاه عملگر  $A$  قیافه ماتریسی زیر خواهد داشت:

$$A = \begin{pmatrix} a & b \\ 0 & d \end{pmatrix}. \quad (179)$$

اگر  $M$  عملگر  $A$  را کاهش دهد قیافه ماتریسی  $A$  عبارت خواهد بود از

$$A = \begin{pmatrix} a & 0 \\ 0 & d \end{pmatrix}. \quad (180)$$

تعریف: هرگاه  $M \subset V$  زیرفضایی از  $V$  باشد آنگاه  $M^\perp$  به صورت زیر تعریف می شود:

$$M^\perp := \{v \in V \mid \langle v, m \rangle = 0 \quad \forall m \in M\}. \quad (181)$$

براحتی معلوم می شود که  $M^\perp$  نیز یک زیرفضای  $V$  است.

قضیه: در یک فضای ضرب داخلی اگر  $M$  یک زیرفضای ناوردای عملگر  $A$  باشد آنگاه  $M^\perp$  نیز یک زیرفضای ناوردای  $A^\dagger$  است.

اثبات: فرض کنید که  $x \in M^\perp$ ، در این صورت

$$\langle A^\dagger x, m \rangle = \langle x, Am \rangle = \langle x, m' \rangle = 0 \longrightarrow A^\dagger x \in M^\perp \longrightarrow A^\dagger M^\perp \subset M^\perp. \quad (182)$$

قضیه: در یک فضای ضرب داخلی  $V$  زیرفضای  $M$  عملگر  $A$  را کاهش می دهد اگر و فقط اگر  $M$  تحت  $A$  و تحت  $A^\dagger$  هر دو ناورد باشد.

اثبات: فرض کنید که  $M$  عملگر  $A$  را کاهش دهد.  $V$  را به صورت  $V = M \oplus M^\perp$  تجزیه می کنیم. می دانیم که

$$\langle A(M) \subset M, \quad A(M^\perp) \subset M^\perp. \quad (183)$$

اما

$$\forall m \in M \longrightarrow \langle A^\dagger m, m^\perp \rangle = \langle m, Am^\perp \rangle = \langle m, m'^\perp \rangle = 0. \quad (184)$$

بنابراین  $A^\dagger m \in M$  و یا  $A^\dagger(M) \subset M$ . پس ثابت کردیم که اگر  $M$  عملگر  $A$  را کاهش دهد آنگاه هم زیرفضای ناوردای  $A$  است و هم زیرفضای ناوردای  $A^\dagger$ .

حال به قسمت دوم می پردازیم. یعنی فرض می کنیم که  $M$  هم زیرفضای ناوردای  $A$  است و هم زیرفضای ناوردای  $A^\dagger$  و از آن نتیجه می گیریم که  $M, A$  را کاهش می دهد. برای این کار کافی است که بازهم از رابطه  $V = M \oplus M^\dagger$  استفاده کنیم. چون  $M$  زیرفضای ناوردای  $A$  و  $A^\dagger$  است نتیجه می گیریم که

$$\forall m \in M, x \in M^\perp \rightarrow \langle Ax, m \rangle = \langle x, A^\dagger m \rangle = \langle x, m' \rangle = 0 \rightarrow Ax \in M^\perp \quad (185)$$

و در نتیجه  $A(M^\perp) \subset M^\perp$ . بنابراین  $M, A$  را کاهش می دهد.

قضیه: در یک فضای ضرب داخلی  $V$  زیرفضای  $M$  و عملگر تصویر مربوط به آن یعنی  $P$  را در نظر بگیرید. در این صورت  $AP = PA$  اگر و فقط اگر  $AP = PA$ .

اثبات: فرض کنیم که  $M, A$  را کاهش دهد. در این صورت  $V = M \oplus N$  و  $A(M) \subset M$  و  $A(N) \subset N$ . حال به ازای هر  $v = m + n$

$$APv = Am = m' \quad \text{و} \quad PAv = PA(m + n) = P(m' + n') = m' \rightarrow PA = AP. \quad (186)$$

برعکس فرض کنید که  $AP = PA$ . نتیجه می گیریم که  $A^\dagger P = PA^\dagger$ . در این صورت

$$Am = APv = PAv = P(v') = m' \rightarrow A(M) \subset M, \quad (187)$$

و

$$A^\dagger m = A^\dagger Pv = PA^\dagger v = P v'' = m'' \rightarrow A^\dagger M \subset M. \quad (188)$$

بنابراین فضای قبلی نتیجه می گیریم که  $M$  عملگر  $A$  را کاهش می دهد.

## ۱۷ ضمیمه سه: جمع نیمه مستقیم دو زیرفضا

تعریف: هرگاه  $V$  یک فضای برداری و  $U$  و  $W$  دو زیرفضای آن باشند آنگاه  $U + W$  را به عنوان مجموعه زیرتعریف می کنیم:

$$U + W := \{u|v = u + w, u \in U, w \in W\}. \quad (189)$$

براحتی معلوم می شود که  $U + W$  یک زیرفضای  $V$  است.

مثال: قرار می دهیم  $V = R^3$  (تمام فضای ۳ بعدی) و  $U = \{(x, y, 0)\}$  و  $W = \{(0, y, z)\}$ .  $U$  و  $W$  به ترتیب صفحه  $xy$  و  $yz$  هستند.

تعریف: فرض کنید که  $V$  یک فضای برداری و  $U$  و  $W$  دو زیرفضای آن باشند به قسمی که

$$V = U + W$$

ب: تنها بردار مشترک بین  $U$  و  $W$  بردار صفر باشد.

در این صورت  $V$  جمع مستقیم  $U$  و  $W$  (*Eirect Sum*) می گوئیم و می نویسیم

$$V = U \oplus W. \quad (190)$$

هرگاه خواننده در مثال قبلی شکل زیرفضاهای  $U$  و  $W$  را رسم کند خواهد دید که  $V$  جمع مستقیم  $U$  و  $W$  نیست.

قضیه:  $V = U \oplus W$  اگر و فقط اگر هر بردار  $v \in V$  را بتوان به شکل یکتایی به صورت  $u + w$  نوشت که در آن  $u \in U$  و  $w \in W$ .

اثبات جهت اول: داریم  $V = U \oplus W$ . حال فرض کنید که  $v$  را به دو صورت زیر تجزیه کرده ایم

$$v = u + w, \quad v = u' + w'. \quad (191)$$

نتیجه می گیریم که

$$u - u' = w' - w. \quad (192)$$

از آنجا که بنا بر فرض، تنها بردار مشترک بین  $U$  و  $W$  صفر است نتیجه می گیریم  $u - u' = 0$  و  $w' - w = 0$ . بنابراین نتیجه می گیریم که تجزیه  $v$  بر حسب  $u$  و  $w$  یکتاست.

اثبات جهت دوم: فرض می کنیم که تجزیه  $v$  یکتاست. حال باید نشان دهیم که تنها برداری که بین  $U$  و  $W$  مشترک است همان بردار صفر است. بردار  $x$  را برداری می گیریم که بین  $U$  و  $W$  مشترک است. این بردار را می توان به دو صورت زیر نوشت:

$$x = (0 \in V) + (x \in W), \quad \text{و} \quad x = (x \in V) + (0 \in W). \quad (193)$$

چون بنا بر فرض تجزیه هر برداری یکتاست نتیجه می گیریم که  $x = 0 \in V$  و  $x = 0 \in W$ . بنابراین تنها بردار مشترک بین  $U$  و  $W$  صفر است.



قضیه: اگر  $V = U \oplus W$ ، آنگاه  $\dim V = \dim U + \dim W$ .

اثبات: پایه  $\{e_1, \dots, e_m\}$  را برای  $U$  و پایه  $\{e_{m+1}, \dots, e_{m+n}\}$  را برای  $W$  در نظر می‌گیریم. از آنجا که هر بردار  $v \in V$  را می‌توان به طور یکتا به صورت  $v = u + w$  تجزیه کرد خواهیم داشت

$$v = u + w = \sum_{i=1}^m u_i e_i + \sum_{j=m+1}^{m+n} w_j e_j. \quad (194)$$

بنابراین  $\{e_1, e_2, \dots, e_{m+n}\}$  یک پایه برای  $V$  تشکیل می‌دهد و در نتیجه  $\dim(V) = \dim(U) + \dim(W)$ .

تعریف: فرض کنید که  $V = V_1 \oplus V_2 \oplus \dots \oplus V_r$ . در این صورت هر بردار  $v \in V$  به صورت یکتای  $v = v_1 + v_2 + \dots + v_r$  تجزیه می‌شود.  $P_j$  را عملگری تعریف کنید که کارزیرانجام می‌دهد:

$$P_j v = v_j. \quad (195)$$

در این صورت  $P_j$  را عملگر تصویر روی زیرفضای  $V_j$  می‌خوانیم.

قضیه: عملگرهای تصویر خاصیت‌های زیر را دارند:

$$\begin{aligned} P_j P_k &= \delta_{jk} P_j \\ \sum_{j=1}^r P_j &= I \end{aligned} \quad (196)$$

اثبات خاصیت اول ساده است. برای تساوی دوم قرار می‌دهیم

$$v = \sum_{j=1}^r v_j = \sum_{j=1}^r P_j v \quad (197)$$

چون این رابطه برای هر بردار  $v$  صحیح است، خاصیت دوم را نتیجه می‌گیریم.

قضیه: هرگاه  $V$  یک فضای ضرب داخلی باشد و  $V = \bigoplus_{j=1}^r V_j$  که در آن  $V_j$  ها برهم عمود هستند، آنگاه عملگرهای  $P_j$  هرمیتی هستند.

اثبات: به ازای هر بردار  $v$  و  $w$  داریم

$$\langle v, P_j w \rangle = \langle v, w_j \rangle \quad (198)$$

اما به خاطر عمود بودن زیرفضاها برهم طرف راست برابر است با  $\langle v_j, w_j \rangle$  و یا  $\langle P_j v, w_j \rangle$  و یا  $\langle P_j v, w \rangle$ . بنابراین  $P_j$  هرمیتی است.

## ۱۸ ضمیمه چهار: یک قضیه در مورد توابع عملگرهای بهنجار

در متن درس دیدیم که چگونه می توان یک تابع از یک عملگر نرمال را تعریف کرد. در این ضمیمه یک قضیه خیلی جالب در مورد توابع این نوع عملگرها ثابت می کنیم که در وهله اول دوراز ذهن به نظر می رسد.

قضیه: اگر  $T$  یک عملگر بهنجار باشد تابع  $f(T)$  همواره یک چند جمله ای خواهد بود. (دوراز ذهن بودن این قضیه از اینجا معلوم می شود که مثلاً تابع  $f(T) = \sin(T)$  یک چند جمله ای برحسب  $T$  است و نه آنطور که در مورد اعداد می دانیم یک سری بی نهایت.)  
اثبات: چون  $T$  بهنجار است داریم

$$T = \sum_{i=1}^k \lambda_i P_i, \quad (199)$$

واز آنجا

$$f(T) = \sum_{i=1}^k f(\lambda_i) P_i. \quad (200)$$

حال می توانیم عملگرهای تصویرگر  $P_i$  را برحسب  $T$  و توان های آن بنویسیم. فرض کنید که  $P_j = g_j(T)$  که در آن  $g_j(x)$  تابعی است که می خواهیم فرم آن را پیدا کنیم. در این صورت خواهیم داشت

$$P_j := g_j(T) = g_j\left(\sum_i \lambda_i P_i\right) = \sum_i g_j(\lambda_i) P_i \quad (201)$$

که از آن نتیجه می گیریم  $g_j(\lambda_i) = \delta_{ij}$ . بنابراین هر تابع  $g_j(x)$  می بایست چنان باشد که به ازای  $x = \lambda_j$  مقدار آن برابر با ۱ و به ازای  $x \neq \lambda_j$  مقدار آن برابر با صفر باشد. چنین تابعی فرم زیر را دارد:

$$g_j(x) = \prod_{k \neq j} \frac{x - \lambda_k}{\lambda_j - \lambda_k} \quad (202)$$

در نتیجه

$$P_j \equiv g_j(T) = \prod_{k \neq j} \frac{T - \lambda_k}{\lambda_j - \lambda_k}. \quad (203)$$

این رابطه نشان می دهد که هر عملگر تصویرگر چیزی نیست جز یک چند جمله ای برحسب  $T$  و در نتیجه تابع  $f(T)$  نیز چیزی جز یک چند جمله ای برحسب  $T$  نخواهد بود. به عبارت بهتر می توانیم بنویسیم

$$f(T) = \sum_{i=1}^k f(\lambda_i) \prod_{k \neq i} \frac{T - \lambda_k}{\lambda_i - \lambda_k}. \quad (204)$$

## درسنامه مکانیک کوانتومی

وحید کریمی پور  
دانشگاه صنعتی شریف  
دانشکده فیزیک

### درس سوم : تولد مکانیک کوانتومی

#### ۱ مقدمه

در نزدیکی های آخر قرن نوزدهم به نظر می رسید که فیزیک کلاسیک، که شالوده هایش را مکانیک تحلیلی (شامل مکانیک ذرات، شاره ها و محیط های کشسان)، الکترومغناطیس و نظریه حرارت و مکانیک آماری تشکیل می داد، یک ساختمان نظری کامل است که می تواند علی الاصول گستره وسیعی از پدیده های طبیعی و صنعتی را، از ابزار آلات دقیق فنی گرفته تا حرکت کرات در منظومه شمسی، به دقت توصیف کند.

در سال های آخر قرن نوزدهم با کشف الکترون، رادیواکتیویته، اشعه ایکس، تخلیه الکتریکی و طیف نگاری گازها، یکی پس از دیگری پنجره هایی به درون دنیای میکروسکوپی گشوده شد. آیا فیزیک کلاسیک می توانست این دنیای جدید را نیز توصیف کند؟ نخستین مشاهدات باشگفتی این انتظار را برآورده کردند. چنان که رفتار اشعه کاتدی یعنی همان الکترون ها در لوله تخلیه الکتریکی نشان می داد، الکترون درست مثل یک پرتابه در میدان الکتریکی سقوط می کند و حرکت آن تابع قوانین نیوتن است. جی جی تامسون توانست با کاربست معادلات نیوتن، نسبت جرم به بار الکترون را بدست آورد. چند سال بعد در اوایل قرن بیستم، میلیکان توانست بازهم با استفاده از همان قوانین، بار و در نتیجه جرم الکترون را بدست آورد.

با در نظر گرفتن اتم ها و مولکول های گاز به صورت گویهای کوچک و کاربست قوانین نیوتن به همراه فرض های معقولی در مورد توزیع احتمالی سرعت آنها، می شد در چارچوب نظریه جنبشی گازها، کمیت های ماکروسکوپی گاز مثل فشار آن را به درستی محاسبه کرد. بنابراین به نظر می رسید که گستره اعتبار فیزیک کلاسیک تمامی پدیده های طبیعی از کرات سماوی تا اتم

ها و الکترون هارا نیز در بر می گیرد.

از نظر فلسفی دستاورد فیزیک کلاسیک، بخصوص مکانیک، رایه یک بیان دقیق از علیت یا تعیین بود به این معنا که اگر مکان و سرعت ذرات یک سیستم را در یک لحظه با دقت تعیین کنیم، مسیر آینده این سیستم در آینده با دقت معین خواهد شد. پیروزی های شگفت انگیز مکانیک کلاسیک و تعیین نهفته در آن، تصویری از جهان رایه می کرد درست مثل یک ساعت عظیم، که در آغاز زمان یک بار تنظیم شده و تمامی حرکات آن در آینده تابع همان شرایط اولیه است. اگر برگگی از درخت فرو می افتد، یا نسیمی می وزد، نتیجه حرکت جبری همان تنظیم اولیه است و گزیری از آن نیست. اگر انسان را نیز به مثابه دستگاهی عظیم و پیچیده از سلول ها و ارگان ها تصور کنیم که همگی تابع این قوانین هستند، و فکر را نیز تابع فعل و انفعالات شیمیایی و الکتریکی تصور کنیم، تصویر مکانیکی از جهان که حالا شامل موجودات زنده نیز شده است کامل می شود، اگر در یک لحظه عملی خاص را انجام می دهیم یا احساس خاصی به ما دست می دهد، همه نتیجه جبری همان شرایط و تنظیمات اولیه است. البته این تصویر جبری از جهان که حتی اراده انسان را نیز در بر می گیرد مورد اجماع نبوده است زیرا در این که آیا قوانین فیزیک را می توان به حوزه زیست شناسی و شیمی و هم چنین عرصه فکر و روان آدمی گسترش داد تردید وجود داشته است.

اما به تدریج و در آخرین سالهای قرن نوزدهم و اوایل قرن بیستم در بنای معظم فیزیک کلاسیک شکاف ها و ترک هایی پیدا شد. معلوم شد که پدیده هایی مثل تابش جسم سیاه، ظرفیت گرمایی ویژه جامدات، اثر فوتوالکتریک، مدل رادرفورد در مورد ساختمان اتم، اثر کامپتون و نظایر آن هیچ کدام در چارچوب فیزیک کلاسیک قابل تبیین نیستند. تمامی تلاشهایی که برای ترمیم شکاف ها و ترک ها صورت می گرفت تا این پدیده ها را بتوان توضیح داد شکست خورده و معلوم شد که دنیای میکروسکوپی را می بایست با مفاهیم به کلی جدید و حتی زبان متفاوت و بسیار غریبی توضیح داد. فاصله سالهای ۱۹۰۰ تا ۱۹۲۷ دوره ای طلایی در تاریخ فیزیک قرن بیستم و شاید تمامی تاریخ فیزیک است، دوره ای که شاهد تولد، رشد و بلوغ مکانیک کوانتومی از یک طرف و نسبیت خاص و نسبیت عام از طرف دیگر است. تا آنجا که به مکانیک کوانتومی مربوط می شود، ابتدای این دوره با ایده بسیار انقلابی پلانک در مورد تابش جسم سیاه در ۱۹۰۰ و معرفی کوانتای نور در ۱۹۰۵ توسط انشتین و سپس مدل اتمی بور آغاز می شود. این دوره تا سال ۱۹۲۴ به طول می انجامد و دوره ای است که در آن مدل بور و اصلاحات آن برای توصیف اتم های مختلف و پدیده های مختلف درون اتم به کار رفت. امروزه نظریه کوانتومی این سالها به نظریه کوانتومی قدیمی مشهور است زیرا هنوز اندیشه دوگانگی موج- ذره طرح نشده و در آزمایشها نیز یافت نشده است. در این درس ما به اختصار زیاد این دوره را بررسی می کنیم. فرض ما آن است که خواننده یک بار این مطالب را در درس فیزیک جدید دیده است. مثلاً می داند که جسم سیاه و یا اثر فوتوالکتریک یعنی چه. بنابراین آنچه که در این درس می گوئیم بیشتر برای یاد آوری و یا احتمالاً آموزش بعضی نکات است که فکر می کنیم در یک درس فیزیک جدید به طور بایسته به آنها پرداخته نشده است. سپس در درس بعدی به تولد مکانیک کوانتومی جدید می پردازیم. بررسی ما در هر دو درس بسیار کوتاه خواهد بود. خواننده ای که بخواهد تاریخ پیدایش و تحول مکانیک کوانتومی را با تفصیل بیشتری مطالعه کند، می بایست به کتب تخصصی تاریخ نظریه کوانتومی رجوع کند.

## ۱.۱ یک مقدمه کوتاه درباره مکانیک آماری

اگر چه فیزیک کلاسیک مبتنی بر تعین و یقین است لازمه پیش بینی یقینی از رویدادها دانستن مختصات و تکانه های همه ذرات در یک لحظه از زمان است. برای یک سیستم میکروسکوپی مثل یک گاز اگر چه این کار در عالم نظر میسر است، در عمل چنین چیزی امکان ناپذیر است. البته در عمل هیچگاه علاقمند به پیش بینی مسیر حرکت یک مولکول معین در یک گاز نیستیم بلکه هدف ما پیش بینی رفتار کمیت های میکروسکوپی است و این کمیت ها مثلاً فشاری که گاز به دیواره های ظرف وارد می کند، ناشی از نیروی میلیاردها میلیاردها مولکولی است که در گاز وجود دارد. به همین دلیل برای محاسبه کمیت های میکروسکوپی کافی است که توجه خود را به متوسط کمیت های میکروسکوپی که با یک تابع توزیع احتمال محاسبه می شوند معطوف کنیم. ما نمی توانیم و نیازی هم نداریم که مکان و سرعت تک تک ذرات یک گاز را تعیین کنیم ولی لازم است بدانیم که احتمال این که مولکولی فلان مکان را اشغال کرده باشد و بهمان سرعت را داشته باشد چقدر است. به خصوص می خواهیم بدانیم وقتی که یک سیستم در دمای  $T$  با محیط خود به تعادل رسیده است تابع توزیع این سیستم روی هیئت های مختلفی که برایش امکان پذیر است، چگونه است؟ این سوالی است که مکانیک آماری تعادلی با آن روبرو است و پاسخ آن با یک اصل بنیادین داده می شود که تمامی مکانیک آماری بر آن مبتنی است. بر مبنای این اصل که اصل بولتزمن - گیبس نام دارد، یک سیستم که در دمای  $T$  با محیط خود به تعادل رسیده است، هر هیئت با انرژی  $E$  را با احتمال  $\frac{1}{Z} e^{-\beta E}$  اختیار می کند که در آن  $k, \beta = \frac{1}{kT}$  ثابت بولتزمن،  $T$  دمای مطلق و  $Z$  یک ضریب تناسب است که برای بهنجار کردن احتمالات در نظر گرفته شده است. بنابراین اگر مختصات تعمیم یافته یک سیستم را با  $(q, p)$  و هامیلتونی آن را با  $H(q, p)$  نشان دهیم چگالی احتمالی این سیستم هیئت های یک همسایگی به حجم  $dqdp$  را در نزدیکی نقطه  $(q, p)$  در فضای فاز اختیار کند، برابر است با

$$\mathcal{P}(q, p) = \frac{1}{Z} e^{-\beta H(q, p)}. \quad (1)$$

از آنجا که جمع همه احتمالات می بایست برابر با یک باشد، ثابت  $Z$  که آن را تابع پارش سیستم می خوانیم برابر خواهد بود با

$$Z = \int dq dp e^{-\beta H(q, p)}. \quad (2)$$

باید یادآور شویم که در اینجا  $(q, p)$  برای اشاره به همه مختصات و تکانه های سیستم به کار رفته است، یعنی تمامی ساختمان مکانیک آماری است و به کمک آن می توانیم تمامی رفتارهای میکروسکوپی مواد را توضیح دهیم. هرگاه تابع پارش را محاسبه کنیم خواهیم توانست بسیاری از خصوصیات میکروسکوپی سیستم را تعیین کنیم. به عنوان مثال می توانیم مقدار متوسط انرژی را به ترتیب زیر بدست آوریم:

$$\begin{aligned} \langle H \rangle &= \frac{1}{Z} \int dqdp H(q, p) e^{-\beta H(q, p)} = \frac{1}{Z} \frac{-\partial}{\partial \beta} \int dqdp e^{-\beta H(q, p)} \\ &= \frac{1}{Z} \frac{-\partial}{\partial \beta} Z = -\frac{\partial}{\partial \beta} \ln(Z). \end{aligned} \quad (3)$$

بدینست در اینجا به چند مثال ساده اشاره کنیم.

مثال ۱: نوسانگر هارمونیک در دمای  $T$ :

یک نوسانگر هارمونیک به جرم  $m$  و فرکانس  $\omega$  را در دمای  $T$  در نظر می‌گیریم. این نوسانگر علی‌الاصول می‌تواند در هر نقطه‌ای از فضای فاز قرار داشته باشد یعنی هر مختصه‌ای و هر تکانه‌ای را با احتمال معین اختیار کند. تابع پارش برای این نوسانگر عبارت است از

$$\begin{aligned} Z &= \int dq dp e^{-\beta(\frac{p^2}{2m} + \frac{1}{2}m\omega^2 q^2)} = \int dq e^{-\beta\frac{m\omega^2}{2}q^2} \int dp e^{-\frac{\beta}{2m}p^2} \\ &= \sqrt{\frac{2\pi}{\beta m \omega^2}} \sqrt{\frac{2\pi m}{\beta}} = \frac{2\pi}{\beta \omega}. \end{aligned} \quad (4)$$

در نتیجه با استفاده از رابطه 3 بدست می‌آوریم

$$\langle H \rangle = -\frac{\partial}{\partial \beta} (\ln \frac{2\pi}{\omega} - \ln \beta) = \frac{1}{\beta} = kT. \quad (5)$$

دیده می‌شود که متوسط انرژی هیچ‌گونه بستگی به مشخصات نوسانگر یعنی جرم و فرکانس آن ندارد. دقت در استدلال فوق نشان می‌دهد که آنچه که در این محاسبه اهمیت داشته است تنها آن بوده است که مختصه  $q$  و هم‌مختصه  $p$  به صورت مربعی در تابع هامیلتونی وارد شده‌اند و به ازای هر کدام از این دو مختصه سهمی برابر با  $\frac{1}{2}kT$  در انرژی متوسط وارد شده است.

دو نوسانگر هارمونیک جفت شده:

برای این مثال خواننده باید مفهوم وجه یا مُد را برای خود از مکانیک تحلیلی یادآوری کند. دو نوسانگر هارمونیک جفت شده با هامیلتونی زیر توصیف می‌شوند:

$$H = \frac{1}{2m}(p_1^2 + p_2^2) + \frac{k}{2}(q_1^2 + q_2^2 + (q_1 - q_2)^2). \quad (6)$$

این سیستم با تغییر مختصات مناسبی به صورت دو وجه کاملاً جدا از هم درمی‌آید که با مختصات  $(Q_1, P_1)$  و  $(Q_2, P_2)$  توصیف می‌شود و برحسب این مختصات هامیلتونی سیستم به صورت زیر درمی‌آید:

$$H = \frac{1}{2m}P_1^2 + \frac{m\omega_1^2}{2}Q_1^2 + \frac{1}{2m}P_2^2 + \frac{m\omega_2^2}{2}Q_2^2. \quad (7)$$

$\omega_1$  و  $\omega_2$  فرکانس‌های طبیعی این سیستم نامیده می‌شوند. اگر وجه ۱ تحریک شود، هردو ذره با فرکانس  $\omega_1$  نوسان خواهند کرد و اگر وجه ۲ تحریک شود، هردو ذره با فرکانس  $\omega_2$  نوسان خواهند کرد. هرگاه برای چنین سیستمی انرژی متوسط را حساب کنیم با تکرار همان محاسبه قبلی بدست می‌آوریم

$$\langle H \rangle = \langle \frac{1}{2m}P_1^2 + \frac{m\omega_1^2}{2}Q_1^2 \rangle + \langle \frac{1}{2m}P_2^2 + \frac{m\omega_2^2}{2}Q_2^2 \rangle = kT + kT = 2kT \quad (8)$$

بنابراین در هر وجه نوسانی مقدار  $kT$  انرژی متوسط ذخیره خواهد شد.

قضیه همپاری انرژی:

آنچه که در مثال قبل بیان کردیم نمونه‌ای است از یک قضیه کلی تر موسوم به قضیه همپاری انرژی. فرض کنید که هامیلتونی یک سیستم به شکل زیر باشد:

$$H = \frac{1}{2} \sum_{i,j=1}^N S_{i,j} p_i p_j + T_{ij} q_i q_j \quad (9)$$

که در آن  $S$  و  $T$  دو ماتریس متقارن دلخواه باشند که باهم جابجایی شوند. (درحالتی که ماتریس  $S$  متناسب با واحد باشد، که برای اغلب سیستم‌ها چنین است، این شرط برقراری شود). تحت این شرایط بایک تبدیل کانونیک که روابط جابجایی مختصات و تکانه‌ها را به هم نمی‌زند می‌توان ماتریس‌های  $S$  و  $T$  را باهم قطری کرد و هامیلتونی فوق را به شکل زیر نوشت:

$$H = \sum_{\mu=1}^N \frac{1}{2} \alpha_{\mu} P_{\mu}^2 + \beta_{\mu} Q_{\mu}^2, \quad (10)$$

که در آن ضرایب  $\alpha_{\mu}$  و  $\beta_{\mu}$  از قطری شدن ماتریس‌های  $S$  و  $T$  بدست می‌آید و دانستن مقدار آنها برای قضیه فعلی اهمیتی ندارد. به هرکدام از جفت مختصه‌های  $P_{\mu}$  و  $Q_{\mu}$  یک وجه گفته می‌شود. حال اگر همان محاسبه قبلی در مورد نوسانگر هارمونیک را برای این هامیلتونی به کار ببریم متوجه می‌شویم که به ازای هر وجه سهم انرژی متوسط برابر است با  $kT$ . این نتیجه به جزئیات سیستم مورد نظر و اینکه درجات آزادی اولیه توصیف کننده چه چیزی بوده اند، ربطی ندارد. براساس این قضیه وقتی که یک سیستم با هر نوع برهم کنش مربعی که داشته باشد با محیط خود در دمای  $T$  به تعادل می‌رسد، هر وجه از آن سهمی برابر با  $kT$  در انرژی متوسط دارد. به عبارت بهتر انرژی متوسط سیستم به طور یکسان بین همه وجوه آن پخش می‌شود طوریکه به هر وجه مقدار انرژی  $kT$  برسد. به همین دلیل این قضیه نام قضیه همپاری انرژی به خود گرفته است.

## ۲ تعادل گرمایی ماده و نور

تعادل گرمایی ماده و نور نخستین شکافی بود که در بنای باشکوه فیزیک کلاسیک پدیدار شد. این پدیده در واقع چیزی نیست جز به تعادل حرارتی رسیدن ماده و تابش. وقتی که یک محفظه خالی را گرم می‌کنیم اتم‌های تشکیل دهنده دیواره ملتهب شده و شروع به تابش می‌کنند. این تابش توسط دیگر اتم‌ها جذب شده و باز تابش می‌شود. سرانجام بعد از رد و بدل کردن های انرژی بین اتم‌ها و نور، تعادل گرمایی حاصل می‌شود. برهم کنش نور با ماده که مبتنی بر الکترومغناطیس و مکانیک کلاسیک است با یک هامیلتونی مربعی تعیین می‌شود که در آن ذرات بارداری که درون دیواره هستند، تحت تأثیر میدان الکتریکی و مغناطیسی نور قرار گرفته، مرتعش می‌شوند و از خود نور ساطع می‌کنند، نوری که اتم‌های دیگر را به نوبه خود مرتعش کرده و آن‌ها را به گسیل نور وامی‌دارد. متغیرهای دینامیکی این هامیلتونی عبارتند از مختصه و تکانه اتم‌ها و دامنه میدان‌های الکتریکی و مغناطیسی نور در فرکانس‌های مختلف.

نکته مهم آن است که این هامیلتونی برحسب همه متغیرهای مربعی است و درحقیقت معادل است با مجموعه عظیمی از نوسانگرهای هارمونیک که بایکدیگر جفت شده اند. هر وجه از این سیستم عبارت است از وضعیتی که همه اجزای آن یعنی اتم های درون دیواره ها و موج تابشی درون محفظه به صورت هماهنگ نوسان می کنند. بنابراین هر وجه از این سیستم با یک بردار موج  $(k_x, k_y, k_z)$  از تابش و هم چنین جهت قطبش نور معین می شود. تعداد کل وجوه عبارت است از تعداد کل بردارهای موج که در عدد ۲ (بخاطر تعداد قطبش های مستقل نور) ضرب شده است.

بنابراین برای اینکه ببینیم چه مقدار انرژی تابشی در یک بازه فرکانس وجود دارد تنها کافی است که تعداد وجوه موجود در آن بازه را بشماریم و حاصل را بر مبنای قضیه همپاری در  $kT$  ضرب کنیم. اصل هم پاری انرژی به ما می گوید که هر وجه از این سیستم در دمای  $T$  به اندازه  $kT$  انرژی خواهند داشت. در همین جا یک تناقض مهم با مبانی فیزیک کلاسیک پیش می آید، زیرا تعداد وجوه های چنین سیستمی بی نهایت است و قضیه هم پاری انرژی به ما می گوید که یک چنین سیستمی هرگز نمی تواند به تعادل گرمایی برسد، زیرا یک مقدار محدود انرژی را نمی توان بین بی نهایت وجه آنچنان پخش کرد که به هر وجه مقدار  $kT$  انرژی برسد. بیان دیگر این تناقض آن است که اگر ماده و تابش به تعادل رسیده باشند می بایست انرژی ذخیره شده در تابش بی نهایت باشد. در این جا می بایست به تجربه و آزمایشگاه متوسل شد. مشاهدات دقیق به ما می گویند که ماده و تابش به تعادل می رسند و مقدار انرژی ذخیره شده در تابش نیز محدود است و بی نهایت نیست. تا همینجا مشخص است که فیزیک کلاسیک با تابش جسم سیاه ناسازگار است.

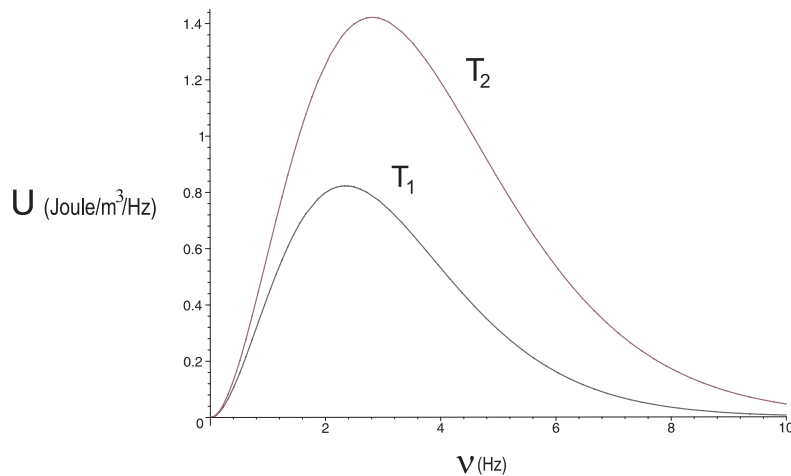
برای درک بهتر این پدیده و اینکه ناسازگاری تجربه و نظریه دقیقاً در کجاست، چه باید کرد؟ می دانیم که تعداد وجوه انرژی تابشی یا نوری که درون محفظه است در تمام بازه فرکانس بی نهایت است. اگر توجه خود را به یک بازه فرکانس معین معطوف کنیم آنگاه تعداد وجوه نور در این بازه محدود است و ما می توانیم مسئله را ساده تر کنیم و بررسی کنیم که چه مقدار انرژی در این بازه فرکانس ذخیره شده است. چگالی انرژی موجود در واحد حجم در واحد فرکانس را با  $u(\nu, T)$  نشان می دهیم به این معنا که  $u(\nu, T)dv$  مقدار انرژی تابشی است که در واحد حجم محفظه در فرکانس بین  $\nu$  و  $\nu + dv$  وجود دارد. این میزان انرژی رابطه مستقیمی با انرژی تابشی ای که از واحد سطح محفظه به بیرون ساطع می شود، دارد و کمیت اخیر را می توان در آزمایشگاه اندازه گرفت. بر مبنای این مشاهدات و اندازه گیری های دقیق، معلوم شد که طیف انرژی تابشی مطابق با شکل ۱ است. نکته بسیار مهم که نشان می دهد چرا مطالعه تابش جسم سیاه تا به این حد مورد علاقه فیزیکدانان در قرن نوزدهم بوده است، آن بود که هم از نظر تجربی وهم نظری ثابت شده بود که این طیف هیچ نوع بستگی به هیچ کدام از خواص جسمی که گرم می شود (نظیر جنس ماده دیواره ها، حجم و شکل محفظه) ندارد و بنابراین در بردارنده یک خصلت اساسی و عام از تعادل ماده و تشعشع است.

آیا می شد این شکل را با فیزیک کلاسیک توضیح داد؟

برای اینکه ببینیم چه مقدار انرژی تابشی در یک بازه فرکانس وجود دارد تنها کافی است که تعداد وجوه موجود در آن بازه را بشماریم و حاصل را بر مبنای قضیه همپاری در  $kT$  ضرب کنیم.

تعداد وجوهی را که در یک بازه فرکانس وجود دارند به راحتی می توان شمرد. تعداد وجوه در واحد حجم ربطی به حجم





شکل ۱: طیف تابش جسم سیاه، آنچنان که در تجربه دیده می شود. دمای  $T_2$  از دمای  $T_1$  بیشتر است به همین دلیل طیف تابشی به طرف فرکانس های بالاتر و یا طول موج های پایین تر میل پیدا کرده است.

ظرف و یا شرایط مرزی موج ندارد. به همین دلیل یک ظرف مکعبی شکل با اندازه  $L$  و حجم  $V = L^3$  در نظر می گیریم. یک موج ایستاده در نظر می گیریم که مقدار آن در دیواره ها برابر با صفر باشد، یعنی

$$\phi(x, y, z) = A \sin \kappa_x x \sin \kappa_y y \sin \kappa_z z. \quad (11)$$

که در آن

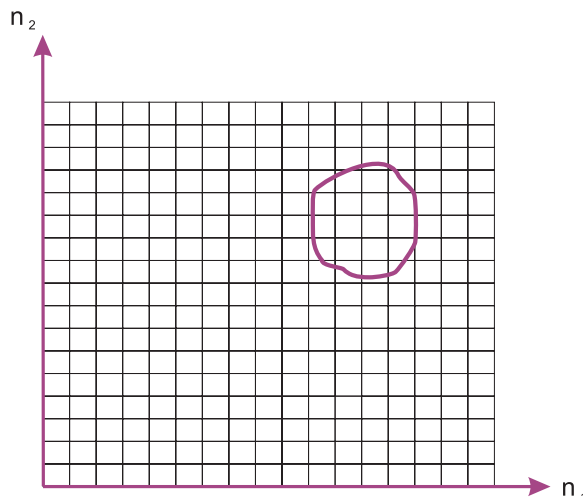
$$\kappa_x L = n_x \pi, \quad \kappa_y L = n_y \pi, \quad \kappa_z L = n_z \pi. \quad (12)$$

هرسه تایی  $(n_x, n_y, n_z)$  که در آن  $n_x, n_y, n_z$  اعداد صحیح مثبت هستند، دو وجه از تابش درون ظرف را تعریف می کند. بجای اینکه سوال کنیم در یک بازه فرکانس چه تعداد وجه وجود دارد، می توانیم سوال جزئی تری را بپرسیم و آن اینکه در بازه ای که بردار موج  $\kappa = (\kappa_x, \kappa_y, \kappa_z)$  حجم  $\Delta \kappa_x \Delta \kappa_y \Delta \kappa_z$  را جاروب می کند چه تعداد وجه وجود دارد، شکل (۲). برای یافتن این تعداد دقت می کنیم که

$$\Delta \kappa_x \Delta \kappa_y \Delta \kappa_z = \frac{\pi^3}{L^3} \Delta n_x \Delta n_y \Delta n_z. \quad (13)$$

بنابراین تعداد وجه ها در بازه ای به حجم  $d^3 k$  عبارت است از:

$$dn = 2 \frac{V}{\pi^3} d^3 \kappa. \quad (14)$$



شکل ۲: برای شمردن تعداد وجوهی که متناظر با یک بازه معین در فضای بردارهای موج هستند، کافی است که حجم ناحیه مزبور را بر تعداد مربع هایی که درون آن حجم وجود دارد تقسیم کنیم و حاصل را در ۲ (بخاطر قطبش نور) ضرب کنیم. در این فضا حجم هر مکعب برابر است با  $\frac{\pi^3}{V}$ . هرچه که حجم محفظه  $V$  بیشتر باشد حجم یک مکعب در این نمودار کوچک تر شده و نحوه محاسبه تعداد وجوه دقیق تر می شود.

بنابراین با استفاده از اصل هم پاری انرژی و با توجه به اینکه در حالت تعادل گرمایی به هر وجه به اندازه  $kT$  انرژی می رسد، مقدار انرژی تابشی که در موج هایی که بردار موج آنها در بازه  $d^3k$  قرار دارد، ذخیره شده است برابر است با

$$dU = kT dn = kT 2 \frac{V}{\pi^3} d^3\kappa \quad (15)$$

با توجه به اینکه  $d^3\kappa = \kappa^2 d\kappa d\Omega$  و

$$\kappa = \frac{2\pi}{\lambda} = \frac{2\pi\nu}{c} \quad (16)$$

نتیجه می گیریم

$$dU = kT 2 \frac{V}{\pi^3} \left(\frac{2\pi}{c}\right)^3 \nu^2 d\nu. \quad (17)$$

برای آنکه چگالی انرژی ذخیره شده در بازه فرکانس  $(\nu, \nu + d\nu)$  را بدست آوریم می بایست روی زاویه ی بردار  $\vec{\kappa}$ ، آنهم در یک هشتم سطح کره انتگرال بگیریم. دلیل این امر آن است که تنها می بایست  $K_x, K_y, K_z$  های مثبت را در نظر بگیریم زیرا منفی این مقادیر با توجه به رابطه ی 11 منجر به یک موج ایستاده متفاوت نمی شود. بنابراین نهایتاً چگالی انرژی تابشی در واحد حجم در واحد فرکانس برابر خواهد شد با

$$u(\nu, T) = kT \frac{8\pi\nu^2}{c^3} \quad (18)$$

این رابطه که نخستین بار توسط رایلی و جینز بدست آمد، تنها برای فرکانس های کم بر طیف تجربی تابش گرمایی منطبق است و در فرکانس های بالا به وضوح با منحنی تجربی متفاوت است. بخصوص این رابطه نشان می دهد که کل انرژی تابشی در همه فرکانس ها بی نهایت است که می دانیم چنین نیست.

تا سال ۱۹۰۰ کسی نتوانست هیچ توضیح منطقی برای تابش جسم سیاه بر مبنای فیزیک کلاسیک پیدا کند. در این سال بود که پلانک با پیشنهاد شجاعانه ای نخستین درجه به سوی دنیای کوانتومی را گشود. وی نخست سعی کرد که یک عبارت تحلیلی برای منحنی تابش جسم سیاه پیدا کند. تا آن موقع کسی چنین کاری نکرده بود و هیچ عبارت تحلیلی برای این منحنی در دست نبود. توجه به این نکته مهم است که ما با یک منحنی واحد سروکار نداریم بلکه به ازای هر دما یک منحنی در پیش رو داریم و از همین جا می توان دشواری و اهمیت کار پلانک را برای پیدا کردن یک عبارت تحلیلی که در همه دما ها و همه فرکانس ها معتبر باشد دریافت.

وی پس از کار طاقت فرسایی که اوج تلاش بیست ساله وی برای درک تابش گرمایی بود، سرانجام توانست این عبارت تحلیلی را پیدا کند. این عبارت تحلیلی به شکل زیر است:

$$u(\nu, T) = \frac{8\pi\nu^2}{c^3} \frac{h\nu}{e^{\frac{h\nu}{kT}} - 1}, \quad (19)$$

که در آن  $h$  یک ثابت جهانی (مثل سرعت نور یا ثابت بولتزمن) است که به افتخار کارِ عظیم وی ثابت پلانک نام گرفته است و مقدار عددی آن عبارت است از:

$$h = 6.627 \times 10^{-34} \text{ Joule second}. \quad (20)$$

حتی امروزه نیز درک مهارت فنی ای که پلانک به کار برده است تا از مقایسه انبوه مشاهدات تجربی بتواند مقدار این ثابت را تعیین کند، دشوار است.

«... هنگامی که به بیست سال پیش از زمانی می نگرم که اندیشه کوانتوم پیداشد و اندازه گیری آن از طریق واقعیت های تجربی صورت گرفت، و نیز به راه دور و دراز و پرپیچ و خمی می نگرم که به این اکتشاف انجامید، سخت به یاد گوته می افتم که گفته بود، انسانها تا زمانی که در جستجوی چیزی هستند پیوسته اشتباه می کنند و دچار خطا می شوند. در اثبات تلاش و کوشش دراز و دشوار، پژوهنده ممکن است مکرر در مکرر گرفتار این وسوسه بشود که از کوشش خود به عنوان اینکه بیهوده و بی حاصل است دست بردارد، ولی گاه به گاه برقی در راه او می جهد و دلیل شکست ناپذیری برای او می شود برای اینکه، پس از همه خطاهایی که در برداشتن گامی پس از گامی دیگر مرتکب شده است، لافل به این نتیجه رسیده است که یک گام به حقیقتی که در جستجوی آن است نزدیک تر شده است...»<sup>1</sup>

<sup>1</sup> از خطابه پلانک در فرهنگستان پادشاهی علوم سوئد، هنگام دریافت جایزه نوبل.

مرحله بعدی در کار پلانک آن بود که توضیحی برای وجود این تابع پیدا کند. ما تنها می‌توانیم به حدس و گمان متوسل شویم تا راه پریپچ و خمی را که پلانک برای رسیدن به ایده کوانتوم طی کرده است با ساده انگاری فراوان بازسازی کنیم. اگر به رابطه 19 نگاه کنیم متوجه می‌شویم که عامل  $\frac{8\pi\nu^2}{c^3}$  که تعداد وجه‌های تابش را می‌شمارد و از یک ملاحظه هندسی بدست آمده است در این رابطه نیز وجود دارد. این عبارت متوسط انرژی یک وجه است که تغییر یافته و از مقدار  $kT$  به مقدار  $\frac{h\nu}{e^{\frac{h\nu}{kT}} - 1}$  تغییر یافته است. نکته مهم این است که این انرژی متوسط دیگر مستقل از فرکانس نیست. اگر  $h\nu$  خیلی کوچکتر از  $kT$  باشد، با استفاده از بسط  $e^x \approx 1 + x$  نتیجه می‌گیریم که انرژی متوسط همان مقدار  $kT$  است و اگر  $h\nu$  خیلی بزرگتر از  $kT$  باشد این انرژی متوسط صفر است. در واقع کشف ثابت پلانک باعث شده است که ما بتوانیم برای هر فرکانس  $\nu$  یک انرژی مشخصه به اندازه  $h\nu$  تعریف کنیم تا بتوانیم آن را با انرژی مشخصه دیگری مثل  $kT$  مقایسه کنیم. فرض پلانک آن بود که وجه تابشی با فرکانس  $\nu$  مقدار انرژی‌هایی را که مبادله می‌کند به صورت پیوسته نیست بلکه به صورت مضاربی از این انرژی مشخصه یعنی  $h\nu$  است. با قبول چنین فرضی انرژی متوسط یک وجه در دمای  $T$  را حساب می‌کنیم. بنابراین مکانیک آماری احتمال اینکه این وجه انرژی  $nh\nu$  داشته باشد برابر است با  $\frac{1}{Z} e^{-\beta nh\nu}$  که در آن  $Z$  برابر است با:

$$Z := \sum_{n=0}^{\infty} e^{-\beta nh\nu} = \frac{1}{1 - e^{-\beta h\nu}}. \quad (21)$$

با داشتن این تابع پارش می‌توان انرژی متوسط ذخیره شده در یک وجه را حساب کرد. به سادگی به دست می‌آوریم

$$\langle E \rangle = -\frac{\partial}{\partial \beta} \ln Z = \frac{h\nu}{e^{\beta h\nu} - 1} = \frac{h\nu}{e^{\frac{h\nu}{kT}} - 1}. \quad (22)$$

با ضرب کردن این انرژی متوسط در تعداد وجه‌های با فرکانس  $\nu$  به همان رابطه پلانک می‌رسیم. به این ترتیب با فرض گسسته بودن انرژی مبادله شده بین تابش و ماده پلانک توانست رابطه صحیح و عمومی طیف تابش گرمایی را توضیح دهد. این فرض در ضمن به معنای آن است که انرژی‌های مجاز برای یک نوسانگر نیز پیوسته نیستند بلکه این انرژی‌ها مقادیری گسسته را تشکیل می‌دهند که تفاوت آنها مضربی از  $h\nu$  است. به این ترتیب ایده کوانتوم انرژی، سطوح گسسته انرژی و یک ثابت عمومی و جهانی به نام ثابت پلانک در سال ۱۹۰۰ جایگزین ایده‌های قدیمی فیزیک کلاسیک شد. به این ترتیب مقاله ای که پلانک در ۱۴ دسامبر ۱۹۰۰ به انجمن فیزیک آلمان عرضه کرد، و در آن نتایج اکتشاف خود را بیان کرد، در واقع علامت پایان دوره مکانیکی و سرآغاز دوره جدیدی در علم است.

پلانک برای این کشف راه بسیار پریپچ و خمی را پیمود که ماحصل بیش از بیست سال کار مداوم او در باره طیف تابش گرمایی بود. وی با تواضع زیاد درباره کشفش چنین گفته است: « یک نفر معدنچی را تصور کنید که سالها لاینقطع سینه‌ی زمین را در جستجوی ماده معدنی معینی شکافته باشد، اما شبی با رگه‌ای از طلا برخورد کند که اصلاً وجود آن را حدس هم نمی‌زد. قدر مسلم آن است که اگر او با این رگه برخورد نمی‌کرد، حتماً دیگری آن را می‌یافت.»<sup>2</sup> اما همانطور که پی‌یر روسو در کتاب تاریخ علم گفته است: « ما مسئولیت آن را می‌پذیریم که جزا و هیچ کس قادر نبود تئوری کوانتا را وضع کند».

<sup>2</sup>تاریخ علوم: نوشته پی‌یر روسو، ترجمه حسن صفاری، انتشارات امیرکبیر، ۱۳۵۸

برای اینکه عظمت کارپلانک را درک کنیم بد نیست در این جا بحث خود درباره تابش گرمایی را با نقل قطعه ای از یک کتاب به پایان ببریم. این کتاب «علم به کجا می رود؟» نام دارد و نوشته پلانک است. در دیباچه ای که جیمز مورفی بر آن نوشته است چنین می خوانیم:

«... روزی از ماه ژوئن ۱۹۳۲ در خانه بیلافی اینشتین نزدیک پانزده مایلی مغرب برلین، به دیدار او رفتم. خانه اینشتین بر بالای تپه کم شیبی ساخته شده و دریاچه زیبایی چشم انداز آن را تشکیل می دهد. طبقه آخر آن ایوانی دارد که به صحنه ی وسیع یک رصد خانه شبیه است و بر این ایوان دوربینی است که گاهگاه اینشتین با نگاه کردن از آن به ستارگان خود را مشغول می دارد. هنگامی که تاریکی شامگاهی نزدیک می شد و پرتو درخشان خورشید که سراسر روز به سطح دریاچه می خورد رفته رفته حالت آشفتگی پیدا می کرد، با هم به ایوان رفتیم تا فرورفتن خورشید را تماشا کنیم... آنگاه که در داخل اتاق بودیم موضوع اصلی گفتگو همه بحران سیاسی بود، ولی در اینجا، در میان هماهنگی دریاچه و جنگل و خورشید در حال فرو شدن، مطلب عالیتری مرکز بحث را تشکیل می داد. نام ماکس پلانک در ضمن سخن به میان آمد و دنباله بحث به مسائل فلسفی گوناگونی کشید که از فیزیک کوانتومی برخاسته است... من از اینشتین درخواست کردم که برای کتابی که بناست پلانک بنویسد و در انگلستان منتشر شود، مقدمه ای بنویسد. وی گفت که معرفی پلانک از طرف او به مردم امری است که به نظر وی با جاه طلبی و ادعا همراه است، چرا که کاشف نظریه کوانتومی نیازمند آن نیست که از منبع کم نورتری نور منعکس بر او بتابد. این بود وضع اینشتین در برابر پلانک که با لحن صادقانه، روشن و اصیلی بیان می شد...».

### ۳ مسئله گرمای ویژه جامدات

آزمایشهای گوناگون نشان داده بودند که ظرفیت گرمایی جامدات گوناگون همگی باهم برابر و تقریباً برابر با 6 کالری بر مول بر درجه کلوین است. دولان<sup>3</sup> و پتیت<sup>4</sup> توضیح ساده ای برای این پدیده یافته بودند. در یک مول از یک جامد تعداد  $N_0$  اتم وجود دارد که  $N_0$  عدد آووگادروست. اگر هر اتم را به صورت یک نوسانگر در نظر بگیریم که در اثر گرما در جای خود مرتعش می شود و این ارتعاش در سه بعد انجام می شود. اصل همپاری انرژی به ما می گوید که دردمای  $T$  مقدار انرژی متوسط آن برابر با  $3kT$  است. بنابراین انرژی کل جامد برابر با  $3NkT$  و در نتیجه ظرفیت گرمایی آن برابر با

$$C_V = \frac{dU}{dT} = 3NK = 3R \approx 6 \text{ cal/mole } K^{0-1}, \quad (23)$$

است. بنابراین ظرفیت گرمایی جامدات به همین سادگی توصیف می شود. اما مشاهدات بعدی نشان داد که در دماهای پایین ظرفیت گرمایی جامدات به تدریج کم شده و به صورت تابع  $T^3$  به سمت صفر میل می کند. چنین چیزی را نمی شد با الگوهای فیزیک کلاسیک توضیح داد. نخستین بار اینشتین بود که با کار بست نظریه پلانک و در نظر گرفتن طیف گسسته انرژی برای نوسانگرها توضیح کیفی درستی از ظرفیت گرمایی جامدات به دست داد. وی با ساده سازی مسئله فرض کرد که همه اتم های جامد با یک فرکانس یکسان مثلاً  $\nu$  نوسان می کنند و انرژی  $kT$  را با متوسط انرژی یک نوسانگر کوانتومی یعنی  $\frac{h\nu}{e^{\frac{h\nu}{kT}} - 1}$

Dulong<sup>3</sup>  
Petit<sup>4</sup>

جایگزین کرد. این کار انرژی متوسط یک مول از جامد را تبدیل می کند به

$$U = 3N \frac{h\nu}{e^{\frac{h\nu}{kT}} - 1}, \quad (24)$$

که در اثر آن ظرفیت گرمایی ویژه جامد برابر خواهد شد با:

$$C_V = \frac{dU}{dT} = 3R \frac{x^2 e^x}{(e^x - 1)^2} \quad (25)$$

که در آن  $x = \frac{h\nu}{kT}$  است. خواننده براحتی می تواند نشان دهد که طرف راست این رابطه در دماهای کم یعنی دماهایی که  $x \gg 1$  به صورت  $T^3$  رفتار می کند، و در دماهای بالا یعنی  $x \ll 1$  تبدیل می شود به  $3R$ .  
به این صورت اینشتین توانست با کاربرد نظریه پلانک، به سادگی منحنی ظرفیت گرمایی جامدات را توضیح دهد. البته می دانیم که فرض های او خیلی ساده بودند، به این معنا که اتم های یک جامد مستقل از هم نیستند و فرکانس یکسان ندارند، بلکه باهم برهم کنش می کنند و کار دقیق آن است که این سیستم را به صورت وجه های مستقل از هم درآوریم که با فرکانس های مختلف نوسان می کنند. این کار سال ها بعد توسط پیتر جی دیبای<sup>5</sup> انجام شد.

## ۴ اثر فوتوالکتریک

وقتی که به سطح صیقلی یک فلز نور تکفام تابیده می شود، از خود الکترون ساطع می کند. مهم ترین خصلت های این پدیده که از طریق مشاهده و تجربه بدست می آیند و با الگوهای کلاسیک به هیچ وجه قابل توصیف نیستند آن است که:

الف: همواره یک فرکانس آستانه وجود دارد، به نحوی که اگر فرکانس نور کمتر از این فرکانس آستانه باشد، هرچقدر هم شدت نور را زیاد کنیم، الکترونی از سطح فلز کنده نخواهد شد.

ب: بعد از آنکه فرکانس نور تابیده از فرکانس آستانه بیشتر شد، انرژی الکترون های کنده شده به صورت خطی با فرکانس افزایش می یابد، شکل ۳.

ج: افزایش شدت نور اثری در انرژی الکترون های کنده شده ندارد و تنها تعداد آنها را زیاد تر خواهد کرد. افزایش تعداد الکترون ها خود را در افزایش شدت جریان خروجی نشان می دهد.

بر اساس الگوهای کلاسیک خصلت های فوق را به هیچ وجه نمی توان توضیح داد زیرا در این الگوها میدان های الکتریکی و مغناطیسی ای که در نور وجود دارد الکترون های سطح فلز را به نوسان وادار می کنند و دامنه این نوسان بستگی مستقیمی به شدت نور که همان شدت میدان های الکتریکی و مغناطیسی نور است دارد. بنابراین با هر فرکانسی می توان الکترون ها را از سطح فلز کنده مشروط بر آنکه شدت نور از یک حد آستانه بیشتر باشد. هم چنین با افزایش فرکانس نور انرژی الکترون های

<sup>5</sup> Peter J. Debye

کنده شده بیشتر نخواهد شد. هرگاه که شدت نور را افزایش دهیم انرژی الکترون های کنده شده نیز می بایست افزایش یابد، زیرا قسمتی از انرژی نور صرف کندن الکترون شده و مابقی آن می بایست به صورت انرژی جنبشی الکترون ها درآید. اهمیت اثر فوتوالکتریک آن است که از هر جهت که نگاه می کنیم تضاد نتایج تجربی اش با آزمایش با قاطعیت با فیزیک کلاسیک ناسازگار است، و از طرف دیگر کاربرد ایده کوانتای نور، آنچنانکه اینشتین پیشنهاد کرده است، با وضوح و سادگی خیره کننده ای تمام مشاهدات تجربی را توضیح می دهد.

پلانک در کار خود تنها قائل به گسیل و جذب تابش به صورت گسسته شده بود. در نظر وی انتشار نور همچنان مطابق با الگوی کلاسیک به صورت امواج پیوسته صورت می گرفت. مفهوم فوتون و البته نه نام آن به صورت بسته ای از انرژی تابشی نخستین بار در کار اینشتین برای توضیح اثر فوتوالکتریک پدیدار شد. وی نور تکفام با فرکانس  $\nu$  را به صورت بارانی از بسته های انرژی  $h\nu$  در نظر گرفت و توانست توصیف ساده ای از اثر فوتوالکتریک ارائه کند. هرگاه انرژی نور تکفام با فرکانس نور را به صورت  $h\nu$  در نظر بگیریم و تصور کنیم که قسمتی از این انرژی به اندازه  $W$  صرف کندن الکترون می شود، بقیه آن به صورت انرژی جنبشی الکترون های معنی  $E$  پدیدار خواهد شد. بنابراین خواهیم داشت:

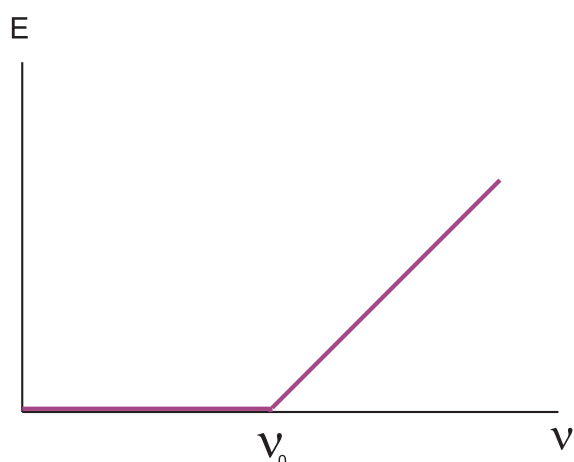
$$E = h\nu - W. \quad (26)$$

طبیعی است که الکترون وقتی می تواند کنده شود که انرژی فوتون تابیده شده از  $W$  بیشتر باشد که به معنای آن است که فرکانس نور می بایست از یک مقدار آستانه  $\nu_0 = \frac{W}{h}$  بیشتر باشد. بعد از این فرکانس آستانه انرژی الکترون به صورت خطی با فرکانس نور تابیده زیاد خواهد شد. و بالاخره هرچه که شدت نور را زیاد کنیم، یعنی هرچه تعداد فوتون های ورودی را زیاد کنیم، انرژی الکترون های کنده شده بیشتر نخواهد شد، بلکه تعداد آنها بیشتر خواهد شد و این همان چیزی است که به تجربه می بینیم. به این ترتیب هر سه ویژگی عجیب اثر فوتوالکتریک که در چارچوب فیزیک کلاسیک غیرقابل توضیح بودند به سادگی توضیح داده می شوند.

اینشتین مقاله خود درباره اثر فوتوالکتریک را در سال ۱۹۰۵ یعنی همان سالی که سه مقاله بنیادی خود در فیزیک را منتشر کرد، به سالنامه فیزیک فرستاد. اثر وی نه تنها تاییدی بر نظریه پلانک در مورد جذب انرژی تابش به صورت مقادیر گسسته بود بلکه نشان می داد که نور در انتشار خود نیز به صورت بارانی از ذرات منتشر می شود. سالهای بعد بور توانست با استفاده از نظریه پلانک بازمی گام های محکم تری در بسط نظریه کوانتومی بردارد اما قاطعترین تایید از تصویر ذره ای نور و وجود فوتون در سال ۱۹۲۳ یعنی سالها بعد از کار اولیه اینشتین به دست آمد. به جاست که در این جا کمی از خط سیر تاریخی منحرف شویم و به این کار، یعنی پژوهش کامپتون بپردازیم.

## ۵ اثر کامپتون

وقتی که نوری با فرکانس کم به سطح یک فلز می تابد نخواهد توانست الکترون های سطح فلز را بکند و تنها از سطح فلز پراکنده می شود. در تصویر کلاسیک میدان الکتریکی نور تابیده شده الکترون های سطح فلز را به نوسان درمی آورد. فرکانس



شکل ۳: انرژی الکترون های کنده شده از فلز برحسب فرکانس نور تابیده شده .

این نوسان با فرکانس نور تابیده شده یکسان است. الکترون هایی که نوسان می کنند به نوبه خود نوری را با همان فرکانس تولید می کنند که ترکیب همه آنها نور پراکنده شده از سطح فلز را تولید می کند. بنابراین در نظریه کلاسیک طول موج نور تابیده شده می بایست با طول موج نور پراکنده شده یکسان باشد. اما مشاهده دقیق نشان می داد که همواره علاوه بر طول موج اولیه یک طول موج کمی بلند تر نیز در نور پراکنده شده وجود دارد و تفاوت این طول موج دوم با طول موج اولیه بستگی به زاویه پراکندگی نور دارد. کامپتون در پژوهش های تجربی خود توانست این بستگی را پیدا کند که به شکل زیر است:

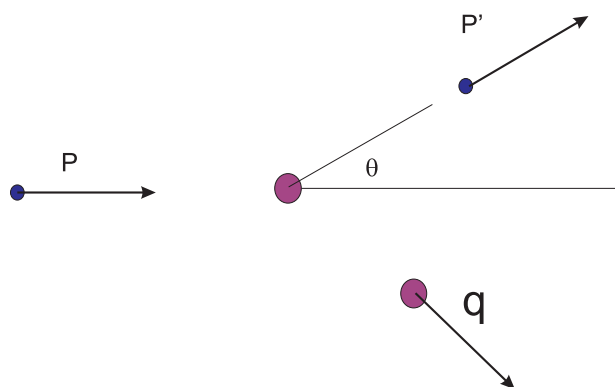
$$\lambda' - \lambda \propto (1 - \cos \theta), \quad (27)$$

که در آن  $\theta$  زاویه بین پرتو پراکنده شده و پرتوی اولیه است.

کامپتون توانست با کاربست اندیشه پلانک و اینشتین، این بار با در نظر گرفتن فوتون به مثابه یک گوی و نسبت دادن انرژی  $h\nu$  و تکانه  $\frac{h\nu}{c}$  به آن این اثر را به سادگی توضیح دهد. برای این کار وی تنها از قوانین پایستگی انرژی و تکانه و نگاه به مسئله به صورت یک برخورد الاستیک ساده بین فوتون و الکترون سود جست. هیچ چیز به اندازه این نمی توانست ماهیت ذره ای نور را به اثبات برساند. شکل ۴ استدلال کامپتون را نشان می دهد. در این شکل الکترون ساکن در نظر گرفته می شود و فوتون با انرژی  $h\nu$  و تکانه  $\frac{h\nu}{c}$  به آن برخورد می کند. بعد از برخورد فوتون منحرف شده و در زاویه  $\theta$  با فرکانس  $\nu'$  یعنی انرژی  $h\nu'$  و تکانه  $\frac{h\nu'}{c}$  پراکنده می شود. تکانه الکترون بعد از برخورد  $q$  است. قانون بقای انرژی به ما می گوید که

$$h\nu + mc^2 = h\nu' + \sqrt{m^2c^4 + q^2c^2} \quad (28)$$





شکل ۴: اثر کامپتون: گوی های کوچک نشان دهنده فوتون و گوی های بزرگ تر نشان دهنده الکترون هستند.

و قانون بقای تکانه می گوید:

$$\vec{P} = \vec{P}' + \vec{q} \quad (29)$$

یا

$$(P - P')^2 = q^2 \rightarrow P^2 + P'^2 - 2PP' \cos \theta = q^2. \quad (30)$$

با ترکیب رابطه 28 و 30 به نتیجه زیر می رسیم:

$$h\nu\nu'(1 - \cos \theta) = mc^2(\nu - \nu'). \quad (31)$$

و یا

$$\lambda' - \lambda = \frac{h}{mc}(1 - \cos \theta). \quad (32)$$

این رابطه درست بیانگر همان چیزی است که در تجربه می بینیم. کمیت  $\frac{h}{mc}$  بعد طول دارد و طول موج کامپتون برای الکترون نامیده می شود. برای الکترون مقدار عددی آن برابر است با

$$\frac{h}{mc} = \frac{6.626 \times 10^{-34}}{9.11 \times 10^{-31} \times 3 \times 10^8} \approx 2.41 \times 10^{-12} \text{ m} = 0.0242 \text{ Angstrom}. \quad (33)$$

کوچکی این عدد نشان می دهد که تفاوت طول موج های تابیده و پراکنده شده در مقایسه با طول موج نور مرئی بسیار کوچک است و به همین دلیل می بایست برای دیدن اثر کامپتون از طول موج های کوتاه استفاده کرد. درعین حال این عدد نشان می دهد که تا چه حد آشکار ساختن این تفاوت در آزمایشهای کامپتون دشوار بوده است. اینکه چرا علاوه بر این طول موج بلند تر همواره طول موج اولیه نیز در هر زاویه ای وجود دارد بخاطر آن است که فوتون ها علاوه بر الکترون ها با هسته ها نیز برخورد می کنند و از آنها نیز پراکنده می شوند و برای هسته ها طول موج کامپتون حدوداً دوهزار بار کوچکتر است.

به این ترتیب تا سال ۱۹۲۳ کمترین شکی باقی نمانده بود که نور از ذراتی به نام فوتون با انرژی و تکانه معین تشکیل یافته است و این ذرات درست مثل گویهای کوچک در برخورد با دیگر ذرات عمل می کنند و برخورد آنها تابع قوانین مکانیک است. تصویر ذره ای نور در این سال کامل شده بود. در این زمان سه قرن از تثبیت تصویر موجی نور می گذشت. در این مدت طولانی گستره وسیعی از پدیده های مربوط به نور، مثل انعکاس، شکست و تداخل و پراکندگی به کمک تصویر موجی نور توصیف شده بودند. تلسکوپ ها، میکروسکوپ ها، عدسی ها، عینک ها و دوربین ها همه بر همین اساس ساخته و پرداخته شده و رفتار آنها مورد تجزیه و تحلیل قرار گرفته بود. نورشناخت موجی که توسط هویگنس اولین سنگ بناهای آن گذاشته شده بود، به کمک نظریه الکترومغناطیسی ماکسول مبنای بسیار محکمی پیدا کرده بود که می گفت نور چیزی جز امواج الکترومغناطیسی نیست. به کمک نظریه الکترومغناطیس بود که برهم کنش نور و ماده در بسیاری از موارد نیز توضیح داده می شد. اما اینک به نظر می رسد که که منازعه ای که سیصد سال پیش در باره ماهیت موجی یا ذره ای نور به نفع هویگنس حل و فصل شده بود، دوباره و این بار به نفع نیوتن و تصویرش از ذرات نور احیا شده است.

## ۶ مدل اتمی بور

در سال ۱۹۱۱ رادرفورد مدل اتمی اش را ارائه داد که بخوبی از عهده توضیح آزمایش های پراکندگی ذرات آلفا از اتم ها برمی آمد. در مدل رادرفورد، یک هسته ی بسیار کوچک، تقریباً تمامی جرم اتم را در بردارد و الکترون ها مثل سیارات منظومه شمسی در مدارهای دایره ای به دور آن می چرخند. در این زمان سیصد سال از طرح منظومه خورشید مرکزی کپرنیک می گذشت و مدل او که در آغاز انقلابی و غیر قابل قبول می نمود، برای کلیه دانشمندان حکم طبیعی ترین حرکات را یافته بود. بار دیگر غیر قابل قبول ترین نظریه ی یک دوران در طی گذشت زمان به تصویری روزمره و عادی تبدیل گشته بود. با وجود توفیق کم نظیر، مدل رادرفورد چیزی کم داشت. اگر قبول کنیم که اتم دنیای کوچک متحرکی است، چگونه می توان این امر را توجیه کرد که هرگز از حرکت باز نمی ایستد و تنها ماشین دائم الحركتی است که در طبیعت یافت می شود. بر مبنای الکترومغناطیس کلاسیک الکترونی که به دور هسته اتم گردش می کند می بایست به دلیل شتابدار بودن پیوسته تابش کند و بدلیل از دست دادن انرژی خیلی زود به روی هسته سقوط کند. معادله ای که بر حرکت الکترون به دور هسته حاکم است عبارت است از:

$$\frac{mv^2}{r} = K \frac{e^2}{r^2} \quad (34)$$

$$K = \frac{1}{4\pi\epsilon_0}$$

نکته مهم آن است که این معادله به خودی خود شعاع یا سرعت الکترون را تعیین نمی کند. بسته به این که الکترون چه انرژی داشته باشد می تواند هر سرعتی و هر شعاعی داشته باشد. درحقیقت می دانیم که انرژی الکترون برابر است با:

$$E = \frac{1}{2}mv^2 - K \frac{e^2}{r} = -\frac{1}{2}mv^2 \quad (35)$$

که درنوشتن تساوی آخر از معادله قبلی استفاده کرده ایم. بنابراین هرگاه انرژی الکترون معلوم شود، می توان سرعت حرکت آن به دور هسته و سپس با استفاده از معادله قبلی شعاع حرکت آن به دور هسته را تعیین کرد. به عبارت دیگر در مدل رادرفورد هیچ چیزی وجود ندارد که انرژی الکترون و در نتیجه شعاع اتم را به طور طبیعی تعیین کند و ما در واقع نمی دانیم که چرا اتم ها اینقدر کوچکند. این سوال به خودی خود برای دانشمندان اهمیت بنیادین داشته است که چه چیزی اندازه اتم ها را تعیین می کند؟

اگر شعاع اتم ها را حدود یک آنگستروم یعنی  $10^{-10}$  متر بگیریم آنگاه می توان مرتبه سرعت و انرژی الکترون را تخمین زد. سرعت الکترون در حدود یکصدم سرعت نور و انرژی آن حدود چند الکترون ولت است. حال می توان از الکترومغناطیس کلاسیک کمک گرفت که بر مبنای آن ذره ای با بار الکتریکی  $e$  و شتاب  $a$  با نرخ

$$P = \frac{1}{4\pi\epsilon_0} \frac{2e^2 a^2}{3 c^3} \quad (36)$$

از خود انرژی تابشی ساطع می کند. برای الکترونی که در شعاع  $R$  با سرعت  $v$  دور هسته می چرخد، شتاب برابر است با:

$$a = \frac{v^2}{R} \quad (37)$$

در نتیجه با تقسیم انرژی بر نرخ تابش انرژی می توان دریافت که الکترون بعد از چه مدت می بایست به روی هسته سقوط کند. این مدت تقریباً برابر است با:

$$\tau \approx \frac{\frac{1}{2}mv^2}{P} = \frac{\frac{1}{2}mv^2}{\frac{1}{4\pi\epsilon_0} \frac{2e^2}{3} \frac{v^4}{R^2 c^3}} \approx 4\pi\epsilon_0 \frac{3 m R^2 c^3}{4 e^2 v^2} \quad (38)$$

اگر شعاع چرخش الکترون به دور هسته را از مرتبه یک آنگستروم و سرعت حرکت آن را از مرتبه یک صدم سرعت نور بگیریم این مدت زمان برابر خواهد شد با:

$$\tau \approx \frac{3}{4} \frac{1}{9 \times 10^9} \frac{9 \times 10^{-31} \times 10^{-20} \times 3 \times 10^8}{(1.6 \times 10^{-19})^2 \times 10^{-4}} \approx 10^{-10} \text{ ثانیه} \quad (39)$$

اگر چه این زمان در مقایسه با مدت زمان گردش الکترون به دور هسته یعنی  $T = \frac{2\pi R}{v} \approx 2 \times 10^{-16}$  ثانیه، زمانی طولانی است ولی نشان می دهد که الکترون سرانجام بر روی هسته سقوط می کند.

در سال ۱۹۱۱ نیلز بور که به تازگی در ۱۹۱۱ با درجه دکتری از دانشگاه کپنهاگ فارغ التحصیل شده، با اشتیاق زیاد راهی دانشگاه کمبریج در انگلستان شده بود تا تحت نظر جی. جی. تامسون درباره خواص اتم ها مطالعه کند.

«... پدر عزیزم، خوشحالم که یادداشت‌هایم در باره سخنرانی جینز برایتان جالب بوده است. مجموعه کامل یادداشت‌هایم را به خانه می‌آورم تا باهم در باره اش کار کنیم. جینز اخیراً مشغول کار بر روی فشار تشعشع بوده است. ضمناً از یک دانمارکی چیزهای خیلی زیادی یاد گرفتم که وقتی دیده بود من در سخنرانی جینز از او سوال می‌کنم، بعد از سخنرانی پیش من آمد و درباره سخنرانی با من حرف زد. به نظر می‌رسید که چیزهای زیادی در این باره می‌داند. از همه جالب تر این که اسمش بور بود یا چیزی شبیه به این...»<sup>6</sup>

پس از مدت کمی بور تغییر مکان داد و در ۱۹۱۲ به دانشگاه منچستر رفت تا تحت نظر رادفورد به کار پردازد. این درست یک سال بعد از آن بود که رادفورد مدل اتمی اش را ارایه داده بود و بور می‌خواست که پاسخی برای معمای ساختمان اتمی پیدا کند.

«... نمی‌دانی چقدر بودن در این جا خوب است، جایی که کسان زیادی هستند که می‌توان با آنها صحبت کرد و یا کسانی که مطالب بسیاری در باره این چیزها می‌دانند. استاد رادفورد به هر چیزی که فکر می‌کند ایده تازه‌ای در آن است علاقه نشان می‌دهد. در سالهای اخیر او روی یک مدل اتمی کار کرده است که به نظر می‌رسد از هر مدل اتمی دیگری که تا کنون عرضه شده است پایه و اساس محکمتری دارد...»<sup>7</sup>

برای دنیای اتمی رادفورد هیچ واحد طبیعی انرژی وجود نداشت و الکترونی که به دور هسته می‌چرخید می‌توانست هر مقدار انرژی و در نتیجه هر مقدار شعاع و سرعت داشته باشد. نخستین ابتکار شجاعانه بور آن بود که این واحد طبیعی را به طرز زیبایی وضع کند. فرض اول وی آن بود که

الکترون در مدارهای دایره‌ای به دور هسته اتم می‌چرخد و تنها مدارهای مجاز برای آن عبارت‌اند از مدارهایی که تکانه زاویه‌ای آنها مضربی از  $\frac{h}{2\pi}$  یعنی ثابت پلانک باشد.

با قبول چنین فرضی یعنی اینکه ثابت  $h$  واحد طبیعی تکانه زاویه‌ای برای اتم است، بلافاصله همه ابعاد، انرژی‌ها، سرعت‌ها و فرکانس‌های درون اتم تعیین می‌شوند.

«... اوضاع به خوبی پیش می‌رود چون فکر می‌کنم چیزهای جالبی کشف کرده‌ام. البته هنوز مطمئن نیستم چون آنقدر که در فکر کردن خنک هستم در محاسبه جزئیاتش سریع نبوده‌ام. امیدوارم که محاسباتم را تمام کنم و آن را قبل از این که این جا را ترک کنم به رادفورد نشان دهم...»<sup>8</sup>

استدلال بور چنین بود: فرض کنید که الکترون در مداری دایره‌ای به شعاع  $r$  و با سرعت ثابت  $v$  به دور هسته می‌چرخد. بر

<sup>6</sup> از نامه ویلیام لارنس براگ ( در آن موقع دانشجوی کمبریج ) به پدرش ویلیام هنری براگ.

<sup>7</sup> از نامه نیلز بور از منچستر به برادرش هارالد بور، ۱۲ ژوئن ۱۹۱۲

<sup>8</sup> از نامه نیلز بور به برادرش هارالد بور، ۱۷ ژوئن ۱۹۱۲.

مینای فرض نخست داریم:

$$mvr = n\hbar, \quad (40)$$

که در آن  $n$  یک عدد صحیح غیر صفر است. کاربرد قانون نیوتن در مورد الکترون به ما می گوید:

$$K \frac{e^2}{r^2} = \frac{mv^2}{r} \quad (41)$$

$$K = \frac{1}{4\pi\epsilon_0}$$

ترکیب این دو رابطه به دست می دهد:

$$v = \frac{Ke^2}{n\hbar} \quad (42)$$

این رابطه و دیگر روابط مربوط به ساختمان اتم را می توان به شکل بهتری نوشت اگر یک ثابت بدون بعد  $\alpha$  به صورت

$$\alpha := \frac{Ke^2}{\hbar c} \quad (43)$$

تعریف کنیم. این ثابت بدون بعد ثابت ساختار ریز<sup>9</sup> نامیده می شود و مقدار عددی اش برابر است با  $\alpha \approx \frac{1}{137}$ . در نتیجه رابطه 42 به شکل زیر در می آید:

$$v_n = \alpha \frac{c}{n}. \quad (44)$$

باجایگذاری این مقدار در رابطه 40 می توانیم شعاع را بدست آوریم:

$$r_n = \frac{n^2 \hbar}{\alpha mc} \quad (45)$$

عدد  $n$  عدد کوانتومی اصلی نامیده می شود و مقدارهای صحیح غیر صفر اختیار می کند. اولین مدار مربوط به عدد  $n = 1$  است. در این مدار سرعت الکترون برابر با  $\alpha c$  یعنی  $\frac{1}{137}$  سرعت نور و شعاع آن ۱۳۷ برابر

$$\lambda_c := \frac{\hbar}{mc} = 0.00382 \text{ Angstrom}$$

است. این شعاع با نماد  $a_0$  نشان داده می شود و به آن شعاع بور می گویند. مقدار آن برابر است با:

$$a_0 := \frac{1}{\alpha} \lambda_c = 137 \times \frac{0.024}{2\pi} \text{ Angstrom} = 0.52 \text{ Angstrom}. \quad (46)$$

انرژی الکترون از رابطه زیر حساب می شود:

$$E = \frac{1}{2}mv^2 - K \frac{e^2}{r} \quad (47)$$

<sup>9</sup>Fine Structure Constant

که با توجه به رابطه  $m\frac{v^2}{r} = K\frac{e^2}{r^2}$  برابر است با:

$$E = -\frac{1}{2}mv^2 = -\frac{1}{2}K\frac{e^2}{r}. \quad (48)$$

بنابراین وقتی که الکترون در مدار  $n$  ام است انرژی آن برابر است با:

$$E_n = -\frac{1}{2}mv_n^2 = -\frac{1}{2}m\left(\frac{\alpha}{n}c\right)^2 = -\frac{1}{2}\frac{\alpha^2}{n^2}mc^2. \quad (49)$$

انرژی  $mc^2$ ، انرژی در حال سکون الکترون است و مقدار آن برابر است با  $0.511 \text{ Mev}$ . بنابراین انرژی الکترون در اولین مدارش، یعنی انرژی پایه آن برابر است با:

$$E_1 := -\frac{1}{2}\alpha^2 mc^2 = -\frac{1}{2}\left(\frac{1}{137}\right)^2 \times 0.511 \text{ Mev} = -13.6 \text{ ev}. \quad (50)$$

به این ترتیب انرژی الکترون در مدار شماره  $n$  برابر خواهد بود با:

$$E_n = \frac{E_1}{n^2}. \quad (51)$$

به این ترتیب می بینیم که بور با وارد کردن ثابت پلانک به درون دنیای اتمی به یکباره همه ساختارهای آن را تعیین کرده است. اکنون می توانیم بگوییم که شعاع طبیعی برای اتم چقدر است و یا سرعت های طبیعی یا انرژی های طبیعی برای الکترون چقدر هستند.

آیا این مدارها پایدارند و الکترون وقتی که در این مدارهاست به روی هسته سقوط نمی کند؟ چگونه می توان به معمای سقوط الکترون به روی هسته، یعنی همان مشکل اساسی مدل رادرفورد پاسخ گفت. بور در این جا یک گام شجاعانه برداشت که به کلی با فیزیک کلاسیک تباین داشت، کاری که بیشتر به پاک کردن صورت سوال شبیه بود. فرض دوم وی آن بود که

هنگامی که الکترون در یک مدار گردش می کند هیچ نوع تابشی از خود گسیل نمی کند و انرژی خود را از دست نمی دهد.

بجای آن وی فرض کرد که

الکترون تنها وقتی که از مدار  $E_1$  به مدار  $E_2$  با انرژی  $E_2$  سقوط کند، انرژی خود را با گسیل فوتونی با فرکانس  $\nu = \frac{E_1 - E_2}{h}$  از دست می دهد. برعکس هر وقت که الکترون فوتونی را با این انرژی جذب کند از مدار  $E_2$  به مدار  $E_1$  با انرژی  $E_1$  برانگیخته خواهد شد.

نام سری	محدوده طول موج	رابطه‌ی سری
<i>Lyman</i>	فوق بنفش	$\kappa = R_H \left( \frac{1}{1^2} - \frac{1}{n^2} \right) \quad n = 2, 3, 4, \dots$
<i>Balmer</i>	نزدیک فوق بنفش و مرئی	$\kappa = R_H \left( \frac{1}{2^2} - \frac{1}{n^2} \right) \quad n = 3, 4, 5, \dots$
<i>Paschen</i>	مادون قرمز	$\kappa = R_H \left( \frac{1}{3^2} - \frac{1}{n^2} \right) \quad n = 4, 5, 6, \dots$
<i>Brackett</i>	مادون قرمز	$\kappa = R_H \left( \frac{1}{4^2} - \frac{1}{n^2} \right) \quad n = 5, 6, 7, \dots$
<i>Pfund</i>	مادون قرمز	$\kappa = R_H \left( \frac{1}{5^2} - \frac{1}{n^2} \right) \quad n = 6, 7, 8, \dots$

خط‌های طیفی برای اتم هیدروژن 1:

آیا این فرض‌ها و مدل اتمی‌ای که بر مبنای آنها ساخته شد صحیح بودند؟ چگونه می‌شد این مدل را رد یا قبول کرد؟ در اینجا بور به طرز هوشمندانه‌ای به داده‌های تجربی ناشی از طیف‌نگاری اتم‌ها استناد کرد، یعنی تنها جاییکه ساختمان درونی اتم‌ها به کسانیکه از بیرون به آن نگاه می‌کنند آشکار می‌شود.

در آن زمان سال‌ها بود که طیف تابشی اتم‌ها مورد مطالعه و اندازه‌گیری دقیق قرار گرفته بود. طیف تابشی یا نشری اتم‌های گوناگون یک طیف پیوسته نیست بلکه از مجموعه‌ای از خطوط با فرکانس‌های معین تشکیل شده است. هم‌چنین وقتی نور سفید به این اتم‌های می‌تابانیم و به طیف جذبی آنها نگاه می‌کنیم، می‌بینیم که همان خطوط طیف جذبی این بار به صورت تیره در زمینه روشن نور سفید وجود دارند. به این ترتیب یک اتم تنها فرکانس‌های معینی را تابش و یا جذب می‌کند. طیف یک اتم را می‌شد به مثابه اثر انگشت آن در نظر گرفت که در هر شرایطی می‌توانست برای شناسایی یک اتم به کار رود. تا آن موقع با طیف‌سنجی‌های دقیق روابط معینی بین این خطوط یافته شده بود و بعد‌ها نیز روابط بازم بیشتر پیدا شد. معلوم شد که می‌توان خطوط بسیار در هم و برهم طیف را به صورت دسته‌های جداگانه‌ای دسته‌بندی کرد و در هر دسته نظم خاصی بین فرکانس‌ها یا طول موج‌های این خطوط برقرار است. در مورد اتم هیدروژن چندین سری از این خطوط شناسایی شدند که امروزه به نام کاشفان آنها نامگذاری شده‌اند. فرکانس خطوط طیفی چند تا از این دسته‌ها در جدول ۶ نشان داده شده‌اند. در این جدول  $\kappa$  عکس طول موج یعنی  $\frac{1}{\lambda}$  و  $R_H$  کمیتی است که با بعد عکس طول که ثابت رایدر برگ برای اتم هیدروژن نامیده می‌شود. مقدار این ثابت برابر است با:

$$R_H = 10967757.6 \pm 1.2 \text{ m}^{-1}. \quad (52)$$

بر مبنای مدل بور هرگاه الکترون از مدار  $n_i$  به مدار  $n_f$  بجهد، انرژی  $E_{n_i} - E_{n_f}$  را به صورت فوتون آزاد می‌کند. فرکانس

این فوتون برابر خواهد بود با:

$$\nu := \frac{E_{n_i} - E_{n_f}}{h} = \frac{E_1}{h} \left( \frac{1}{n_i^2} - \frac{1}{n_f^2} \right). \quad (53)$$

برای چنین فوتونی می توان عکس طول موج را بدست آورد که برابر خواهد بود با:

$$\kappa = \frac{1}{\lambda} = \frac{\nu}{c} = \frac{|E_1|}{hc} \left( \frac{1}{n_i^2} - \frac{1}{n_f^2} \right). \quad (54)$$

مقدار عددی ثابت  $\frac{|E_1|}{hc}$  برابر است با:

$$\frac{|E_1|}{hc} = \frac{1}{2} \alpha^2 \frac{mc}{h} = \frac{\alpha^2}{4\pi\lambda_c} \approx 10988150.39 \text{ m}^{-1}, \quad (55)$$

که با تقریب بسیار خوبی با ثابت رایدربرگ یعنی  $R_H$  مساوی است. بدین ترتیب بور توانست با توصیف دقیقی از طیف مرئی اتم هیدروژن، تایید تجربی استواری برای مدل خود پیدا کند. قدم بعدی آن بود که قسمت های دیگر طیف، از جمله طیف نامرئی و اشعه ایکس نیز مورد بررسی قرار گیرند. این آزمایش در سال ۱۹۱۳ در آزمایشگاه رادرفورد انجام گرفت و باز هم به تایید نظریه بور انجامید. کسیکه این آزمایش را انجام داد، مرد جوان بیست و هفت ساله ای بود به نام هاری موزلی (*Harry Moseley*) که متأسفانه کارنامه علمی اش به همین محدود ماند، زیرا در جریان جنگ اول جهانی به سال ۱۹۱۵ کشته شد.

در تاریخ تحول نظریه کوانتومی کار بور اهمیت بسیار زیادی دارد، زیرا وی توانست با کاربست ایده پلانک و با درهم شکستن قوانین فیزیکی که تا دو قرن بعد از نیوتن دوام آورده بودند، برای اولین بار پرده از ساختمان پیچیده‌ی اتم بردارد. تا آن هنگام ایده های کوانتومی به صورت جداگانه هر کدام برای توصیف آزمایشی خاص به کار گرفته شده بودند، اما کار بور سنتز کامل و موفقی از همه اینها بود آن هم برای توصیف ساختمان اتم. اکنون ساختمان اتم نیز چون جهان نیوتن دارای پایه‌ای ریاضی شده بود. طی یک دهه بعد بور و همکارانش در موسسه فیزیک نظری ای که در دانمارک برای بسط پژوهش های وی ساخته شده بود، نظریه اتمی و مدل بور را توسعه دادند. نخست زومرفلد و ویلسون اصل کوانتش بور را بر مبنای محکم تر و عام تری استوار ساختند.

«... همکار عزیز، از این که کار بسیار جالب تان را برایم فرستاده‌اید سپاسگزارم. باید بگویم که قبلاً آن را در مجله فلسفی مطالعه کرده بودم. مسئله امکان محاسبه ثابت رایدربرگ و ربط دادن آن به ثابت پلانک مدتی بود که به ذهن من نیز رسیده بود. چند سال قبل من در این باره گفتگویی با دیبای داشتم. اگر چه در حال حاضر من هنوز نسبت به هر نوع مدل اتمی شکاک هستم، با این وجود محاسبه ثابت رایدربرگ بدون هیچ گفت و گویی یک موفقیت بزرگ است... آیا قصد دارید که مدل اتمی خود را برای اثر زیمان نیز به کار ببرید؟ من میل دارم که روی این مسئله کار کنم. شاید بتوانم وقتی که در ماه اکتبر آقای رادرفورد را می بینم از برنامه‌ی شما باخبر شوم...»<sup>10</sup>

<sup>10</sup> از نامه آرنولد زومرفلد به نیلز بور، ۴ سپتامبر ۱۹۱۳.



بر مبنای این اصل کوانتشی که بعد ها اصل کوانتش بور—زومرفلد نام گرفت در هر حرکت تناوبی به ازای هر زوج مختصه‌ی مزدوج  $(q, p)$  یک اصل کوانتش به صورت زیر وجود دارد

$$\oint pdq = n_q h, \quad (56)$$

که در آن  $n_q$  یک عدد صحیح است. به کمک این اصل کوانتش انرژی نوسانگر هارمونیک چنانکه در کار اولیه پلانک مطرح شده بود و کوانتش انرژی یک سیستم بسیار متفاوت مثل اتم هیدروژن هردو ناشی از یک اصل کلی تر بودند که به آن کوانتش کنش (*Quantization of Action*) می گفتند، زیرا در مکانیک کلاسیک کمیتی مثل  $\oint pdq$  کنش خوانده می شد. به عنوان مثال در تم هیدروژن کوانتش کنش برای دو مختصه‌ی  $(\theta, P_\theta)$  به شکل زیر درمی آید:

$$\oint p_\theta d\theta = nh, \quad (57)$$

اما از آنجا که در حرکت دایره ای  $p_\theta = mr^2\dot{\theta} = mr^2\omega$  مقدار ثابتی است رابطه بالا به شکل زیر درمی آید:

$$\oint mr^2\omega d\theta = mr^2\omega 2\pi = nh, \quad (58)$$

و یا

$$mvr = n\hbar$$

که همان اصل کوانتش بوراست که منجر به کوانتش انرژی اتم هیدروژن مطابق رابطه 49 می شود.

در نوسانگر هارمونیک کوانتش عمل برای دو مختصه‌ی  $(x, p)$  به صورت زیر است

$$\oint pdx = nh. \quad (59)$$

می توان طرف چپ این انتگرال را برای یک نوسانگر هارمونیک براحتی محاسبه کرد. می نویسیم

$$\oint pdx = \oint m\dot{x}dx = \oint m\dot{x}^2 dt = \int_0^T mv^2 dt \quad (60)$$

در یک نوسانگر هارمونیک می دانیم که

$$x = A \sin \omega t, \quad v = A\omega \cos \omega t, \quad E = \frac{1}{2}m\omega^2 A^2. \quad (61)$$

بنابراین

$$\oint pdx = \int_0^T mA^2\omega^2 \cos^2 \omega t dt = mA^2\omega^2 \int_0^T \cos^2 \omega t dt, \quad (62)$$

با توجه به اینکه  $\frac{1}{T} \int_0^T \cos^2 \omega t dt = \frac{1}{2}$  مقدار انتگرال بالا خواهد شد

$$\oint p dx = \frac{1}{2} m A^2 \omega^2 T = n h, \quad (63)$$

و یا

$$E = \frac{n h \omega}{T} = n \hbar \omega. \quad (64)$$

به این ترتیب می بینیم که ایده کوانتوم عمل، چنانکه در سالهای اولیه نظریه کوانتومی نامیده می شد، به طوریکه نواخت هم به کوانتش سطوح انرژی نوسانگر هارمونیک و هم به کوانتش سطوح انرژی اتم هیدروژن می انجامد. سپس با استفاده از مفهوم کوانتش عمل آرنولد زومرفلد توانست مدل اتمی بور برای اتم هیدروژن را تعمیم داده به طوریکه مدارهای بیضی را نیز شامل شود. در مدل بور فرض می شد که مدارهای الکترون دایره ای اند و می دانیم که در یک مسئله نیروی مرکزی مدارها عموماً بیضی شکل هستند. برای چنین مدارهایی اصل کوانتش عمل به شکل زیر در می آید:

$$\begin{aligned} \oint p_{\theta} d\theta &= n_{\theta} h \\ \oint p_r dr &= n_r h. \end{aligned} \quad (65)$$

برای مدارهای دایره ای رابطه دوم وجود ندارد یا به عبارت بهتر هر دو طرف تساوی برابر صفر هستند. به عبارت دیگر یک مدار بیضی با دو عدد کوانتومی  $(n_{\theta}, n_r)$  توصیف می شود و مدار دایره ای حالت خاصی است که با زوج  $(n_{\theta}, 0)$  مشخص می شود. از آنجا که در حرکت تحت نیروی مرکزی  $p_{\theta}$  برابر با تکانه زاویه ای  $L$  و یک ثابت حرکت است، شرط کوانتش اول به صورت زیر در می آید:

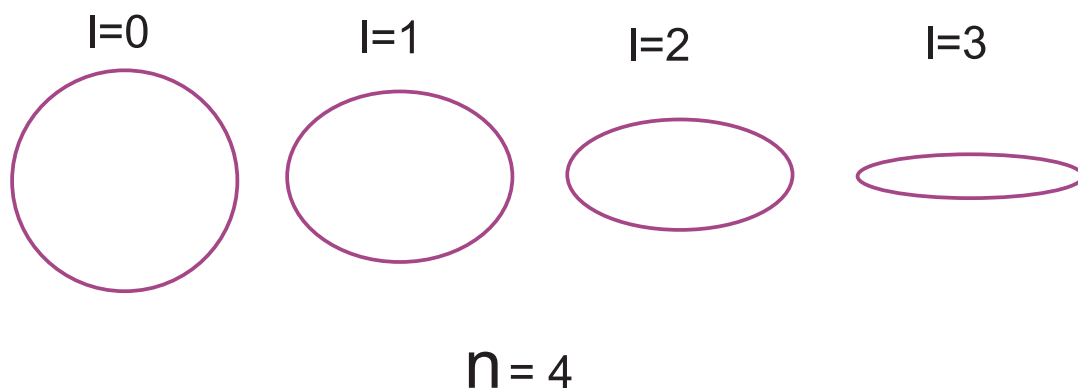
$$L = n_{\theta} \hbar, \quad (66)$$

که تفاوتی با شرط کوانتش بور ندارد. اما زومرفلد نشان داد که شرط کوانتش دوم به صورت زیر در می آید:

$$L\left(\frac{a-b}{b}\right) = n_r h, \quad n_r = 0, 1, 2, \dots \quad (67)$$

که در آن  $a$  قطر بزرگ بیضی و  $b$  قطر کوچک آن است. با حل معادلات حرکت برای مدارهای بیضی زومرفلد توانست روابط زیر را برای اندازه قطرهای بزرگ و کوچک و هم چنین انرژی مدارها بدست آورد:

$$a = n^2 a_0$$



شکل ۵: مدارهای الکترون در مدل زومرفلد برای اتم هیدروژن

$$\begin{aligned} b &= n n_{\theta} a_0 \\ E &= \frac{E_1}{n^2}, \end{aligned} \quad (68)$$

که در آن  $n := n_r + n_{\theta}$  شعاع بور (رابطه  $a_0 = \frac{h^2}{m e^2}$ ) و  $E_1$  انرژی حالت پایه اتم بور یعنی  $E_1 = -\frac{1}{2} m c^2 \alpha^2$  است. از آنجا که عدد کوانتومی  $n_r$  مقادیر صحیح مثبت و شامل صفر و  $n_{\theta}$  مقادیر صحیح مثبت را اختیار می کند، عدد کوانتومی  $n$  مقادیر صحیح مثبت را اختیار می کند. به این ترتیب بهتر است در اینجا نامگذاری خود را اندکی تغییر دهیم تا با آنچه که بعد ها در مکانیک کوانتومی جدید یاد خواهیم گرفت مطابقت کند. از این به جای  $(n_r, n_{\theta})$  از دو عدد کوانتومی  $(n := n_r + n_{\theta}, l := n_r)$  استفاده می کنیم. به این ترتیب روابط پیشین به صورت زیر در می آیند:

$$\begin{aligned} a &= n^2 a_0 \\ b &= n(n-l) a_0 \\ E &= \frac{E_1}{n^2} \\ , L &= (n-l) h. \end{aligned} \quad (69)$$

که در آن عدد کوانتومی  $n$  موسوم به عدد کوانتومی اصلی مقادیر زیر را اختیار می کند:

$$n = 1, 2, 3, \dots \quad (70)$$

و به ازای هر عدد کوانتومی اصلی  $n$  عدد کوانتومی  $l$  مقادیر زیر را اختیار می کند:

$$l = 0, 1, 2, \dots, n-1. \quad (71)$$

به این ترتیب مدارهای  $l=0$  مدارهای دایره ای و مدارهای  $l=n-1$  کشیده ترین بیضی ها هستند. ولی به ازای یک  $n$  همه این مدارها دارای یک انرژی هستند. شکل (۵) مدارهای الکترون را برای  $n=4$  نشان می دهد. انرژی الکترون در این مدارها یکسان است.

کار مهم دیگر زومرفلد آن بود که اثرات نسبیتی ناشی از سرعت زیاد الکترون را نیز در نظر گرفت و نشان داد که بخاطر این اثرات، واگنی سطوح انرژی از بین می رود، به این معنا که انرژی به هر دو عدد کوانتومی  $n$  و  $l$  بستگی پیدا می کند. رابطه وی

برای انرژی الکترون در یک تراز  $(n, l)$  به صورت زیر است:

$$E_{n,l} = -\frac{E_1}{n^2} \left[ 1 + \frac{\alpha^2}{n} \left( \frac{1}{n-l} - \frac{3}{4n} \right) \right]. \quad (72)$$

بعد از آن به مدت چندین سال انیستیتوی بور در کپنهاگ محل آمد و شد و تبادل نظر کسانی بود که در مراکز علمی دنیا بر روی جنبه های گوناگون نظریه کوانتومی کار می کردند.

آن سالها که یک همکاری بی نظیر بین یک نسل کامل از فیزیکدانان از کشورهای مختلف قدم به قدم و مرحله به مرحله به تعمیم منطقی نظریه مکانیک و الکترومغناطیس انجامید، سالهای قهرمانی فیزیک کوانتومی نامیده شده است. برای هرکسی که در این تجربه سهیم بوده است این یک امر فراموش نشدنی خواهد بود که چگونه با ترکیبی از راه های مختلف و معرفی اسلوب های مناسب ریاضی، شیوه جدیدی برای توصیف جهان فیزیکی تدوین یافت. برای چنین کاری موانع بسیاری می بایست از پیش رو برداشته شود، و بسیاری اوقات این کار توسط جوانترین همکاران ما صورت گرفت...»<sup>11</sup>

روزهای اول، کار من در انستیتوی بور آسان نبود. یکباره خود را مواجه با عده زیادی جوان با استعداد از چهارگوشه جهان دیدم که همگی در زباندانی و زبان آوری و حسن معاشرت و هم در آشنایی با فیزیک از من بسیار برتر بودند. بور را زیاد نمی دیدم. ظاهراً سرش به کار اداره انستیتو گرم بود و بدیهی بود که من حق نداشتم بیش از دیگر اعضای انستیتو مزاحم وقت او شوم. اما چند روز بعد به اتاق من آمد و از من خواست که چند روزی برای پیاده گردی در جزیره زیلند با او همراه شوم. گفت که در خود انستیتو فرصت چندانی برای گفتگوهای طولانی نیست و می خواهد مرا بهتر بشناسد. این بود که دو نفری کوله بر پشت به راه افتادیم...<sup>12</sup>

در این سالها بود که جنبه های مختلف مدل اتمی بور مورد مطالعه وسیع قرار گرفت، به عنوان مثال سعی می شد که الگوی اتمی بور برای توضیح رفتار اتم در میدان الکتریکی (شکافت خطوط طیفی موسوم به اثر اشتارک)، یا میدان مغناطیسی (شکافت خطوط طیفی موسوم به اثر زیمان)، و نظایر آن بکار برده شود. هم چنین سعی می شد که مدل اتمی بور به اتم های چند الکترونی تعمیم داده شود. برای درک دشواری هایی که در این راه وجود داشته است بهتر است ساده ترین اتم یعنی اتم هلیوم را در چارچوب نظریه کوانتومی قدیمی مطالعه کنیم. فرض می کنیم که هر دو الکترون اتم هلیوم در مدارهای دایره ای به شعاع های  $r_1$  و  $r_2$  به دور هسته هلیوم می چرخند. در این صورت اگر بخواهیم اصل کوانتاش بور را برای این دو مدار به کار ببریم باید بنویسیم

$$mv_1 r_1 = n_1 \hbar \quad mv_2 r_2 = n_2 \hbar. \quad (73)$$

<sup>11</sup> نیلزبور، خطا به یاد بود رادرفورد، ۱۹۵۸.  
<sup>12</sup> جزء و کل: ورنر هایزنبرگ، ترجمه علی معصومی همدانی

معادلات حرکت الکترون ها عبارتند از:

$$\begin{aligned} m \frac{d\vec{v}_1}{dt} &= -K \frac{2e^2}{r_1^3} \vec{r}_1 + K \frac{e^2}{|\vec{r}_1 - \vec{r}_2|} (\vec{r}_1 - \vec{r}_2) \\ m \frac{d\vec{v}_2}{dt} &= -K \frac{2e^2}{r_2^3} \vec{r}_2 + K \frac{e^2}{|\vec{r}_1 - \vec{r}_2|} (\vec{r}_2 - \vec{r}_1). \end{aligned} \quad (74)$$

حال آیا می توان با استفاده از این روابط مقادیر گسسته ای برای انرژی اتم که به صورت زیر است بدست آورد؟

$$E = \frac{1}{2}mv_1^2 + \frac{1}{2}mv_2^2 - K \frac{2e^2}{r_1} - K \frac{2e^2}{r_2} + K \frac{e^2}{|\vec{r}_1 - \vec{r}_2|}. \quad (75)$$

پاسخ این سوال منفی است. به عبارت دیگر نظریه قدیمی کوانتومی نمی توانست طیف ساده ترین اتم ها مثل اتم هلیوم را از نظر کمی به دقت توصیف کند. هم چنین در مورد اتم هیدروژن اگر چه می شد فرکانس خطوط تابشی را از مدل بور استخراج کرد، ولی شدت این خطوط را به هیچ وجه نمی شد از مدل قدیمی کوانتومی محاسبه کرد. با این وجود پیشرفت های پدیده شناسی و کیفی بسیاری در این سالها صورت گرفت، که می توانست به تقریب از پس توصیف بعضی چیزها برآید.

## ۱.۶ اصل تناظر (Correspondence Principle)

یکی از اصولی که توسط بور وضع شده بود و اغلب مورد استفاده قرار می گرفت، اصلی بود موسوم به اصل تناظر یا *Correspondence Principle*. برای فهم این اصل به مدل اتمی بور برای اتم هیدروژن توجه می کنیم. می دانیم که برای مدار  $n$  ام، شعاع، سرعت و انرژی به ترتیب برابرند با:

$$r_n = \frac{n^2 \hbar}{\alpha mc}, \quad v_n = \alpha \frac{c}{n}, \quad E_n = -\frac{1}{2n^2} \alpha^2 mc^2. \quad (76)$$

بنابر اصل دوم بور وقتی که الکترون از لایه  $n$  ام به لایه  $n-1$  ام جهش می کند، فوتونی صادر می کند با فرکانس

$$\omega = \frac{E_n - E_{n-1}}{\hbar} = \frac{1}{2\hbar} \alpha^2 mc^2 \left( \frac{1}{(n-1)^2} - \frac{1}{n^2} \right). \quad (77)$$

حال برای  $n$  های بزرگ می توان طرف راست را با تقریب بسیار خوب به صورت زیر نوشت:

$$\omega \approx \alpha^2 mc^2 \frac{1}{\hbar n^3} \quad (78)$$

اما از رابطه 76 می توانیم فرکانس گردش الکترون به دور هسته را بدست آوریم که برابر است با

$$\frac{v_n}{r_n} = \alpha^2 mc^2 \frac{1}{n^3 \hbar}. \quad (79)$$

که با فرکانس فوتون تابش شده یکسان است. بر مبنای فیزیک کلاسیک، انتظار داریم که وقتی الکترون یک حرکت دایره ای انجام می دهد نوری با همان فرکانس چرخش اش تابش کند. بنابراین وقتی که مدارهای با اعداد کوانتومی بزرگ را در نظر می

گیریم نتایج ما با نتایج فیزیک کلاسیک مطابق یا منناظر است و آثار کوانتومی تنها وقتی ظاهر می شود که مدارهای با اعداد کوانتومی کوچک یعنی مدارهای درونی اتم را مطالعه کنیم.

این اصل به اصل تناظر مشهور است. آیا می توان از این تناظر استفاده بیشتری کرد و برای سوالاتی که با اصول اولیه بور نمی توان به طور دقیق به آنها پاسخ گفت، پاسخ های تقریبی فراهم کرد؟ برای پاسخ گویی به این سوال و برای آشنایی با نمونه ای از استفاده هایی که در دوران نظریه کوانتومی قدیمی از این اصل می شده است یک مثال ساده را بررسی می کنیم. مثلاً آیا می توان با استفاده از اصل تناظر چیزی راجع به شدت خطوط طیفی فهمید؟ از فیزیک کلاسیک می دانیم که اگر ذره ای با بار الکتریکی  $e$  شتاب  $a$  داشته باشد توان تابشی اش برابر است با:

$$P = K \frac{2}{3} \frac{a^2}{c^3}. \quad (80)$$

حال اگر الکترونی در مداری با عدد کوانتومی  $n$  باشد شتاب اش برابر است با

$$a_n = \frac{v_n^2}{r_n}. \quad (81)$$

و فرکانس دورانی اش برابر است با  $\omega_n = \frac{v_n}{r_n}$ . بنابراین تناظر، اگر  $n$  های بزرگ را در نظر بگیریم فوتون تابش شده دارای همین فرکانس و در نتیجه دارای انرژی  $\mathcal{E}_n = \hbar \omega_n = \hbar \frac{v_n}{r_n}$  است. بنابراین می توانیم از تقسیم توان تابشی بر انرژی یک فوتون می توان نرخ فوتون هایی را که در واحد زمان تابش می شوند (یعنی احتمال تابش فوتون در واحد زمان) را پیدا کنیم. این نرخ برابر است با:

$$\begin{aligned} R_n &= \frac{P}{\mathcal{E}_n} = K \frac{2e^2}{3} \frac{1}{c^3} \frac{\frac{v_n^4}{r_n^2}}{\frac{\hbar v_n}{r_n}} \\ &= K \frac{2}{3} \frac{e^2}{\hbar r_n} \frac{v_n^3}{c^3}. \end{aligned} \quad (82)$$

با استفاده از رابطه 76 طرف راست این رابطه ساده خواهد شد. عبارت نهایی برابر خواهد بود با:

$$R_n = \frac{2}{3} \frac{\alpha^5}{n^5} \frac{mc^2}{\hbar}. \quad (83)$$

جالب است که بدانیم، مشاهدات تجربی و همچنین محاسبات دقیقی که با مکانیک کوانتومی جدید نیز انجام می دهیم این عبارت را صرف نظر از ضریب عددی آن تایید می کنند. آنچه که بدست آمد، برای مدارهای با عدد کوانتومی بزرگ معتبر است. برای مدارهای با عدد کوانتومی کوچک، یعنی مدارهای درونی چه باید کرد؟ در این جا اگر بخواهیم از اصل تناظر استفاده کنیم تنها می توانیم به حدس و گمان متوسل شویم. مثلاً می توانیم بگوییم که احتمالاً عامل  $\frac{1}{n^5}$  ناشی از تفاضل دو عامل  $\frac{1}{(n-1)^4}$  و  $\frac{1}{n^4}$  بوده است که برای  $n$  های بزرگ به آن صورت درآمده است. به عبارت دقیق تر می توانیم جایگزینی زیر را انجام دهیم:

$$\frac{1}{n^5} \rightarrow \frac{1}{4} \left( \frac{1}{(n-1)^4} - \frac{1}{n^4} \right). \quad (84)$$

بنابراین می توان حدس زد که نرخ گذار از حالت  $n$  به  $n-1$  (برای همه  $n$  ها) چیزی شبیه به این است

$$R_{n \rightarrow n-1} = \frac{2}{3} \alpha^5 \frac{mc^2}{\hbar} \frac{1}{4} \left( \frac{1}{(n-1)^4} - \frac{1}{n^4} \right), \quad (85)$$

و یا در حالت کلی تر، نرخ گذار از حالت  $n_1$  به حالت  $n_2$  عبارت است از:

$$R_{n_1 \rightarrow n_2} = \frac{2}{3} \alpha^5 \frac{mc^2}{\hbar} \frac{1}{4} \left( \frac{1}{n_2^4} - \frac{1}{n_1^4} \right), \quad (86)$$

و در نتیجه با دانستن انرژی فوتون های تابشی که می بایست به صورت  $\frac{E_{n_1} - E_{n_2}}{\hbar}$  در نظر گرفته شوند، می توان عبارتی برای شدت خطوط طیفی بعضی از خطوط طیفی بدست آورد (زیرا مدارهای بیضی را مطالعه نکرده ایم). ولی اندازه گیری شدت خطوط طیفی نشان می داد که این عبارت ها فقط با تقریب درست هستند.

با این محاسبه می خواستیم بگوییم که چگونه در آن سالها بور و همکارانش و دیگر فیزیکدانان سعی می کردند که الگوی بور را برای حل مسائل پیچیده تر بکار ببرند و از چه مفاهیم و ابزاری استفاده می کردند.

در همین سال ها بود که با ترکیبی از استدلال های از نوع فوق بعلاوه تفارن همراه با داده های ناشی از شیمی و طیف نگاری اتمی، مدل لایه ای برای اتم های چند الکترونی نیز عمدتاً توسط خود بور شکل گرفت. هر لایه که چیزی شبیه به گروهی از مدارها با شعاع های نزدیک به هم است ظرفیت معینی برای پذیرش الکترون دارد و الکترون های آخرین لایه خواص شیمیایی اتم را تعیین می کنند. به این ترتیب مبنای کیفی خوبی برای خواص تناوبی عناصر، چنانکه در جدول مندلیف می بینیم فراهم آمد. شکلی که هنوز هم به عنوان سمبل اتم به کار می رود و در آن هسته اتم در احاطه مدارهای بیضوی گوناگون و متقاطع نشان داده می شود، در واقع حاصل فعالیت های بور در آن دوران است. بور با قدرت بی نظیری که در ترکیب استدلالات فیزیکی و داده های مشاهداتی شیمی و طیف نگاری داشت تلاش زیادی در توصیف ساختمان اتم های چند الکترونی انجام داد، که با موفقیت های نسبی نیز همراه بود. وی در سخنرانی هایش در این دوران شکل مدارهای مختلف را در اتم های چند الکترونی روی تابلوهایی بزرگ به رنگ های سیاه و سرخ می کشید تا بتواند تصویر واضح تری از ساختمان اتم بدست دهد. متأسفانه از تابلوهای اولیه امروزه اثری باقی نمانده است. رویهمرفته اگرچه پیشرفت های درخشانی در این دوران حاصل شد، معلوم بود که مدل اتمی بور و اصل تناظر نمی تواند مدل دقیق و محکمی برای توصیف پدیده های اتمی باشد.

«... کارهای پژوهشی اولیه من در اوایل سالهای ۱۹۲۰ که مبتنی بر مدارهای اتمی بور بود، کاملاً ناموفق از آب درآمد. من قصد داشتم مدارهای بور را واقعی تلقی کنم و برای آنها یک صورت بندی ریاضی درست کنم. هر مدار بور به یک الکترون تعلق داشت و برای این که اتم های چند الکترونی را توصیف کنم نیاز داشتم که یک نظریه برای مدارهای بور در برهم کنش با یکدیگر بسازم. من مثل خیلی های دیگر به شدت روی این مسئله کار کردم که البته حاصلی در بر نداشت و نمی توانست داشته باشد.»<sup>13</sup>

<sup>13</sup>پاول دیراک: مبانی ریاضی نظریه کوانتومی، ۱۹۷۸.

بتدریج معلوم شد که نارسایی های مدل اتمی قدیمی با اصلاحات جزئی در مدارهای بور و یا اصول اولیه او رفع نخواهند شد و عبور از موانع پیش رو جز به کمک یک تغییر بنیادین در نظریه های فیزیکی امکان پذیر نیست. در این سالها مکاتب مهم دیگری در برلین و هم چنین گوتینگن در زمینه فیزیک اتمی فعال شده بودند. مکتب گوتینگن به خصوص به لحاظ اتکا بر ریاضیات دقیقی که ناشی از حضور ریاضیدانان بزرگی مثل دیوید هیلبرت و ریچارد کورانت بود، تاثیر جدی در تولد مکانیک کوانتومی جدید داشته است. در برابر این مکتب بور نمی توانست از ساختمان اتمهای چند الکترونی خود دفاع بایسته ای انجام دهد.

شهرهای کوچک دانشگاهی بطرز دل انگیزی به یکدیگر شبیه اند. گوتینگن<sup>14</sup> نیز با کمبریج انگلستان یا ییل<sup>15</sup> تفاوت چندانی ندارد: شهرستانی کوچک که از شهرهای بزرگ دور است و کسی جز برای ملاقات استادان دانشگاه به آنجا نمی آید در صورتیکه استادان در اینک مفرشان مرکز جهان است کوچکترین شک و تردیدی به خود راه نمی دهند. روی سردر ساختمان راتسکلر<sup>16</sup> به لاتین این جمله حک گشته است: « خارج از گوتینگن زندگی نیست »<sup>17</sup>.

منظره شهر گوتینگن نیز چون دیگر شهرهای دانشگاهی مستور از جاده های بشمارای است که استادان پس از صرف ناهار در آن قدم می زنند و اگر دانشجویی را در جرگه خود بپذیرند، از خوشحالی در پوست خود نخواهد گنجید. احتمالاً قبل از قرن نوزدهم گوتینگن شهر آرام و بی سروصدایی بوده است. راهی که گوتینگن را به دنیای خارج مرتبط می ساخت راه آهنی بود که بازدیدکنندگان را از برلین و کشورهای خارج به آنجا می آورد. آنها با شور و هیجان هر چه تمام تر در انتظار آن بودند که در باره آخرین پیشرفت های علم فیزیک با استادان این دانشگاه به گفتگو بنشینند. اهالی گوتینگن عقیده داشتند در قطار برلین علم و دانش همواره در حال پیشرفت است زیرا در اینجا بود که مردم در باره افکار جدید بحث و تبادل نظر می کردند.

در سال ۱۹۲۱ کرسی فیزیک این دانشگاه به ماکس بورن داده شد. بورن در این زمان چهل سال داشت و در این جا بود که کنفرانسهای متعددی ترتیب داد تا کلیه علاقمندان به فیزیک اتمی را در این شهر کوچک دانشگاهی گرد هم جمع کند.<sup>18</sup>

یکی از کسانی که به گوتینگن آمد تا تحت نظر ماکس بورن کار کند ورنر هایزنبرگ بود که دکترایش را به تازگی تحت نظر آرنولد زومرفلد به پایان رسانده بود. در اواخر ۱۹۲۴ وی به کار روی نظریه طیفی پرداخت. ایده انقلابی ای که می بایست سرانجام نقطه پایانی بر مدل اتمی بور و یا بسیار مهم تر از آن نقطه پایانی بر درک و تصور کلاسیک ما از الکترون و دنیای میکروسکوپی به مثابه یک دنیای مانوس باشد که با زبان رایج در زندگی روزمره قابل توصیف اند، توسط هایزنبرگ ارائه شد. وی نشان داد که برای درک و توصیف دقیق دنیای میکروسکوپی مجبوریم که تمامی تصورات خود را که از دنیای ماکروسکوپی وام گرفته ایم بدور بریزیم. مسیر الکترون چیزی نبود که هرگز بلافاصله بر ما آشکار شده باشد، ما تنها به کمک واسطه های تجربی وجود چنین چیزی را استنتاج می کنیم، چون عادت کرده ایم که به الکترون نیز مثل یک گوی بیلیارد و یا توپ فکر کنیم.

Gottingen<sup>14</sup>

Yale<sup>15</sup>

Rathskeller<sup>16</sup>

Extra Gottingen non est vita<sup>17</sup>

عروج انسان: ژاکوب برونوفسکی<sup>18</sup>



مثل همیشه ایده انقلابی ای که راهگشا شده بود از شک و تردید در مفاهیمی حاصل شده بود که طی سالیان دراز و بدون هیچ دلیل منطقی در ذهن ما رسوب کرده بود. همانگونه که اینشتین چند سال از آن در نظریه نسبیت خاص نشان داده بود مفهوم همزمانی مطلق یک مفهوم به غلط جاافتاده است، هایزنبرگ نیز بعد از ارایه مکانیک جدیدش با آزمایش های فکری ساده ای نشان داد که این ایده که ما می توانیم چیزی مثل مسیری الکترون را به تصور خود در آوریم، یک مفهوم بدیهی نیست و اگر چنین کنیم خیلی زود به تناقض دچار می شویم. ولی قبل از آنکه به آزمایش های فکری ای از این نوع بپردازیم لازم است که اساس مکانیک جدیدی که هایزنبرگ معرفی کرد و طی چند ماه توسط ماکس بورن و پاسکال ژوردن توسعه یافت و به مکانیک ماتریسی<sup>19</sup> معروف شد را بیان کنیم.

« وقتی می خواهیم حالت نظریه اتمی را در آن ماه ها مجسم کنم، همیشه به یاد یک کوه پیمایی می افتم که با برخی از دوستانم در جنبش جوانان، احتمالاً در اواخر پاییز ۱۹۲۴ داشتم. این بار از کرویت<sup>20</sup> راه افتادیم و به دریاچه آخن رسیدیم. هوای دژه تعریفی نداشت و کوهها در پرده ابر پوشیده بود. هنگام صعود، مه کم کم ما را در خود گرفت و چیزی نگذشت که خود را در دل انبوهی از صخره ها و بوته ها یافتیم، بی آنکه نشانی از راه دیده شود. تصمیم گرفتیم که صعود را ادامه دهیم، گرچه دلمان می خواست که اگر حادثه ای ناگواری روی داد، به پایین برگردیم. اما یکبار مه چنان غلیظ شد که چشم چشم را نمی دید و ما فقط با فریاد زدن می توانستیم با هم ارتباط داشته باشیم، و در همان هنگام بالای سر ما روشن تر شد و نوریکباره رنگ عوض کرد، ظاهراً یک پارچه مه داشت از بالای سر ما رد می شد. بعد یک مرتبه، لبه یک دیواره ی پر شیب درست روبرویمان ظاهر شد که در نور خورشید غرق بود. لحظه ای بعد دوباره مه پایین آمد، اما آنقدر دیده بودیم که بتوانیم راهمان را از روی نقشه پیدا کنیم. پس از ده دقیقه کوهنوردی دشوار، در نور خورشید قرار گرفتیم — در بلند ترین نقطه بر فراز دریای مه. در طرف جنوب قله های جبال زون وند<sup>21</sup> و آن سو تر ارتفاعات برف پوش آلپ مرکزی دیده می شد، و همه نفس راحتی کشیدیم. در فیزیک اتمی هم ظاهراً زمستان ۱۹۲۴-۱۹۲۵ ما را به قلمرو مه آلودی کشانیده بود اما در همانجا نور از پشت مه کورسویی می زد و نوید چشم اندازهای جدید را می داد.

هایزنبرگ می خواست موقعیت بغرنج فیزیک اتمی را از نو با زاندیشی کند و نقطه شروع خود را تنها و تنها کمیت های مشاهده پذیر قرار دهد و از اصرار بر وجود مسیر و مدار برای الکترون دست بردارد. بنابر نظری ما از درون اتم تنها مجموعه ای از خطوط طیفی با شدت های گوناگون می بینیم. در بین این فرکانس ها نظمی برقرار است، به این معنا که می توان فرکانس های خطوط طیفی را با دو شاخص مثل  $\nu_{n,m}$  نشان داد به طوری که بین آنها رابطه زیر برقرار باشد:

$$\nu_{n,m} + \nu_{m,p} = \nu_{n,p}. \quad (87)$$

Matrix Mechanics<sup>19</sup>  
Kreuth<sup>20</sup>  
Sonnwend<sup>21</sup>

این رابطه بلافاصله به ما می گوید که همه فرکانس ها را می توان بر اساس یک سلسله فرکانس اصلی نوشت، یعنی

$$\nu_{n,m} = \nu_n - \nu_m. \quad (88)$$

از آنجا فوتونی با فرکانس  $\nu_{m,n}$  انرژی  $\hbar\nu_{m,n}$  دارد، نتیجه می گیریم که انرژی فوتون برابر است با:

$$\hbar\nu_{n,m} = \hbar\nu_n - \hbar\nu_m =: E_n - E_m, \quad (89)$$

این امر به این معناست که الکترون در درون اتم یک رشته از انرژی های مجاز  $\{E_m\}$  دارد که گذار بین این لایه های انرژی منجر به صدور یا جذب فوتون می شود. بنابراین مسئله ساختن مدلی از سینماتیک و دینامیک درون اتم است به نحوی که این فرکانس های اصلی را تولید کند.

در اواخر ماه مه ۱۹۲۵ به تب یونجه دچار شدم و چنان بیمار شدم که از برون دو هفته مرخصی گرفتم. فوراً راه افتادم و به هلی گولند<sup>22</sup> رفتم، امید داشتم که در آنجا در آغوش هوای دریا و دور از شکوفه ها و چمنزارها با سرعت شفا یابم. ظاهراً هنگامی که به آنجا رسیدم قیافه ای تماشایی داشتم، چون بانوی میزبانم نگاهی به من انداخت و پیش خودش گفت که حتماً کتک کاری کرده ام و قول داد که در دوران نقاهت از من پرستاری کند. اتاقم در طبقه دوم بود، و چون خانه در ارتفاعات حد جنوبی آن جزیره صخره ای بنا شده بود، چشم انداز با شکوه دهکده و تپه های شنی و دریا زیر پایم بود. وقتی روی بالکن نشستم فرصتی یافتم تا به این حرف بوربندیشم که وقتی انسان به دریا می نگرد انگار بخشی از بی نهایت را در دسترس خود دارد.

بجز گردشهای طولانی، چیزی در هلی گولند نبود که توجه مرا از مسئله ای که داشتم منحرف کند. بنابراین سرعت پیشرفتم بسیار بیش از گوتینگن بود. ظرف چند روز همه موانع ریاضی را که معمولاً در شروع این نوع کارها راه پیشرفت را سد می کند از سر راه کنار زدم و توانستم مسئله را به صورت ساده ای در آورم. و با چند روز دیگر کار، برابرم روشن شد که در یک فیزیک اتمی که نخواهد چیزی جز کمیت های مشاهده پذیر را به خود راه بدهد، چه چیزی باید جای شرایط کوانتومی بور- زومرفلد را بگیرد.....

آنچه که هایزنبرگ یافته بود آن بود که سینماتیک و دینامیک الکترون در درون اتم می بایست به زبان کاملاً متفاوتی از زبان کلاسیک و نیوتنی توصیف شود. در این جا فرصت آن را نداریم که گام های هایزنبرگ را به همراه او دوباره طی کنیم. خواننده ای که به این کار علاقه دارد می بایست به مقاله اولیه هایزنبرگ و یا بیان ساده تر آن<sup>23</sup> رجوع کند. در این جا تنها به شکل نهایی فرض های او می پردازیم. به بیان امروزی مکانیک جدید او را می توان چنین توصیف کرد. به هر متغیر دینامیکی مثل  $x$  و یا  $p$  و یا  $h$  (هامیلتونی) یک ماتریس مربعی نسبت می دهیم، مثل  $X$ ،  $P$  و  $h$ . (فعلاً مساله را برای سادگی یک بعدی در نظر گرفته ایم.) این ماتریس ها در رابطه های جابجایی ای صدق می کنند که متناظر با رابطه کروهی پواسون هستند: یعنی بجای

$$\{x, p\} = 1$$

Heligoland<sup>22</sup>

<sup>23</sup> تولد کوانتوم مکانیک جدید به زبان امروزی: محمد خزّمی، مجله گاما، شماره ۲، بهار ۱۳۸۳.

$$\begin{aligned}\frac{dx}{dt} &= \{x, h\} \\ \frac{dp}{dt} &= \{p, h\}.\end{aligned}\quad (90)$$

بین متغیرهای دینامیکی کلاسیک می بایست روابط زیر را بین ماتریس ها برقرار کنیم:

$$\begin{aligned}[X, P] &= i\hbar \\ i\hbar \frac{dX}{dt} &= [X, H] \\ i\hbar \frac{dP}{dt} &= [P, H].\end{aligned}\quad (91)$$

رابطه بین کمیت ها کمابیش همان رابطه بین آنها در حالت کلاسیک است، به این معنا که اگر در حالت کلاسیک داریم  $h = \frac{p^2}{2m} + V(x)$ ، در حالت کوانتومی هم داریم

$$H = \frac{P^2}{2m} + V(X).\quad (92)$$

بنابر مکانیک ماتریسی هایزنبرگ، از این ماتریس ها می توان مقادیر مشاهده پذیر را بدست آورد به این معنا که برای هر ماتریس مقادیر مشاهده پذیر همان ویژه مقادیر آن ماتریس هستند. بنابراین ویژه مقادیر هامیلتونی  $H$  لایه های مجاز انرژی سیستم را بدست می دهند، یا مقادیر مشاهده پذیر تکانه ویژه مقادیرهای ماتریس  $P$  هستند. از آنجا که مقادیر مشاهده پذیر می بایست حقیقی باشند، ماتریس های مربوطه می بایست هرمیتی باشند. هایزنبرگ خود توانست در اولین مقاله خود از این طریق سطوح انرژی نوسانگر هارمونیک یعنی ویژه مقادیرهای ماتریس

$$H = \frac{P^2}{2m} + \frac{1}{2}m\omega^2 X^2,\quad (93)$$

را بدست آورد و نشان دهد که این سطوح انرژی نوسانگر هارمونیک چیزی نیستند جز  $E_n = (n + \frac{1}{2})\hbar\omega$ .

وقتی نتایج نهایی محاسبات را پیش رویم دیدم ساعت سه بعد از نیمه شب بود: اصل بقای انرژی برای همه جمله ها صادق از کار درآمده بود و من دیگر در انسجام و سازگاری ریاضی مکانیک کوانتومی که محاسباتم نویدش را می داد، تردیدی نداشتم. در آغاز بیم زده شدم، حس می کردم که از پشت پرده پدیده های اتمی به دنیای درون این پدیده ها، با آن زیبایی عجیبش، نگاه می کنم و از اینکه باید این ساخت غنی ریاضی را که طبیعت با این دست و دل بازی پیش رویم گستره است بکاوم، تقریباً گیج بودم. از فرط هیجان خوابم نبرد، و وقتی که سپیده زد به طرف کناره جنوبی جزیره راه افتادم. مدت ها بود که دلم می خواست از صخره ای که بر دریا سایه افکن بود صعود کنم. آن روز این کار را بدون زحمت انجام دادم و در آنجا به انتظار طلوع خورشید نشستم.....<sup>24</sup>

<sup>24</sup> جزء و کل، ورنر هایزنبرگ، ترجمه علی معصومی همدانی

بعد از انتشار مقاله هایزنبیگ به فاصله کوتاهی بورن و ژوردان در مقاله ای و سپس هر سه باهم در مقاله سومی مکانیک کوانتومی جدید یا مکانیک ماتریسی را مدون کردند. به فاصله کوتاهی ولفگانگ پاولی مکانیک ماتریسی را برای اتم هیدروژن بکاربرد. برای این مسئله سه بعدی بنابر مکانیک ماتریسی روابط جابجایی بین ماتریس ها به شکل زیر است:

$$[X_i, X_j] = 0 \quad [P_i, P_j] = 0, \quad [X_i, P_j] = i\hbar\delta_{i,j}, \quad i, j = x, y, z, \quad (94)$$

و ترازهای انرژی عبارتند از ویژه مقادیر ماتریس هامیلتونی که به شکل زیر است:

$$H = \frac{P.P}{2m} - K \frac{e^2}{R}, \quad (95)$$

که در آن  $P.P = P_x^2 + P_y^2 + P_z^2$  و  $R = \sqrt{X^2 + Y^2 + Z^2}$ . به این ترتیب پاولی اولین کسی بود که در چارچوب مکانیک کوانتومی جدید، ترازهای انرژی اتم هیدروژن را محاسبه کرد و نشان داد که دقیقاً همان مقادیری را دارند که در مدل اتمی بور بدست آمده بود.

## ۷ مکانیک موجی

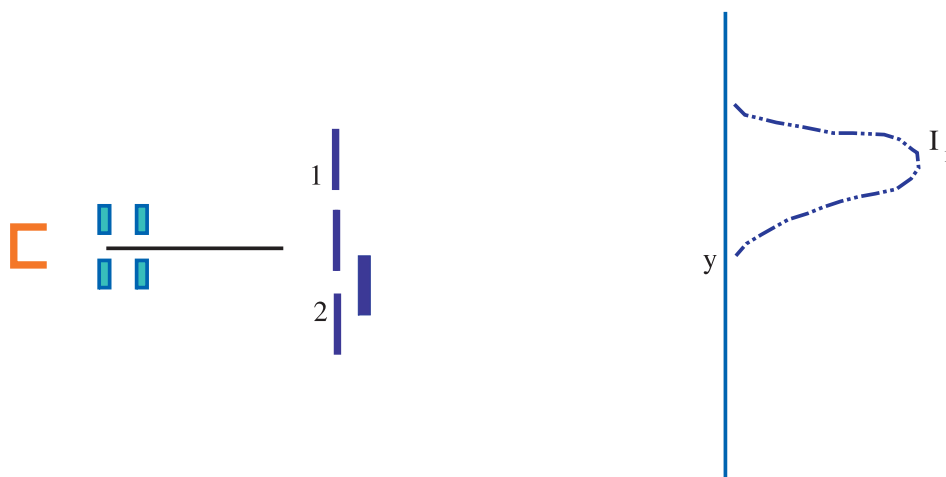
مقارن همین زمان اروین شرودینگر مشغول بسط مکانیک موجی و استفاده از آن برای حل مسئله ساختمان اتمی بود. وی توانست به فاصله ۵ روز بعد از انتشار مقاله پاولی طیف اتم هیدروژن را با استفاده از مکانیک موجی بدست آورد. برای آنکه داستان پیدایش مکانیک موجی را بازگو کنیم می بایست چند ماهی به عقب بازگردیم، یعنی به زمانی که لویی دوبروی فرانسوا با استفاده از نسبیت خاص به این نتیجه رسیده بود که همچنان که نور خاصیت ذره ای دارد ممکن است که ذرات مادی نیز خواص موجی داشته باشند. وی پیشنهاد کرده بود که به ذره ای با انرژی  $E$  و تکانه  $P$  می توان موجی با فرکانس  $\omega$  و بردار موج  $k$  نسبت داد و رابطه خصلت های موجی و ذره ای به شکل زیر است:<sup>25</sup>

$$E = \hbar\omega, \quad P = \hbar k. \quad (96)$$

به فاصله کوتاهی دیویسون و گرمر<sup>26</sup> و سپس مستقلاً جی. پی. تامسون<sup>27</sup> توانستند نشان دهند که الکترون ها در برخورد از شبکه های بلوری طوری پراکنده می شوند که انگار امواجی با طول موج دوبروی به آنها وابسته است و این امواج الکترونی هستند که با هم تداخل می کنند و تعداد الکترون های ثبت شده روی اشکارسازها را تعیین می کنند. شکل ساده شده این آزمایش ها به آزمایش دو شکاف مشهور است و می توان مفهوم موج الکترونی را در آن به سادگی فهمید.

<sup>25</sup> برای درک عمیق تری از پیشنهاد دوبروی و چگونگی استدلال وی رجوع کنید به ترجمه مقاله او «تابش - موج ها و کوانتوم ها»، لویی دوبروی، مجله گاما، شماره ۵، زمستان ۱۳۸۳، یا شرح ساده ای از آن «یادداشتی بر مقاله ی دوبروی: تابش - موج ها و کوانتوم ها» امیرحسین فتح اللهی، همان شماره از مجله گاما.

<sup>26</sup> Davisson and Gremmer  
<sup>27</sup> G. P. Thompson



شکل ۶: آزمایش دو شکاف : تنها شکاف بالایی باز است و طرح  $I_1$  روی پرده مشاهده می شود.

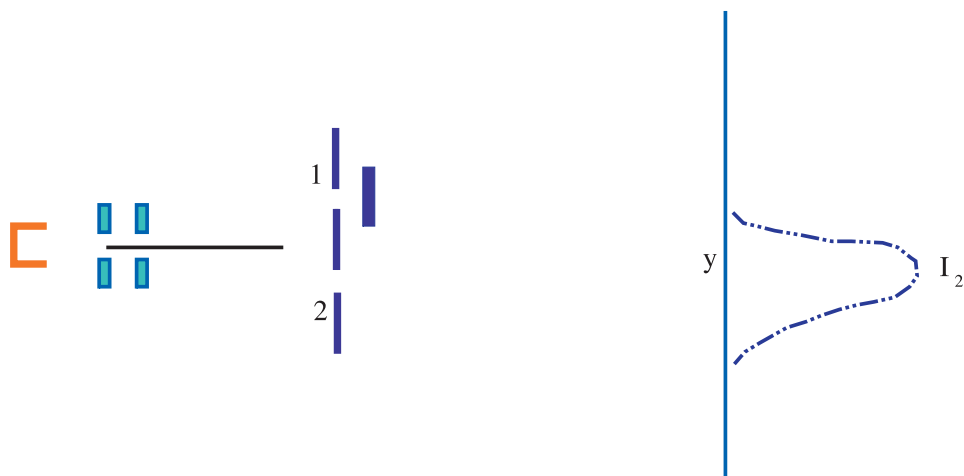
## ۱.۷ آزمایش دو شکاف

شکل ۶ طرح ساده آزمایش دو شکاف را نشان می دهد. درست چپ این شکل یک فیلامان حرارتی وجود دارد که بخاری از ذرات بارداریونیزه را از خود متصاعد می کند. میدان های الکتریکی به همراه مجموعه ای از یکسوکننده ها ذرات با تکانه مشخص را جدا می کنند. شکاف پایینی مسدود شده است. مکان هر ذره که روی پرده می نشیند (توسط یک آشکارساز) ثبت می شود. هرگاه این آزمایش را برای مدت طولانی انجام دهیم دایره نشستن ذرات روی یک پرده مثلاً یک پرده فلوئورسانس یک طرح  $I_1$  بوجود خواهد آمد.  $I_1(y)$  در واقع متناسب با تعداد ذرات نشسته شده روی نقطه  $y$  است. شکل (۷) همان آزمایش را نشان می دهد با این تفاوت که این بار شکاف بالایی بسته است. طرحی که می بینیم برابر است با  $I_2$ . در شکل (۸) هر دو شکاف باز هستند. انتظار داریم که این بار رابطه زیر برقرار باشد:

$$I_{1+2}(y) = I_1(y) + I_2(y). \quad (97)$$

اما آنچه که در آزمایش می بینیم آن است که ذرات مطابق با طرح  $I_{12}$  که یک طرح تداخلی است روی پرده می نشینند. این طرح درست مثل طرح تداخلی دو موج است که که طول موج آنها از رابطه  $\lambda = \frac{h}{p}$  بدست آمده باشد، شکل ۱.۰. در این شکل فاصله شکاف یک تا نقطه مورد نظر در پرده را با  $r_1$  و فاصله شکاف دو را تا آن نقطه با  $r_2$  نشان می دهیم. طرح روی پرده را تنها به این صورت می توانیم تبیین کنیم که انگار دو موج همفاز از شکاف های ۱ و ۲ با هم تداخل کرده اند و تعداد الکترون های ثبت شده روی پرده متناسب با شدت این موج است. هیچ طرح و الگوی ریاضی دیگری نمی تواند طرح روی پرده را توصیف کند. هرچقدر هم که عجیب به نظر برسد این تنها الگویی است که به طور دقیق نتایج آزمایش های بیشمار پراکندگی الکترون ها و دیگر ذرات را در موقعیت های گوناگون می تواند توصیف کند. در آزمایش دو شکاف تنها می توانیم بگوییم که هرگاه طرح  $I_1$  را برابر با شدت موجی بگیریم که از شکاف ۱ به پرده می رسد یعنی

$$I_1 = |\psi_1|^2 \quad (98)$$



شکل ۷: آزمایش دو شکاف : تنها شکاف پایینی باز است و طرح  $I_2$  روی پرده مشاهده می شود.

و هم چنین هرگاه طرح  $I_2$  را برابر با شدت موجی بگیریم که از شکاف 2 به پرده می رسد یعنی

$$I_2 = |\psi_2|^2, \quad (99)$$

آنگاه طرح  $I_{12}$  برابر است با شدت موجی که از داخل این دو موج بدست می آید یعنی

$$I_{12} = |\psi_1 + \psi_2|^2. \quad (100)$$

هرگاه قرار دهیم

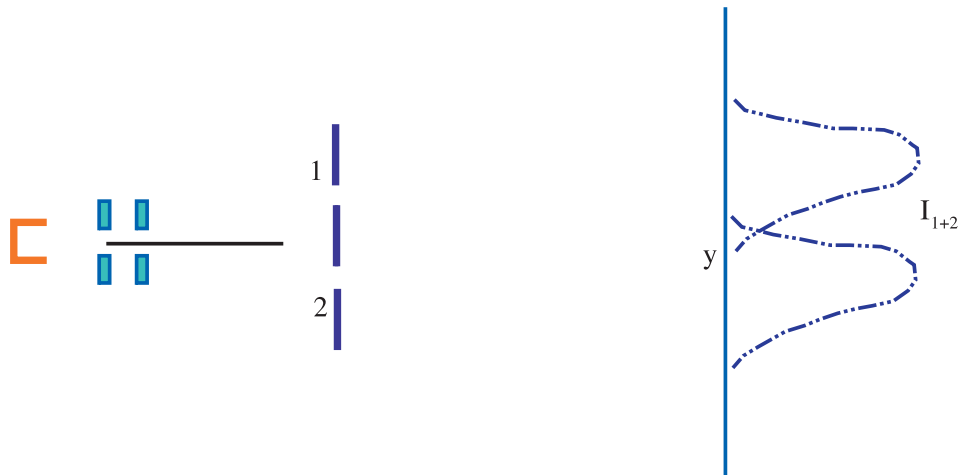
$$\psi_1(r, t) = Ae^{ikr_1 - \omega t} = Ae^{ik(r - \frac{a}{2}\theta) - \omega t}, \quad \psi_2(r, t) = Ae^{ikr_2 - \omega t} = Ae^{ik(r + \frac{a}{2}\theta) - \omega t}, \quad (101)$$

که در آن فرض کرده ایم فاصله پرده تا شکاف ها نسبت به فاصله دو شکاف از هم بسیار بزرگ است، آنگاه

$$I_{12} = |\psi_1(r, t) + \psi_2(r, t)|^2 = 4I \cos^2 \frac{ak}{2} \theta. \quad (102)$$

از آنجا که برای  $\theta$  های کوچک،  $y \approx D\theta$  شدت ورود الکترون ها را روی پرده می توانیم به عنوان تابعی از  $y$  بنویسیم. این تابع برابر خواهد بود با

$$I_{12} = 4I \cos^2 \frac{ak}{2} \frac{y}{D}. \quad (103)$$



شکل ۸: آزمایش دو شکاف : هر دو شکاف باز هستند . طرح روی پرده یعنی طرح  $I_{1+2}$  طرح ای است که انتظار داریم ببینیم.

این طرح تموجی یا نوارهای روشن و تاریک درست همان چیزی است که در آزمایش می بینیم، یعنی اینکه وقتی هر دو شکاف باز هستند، در نقطه مرکزی  $y = 0$  شدت طرح برابر با صفر است و اولین نوار تاریک در نقطه

$$y = \frac{\pi D}{ak} = \frac{\lambda D}{2a}$$

قرار دارد. از روی محل این نوار تاریک می تواند با استفاده از این رابطه  $k$  و در نتیجه طول موج الکترون ها را بدست آورد. عملاً این همان کاری بود که دیویسون و گرمر و هم چنین تامسون انجام دادند و در دوران جدید نیز با دقت خیلی بیشتری انجام شده است. فعلاً به این بسنده می کنیم که به الکترون ها موجی وابسته است که شدت آن تعداد آنها را در هر نقطه از زمان و فضا نشان می دهد. در ادامه این درس به این آزمایش باز خواهیم گشت.

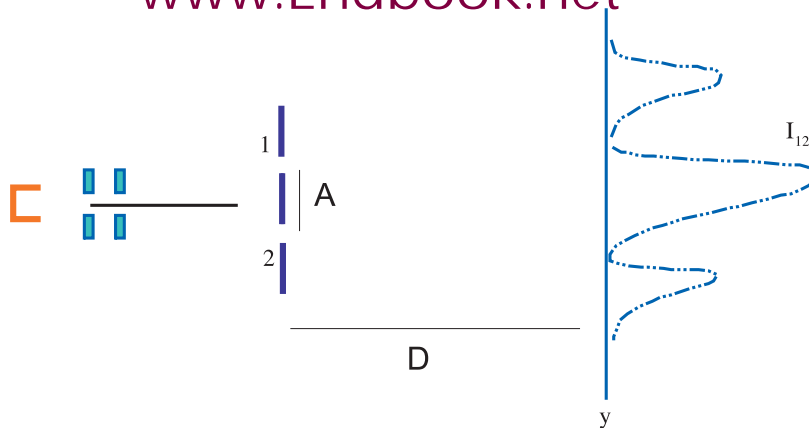
## ۲.۷ معادله شرودینگر

یک موج تخت به شکل زیر است،

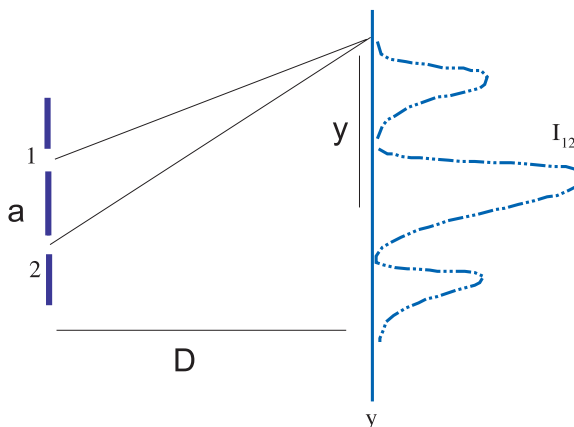
$$\psi = Ae^{-i(\omega t - kx)} = Ae^{\frac{-i}{\hbar}(Et - Px)} \quad (104)$$

و یک بسته موج دلخواه که برای سادگی فرض می کنیم در راستای  $x$  حرکت می کند، ترکیبی خطی از امواج تخت است که می توان آن را به شکل زیر نشان داد:

$$\psi(x, t) = \int \phi(P) e^{\frac{-i}{\hbar}(Et - Px)} dP. \quad (105)$$



شکل ۹: آزمایش دوشکاف : هر دوشکاف باز هستند . طرح روی پرده یعنی طرح  $I_{12}$  طرح ای است که واقعاً روی پرده می بینیم.



شکل ۱۰: تداخل دو موج.

نخستین کاری که شرودینگر کرد، آن بود که معادله‌ای را که چنین موجی در آن صدق می کند بدست آورد. برای این کار مشتقات  $\psi(x, t)$  را محاسبه می کنیم و تعیین می کنیم که چه رابطه بین آنها برقرار است. از رابطه فوق بدست می آوریم

$$i\hbar \frac{\partial \psi(x, t)}{\partial t} = \int \phi(P) E e^{\frac{-i}{\hbar}(Et - Px)} dP. \quad (106)$$

چنانچه ذره در پتانسیل  $V(x)$  قرار داشته باشد انرژی و تکانه آن در رابطه زیر صدق می کنند:

$$E = \frac{P^2}{2m} + V(x). \quad (107)$$

بنابراین در رابطه 106 مقدار  $E$  را از این رابطه جایگذاری می کنیم و بدست می آوریم

$$\begin{aligned} i\hbar \frac{\partial \psi(x, t)}{\partial t} &= \int \phi(P) \left( \frac{P^2}{2m} + V(x) \right) e^{\frac{-i}{\hbar}(Et - Px)} dP \\ &= \int \phi(P) \left( \frac{-\hbar^2}{2m} \frac{\partial^2}{\partial x^2} + V(x) \right) e^{\frac{-i}{\hbar}(Et - Px)} dP \end{aligned}$$



$$= \left( \frac{-\hbar^2}{2m} \frac{\partial^2}{\partial x^2} + V(x) \right) \psi(x, t), \quad (108)$$

و یا

$$i\hbar \frac{\partial}{\partial t} \psi(x, t) = \left( \frac{-\hbar^2}{2m} \frac{\partial^2}{\partial x^2} + V(x) \right) \psi(x, t). \quad (109)$$

برای سادگی امواج مادی را در یک بعد در نظر گرفتیم. در سه بعد این امواج به شکل زیر هستند:

$$\psi(r, t) = \int \phi(P) e^{\frac{-i}{\hbar}(Et - P \cdot r)} dP. \quad (110)$$

و تکرار همان استدلال قبلی نشان می دهد که این امواج در معادله زیر که معادله شرودینگر نامیده می شود صدق می کنند.

$$\boxed{i\hbar \frac{\partial}{\partial t} \psi(\mathbf{r}, t) = \left( \frac{-\hbar^2}{2m} \nabla^2 + V(\mathbf{r}) \right) \psi(\mathbf{r}, t).} \quad (111)$$

چگونه چنین معادله ای منجر به ترازهای انرژی گسسته می شود. در تجربه ای که با امواج از هرنوع داشته ایم می دانیم که وقتی یک موج به یک ناحیه بسته یا متناهی مقید می شود، فرکانس ها و طول موج های آن مقادیر معینی را اختیار می کنند و از آنجا که برای امواج مادی فرکانس چیزی جز انرژی نیست، می توانیم انتظار داشته باشیم که امواج مادی وقتی به یک ناحیه بسته مقید شوند حتماً انرژی ذرات وابسته به آنها مقادیر گسسته ای را اختیار خواهند کرد. برای درک بهترین خاصیت به یک مثال ساده توجه می کنیم. برای پاسخ به این سوال کافی است یک مثال ساده یک بعدی در نظر بگیریم. ذره ای را در نظر می گیریم که کاملاً آزاد است در یک ناحیه  $0 \leq x \leq L$  حرکت کند. اندازه انرژی این ذره را  $E$  می گیریم. بنابر فیزیک کلاسیک، انرژی  $E$  هر مقداری می تواند اختیار کند. اما در مکانیک موجی، این ذره با یک موج با انرژی  $E$  توصیف می شود یعنی با موج

$$\psi(x, t) = A e^{\frac{-i}{\hbar}(Et - Px)} + B e^{\frac{-i}{\hbar}(Et + Px)}. \quad (112)$$

اما این موج می بایست چنان باشد که در شرایط مرزی  $\psi(0, t) = \psi(L, t) = 0$  صدق کند. این شرایط مرزی منجر به روابط زیر خواهند شد:

$$B = -A, \quad PL = n\hbar\pi, \quad n = 1, 2, 3, \dots \quad (113)$$

که از آن نتیجه می گیریم

$$E = \frac{P^2}{2m} = \frac{\hbar^2 \pi^2 n^2}{2mL^2}. \quad (114)$$

یعنی ترازهای انرژی معین برای ذره وجود خواهد داشت.

پس از استخراج معادله اش، مهم ترین مسئله پیش روی شرودینگر آن بود که به همان ترتیب بالا نشان دهد که سطوح انرژی الکترون در اتم هیدروژن را می توان از حل معادله زیر بدست آورد

$$H\psi(x) \equiv \left[ -\frac{1}{2m} \nabla^2 - K \frac{e^2}{r} \right] \psi(x) = E\psi(x). \quad (115)$$

وی این کار را با موفقیت انجام داد و همان مقادیری را برای انرژی بدست آورد که قبلاً بور در مدل کوانتومی قدیمی و پاولی در مکانیک ماتریسی بدست آورده بود.

«انستیتوی کهن‌وین که به تازگی با از دست دادن لودویگ بولتزمان سوگوار شده است، ساختمانی که در آن فریتز هازنورل و فرانتراکسنر کار خود را دنبال می کردند و در آن بسیاری از شاگردان دیگر بولتزمان را در حالی آمد و شد می دیدم، چشم مرا به اندیشه‌هایی که توسط آن متفکر بزرگ صورت‌بندی شده بود باز کرد. خط فکری او را می توان نخستین عشق علمی من نامید. هیچ چیز دیگری به این اندازه مرا به وجد و شوق نیاورده و هرگز نیز چنین نخواهد شد. بسیار آهسته به نظریه اتمی جدید نزدیک شدم. در مورد نظریه اتمی چیزهای فراوانی را آزمودم و طرد کردم ( بعضی از خودم و بعضی از دیگران ) تا اینکه لااقل روشنی فکر را حتی اگر به خرج شدیدترین تغییر انقلابی هم بوده باشد، حفظ کنم. نخستین چیزی که تاحدی مایه آرامش خاطر شد، اندیشه امواج الکترونی دویروی بود، که آن را کامل کردم و به صورت نظریه مکانیک موجی درآوردم. ولی هنوز از اینکه بتوانیم راه جدید فهم طبیعت را که از یک سو با مکانیک موجی و از سوی دیگر با مکانیک ماتریسی هایزنبرگ آغاز شده است، چنانکه باید دریابیم، بسیار دوریم.<sup>28</sup>

در نگاه اول شرویدینگر گمان داشت که مسئله آزار دهنده جهش های الکترونی را که هیچ توضیحی برای آن وجود نداشت نیز حل کرده است. دیگر نیازی نبود که فرض کنیم الکترون از یک مدار به یک مدار (یا از یک لایه انرژی به یک لایه انرژی دیگر) می جهد، و تفاوت انرژی اش را به صورت فوتون گسیل می کند. در تصویر شرویدینگر موج درون اتم یک مجموعه نوسانات طبیعی با فرکانس های  $\nu_n, n = 1, 2, 3 \dots$  دارد. وقتی که چنین اتمی را تحریک کنیم، درست مثل وقتی که لوله صوتی را تحریک می کنیم و پدیده تشدید اتفاق می افتد و صداهایی با فرکانس های  $\nu_m - \nu_n$  از لوله صوتی بیرون می آید، اتم نیز امواجی با فرکانس های  $\nu_m - \nu_n$  به بیرون می فرستد که همان فوتون ها هستند. به نظر می رسد که به طور خیلی طبیعی شرویدینگر توانسته است هم مسئله سطوح گسسته ی انرژی و هم مسئله جهش الکترون ها را حل کند! در ضمن به نظر می رسد که راه شرویدینگر راهی برای حل معمای ساختمان اتمی بدست آورده است که از مکانیک ماتریسی مجرد و غیرشهودی هایزنبرگ بسیار ساده تر است.

«...تقریباً با ناراحتی به خانه رفتم. همان شب به بور نامه نوشتم و او را از سمینار شرویدینگر که به دعوت زومرفلد در مونیخ ارایه کرده بود و بحث های بعد از آن مطلع کردم. شاید به خاطر همین نامه بود که بور از شرویدینگر دعوت کرد تا قسمتی از سپتامبر را در کپنهاگ بگذرانند. شرویدینگر موافقت کرد و من هم به دانمارک برگشتم. مباحثه بور و شرویدینگر از همان ایستگاه قطار شروع شد و هر روز از صبح تا پاسی از شب گذشته در خانه بور ادامه می یافت. برای من بسیار دشوار است که شدت و حرارت این بحث ها و میزان اعتقاد عمیقی که این دو به کارهای خود داشتند و شور و هیجانی را که در دفاع از آن ها به کار می بردند، بازگو کنم. تنها می توانم امیدوار باشم که

<sup>28</sup> از خطابه اروین شرویدینگر به مناسبت عضویت در فرهنگستان علوم پروس - ۴ ژوئیه ۱۹۲۹

نسخه خیلی کم‌رنگی از مکالمات آنها را یاد آوری کنم:

شرویدینگر: « مطمئناً با من موافقید که تمام ایده پرش کوانتومی سرانجام به یک چیز خیلی بی معنی منتهی خواهد شد. شما اول ادعا می‌کنید که اگر اتم در یک حالت پایا باشد، الکترون حرکت تناوبی انجام می‌دهد ولی از خود تشعشع نمی‌کند، درحالی‌که براساس نظریه ماکسول باید تابش کند. بعد می‌گویید که الکترون می‌باید از یک مدار به مدار دیگر بجهد تا تابش کند. آیا این جهش پیوسته است یا ناگهانی؟ اگر پیوسته است، فرکانس حرکت و انرژی آن می‌بایست پیوسته تغییر کند، در این صورت چگونه می‌توان خطوط گسسته و تیز را در طیف اتم توضیح داد؟ اگر هم ناگهانی است می‌توان پرسید که چگونه و با چه قانون حرکتی دقیقاً از یک مدار به یک مدار دیگر می‌جهد؟ در واقع ایده جهش کوانتومی جز فانتزی و خیال چیز دیگری نیست؟ »

بور: « تمام این‌ها درست. اما این ثابت نمی‌کند که جهش‌ها واقعاً وجود ندارند. تنها می‌توان گفت که ما نمی‌توانیم آنها را تصور کنیم، زیرا مفاهیمی که از زندگی روزمره و تجربیات فیزیک کلاسیک به عاریت گرفته‌ایم برای بیان جهش‌های کوانتومی کافی نیستند. این هم چیز عجیبی نیست، چون در این جا با فرایندهایی سروکار داریم که مستقیماً توسط حواس ما ادراک نمی‌شوند. »

شرویدینگر: « نمی‌خواهم به بحث‌های طولانی درباره شکل گرفتن مفاهیم وارد شوم و ترجیح می‌دهم که این کار را به فیلسوفان واگذار کنم. تنها می‌خواهم بدانم که درون اتم واقعاً چه اتفاقی می‌افتد. برای من اهمیتی ندارد که چه زبانی برای توصیف آن به کار می‌برید. اگر الکترون‌ها درون اتم هستند و اگر الکترون‌ها ذره هستند، چنانچه همه ما اعتقاد داریم، در این صورت می‌بایست به طریقی حرکت کنند. باید بتوان لااقل در اصول تعیین کرد که در یک حالت پایا چگونه حرکت می‌کنند و چگونه از یک حالت پایا به یک حالت پایای دیگر می‌جهند؟ ... »

و به این ترتیب بحث‌ها شب‌ها و روزها ادامه می‌یافت تا اینکه سرانجام شرویدینگر شاید بدلیل کار طاقت فرسا، با حالت تب دار به بستر بیماری افتاد. درحالی‌که همسر بور وظیفه پرستاری او را بر عهده گرفته بود و برایش چای و کیک می‌آورد، بور بر لبه تختش می‌نشست و ادامه می‌داد: « ولی خوب باید قبول کنی که در مکانیک موجی تناقضات حل نمی‌شوند بلکه به گوشه‌ای رانده می‌شوند...» در پایان اقامت شرویدینگر در کپنهاگ هیچ کدام از طرفین قانع نشده بودند زیرا هیچکدام قادر نبودند تصویر کامل و جامعی از مکانیک کوانتومی ارائه دهند...»<sup>29</sup>

اگر چه ساختمان ریاضی مکانیک موجی شرویدینگر می‌توانست بخوبی از عهده توصیف طیف اتم هیدروژن برآید اما تعبیر وی از الکترون به عنوان یک موج پیوسته که دچار تشدید می‌شود ابهاماتی داشت. مسئله این بود که در پدیده تشدید فرکانس‌هایی مثل  $\nu_m + \nu_n$  نیز وجود دارند درحالی‌که هیچ فوتونی با این فرکانس‌ها تابش نمی‌شد. هم چنین برخلاف تصور شرویدینگر که برای الکترون ماهیتی گسترده و موجی قائل بود، آزمایش نشان می‌داد که الکترون یک ذره است و بنابراین تنها راه برای

<sup>29</sup> خاطرات سالهای ۱۹۲۶ - ۱۹۲۷، ورنر هایزنبرگ

تعبیر تابع موج  $\psi(x, t)$  آن بود که فرض کنیم مربع این تابع احتمال یافتن ذره در نقطه  $x$  در زمان  $t$  است. این تعبیر از آن ماکس بورن بود که در آن زمان استاد دانشگاه گوتینگن در آلمان بود. چرا خود  $\psi$  را نمی شد به عنوان موج در نظر گرفت. دلیل اش این بود که تابع  $\psi$  برخلاف تابع  $|\psi|^2$  در یک معادله پیوستگی صدق نمی کرد و هر تابعی که بخواهد نقش چگالی احتمال را بازی کند حتماً می بایست در چنین معادله ای صدق کند. برای این که این تعبیر درست باشد می بایست یک معادله پیوستگی احتمال به شکل

$$\frac{\partial}{\partial t} \rho + \nabla \cdot J = 0 \quad (116)$$

برقرار باشد که رابطه ای بین این چگالی احتمال یعنی  $\rho = |\psi|^2$  و بردار جریان احتمال یعنی  $J$  بدست دهد. معادله شرودینگر عبارت است از:

$$-\frac{\hbar^2}{2m} \nabla^2 \psi + V(r)\psi = i\hbar \frac{\partial}{\partial t} \psi. \quad (117)$$

هرگاه مزدوج مختلط طرفین این معادله را بنویسیم (برای پتانسیل حقیقی) خواهیم داشت:

$$-\frac{\hbar^2}{2m} \nabla^2 \psi^* + V(r)\psi^* = -i\hbar \frac{\partial}{\partial t} \psi^*. \quad (118)$$

باضرب کردن  $\psi^*$  در رابطه اول و  $\psi$  در رابطه دوم و کم کردن دو رابطه از هم به نتیجه زیر می رسم

$$-\frac{\hbar^2}{2m} (\psi^* \nabla^2 \psi - \psi \nabla^2 \psi^*) = i\hbar \frac{\partial}{\partial t} \psi^* \psi. \quad (119)$$

با استفاده از اتحاد های برداری می توان این معادله را به شکل زیر بازنویسی کرد:

$$-\frac{\hbar^2}{2m} \nabla \cdot (\psi^* \nabla \psi - \psi \nabla \psi^*) = i\hbar \frac{\partial}{\partial t} \psi^* \psi. \quad (120)$$

و نهایتاً

$$\nabla \cdot J + \frac{\partial}{\partial t} \rho = 0, \quad (121)$$

که در آن

$$\rho = \psi^* \psi, \quad J = \frac{\hbar}{2im} (\psi^* \nabla \psi - \psi \nabla \psi^*), \quad (122)$$

چگالی احتمال و بردار جریان احتمال هستند. هرگاه برای یک موج تخت از نوع  $\psi = Ae^{i(\vec{k} \cdot \vec{x} - \omega t)}$  چگالی و جریان احتمال را حساب کنیم بدست می آوریم

$$\rho = A^2, \quad \vec{J} = A^2 \frac{\hbar \vec{k}}{m}, \quad (123)$$

که نشان می دهد جریان احتمال برابراست با چگالی احتمال ضرب در سرعت ذرات. این رابطه به این شکل با تعبیرشهودی ما از جریان نیز سازگاری دارد.

بالاخره کدام یک از دو تصویرهایزنبرگ و شرودینگر بیانگر مکانیک کوانتومی جدید بودند؟ مکانیک موجی شرودینگر نشان می داد که کمیت اصلی یعنی تابع موج  $\psi(x)$  در یک معادله خطی صدق می کند و اگر  $\psi_1$  و  $\psi_2$  هر دو جواب معادله شرودینگر باشند، ترکیب خطی آنها نیز یک جواب معادله شرودینگر خواهد بود. بنابراین مجموعه تمام این توابع موج یک فضای برداری تعریف می کنند که می توانیم آن را با  $\mathcal{H}$  نشان دهیم. از آنجا که این توابع موج نشان دهنده چگالی احتمال هستند، می بایست بردارهای فضای  $\mathcal{H}$  بهنجارپذیر باشند به این معنا که  $\int dx \psi^* \psi$  می بایست محدود باشد یعنی فضای  $\mathcal{H}$  فضای توابع انتگرال مجذورپذیر است که آن را فضای هیلبرت می نامیم. حال می توانیم از خود بپرسیم که متوسط مکان یک ذره که آن را با  $\langle X \rangle$  نشان می دهیم چقدر است. این متوسط برابراست با:

$$\langle X \rangle = \int dx x |\psi(x)|^2 = \int dx x \psi^*(x) \psi(x), \quad (124)$$

که می توان آن را به عنوان عنصر ماتریسی یک عملگر  $X$  در فضای برداری توابع انتگرال مجذورپذیر تلقی کرد. اثر این عملگر روی توابع به صورت زیر است:

$$X : \psi(x) \longrightarrow x\psi(x). \quad (125)$$

برای محاسبه متوسط تکانه به صورت زیر عمل می کنیم:

$$\langle P \rangle = m \frac{d\langle X \rangle}{dt} = m \frac{d}{dt} \int \psi^* x \psi = m \int x \frac{\partial \rho}{\partial t} = -m \int x \frac{\partial J}{\partial x} \quad (126)$$

که در آن  $J = \frac{\hbar}{2im} (\psi^* \frac{\partial \psi}{\partial x} - \psi \frac{\partial \psi^*}{\partial x})$ . با استفاده از انتگرال جزء به جزء می توان با کمی محاسبه به نتیجه زیر رسید:

$$\langle P \rangle = \int \psi^* \left( \frac{\hbar}{i} \frac{\partial}{\partial x} \right) \psi dx \quad (127)$$

که می توان آن را به عنوان عنصر ماتریسی یک عملگر  $P \equiv \frac{\hbar}{i} \frac{\partial}{\partial x}$  در فضای توابع انتگرال پذیر تلقی کرد. اثر این عملگر روی این توابع به شکل زیر است:

$$P : \psi(x) \longrightarrow \frac{\hbar}{i} \frac{\partial}{\partial x} \psi(x). \quad (128)$$

نکته جالب آن است که این دو عملگر در همان رابطه ای صدق می کنند که هایزنبرگ پیشنهاد کرده بود، یعنی

$$[P, X] = \left[ \frac{\hbar}{i} \frac{\partial}{\partial x}, x \right] = i\hbar. \quad (129)$$

طی چند ماه نشان داده شد که مکانیک موجی و مکانیک ماتریسی هردو جنبه های متفاوت از یک ساختار واحد هستند. در این سنتز نهایی پاول دیراک نقش برجسته ای داشت. وی بیش از هر چیز بر زیبایی و انسجام ریاضی تکیه داشت.

«... کارهای پژوهشی اولیه من در اوایل سالهای ۱۹۲۰ که مبتنی بر مدارهای اتمی بود، کاملاً ناموفق از آب درآمد. من قصد داشتم مدارهای بور را واقعی تلقی کنم و برای آنها یک صورت بندی ریاضی درست کنم. هر مدار بور به یک الکترون تعلق داشت و برای این که اتم های چند الکترونی را توصیف کنم نیاز داشتم که یک نظریه برای مدارهای بور در برهم کنش با یکدیگر بسازم. من مثل خیلی های دیگر به شدت روی این مسئله کار کردم که البته حاصلی در بر نداشت و نمی توانست داشته باشد. هایزنبرگ نشان داده بود که برای حل این مسئله می بایست از یک ریاضیات کاملاً جدید که مبتنی بر کمیت های جابجا نشونده است استفاده کرد. اگر چه مدارهای بور مفاهیم فیزیکی قابل لمسی بودند ولی به درد چنین نظریه ای نمی خوردند. در آن هنگام بود که من آنچه را که باید، آموختم. یاد گرفتم که به عنوان اساس یک نظریه جدید به هیچ روی به مفاهیم قابل لمس فیزیکی اعتماد نکنم و تنها در جستجوی یک طرح منسجم ریاضی باشم، حتی اگر درنگاه اول هیچ نوع ارتباطی به فیزیک نداشته باشد. می بایست توجه خود را به یافتن یک طرح ریاضی زیبا معطوف می کردم...»<sup>30</sup>

در فصل آینده اصول موضوع مکانیک کوانتومی را چنان که کمابیش در آن دوران تدوین شده است بیان می کنیم و از این به بعد مکانیک کوانتومی را بر این اصول موضوع بنا می کنیم. اما قبل از آن می بایست به مفهوم دوگانگی موج و ذره بپردازیم.

## ۸ اصل عدم قطعیت

اگر چه تلاش برای درک ساختمان اتمی و توضیح داده های طیفی به مکانیک ماتریسی جدید منجر شده بود ولی همچنان این سوال اساسی پیش روی هایزنبرگ وجود داشت که چرا می بایست تصویر کلاسیک خود از الکترون و مسیر آن را بدور بیندازیم. چرا نمی توان حتی به صورت ذهنی تصور کرد که الکترون در درون اتم مسیر معینی را که سلسله ای از نقاط پیوسته به هم در فضاست می پیماید؟ مگر این نیست که مسیر الکترون را بالاخره در اتاقک ابر می بینیم؟ چرا نباید برای الکترون در اتم مسیری درست مثل یک گوی قائل شد؟

«... در خلال آخرین ماه های سال ۱۹۲۶ تفسیر فیزیکی مکانیک کوانتومی محور اصلی بحث های بور و من بود. من در آن موقع در یک اتاقک زیر شیروانی در طبقه بالای انیستیتوی کپنهاگ که از پنجره هایش می شد درختان فالید پارک<sup>31</sup> را دید، زندگی می کردم. بور اغلب شب هادیروقت به اتاق من می آمد و ما ساعت ها روی انواع واقسام آزمایش های ذهنی کار می کردیم تا تعبیر صحیح مکانیک جدید را بفهمیم... با این وجود بعد از بحث های فراوان هیچ کدام از ما نمی توانستیم پدیده بسیار ساده ای مثل

<sup>30</sup> پاول دیراک: مبانی ریاضی نظریه کوانتومی، ۱۹۷۸.  
<sup>31</sup> Falled Park

مسیر الکترون در اتاقک ابر را توضیح دهیم. از یک سو در صورتبندی مکانیک کوانتومی هیچ جایی برای مسیر الکترون وجود نداشت، از سوی دیگر مسیر الکترون را در اتاقک ابر می شد به وضوح مشاهده کرد...»<sup>32</sup>

«... پاسی از شب گذشته بود که یک مرتبه به یاد گفتگویی با اینشتین افتادم که گفته بود: « این نظریه است که تعیین می کند چه چیزی را می توان مشاهده کرد.» بلافاصله قانع شدم که کلید در بسته ای را که این همه مدت پشت آن مانده ام می توانم در این جا پیدا کنم. تصمیم گرفتم که برای یک پیاده روی بعد از نیمه شب به پارک بروم و درباره این موضوع فکر کنم. همیشه براحتی گفته بودیم که واقعاً مسیر الکترون را در اتاقک ابر می توان مشاهده کرد. اما شاید واقعاً آنچه را که در اتاقک ابر می دیدیم چیزی جز مجموعه ای گسسته از لکه های تقریبی و نامعینی که نشان می داد الکترون از آنجا عبور کرده است نبود. در واقع هم آنچه را که در اتاقک ابر می دیدیم چیزی جز قطرات آبی که خیلی بزرگ تر از اندازه الکترون هستند نبود. بعد از بازگشت، با یک محاسبه کوتاه نشان دادم که در چارچوب مکانیک ماتریسی می توان قائل به مسیرهای تقریبی برای ذرات شد، ولی این تقریب حدی داشت به این معنا که نمی توان مکان و تکانه یک ذره را با دقتی که حاصل ضرب شان از ثابت پلانک کمتر باشد تعیین کرد، چیزی که بعد ها به نام اصل عدم یقین شناخته شد...»

#### میکروسکوپ هایزبرگ:

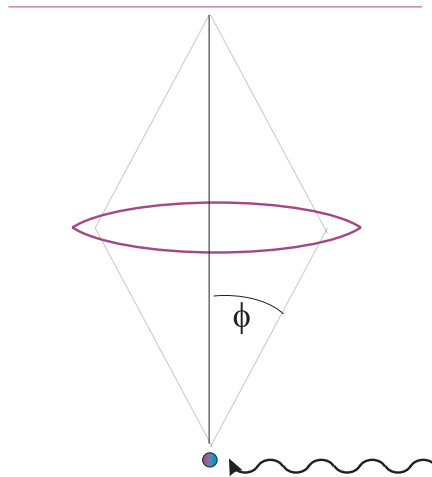
فرض کنید که بخواهیم مکان ذره ای را با دقت خیلی زیاد تعیین کنیم. برای این کار از یک میکروسکوپ خیلی دقیق استفاده می کنیم، شکل ۱۱. از اپتیک کلاسیک می دانیم که با چنین میکروسکوپی تنها می توان مکان الکترون را با دقت

$$\Delta x \sim \frac{\lambda}{\sin \phi} \quad (130)$$

تعیین کرد. به همین دلیل برای آنکه دقت خود را بالا ببریم از طول موج های کوتاه استفاده می کنیم و زاویه  $\phi$  را نیز هرچه بزرگ تر می گیریم (یا از طریق گرفتن عدسی پهن تر یا از طریق نزدیک بردن عدسی). امامی دانیم که « مشاهده » الکترون در میکروسکوپ یعنی اینکه فوتونی از منبع نوره آن برخورد کرده و پراکنده شده و از طریق عدسی به چشم (یا دستگاه حساسی که فوتون ها را ثبت می کند) می رسد. هرگاه چنین فوتونی به الکترون اصابت کرده و از طریق عدسی به چشم ما برسد، اندازه تکانه اش در راستای  $x$  به مقدار زیر نامعین است

$$\Delta p_x \sim 2p \sin \phi = 2 \frac{h}{\lambda} \sin \phi, \quad (131)$$

<sup>32</sup> خاطرات سالهای ۱۹۲۶ - ۱۹۲۷، ورنر هایزبرگ



شکل ۱۱: میکروسکوپ هایزنبرگ برای مشاهده مکان الکترون

زیرا ما نمی دانیم که دقیقاً چه مسیری را پیموده و به چشم یا دستگاه ما رسیده است. حال اگر از قانون بقای تکانه استفاده کنیم نتیجه می گیریم که مولفه  $P_x$  تکانه الکترون نیز به همین اندازه نامعین است. بنابراین

$$\Delta x \Delta p_x \sim \frac{\lambda}{\sin \phi} 2 \frac{h}{\lambda} \sin \phi = 2h = 4\pi\hbar. \quad (132)$$

یعنی عمل مشاهده مکان الکترون تکانه آن را حداقل به میزان بالا آشفته می کند و بنابراین مسیر الکترون حتی به صورت ذهنی چیزی نیست که ما بتوانیم بدون مختل کردن اش آن را مشاهده کنیم زیرا به محض اینکه در یک لحظه مکان الکترون را مشاهده می کنیم دیگر سرعت اش آن چیزی نیست که قبلاً داشت و سرعت جدید و تصادفی ای پیدا می کند و به راه دیگری می رود.

اکنون می توانیم بفهمیم که چرا مدارهای بور برای الکترون نمی توانند واقعی باشند؟ چرا هایزنبرگ در شک کردن به واقعی بودن چنین مدارهایی محق بوده است؟ باز هم ملاک هایزنبرگ آن است که تنها چیزهایی واقعی هستند که بتوان آنها را با آزمایش و مشاهده سنجید. بقیه تصویرهای ذهنی ما هستند و ربطی به واقعیت فیزیکی ندارند.

### آیا مدارهای الکترون در اتم بور واقعیت دارند؟

برای آنکه یک مدار الکترون مثلاً مدار شماره  $n$  را مشاهده کنیم می بایست آن را بادقتی اندازه گیری کنیم که با مدار نزدیکی مثل مدار شماره  $n - 1$  اشتباه نشود. بنابراین می بایست دقت ما چنان باشد که

$$\Delta r \ll R_n - R_{n-1} = \frac{\hbar n^2}{\alpha m c} - \frac{\hbar (n-1)^2}{\alpha m c} \approx \frac{2\hbar n}{\alpha m c} \quad (133)$$



اما این دقت در اندازه گیری مکان باعث منتقل کردن تکانه ای از مرتبه  $\frac{\alpha mc}{2n} \gg \frac{\hbar}{\Delta r} \approx p$  به الکترون می شود. چنین تکانه ای باعث تغییر انرژی الکترون به مقدار زیر می شود

$$\Delta E \approx \frac{p^2}{2m} \gg \frac{1}{2} \frac{mc^2 \alpha^2}{n^2} = E_n, \quad (134)$$

که از انرژی الکترون در مدار  $n$  ام بسیار بیشتر است و همین باعث پرتاب شدن الکترون از مدارش می شود، یعنی اینکه نمی توان الکترون را هنگامی که در مدارش می چرخد، مشاهده کرد.

### نگاهی دوباره به آزمایش دو شکاف:

برای فهم بیشتر اصل عدم قطعیت و هم چنین فهم بهتر دوگانگی موج و ذره آزمایش دو شکاف را در نظر می گیریم. در بخش های پیشین تنها به توصیف ریاضی طرحی که تعداد الکترون ها را روی پرده نشان می داد اکتفا کردیم. اکنون وقت آن رسیده است که به سوالات گوناگونی که این آزمایش ما را با آن مواجه می کند باز گردیم. در طرح تداخلی الکترون ها روی پرده چندین نکته جالب و شگفت انگیز وجود دارد:

الف: درجهایی از پرده بازکردن هردو شکاف باهم باعث شده است که تعداد حتی کمتری ذرات نسبت به وقتی که تنها یک شکاف باز بود به آن نقطه برسد. درجهایی نیز مثل وسط پرده تعداد ذرات دوبرابر آن مجموع تعداد ذراتی است که در صورت بازبودن هر کدام از شکاف ها به تنهایی به پرده می رسید.

ب: برعکس درجهای دیگری از ذرات بازکردن هردو شکاف باعث شده است که تعداد ذراتی که به آن نقطه می رسد بیشتر از مجموع ذراتی شود که در صورتی که هردو شکاف بازمی بود به آن نقطه می رسید.

ج: شکل این طرح تداخلی با رقیق کردن چشمه ذرات بطوریکه در هر آن فقط و فقط یکی از ذرات از شکاف ها عبور کند، تغییر نمی کند. بنابراین نمی توان گفت که ذرات هنگام بازبودن هردو شکاف بایکدیگر طوری برهم کنش می کنند که اثرات بالا دیده شود.

د: هر کدام از ذرات را روی پرده نهایی به طور کامل توسط آشکارساز ثابت می کنیم و آشکارساز ما ماهیت ذره ای آن را بخوبی تایید می کند. بنابراین نمی توان گفت که ذره در این آزمایش مثل یک موجود پیوستار عمل کرده است و بخشی از آن از یک شکاف و بخشی دیگر از یک شکاف دیگر عبور کرده است.

ه: البته می توان در گزاره (د) شک کرد. ممکن است که ذره در حین عبور از دو شکاف به صورت یک پیوستار (چیزی شبیه یک ابر) رفتار می کند و سپس در انتها موقع نشستن روی پرده تمامی این ابر دوباره به صورت یک ذره کوچک متمرکز می شود. برای پی بردن به راز رفتار ذره می توان درست پشت شکاف ها آشکارسازهایی گذاشت تا بفهمیم که ذره درست موقع عبور از شکاف ها چگونه رفتار می کند. اگر چنین کاری بکنیم متوجه می شویم که در آنجا هم ذره به صورت یک ابر یا ژله یا چیزی شبیه به آن رفتار نمی کند بلکه به تمامی (باتمام جرم و بار و دیگر خصوصیات خود) در آشکارساز ثابت می شود. ولی در این جا

متوجه یک اتفاق مهم می شویم و آن این است که تلاش ما برای پی بردن به راز رفتار ذره باعث شده است که طرح تداخلی  $I_{12}$  از بین رفته است و جای خود را به طرح معمولی  $I_{1+2}$  داده است. ظاهراً ذره از تلاشی که برای پی بردن به رفتار اسرار آمیزش انجام داده ایم عصبانی شده است و دیگر آن کار شگفت انگیز را نمی کند.

و: حال که ذره تن به مشاهده ظریف خود رانمی دهد ما می توانیم به منطق ساده روی آوریم. بالاخره هر ذره ای که روی پرده می نشیند یا از شکاف ۱ آمده است یا از شکاف ۲.

تعداد ذراتی که روی پرده نشسته اند برابرند با تعداد ذراتی که از شکاف ۱ آمده اند + تعداد ذراتی که از شکاف ۲ آمده اند. اما تعداد ذراتی که از شکاف ۱ عبور کرده و روی پرده نشسته اند برابر است با  $I_1$  و تعداد ذراتی که از شکاف ۲ عبور کرده و روی پرده نشسته اند برابر است با  $I_2$ . پس حتی بدون مشاهده نزدیکی شکاف ها می توانیم حکم کنیم که طرحی که سرنجام روی پرده ثبت می شود می بایست برابر با  $I_1 + I_2$  باشد.

در صورتی که اتم ها درست مثل اشیایی که ما با آنها آشنا هستیم مثل توپ فوتبال عمل کرده باشند استدلال بالا صحیح است. بالاخره هر اتم یا از شکاف بالایی عبور کرده و به پرده رسیده است و یا از شکاف پایینی و می بایست طرح مشاهده شده همان طرح بدون تداخل یعنی طرح  $I_{1+2}$  باشد. در حال حاضر ما نمی توانیم بفهمیم که الکترون ها یا ذرات میکروسکوپی دیگر چرا چنین رفتاری از خود بروز می دهند. مسئله حتی از این هم بدتر است. مانه تنها نمی توانیم چرایی رفتار الکترون ها را توضیح دهیم حتی چگونگی رفتار آن را بهتر از این نمی توانیم توضیح دهیم. در مقابل ایراداتی از این نوع که «بالاخره الکترون یا از این شکاف عبور می کند و یا از آن شکاف و در این صورت نمی بایست طرح تداخلی داشته باشیم» تنها می توانیم به این بسنده کنیم که بگوییم وقتی سوال عبور الکترون از شکاف ها را به صورت عملی و تجربی می خواهیم بررسی می بینیم که طرح تداخلی واقعا از بین می رود و ما به تناقضی بر نمی خوریم! برای آنکه بتوانیم واقعاً تعیین کنیم که الکترون از کدام یک از شکاف ها عبور کرده است می بایست بتوانیم مکان آن را روی پرده ای که شکاف ها در آن قرار دارد با دقتی بیش از فاصله دو شکاف تعیین کنیم، یعنی اینکه  $\Delta y' \ll a$ . (در این جا  $y'$  را برای مختصه مکان در روی پرده اول و  $y$  را برای مختصه مکان روی پرده ای که الکترون ها روی آن می نشینند بکار می بریم.) اما چنین دقتی نیازمند آن است که به تکانه آن یعنی  $p_y$  عدم دقتی معادل  $\Delta p_y$  وارد کنیم به نحوی که  $\Delta p_y \approx \frac{\hbar}{\Delta y'} \gg \frac{\hbar}{a}$ . اما چنین ضربه ای به الکترون ها باعث می شود که زاویه نشستن الکترون روی پرده به ترتیب زیر مختل شود:

$$\Delta\theta \sim \frac{\Delta p_y}{p_x} \gg \frac{\frac{\hbar}{a}}{\frac{h}{\lambda}} = \frac{\lambda}{a} \quad (135)$$

این امر به معنای آن است که مکان الکترون ها روی پرده نهایی دچار عدم قطعیتی به صورت زیر شود

$$\Delta y \gg D\Delta\theta = \frac{\lambda D}{2a}, \quad (136)$$

و این به معنای از بین رفتن طرح تداخلی است زیرا فاصله نوارهای روشن و تاریک از مرتبه  $\frac{\lambda D}{2a}$  است. بنابراین نمی توانیم هم طرح تداخلی را ببینیم و هم تعیین کنیم که الکترون از کدام شکاف عبور کرده است.

اغلب در تاریخ علم اتفاق افتاده است که دربرهه هایی از زمان فهمیده ایم که آنچه را که قرن ها بدیهی می پنداشته ایم اصلاً بدیهی نیستند بلکه رسوبات ذهنی ماهستند که هیچ گاه بدهایت آنها را مورد شک قرار نداده ایم. زمان مطلق و این که همزمانی دو رویداد از دیدگاه همه ناظران برقرار است یکی از این مفاهیم بود که با پیدایش نسبیت مورد بازنگری قرار گرفت.

تقریباً در همه موارد شک و تردید در این امور به ظاهر بدیهی از همان ابتدا آغاز نمی شود، و این هم طبیعی است چرا که این مفاهیم طی قرن ها در ذهن ما جا خوش کرده اند، بلکه معمولاً برای رفع ناسازگاریهای جدی ای که بین نظریه های قبلی و جهان تجربی و مشاهدات واقعی ظهور کرده است ما مجبور می شویم که ساختار ریاضی نظریه هایمان را متحول کنیم تا با مشاهدات تجربی جور در بیایند. اما این ساختارهای جدید چنان اند که با آن امور به ظاهر بدیهی تناقض دارند و در این هنگام است که به فکر می افتیم درباره بداهت آن امور بازنگری کنیم. همزمانی مطلق که تا سال ۱۹۰۵ یعنی سال پیدایش نسبیت بدیهی تصور می شد یکی از این مفاهیم بود. ایده وجود یک مسیر واقعی برای ذرات میکروسکوپی نیز یکی دیگر از این امور است. به همان نوع استدلال متکی بر آزمایش های ذهنی که اینشتین نشان داده بود همزمانی مطلق امری بدیهی نیست، بور و هایزنبرگ نشان دادند که تصور یک مسیر برای الکترون امری تناقض آمیز است. البته این استدلال متکی بر قبول دوگانگی موج و ذره است، یعنی اینکه با استدلال و شواهد تجربی ای بیرون از مکانیک کوانتومی هنوز نمی توانیم نشان دهیم که مسیر الکترون و تعیین همزمان مکان و سرعت آن اموری هستند که تصورشان باطل است. بنابراین آنچه که هایزنبرگ و سپس بعد ها بور و دیگران نشان دادند آن است که مکانیک کوانتومی از نظر مفهومی نیز یک نظریه بدون تناقض است.

بررسی ما از چگونگی تولد مکانیک کوانتومی در این جا به پایان می رسد. در درس آینده ما نقطه شروع خود را اصول موضوع مکانیک کوانتومی قرار خواهیم دید و سعی می کنیم که همه بنای مکانیک کوانتومی را بر اساس آنها استوار کنیم. بعد از نشیب و فراز فراوان طی مدت بیش از یک ربع قرن سرانجام اصول مکانیک کوانتومی کمابیش مثل اصول موضوعه هندسه اقلیدسی به طور کامل تدوین شده بود.

تاریخ فیزیک در قرن بیستم تاریخ موفقیتی ابدی است. قوه تصور اجتماعی بشر هرگز نتیجه ای که از نظر اهمیت با این موفقیت قابل مقایسه باشد عرضه نداشته است. اهرام مصر، حماسه ایلید، اشعار و کلیساهای عظیم تاریخ بشریت، هیچکدام را تاب مقابله با این غول عظیم نیست. مردانیکه با قدرت تصور خویش مدارج مختلف این راه را پیموده اند قهرمانان پیشتاز عصر ما را تشکیل می دهند. مندلیف با ورقهای گوناگونش از عناصر شیمیایی، جی. تامسون که اعتقاد یونانی کهن را مبنی بر تقسیم ناپذیری اتم ریشه کن ساخت، رادرفورد که به آن شکل یک منظومه شمسی داد، نیلز بور که موجب شد صحت این تصویر به اثبات برسد، و بالاخره اروین شرودینگر، ورنر هایزنبرگ، ماکس بورن و پاول دیراک....<sup>33</sup>

## ۹ قدرتدانی

در تصحیح متن این درسنامه آقای محمد صادق فیض به من کمک بسیاری کرده اند، زیرا با صبر و حوصله تمام متن را خوانده و اشکالات و برایشی آن را به من یادآوری کرده اند. به این وسیله از ایشان تشکر می کنم.

<sup>33</sup>عروج انسان، ژاکوب برونوفسکی،

## درس چهارم: اصول موضوع مکانیک کوانتومی

### ۱ مقدمه

در درس گذشته روند تاریخی تکوین مکانیک کوانتومی را بیان کردیم. دیدیم که چگونه تلاش برای رفع نارسایی های مدل اتمی بوهر، هایزنبرگ را به مکانیک ماتریسی رهنمون شد و در همان هنگام نیز تلاش برای تلفیق تصویر موجی و ذره ای، شرودینگر را به مکانیک موجی رهنمون شد. در هر دو تصویر از مکانیک کوانتومی جدید نشانه هایی از تصویر دیگر نیز دیده می شد. مدتی بعد معلوم شد که مکانیک موجی و مکانیک ماتریسی دو جنبه متفاوت از یک صورت بندی واحد هستند. این صورت بندی واحد سرانجام توسط پاول دیراک ارایه شد. در این صورت بندی مکانیک کوانتومی از مجموعه ای از اصول موضوعه آغاز می شود و همه ساختمان مکانیک کوانتومی با استدلال ریاضی و منطقی از این اصول موضوعه استنتاج می شود. با توجه به پیچیده بودن مکانیک کوانتومی چه از نظر ساختمانی و چه از نظر تعبیرات آن و به خصوص با توجه به دوگانگی موج و ذره، این که همه مفاهیم و روش های مکانیک کوانتومی مثل هندسه از مجموعه ای از اصول موضوع قابل استنتاج است موضوعی بسیار جالب و عمیق است. در این درس این اصول موضوعه را بیان می کنیم و با ذکر مثال ساده ای آنها را توضیح می دهیم.

### ۲ اصول موضوع مکانیک کوانتومی

اصل موضوع اول: فضای هیلبرت به هر سیستم فیزیکی یک فضای هیلبرت نسبت داده می شود. وضعیت سیستم فیزیکی با یک بردار از این فضای هیلبرت مشخص می شود. معمولاً فضای هیلبرت را با  $H$  و بردار حالت یک سیستم فیزیکی را با  $|\psi\rangle$  نشان می دهیم.

اصل موضوع دوم: مشاهده پذیرها به هر کمیت مشاهده پذیر  $A$  از سیستم، یک عملگر هرمیتی  $\hat{A}$  نسبت داده می شود. هرگاه این مشاهده پذیرها متناظر کلاسیکی داشته باشند، قاعده زیر برای رابطه بین آنها می بایست رعایت شود: اگر گروه پوآسون آنها به شکل زیر باشد،

$$\{A, B\} = C \quad (1)$$

آنگاه رابطه تعویضگری که بین عملگرهای مربوطه می بایست برقرار باشد عبارت است از:

$$[\hat{A}, \hat{B}] = i\hbar\hat{C}. \quad (2)$$

فضای هیلبرت می بایست چنان باشد که بتوان این عملگرها را در آن تعریف کرد. این امر چنانکه در درس های آینده خواهیم دید انتخاب فضای هیلبرت را بشدت مقید می کند.

از آنجا که عملگرهای هرمیتی جابجاشونده را می توان در یک پایه قطری کرد، فضای هیلبرت  $\mathcal{H}$  توسط بردارهایی که که ویژه بردار مشترک همزمان یک مجموعه ماکزیمال از مشاهده پذیرها هستند جاروب می شود. بنابراین اگر مشاهده پذیرهای  $A$  و  $B$  و  $C, \dots$  یک مجموعه ماکزیمال باشند (یعنی همه با هم جابجا شوند)، یک پایه برای فضای هیلبرت عبارت است از بردارهای  $|a_i, b_j, c_k, \dots\rangle$  که در آن

$$\begin{aligned} A|a_i, b_j, c_k\rangle &= a_i|a_i, b_j, c_k\rangle \\ B|a_i, b_j, c_k\rangle &= b_j|a_i, b_j, c_k\rangle \\ C|a_i, b_j, c_k\rangle &= c_k|a_i, b_j, c_k\rangle. \end{aligned} \quad (3)$$

از آنجا که مجموعه مشاهده پذیرهای ماکزیمال یکتا نیستند، چنین پایه هایی نیز یکتا نیستند. هرگاه  $|\psi\rangle$  یک بردار حالت باشد می توان آن را بر حسب بردارهای یک پایه بسط داد. برای سادگی فرض می کنیم که مجموعه های ماکزیمال یک عضوی هستند. بنابراین می توان نوشت

$$|\Psi\rangle = \sum_i |a_i\rangle \langle a_i|\psi\rangle \quad (4)$$

وقتی که فضای هیلبرت محدود بعد باشد و یا یک پایه شمارش پذیر برای آن انتخاب کرده باشیم، یا

$$|\Psi\rangle = \int da |a\rangle \langle a|\psi\rangle \quad (5)$$

وقتی که فضای هیلبرت بعد نامحدود داشته باشد و یک پایه پیوسته برای آن انتخاب کرده باشیم.

توضیح: در دنیای میکروسکوپی ممکن است مشاهده پذیرهایی وجود داشته باشند که نتوان مشابهی برای آنها در دنیای ماکروسکوپی و کلاسیک یافت. نمونه ای از این مشاهده پذیرها اسپین است که تکانه زاویه ای ذاتی ذرات را نشان می دهد، اما نمی توان آن را به معنای چرخش وضعی این ذرات به دور خود گرفت. در چنین حالت هایی عملگرهای مربوط به این مشاهده پذیرها را می توان از مجموعه ای از آزمایشها استنتاج کرد. نمونه ای از این نحوه استنتاج را در ضمیمه این درس خواهید دید.

اصل موضوع سه، اندازه گیری: وقتی که سیستم فیزیکی در حالت  $|\psi\rangle$  است اگر مشاهده پذیری مثل  $A$  را اندازه بگیریم، به طور تصادفی یکی از ویژه مقادیر عملگر  $\hat{A}$  مثل  $a$  بدست می آید و حالت دستگاه نیز به ویژه بردار متناظر با  $a$  تقلیل پیدامی کند. دامنه احتمال این که مقدار  $a$  بدست آید برابر است با  $\langle a|\psi\rangle$  و در نتیجه خود احتمال برابر است با  $P(a) = |\langle a|\psi\rangle|^2$ . در صورتی که

ویژه مقادیر  $\hat{A}$  پیوسته باشند  $|\langle a|\psi\rangle|^2$  چگالی احتمال را بدست می دهد به این معنی که  $da |\langle a|\psi\rangle|^2$  احتمال این را به دست می دهد که مقداری بین  $a$  و  $a + da$  بدست آید.

توضیح: در بیان این اصل موضوع فرض کرده ایم که طیف  $A$  واگنی ندارد. برای بیان کامل این اصل موضوع آنچنان که عملگرهای با طیف واگن را نیز در بر بگیرد نخست به یک مثال ساده می پردازیم. فرض کنید که فضای هیلبرت سه بعدی است و مشاهده پذیر  $A$  را که با عملگر  $\hat{A}$  توصیف می شود اندازه گیری می کنیم:

$$\hat{A} = \begin{pmatrix} 1 & 0 & 0 \\ 0 & 2 & 0 \\ 0 & 0 & 2 \end{pmatrix}. \quad (6)$$

حالتی را در نظر بگیرید مثل

$$|\psi\rangle = \begin{pmatrix} \alpha \\ \beta \\ \gamma \end{pmatrix} = \alpha|1\rangle + \beta|2\rangle + \gamma|3\rangle. \quad (7)$$

در اندازه گیری  $A$  فقط دو مقدار ۱ و ۲ بدست خواهد آمد زیرا ویژه مقادیر  $A$  این دو مقدار هستند.

احتمال اینکه مقدار ۱ را بدست بیاوریم برابر است با  $P(1) = |\alpha|^2$  و احتمال اینکه مقدار ۲ را بدست آوریم (= احتمال اینکه ۱ بدست نیاوریم) برابر است با  $P(2) = |\beta|^2 + |\gamma|^2$ . در صورت بدست آمدن مقدار ۱، حالت ذره به  $|1\rangle = |\psi'_1\rangle$  کاهش خواهد یافت. اما اگر مقدار ۲ را بدست بیاوریم حالت ذره به  $|2\rangle$  یا  $|3\rangle$  تصویر نخواهد شد بلکه به صفحه (یا زیرفضایی) که توسط  $|2\rangle$  و  $|3\rangle$  جاروب می شود تصویر خواهد شد. یعنی حالت ذره در این صورت تبدیل می شود به

$$|\psi'_2\rangle = \frac{1}{\sqrt{\beta^2 + \gamma^2}}(\beta|2\rangle + \gamma|3\rangle). \quad (8)$$

با معرفی عملگر تصویر برای این زیرفضای

$$P_2 := |2\rangle\langle 2| + |3\rangle\langle 3|, \quad (9)$$

می توان نوشت:

$$P(2) = |\beta|^2 + |\gamma|^2 = \langle \psi | P_2 | \psi \rangle. \quad (10)$$

این مطالب را به صورت زیر جمع بندی می کنیم:

به ازای هر ویژه مقدار  $\alpha$  از عملگر  $A$ ، یک عملگر تصویرگر مثل  $P_\alpha$  وجود دارد که به صورت زیر تعریف می شود

$$P_\alpha := \sum_i |\alpha^{(i)}\rangle\langle \alpha^{(i)}|, \quad (11)$$

که در آن  $|\alpha^{(i)}\rangle$  ها ویژه بردارهای متعامد و متناظر با ویژه مقدار  $\alpha$  هستند و در نتیجه

$$\hat{A} = \sum_{\alpha} \alpha P_{\alpha}. \quad (12)$$

اگر روی حالت  $|\psi\rangle$ ، مشاهده پذیر  $A$  را اندازه گیری کنیم آنگاه احتمال بدست آوردن مقدار  $\alpha$  برابر است با

$$P(\alpha) = |\langle\psi|P_{\alpha}|\psi\rangle|^2, \quad (13)$$

و بعد از آن نیز حالت جدید عبارت خواهد بود از

$$|\psi'_{\alpha}\rangle = \frac{P_{\alpha}|\psi\rangle}{\sqrt{\langle\psi|P_{\alpha}|\psi\rangle}}. \quad (14)$$

اصل موضوع چهار، دینامیک: تحول حالت سیستم فیزیکی با معادله زیر که معادله شرودینگر نام دارد تعیین می شود

$$i\hbar \frac{d}{dt}|\psi\rangle = H|\psi\rangle, \quad (15)$$

که در آن  $H$  عملگر هامیلتونی سیستم فیزیکی نامیده می شود که متناظر کوانتومی همان هامیلتونی کلاسیک است. معادله شرودینگر برای وقتی که  $H$  با زمان ثابت است، حل ساده ای دارد. در این حالت عملگر تحول به شکل  $U(t) = e^{-\frac{i}{\hbar}Ht}$  است. هرگاه حالت سیستم در لحظه  $0$ ،  $|\psi(0)\rangle$  باشد، حالت سیستم در لحظه  $t$  برابر خواهد بود با

$$\begin{aligned} |\psi(t)\rangle &= U(t)|\psi(0)\rangle = e^{-\frac{i}{\hbar}Ht}|\psi(0)\rangle = \sum_n e^{-\frac{i}{\hbar}Ht}|n\rangle\langle n|\psi(0)\rangle \\ &= \sum_n e^{-\frac{i}{\hbar}E_n t}|n\rangle\langle n|\psi(0)\rangle. \end{aligned} \quad (16)$$

بنابراین با دانستن بسط حالت اولیه برحسب ویژه حالت های هامیلتونی یعنی

$$|\psi(0)\rangle = \sum_n c_n |n\rangle \quad (17)$$

می توانیم حالت در لحظه  $t$  را نیز تعیین کنیم.

$$|\psi(t)\rangle = \sum_n e^{-\frac{i}{\hbar}E_n t} c_n |n\rangle. \quad (18)$$

بنابراین در این حالت کافی است که ویژه حالت های هامیلتونی را بدست آوریم تا بتوانیم مسئله دینامیک را به طور کامل حل کنیم. در ادامه نحوه استفاده از این اصول موضوع را با مثال ساده ای توضیح می دهیم.

### ۳ مثال : اسپین

برای آنکه در ساده ترین مثال ممکن اصول موضوع مکانیک کوانتومی را بفهمیم، درجات آزادی مربوط به مکان و تکانه ذره را در این جا فراموش می کنیم و فقط به یک خصیصه ذره یعنی اسپین آن توجه می کنیم. اسپین ذرات، که به یک معنا نشان دهنده تکانه زاویه ای ذاتی این ذرات است، مشاهده پذیری است که مثل تکانه زاویه ای با سه مولفه  $\mathbf{S} := (S_x, S_y, S_z)$  توصیف می شود. همچنانکه در فیزیک کلاسیک داریم

$$\{S_x, S_y\} = S_z, \quad \{S_y, S_z\} = S_x, \quad \{S_z, S_x\} = S_y, \quad (19)$$

در فیزیک کوانتومی این خاصیت با سه عملگر  $\hat{\mathbf{S}} = (\hat{S}_x, \hat{S}_y, \hat{S}_z)$  توصیف می شود که رابطه جابجایی زیر را دارند:

$$[\hat{S}_x, \hat{S}_y] = i\hbar\hat{S}_z, \quad [\hat{S}_y, \hat{S}_z] = i\hbar\hat{S}_x, \quad [\hat{S}_z, \hat{S}_x] = i\hbar\hat{S}_y. \quad (20)$$

همانطور که در بیان اصول موضوع گفتیم، بعد فضای هیلبرت می بایست چنان باشد که بتوان عملگرها و روابط جابجایی بین آنها را در آن نمایش داد. بنابراین در این جا می بایست از خود سوال کنیم که چنین روابطی را می بایست در چه فضای هیلبرتی نشان داد. ساده ترین حالت غیر بدیهی آن است که فرض کنیم فضای هیلبرت دو بعدی است. خواننده می تواند تحقیق کند که ماتریس های زیر در چنین فضایی نمایشی از عملگرهای فوق هستند:

$$S_x = \frac{\hbar}{2}\sigma_x, \quad S_y = \frac{\hbar}{2}\sigma_y, \quad S_z = \frac{\hbar}{2}\sigma_z, \quad (21)$$

که در آن  $\sigma$  ها ماتریس های پاولی هستند. ذراتی که اسپین آنها با یک فضای هیلبرت دو بعدی توصیف می شود ذرات اسپین 1/2 خوانده می شوند. این که آیا چنین ذراتی در طبیعت وجود دارند یا خیر سوالی است که می بایست پاسخ آن را در آزمایشگاه جستجو کرد و پاسخ آن به شرحی که در پایان این درس خواهیم دید مثبت است. در درس های آینده خواهیم دید که ذرات با اسپین های بالاتر نیز وجود دارند که برای آنها می بایست بعد فضای هیلبرت بزرگ تر ولی همچنان محدود است. حال به شرح اصول موضوع مکانیک کوانتومی برای این مثال می پردازیم.

از آنجا که فضای هیلبرت دو بعدی است هر بردار در این فضا را می توانیم به شکل زیر بنویسیم:

$$|\psi\rangle = \begin{pmatrix} \alpha \\ \beta \end{pmatrix} \quad (22)$$

از آنجا که عملگرهای  $S_x$  و  $S_y$  و  $S_z$  باهم جابجا نمی شوند، یک مجموعه ماکزیمال تنها از یکی از این عملگرها تشکیل می شود که می توانیم آن را  $S_x$  یا  $S_y$  یا  $S_z$  بگیریم. خواننده می تواند براحتی تحقیق کند که هیچ ماتریس دو بعدی بجز ماتریس واحد وجود ندارد که با بتوان به این مجموعه ماکزیمال یک عضوی اضافه کرد. ویژه مقادیر این سه عملگر عبارتند از  $\frac{\hbar}{2}$  یا  $-\frac{\hbar}{2}$ . ویژه بردارهای این سه عملگر را به ترتیب زیر نشان می دهیم:



الف: برای  $S_x$

$$|x, +\rangle = \frac{1}{\sqrt{2}} \begin{pmatrix} 1 \\ 1 \end{pmatrix}, \quad |x, -\rangle = \frac{1}{\sqrt{2}} \begin{pmatrix} 1 \\ -1 \end{pmatrix}. \quad (23)$$

ب: برای  $S_y$

$$|y, +\rangle = \frac{1}{\sqrt{2}} \begin{pmatrix} 1 \\ i \end{pmatrix}, \quad |y, -\rangle = \frac{1}{\sqrt{2}} \begin{pmatrix} 1 \\ -i \end{pmatrix}. \quad (24)$$

ج: برای  $S_z$

$$|z, +\rangle = \begin{pmatrix} 1 \\ 0 \end{pmatrix}, \quad |z, -\rangle = \begin{pmatrix} 0 \\ 1 \end{pmatrix}. \quad (25)$$

اگر ذره ای در حالت  $|\psi\rangle$  باشد، مطابق با اصول موضوع اگر هر کدام از مشاهده پذیرهای  $S_x$ ،  $S_y$  یا  $S_z$  را از آن اندازه گیری کنیم فقط دو مقدار  $\frac{\hbar}{2}$  و  $-\frac{\hbar}{2}$  را بدست می آوریم. فرض کنید که حالت اولیه  $|z, +\rangle$  باشد. در این صورت اگر اندازه گیری  $S_z$  را روی این حالت انجام دهیم احتمال بدست آوردن مقدار  $\frac{\hbar}{2}$  برابر با یک و احتمال بدست آوردن مقدار  $-\frac{\hbar}{2}$  برابر با صفر خواهد بود. به همین دلیل حالت  $|z, +\rangle$  را حالتی می گوئیم که اسپین آن در راستای  $z$  مثبت است. متشابهاً حالت  $|z, -\rangle$  را حالتی می گوئیم که اسپین آن در راستای  $z$  منفی است. این تعبیر برای دیگر حالت ها مثل  $|x, \pm\rangle$  و  $|y, \pm\rangle$  نیز صادق است.

ممکن است فکر کنیم که حالت  $|z, +\rangle$  حالتی است که در آن مولفه اسپین در راستای  $x$  و  $y$  صفر است. ولی این تصور درست نیست چون هرگاه بخواهیم این مولفه ها را تعیین کنیم می بایست این خصلت ها را «اندازه گیری» کنیم. اما با اندازه گیری  $S_x$  روی حالت  $|z, +\rangle$  باز هم تنها به دو نتیجه  $\frac{\hbar}{2}$  و  $-\frac{\hbar}{2}$  خواهیم رسید و اگر بخواهیم  $S_y$  روی حالت این اندازه گیری کنیم باز هم تنها به دو نتیجه  $\frac{\hbar}{2}$  و  $-\frac{\hbar}{2}$  خواهیم رسید.

دیدیم که عملگری که متناظر با اندازه گیری اسپین در جهت  $z$  است،  $S_z = \frac{\hbar}{2}\sigma_z$  است. همچنین عملگرهایی که متناظر با اندازه گیری های اسپین در جهات  $x$  و  $y$  بودند متناظر بودند با  $S_x = \frac{\hbar}{2}\sigma_x$  و  $S_y = \frac{\hbar}{2}\sigma_y$ . به طور طبیعی عملگری که متناظر با اندازه گیری اسپین در جهت دلخواه  $\hat{n} = (n_1, n_2, n_3)$  است عبارت است از  $S_n = \frac{\hbar}{2}\hat{n} \cdot \sigma$  که در آن

$$n \cdot \sigma = \begin{pmatrix} n_3 & n_1 - in_2 \\ n_1 + in_2 & -n_3 \end{pmatrix}. \quad (26)$$

این عملگر در خاصیت  $(n \cdot \sigma)^2 = I$  صدق می کند. بنابراین ویژه مقادیر آن برابرند با 1 و -1. این ویژه بردارها را با  $|n, +\rangle$  و  $|n, -\rangle$  نشان می دهیم:

$$(n \cdot \sigma)|n, +\rangle = |n, +\rangle$$

$$(n \cdot \sigma)|n, -\rangle = -|n, -\rangle \quad (27)$$

کمی محاسبه نشان می دهد که شکل صریح این ویژه بردارها عبارت است از:

$$|n, +\rangle = \begin{pmatrix} \cos \frac{\theta}{2} \\ \sin \frac{\theta}{2} e^{i\phi} \end{pmatrix}, \quad (28)$$

و

$$|n, -\rangle = \begin{pmatrix} \sin \frac{\theta}{2} \\ -\cos \frac{\theta}{2} e^{i\phi} \end{pmatrix}. \quad (29)$$

حال می پرسیم وقتی که ذره در حالت  $|n, +\rangle$  است اندازه گیری اسپین آن در جهت  $z$  با چه احتمالی مقدار  $+\frac{\hbar}{2}$  و با چه احتمالی مقدار  $-\frac{\hbar}{2}$  را بدست خواهد داد. برای این کار کافی است که عملگرهای مصور  $P_z(+)$  و  $P_z(-)$  را بدست بیاوریم. داریم

$$P_{z,+} = |z, +\rangle\langle z, +| = \begin{pmatrix} 1 & 0 \\ 0 & 0 \end{pmatrix} \quad P_{z,-} = |z, -\rangle\langle z, -| = \begin{pmatrix} 0 & 0 \\ 0 & 1 \end{pmatrix} \quad (30)$$

در نتیجه بدست می آوریم:

$$\begin{aligned} Pr(z+, n) &= \langle n, +|P_{z,+}|n, +\rangle = \cos^2 \frac{\theta}{2}, \\ Pr(z-, n) &= \langle n, +|P_{z,-}|n, +\rangle = \sin^2 \frac{\theta}{2}. \end{aligned} \quad (31)$$

به همین ترتیب خواهیم داشت:

$$P_{x,+} = |x, +\rangle\langle x, +| = \frac{1}{2} \begin{pmatrix} 1 & 1 \\ 1 & 1 \end{pmatrix} \quad P_{x,-} = |x, -\rangle\langle x, -| = \frac{1}{2} \begin{pmatrix} 1 & -1 \\ -1 & 1 \end{pmatrix} \quad (32)$$

$$\begin{aligned} Pr(x+, n) &= \langle n, +|P_{x,+}|n, +\rangle = \frac{1}{2}(1 + \sin \theta \cos \phi), \\ Pr(x-, n) &= \langle n, +|P_{x,-}|n, +\rangle = \frac{1}{2}(1 - \sin \theta \cos \phi). \end{aligned} \quad (33)$$

و بالاخره

$$P_{y,+} = |y, +\rangle \langle y, +| = \frac{1}{2} \begin{pmatrix} 1 & -i \\ i & 1 \end{pmatrix} \quad P_{y,-} = |y, -\rangle \langle y, -| = \frac{1}{2} \begin{pmatrix} 1 & i \\ -i & 1 \end{pmatrix} \quad (34)$$

$$\begin{aligned} Pr(y+, n) &= \langle n, + | P_{y,+} | n, + \rangle = \frac{1}{2} (1 + \sin \theta \sin \phi), \\ Pr(y-, n) &= \langle n, + | P_{y,-} | n, + \rangle = \frac{1}{2} (1 - \sin \theta \sin \phi). \end{aligned} \quad (35)$$

دقت کنید که وقتی یک ذره در حالت  $|n, +\rangle$  است اندازه گیری مولفه آن در هر کدام از جهت های  $y, x$  و  $z$  فقط و فقط دو مقدار  $\frac{\hbar}{2}$  و  $-\frac{\hbar}{2}$  را بدست می دهد، زیرا ویژه مقادیر مشاهده پذیرهای  $S_x$  و  $S_y$  و  $S_z$  فقط همین دو مقدار هستند. پس مشخصات بردار  $\mathbf{n}$  یعنی زاویه و امتداد آن در کجا خود را نشان می دهند؟ پاسخ این است که این مشخصات در احتمالات اندازه گیری ها خود را ظاهر می کنند.

می توان متوسط مقادیر اسپین را در اندازه گیری های مختلف بدست آورد.

$$\begin{aligned} \langle S_x \rangle &= \frac{\hbar}{2} \langle \sigma_x \rangle = \frac{\hbar}{2} \langle \sigma_x \rangle = \frac{\hbar}{2} \sin \theta \cos \phi \\ \langle S_y \rangle &= \frac{\hbar}{2} \langle \sigma_y \rangle = \frac{\hbar}{2} \langle \sigma_y \rangle = \frac{\hbar}{2} \sin \theta \sin \phi \\ \langle S_z \rangle &= \frac{\hbar}{2} \langle \sigma_z \rangle = \frac{\hbar}{2} \langle \sigma_z \rangle = \frac{\hbar}{2} \cos \theta. \end{aligned} \quad (36)$$

به یاد بیاوریم که برای ذره ای که در حالت  $|n, +\rangle$  قرار داشت نمی توانستیم بگوییم که بردار تکانه زاویه ای اش در راستای  $\mathbf{n}$  است، زیرا قایل شدن به چنین تصویری بلافاصله منجر به تناقض می شد. اما روابط بالا نشان می دهند که چنین تصویری برای مقادیر متوسط درست است. یعنی اگر تعداد بسیار زیادی اندازه گیری روی حالت های یکسانی از ذرات که همگی در حالت  $|n, +\rangle$  قرار دارند انجام دهیم، نتایج آن را می توانیم به این صورت تعبیر کنیم که انگار همگی این ذرات تکانه زاویه ای شان در راستای بردار  $\mathbf{n}$  قرار گرفته است.

حال می توانیم دینامیک اسپین را در یک میدان مغناطیسی ثابت حول محور  $z$  مطالعه کنیم. هامیلتونی چنین سیستمی را بالهام از فیزیک کلاسیک به شکل زیر می نویسیم که در آن  $\mu$  گشتاور مغناطیسی ذره است.

$$H = \mu B S_z = \mu B \frac{\hbar}{2} \sigma_z. \quad (37)$$

در نتیجه عملگر تحول به شکل زیر درمی آید:

$$U(t) = e^{-\frac{i}{\hbar}Ht} = e^{-\frac{\mu B t}{2}\sigma_z} = \begin{pmatrix} e^{-i\omega t} & 0 \\ 0 & e^{i\omega t} \end{pmatrix}. \quad (38)$$

که در آن

$$\omega := \frac{\mu B}{2}, \quad (39)$$

فرکانس لارمور خوانده می شود. فرض کنید که حالت اولیه حالت  $(n, +)$  باشد که در آن  $n = (\sin \theta \cos \phi, \sin \theta \sin \phi, \cos \theta)$  یک برداریکه است. این بردارحالت را به اختصار با  $|\theta, \phi\rangle$  نشان می دهیم:

$$|\psi(0)\rangle = |\theta, \phi\rangle. \quad (40)$$

در نتیجه معلوم می شود که منهای یک فاز کلی که در حالت ضرب می شود،

$$|\psi(t)\rangle = U(t)|\psi(0)\rangle = |\theta, \phi + \omega t\rangle. \quad (41)$$

که به معنای آن است که بردارحالت اسپین با سرعت زاویه ای  $\omega$  حول میدان مغناطیسی می چرخد. برای این بردارحالت خواهیم داشت:

$$\begin{aligned} \langle S_x(t) \rangle &= \sin \theta \cos(\phi + \omega t) \\ \langle S_y(t) \rangle &= \sin \theta \sin(\phi + \omega t) \\ \langle S_z(t) \rangle &= \cos \theta. \end{aligned} \quad (42)$$

این روابط نشان می دهند که اگر برداری به شکل

$$\langle \vec{S} \rangle(t) := (\langle S_x(t) \rangle, \langle S_y(t) \rangle, \langle S_z(t) \rangle) \quad (43)$$

تعریف کنیم که نشان دهنده متوسط مولفه های اسپین است، آنگاه بردار  $\langle \vec{S} \rangle$  همان دینامیکی را دارد که یک گشتاور مغناطیسی کلاسیک در میدان مغناطیسی خواهد داشت.

## ۴ آزمایش اشترن گرلاخ

آیا این خصلت های شگفت انگیز که از اصول موضوع مکانیک کوانتومی نتیجه می شوند، در طبیعت واقعاً وجود دارند؟ برای پاسخ به این سوال می بایست به آزمایشگاه رفت و ترتیبی داد که در آن بتوان گشتاور زاویه ای یک ذره را تعیین کرد. آزمایشی که نخستین بار اشترن و گرلاخ در دهه ۱۹۳۰ انجام دادند، نتایج بالا را تایید می کند.

شکل (۱) بطور شماتیک آزمایشی را نشان می دهد که در آن اتم های یک عنصر مثل نقره از درون یک میدان مغناطیسی که گرادیان آن در راستای  $z$  است عبور داده می شوند. این نوع آزمایش را آزمایش اشترن گِرخاخ در راستای  $z$  می خوانیم و به طور اختصار این اندازه گیری یا آزمایش را با  $SG_z$  نمایش می دهیم. توزیع بار الکتریکی ای که در اتم های نقره وجود دارد باعث می شود که یک گشتاور مغناطیسی  $\mu$  در امتداد گشتاور زاویه ای شان یعنی  $S$  پیدا کنند. از الکترومغناطیس می توان نشان داد که این نسبت چنین نوشته می شود:

$$\mu = g \frac{e}{2m} S, \quad (44)$$

که در آن  $g$  یک ثابت است که بستگی به ساختمان ذره دارد.

می دانیم که یک گشتاور مغناطیسی در میدان مغناطیسی تنها دچار چرخش می شود و نیرویی به آن وارد نمی شود. بنابراین اگر باریکه ای از این ذرات را از یک میدان مغناطیسی ثابت عبور دهیم هیچ نیرویی بر آنها وارد نمی شود و نمی توانیم ذرات را برحسب مقدار گشتاور مغناطیسی شان یا همان اسپین شان از هم جدا کنیم. اما اگر میدان مغناطیسی چنان باشد که در امتداد محور  $z$  دارای یک گرادیان باشد، (یعنی جهت آن در جهت  $z$  باشد ولی اندازه اش ثابت نباشد و تابعی از  $z$  باشد) آنگاه نیرویی در جهت  $z$  به این ذرات وارد خواهد شد. برای بدست آوردن نیرو دقت می کنیم که انرژی چنین ذره ای در میدان مغناطیسی برابر است با

$$U = -\mu \cdot B = -\mu_z B(z) = -g \frac{e}{2m} S_z B(z). \quad (45)$$

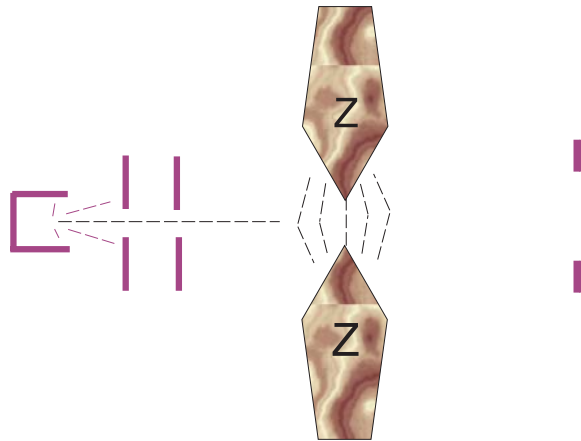
نیروی وارد بر این ذره در امتداد  $z$  برابر خواهد بود با:

$$F_z = -\frac{\partial}{\partial z} U = g \frac{e}{2m} S_z \frac{\partial B_z}{\partial z}. \quad (46)$$

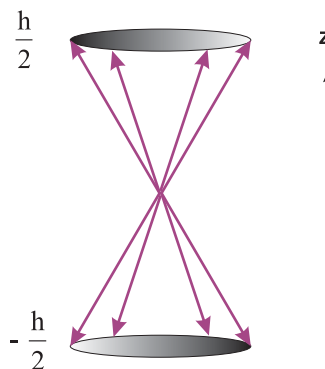
در نتیجه در این آزمایش هر ذره ای بسته به اینکه  $S_z$  اش چقدر باشد، نیرویی را تجربه می کند و در خروج از دستگاه بدلیل انحرافی که پیدا کرده است به روی نقطه متفاوتی از پرده مقابل می نشیند. اگر  $S_z$  چنانچه که از دنیای کلاسیک انتظار داریم هر مقدار پیوسته ای داشته باشد می بایست روی پرده مقابل یک لکه پیوسته از ذرات ببینیم، ولی در آزمایش تنها دو نقطه سیاه می بینیم که نشان می دهد  $S_z$  تنها دو مقدار  $\frac{\hbar}{2}$  و  $-\frac{\hbar}{2}$  را داشته است.

ممکن است بگوییم که توزیع گشتاور زاویه ای و در نتیجه مغناطیسی ذراتی که وارد دستگاه  $SG_z$  در شکل ۱ شده اند، به دلیلی چیزی شبیه به شکل ?? بوده است و این توزیع مسلماً نتایج آزمایش بالا را توضیح می دهد.

می توانیم این فرضیه را محک بزنیم. می گوییم ذراتی که روی نقطه بالایی در پرده می نشینند ذراتی هستند که در حالت  $(+, z)$  هستند. می توانیم چنین ذراتی را از بقیه ذرات جدا کنیم (به اصطلاح ذراتی را در این حالت تهیه کنیم) به این ترتیب که در یک آزمایش اشترن گِرخاخ  $SG_z$  جلوی ذراتی را که روی نقطه پایینی می نشینند سد کنیم. این کار به طور شماتیک در شکل ۳ نشان داده شده است.



شکل ۱: آزمایش اشترن گرلاخ: میدان مغناطیسی نایکنواخت در جهت  $z$  باریکه ذرات را دو پاره می کند.



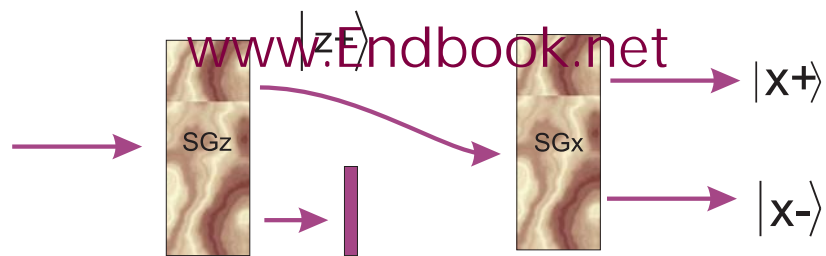
شکل ۲: توزیعی کلاسیک از جهات اسپین ها که نتایج آزمایش اشترن گرلاخ  $SG_z$  را توضیح می دهد.

حال می توانیم ذراتی که در حالت  $|z+\rangle$  هستند جدا کرده و مولفه اسپین آنها را در راستای  $x$  اندازه بگیریم. اگر اسپین یک خصلت کلاسیک بود می بایست مقدار صفر بدست می آوردیم. ولی آزمایشی که شمای آن در شکل ۴ نشان داده شده است، خلاف این را نشان می دهد. در این آزمایش باز هم می بینیم که اندازه گیری مولفه اسپین  $S_x$  روی حالت  $|z, +\rangle$  تنها دو مقدار  $\frac{\hbar}{2}$  و  $-\frac{\hbar}{2}$  بدست می دهد.

در دفاع از فرضیه کلاسیک خود ممکن است بگوییم که در شکل ۴ ذراتی که نهایتاً از خروجی بالای سمت راست خارج می شوند، آن دسته از ذراتی هستند که مولفه اسپین آنها هم در راستای  $z$  و هم در راستای  $x$  برابر با  $\frac{\hbar}{2}$  است. تصور برداری که دارای چنین مولفه هایی باشد آسان است: شکل ۵.

اگر این فرضیه درست باشد می بایست ذراتی که از خروجی بالای دستگاه ۴ بیرون می آیند دارای مقدار مشخصی (یعنی  $\frac{\hbar}{2}$ ) از مولفه اسپین در جهت  $z$  باشند. این موضوع را با یک اندازه گیری تحقیق می کنیم. نتیجه عجیب این اندازه گیری در شکل ۶ نشان داده شده است.

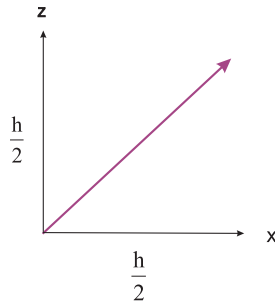
ذراتی که یک بار مولفه  $S_z$  آنها تعیین شده و سپس مولفه  $S_x$  تعیین شده، این موضوع را که مولفه اسپین آنها قبلاً  $\frac{\hbar}{2}$  بوده از



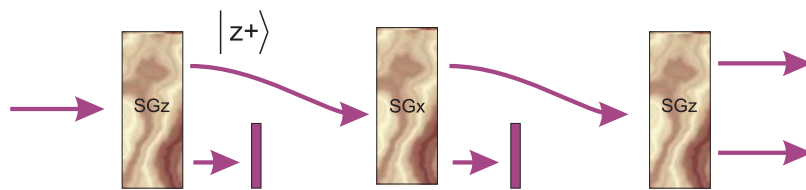
شکل ۴: دو آزمایش اشترن گِراخ پشت سر هم.

یاد می‌برند. بنابراین آزمایش مقادیر اندازه‌گیری را کشف نمی‌کند بلکه آنها را خلق می‌کند. به بیان دیگر کمیت‌های  $S_x$  و  $S_z$  باهم ناسازگارند و نمی‌توان آنها را باهم تعیین کرد.

در این فصل اصول موضوع کوانتومی را بیان کرده ایم و با ساده‌ترین مثال یعنی ذره اسپین یک دوم، معنای آنها را شرح داده ایم. در فصل آینده این اصول موضوع را برای توصیف حرکت ذرات بکار می‌بریم.



شکل ۵: ممکن است که فکر کنیم ذراتی که از خروجی بالای آزمایش شکل (۴) بیرون می آیند ذراتی هستند که هم مولفه  $x$  و هم مولفه  $z$  اسپین آنها معین است.



شکل ۶: سه آزمایش اشترن گرلاخ پشت سرهم.



## درس پنجم: کوانتس فزای فاز

### ۱ مقدمه

هرآنچه را که درباره رفتار موجی و ذره‌ای گفته‌ایم، از پیشنهاد دوبروی گرفته تا اصل عدم قطعیت و معادله شرودینگر همه را می‌توان به فراموشی سپرد یا به کناری نهاد. همه این نتایج را می‌توان از اصول موضوع استنتاج کرد. این کاری است که در این درس انجام می‌دهیم.

### ۲ عملگرهای مکان و مختصات

مطابق با اصول موضوع برای ذره‌ای که در یک بعد حرکت می‌کند، دو عملگر هرمیتی  $X$  و  $P$  خواهیم داشت که در رابطه جابجایی زیر صدق می‌کنند:

$$[X, P] = i\hbar I. \quad (1)$$

خواننده ممکن است از غنای این رابطه و نتایجی که از آن گرفته خواهد شد شگفت زده شود. نخستین نتیجه‌ای که بدست می‌آید آن است که فضای هیلبرتی که بخواهد درجات آزادی مکان و تکانه را توصیف کند می‌بایست بی‌نهایت بعد باشد، زیرا در یک فضای محدود بعد به ازای هر دو عملگر داریم

$$\text{tr}([A, B]) = \text{tr}(AB) - \text{tr}(BA) = 0, \quad (2)$$

و این با رابطه  $[X, P] = i\hbar$  مابینت دارد. فضای هیلبرت را با  $\mathcal{H}$  نمایش می‌دهیم. از آنجا که  $X$  یک عملگر هرمیتی است، ویژه بردارهای آن فضای هیلبرت را جاروب می‌کنند. ویژه بردارهای این عملگر را  $|x\rangle$  و ویژه مقادیر آن را با  $x$  نشان می‌دهیم. (از این به بعد علامت  $\hat{\phantom{x}}$  را بر روی عملگرها نخواهیم نوشت.)

$$X|x\rangle = x|x\rangle. \quad (3)$$

اگر خواهیم این حالت‌ها را مطابق با اصول مکانیک کوانتومی تعبیر کنیم باید بگوییم که حالت  $|x\rangle$  حالتی است که در آن ذره درست در مکان  $x$  قرار دارد. زیرا  $|x\rangle$  ویژه بردار عملگر هرمیتی  $X$  است که به مشاهده پذیر مکان نسبت داده شده است و

مطابق با اصل موضوع اندازه گیری هرگاه این مشاهده پذیر را اندازه بگیریم مقدار  $x$  را بدست می آوریم.

از کجا معلوم است که ویژه مقدارهای  $x$  مقادیر پیوسته ای اختیار می کنند. برای پاسخ گویی به این سوال رابطه ای را استنتاج می کنیم که در آینده فواید فراوان دیگری نیز در بر دارد. مطابق با لم هاسدورف می توانیم از رابطه  $[X, P] = i\hbar$  نتیجه بگیریم که

$$e^{\frac{i}{\hbar}a} P X e^{-\frac{i}{\hbar}a} P = X + a. \quad (4)$$

حال فرض کنید که  $X|x\rangle = x|x\rangle$  و قرار دهید  $|\phi\rangle = e^{-\frac{i}{\hbar}a} P$  که در آن  $a$  یک عدد حقیقی دلخواه است. از رابطه فوق نتیجه می گیریم که

$$X|\phi\rangle = X e^{-\frac{i}{\hbar}a} P |x\rangle = e^{-\frac{i}{\hbar}a} P (X + a)|x\rangle = (x + a)|\phi\rangle. \quad (5)$$

بنابراین هرگاه  $|x\rangle$  یک ویژه مقدار  $X$  باشد،  $e^{-\frac{i}{\hbar}a} P |x\rangle$  نیز یک ویژه بردار با ویژه مقدار  $x + a$  است. این رابطه را به شکل زیر می نویسیم:

$$e^{-\frac{i}{\hbar}a} P |x\rangle = |x + a\rangle. \quad (6)$$

بنابراین  $x$  مقادیر پیوسته ای از  $-\infty$  تا  $\infty$  را اختیار می کند. این رابطه بیان می کند که عملگر  $e^{-\frac{i}{\hbar}a} P$  عمل انتقال را در پایه مختصات انجام می دهد.  $X$  یک عملگر هرمیتی است، مقادیر ویژه یعنی  $x$  ها حقیقی بوده و بردارهای ویژه متناظر با مقادیر ویژه متفاوت آن بریکدیگر عمود هستند، یعنی

$$\langle x|x'\rangle = 0 \quad \text{اگر} \quad x \neq x'. \quad (7)$$

هم چنین این ویژه بردارهای یک پایه کامل برای فضا تشکیل می دهند یعنی

$$\int dx |x\rangle \langle x| = I. \quad (8)$$

باید دقت کنیم که حالت  $|x\rangle$  یک حالت فیزیکی نیست زیرا هر نوع وسیله اندازه گیری که برای اندازه گیری مکان یک ذره بکار ببریم، مثل وقتی که از یک پرده فلورسانس برای تعیین مکان یک الکترون استفاده می کنیم، حتماً دارای قدرت تفکیک محدودی است و تنها می تواند مکان یک ذره را در یک بازه مثل  $(x - a, x + a)$  تعیین کند. حالت چنین ذره ای را می توان با  $|x - a, x + a\rangle$  نشان داد که یک حالت فیزیکی بهنجار است یعنی نرم آن یک است. ولی کارکردن با این حالت ها ساده نیست ( زیرا بایکدیگر همپوشانی دارند و نمی توان از آنها به عنوان یک پایه استفاده کرد) و بناکردن ساختمان مکانیک کوانتومی بر روی

آنها دشوار و بی حاصل است. بنابراین بجای این حالت ها از حالت های ایده آل  $|x\rangle$  استفاده می کنیم که اگرچه فیزیکی نیستند ولی دارای خواص جالب و مهمی هستند. می توان این حالت ها به عنوان یک پایه مناسب برای بسط بردارهای حالت استفاده کرد.

حالتی مثل  $|\psi\rangle$  تصور کنید. باتوجه به رابطه کامل بودن پایه یعنی رابطه 8 این حالت را می توان به صورت زیر بسط داد:

$$|\psi\rangle = \int dx |x\rangle \langle x|\psi\rangle =: \int dx |x\rangle \psi(x). \quad (9)$$

در رابطه آخر نماد  $\psi(x)$  را بجای  $\langle x|\psi\rangle$  بکار برده ایم.  $\psi(x)$  تابع موج حالت  $|\psi\rangle$  در فضای مختصات خوانده می شود. این تابع در واقع مولفه بردار حالت  $|\psi\rangle$  در پایه  $|x\rangle$  است.

این رابطه بیان می کند که ضریب بسط، یعنی  $\langle x|\psi\rangle := \psi(x)$  دامنه احتمال یافتن ذره در نقطه  $x$  است، به عبارت دیگر  $|\langle x|\psi\rangle|^2$  چگالی احتمال یافتن ذره در نقطه  $x$  است و  $dx |\psi(x)|^2$  احتمال یافتن ذره در بازه ای به پهنای  $dx$  حول نقطه  $x$  است.

دیدیم که هرگاه  $x \neq x'$  باشد آنگاه  $\langle x|x'\rangle = 0$ . می خواهیم ببینیم که در حالت  $x = x'$ ، این ضرب داخلی چقدر است. برای این کار کافی است که طرفین رابطه 9 را در  $\langle x'|$  ضرب کنیم. خواهیم داشت:

$$\langle x'|\psi\rangle = \int dx \langle x'|x\rangle \langle x|\psi\rangle, \quad (10)$$

و یا

$$\psi(x') = \int dx \langle x|x'\rangle \psi(x). \quad (11)$$

حال اگر این رابطه را با آنچه که در درس دوم دیده ایم مقایسه کنیم درمی یابیم که  $\langle x'|x\rangle$  چیزی نیست جز تابع دلتای دیراک یعنی

$$\langle x|x'\rangle = \delta(x - x'). \quad (12)$$

آنچه که تا کنون گفتیم به طور کامل برای عملگر  $P$  نیز صادق است. بنابراین تنها به نوشتن رابطه ها و تفسیر تابع موج می پردازیم.

می توان ویژه بردارهای عملگر  $P$  را به عنوان پایه ای برای فضای هیلبرت در نظر گرفت:

$$\begin{aligned} P|p\rangle &= p|p\rangle \\ \langle p|p'\rangle &= \delta(p - p') \\ \int dp |p\rangle \langle p| &= I. \end{aligned} \quad (13)$$

حالت  $|p\rangle$  حالت ایده آلی است که از آن به حالتی تعبیری کنیم که ذره دقیقاً تکانه  $p$  دارد.

خواننده به همان ترتیب می تواند ثابت کند که

$$e^{\frac{i}{\hbar}qX}|p\rangle = |p+q\rangle. \quad (14)$$

بنابراین ویژه مقدارهای عملگر  $P$  نیز مقادیر حقیقی از  $-\infty$  تا  $\infty$  را اختیار می کنند.

هربردار حالت دلخواه  $|\psi\rangle$  را می توان برحسب این پایه نیز بسط داد:

$$|\psi\rangle = \int dp|p\rangle\langle p|\psi\rangle = \int dp\tilde{\psi}(p)|p\rangle. \quad (15)$$

که در آن  $\tilde{\psi}(p)$  تابع موج در فضای تکانه خوانده می شوند.

$\tilde{\psi}(p)$  دامنه احتمال این است که در اندازه گیری تکانه ذره ای که در حالت  $|\psi\rangle$  قرار دارد مقدار  $p$  ظاهر شود. به عبارت ساده تر چگالی احتمال یافتن ذره مورد نظر با تکانه  $p$  با تابع  $|\tilde{\psi}(p)|^2$  داده می شود. داریم

$$\langle p|P|p'\rangle = p'\delta(p-p') = p\delta(p-p'). \quad (16)$$

هم چنین اثر عملگر  $P$  روی توابع موج در فضای تکانه آن است که  $\tilde{\psi}(p)$  را به  $p\tilde{\psi}(p)$  تبدیل می کند یعنی

$$P : \tilde{\psi}(p) \longrightarrow p\tilde{\psi}(p). \quad (17)$$

به عبارت دیگر وقتی که در پایه تکانه کار می کنیم می توانیم براحتی به جای عملگر  $P$ ، مقدار  $p$  را قرار دهیم.

### ۳ رابطه بین پایه های مختصات و تکانه

اکنون سوال می کنیم که چه رابطه ای بین پایه ی تکانه و  $\{|p\rangle\}$  پایه مختصات  $\{|x\rangle\}$  وجود دارد؟ دیدیم که

$$e^{\frac{-i}{\hbar}aP}|x\rangle = |x+a\rangle. \quad (18)$$

حال از رابطه 18 می توانیم ضرب داخلی  $\langle p|x\rangle$  را بدست آوریم. برای این کار طرفین رابطه 18 را در  $\langle p|$  ضرب می کنیم و بدست می آوریم

$$\langle p|e^{\frac{-i}{\hbar}aP}|x\rangle = \langle p|x+a\rangle, \quad (19)$$

و یا

$$e^{\frac{-i}{\hbar}ap} \langle p|x \rangle = \langle p|x+a \rangle, \quad (20)$$

که حل آن به فرم زیر است:

$$\langle p|x \rangle = A e^{\frac{-i}{\hbar}xp}, \quad (21)$$

و یا

$$\langle x|p \rangle = A e^{\frac{i}{\hbar}px}, \quad (22)$$

که در آن  $A$  یک ثابت است که می بایست تعیین شود. برای تعیین  $A$  به رابطه زیر توجه می کنیم:

$$\begin{aligned} \delta(x-x') &= \langle x|x' \rangle = \int dp \langle x|p \rangle \langle p|x' \rangle = \int dp A e^{\frac{i}{\hbar}xp} A e^{\frac{-i}{\hbar}x'p} \\ &= A^2 \int dp e^{\frac{i}{\hbar}(x-x')p} = A^2 2\pi\hbar \delta(x-x'). \end{aligned} \quad (23)$$

بنابراین خواهیم داشت  $A = \frac{1}{\sqrt{2\pi\hbar}}$  و در نتیجه

$$\langle x|p \rangle = \frac{1}{\sqrt{2\pi\hbar}} e^{\frac{i}{\hbar}xp}. \quad (24)$$

هرگاه بخواهیم این رابطه را براساس اصول موضوع مکانیک کوانتومی تفسیر کنیم باید بگوییم که ذره ای که دقیقاً با تکانه  $p$  در حرکت است دامنه احتمال یافتن آن در نقطه ای مثل  $x$  برابر است با  $\frac{1}{\sqrt{2\pi\hbar}} e^{\frac{i}{\hbar}xp}$ . این تابع نشان دهنده یک موج تخت است که طول موج آن از رابطه  $\lambda = \frac{h}{p}$  بدست می آید. بنابراین توانسته ایم دوگانگی موج و ذره و اصل دوبرویی را از اصول موضوع خود استخراج کنیم و نیازی نیست که آن ها رابه عنوان یافته های تجربی جداگانه ای در زیربنای مکانیک کوانتومی بکار ببریم. یک بار که اصول موضوع مکانیک کوانتومی را بپذیریم همه نتایج نظری و تجربی را باید بتوانیم از آن اصول استخراج کنیم. نکته دیگری که درباره این رابطه اهمیت دارد آن است که احتمال (ونه دامنه احتمال) یافتن یک ذره که در حالت  $|p\rangle$  قرار دارد برابر است با مقدار ثابت  $\frac{1}{2\pi\hbar}$ . یعنی احتمال یافتن ذره در تمام نقاط فضا یکسان و در نتیجه احتمال کل برابر با بی نهایت است. این امر ناشی از ایده آل بودن حالت  $|p\rangle$  است، زیرا این حالت نشان دهنده آن است که با یک اندازه گیری توانسته ایم تکانه یک ذره را با دقت بی نهایت و با تفکیک صفر دقیقاً تعیین کنیم و می دانیم که هر نوع اندازه گیری قدرت تفکیک محدودی دارد. در عمل تنهایی توانیم حالت هایی تهیه کنیم که تکانه آن ها تقریباً معین باشد. چنین حالت هایی را می توان به شکل زیر نشان داد:

$$|\phi\rangle = \int dp \phi(p) |p\rangle \quad (25)$$

که در آن  $\phi(p)$  تابعی است که در اطراف یک تکانه مثل  $\bar{p}$  مقدار غیرصفر دارد. حال که ضرب داخلی  $\langle x|p \rangle$  معلوم شده است می توانیم رابطه بین تابع موج در فضای مختصات و تابع موج در فضای تکانه را پیدا کنیم: داریم

$$\begin{aligned}\tilde{\psi}(p) &= \langle p|\psi \rangle = \int dx \langle p|x \rangle \langle x|\psi \rangle = \frac{1}{\sqrt{2\pi\hbar}} \int dx e^{-i\frac{px}{\hbar}} \psi(x), \\ \tilde{\psi}(x) &= \langle x|\psi \rangle = \int dp \langle x|p \rangle \langle p|\psi \rangle = \frac{1}{\sqrt{2\pi\hbar}} \int dp e^{i\frac{px}{\hbar}} \tilde{\psi}(p).\end{aligned}\quad (26)$$

بنابراین تابع موج در فضای تکانه یعنی  $\tilde{\psi}(p)$  و تابع موج در فضای مختصات یعنی  $\psi(x)$  تبدیل فوری یکدیگر هستند.

### ۱.۳ عنصر ماتریسی عملگرها در پایه های مختصات و تکانه

واضح است که هر کدام از عملگرهای  $X$  و  $P$  در پایه مربوط به خود قطری هستند به این معنا که

$$\langle x'|X|x \rangle = x\delta(x-x') \quad \langle p'|P|p \rangle = p\delta(p-p'). \quad (27)$$

برای اینکه عملگر  $X$  را در پایه  $\{|p\rangle\}$  بنویسیم به ترتیب زیر عمل می کنیم:

$$\begin{aligned}\langle p'|X|p \rangle &= \langle p'|X \left( \int dx |x\rangle \langle x|p \rangle \right) = \int dx x \langle p'|x \rangle \langle x|p \rangle \\ &= \frac{1}{2\pi\hbar} \int dx x e^{ix\frac{p-p'}{\hbar}} = \frac{1}{2\pi\hbar} \int dx (i\hbar \frac{\partial}{\partial p}) e^{ix\frac{p-p'}{\hbar}} \\ &= i\hbar \frac{\partial}{\partial p} \delta(p-p').\end{aligned}\quad (28)$$

هم چنین می توان عملگر  $P$  را در پایه  $\{|x\rangle\}$  نوشت. برای این کار توجه می کنیم که

$$\begin{aligned}\langle x'|P|x \rangle &= \langle x'|P \left( \int dp |p\rangle \langle p|x \rangle \right) = \int dp p \langle x'|p \rangle \langle p|x \rangle \\ &= \frac{1}{2\pi\hbar} \int dp p e^{-ip\frac{x-x'}{\hbar}} = \frac{1}{2\pi\hbar} \int dp (i\hbar \frac{\partial}{\partial x}) e^{-ip\frac{x-x'}{\hbar}} \\ &= i\hbar \frac{\partial}{\partial x} \delta(x-x'),\end{aligned}\quad (29)$$

ویا

$$\langle x|P|x'\rangle = \frac{\hbar}{i} \frac{\partial}{\partial x} \delta(x - x'). \quad (30)$$

به کمک این روابط می توانیم اثر عملگرهای  $X$  و  $P$  را روی توابع موج چه در نمایش مختصات و چه در نمایش تکانه بدست بیاوریم. می نویسیم:

$$X|\psi\rangle = \int dx X|x\rangle\langle x|\psi\rangle = \int dx x\psi(x)|x\rangle. \quad (31)$$

این رابطه نشان می دهد که اثر عملگر  $X$  روی تابع موج  $\psi(x)$  به صورت زیر است:

$$X : \psi(x) \longrightarrow x\psi(x). \quad (32)$$

اما اثر عملگر تکانه روی تابع موج  $\psi(x)$  غیر بدیهی است. زیرا

$$\begin{aligned} \langle x|P|\psi\rangle &= \int dx' \langle x|P|x'\rangle\langle x'|\psi\rangle = \int dx' \left(\frac{\hbar}{i} \frac{\partial}{\partial x} \delta(x - x')\right)\psi(x') \\ &= \frac{\hbar}{i} \frac{\partial}{\partial x} \int dx' \delta(x - x')\psi(x') = \frac{\hbar}{i} \frac{\partial}{\partial x} \psi(x). \end{aligned} \quad (33)$$

که نشان می دهد اثر عملگر  $P$  روی تابع موج  $\psi(x)$  به صورت مشتق است :

$$P : \psi(x) \longrightarrow \frac{\hbar}{i} \frac{\partial}{\partial x} \psi(x). \quad (34)$$

به طور مشابه می توان اثر عملگرهای  $X$  و  $P$  را روی تابع موج در فضای تکانه یعنی  $\tilde{\psi}(p)$  بدست آورد. بامحاسبات مشابه بدست می آوریم:

$$\begin{aligned} \langle p|P|\psi\rangle &= p\langle p|\psi\rangle \\ \langle p|X|\psi\rangle &= i\hbar \frac{\partial}{\partial p} \tilde{\psi}(p). \end{aligned} \quad (35)$$

که به طور خلاصه نشان دهنده اثرات زیرروی تابع موج در فضای تکانه است:

$$\begin{aligned} P : \tilde{\psi}(p) &\longrightarrow p\tilde{\psi}(p) \\ X : \tilde{\psi}(p) &\longrightarrow i\hbar \frac{\partial}{\partial p} \tilde{\psi}(p). \end{aligned} \quad (36)$$

بالاخره می توان اثر عملگر  $T_a := e^{\frac{i}{\hbar}aP}$  را روی تابع موج در فضای مختصات بدست آورد: باتوجه به اینکه  $T_a := e^{-\frac{i}{\hbar}aP}|x\rangle = |x+a\rangle$  خواهیم داشت

$$\langle x|e^{-\frac{i}{\hbar}aP}|\psi\rangle = \langle x-a|\psi\rangle. \quad (37)$$

در نتیجه اثر عملگر  $T_a$  روی تابع موج  $\psi(x)$  چنین است:

$$(T_a := e^{-\frac{i}{\hbar}aP}) : \psi(x) \longrightarrow \psi(x-a). \quad (38)$$

## ۴ رابطه عدم قطعیت

در درس های پیشین به طور کیفی رابطه عدم قطعیت هایزنبرگ را بیان کردیم. اکنون وقت آن است که شکل دقیق این رابطه را بیان کنیم و آن را از اصول موضوع نتیجه بگیریم. هرگاه روی حالت  $|\psi\rangle$  اندازه گیری مختصه  $X$  یا تکانه  $P$  انجام دهیم، میزان عدم یقینی را که در این اندازه گیری ها بدست می آوریم می توانیم به صورت زیر بنویسیم:

$$\Delta X = \sqrt{\langle X^2 \rangle - \langle X \rangle^2}, \quad \Delta P = \sqrt{\langle P^2 \rangle - \langle P \rangle^2}. \quad (39)$$

باید توجه کنیم که تمام این عناصر ماتریسی روی حالت  $|\psi\rangle$  محاسبه شده اند، یعنی  $\langle X \rangle = \langle \psi|\hat{X}|\psi\rangle$  والی آخر. رابطه عدم قطعیت بیان می کند که

$$\Delta X \Delta P \geq \frac{\hbar}{2}. \quad (40)$$

برای اثبات این رابطه دو عملگر زیر را تعریف می کنیم:

$$A := \hat{X} - \langle \hat{X} \rangle, \quad B := \hat{P} - \langle \hat{P} \rangle. \quad (41)$$

براحتی معلوم می شود که

$$[A, B] = i\hbar. \quad (42)$$

حال حالت های زیر را تعریف می کنیم:

$$|\alpha\rangle = A|\psi\rangle, \quad |\beta\rangle = B|\psi\rangle. \quad (43)$$



داریم

$$(\Delta X)^2 = \langle \psi | (\hat{X} - \langle \hat{X} \rangle)^2 | \psi \rangle = \langle \alpha | \alpha \rangle, \quad (\Delta P)^2 = \langle \psi | (\hat{P} - \langle \hat{P} \rangle)^2 | \psi \rangle = \langle \beta | \beta \rangle. \quad (44)$$

می دانیم که به ازای هر عدد حقیقی  $\lambda$

$$\| |\alpha\rangle - i\lambda|\beta\rangle \|^2 \geq 0 \quad (45)$$

با باز کردن سمت چپ خواهیم داشت و استفاده از 63 بدست می آوریم:

$$\langle \alpha | \alpha \rangle + \lambda^2 \langle \beta | \beta \rangle + \lambda \hbar \geq 0. \quad (46)$$

این رابطه به ازای هر مقدار  $\lambda$  برقرار است. از جمله به ازای مقداری از  $\lambda$  که طرف چپ را کمینه می کند. هرگاه این مقدار کمینه یعنی  $\lambda = -2 \frac{\langle \alpha | \alpha \rangle}{\langle \beta | \beta \rangle}$  را در سمت چپ قرار دهیم به رابطه عدم قطعیت می رسیم.

## ۵ معادله شرودینگر در پایه های مختصات و تکانه

بنابراصل موضوع چهارم دیدیم که دینامیک حالت های کوانتومی به صورت زیر داده می شود:

$$H|\psi(t)\rangle = i\hbar \frac{d}{dt} |\psi(t)\rangle. \quad (47)$$

که در آن  $H = \frac{P^2}{2m} + V(X)$  هامیلتونی نامیده می شود. در این بخش می خواهیم این معادله را در پایه مختصات و تکانه تصویر کنیم:

باتصویرکردن این رابطه در پایه مختصات بدست می آوریم:

$$\langle x | \left[ \frac{P^2}{2m} + V(X) \right] | \psi(t) \rangle = i\hbar \langle x | \frac{d}{dt} | \psi(t) \rangle = i\hbar \frac{\partial}{\partial t} \psi(x, t). \quad (48)$$

و یا

$$-\frac{\hbar^2}{2m} \frac{\partial^2}{\partial x^2} \psi(x, t) + V(x) \psi(x, t) = i\hbar \frac{\partial}{\partial t} \psi(x, t). \quad (49)$$

این معادله دیفرانسیل، معادله شرودینگر نامیده می شود و در واقع چیزی نیست جز تصویر معادله  $H|\psi(t)\rangle = i\hbar \frac{d}{dt} |\psi(t)\rangle$  در پایه مختصات. می توان همین معادله را در پایه تکانه نیز تصویر کرد که در این صورت به شکل زیر می آید.

$$\frac{p^2}{2m} \tilde{\psi}(p, t) + V(i\hbar \frac{\partial}{\partial p}) \tilde{\psi}(p, t) = i\hbar \frac{\partial}{\partial t} \tilde{\psi}(p, t). \quad (50)$$

از آنجا که برای پتانسیل های پیچیده کارکردن با عملگر  $V(i\hbar\frac{\partial}{\partial p})$  بسیار دشوار است همیشه معادله دینامیک را دریایه مختصات تصویری کنیم .

## ۶ کوانتس ذره ای که درسه بعد حرکت می کند.

تاکنون برای سادگی به مطالعه ذره ای پرداختیم که در یک بعد حرکت می کند. روابط کوانتس بسادگی برای ذره ای که درسه بعد حرکت می کند در مکانیک کلاسیک حالت این ذره با مختصات  $x_1 = x, x_2 = y, x_3 = z$  و تکانه های  $p_1 = p_x, p_2 = p_y, p_3 = p_z$  مشخص می شود. بین این مختصات و تکانه ها روابط گروه پواسون زیر برقرارند.

$$\{x_i, x_j\} = 0 \quad \{p_i, p_j\} = 0, \quad \{x_i, p_j\} = \delta_{ij}. \quad (51)$$

در مکانیک کوانتومی روابط گروه پواسون فوق به تعویضگرهای زیر تبدیل می شوند.

$$[X_i, X_j] = 0, \quad [P_i, P_j] = 0, \quad [X_i, P_j] = i\hbar\delta_{ij}. \quad (52)$$

از آنجا که همه عملگرهای  $X_i$  باهم جابجایی شوند می توان ویژه بردارهای مشترک همه آنها را تعیین کرد. این ویژه بردارها را با  $|\vec{x}\rangle$  نشان می دهیم:

$$X_i|\vec{x}\rangle = x_i|\vec{x}\rangle. \quad (53)$$

روابط تعامد این ویژه بردارها به صورت

$$\langle\vec{x}|\vec{x}'\rangle = \delta^3(\vec{x} - \vec{x}') \equiv \delta(x - x')\delta(y - y')\delta(z - z'), \quad (54)$$

و روابط تعامد آنها به فرم زیر است:

$$\int d\vec{x}|\vec{x}\rangle\langle\vec{x}| = I, \quad d\vec{x} := d^3x = dx dy dz. \quad (55)$$

به همین سیاق می توانیم ویژه بردارهای مشترک تکانه هارا تعیین کنیم:

$$P_i|\vec{p}\rangle = p_i|\vec{p}\rangle, \quad (56)$$

باروابط تعامد

$$\langle \vec{p} | \vec{p}' \rangle = \delta^3(\vec{p} - \vec{p}'), \quad (57)$$

ورابطه کامل بودن

$$\int d\vec{p} |\vec{p}\rangle \langle \vec{p}| = I. \quad (58)$$

هم چنین داریم

$$\langle \vec{x} | \vec{p} \rangle = \frac{1}{(2\pi\hbar)^{\frac{3}{2}}} e^{\frac{i}{\hbar} \vec{x} \cdot \vec{p}}. \quad (59)$$

عملگر  $\frac{i}{\hbar} \vec{a} \cdot \vec{P}$  نقش انتقال دهنده به اندازه بردار  $\vec{a}$  را به عهده دارد.

$$e^{\frac{i}{\hbar} \vec{a} \cdot \vec{P}} |\vec{x}\rangle = |\vec{x} + \vec{a}\rangle. \quad (60)$$

ازاین رابطه می توان نتیجه گرفت

$$\langle \vec{x} | e^{\frac{i}{\hbar} \vec{a} \cdot \vec{P}} |\psi\rangle = \langle \vec{x} + \vec{a} | \psi \rangle. \quad (61)$$

## ۷ کوانتش بیش ازیک ذره

تاکنون خود رابه کوانتش یک ذره مقید کردیم. دراین بخش می خواهیم کوانتش سیستمی بابیش ازیک ذره را بررسی کنیم. برای سادگی خود رامقید می کنیم به یک سیستم دودره ای که دریک بعد حرکت می کنند. تمامی مفاهیم دراین سیستم نیز قابل بیان هستند و تعمیم به بیش از دودره کاملاً سراسر است. درمکانیک کلاسیک حالت این سیستم با چهارمختصه  $x_1, x_2, p_1, p_2$  و باکروشه های پوآسون زیرمشخص می شود:

$$\{x_i, x_j\} = \{p_i, p_j\} = 0, \quad \{x_i, p_j\} = \delta_{ij}. \quad (62)$$

درمکانیک کوانتومی این مشاهده پذیرها با عملگرهای هرمیتی  $X_1, X_2, P_1, P_2$  و روابط تعویضگری زیرنمایش داده می شوند:

$$[X_i, X_j] = [P_i, P_j] = 0, \quad [X_i, P_j] = i\hbar\delta_{ij}. \quad (63)$$

نخستین کاری که باید انجام دهیم آن است که فضای هیلبرتی بسازیم که این روابط در آن نمایش داده شوند. فضای هیلبرت یک ذره راقبلاً ساخته ایم و دیده ایم که چگونه در این فضا عملگرهای  $X$  و  $P$  عمل می کنند به نحوی که رابطه  $[X, P] = i\hbar I$  برقرار می شود. از این موضوع و خواصی که برای ضرب تانسوری فضاهای برداری می شناسیم کمک می گیریم و فضای هیلبرتی می سازیم که روابط 63 در آن برقرار شوند. اگر فضای هیلبرت یک ذره را با  $\mathcal{V}$  نمایش دهیم فضای هیلبرت دودره را  $\mathcal{V} \otimes \mathcal{V}$  می گیریم و قرار می دهیم

$$X_1 := X \otimes I, \quad X_2 := I \otimes X, \quad P_1 := P \otimes I, \quad P_2 := I \otimes P. \quad (64)$$

بنابراین عملگر  $X_1$  روی فضای اول مثل  $X$  و روی فضای دوم مثل عملگر واحد عمل می کند باتوصیف مشابهی برای بقیه عملگرها. بنابه خواص ضرب تانسوری عملگرها بدیهی است که بااین تعریف روابط تعویضگری 63 برقرار می شوند. تمامی روابطی که احتیاج داریم بدون نیازه اثبات مستقل از خواصی که برای فضای ضرب تانسوری می شناسیم حاصل می شوند.

برای  $\mathcal{V} \otimes \mathcal{V}$  می توانیم پایه ای انتخاب کنیم که در آن مکان هر دو ذره معلوم است مثل پایه

$$\{|x_1, x_2\rangle := |x_1\rangle \otimes |x_2\rangle\}, \quad X_1|x_1, x_2\rangle = x_1|x_1, x_2\rangle, \quad X_2|x_1, x_2\rangle = x_2|x_1, x_2\rangle, \quad (65)$$

و پایه ای که در آن تکانه هر دو ذره معلوم است مثل پایه

$$\{|p_1, p_2\rangle := |p_1\rangle \otimes |p_2\rangle\}, \quad P_1|p_1, p_2\rangle = p_1|p_1, p_2\rangle, \quad P_2|p_1, p_2\rangle = p_2|p_1, p_2\rangle. \quad (66)$$

هرکدام از این پایه های متعامد و کامل هستند. برای پایه مختصاتی داریم

$$\langle x_1, x_2 | x'_1, x'_2 \rangle = \langle x_1 | x'_1 \rangle \langle x_2 | x'_2 \rangle = \delta(x_1 - x'_1) \delta(x_2 - x'_2), \quad (67)$$

و

$$\begin{aligned} \int dx_1 dx_2 |x_1, x_2\rangle \langle x_1, x_2| &= \int dx_1 dx_2 (|x_1\rangle \otimes |x_2\rangle) (\langle x_1| \otimes \langle x_2|) \\ &= \int dx_1 |x_1\rangle \langle x_1| \otimes \int dx_2 |x_2\rangle \langle x_2| = I \otimes I = I. \end{aligned} \quad (68)$$

عین روابط برای پایه تکانه نیز برقرار است:

$$\langle p_1, p_2 | p'_1, p'_2 \rangle = \langle p_1 | p'_1 \rangle \langle p_2 | p'_2 \rangle = \delta(p_1 - p'_1) \delta(p_2 - p'_2), \quad (69)$$

و

$$\int dp_1 dp_2 |p_1, p_2\rangle \langle p_1, p_2| = I. \quad (70)$$

هرگاه  $|\psi\rangle$  حالت سیستم دوزره ای داده شود توابع موج آن در فضای مختصات و تکانه عبارت خواهند بود از

$$\psi(x_1, x_2) = \langle x_1, x_2 | \psi \rangle \quad \tilde{\psi}(p_1, p_2) = \langle p_1, p_2 | \psi \rangle. \quad (71)$$

بالاخره هرگاه دوزره بایکدیگر برهم کنش نداشته باشند هامیلتونی آنها به شکل زیر خواهد بود:

$$H = H_1(X_1, P_1) + H_2(X_2, P_2) = H_1(X, P) \otimes I + I \otimes H_2(X, P). \quad (72)$$

تحت این شرایط ویژه توابع  $H$  با استفاده از ویژه توابع  $H_1$  و  $H_2$  بدست می آیند. فرض کنید

$$H_1|\phi_n\rangle = E_n^{(1)}|\phi_n\rangle, \quad H_2|\chi_m\rangle = E_m^{(2)}|\chi_m\rangle. \quad (73)$$

در این صورت به ازای هر دو ویژه حالت از نوع فوق یک ویژه حالت  $|\Psi_{n,m}\rangle := |\phi_n\rangle \otimes |\chi_m\rangle$  خواهیم داشت که انرژی آن برابر است با  $E_{n,m} := E_n^{(1)} + E_m^{(2)}$ :

$$\begin{aligned} H|\Psi_{n,m}\rangle &= (H_1 \otimes I + I \otimes H_2)(|\phi_n\rangle \otimes |\chi_m\rangle) \\ &= (H_1|\phi_n\rangle) \otimes |\chi_m\rangle + |\phi_n\rangle \otimes H_2|\chi_m\rangle \\ &= E_n^{(1)}|\phi_n\rangle \otimes |\chi_m\rangle + E_m^{(2)}|\phi_n\rangle \otimes |\chi_m\rangle = E_{n,m}|\Psi_{n,m}\rangle. \end{aligned} \quad (74)$$

## درس ششم: یافتن طیف انرژی برای چند پتانسیل ساده

### ۱ مقدمه

در این درس می‌خواهیم طیف انرژی یک ذره را که در پتانسیل ساده ای قرار دارد تعیین کنیم. اغلب مسائلی که حل می‌کنیم یک بعدی اند و به نظر خیلی ساده به نظر می‌رسند، آنقدر ساده که به نظر نمی‌رسد هیچ مسئله واقعی را بتوان با آنها بررسی کرد. ولی این دریافت درست نیست زیرا خصلت های اصلی بسیاری از مسایل واقعی را در همین مثال های ساده می‌توان دید. مسئله اصلی ای که در مکانیک کوانتومی با آن روبرو هستیم آن است که طیف انرژی هامیلتونی یک سیستم را پیدا کنیم. این سیستم می‌تواند بسیار ساده مثل یک ذره در یک چاه پتانسیل یک بعدی و یا یک نوسانگر هارمونیک یک بعدی باشد و یا یک سیستم بس ذره ای بسیار پیچیده مثل یک جامد. چرا یافتن طیف انرژی تا این اندازه مهم است؟ نخستین دلیل اش آن است که اگر یک سیستم را به حال خود رها کنیم این سیستم در حالت پایه یعنی حالتی که کمترین انرژی را دارد قرار خواهد داشت، بنابراین دانست حالت پایه یک سیستم اهمیت بسیار دارد. در دمای غیر صفر یک سیستم با احتمال  $P = \frac{1}{Z} e^{-\beta E}$  که در آن  $Z$  یک ثابت است در حالتی با انرژی  $E$  قرار می‌گیرد. و بالاخره هر گاه ویژه حالت های انرژی را تعیین کنیم آنگاه می‌توانیم دینامیک سیستم را در طول زمان به طور کامل تعیین کنیم. بنابراین نخستین مسئله ای که با آن روبرو هستیم آن است که طیف انرژی هامیلتونی را پیدا کنیم، که به معنای حل مسئله ویژه مقدراری زیر است:

$$H|\psi\rangle = E|\psi\rangle. \quad (1)$$

برای یک ذره که در یک بعد و تحت پتانسیل  $V(X)$  حرکت می‌کند این معادله به شکل زیر است:

$$\left( \frac{P^2}{2m} + V(X) \right) |\psi\rangle = E|\psi\rangle. \quad (2)$$

هرگاه این رابطه را در پایه مختصات تصویر کنیم به شکل زیر در می‌آید:

$$-\frac{\hbar^2}{2m} \frac{\partial^2}{\partial x^2} \psi(x) + V(x)\psi(x) = E\psi(x). \quad (3)$$

در این حالت  $E$  را انرژی یا تراز انرژی و  $\psi(x)$  را ویژه تابع می‌گویند. گاهی اوقات به این معادله معادله شرودینگر مستقل از زمان نیز می‌گویند اگر چه این نامگذاری خوبی نیست. ماهم در این درس از این معادله با نام معادله شرودینگر یاد می‌کنیم.

## ۲ چاه پتانسیل یک بعدی با عمق بی نهایت

ساده ترین مسئله‌ای که می‌توانیم معادله شرودینگر را برای آن حل کنیم، چاه پتانسیل یک بعدی با عمق بی نهایت است. شکل پتانسیل عبارت است از:

$$V(x) = \begin{cases} \infty & x \leq 0, \\ 0 & 0 \leq x \leq L, \\ \infty & L \leq x \end{cases} \quad (4)$$

بنابراین ذره در ناحیه‌ی  $[0, L]$  کاملاً آزاد است ولی در نقاط  $0$  و  $L$  یعنی در دیواره‌های پتانسیل با یک نیروی بی نهایت مواجه شده و برمی‌گردد. احتمال وجود ذره در بیرون از پتانسیل برابر با صفر است. برای حل معادله شرودینگر کافی است که در ناحیه‌ی  $[0, L]$  معادله شرودینگر را حل کنیم. در این ناحیه داریم

$$\frac{-\hbar^2}{2m} \frac{d^2\psi(x)}{dx^2} = E\psi(x). \quad (5)$$

با تعریف

$$k^2 = \frac{2mE}{\hbar^2}, \rightarrow E = \frac{\hbar^2 k^2}{2m} \quad (6)$$

این معادله به شکل زیر درمی‌آید

$$\frac{d^2\psi(x)}{dx^2} = -k^2\psi(x), \quad (7)$$

که حل عمومی آن به شکل زیر است

$$\psi(x) = A \cos kx + B \sin kx. \quad (8)$$

اما می‌دانیم که تابع موج می‌بایست در دیواره‌ها برابر با صفر باشد و این تنها وقتی امکان پذیر است که داشته باشیم

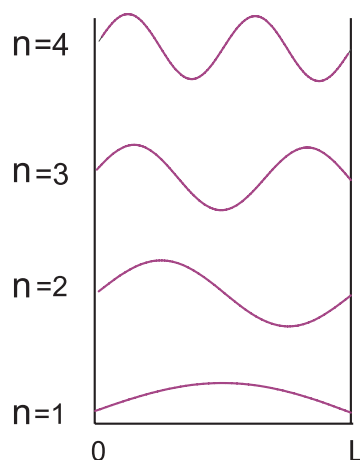
$$A = 0, \quad kL = n\pi. \quad (9)$$

بنابراین ترازهای انرژی و ویژه توابع مربوط به آنها عبارت خواهند بود از:

$$E_n = \frac{\hbar^2 n^2 \pi^2}{2mL^2}, \quad (10)$$

و

$$\psi_n(x) = A \sin \frac{n\pi}{L} x, \quad (11)$$



شکل ۱: چند تابع موج اولیه (حالت پایه و چند حالت برانگیخته) در چاه پتانسیل بی نهایت عمیق یک بعدی. فاصله سطوح انرژی به مقیاس رسم نشده است.

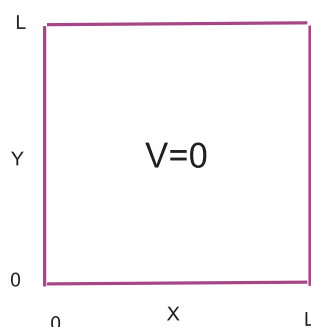
که در آن  $A$  یک ثابت است که توسط بهنجارش تابع موج تعیین می شود. شکل ۱ چند تابع موج اولیه را نشان می دهد. چاه پتانسیل یک بعدی بیشتر ارزش آموزشی دارد. تعمیم این پتانسیل به دو بعد و سه بعد جالب تر است زیرا موقعیت های واقعی تری را می توان با تقریب خوب توسط آنها نشان داد. در فصل بعد معادله شرودینگر را برای چاه پتانسیل دوبعدی حل می کنیم.

### ۳ چاه پتانسیل مربعی

ذره ای را در نظر بگیرید که توسط یک پتانسیل جاذبه بسیار قوی در جایی گیر افتاده است و نمی تواند از آن ناحیه فرار کند. در بعضی از موارد شکل پتانسیل چنان است که ذره درون این ناحیه تقریباً احساس آزادی می کند مثل این که نیرویی به آن وارد نمی شود. به عنوان مثال با ساده سازی بسیار زیاد می توان گفت که در هسته های سنگین هستک ها یعنی پروتون و نوترون هایی که با هم جفت می شوند و تشکیل یک هسته ی آلفا می دهند چنین وضعی دارند. مثال دیگری از این دست الکترونی است که در یک فلز قرار دارد و درون فلز تقریباً آزاد است و فقط نمی تواند از سطح فلز بیرون بیاید. به عنوان اولین تقریب چنین پتانسیل هایی را به صورت یک چاه بی نهایت عمیق در نظر می گیریم که دیواره های آن مانع خروج ذره از چاه می شوند. حل کردن معادله شرودینگر برای چاه های بی نهایت عمیق یک بعدی و یا چاه های بی نهایت عمیق مربعی و مکعبی در بعد دلخواه آسان است. این کاری است که در این بخش انجام می دهیم. حل مسئله چاه پتانسیل برای وقتی که چاه شکل دایره ای یا کروی دارد زحمت بیشتری دارد. این کار را در درس های آینده انجام می دهیم.

چاه پتانسیل مربعی با عمق بی نهایت را در نظر می گیریم. ابعاد چاه را در هر دو راستا برابر با  $L$  می گیریم. در درون چاه ذره در معادله شرودینگر آزاد با پتانسیل  $V = 0$  صدق می کند و تابع موج در دیواره ها می بایست برابر با صفر باشد، شکل ۲.





شکل ۲: چاه پتانسیل مربعی.

بنابراین در درون چاه معادله زیر برقرار است:

$$-\frac{\hbar^2}{2m} \left( \frac{\partial^2}{\partial x^2} + \frac{\partial^2}{\partial y^2} \right) \psi(x, y) = E \psi(x, y). \quad (12)$$

با تعریف  $k^2 := \frac{2mE}{\hbar^2}$  این معادله به شکل زیر درمی آید:

$$(\partial_x^2 + \partial_y^2) \psi(x, y) = -k^2 \psi(x, y), \quad (13)$$

که در آن  $\partial_x := \frac{\partial}{\partial x}$  و  $\partial_y := \frac{\partial}{\partial y}$ .

می توان به روش جدا کردن متغیرها معادله فوق را حل کرد. قرار می دهیم

$$\psi(x, y) = \phi(x)\chi(y) \quad (14)$$

و با جایگذاری آن در معادله شرودینگر و تقسیم طرفین بر  $\phi(x)\chi(y)$  به رابطه زیر می رسیم

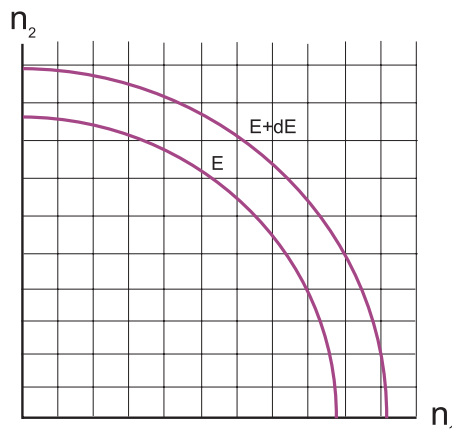
$$\frac{\phi''(x)}{\phi(x)} + \frac{\chi''(y)}{\chi(y)} = -k^2. \quad (15)$$

این معادله الزام می کند که  $\frac{\phi''(x)}{\phi(x)}$  و  $\frac{\chi''(y)}{\chi(y)}$  هر دو ثابت باشند. بنابراین

$$\phi''(x) = -k_x^2 \phi(x), \quad \chi''(y) = -k_y^2 \chi(y), \quad k^2 = k_x^2 + k_y^2. \quad (16)$$

شرایط مرزی آن است که تابع موج در دیواره های پتانسیل برابر با صفر باشد. بنابراین حل این معادلات عبارت خواهند بود از:

$$\phi(x) = A \sin k_x x, \quad \chi(y) = B \sin k_y y, \quad k_x L = n_1 \phi, \quad k_y L = n_2 \pi. \quad (17)$$



شکل ۳: تعداد حالت هایی که انرژی آنها بین  $E$  و  $E + dE$  است، به تعداد نقاطی است که بین دو ربع دایره قرار دارند.

در نتیجه ویژه تابع موج بهنجار عبارت خواهد بود از:

$$\psi(x, y) = \frac{2}{L} \sin \frac{n_1 \pi}{L} x \sin \frac{n_2 \pi}{L} y, \quad (18)$$

با انرژی

$$E_{n_1, n_2} = \frac{\hbar^2}{2m} (k_x^2 + k_y^2) = \frac{\hbar^2}{2m} \frac{\pi^2}{L^2} (n_1^2 + n_2^2)$$

. بنابراین هر تراز انرژی با دو عدد کوانتومی  $n_1, n_2 > 0$  مشخص می شود. می توانیم در یک دیاگرام دوبعدی به ازای هر جفت عدد کوانتومی  $(n_1, n_2)$  یک نقطه با مختصات صحیح در یک دیاگرام دوبعدی رسم کنیم. حال تمام نقاطی که در یک ربع دایره با معادله

$$n_1^2 + n_2^2 = \frac{2mEL^2}{\pi^2 \hbar^2}$$

قرار دارند تقریباً یک انرژی دارند. شعاع این دایره برابر است با  $R = \frac{L}{\pi \hbar} \sqrt{2mE}$ . می گوییم تقریباً زیرا همه نقاط روی این ربع دایره مختصات صحیح ندارند. اما برای انرژی های زیاد می توان با تقریب خوبی تعداد نقاطی را که بین دو ربع دایره مربوط به انرژی های  $E$  و  $E + \Delta E$  وجود دارند بدست آورد، شکل ۳.

از آنجا که برای هر مربع کوچک یک نقطه وجود دارد تعداد نقاط برابر است با تفاوت مساحت های دو ربع دایره. بنابراین

$$dn = \frac{1}{4} d(\pi R^2) = \frac{1}{4} 2\pi R dR = \frac{1}{4} 2\pi R \frac{dR}{dE} dE = \left(\frac{L}{\pi \hbar}\right)^2 m dE. \quad (19)$$

به این ترتیب تابعی بدست می آوریم که به آن چگالی حالات می گوئیم. این تابع که آن را معمولاً با  $g(E)$  نشان می دهیم به مامی گوئید که در هر بازه انرژی چه تعداد حالت وجود دارد. برای چاه پتانسیل مربعی دو بعدی داریم

$$dn = g_2(E)dE, \quad g_2(E) = \frac{\pi}{4} \left(\frac{L}{\pi\hbar}\right)^2 (2m)^{\frac{3}{2}}. \quad (20)$$

برای چاه پتانسیل سه بعدی ویژه حالت های انرژی سه عدد کوانتومی دارند و انرژی هر حالت برابر است با

$$E = \frac{\hbar^2}{2m} \frac{\pi^2}{L^2} (n_1^2 + n_2^2 + n_3^2), \quad 0 < n_1, n_2, n_3 \quad (21)$$

در این جا حالت های هم انرژی روی یک هشتم از کره ای قرار گرفته اند که شعاع آن با هم برابر است با  $R = \frac{L}{\pi\hbar} \sqrt{2mE}$ . امالین بار چگالی حالت ها از رابطه زیر بدست می آید:

$$dn = \frac{1}{8} d\left(\frac{4}{3}\pi R^3\right) = \left(\frac{\pi R^2}{2} \frac{dR}{dE}\right) dE. \quad (22)$$

در نتیجه برای چاه مکعبی سه بعدی خواهیم داشت

$$g_3(E) = \frac{\pi}{4} \left(\frac{L}{\pi\hbar}\right)^3 (2m)^{\frac{3}{2}} E^{\frac{1}{2}}. \quad (23)$$

به همین ترتیب می توان چاه پتانسیل را در  $d$  بعد حل کرد. خواننده را تشویق می کنیم که محاسبه مربوط به چگالی حالت ها را برای  $d$  بعد انجام دهد.

## ۴ قضایای کلی درباره پتانسیل های یک بعدی

تا کنون پتانسیل های بسیار ساده را بررسی کردیم. پتانسیل هایی که می توان معادله شرودینگر را برای آنها به طور دقیق حل کرد بسیار کمیاب اند. این امر حتی برای پتانسیل های یک بعدی نیز صادق است. با این وجود خوب است که بعضی خصالت های عمومی معادله شرودینگر را بررسی کنیم. این خصالت ها را در قضایایی که در این بخش آورده ایم بیان می کنیم.

**قضیه ۱:** هرگاه پتانسیل زوج باشد یعنی  $V(x) = V(-x)$  آنگاه ویژه حالت های انرژی را می توان با پاریتته مشخص گرفت یعنی می توان ویژه حالت ها را طوری گرفت که یا زوج باشند یا فرد.

**اثبات:** برای پتانسیل زوج براحته دیده می شود که اگر  $\psi(x)$  یک ویژه حالت با انرژی  $E$  باشد، آنگاه  $\psi(-x)$  نیز یک ویژه حالت با انرژی  $E$  است. بنابراین همواره می توان ویژه حالت را به صورت  $\psi_e(x) = \psi(x) + \psi(-x)$  ویا

گرفت  $\psi_o(x) = \psi(x) - \psi(-x)$  که اولی زوج و دومی فرداست.

قضیه ۲: هرگاه پتانسیل حقیقی باشد آنگاه ویژه حالت های انرژی را می توان حقیقی گرفت.

اثبات: برای پتانسیل حقیقی براحتی دیده می شود که اگر  $\psi$  یک ویژه حالت با انرژی  $E$  باشد، آنگاه  $\psi^*$  نیز یک ویژه حالت با انرژی  $E$  است. بنابراین همواره می توان ویژه حالت را به صورت  $\psi + \psi^*$  یا  $i(\psi - \psi^*)$  گرفت که هر دو حقیقی اند.

قضیه ۳: ویژه حالت های انرژی در یک بعد واگنی ندارند.

اثبات: فرض کنید که  $\psi_1$  و  $\psi_2$  دو ویژه حالت انرژی متناظر با انرژی  $E$  باشند. در این صورت

$$\begin{aligned} -\frac{\hbar^2}{2m} \frac{\partial^2}{\partial x^2} \psi_1 + V(x)\psi_1 &= E\psi_1 \\ -\frac{\hbar^2}{2m} \frac{\partial^2}{\partial x^2} \psi_2 + V(x)\psi_2 &= E\psi_2. \end{aligned} \quad (24)$$

با ضرب کردن اولین معادله در  $\psi_2$  و دومین معادله در  $\psi_1$  و کم کردن دو معادله از هم بدست می آوریم:

$$-\frac{\hbar^2}{2m} (\psi_2 \frac{\partial^2}{\partial x^2} \psi_1 - \psi_1 \frac{\partial^2}{\partial x^2} \psi_2) = 0, \quad (25)$$

و یا

$$-\frac{\hbar^2}{2m} \frac{\partial}{\partial x} \left( \psi_2 \frac{\partial}{\partial x} \psi_1 - \psi_1 \frac{\partial}{\partial x} \psi_2 \right) = 0, \quad (26)$$

که از آن نتیجه می گیریم

$$\psi_2 \frac{\partial}{\partial x} \psi_1 - \psi_1 \frac{\partial}{\partial x} \psi_2 = Const. \quad (27)$$

با در نظر گرفتن حد  $x \rightarrow \infty$  می فهمیم که مقدار ثابت برابر است با صفر. در نتیجه

$$\psi_1 \frac{d}{dx} \psi_1 - \psi_1 \frac{d}{dx} \psi_2 = 0. \quad (28)$$

امالین رابطه آخر به این معناست که  $\psi_1$  و  $\psi_2$  باهم متناسبند و بنابراین هیچ نوع واگنی وجود ندارد.

نتیجه یک: در قضیه ۱ ثابت کردیم که برای یک پتانسیل حقیقی می توان ویژه توابع را حقیقی گرفت. حال با استفاده از قضیه ۳ نشان می دهیم که در یک بعد این ویژه توابع منهای یک فازسرتاسری حتماً حقیقی هستند. برای این منظور فرض کنید که  $\psi(x) = \alpha(x) + i\beta(x)$  یک ویژه تابع باشد. در این صورت برای پتانسیل حقیقی  $\psi^*(x) = \alpha(x) - i\beta(x)$  نیز یک ویژه تابع با همان انرژی است. بنابراین نتیجه می گیریم که  $\alpha = \frac{1}{2}(\psi(x) + \psi^*(x))$  و هم چنین  $\beta(x) = \frac{1}{2i}(\psi(x) - \psi^*(x))$  نیز ویژه تابع هایی با همان انرژی هستند. اما چون در یک بعد واگنی نداریم پس باید این دو ویژه تابع با هم متناسب باشند یعنی  $\beta = \kappa\alpha$ . بدلیل اینکه هر دو ویژه تابع  $\alpha$  و  $\beta$  می بایست بهنجار باشند، ثابت  $\kappa$  می بایست برابریکی از مقادیر  $0, \infty$  و یا  $\pm 1$  باشد. اما این امر به این معناست که یا یکی از توابع  $\alpha$  و  $\beta$  برابر با صفر است و یا اینکه  $\psi(x) = \alpha(x)(1 \pm i)$ . در هر صورت تابع  $\psi(x)$  چیزی نیست جز یک فاز عمومی در یک تابع حقیقی.

نتیجه دو: در قضیه ۲ ثابت کردیم که برای یک پتانسیل زوج می توان ویژه توابع را با پارته مشخص گرفت یعنی ویژه توابع را می توان زوج و یا فرد گرفت. حال با استفاده از قضیه ۳ نشان می دهیم که در یک بعد این ویژه توابع حتماً یا فرد هستند و یا زوج. برای این منظور فرض کنید که  $\psi(x)$  یک ویژه تابع باشد. در این صورت برای پتانسیل زوج  $\psi(-x)$  نیز یک ویژه تابع با همان انرژی است. بنابراین نتیجه می گیریم که  $\psi_e = \psi(x) + \psi(-x)$  و هم چنین  $\psi_o(x) = \psi(x) - \psi(-x)$  نیز ویژه تابع هایی با همان انرژی هستند. اما چون در یک بعد واگنی نداریم پس باید این دو ویژه تابع با هم متناسب باشند یعنی  $\psi_e(x) = \kappa\psi_o(x)$ . بدلیل اینکه هر دو ویژه تابع  $\psi_e$  و  $\psi_o$  می بایست بهنجار باشند، ثابت  $\kappa$  می بایست برابریکی از مقادیر  $0, \infty$  و یا  $\pm 1$  باشد. در حالت اول ( $\kappa = 0, \infty$ ) تابع یا حتماً فرد است و یا حتماً زوج. در حالت دوم نیز نتیجه می شود که تابع  $\psi(x)$  یا  $\psi(-x)$  متحد با صفر هستند که قابل قبول نیست.

بنابراین ثابت کرده ایم که ویژه توابع می بایست حتماً زوج و یا فرد باشند.

قضیه ۴: مقادیر ویژه انرژی همواره از مقدار می نیمم پتانسیل بیشترند.

اثبات: فرض کنید که یک ویژه حالت انرژی با انرژی  $E$  وجود داشته باشد به قسمی که

$$H|\psi\rangle = E|\psi\rangle, \quad E < V(x) \quad \forall x. \quad (29)$$

در این صورت با توجه به اینکه  $H = \frac{P^2}{2m} + V(X)$  می نویسیم:

$$\langle \psi | \frac{P^2}{2m} | \psi \rangle = \langle \psi | (H - V(X)) | \psi \rangle = \int \psi^*(x)(E - V(x))\psi(x) dx < 0, \quad (30)$$

و حال آنکه عملگر  $\frac{P^2}{2m}$  یک عملگر مثبت است و مقدار متوسط آن روی هیچ حالتی نمی بایست منفی باشد. بنابراین فرض 29 نمی تواند صحیح باشد.

قضیه ۵: اگر تابع پتانسیل متناهی باشد هم ویژه توابع انرژی و هم مشتقات آنها می بایست پیوسته باشند.

اثبات: معادله شرودینگر مستقل از زمان را در نظر می گیریم.

$$-\frac{\hbar^2}{2m} \frac{d^2}{dx^2} \psi + V(x)\psi = E\psi. \quad (31)$$

نخست دقت می کنیم که تابع  $\psi$  نمی تواند در یک نقطه مثل  $x_0$  شامل تابع دلتا باشد زیرا در این صورت بهنجار نخواهد بود. بنابراین تنها می تواند در این نقطه یک ناپیوستگی متناهی داشته باشد به این شکل که  $\psi(x_0+) - \psi(x_0-) = C$  که در آن  $C$  یک ثابت است. در این صورت در نزدیکی نقطه  $x_0$  خواهیم داشت

$$\frac{d}{dx} \psi(x) \equiv C\delta(x - x_0), \quad (32)$$

و در نتیجه در نزدیکی همان نقطه

$$\frac{d^2}{dx^2} \psi(x) \equiv C \frac{d}{dx} \delta(x - x_0). \quad (33)$$

چون در طرف راست معادله شرودینگر هم  $E$  و هم  $\psi$  محدود هستند، نتیجه می گیریم که چنین ناپیوستگی ای نمی تواند در تابع  $\psi$  وجود داشته باشد. هم چنین مشتق تابع  $\psi$  نیز نمی تواند ناپیوسته باشد. زیرا در این صورت خواهیم داشت  $\psi'(x_0+) - \psi'(x_0-) = C$  و از آنجا

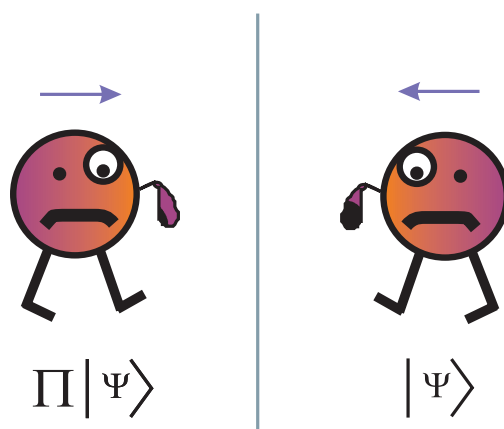
$$\frac{d^2}{dx^2} \psi(x) \equiv C\delta(x - x_0) \quad (34)$$

و چنین جمله ای در طرف راست معادله شرودینگر وجود ندارد.

باید دقت کرد که اگر پتانسیل داری یک ناپیوستگی به صورت  $V(x_0+) - V(x_0-) \propto \infty$  باشد آنگاه مشتق تابع موج می تواند یک ناپیوستگی به صورت

$$\psi'(x_0+) - \psi'(x_0-) = C \quad (35)$$

داشته باشد ولی خود تابع موج هم چنان می بایست پیوسته باشد زیرا ناپیوسته بودن تابع موج در طرف چپ معادله شرودینگر تولید مشتق تابع دلتای دیراک می کند که در طرف راست وجود ندارد.



شکل ۴: اثر عملگر پارایته روی حالت یک شیء همان اثری است که آینه روی شیء دارد. دقت کنید که جهت تکانه نیز عوض می شود.

## ۵ عملگر پارایته

می توان با معرفی عملگر پارایته می توان قضیه ای را که در بخش پیشین دیدیم به شکل ظریف تری بیان کرد. عملگر پارایته را در یک بعد به شکل زیر تعریف می کنیم:

$$\Pi|x\rangle = |-x\rangle. \quad (36)$$

بنابراین تحت این عملگر هر شیء به تصویر آینه ای خودش نگاشته می شود. از تعریف فوق می توان نتیجه گرفت که این عملگر با عملگر مکان پادجابجایی شود یعنی

$$\Pi X + X \Pi = 0. \quad (37)$$

هم چنین با توجه به اینکه  $|p\rangle = \frac{1}{\sqrt{2\pi\hbar}} \int e^{\frac{ixp}{\hbar}} |x\rangle$  می توان نتیجه گرفت

$$\Pi|p\rangle = |-p\rangle. \quad (38)$$

بنابراین عملگر پارایته نه تنها اشیا را به تصویر آینه ای آنها تبدیل می کند، بلکه جهت همه سرعت ها را نیز معکوس می کند یعنی همان چیزی که موقع نگاه کردن به تصویر یک شیء متحرک در آینه می بینیم. شکل ۴ اثر عملگر پارایته را روی یک حالت نشان می دهد.

به همان ترتیب می توان نتیجه گرفت که

$$\Pi P + P \Pi = 0. \quad (39)$$

از تعریف این عملگر می توان فهمید که  $\Pi^2 = I$ . در نتیجه ویژه مقادیرهای آن عبارتند از  $\pm 1$ . با توجه به روابط 37 و 39 می توان نتیجه گرفت که برای هر پتانسیل  $V(X)$  رابطه زیر برقرار است:

$$\Pi V(X) \Pi = V(-X). \quad (40)$$

بنابراین اگر پتانسیل زوج باشد آنگاه

$$[\Pi, H] = 0. \quad (41)$$

در نتیجه برای این پتانسیل ها می توان ویژه بردارهای مشترک  $H$  و  $\Pi$  را یافت. این امر به این معناست که اگر  $H|\psi\rangle = E|\psi\rangle$  آنگاه  $\Pi|\psi\rangle = \pm|\psi\rangle$ . برای این بردارها داریم

$$\langle x|\Pi|\psi\rangle = \pm\langle x|\psi\rangle \longrightarrow \langle -x|\psi\rangle = \pm\langle x|\psi\rangle, \quad (42)$$

و یا

$$\psi(-x) = \pm\psi(x), \quad (43)$$

که به این معناست که ویژه توابع هامیلتونی دارای پارامتر مشخص هستند یعنی یا فرد هستند و یا زوج. مثل هرتقارن دیگری، تقارن پارامتر اثر خود را بردینامیک نیز می گذراد. فرض کنید که تقارن پارامتر داشته باشیم، یعنی  $[H, \Pi] = 0$ . در این صورت عملگر تحول نیز با پارامتر جابجا خواهد شد یعنی  $[U(t), \Pi] = 0$ . حال اگر حالت اولیه ای مثل  $|\psi(0)\rangle$  داشته باشیم بعد از گذشت زمان  $t$  این حالت به حالت  $|\psi(t)\rangle = U(t)|\psi(0)\rangle$  متحول خواهد شد. یعنی

$$|\psi(0)\rangle \longrightarrow U(t)|\psi(0)\rangle. \quad (44)$$

حالت  $|\psi(0)\rangle$  را می توانید حالت آدمک سمت راست در شکل ۴ تصور کنید. حال سوال این است که اگر حالت اولیه بجای  $|\psi(0)\rangle$ ، حالت  $\Pi|\psi(0)\rangle$  باشد حالت نهایی چیست؟ دقت کنیم که حالت  $\Pi|\psi(0)\rangle$  نشان دهنده تصویر آدمک نخست در آینه یعنی آدمک سمت چپ در شکل ۴ است. پاسخ این سوال این است که

$$\Pi|\psi(0)\rangle \longrightarrow U(t)\Pi|\psi(0)\rangle = \Pi U(t)|\psi(0)\rangle = \Pi|\psi(t)\rangle. \quad (45)$$

معنای این رابطه این است که هرکاری را که هرتحولی که برای آدمک قابل تصور باشد، برای تصویر آینه ای آن نیز قابل تصور است. به عنوان مثال اگر آدمک به سمت راست برود، تصویر آن به سمت چپ خواهد رفت. به نظرمی رسد که همه اینها توضیح واضح است. ولی چنین نیست زیرا مادر زندگی روزانه خود به این تقارن خو گرفته ایم و آن را بدیهی می پنداریم، ولی این تقارن بدیهی نیست.



## ۱.۵ نقض تقارن آینه ای: آیا دنیای ما نسبت به انعکاس در آینه متقارن است؟

آیا برهم کنش های بنیادی طبیعت تقارن پاریته دارند؟ اگر چنین باشد هر فرایند میکروسکوپی را که در آزمایشگاه مشاهده کنیم می بایست تصویر آینه ای آن نیز قابل مشاهده و تصور باشد. اگرچه برهم کنش های گرانشی، الکترومغناطیسی و هسته ای قوی چنین تقارنی دارند ولی یکی از برهم کنش های بنیادی طبیعت به نام برهم کنش هسته ای ضعیف بدلیلی که نمی دانیم فاقد این تقارن است. این برهم کنش همان چیزی است که باعث واپاشی هسته ها از طریق واپاشی نوترون ها می شود. در این واپاشی یک نوترون به یک پروتون و یک الکترون و یک پادنوترینو واپاشیده می شود:



این واپاشی باعث تبدیل یک هسته  ${}^Z N^A$  به یک هسته  ${}^{Z+1} N^A$  می شود. در آزمایشی که در دهه ۱۹۵۰ توسط Wu و همکارانش انجام شد هسته های کبالت به نیکل واپاشیده می شدند

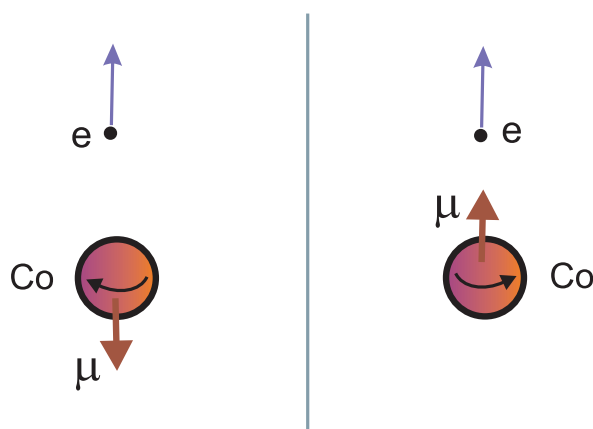


هسته های کبالت دارای گشتاور مغناطیسی ذاتی هستند که می توان با اعمال یک میدان مغناطیسی قوی و پایین آوردن دما به حد کافی آنها را با هم همراستا کرد. حال می توان پرسید که الکترون ها نسبت به این جهت تعریف شده در کدام جهت گسیل می شوند؟ آیا در همان جهت ممان مغناطیسی واپاشیده می شوند و یا در خلاف جهت آن و یا اینکه کاملاً به طور متقارن در هر دو جهت. در آزمایش Wu معلوم شد که الکترون ها در جهت ممان مغناطیسی گسیل می شوند. این نتیجه به نحو آشکاری نقض پاریته را نشان می دهد، زیرا هرگاه در آینه ای که به موازات ممان مغناطیسی قرار گرفته است به هسته های کبالت و الکترون های گسیل شده نگاه کنیم جهت ممان مغناطیسی کبالت را در خلاف جهت قبلی می بینیم ولی جهت گسیل الکترون ها را همان جهت قبلی می بینیم. شکل ۵.

اگر تقارن پاریته وجود می داشت می بایست تصویر آینه ای واپاشی کبالت نیز مشاهده می شد که در آن الکترون ها در خلاف جهت ممان مغناطیسی کبالت ها گسیل می شدند. به عبارت دیگر می بایست در یک آزمایش واپاشی کبالت الکترون ها در هر دو جهت گسیل می شدند که چنین چیزی را آزمایش نشان نمی دهد. نقض تقارن پاریته در برهم کنش های هسته ای ضعیف که اینقدر در زندگی روزمره به آن خو گرفته ایم و توسط همه برهم کنش های دیگر رعایت می شود یکی از مهمترین کشفیات فیزیک ذرات بنیادی بوده است.

## ۲.۵ پاریته در سه بعد

ممکن است خواننده سوال کند که چه ربطی بین تقارن آینه ای و تقارن تحت پاریته است؟ هم چنین ممکن است سوال کند چرا در شکل ۵ آنچنانکه از عمل پاریته انتظار داشتیم جهت تکانه الکترون ها را وارونه نکرده ایم. در پاسخ باید گفت که شکل ۵ و آزمایش مربوط به آن در واقع نقض تقارن آینه ای را نشان می دهند و تقارن آینه ای به پاریته مربوط است.



شکل ۵: واپاشی بنا برای هسته های کبالت. تصویر سمت راست آنچیزی است که در طبیعت مشاهده می شود. تصویر آینه ای آن هرگز دیده نشده است.

عملگر پاریته در سه بعد به شکل زیر تعریف می شود:

$$\Pi|\vec{r}\rangle = |-\vec{r}\rangle. \quad (48)$$

که از آن به همان شکل بالا می توان نتایج زیر را گرفت:

$$\Pi|\vec{p}\rangle = |-\vec{p}\rangle, \quad (49)$$

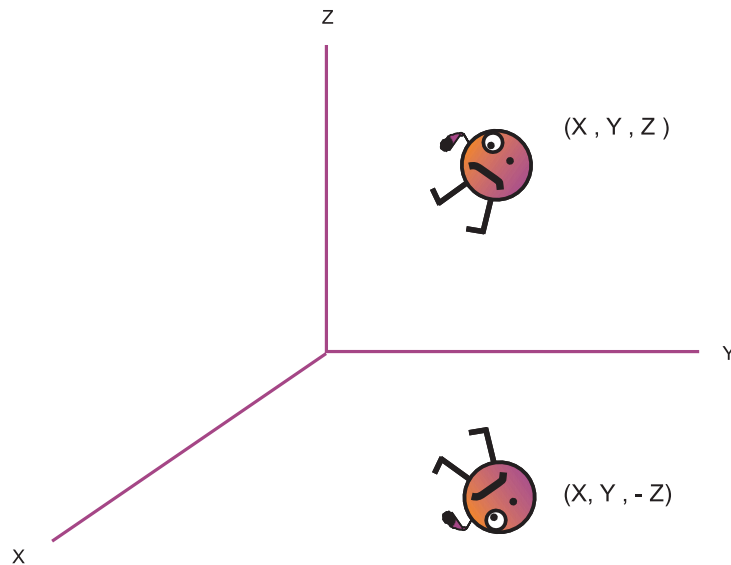
و

$$\Pi X_i + X_i \Pi = 0, \quad \Pi P_i + P_i \Pi = 0, \quad i = 1, 2, 3. \quad (50)$$

تصور عملگر پاریته و کاری که انجام می دهد در یک بعد آسان است ولی در سه بعد این کار چندان ساده نیست و ما به آن عادت نکرده ایم. اما می توان پاریته را به عملگر دیگری مرتبط کرد که تصورش بسیار آسان است و ما هر روز با آن مواجه می شویم، این عمل انعکاس نسبت به یک آینه است.

تصور کنید که می خواهیم تصویر هر چیزی را در آینه بی نهایت بزرگی که در صفحه  $xy$  قرار گرفته است ببینیم. این کار را نگاشت  $I_{xy}$  می نامیم و در مکانیک کوانتومی با عملگر  $\hat{R}_{xy}$  نشان می دهیم. این نگاشت روی مختصات فضا چه اثری دارد؟ براحتی می توانید خود را قانع کنید که مختصه هر نقطه را به شکل زیر تغییر می کند:

$$I_{xy} : (x, y, z) \longrightarrow (x, y, -z). \quad (51)$$



شکل ۶: تبدیل یک شی تحت انعکاس در آینه. چنین انعکاسی ناشی از دوران حول محور  $z$  به اندازه  $180^\circ$  درجه و سپس انعکاس حول مبدا (عمل پاریته) است.

هم چنین در یک آینه تکانه های ذرات نیز به شکل زیر تغییر می کنند:

$$I_{xy} : (p_x, p_y, p_z) \longrightarrow (p_x, p_y, -p_z). \quad (52)$$

آیا این عمل به عمل پاریته ربطی دارد یا آنکه کاملاً مستقل است؟ در این جا می خواهیم نشان دهیم که این عمل که آن را انعکاس نسبت به صفحه  $xy$  می نامیم، ترکیبی است از عمل پاریته و دوران. هرگاه دوران حول محور  $z$  به اندازه زاویه  $\pi$  را با  $R_z(\pi)$  نشان دهیم خواهیم داشت:

$$R_z(\pi) : (x, y, z) \longrightarrow (-x, -y, z). \quad (53)$$

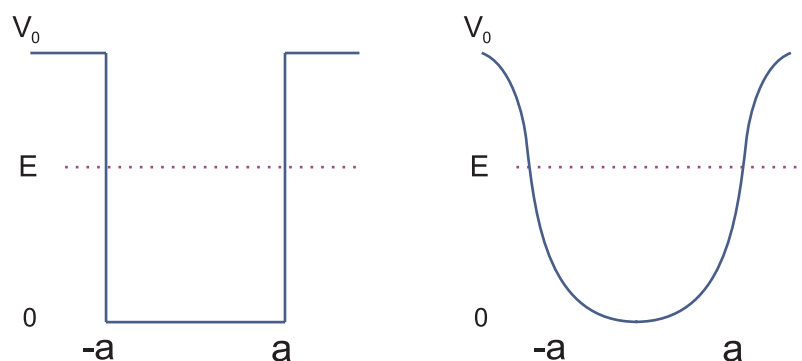
اگر این عمل را با پاریته ترکیب کنیم آنگاه خواهیم داشت:

$$\Pi R_z(\pi) : (x, y, z) \longrightarrow (-x, -y, z) \longrightarrow (x, y, -z). \quad (54)$$

بنابراین بدست می آوریم

$$I_{xy} = \Pi R_z(\pi). \quad (55)$$

می دانیم که دنیای ما تحت دوران متقارن است. بنابراین هرگاه تقارن پاریته وجود داشته باشد، تقارن آینه ای نیز وجود دارد و نقض تقارن پاریته نیز به معنای نقض تقارن آینه ای است.



شکل ۷: چاه پتانسیل با پهنا  $2a$  و عمق  $V_0$ . تصویر سمت چپ نخستین تقریب به پتانسیل واقعی سمت راست است.

## ۶ چاه پتانسیل یک بعدی با عمق محدود

در بخش های گذشته چاه های پتانسیل مربعی با عمق محدود را مطالعه کردیم. در این بخش چاه پتانسیل یک بعدی با عمق محدود را مطالعه می کنیم. این چاه نخستین تقریب به یک پتانسیل با برد و عمق محدود است، شکل ???. حل کردن چاه پتانسیل مربعی با عمق محدود به روش تحلیلی نه ساده است و نه مفید. به جای آن در فصل های آینده چاه پتانسیل دایره ای و کروی با عمق محدود را مطالعه می کنیم.

نخستین پتانسیلی که به آن توجه می کنیم یک چاه پتانسیل با عمق محدود است. این پتانسیل در شکل (۷) نشان داده شده است و به صورت زیر است:

$$V(x) = \begin{cases} V_0 & x \leq -a, \\ 0 & -a \leq x \leq a, \\ V_0 & a \leq x \end{cases} \quad (56)$$

### ۱.۶ ویژه حالت های مقید

نخست حالت های مقید را بررسی می کنیم. این حالت ها حالت هایی هستند که انرژی آنها کمتر از  $V_0$  است. خواهیم دید که این جواب ها در  $\pm\infty$  به سمت صفر میل می کنند و فقط در ناحیه محدودی از فضا غیر صفر هستند. به همین دلیل است که آنها را جواب های مقید می گوئیم.

$$\begin{aligned} -\frac{\hbar^2}{2m} \frac{d^2\psi}{dx^2} + V_0\psi(x) &= E\psi & |x| > a \\ -\frac{\hbar^2}{2m} \frac{d^2\psi}{dx^2} &= E\psi(x) & -a \leq x \leq a. \end{aligned} \quad (57)$$

این معادلات را می توان به شکل ساده تر زیر بازنویسی کرد:

$$\begin{aligned} \frac{d^2\psi}{dx^2} \psi &= q^2\psi & q &= \sqrt{\frac{2m(V_0 - E)}{\hbar^2}} \\ \frac{d^2\psi}{dx^2} \psi &= -\kappa^2\psi & k &= \sqrt{\frac{2mE}{\hbar^2}} \end{aligned} \quad (58)$$

از آنجا که این پتانسیل زوج است ویژه توابع انرژی دارای پاریته مشخص هستند یعنی می توانیم آنها را به ویژه توابع زوج و یافرد تقسیم کنیم. جواب های زوج را با  $\psi_e(x)$  و جواب های فرد را با  $\psi_o$  نشان می دهیم. جواب های زوج به شکل زیر هستند:

$$\psi_e(x) = \begin{cases} e^{qx} & x \leq -a, \\ A \cos kx & -a \leq x \leq a, \\ e^{-qx} & a \leq x. \end{cases} \quad (59)$$

شرط پیوستگی تابع موج و مشتق آن در نقطه  $a$  منجر به روابط زیر می شود:

$$\begin{aligned} e^{-qa} &= A \cos ka \\ qe^{-qa} &= Ak \sin ka \end{aligned} \quad (60)$$

که از تقسیم این دو برهم رابطه زیر بدست می آید:

$$\boxed{\cot ka = \frac{k}{q}} \quad (61)$$

جواب های فرد به شکل زیر هستند:

$$\psi_o(x) = \begin{cases} e^{qx} & x \leq -a, \\ B \sin kx & -a \leq x \leq a, \\ -e^{-qx} & a \leq x. \end{cases} \quad (62)$$

شرط پیوستگی تابع موج و مشتق آن در نقطه  $a$  منجر به روابط زیر می شود:

$$\begin{aligned} -e^{-qa} &= B \sin ka \\ qe^{-qa} &= Bk \cos ka \end{aligned} \quad (63)$$

که از تقسیم آن دو برهم رابطه زیر بدست می آید:

$$\boxed{\cot ka = \frac{-q}{k}} \quad (64)$$

با حل روابط 61 و 64 می توانیم مقادیر ویژه انرژی را برای چاه پتانسیل بدست آوریم. این معادلات را می بایست به روش ترسیمی حل کنیم. اما قبل از آن می بایست طرفین معادله را بر حسب یک متغیر بنویسیم. در این جا مناسب است که با تعریف متغیر  $y := \sqrt{\frac{2|Ea^2}{\hbar^2}}$  و پارامتر  $\lambda := \sqrt{\frac{2mV_0a^2}{\hbar^2}}$  این معادلات را به شکل زیر بنویسیم:

برای جواب های زوج :

$$\cot y = \sqrt{\frac{y^2}{\lambda^2 - y^2}}, \quad (65)$$

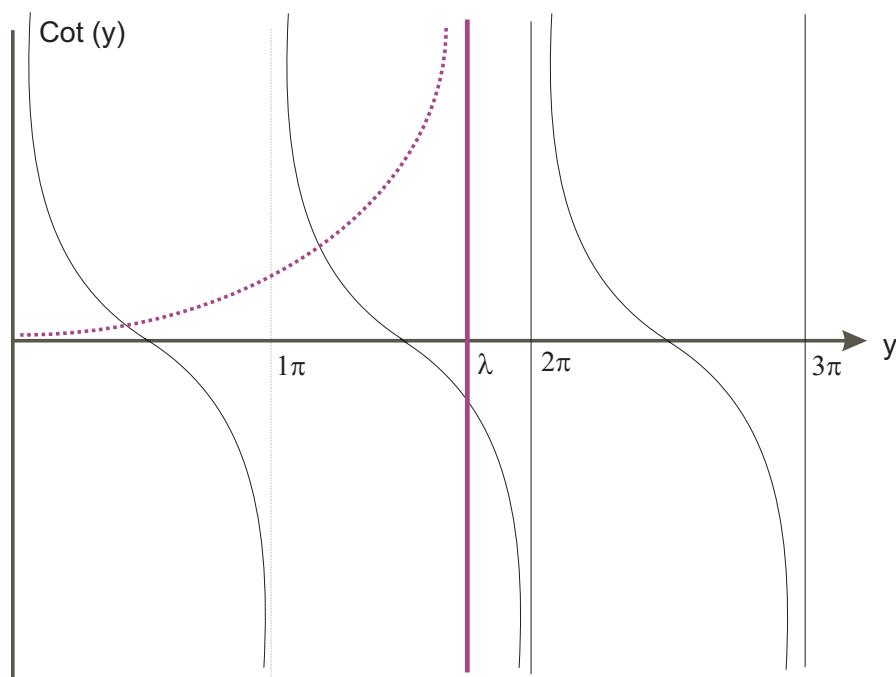
و برای جواب های فرد

$$\cot y = -\sqrt{\frac{\lambda^2 - y^2}{y^2}}. \quad (66)$$

شکل های ۸ و ۹ حل ترسیمی این معادلات را نشان می دهند. از این شکل ها به چند خاصیت مهم جواب ها پی می بریم:

۱ - با افزایش  $\lambda$  تعداد حالت های مقید نیز افزایش می یابد. بنابراین هرچه که عمق چاه و یا پهنای آن زیاد شود و یا اینکه جرم ذره زیاد تر باشد تعداد حالت های مقید نیز بیشتر می شود.

۲ - حالت پایه یعنی حالتی که کمترین انرژی را دارد یک حالت زوج است و بعد از آن حالت های فرد و زوج یک در میان قرار می گیرند.



شکل ۸: حل ترسیمی معادله انرژی برای جواب های زوج

۳ - هرگاه عمق و پهنای پتانسیل چنان باشد که ثابت  $\lambda$  از  $\frac{\pi}{2}$  کمتر باشد، جواب فرد وجود ندارد. در این حالت تنها یک جواب زوج وجود دارد.

۴ - هرچه که مقدار انرژی بیشتری شود، ضریب  $k$  بیشتر و ضریب  $q$  کمتر می شود، و در نتیجه طول موج جواب های سینوسی داخل چاه کمتر شده و عمق نفوذ آنها به درون ناحیه  $V_0 \geq E$  یعنی ناحیه ای که از نظر کلاسیک ناحیه ممنوعه است نیز کمتر می شود.

۵ - واضح است که در حد  $V_0 \rightarrow \infty$  بی نهایت ویژه حالت انرژی وجود دارد. در این حالت ها بدلیل اینکه  $\lambda \rightarrow \infty$ ، معادلات بالا را می توان به شکل تحلیلی نیز حل کرد. در این حد معادلات بالا به شکل زیر درمی آیند:

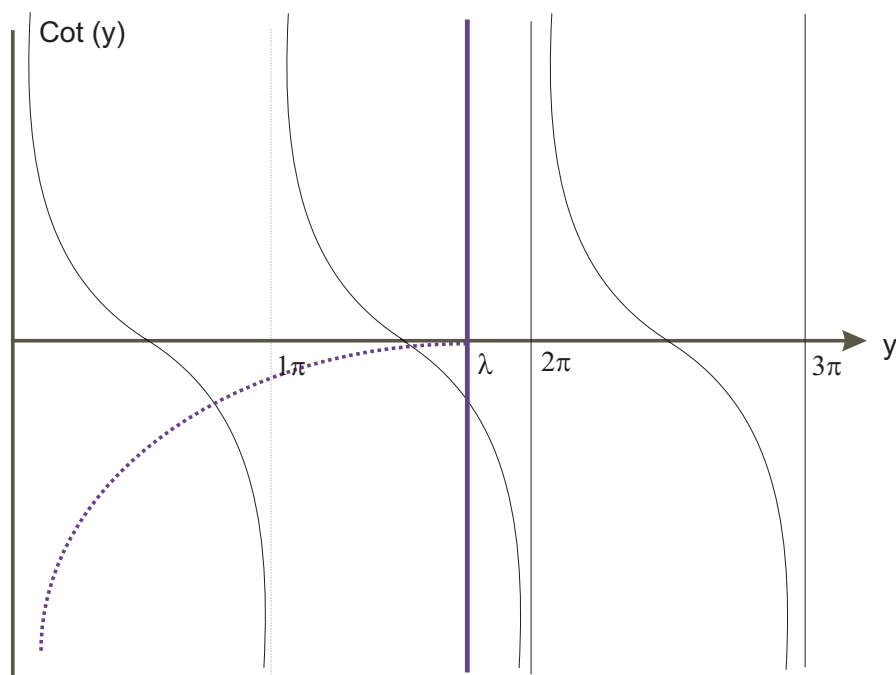
برای جواب های زوج:

$$\cot y = 0 \quad \rightarrow \quad y = \left(n + \frac{1}{2}\right)\pi \quad \rightarrow \quad E_n = \frac{\hbar^2}{2ma^2} \left(n + \frac{1}{2}\right)^2 \pi^2. \quad (67)$$

برای جواب های فرد:

$$\tan y = 0 \quad \rightarrow \quad y = n\pi \quad \rightarrow \quad E_n = \frac{\hbar^2}{2ma^2} n^2 \pi^2. \quad (68)$$

در این حد عمق نفوذ به ناحیه ممنوعه دقیقاً برابر با صفر می شود و مقدار تابع موج در دیواره های چاه پتانسیل برابر با صفر می شود.



شکل ۹: حل ترسیمی معادله انرژی برای جواب های فرد

## ۲.۶ ویژه حالت های نامقید

این ویژه حالت ها، حالت هایی هستند که انرژی آنها بیشتر از  $V_0$  است. در این حالت جواب های زوج به شکل زیردرمی آیند:

$$\psi_e(x) = \begin{cases} e^{iqx} + Ce^{-iqx} & x \leq -a, \\ A \cos kx & -a \leq x \leq a, \\ e^{-iqx} + Ce^{iqx} & a \leq x. \end{cases} \quad (69)$$

که در آن

$$q = \sqrt{\frac{2m(E - V_0)}{\hbar^2}}. \quad (70)$$

در این جواب دیگر جمله  $e^{-iqx}$  در  $-\infty$  واگرانمی شود و می بایست آن را نگاه داشت. در نتیجه وقتی که شرایط پیوستگی تابع موج و مشتق آن را در نقطه  $x = a$  می نویسیم با دو معادله و سه مجهول مواجهیم که عبارتند از  $(E, A, C)$ . این موضوع یعنی زیادتر بودن تعداد مجهولات نسبت به معادلات باعث می شود که دیگر انرژی مقادیر گسسته نداشته باشد و به ازای هر مقدار پیوسته  $E$  بتوانیم مقادیر ضرایب  $(A, C)$  بدست بیاوریم. به طور صریح تر شرایط مرزی در نقطه  $a$  عبارتند از:



$$\begin{aligned} e^{-iqa} + Ce^{iqa} &= A \cos ka \\ iq(e^{-iqa} - Ce^{iqa}) &= Ak \sin ka \end{aligned} \quad (71)$$

که با کمی محاسبه منجر به روابط زیر می شود:

$$C = e^{-2iqa} \frac{iq \cos ka + k \sin ka}{iq \cos ka - k \sin ka}, \quad (72)$$

و

$$A = e^{-iqa} \frac{2iq}{iq \cos ka - k \sin ka}. \quad (73)$$

در این حالت به ازای هر مقدار انرژی  $E \geq V_0$  یک تابع موج  $\psi_e$  با ضرایب فوق وجود دارد که از  $-\infty$  تا  $\infty$  در فضا گسترده است. این تابع موج در ناحیه به صورت ترکیبی از دو موج تخت است و در ناحیه پتانسیل به صورت یک موج ایستاده است. با توجه به اینکه  $k \geq q$ ، طول موج این امواج در ناحیه درون پتانسیل کمتر از خارج پتانسیل است که ناشی از زیادتر بودن تکانه و پانرژی جنبشی ذرات در ناحیه درون پتانسیل است.

در این حالت جواب های فرد به شکل زیر در می آیند

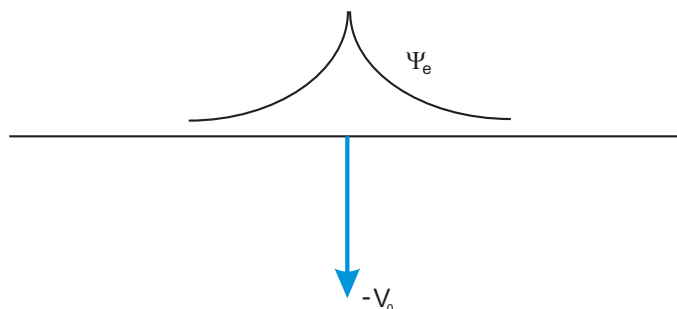
$$\psi_o(x) = \begin{cases} e^{iqx} + De^{-iqx} & x \leq -a, \\ B \sin kx & -a \leq x \leq a, \\ -e^{-iqx} - Ce^{iqx} & a \leq x. \end{cases} \quad (74)$$

شرایط مرزی در نقطه  $x = a$  عبارت خواهند بود از:

$$\begin{aligned} e^{-iqa} + De^{iqa} &= -B \sin ka \\ iq(e^{-iqa} - De^{iqa}) &= kB \cos ka \end{aligned} \quad (75)$$

که با کمی محاسبه منجر به مقادیر زیر برای  $B$  و  $D$  می شود:

$$B = e^{-iqa} \frac{2iq}{k \cos ka - iq \sin ka}, \quad (76)$$



شکل ۱: چاه پتانسیل دلتا تنها یک جواب مقید زوج دارد.

و

$$D = e^{-2iqa} \frac{iq \sin ka + k \cos ka}{iq \sin ka - k \cos ka} \quad (77)$$

## ۷ چاه پتانسیل دلتا

در این بخش یک چاه بسیار عمیق با پهنای کم را در نظر می‌گیریم و آن را با تابع پتانسیل  $V(x) = -V_0 \delta(x)$  نشان می‌دهیم. این چاه نشان دهنده یک نیروی جاذبه خیلی بزرگ با برد خیلی کوتاه است. شکل ۱ این چاه را نشان می‌دهد. از آنجا که پتانسیل زوج است می‌توانیم جواب‌های آن را به زوج و فرد تقسیم کنیم. جواب‌های زوج به شکل زیر هستند که از حل معادله آزاد شرودینگر در دوسوی پتانسیل بدست آمده‌اند

$$\psi_e(x) = \begin{cases} e^{qx} & x \leq 0, \\ e^{-qx} & 0 \leq x, \end{cases} \quad (78)$$

$$q = \sqrt{\frac{2m|E|}{\hbar^2}} \quad \text{که در آن}$$

مطابق با آنچه که در قضایای اول فصل گفتیم در مورد پتانسیل دلتا مشتق تابع موج نمی‌تواند پیوسته باشد ولی همچنان خود تابع موج می‌بایست پیوسته باشد. برای آنکه تفاوت مشتق را در دو طرف نقطه صفر بدست بیاوریم از معادله شرودینگر از نقطه  $-\epsilon$  تا نقطه  $\epsilon$  انتگرال می‌گیریم. برای این جواب‌ها داریم

$$\frac{-\hbar^2}{2m} (\psi'_e(0+) - \psi'_e(0-)) + V(0)\psi_e(0) = 0. \quad (79)$$



شکل ۱۱: چاه پتانسیل دوتایی، مدلی ساده برای یک مولکول دو اتمی.

از این معادله نتیجه می‌گیریم  $q = \frac{mV_0}{\hbar^2}$ . بنابراین فقط یک حالت مقید زوج وجود دارد. انرژی این حالت مقید برابر است با

$$E = -\frac{\hbar^2 q^2}{2m} = -\frac{mV_0^2}{2\hbar^2}. \quad (80)$$

جواب های فرد به صورت زیر هستند:

$$\psi_o(x) = \begin{cases} e^{qx} & x \leq 0, \\ -e^{-qx} & 0 \leq x. \end{cases} \quad (81)$$

برای این جواب ها شرط مرزی به صورت زیر درمی آید:

$$\frac{-\hbar^2}{2m}(\psi'_o(0+) - \psi'_o(0-)) + V(0)\psi_o(0) = 0. \quad (82)$$

که از آن نتیجه می‌گیریم  $V_0\psi_o = 0$  که به معنای این است که  $\psi_o = 0$ . بنابراین هیچ حالت مقید فردی وجود ندارد. پس نشان داده ایم که چاه پتانسیل  $V(x) = -V_0\delta(x)$  تنها یک حالت مقید زوج را در خود نگاه می‌دارد که انرژی آن برابر است با  $E = -\frac{\hbar^2 q^2}{2m} = -\frac{mV_0^2}{2\hbar^2}$ .

## ۸ چاه پتانسیل دوگانه، مدلی برای یک مولکول دو اتمی

در این بخش یک چاه پتانسیلی دلتای دوگانه را که مدل ساده ای برای یک مولکول دو اتمی است مطالعه می‌کنیم. این پتانسیل می‌تواند نشان دهنده برهم کنش جاذبه ای است که یون های مثبت یک مولکول دو اتمی برای یک الکترون دارند. تابع پتانسیل به شکل زیر است:

$$V(x) = -V_0\delta(x-a) - V_0\delta(x+a). \quad (83)$$

باید دقت کنیم که  $V_0$  در اینجا دیمانسیون انرژی در طول دارد یعنی

$$[V_0] = [E][L]. \quad (84)$$

در نواحی بین تابع های دلتا پتانسیل صفر است و تابع موج حل معادله شرودینگر آزاد است. با توجه به زوج بودن پتانسیل جواب ها به فرد و زوج تقسیم می شوند. جواب های زوج به شکل زیر هستند:

$$\psi_e(x) = \begin{cases} e^q & x \leq -a, \\ A \cosh qx & -a \leq x \leq a, \\ e^{qx} & a \leq x. \end{cases} \quad (85)$$

پیوستگی تابع موج در نقطه  $x = a$  منجر به شرط زیر می شود:

$$A \cosh qa = e^{-qa} \quad (86)$$

و ناپیوستگی مشتق نیز از رابطه زیر بدست می آید:

$$-\frac{\hbar^2}{2m}(\psi'_e(a+) - \psi'_e(a-)) - V_0\psi_e(a) = 0 \quad (87)$$

و با استفاده از معادله قبلی بدست می آوریم:

$$\frac{\hbar^2 q}{2m}(1 + \tanh qa) = V_0, \quad (88)$$

و یا

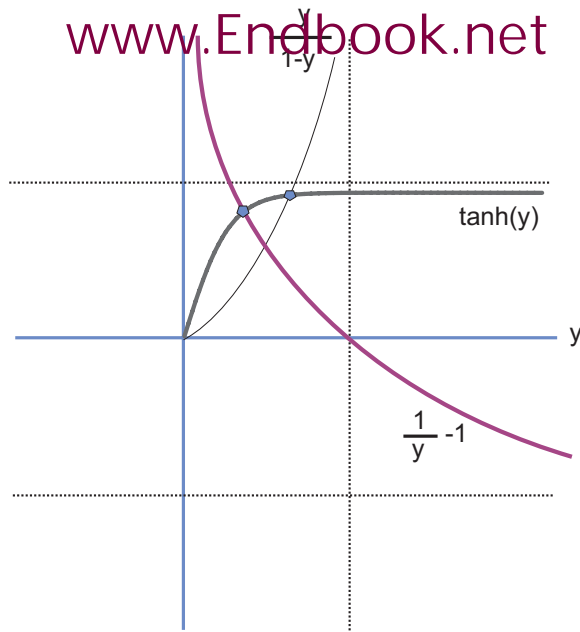
$$\tanh qa = \frac{2mV_0}{\hbar^2 q} - 1. \quad (89)$$

با تعریف پارامترهای بدون بعد  $y = \frac{\hbar^2 q}{2mV_0}$  و  $\lambda = \frac{2mV_0 a}{\hbar^2}$  این معادله را به شکل زیر بازنویسی می کنیم:

$$\tanh \lambda y = \frac{1}{y} - 1. \quad (90)$$

برای بدست آوردن حل های این معادله با زهم از روش ترسیمی استفاده می کنیم ولی قبل از حل آن سعی می کنیم حل های فرد را نیز بدست آوریم. برای حل های فرد داریم

$$\psi_o(x) = \begin{cases} e^q & x \leq -a, \\ B \sinh qx & -a \leq x \leq a, \\ -e^{qx} & a \leq x. \end{cases} \quad (91)$$



شکل ۲۱: حل ترسیمی معادلات ویژه مقداری چاه پتانسیل دوتایی

شرط پیوستگی تابع موج منجر به معادله زیر می شود:

$$B \sinh qa = -e^{-qa}, \quad (92)$$

و ناپیوستگی مشتق نیز به همراه شرط بالا منجر به رابطه زیر می شود:

$$\tanh \lambda y = \frac{y}{1-y}. \quad (93)$$

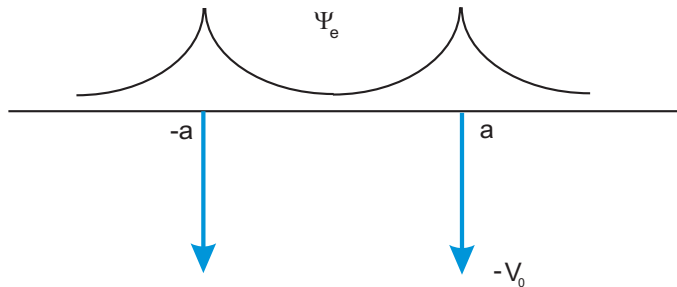
شکل ۲۱ حل ترسیمی معادلات ۹۰ و ۹۳ را نشان می دهد. شکل های ۳۱ و ۴۱ توابع موج زوج و فرد را برای چاه پتانسیل دوتایی دلنا نشان می دهند. از این حل ترسیمی نکات زیر را می توان آموخت:

۱ - حداکثر دو حالت مقید وجود دارد. برای این دو حالت  $y_{even} \geq y_{odd}$  که به معنای آن است که  $q_{even} \geq q_{odd}$ ، و یا  $E_{odd} \geq E_{even}$ .

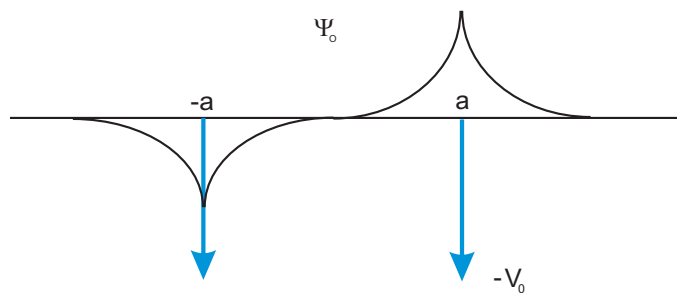
۲ - جواب زوج همواره وجود دارد ولی جواب فرد تنها وقتی وجود دارد که شیب منحنی تانژانت در نقطه صفر از یک بیشتر باشد. از آنجا که این شیب برابر با  $\lambda$  است، بنابراین جواب فرد تنها وقتی وجود دارد که شرط  $\frac{2mV_0a}{\hbar^2} > 1$  برقرار باشد. بنابراین جواب فرد تنها وقتی وجود دارد که عمق پتانسیل و یا فاصله دو چاه از یکدیگر به اندازه کافی بزرگ باشد.

۳ - حال فرض کنید که حالت اولیه ذره ترکیبی خطی از دو حالت زوج و فرد باشد به این صورت که

$$\psi(x, 0) = \frac{1}{\sqrt{2}}(\psi_e(x) + \psi_o(x)). \quad (94)$$



شکل ۳۱: تابع موج زوج برای چاه پتانسیل دوتایی دلنا



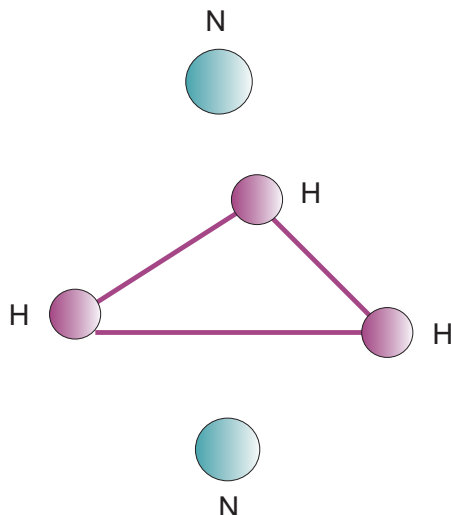
شکل ۴۱: تابع موج فرد برای چاه پتانسیل دوتایی دلنا

در این حالت ذره بیشتر در اطراف چاه پتانسیل طرف راست قرار دارد. در این صورت تابع موج در لحظه  $t$  عبارت است از

$$\begin{aligned} \psi(x, t) &= \frac{1}{\sqrt{2}}(e^{-i\frac{E_e}{\hbar}t}\psi_e(x) + e^{-i\frac{E_o}{\hbar}t}\psi_o(x)) \\ &\equiv \frac{1}{\sqrt{2}}(\psi_e(x) + e^{-i\frac{E_o - E_e}{\hbar}t}\psi_o(x)). \end{aligned} \quad (95)$$

حال پس از گذشت زمان  $T$  که برابر است با

$$T = \frac{2\pi\hbar}{E_o - E_e} \quad (96)$$



شکل ۵۱: مولکول آمونیاک، و دو وضعیت تعادل اتم نیتروژن در آن

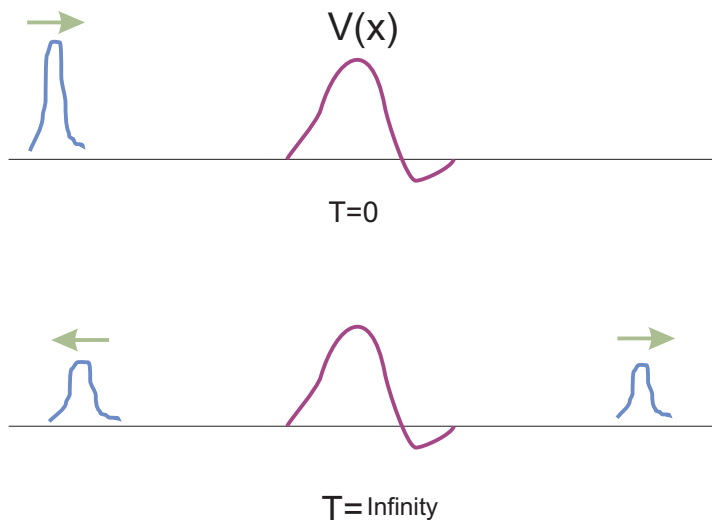
تابع موج به صورت زیر درمی آید:

$$\psi(x, 0) = \frac{1}{\sqrt{2}}(\psi_e(x) - \psi_o(x)). \quad (97)$$

که نشان دهنده آن است که ذره بیشتر در اطراف چاه پتانسیل طرف چپ قرار دارد. به این ترتیب می بینیم که ذره بین دو حالت فوق نوسان می کند و این نوسان را با پریود  $T$  انجام می دهد. مولکول آمونیاک یک سیستم فیزیکی است که در اولین تقریب توسط مدل بالا توصیف می شود. در مولکول آمونیاک با فرمول  $NH_3$ ، اتم های هیدروژن به شکل رئوس یک مثلث در یک صفحه قرار گرفته اند. مطابق شکل ۵۱، اتم نیتروژن دو وضعیت تعادلی دارد که در دو طرف این صفحه قرار گرفته اند. این دو وضعیت تعادلی را می توان با دو چاه پتانسیل نشان داد. مطابق با آنچه که در این بخش دیده ایم، ویژه حالت های مولکول آمونیاک حالت هایی نیستند که در آن اتم نیتروژن در یکی از این چاه ها قرار گرفته باشد بلکه حالت هایی هستند که دارای پارته زوج و یا فرد هستند و در آنها احتمال یافتن اتم نیتروژن در طرفین صفحه هیدروژن ها یکسان است.

## ۹ مسئله پراکندگی در یک بعد

در این بخش موقتاً حالت های مقید را رها می کنیم و به مسئله پراکندگی می پردازیم. این مسئله به صورت کلاسیک به شکل زیر است. ذره ای را باتکانه یا انرژی معین به یک پتانسیل شبیه به آنچه که در شکل ۶۱ نشان داده شده است می تابانیم. این ذره مطابق به طرف پتانسیل حرکت کرده و در صورتی که انرژی آن از ارتفاع پتانسیل بیشتر باشد از آن عبور می کند و در غیر این صورت در نقطه ای مثل نقطه  $a$  متوقف می شود و برمی گردد. نقطه  $a$  نقطه بازگشت ذره یا  $Turning Point$  نامیده می شود. البته پراکندگی به ندرت در یک بعد صورت می گیرد و معمولاً برای حل مسئله پراکندگی می بایست صورت سه بعدی آن را در نظر گرفت. این کاری است که با معلومات کنونی ما امکان پذیر نیست و بعداً آن را به تفصیل بررسی می کنیم. در این فصل



شکل ۶۱: پراکندگی از یک پتانسیل

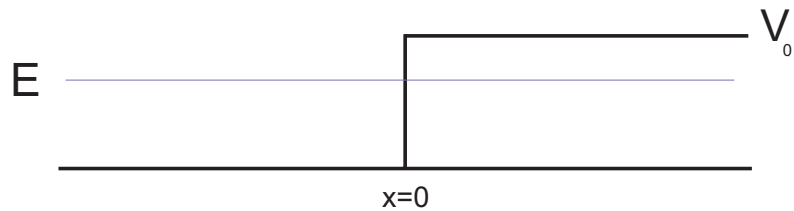
خود را به مسئله پراکندگی در یک بعد محدود می کنیم. هرگاه بخواهیم در چارچوب مکانیک کوانتومی مسئله پراکندگی در یک بعد را حل کنیم باید دقت کنیم که ذره تابنده هیچگاه بایک تکانه کاملاً دقیق مشخص نمی شود، بلکه تابع موج آن ترکیبی است از امواج تخت با طول موج های ویاتکانه های مختلف. به عبارت بهتر می بایست بسته موجی با پهنای کم و تکانه متوسط  $p$  در نظر گرفت و معادله وابسته به زمان شرودینگر را برای آن به طور کامل حل کرد. اگر این کار را به طور تحلیلی (البته بازحمت زیاد) و یا به طور عددی انجام دهیم خواهیم دید که بسته موج به طرف پتانسیل حرکت کرده ضمن حرکت پخش می شود، و پس از اصابت به پتانسیل کج و معوج شده ولی سرانجام بعد از گذشت زمان به شکل دو بسته موج کوچکتر درمی آید که یکی در همان راستای قبلی به حرکت خود ادامه می دهد و دیگری بازمی گردد. علی الاصول می توان با حل معادله شرودینگر، شکل دقیق توابع موج تابیده شده و یا عبور کرده و بازتابیده را پیدا کرد. از نظر فیزیکی به این علاقمندیم که نسبت ذراتی که از سد پتانسیل عبور می کنند و هم چنین نسبت ذراتی که از پتانسیل بازتابیده می شوند را به کل ذرات تابیده شده پیدا کنیم. آنچه که کار ما را ساده می کند این است که این نسبت ها را می توان با محاسبه بسیار ساده تری در مقایسه با آنچه که در بالا گفته شد نیز یافت به این معنا که بجای بسته های موج از امواج تخت نیز می توانیم استفاده کنیم. می توان ثابت کرد که این نسبت ها را با یافتن ویژه توابع معادله مستقل از زمان شرودینگر نیز یافت. این ویژه توابع را چنان باید گرفت که مطابق با تصویر فیزیکی ما از مسئله پراکندگی باشد. در این بخش این کار را برای چند پتانسیل ساده انجام می دهیم.

## ۱۰ پتانسیل پله

شکل ۷۱ یک پله پتانسیل را نشان می دهد. معادله شرودینگر در دوناچه کوچکتر از  $x = 0$  و بزرگتر از  $x = 0$  برای این پتانسیل به شکل زیر است:

$$-\frac{\hbar^2}{2m} \frac{d^2\psi}{dx^2} = E\psi \quad x < 0$$





شکل ۷۱: پتانسیل پله

$$-\frac{\hbar^2}{2m} \frac{d^2\psi}{dx^2} + V_0\psi = E\psi \quad 0 \leq x. \quad (98)$$

حالت اول:  $E \geq V_0$ .

برای این حالت پارامترهای زیر را معرفی می کنیم:

$$k := \sqrt{\frac{2mE}{\hbar^2}}, \quad q := \sqrt{\frac{2m(E - V_0)}{\hbar^2}}. \quad (99)$$

در نتیجه معادلات بالا به شکل زیر درمی آیند:

$$\begin{aligned} -\frac{d^2\psi}{dx^2} &= k^2 & x < 0 \\ -\frac{d^2\psi}{dx^2} &= q^2 & 0 \leq x. \end{aligned} \quad (100)$$

با حل زیر:

$$\psi = \begin{cases} e^{ikx} + Re^{-ikx} & x \leq 0, \\ Te^{iqx} & \end{cases} \quad (101)$$

شرط پیوستگی تابع موج و مشتق آن در نقطه  $x = 0$  منجر به روابط زیر می شود:

$$1 + R = T$$

$$ik(1 - R) = iqT, \quad (102)$$

و در نتیجه

$$T = \frac{2k}{k+q}, \quad R = \frac{k-q}{k+q}. \quad (103)$$

دقت کنید که در این حالت موج تخت بازگشتی هیچ اختلاف فازی با موج تابیده ندارد زیرا ضریب  $R$  حقیقی است. این امر ناشی از این است که انرژی ذره بیشتر از ارتفاع پتانسیل است و پتانسیل برای ذره مثل یک مانع نرم عمل می کند.

جریان های احتمال برابرند با:

$$\begin{aligned} J_{in} &= \frac{\hbar k}{m} \\ J_{ref} &= \frac{\hbar k}{m} R^2 = \frac{\hbar k}{m} \left(\frac{k-q}{k+q}\right)^2 \\ J_{tr} &= \frac{\hbar q}{m} T^2 = \frac{\hbar q}{m} \left(\frac{2k}{k+q}\right)^2. \end{aligned} \quad (104)$$

هرگاه این جریان ها را در تعداد کل ذرات تابیده یعنی  $N$  ضرب کنیم، کمیت های بدست آمده یعنی  $NJ_{tr}$  و  $NJ_{ref}$ ،  $NJ_{in}$  به ترتیب تعداد ذرات تابیده، تعداد ذرات بازتابیده و تعداد ذرات عبور کرده را در واحد زمان نشان می دهند. نتایج بالا نشان می دهند که

$$J_{in} = J_{ref} + J_{tr}. \quad (105)$$

این معادله نشان دهنده پایسته بودن تعداد ذرات یا پایسته بودن احتمال است.

هم چنین دیده می شود که هرچه انرژی ورودی ذرات بیشتر شود، نسبت  $\frac{k}{q}$  به سمت یک میل می کند و در نتیجه  $T \rightarrow 1$  و  $R \rightarrow 0$ . این نتیجه با شهود فیزیکی ما نیز سازگار است زیرا در این حالت ذرات پراثری، حضور پتانسیل را حس نمی کنند. در حدی که انرژی  $E$  به  $V_0$  نزدیک می شود، یعنی در حد برخورد خراشی، داریم  $q \rightarrow 0$ ،  $T \rightarrow 2$  و  $R \rightarrow 1$ . این امر به این معناست که همه ذرات پس از برخورد خراشی با پتانسیل برمی گردند، اما اینکه  $|T|^2$  برابر با 4 است به این معنایست که جریان عبور کننده ذرات نیز زیاد شده است زیرا این جریان متناسب با  $q$  و در نتیجه برابر با صفر است.

حالت دوم:  $E \leq V_0$ .

برای این حالت پارامترهای زیر را معرفی می کنیم:

$$k := \sqrt{\frac{2mE}{\hbar^2}}, \quad q := \sqrt{\frac{2m(V_0 - E)}{\hbar^2}}. \quad (106)$$

در نتیجه معادلات بالا به شکل زیر درمی آیند:

$$\begin{cases} -\frac{d^2\psi}{dx^2} = k^2 & x < 0 \\ \frac{d^2\psi}{dx^2} = q^2 & 0 \leq x. \end{cases} \quad (107)$$

با حل زیر:

$$\psi = \begin{cases} e^{ikx} + Re^{-ikx} & x \leq 0, \\ Te^{-qx} & \end{cases} \quad (108)$$

شرط پیوستگی تابع موج و مشتق آن در نقطه  $x = 0$  منجر به روابط زیر می شود:

$$\begin{cases} 1 + R = T \\ ik(1 - R) = -qT, \end{cases} \quad (109)$$

و در نتیجه

$$T = \frac{2ik}{ik - q}, \quad R = \frac{ik + q}{ik - q}. \quad (110)$$

در این حالت داریم  $|R|^2 = 1$  و  $|T|^2 = \frac{4k^2}{k^2 + q^2}$  و جریان های مختلف به شکل زیر درمی آیند:

$$\begin{cases} J_{in} = \frac{\hbar k}{m} \\ J_{ref} = \frac{\hbar k}{m} R^2 = J_{in} \\ J_{tr} = 0. \end{cases} \quad (111)$$

در این حالت موج بازگشتی نسبت به موج تاییده دارای یک اختلاف فاز است . در واقع داریم

$$\psi_{in} = e^{ikx}, \quad \psi_{ref} = Re^{-ikx} = e^{-ikx - i\phi} \quad (112)$$

که در آن

$$\phi = \tan^{-1}\left(\frac{2kq}{k^2 - q^2}\right) = \tan^{-1}\left(\frac{2\sqrt{E(V-E)}}{2E - V}\right). \quad (113)$$

بنابراین ذره پس از برخورد با پتانسیل حتماً برمی گردد و هیچگاه از پتانسیل نمی تواند عبور کند. باین وجود دامنه احتمال آن در ناحیه ای که از نظر کلاسیک ممنوع بود، برابر با صفر نیست. در این ناحیه ممنوعه انرژی کل ذره از انرژی پتانسیل آن کمتر است و به نظری رسد که انرژی جنبشی ذره منفی است. می توان پرسید که اگر چنین ذره ای را مشاهده کنیم چگونه می توانیم انرژی جنبشی منفی آن را توضیح دهیم. پاسخ این است که هرگاه بخواهیم چنین ذره ای را مشاهده کنیم مجبوریم آنقدر به آن انرژی بدهیم که انرژی جنبشی آن مثبت شود. برای فهم این موضوع به این نکته توجه می کنیم که مشاهده کردن این ذره در ناحیه ای به طول تقریبی  $\frac{1}{q}$ ، نیازمند تاباندن نوری به آن است که طول موج آن بمراتب کمتر از  $\frac{1}{q}$  باشد زیرا در غیر این صورت نور تابیده شده نمی تواند ذره را آشکار کند. بنابراین اگر طول موج فوتون های تابیده شده به این ذره را  $\lambda$  بگیریم می بایست داشته باشیم

$$\lambda < \frac{1}{q}. \quad (114)$$

اگر تکانه فوتون را با  $P$  نشان دهیم این رابطه به این معناست که

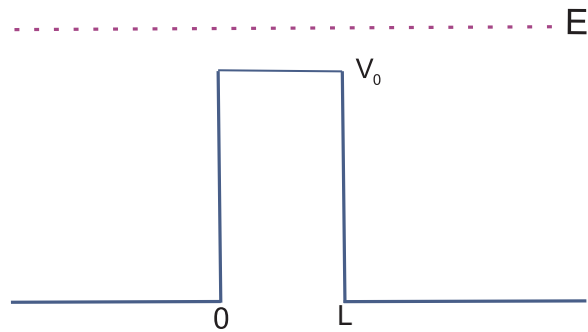
$$P = \frac{h}{\lambda} > hq. \quad (115)$$

بنابراین انرژی داده شده به ذره از مرتبه  $\Delta E \approx \frac{(hq)^2}{2m} = V_0 - E$  خواهد بود. در نتیجه انرژی ذره پس از برخورد از مقدار  $E + \Delta E \approx V_0$  بیشتر خواهد بود. این امر به این معناست که هرگاه بخواهیم ذره را در ناحیه ممنوعه مشاهده کنیم ناگزیر می بایست آن را به بالای پتانسیل بیاوریم و مشاهده کنیم که در این صورت انرژی جنبشی آن مثبت خواهد بود.

## ۱۱ سد پتانسیل مربعی

شکل ۸۱ یک سد پتانسیل مربعی را نشان می دهد. این پتانسیل را می توان تقریبی از یک پتانسیل دافعه واقعی با برد تقریبی  $\frac{L}{2}$  در نظر گرفت. هدف ما مطالعه مسئله پراکندگی از این سد پتانسیل است. می خواهیم ضرایب عبور و انعکاس را بر حسب انرژی ذرات تابیده و مشخصات پتانسیل بدست آوریم.

حالت اول:  $E > V_0$



شکل ۸۱: سد پتانسیل

نخست حالتی را بررسی می کنیم که انرژی ذرات از ارتفاع سد بیشتر است. در این حالت داریم

$$\psi(x) = \begin{cases} e^{ikx} + Re^{-ikx} & x \leq 0, \\ Ae^{iqx} + Be^{-iqx} & 0 \leq x \leq L, \\ Te^{ikx} & L \leq x. \end{cases} \quad (116)$$

شرایط مرزی در نقطه  $x = 0$  عبارتند از:

$$\begin{aligned} 1 + R &= A + B \\ ik(1 - R) &= iq(A - B). \end{aligned} \quad (117)$$

شرایط مرزی در نقطه  $x = L$  نیز برابرند با:

$$\begin{aligned} Ae^{iqL} + Be^{-iqL} &= Te^{ikL} \\ iq(Ae^{iqL} - Be^{-iqL}) &= ikTe^{ikL}. \end{aligned} \quad (118)$$

با حذف  $R$  از معادلات 117 و هم چنین  $T$  از معادلات 170 به دو معادله زیر برای ضرایب  $A$  و  $B$  می رسیم:

$$(k + q)A + (k - q)B = 2$$

$$e^{iqL}(k-q)A + e^{-iqL}(k+q)B = 0. \quad (119)$$

با حل این دو معادله ضرایب  $A$  و  $B$  بدست می آیند:

$$\begin{aligned} A &= 2e^{-iqL} \frac{k+q}{4q \cos qL - 2ik(1 + \frac{q^2}{k^2}) \sin qL} \\ B &= -2e^{iqL} \frac{k-q}{4q \cos qL - 2ik(1 + \frac{q^2}{k^2}) \sin qL}. \end{aligned} \quad (120)$$

با جایگذاری این ضرایب در معادلات 119، 170 ضرایب  $R$  و  $T$  بدست می آیند. خواهیم داشت:

$$R = \frac{(k^2 - q^2) \sin qL}{(k^2 + q^2) \sin qL + 2iqk \cos qL}, \quad (121)$$

و

$$T = e^{-ikL} \frac{2iqk}{(k^2 + q^2) \sin qL + 2iqk \cos qL}. \quad (122)$$

در نتیجه ضرایب انعکاس و عبور به ترتیب زیر بدست می آیند:

$$|R|^2 = \frac{(k^2 - q^2)^2 \sin^2 qL}{(k^2 + q^2)^2 \sin^2 qL + 4q^2 k^2 \cos^2 qL}, \quad (123)$$

$$|T|^2 = \frac{4q^2 k^2}{(k^2 + q^2)^2 \sin^2 qL + 4q^2 k^2 \cos^2 qL}. \quad (124)$$

کمیت  $|R|^2$  در واقع نسبت تعداد ذرات منعکس شده به ذرات تابیده و کمیت  $|T|^2$  نسبت ذرات عبور کرده به ذرات تابیده را نشان می دهند. نخست به مطالب زیر توجه می کنیم:

۱ - یک محاسبه ساده نشان می دهد که شرط زیر همواره برقرار است

$$|R|^2 + |T|^2 = 1, \quad (125)$$

که به معنای بقای تعداد ذرات است.

۲ - هرگاه  $E \gg V_0$ ، آنگاه  $q \approx k$  و در نتیجه  $|R|^2 \approx 0$  و  $|T|^2 \approx 1$ . این نتیجه از نظر فیزیکی نیز مورد انتظار است زیرا ذرات پراورزی سد پتانسیل را حس نمی کنند.

۳ - هرگاه  $E = V_0$ ، آنگاه  $q = 0$ . در این حالت یعنی در حد برخورد های خراشی ضرایب بالا به صورت زیر درمی آیند:

$$|R|^2 = \frac{k^2 L^2}{4 + k^2 L^2} = \frac{1}{1 + \left(\frac{\lambda}{\pi L}\right)^2}$$

$$|T|^2 = 1 - |R|^2 = \frac{\left(\frac{\lambda}{\pi L}\right)^2}{1 + \left(\frac{\lambda}{\pi L}\right)^2}, \quad (126)$$

که در آن از تعریف  $k^2 = \frac{2mE}{\hbar^2}$  استفاده کرده ایم و بجای تکانه ذرات ورودی نیز از رابطه  $\lambda = \frac{h}{p} = \frac{h}{\sqrt{2mE}}$  استفاده کرده ایم.

۴ - ضرایب عبور و انعکاس هر دو توابعی تناوبی از پهنای چاه هستند. به این معنا که

$$|T|^2\left(L + \frac{2\pi}{q}\right) = |T|^2(L), \quad |R|^2\left(L + \frac{2\pi}{q}\right) = |R|^2(L). \quad (127)$$

هرگاه شرط  $qL = n\pi$  برقرار باشد بدست می آوریم:

$$|R|^2 = 0, \quad |T|^2 = 1. \quad (128)$$

هرگاه شرط  $qL = (n + \frac{1}{2})\pi$  برقرار باشد بدست می آوریم:

$$|R|^2 = \left(\frac{k^2 - q^2}{k^2 + q^2}\right)^2 = \left(\frac{V_0}{2E - V_0}\right)^2$$

$$|T|^2 = \frac{4q^2 k^2}{(k^2 + q^2)^2} = \frac{4E(E - V_0)}{(2E - V_0)^2}. \quad (129)$$

این نتایج از نظر فیزیکی نیز قابل توضیح هستند.

حالت دوم:  $0 \leq E \leq V_0$  در این حالت کافی است که در روابط 121، 122 جایگزینی زیر را انجام دهیم:

$$q \rightarrow iq, \quad q = \frac{2m(V_0 - E)}{\hbar^2}. \quad (130)$$

با این جایگزینی خواهیم داشت:

$$R = \frac{(k^2 + q^2) \sinh qL}{(k^2 - q^2) \sinh qL + 2iqk \cosh qL}, \quad (131)$$

و

$$T = e^{-ikL} \frac{2iqk}{(k^2 - q^2) \sinh qL + 2iqk \cosh qL} \quad (132)$$

در این حالت ضرایب انعکاس و عبور برابر خواهند بود با:

$$|R|^2 = \frac{(k^2 + q^2)^2 \sinh^2 qL}{(k^2 - q^2)^2 \sinh^2 qL + 4q^2 k^2 \cosh^2 qL} \quad (133)$$

و

$$|T|^2 = \frac{4q^2 k^2}{(k^2 - q^2)^2 \sinh^2 qL + 4q^2 k^2 \cosh^2 qL} \quad (134)$$

غیر صفر بودن ضریب عبور به این معنی است که ذره با احتمالی می تواند علیرغم کمتری بودن انرژی اش از سد پتانسیل، از این ناحیه ممنوعه عبور کند. این پدیده را تونل زنی می گویند و شواهد متعددی برای درستی آن از نظرتجربی وجود دارد. چند نکته در مورد ضرایب عبور و بازگشت جالب توجه اند:

۱ - در این حالت هیچ کدام از ضرایب عبور و یا انتقال تابع تناوبی بر حسب پهنای پتانسیل نیستند، بلکه با افزایش پهنای پتانسیل ضریب عبور به سمت صفر میل کرده و ضریب بازگشت به سمت یک میل می کند.

۲ - در حد انرژی های بسیار کم یعنی  $E \rightarrow 0$ ، یا  $k \rightarrow 0$ ، خواهیم داشت  $|R|^2 \rightarrow 1$ ،  $|T|^2 \rightarrow 0$ ، که این نتیجه با شهود فیزیکی مانیز سازگار است.

۳ - در حدی که ارتفاع سد نسبت به انرژی ذره خیلی زیاد باشد، به عبارت دقیق تر وقتی که شرط  $qL = \sqrt{\frac{2m(V_0 - E)}{\hbar^2}} L \gg 1$  برآورده شود، می توان ضریب عبور را به صورت زیر تقریب زد:

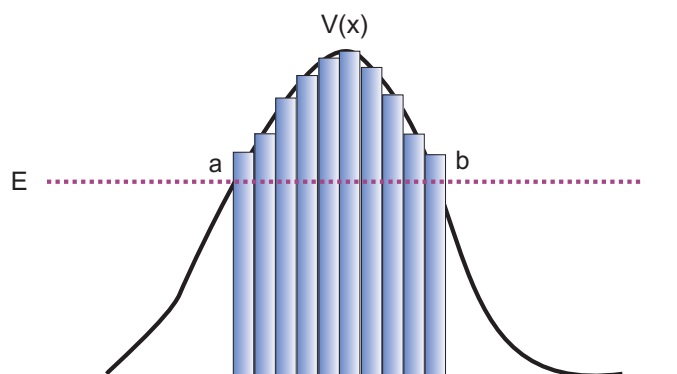
$$|T|^2 \approx \frac{16q^2 k^2}{(k^2 + q^2)^2} e^{-2qL} = \left(\frac{4qk}{k^2 + q^2}\right)^2 e^{-2qL} \quad (135)$$

در نتیجه

$$\log |T|^2 = 2 \log\left(\frac{4qk}{k^2 + q^2}\right) - 2qL \approx -2qL = -2\sqrt{\frac{2m(V_0 - E)}{\hbar^2}} L \quad (136)$$

این نتیجه برای یک سد پتانسیل مربعی بدست آمده است. حال اگر یک سد پتانسیل دلخواه داشته باشیم که ذرات کم انرژی به آن می تابند می توانیم سد پتانسیل را به صورت دنباله ای از سد های پتانسیل مربعی با ارتفاع های متفاوت و پهنای





شکل ۹۱: محاسبه تونل زنی از یک پتانسیل دلخواه

یکسان  $\Delta x$  در نظر گرفته و با ضرب کردن ضرایب عبور از هر کدام از این سد های مربعی ضریب عبود کلی را بدست آوریم. در نتیجه

$$\log |T|^2 \approx -2 \sum_x q(x) \Delta x = -2 \int \sqrt{\frac{2m(V(x) - E)}{\hbar^2}} dx, \quad (137)$$

و در نتیجه

$$|T|^2 \approx e^{-2 \int_a^b dx \sqrt{\frac{2m(V(x) - E)}{\hbar^2}}}. \quad (138)$$

که در آن حدود انتگرال یعنی  $a$  و  $b$  نقاطی هستند که شرط  $V(a) = V(b) = E$  برآورده می شود. این نقاط در شکل (۹۱) نشان داده شده اند. عبارت بالا تقریب خوبی برای محاسبه احتمال تونل زنی از یک سد پتانسیل دلخواه است.

در زیر بخش بعدی مثال هایی از پدیده تونل زنی را مطالعه می کنیم.

## ۱۲ مثالهایی از پدیده تونل زنی

### ۱.۱۲ کندن الکترون از فلز

یک قطعه فلز از کنار هم قرار گرفتن تعداد زیادی بلورهای خالص با ابعاد کوچک در حدود میکرون یا میلی متر تشکیل شده است. هر میکرو بلور ساختمان هندسی کاملاً منظمی دارد که از تکرار یک سلول در فضای سه بعدی تشکیل شده است. شکل هندسی سلول بستگی به نوع فلز دارد. میکرو بلورها از یکدیگر با صفحاتی که نظم بلوری را به هم می زنند جدا می شوند. هر قطعه بلور خالص از یون های مثبتی تشکیل شده است که در آرایه ای سه بعدی مرتب شده اند. هر کدام از این یون ها یک یا چند الکترون آزاد کرده اند. این الکترون ها در محیط سه بعدی تقریباً آزاد هستند و به هیچ یون خاصی وابسته نیستند. در اولین تقریب می

توان از برهم کنش الکترون ها بایکدیگر نیز صرف نظر کرد. تنها چیزی که الکترون ها را مقید می کند دیواره های فلز است و الکترون ها با وجودی که آزاد هستند نمی توانند از محیط فلز فرار کنند. بنابراین در ساده ترین تقریب می توان محیط فلز را مثل یک چاه پتانسیل سه بعدی و عمیق در نظر گرفت که ابعاد آن با ابعاد فلز برابر است. در درس فیزیک حالت جامد خواننده می تواند توصیف دقیق تری از ساختمان فلز و حرکت الکترون ها درون آن را دنبال کند. باین وجود بسیاری از خواص مهم فلز را با همین تصویر ساده نیز می توان فهمید. در این جا با هم برای تطابق با عنوان این درس و برای سادگی فلز را یک بعدی در نظر می گیریم و آن را با یک چاه پتانسیل به عمق  $V_0$  و پهنای  $L$  نشان می دهیم. سطوح انرژی یک الکترون به جرم بعدی  $m = 9.11 \times 10^{-31}$  در این چاه که ابعاد آن برای یک بلور خالص از مرتبه  $L \approx 10^{-3} m$  می گیریم از مرتبه

$$\epsilon \approx \frac{\hbar^2}{2m} \frac{1}{L^2} \approx \frac{10^{-68}}{10^{-30}} \times 10^6 \approx 10^{-32} \text{ Joule} \approx 10^{-13} \text{ electron volt} \quad (139)$$

است. برای کندن یک الکترون از سطح فلز به اشعه  $x$  یا فرابنفش احتیاج داریم که طول موج آن از مرتبه چند ده آنگستروم است. انرژی این فوتون ها از مرتبه زیر است

$$h\nu \approx \hbar \frac{c}{\lambda} \approx \frac{10^{-34} \times 10^8}{10 \times 10^{-10}} \approx 10^{-17} \text{ Joule} \approx 100 \text{ electron volt} \quad (140)$$

است. بنابراین در مقایسه با ترازهای انرژی یک الکترون عمق چاه بسیار بسیار بزرگ است و مای توانیم برای محاسبه سطوح انرژی الکترون در چاه، عمق چاه را عملاً بی نهایت بگیریم. برای چنین چاهی می دانیم که سطوح انرژی تنها بایک عدد کوانتومی مشخص می شوند و عبارتند از:

$$\epsilon_n = \frac{\hbar^2}{2m} \left( \frac{n\pi}{L} \right)^2. \quad (141)$$

برای ادامه بحث می بایست به اصل طرد پاولی اشاره کنیم. این اصل که ناشی از تلفیق مکانیک کوانتومی و نسبیت خاص است بیان می کند که ذراتی که اسپین آنها نیمه صحیح است مثل الکترون که اسپین آن  $\frac{1}{2}$  است نمی توانند ترازهای انرژی یکسانی اشغال کنند و هر کدام از آنها می بایست در یک تراز انرژی قرار بگیرد. این خاصیت را اصل طرد پاولی می خوانیم. شکل دقیق این اصل را در درس های آینده خواهیم آموخت. بنابراین در درون چاه در هر سطح انرژی  $\epsilon_n$  تنها یک الکترون قرار خواهد گرفت. از آنجا که در حالت تعادل بلور فلزی مثل هر سیستم دیگری تمایل دارد که به کمترین انرژی خود برسد، الکترون ها سطوح انرژی را از پایین به بالا اشغال می کنند (شکل ۰۲). بالاترین سطح انرژی که اشغال می شود سطح فرمی نام دارد و با  $E_F$  نشان داده می شود. در یک بعد انرژی فرمی را براحتی می توان بدست آورد. از آنجا که سطح انرژی فرمی  $E_F$  توسط  $N$  امین الکترون اشغال شده است داریم

$$E_F = \frac{\hbar^2}{2m} \left( \frac{\pi}{L} \right)^2 N^2. \quad (142)$$



شکل ۰۲: سطوح انرژی الکترون ها درغیاب میدان الکتریکی - تمام سطوح انرژی تازیرتزاز فرمی پرهستند.

بنابراین سطح انرژی فرمی توسط چگالی الکترون ها درفلز تعیین می شود. بهتراست تخمینی از سطح انرژی فرمی داشته باشیم.

هرگاه یون ها که به فاصله ای از مرتبه یک آنگستروم از یکدیگر جدا شده اند هرکدام یک الکترون به محیط فلز واگذارکنند چگالی الکترون ها برابر با  $10^{10} m^{-3}$  خواهد بود. بنابراین برای یک فلز انرژی فرمی از مرتبه زیراست

$$E_F \approx \frac{10^{-68}}{10^{-30}} 10^{20} \approx 10^{-18} \text{ Joule} \approx 10 \text{ electron volt.} \quad (143)$$

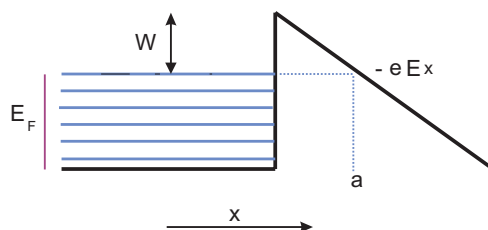
آیا ممکن است که بعضی از ترازهای زیرسطح فرمی خالی باشند و درعوض الکترون ها بعضی از ترازهای بالاتراز سطح فرمی را اشغال کرده باشند؟ الکترون هامی توانند در اثر برهم کنش با یکدیگر و یا برخورد با یون ها و یا تابش اشعه خارجی وهم چنین در اثر اختلافات گرمایی به سطوح خالی بالاتراز سطح فرمی صعود کنند. دردمای معمولی اتاق که آن را در حدود  $300 K^\circ$  می گیریم میزان انرژی گرمایی از مرتبه

$$kT \approx 1.38 \times 10^{-23} \times 300 \approx 4 \times 10^{-21} \text{ Joule} \approx 3 \times 10^{-2} \text{ electron volt} \quad (144)$$

است که یک هزارم انرژی فرمی است. به همین دلیل الکترون های سطوح زیرین در اثر اختلافات گرمایی معمول نمی توانند به بالای سطح فرمی صعود کنند. دردمای معمولی اتاق تنها تعداد کمی از الکترون های نزدیک سطح فرمی به سطوح بالاتر تحریک می شوند.

هرگاه عمق چاه را  $V_0$  و سطح انرژی فرمی را  $E_f$  بگیریم تفاوت این دو یعنی  $V_0 - E_f$  عبارت است از مقدار انرژی که برای کندن الکترون های نزدیک سطح فرمی از فلز لازم است. این مقدار انرژی همان چیزی است که به آن تابع کار می گوئیم و آن را با  $W$  نشان می دهیم. بنابراین  $W = V_0 - E_f \approx 100 \text{ ev}$ .

حال نشان می دهیم که چگونه در اثر اعمال یک میدان الکتریکی در نزدیکی یک فلز می توان امکان تونل زنی برای الکترون های نزدیک سطح فرمی را فراهم کرده و آن ها را از چاهی که در آن گیر افتاده اند آزاد کرد. شکل ۱۲ انرژی پتانسیل را در حضور میدان الکتریکی در نزدیکی فلز نشان می دهد. لبه سمت راست چاه در نقطه  $x = 0$  قرار دارد. میدان الکتریکی در ناحیه



شکل ۱۲: سطوح انرژی الکترون ها در حضور میدان الکتریکی - الکترون های نزدیک تراز فرمی به خارج از فلز تونل می زنند.

$x > 0$  تعریف شده است و جهت آن نیز روبه طرف چپ است. پتانسیل الکتریکی که این میدان ایجاد می کند برابر است با  $\phi(x) = Ex$ .  $E$  را اندازه میدان گرفته ایم. بنابراین انرژی یک الکترون در این میدان برابر است با  $V(x) = -eEx$ . در نتیجه چاه پتانسیل به صورت زیر تغییر شکل می دهد:

$$V(x) = \begin{cases} V_0 & x \leq 0, \\ 0 & 0 \leq x \leq L, \\ V_0 - eEx & L \leq x. \end{cases} \quad (145)$$

حال الکترون های نزدیک سطح فرمی می توانند از این پتانسیل به سمت راست تونل بزنند و از فلزها شوند. از روی شکل معلوم است که  $V_0 - eEa = E_F$  و یا  $a = \frac{W}{eE}$ .

احتمال تونل زنی الکترونی که انرژی آن برابر با  $E_F$  است، یعنی الکترونی که در نزدیکی سطح فرمی است برابر است با

$$|T|^2 = e^{-2 \int_0^a dx \sqrt{\frac{2m}{\hbar^2}(V(x) - E_F)}} = e^{-2 \int_0^a dx \sqrt{\frac{2m}{\hbar^2}(V_0 - eEx - E_F)}} = e^{-2 \int_0^a dx \sqrt{\frac{2m}{\hbar^2}(W - eEx)}}. \quad (146)$$

بمحاسبه این انتگرال احتمال تونل زنی برابر می شود با:

$$|T|^2 = e^{-\frac{4}{3} \sqrt{\frac{2m}{\hbar^2} \frac{W^{\frac{3}{2}}}{eE}}}. \quad (147)$$

این رابطه به رابطه *Fowler - Nordheim* مشهور است.

بیاید تخمین بزنیم که برای یک میدان الکتریکی متعارف از قبیل  $100 \text{ volt m}^{-1}$  احتمال تونل زنی چقدر است؟ برای این محاسبه تابع کار را برابر با  $100 \text{ eV}$  می گیریم. در نتیجه با جایگذاری مقادیر عددی و صرف نظر کردن از ضرایبی که از مرتبه ۱

هستند خواهیم داشت:

$$|T|^2 \approx \exp\left(-\frac{4}{3}\sqrt{\frac{2m}{\hbar^2}}\frac{W^{\frac{3}{2}}}{eE}\right) \approx \exp\left(-\sqrt{\frac{10^{-30}}{10^{-68}}}\frac{(100 \times 10^{-19})^{3/2}}{10^{-19} \times 100}\right) \approx \exp(-10^{11}). \quad (148)$$

این عدد به اندازه غیرقابل تصویری کوچک است. در واقع عددی است که حدود  $10^9$  میلیارد صفر بعد از ممیز دارد. البته باید دقت کرد که یک الکترون در یک ثانیه بارها و بارها به دیواره پتانسیل برخورد می کند. هم چنین در درون فلز الکترون های بسیاری در نزدیکی سطح فرمی وجود دارند که می توانند این تونل زنی را انجام دهند. این دو کمیت را تخمین می زنیم. سرعت الکترون درون فلز از مرتبه  $10^6$   $v \approx \sqrt{\frac{2E_F}{m}} \approx \sqrt{\frac{10 \times 10^{-19}}{10^{-30}}} \approx 10^6$  متر بر ثانیه است. هرگاه ابعاد میکرو بلور را یک میلی متر یا  $10^{-3}$  متر بگیریم؛ می توانیم تخمین بزنیم که در یک ثانیه یک الکترون چند بار به دیواره چاه پتانسیل برخورد می کند. این تعداد از مرتبه زیر است:

$$n \approx \frac{v}{2L} \approx \frac{10^6}{10^{-3}} \approx 10^9. \quad (149)$$

حتی اگر تعداد الکترون هایی را که در نزدیکی سطح فرمی قرار دارند و امکان تونل زنی دارند عددی از مرتبه  $10^{10}$  هم بگیریم باز با توجه به کوچکی بی اندازه  $|T|^2$  جریانی که بدست می آید تقریباً برابر با صفر است. برای یک جریان قابل ملاحظه می بایست یا میدان الکتریکی فوق العاده بزرگ باشد و یا اینکه فاصله  $a$  خیلی کم باشد. اگرچه نمی توان میدان های فوق العاده قوی ای آنچنان ایجاد کرد که ضریب احتمال  $|T|^2$  قابل ملاحظه شود، ولی می توان شرایطی ایجاد کرد که در آن فاصله تونل زنی یعنی  $a$  بسیار کم شود. برای این کار می توان سطح صیقلی دوفلز را بالای ای از اکسید به هم چسپاند. ضخامت لایه اکسید در آزمایشی از این نوع بالای های  $Ni - NiO - Pb$  در حدود  $50 \text{ \AA}$  انگستروم است. قبل از اعمال میدان الکتریکی سطوح انرژی دوفلز به ترتیب نشان داده شده در شکل ۲۲ هستند. از آنجا که سطوح فرمی در هر دو فلز هم تراز هستند در غیاب میدان الکتریکی هیچ نوع تونل زنی اتفاق نمی افتد. بعد از اعمال میدان الکتریکی سطوح انرژی به صورت نشان داده شده در شکل ۳۲ درمی آیند.

در نتیجه احتمال تونل زنی برابر است با:

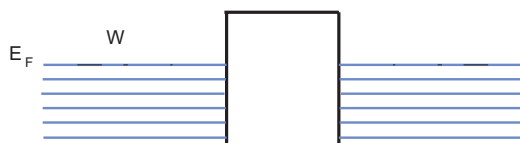
$$|T|^2 \approx e^{-2 \int_0^a dx \sqrt{\frac{2m}{\hbar^2}(V(x)-E_F)}} = e^{-2 \int_0^a dx \sqrt{\frac{2m}{\hbar^2}(W-eEx)}} \\ = e^{-2 \sqrt{\frac{2mW}{\hbar^2}} \int_0^a dx \sqrt{1-\frac{eE}{W}x}} = e^{-2 \sqrt{\frac{2mW}{\hbar^2}} \int_0^a dx \sqrt{1-\frac{x}{a_0}}} = e^{-\frac{4}{3} \sqrt{\frac{2mW}{\hbar^2}} a_0 (1-(1-\frac{a}{a_0})^{\frac{3}{2}})}. \quad (150)$$

که در آن  $a_0 := \frac{W}{eE}$ . از آنجا که برای یک میدان الکتریکی متعارف،  $a \ll a_0$ ، می توانیم بنویسیم

$$|T|^2 \approx e^{-2 \sqrt{\frac{2mW}{\hbar^2}} a} \quad (151)$$

برای مقادیر

$$W \approx 10 \text{ eV} \approx 10^{-17} \text{ Joule}, \quad a \approx 50 \text{ \AA} = 5 \times 10^{-9} \text{ meter}, \quad m \approx 10^{-30} \text{ Kg}, \quad (152)$$



شکل ۲۲: سطوح انرژی الکترون های دو فلز در غیاب میدان الکتریکی - سطوح فرمی در دو فلز هم تراز هستند.

بدست می آوریم

$$|T|^2 \approx e^{-40}. \quad (153)$$

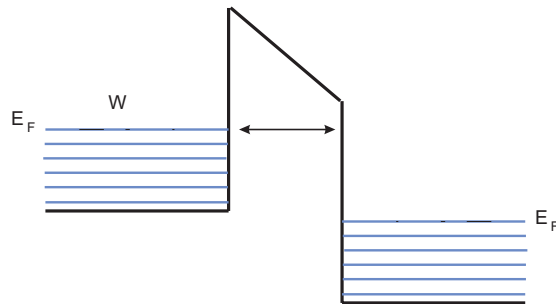
حال می توانیم جریانی را که از این تونل زنی حاصل می شود حساب کنیم. اگر تعداد دفعاتی را که الکترون به دیواره پتانسیل برخورد می کند را مطابق با محاسبات قبلی برابر با  $n \approx 10^9 \text{ s}^{-1}$  قرار دهیم و تعداد الکترون هایی را که تونل زنی انجام می دهند برابر با  $r = 10^{10}$  قرار دهیم، جریانی که بدست می آید برابر خواهد بود با

$$I \approx |T|^2 n e r \approx e^{-40} \times 10^9 \times 10^{10} \approx 10^{-17} \times 10^{-19} \times 10^{19} = 10^{-17} \text{ Amp} = 10^{-11} \mu\text{Amp}. \quad (154)$$

همانطور که مشاهده می شود مقدار این جریان بسیار کوچک است.

## ۲.۱۲ واپاشی آلفا

یکی دیگر از پدیده هایی که تونل زنی در آنها نقش ایفای می کند واپاشی هسته های سنگین رادیواکتیو از طریق گسیل خودبخودی ذرات آلفاست. یک ذره آلفا یا هسته هلیوم از دونوترون و دو پروتون تشکیل شده است. بدون اینکه بخواهیم به جزئیات نیروهای بین اجزای هسته بپردازیم می خواهیم بایک مدل ساده گسیل خودبخود ذرات آلفا را از هسته های سنگین مطالعه کنیم. می خواهیم بدانیم احتمال گسیل یک ذره آلفا در یک مدت زمان معین از یک هسته چقدر است؟ براساس پاسخ به این سوال می خواهیم نیمه عمر آن هسته را تخمین بزنیم. می دانیم که نیروی هسته ای فوق العاده قوی و درعین حال بسیار کوتاه برد است. بنابراین می توانیم تصور کنیم که ذره آلفا در درون یک چاه بسیار عمیق و پهنای کم گیر افتاده است. از آنجا که عمق چاه بی



شکل ۳۲: سطوح انرژی الکترون های دوفلز در حضور میدان الکتریکی - الکترون های نزدیک سطح فرمی از یک فلز به فلز دیگر تونل می زنند.

نهایت نیست این ذره می تواند با احتمالی از دیواره های چاه به بیرون تونل بزند و از چاه بگریزد. البته به محض بیرون آمدن از چاه این ذره گرفتار نیروی جاذبه الکترومغناطیسی می شود که با نیروی  $F = \frac{2(Z-2)e^2}{r^2}$  آن را به درون چاه جذب می کند. این نیرو برخلاف نیروی هسته ای بلند برداست. شکل کامل پتانسیل به صورت نشان داده شده در شکل ۴۲ است. در این شکل و در محاسبات زیر بار ذره  $\alpha$  را با  $Z_1$  و هسته سنگین باقیمانده را با  $Z_2$  نشان می دهیم. ذره  $\alpha$  می تواند از سد پتانسیلی که در برابر آن است تونل بزند. احتمال تونل زنی برابر است با

$$|T|^2 = e^{-G} \quad G = \int_R^b 2\sqrt{\frac{2m}{\hbar^2}(V(x) - E)}. \quad (155)$$

پتانسیل  $V(x)$  را به شکل نشان داده شده در ۵۲ تقریب می زنیم. در نتیجه خواهیم داشت

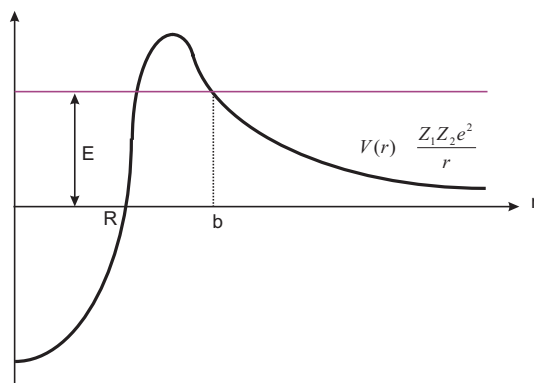
$$G = 2 \int_R^b 2\sqrt{\frac{2m}{\hbar^2}\left(\frac{Z_1 Z_2 e^2}{r} - E\right)} = 2\sqrt{\frac{2m}{\hbar^2} Z_1 Z_2 e^2} \int_R^b \sqrt{\frac{1}{r} - \frac{1}{b}} dr \quad (156)$$

با محاسبه انتگرال بدست می آوریم:

$$\begin{aligned} I &= \int_R^b \sqrt{\frac{1}{r} - \frac{1}{b}} dr = \frac{1}{\sqrt{b}} \int_R^b \sqrt{b-r} \frac{dr}{r^{\frac{1}{2}}} \\ &= 2\sqrt{b} \int_{\theta_0}^{\frac{\pi}{2}} \cos^2 \theta d\theta = \sqrt{b} \left( \frac{\pi}{2} - \sin^{-1} \sqrt{\frac{R}{b}} - \sqrt{\frac{R}{b}} \left(1 - \frac{R}{b}\right) \right). \end{aligned} \quad (157)$$

و در نتیجه

$$G = 2\sqrt{\frac{2m}{\hbar^2} Z_1 Z_2 e^2} \sqrt{b} \left( \cos^{-1} \sqrt{\frac{R}{b}} - \sqrt{\frac{R}{b}} \left(1 - \frac{R}{b}\right) \right). \quad (158)$$



شکل ۴۲: پتانسیلی که ذره آلفا می بیند.

در انرژی های پایین داریم  $b \gg R$  و بنابراین  $G$  را می توان به شکل زیر تقریب زد:

$$G \approx \sqrt{\frac{2mZ_1Z_2e^2b}{\hbar^2}}\pi. \quad (159)$$

از آنجا که انرژی ذره آلفا برابر است با  $E$  و با همین انرژی نیز آزاد می شود و به بی نهایت می رود می توان با استفاده از قانون بقای انرژی مقدار  $b$  را بر حسب انرژی نهایی ذره آلفا حساب کرد. در واقع داریم

$$E = \frac{Z_1Z_2e^2}{b} \quad \rightarrow \quad b = \frac{Z_1Z_2e^2}{E}, \quad (160)$$

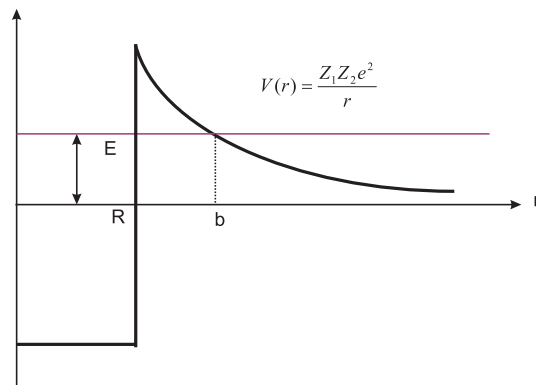
و با جایگذاری این مقدار در عبارت  $G$  نهایتاً خواهیم داشت،

$$G \approx \frac{\pi Z_1Z_2e^2}{\hbar} \sqrt{\frac{2m}{E}}. \quad (161)$$

احتمال عبور از یک سد در یک برخورد برابر است با  $e^{-G}$ . بنابراین تعداد برخوردهای لازم برای یک بار عبور برابر است با  $n = e^G$ . زمان بین هر دو برخورد تقریباً برابر است با فاصله زمانی که ذره آلفا یک بار فاصله  $R$  را طی می کند یعنی  $\tau \approx \frac{R}{v}$  که در آن  $v$  سرعت ذره آلفا درون هسته اتم است. بنابراین مدت زمان لازم برای صدور یک ذره آلفا برابر است با

$$T \approx \frac{R}{v} e^G = \frac{R}{\sqrt{2E/m}} e^{\frac{\pi Z_1Z_2e^2}{\hbar} \sqrt{\frac{2m}{E}}}.$$





شکل ۵۲: تقریب ساده ای از پتانسیلی که ذره آلفا می بیند.

پس یک هسته اتم بعد از زمان  $T$  ثانیه بطور تقریبی تبدیل به یک هسته سبک ترمی شود، و فرایندی شبیه به فرایند زیر را طی می کند:

$$\dots N_z^A \longrightarrow N_{z-2}^{A-4} \longrightarrow N_{z-4}^{A-8} \longrightarrow \dots \quad (162)$$

مدت زمان  $T$  همان نیمه عمر هسته مادر با عدد اتمی  $Z$  است. برای ذره  $\alpha$ ، داریم  $Z_1 = Z - 2$ ،  $Z_2 = 2$ . بنابراین نیمه عمر هسته هایی که از طریق گسیل ذره  $\alpha$  واپاشی می کنند از رابطه نیز بدست می آید:

$$T \approx \frac{R}{\sqrt{2E/m}} e^{\frac{2\pi(Z-2)e^2}{h} \sqrt{\frac{2m}{E}}}. \quad (163)$$

می توانیم مدت زمان  $T$  را تخمین بزنیم. از آنجا که پتانسیل الکتریکی را به صورت  $\frac{Z_1 Z_2 e^2}{r}$  نوشته ایم می بایست واحد های دستگاه گاوسی را به کار ببریم.

برای ذره  $\alpha$ ، داریم  $Z_1 = Z - 2$ ،  $Z_2 = 2$ ،  $m \approx 4 \times 2 \times 10^{-24} g$ . هرگاه هسته مادر را اورانیوم بگیریم داریم  $Z = 92$ . انرژی ذرات آلفا را در حدود  $\epsilon$  میلیون الکترون ولت می گیریم که انرژی نمونه هسته ای است. بنابراین  $E \approx \epsilon \times 10^6 \times 10^{-12} = \epsilon \times 10^{-4} erg$  شعاع هسته یا  $R$  نیز در حدود یک فرمی یا  $10^{-13} cm$  فرمی است. هم چنین داریم  $e = 4.8 \times 10^{-10} esu$  بنابراین خواهیم داشت

$$G \approx e^{37/\sqrt{\epsilon}} \approx 10^{16/\sqrt{\epsilon}}. \quad (164)$$

و

$$\frac{R}{v} = \frac{10^{-13}}{\sqrt{\frac{2 \times \epsilon \times 10^{-4}}{8 \times 10^{-24}}}} \approx \frac{2}{\sqrt{\epsilon}} \times 10^{-23} sec \approx \frac{0.6}{\sqrt{\epsilon}} \times 10^{-30} سال. \quad (165)$$

در نتیجه نیمه عمر بر حسب سال به ترتیب زیر بدست می آید:

$$T \approx \frac{0.6}{\sqrt{\epsilon}} 10^{16/\sqrt{\epsilon}} \times 10^{-30} \text{ سال.} \quad (166)$$

### ۱۳ پتانسیل پرئودیک

در این زیربخش یک پتانسیل پرئودیک را مطالعه می کنیم. در یک بلور یون ها در یک آرایه سه بعدی که از تکرار یک سلول بنیادی ایجاد شده است جای گرفته اند. هر یون یک یا چند الکترون در محیط جامد آزاد کرده است و این الکترون ها تحت تاثیر جاذبه تمام یون های جامد هستند. در ساده ترین تقریب می توان از برهم کنش الکترون ها بایکدیگر صرف نظر کرد و تنها برهم کنش یک الکترون را با شبکه یون ها در نظر گرفت. چنین شبکه ای یک پتانسیل پرئودیک در تمام فضا ایجاد می کند. هدف ما در این بخش آن است که ساده ترین مدل از یک پتانسیل پرئودیک را مطالعه کنیم و ببینیم که در یک پتانسیل پرئودیک طیف انرژی چه ویژگی های متمایزی پیدا می کند. برای سادگی پتانسیلی به شکل زیر در نظر می گیریم که از چاه های پتانسیل دلتا در فواصل  $a$  از یکدیگر تشکیل شده است و این چاه ها از  $-\infty$  تا  $\infty$  گسترده شده اند:

$$V(x) = - \sum_{n=0}^{N-1} V_0 \delta(x - na). \quad (167)$$

خصلت ممتاز این پتانسیل وجود تقارن انتقالی است یعنی

$$V(x+a) = V(x). \quad (168)$$

می دانیم که عملگر انتقال به شکل زیر تعریف می شود:

$$T_a := e^{i\frac{a}{\hbar}P} \quad (169)$$

این عملگر دارای خواص زیر است:

$$T_a X T_a^{-1} = X + a, \quad T_a |x\rangle = |x - a\rangle, \quad \langle x|T_a = \langle x + a|. \quad (170)$$

از این رابطه می توان نتیجه گرفت که برای هر پتانسیل  $V(X)$

$$T_a V(X) T_a^\dagger = V(X + a) \quad (171)$$

از آنجا که پتانسیل ما متقارن است بنابراین نتیجه می گیریم

$$[T_a, H] = 0. \quad (172)$$

بنابراین می توانیم ویژه حالت های مشترک این دو عملگر را پیدا کنیم یعنی ویژه حالت های انرژی را ویژه حالت های  $T_a$  نیز بگیریم. برای این کار بهتر است ویژه حالت های  $T_a$  را مطالعه کنیم. از آنجا که  $T_a$  یک عملگر یکانی است ویژه مقادیرهای آن فازهای خالص هستند. هم چنین با توجه به رابطه 170 می دانیم که

$$\langle x | T_a | \psi \rangle = \langle x + a | \psi \rangle, \rightarrow T_a \psi(x) = \psi(x + a). \quad (173)$$

بنابراین ویژه توابع مشترک انرژی و عملگر  $T_a$  دارای خاصیت اضافی زیر هستند:

$$\psi(x + a) = e^{i\theta} \psi(x). \quad (174)$$

حال برای حل معادله شرودینگر مطابق معمول معادله را در فاصله بین چاه های دلتا حل می کنیم و سپس شرایط مرزی را در محل چاه ها بکار می بریم. می نویسیم

$$\Psi(x) = \begin{cases} \dots \\ \psi_n(x) = A_n e^{-qx} + B_n e^{qx} & na \leq x \leq (n+1)a, \\ \dots \end{cases} \quad (175)$$

که در آن  $q = \sqrt{\frac{-2mE}{\hbar^2}}$ . یادآوری می کنیم که  $E$  منفی است بنابراین  $q$  حقیقی است. شرط پیوستگی تابع موج در نقطه  $na$  منجر به رابطه زیر می شود:

$$\psi_{n-1}(na) = \psi_n(na), \quad (176)$$

و یا

$$A_{n-1} e^{-qna} + B_{n-1} e^{-qna} = A_n e^{-qna} + B_n e^{qna}, \quad (177)$$

ویا

$$(A_{n-1} - A_n)e^{-qna} = (B_n - B_{n-1})e^{qna}. \quad (178)$$

حال مشتق تابع موج را درمحل چاه های پتانسیل بررسی می کنیم. درنقطه  $x = na$  داریم:

$$-\frac{\hbar^2}{2m}(\psi'_n(na) - \psi'_{n-1}(na)) - V_0\psi_n(na) = 0. \quad (179)$$

باجایگذاری توابع  $\psi_n$  و  $\psi_{n-1}$  دراین رابطه بدست می آوریم

$$-\frac{\hbar^2}{2m}[-qA_n e^{-qna} + qB_n e^{qna} - (-qA_{n-1} e^{-qna} + qB_{n-1} e^{qna})] - V_0[A_n e^{-qna} + B_n e^{qna}] = 0 \quad (180)$$

که پس از مرتب کردن به صورت زیردرمی آید:

$$\left[ \left( q - \frac{2mV_0}{\hbar^2} \right) A_n - qA_{n-1} \right] e^{-qna} + \left[ qB_{n-1} - \left( q + \frac{2mV_0}{\hbar^2} \right) B_n \right] e^{qna} = 0. \quad (181)$$

حال شرط 174 را اعمال می کنیم که براساس آن باید داشته باشیم:

$$\psi_{n+1}(x+a) = e^{i\theta} \psi_n(x), \quad (182)$$

ویا

$$A_{n+1}e^{-q(x+a)} + B_{n+1}e^{q(x+a)} = e^{i\theta}(A_n e^{-qx} + B_n e^{qx}) \quad \forall x \in (na, (n+1)a). \quad (183)$$

از آنجا که این شرط می بایست برای تمام  $x$  های درون بازه فوق برقرار باشد نتیجه می گیریم که بین ضرایب  $B_n$  و  $A_n$  می بایست رابطه زیر برقرار باشد:

$$A_{n+1}e^{-qa} = e^{i\theta} A_n \quad B_{n+1}e^{qa} = e^{i\theta} B_n. \quad (184)$$

باتوجه به این شرط رابطه 178 به شکل زیردرمی آید:

$$(e^{-i\theta} e^{-qa} - 1)e^{-qna} A_n = (1 - e^{-i\theta} e^{qa})e^{qna} B_n. \quad (185)$$

هم چنین با توجه به همین شرط رابطه 186 به شکل زیر درمی آید:

$$e^{-qna} \left[ q(1 - e^{-qa-i\theta}) - \frac{2mV_0}{\hbar^2} \right] A_n = e^{qna} \left[ q(1 - e^{qa-i\theta}) + \frac{2mV_0}{\hbar^2} \right] B_n. \quad (186)$$

این دو رابطه تنها وقتی منجر به یک مقدار غیرصفر برای  $A_n$  و  $B_n$  و در نتیجه یک تابع موج غیرصفر می شوند که دترمینان ماتریس ضرایب برابر با صفر باشد، یعنی:

$$\frac{e^{-qa} - e^{i\theta}}{q(1 - e^{-qa-i\theta}) - \frac{2mV_0}{\hbar^2}} = - \frac{e^{qa} - e^{i\theta}}{q(1 - e^{qa-i\theta}) + \frac{2mV_0}{\hbar^2}}. \quad (187)$$

این رابطه پس از کمی مرتب کردن به صورت ساده زیر درمی آید

$$\cosh qa - \cos \theta = \frac{mV_0}{\hbar^2 q} \sinh qa, \quad (188)$$

و یا

$$\cos \theta = \cosh qa - \frac{mV_0}{\hbar^2 q} \sinh qa. \quad (189)$$

به ازای هر مقدار  $\theta$  این رابطه مقدار  $q$  و در نتیجه انرژی ویژه حالت  $\Psi$  را مشخص می کند. برای مطالعه این رابطه بهتر است که متغیر بدون بعد  $y$  را به صورت  $y := qa$  تعریف کنیم. در نتیجه رابطه فوق به صورت زیر درمی آید:

$$\cosh y - \frac{\lambda}{y} \sinh y = \cos \theta. \quad (190)$$

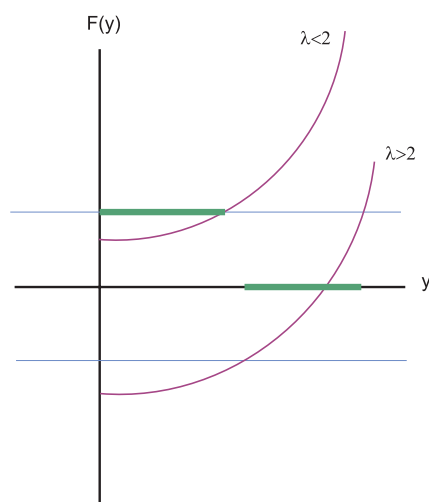
که در آن  $\lambda := \frac{mV_0 a}{\hbar^2}$ .

باید به یاد داشته باشیم که قدر مطلق طرف راست همواره از یک کوچکتر است. بنابراین قدر مطلق طرف چپ نیز می بایست بین  $-1$  و  $1$  باشد، یعنی

$$-1 \leq \cosh y - \frac{\lambda}{y} \sinh y \leq 1. \quad (191)$$

این رابطه مقادیر مجاز  $y$  و در نتیجه مقادیر مجاز  $q$  و یا انرژی را تعیین می کند. برای این کار از روش ترسیمی استفاده می کنیم. تعریف می کنیم

$$f(y) := \cosh y - \frac{\lambda}{y} \sinh y. \quad (192)$$



شکل ۶۲: روش ترسیمی برای بدست آوردن نوارهای انرژی درمدل کرونیگ پنی، توضیح/شکل در متن داده شده است.

با کمی محاسبه معلوم می شود که

$$f(0) = 1 - \lambda, \quad f(+\infty) = +\infty \quad f'(0) = 0, \quad f''(0) = 1 - \lambda. \quad (193)$$

باتوجه به این اطلاعات می توان حل ترسیمی رابطه 196 را مطابق شکل ۶۲ بدست آورد. در شکل دیده می شود که برای  $\lambda = \frac{mV_0 a}{\hbar^2} < 2$  یعنی وقتی که عمق و یا پهناهای چاه از یک حد بحرانی کمتر باشد، سطوح انرژی از لبه چاه شروع می شوند و برای  $\lambda = \frac{mV_0 a}{\hbar^2} > 2$  یعنی وقتی که عمق یا پهناهای چاه از یک حد بحرانی بیشتر باشد، سطوح انرژی لبه چاه را پر نمی کنند بلکه از پایین تر از لبه شروع می شوند. در هر دو حالت نکته مهم آن است که سطوح انرژی یک نوار تشکیل می شوند. تشکیل نوار مشخصه همه پتانسیل های پر یودیک است. در واقع یک مسئله مهم در فیزیک حالت جامد تعیین ساختار نواری یا *Band Structure* سطوح انرژی الکترون ها در جامدات است.

حال فرض کنید که پتانسیل به صورت زیر باشد:

$$V(x) = \sum_{n=0}^{N-1} V_0 \delta(x - na). \quad (194)$$

فرق این پتانسیل با پتانسیل قبلی آن است که  $V_0$  را به  $-V_0$  تبدیل کرده ایم. می بایست انرژی را نیز مثبت در نظر بگیریم. هدف ما یافتن ساختار نواری برای این پتانسیل است. لازم نیست محاسبه جدیدی انجام دهیم کافی است که تبدیل  $V_0 \rightarrow -V_0$  و  $E \rightarrow -E$  و یا  $q \rightarrow iq$  را در محاسبات قبلی اعمال کنیم. توابع موج در فاصله چاه ها به شکل امواج ایستاده خواهند بود:



## درس هفتم : نوسانگر هماهنگ

### ۱ مقدمه

نوسانگر هماهنگ یکی از مهمترین مسائلی است که در مکانیک کلاسیک و هم چنین مکانیک کوانتومی به آن برمی خوریم. ذره ای به جرم  $m$  که در یک پتانسیل دلخواهی مثل  $V(x)$  قرار دارد در نزدیکی نقطه تعادل یا مینیمم اش که آن را با  $x_0$  نشان می دهیم پتانسیلی به شکل زیر می بیند که از بسط  $V(x)$  حول  $x_0$  بدست آمده است

$$V(x) \approx V(x_0) + \frac{1}{2}V''(x_0)(x - x_0)^2 + \dots \quad (1)$$

با قراردادن  $V''(x_0) := m\omega^2$  و انتقال نقطه صفر پتانسیل به  $V(x_0)$  و سنجش مختصه مکان نسبت به نقطه  $x_0$  به پتانسیل  $V = \frac{1}{2}m\omega^2 x^2$  می رسیم که همان پتانسیل نوسانگر هماهنگ است. بنابراین مادام که انرژی ذره آنقدر کم است که از نقطه تعادل خیلی دور نمی شود می توان گفت که ذره تنها پتانسیل نوسانگر هماهنگ را می بیند و به همین دلیل حول نقطه تعادل نوسان می کند.

این موضوع برای هر سیستم دلخواهی با هر تعداد درجه آزادی صادق است. به عنوان مثال اتم های یک مولکول دواتمی حول وضعیت تعادلشان نوسان می کنند، یون های یک شبکه جامد نیز در نزدیکی نقطه تعادلشان نوسان می کنند. یک ساختمان بزرگ نیز همین کار را می کند ولی برای این سیستم فیزیکی برخلاف دو سیستم قبلی نیازی به کاربرد مکانیک کوانتومی نیست. در این بخش هدف ما آن است که به تفصیل نوسانگر هماهنگ را مطالعه کنیم. علاوه بر حل دقیق نوسانگر هماهنگ و مطالعه جنبه های مختلف آن به کاربردهای مختلف آن خواهیم پرداخت و خواهیم دید که دامنه این کاربردها شامل حوزه وسیعی از پدیده ها از ساختمان مولکول ها و کریستال ها گرفته تا الکترو دینامیک و اپتیک کوانتومی است. جمع آوری بعضی از داده های واقعی راجع به نوسانگرهای میکروسکوپی

### ۲ روش جبری برای مطالعه نوسانگر هماهنگ

هامیلتونی یک نوسانگر هماهنگ به جرم  $m$  و فرکانس طبیعی  $\omega$  در یک بعد به شکل زیر است

$$H = \frac{P^2}{2m} + \frac{1}{2}m\omega^2 X^2. \quad (2)$$



نوع کمیت	ضریب
طول	$\sqrt{\frac{\hbar}{m\omega}}$
جرم	$m$
زمان	$\omega^{-1}$
انرژی	$\hbar\omega$
تکانه	$\hbar$

جدول ۱: ضرایب تبدیل کمیت ها

هدف ما در این بخش آن است که طیف انرژی این هامیلتونی را بدست بیاوریم. نخستین کاری که انجام می دهیم آن است که واحدهای جرم و زمان و هم چنین تکانه زاویه ای را آنچنان انتخاب می کنیم که در این واحدها  $m$  برابر با 1 و  $\omega$  و  $\hbar$  نیز برابر با 1 شوند. در این صورت هامیلتونی فوق به شکل زیر درمی آید:

$$H = \frac{1}{2}P^2 + \frac{1}{2}X^2 \quad (3)$$

می دانیم که  $\frac{1}{\omega}$  دیمانسیون زمان،  $m$  دیمانسیون جرم و هم چنین  $\sqrt{\frac{\hbar}{m\omega}}$  دیمانسیون طول دارد. بنابراین هرگاه در واحدهای جدیدی که انتخاب کرده ایم مقدار عددی کمیتی را بدست بیاوریم می توانیم با ضرب کردن یک ضریب مناسب مطابق جدول ۲ مقدار آن کمیت را در واحدهای استاندارد بدست آوریم. حال می توانیم دو عملگر به شکل زیر تعریف کنیم.

$$\begin{aligned} a &:= \frac{1}{\sqrt{2}}(X + iP) \\ a^\dagger &:= \frac{1}{\sqrt{2}}(X - iP). \end{aligned} \quad (4)$$

برحسب این دو عملگر می توان هامیلتونی نوسانگر را به شکل زیر نوشت:

$$H = a^\dagger a + \frac{1}{2}. \quad (5)$$

عملگر  $N := a^\dagger a$  یک عملگر هرمیتی و مثبت است. اگر طیف این عملگر را پیدا کنیم طیف  $H$  نیز پیدا خواهد شد. برای این کار بهتر است که خواص این عملگر و هم چنین عملگرهای  $a$  و  $a^\dagger$  را بدست آوریم: با یک محاسبه ساده روابط زیر را بدست می آوریم:

$$[a, a^\dagger] = 1 \quad [N, a] = -a \quad [N, a^\dagger] = a^\dagger. \quad (6)$$

نخست توجه می کنیم که عملگر  $N = a^\dagger a$  یک عملگر مثبت است. بنابراین تمام ویژه مقدهای آن می بایست مثبت باشند. ضمناً براحتی می توان نشان داد که اگر

$$N|\psi\rangle = \lambda|\psi\rangle, \quad (7)$$

آنگاه

$$N(a|\psi\rangle) = (\lambda - 1)(a|\psi\rangle), \quad N(a^\dagger|\psi\rangle) = (\lambda + 1)(a^\dagger|\psi\rangle). \quad (8)$$

بنابراین عملگر  $a$  دائماً ویژه مقدها را پایین می آورد. در نتیجه می بایست یک ویژه بردار پایینی وجود داشته باشد که اثر  $a$  آن را به صفر برسد. این ویژه بردار را با  $|\psi_0\rangle$  نشان می دهیم

$$a|\psi_0\rangle = 0 \longrightarrow N|\psi_0\rangle = 0. \quad (9)$$

بقیه ویژه بردارها با اثر  $a^\dagger$  روی این حالت ساخته می شوند:

$$|\psi_n\rangle := (a^\dagger)^n |\psi_0\rangle, \quad n = 1, 2, \dots \quad (10)$$

با استفاده از رابطه 8 معلوم می شود که ویژه مقدهای حالت  $|\psi_n\rangle$  برابر با  $n$  است، یعنی

$$N|\psi_n\rangle = n|\psi_n\rangle. \quad (11)$$

باتوجه به رابطه 8 واضح است که

$$a^\dagger|\psi_n\rangle = |\psi_{n+1}\rangle. \quad (12)$$

حال می پرسیم که اثر عملگر  $a$  روی  $|\psi_n\rangle$  چیست؟ انتظار داریم که حالتی که بوجود می آید متناسب با  $|\psi_{n-1}\rangle$  باشد. برای آنکه ضریب متناسب را بدست آوریم از رابطه زیر استفاده می کنیم که خواننده می تواند براحتی درستی آن را نشان دهد:

$$[a, a^{\dagger n}] = n a^{\dagger n-1}. \quad (13)$$

با استفاده از این رابطه می توان نشان داد که:

$$a|\psi_n\rangle = aa^{\dagger n}|\psi_0\rangle = (a^{\dagger n}a + na^{\dagger n-1})|\psi_0\rangle = n|\psi_{n-1}\rangle. \quad (14)$$

حال می توانیم اندازه هر کدام از بردارهای  $|\psi_n\rangle$  را حساب کنیم:

$$\begin{aligned} \langle\psi_n|\psi_n\rangle &= \langle\psi_0|a^n a^{\dagger n}|\psi_0\rangle = \langle\psi_0|a^{n-1}(aa^{\dagger n})|\psi_0\rangle \\ \langle\psi_0|a^{n-1}(a^{\dagger n}a + na^{\dagger n-1})|\psi_0\rangle &= n\langle\psi_{n-1}|\psi_{n-1}\rangle. \end{aligned} \quad (15)$$

در نتیجه  $\langle\psi_n|\psi_n\rangle = n!$ .

بنابراین اگر بردارهای حالت بهنجار شده  $|\psi_n\rangle$  را بانماد  $|n\rangle$  نشان دهیم آنچه را که بدست آورده ایم می توانیم به شکل زیر بنویسیم

$$a|n\rangle = \sqrt{n}|n-1\rangle, \quad a^{\dagger}|n\rangle = \sqrt{n+1}|n+1\rangle, \quad (16)$$

و

$$\hat{H}|n\rangle = (n + \frac{1}{2})|n\rangle \longrightarrow H|n\rangle = \hbar\omega(n + \frac{1}{2})|n\rangle. \quad (17)$$

تساوی دوم در دستگاه واحد های استاندارد نوشته شده است.

از رابطه 16 می توانیم عناصر ماتریسی عملگرهای  $a$  و  $a^{\dagger}$  را بدست آوریم:

$$\langle n|a|m\rangle = \sqrt{m}\langle n|m-1\rangle = \sqrt{m}\delta_{n,m-1}, \quad \langle n|a^{\dagger}|m\rangle = \sqrt{m+1}\langle n|m+1\rangle = \sqrt{m+1}\delta_{n,m+1}. \quad (18)$$

شکل صریح ماتریس های بی نهایت بعدی  $a$  و  $a^{\dagger}$  به صورت زیر است:

$$a = \begin{pmatrix} 0 & 1 & & & & & & & \\ & 0 & \sqrt{2} & & & & & & \\ & & 0 & \sqrt{3} & & & & & \\ & & & 0 & \sqrt{4} & & & & \\ & & & & 0 & \cdot & & & \\ & & & & & 0 & \cdot & & \\ & & & & & & 0 & \cdot & \\ & & & & & & & 0 & \cdot \end{pmatrix} \quad (19)$$

$$a^\dagger = \begin{pmatrix} 0 & 0 & & & & & & & \\ 1 & 0 & & & & & & & \\ & \sqrt{2} & 0 & & & & & & \\ & & \sqrt{3} & 0 & & & & & \\ & & & \sqrt{4} & 0 & & & & \\ & & & & \cdot & 0 & & & \\ & & & & & \cdot & 0 & & \\ & & & & & & \cdot & 0 & \end{pmatrix} \quad (20)$$

## ۱.۲ عناصر ماتریسی مختصات و تکانه

می‌توانیم عناصر ماتریسی  $X$  و  $P$  در نتیجه هر مشاهده پذیردیگری را در پایه انرژی بدست آوریم. برای این کار توجه می‌کنیم که از تعریف عملگرهای  $a$  و  $a^\dagger$  داریم

$$\begin{aligned} X &= \frac{1}{\sqrt{2}}(a + a^\dagger) \\ P &= \frac{1}{\sqrt{2}i}(a - a^\dagger). \end{aligned} \quad (21)$$

در نتیجه خواهیم داشت

$$\begin{aligned} \langle n|X|n\rangle &= \langle n|\frac{1}{\sqrt{2}}(a + a^\dagger)|n\rangle = 0 \\ \langle n|P|n\rangle &= \langle n|\frac{1}{\sqrt{2}i}(a - a^\dagger)|n\rangle = 0. \end{aligned} \quad (22)$$

هم چنین

$$\begin{aligned} \langle n|X^2|n\rangle &= \langle n|\frac{1}{2}(a + a^\dagger)^2|n\rangle = n + \frac{1}{2} \\ \langle n|P^2|n\rangle &= \langle n|\frac{-1}{2}(a - a^\dagger)^2|n\rangle = n + \frac{1}{2}. \end{aligned} \quad (23)$$

در دستگاه واحدهای استاندارد خواهیم داشت

$$\begin{aligned} \langle n|X^2|n\rangle &= \frac{\hbar}{m\omega}(n + \frac{1}{2}) \\ \langle n|P^2|n\rangle &= \hbar m\omega(n + \frac{1}{2}). \end{aligned} \quad (24)$$

اگر انرژی جنبشی را با  $T$  و انرژی پتانسیل را با  $V$  نشان دهیم خواهیم داشت:

$$\begin{aligned}\langle n|T|n\rangle &= \frac{1}{2m}\langle n|P^2|n\rangle = \frac{\hbar\omega}{2}\left(n + \frac{1}{2}\right) \\ \langle n|V|n\rangle &= \frac{1}{2}m\omega^2\langle n|X^2|n\rangle = \frac{\hbar\omega}{2}\left(n + \frac{1}{2}\right).\end{aligned}\quad (25)$$

بنابراین متوسط انرژی جنبشی و متوسط انرژی پتانسیل بایکدیگر مساوی هستند.

این رابطه هم چنین نشان می دهد که میزان عدم قطعیت مکان و تکانه در هر ویژه حالت انرژی برابر است با:

$$\Delta X \Delta P = \hbar\left(n + \frac{1}{2}\right).\quad (26)$$

بنابراین میزان عدم قطعیت در حالت پایه به کمترین مقدار خود یعنی  $\frac{1}{2}\hbar$  می رسد. می توانیم ماتریس های مربوط به عملگرهای  $X$  و  $P$  را به طور کامل در پایه انرژی بنویسیم. بنابراین

$$\begin{aligned}\langle n|X|m\rangle &= \frac{1}{\sqrt{2}}\langle n|a + a^\dagger|m\rangle = \frac{1}{\sqrt{2}}(m\delta_{n,m-1} + (m+1)\delta_{n,m+1}) \\ \langle n|P|m\rangle &= \frac{1}{i\sqrt{2}}\langle n|a - a^\dagger|m\rangle = \frac{1}{i\sqrt{2}}(m\delta_{n,m-1} - (m+1)\delta_{n,m+1}).\end{aligned}\quad (27)$$

## ۲.۲ شکل ویژه حالت های انرژی در فضای مختصات

در این زیربخش می خواهیم شکل ویژه توابع انرژی را در پایه مختصات پیدا کنیم. قرار می دهیم

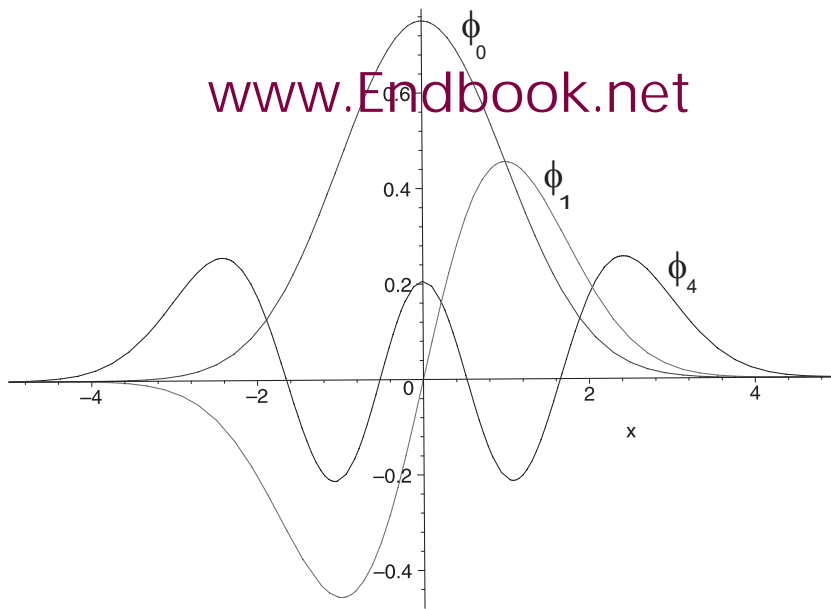
$$\psi_n(x) := \langle x|n\rangle.\quad (28)$$

از این که  $a|0\rangle = 0$  و  $a = \frac{1}{\sqrt{2}}(X + iP)$  نتیجه می گیریم که

$$\langle x|X + iP|0\rangle = 0\quad (29)$$

و یا

$$\left(x + \frac{d}{dx}\right)\psi_0(x) = 0\quad (30)$$



شکل ۱: ویژه حالت های  $\phi_0$ ،  $\phi_1$  و  $\phi_4$  برای نوسانگر هارمونیک.

حل این معادله کاملاً آسان است. براحتی معلوم می شود که

$$\phi_0(x) = Ae^{-\frac{x^2}{2}}. \quad (31)$$

که در آن  $A$  یک ثابت بهنجارش است. این ثابت بهنجارش از تقاضای  $\int_{-\infty}^{\infty} \psi_0(x)^2 dx = 1$  بدست می آید و مقدار آن برابر است با  $A = \pi^{-\frac{1}{4}}$ .

حال بقیه توابع موج را نیز می توانیم بدست آوریم. می دانیم که  $|n\rangle = \frac{1}{\sqrt{n!}} a^\dagger^n |0\rangle$  و  $a^\dagger = \frac{1}{\sqrt{2}}(X - iP)$  بنابراین خواهیم داشت

$$\phi_n(x) = \frac{1}{\sqrt{n!}} \left[ \frac{1}{\sqrt{2}} \left( x - \frac{d}{dx} \right) \right]^n \phi_0 = \frac{1}{\sqrt{n!} \sqrt{\pi}} \frac{1}{2^{\frac{n}{2}}} \left( x - \frac{d}{dx} \right)^n e^{-\frac{x^2}{2}}. \quad (32)$$

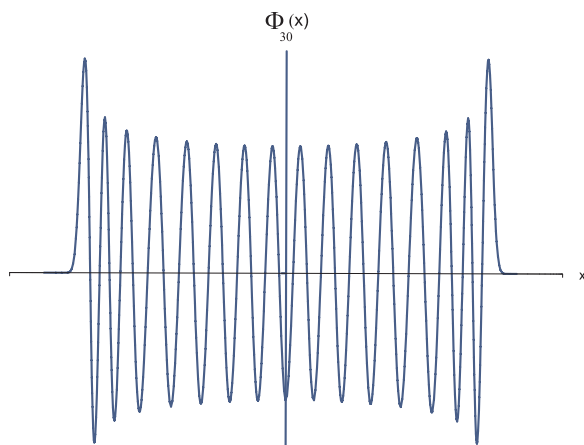
شکل توابع موج چند حالت برانگیخته اول عبارتند از:

$$\begin{aligned} \phi_1(x) &= \frac{1}{\pi^{\frac{1}{4}}} x e^{-\frac{x^2}{2}} \\ \phi_2(x) &= \frac{1}{\pi^{\frac{1}{4}}} \frac{2x^2 - 1}{\sqrt{6}} e^{-\frac{x^2}{2}} \\ \phi_3(x) &= \frac{1}{\pi^{\frac{1}{4}}} \frac{1}{6} x \sqrt{3} (2x^2 - 3) e^{-\frac{x^2}{2}} \\ &\dots \end{aligned} \quad (33)$$

در شکل ۱ چند تابع موج اولیه نوسانگر هارمونیک رسم شده اند. شکل های ۲ و ۳ نیز به ترتیب یک تابع موج با عدد کوانتومی بالا و مربع آن را که چگالی احتمال است نشان می دهند.

با اثر دادن متوالی عملگر  $(x - \frac{d}{dx})$  و جدا کردن ضرایب ثابت می بینیم که شکل کلی این توابع به صورت زیر است:

$$\phi_n(x) = \frac{1}{\pi^{\frac{1}{4}}} \frac{1}{\sqrt{2^n n!}} H_n(x) e^{-\frac{x^2}{2}}, \quad (34)$$



شکل ۲: ویژه حالت  $\phi_{30}$  برای نوسانگر هارمونیک.

که در آن  $H_n(x)$  یک چند جمله ای درجه  $n$  از  $x$  است. این چند جمله ای به چند جمله ای های هرمیت معروف هستند و خواص بسیار جالبی دارند. در زیر این خواص را مطالعه می کنیم. اما قبل از آن لازم است شکل ویژه توابع انرژی را در دستگاه واحد های استاندارد بنویسیم. برای این منظور می بایست هر جا که متغیر  $x$  داریم آن را بر یک پارامتر با بعد طول تقسیم کنیم یعنی جایگزینی  $x \rightarrow \xi x$  را که در آن  $\xi = \sqrt{\frac{m\omega}{\hbar}}$ ، انجام دهیم. هم چنین توجه می کنیم که تابع موج می بایست دارای بعد عکس جذر طول باشد بنابراین  $\phi_n$  را می بایست در  $\xi^{\frac{1}{2}}$  ضرب کنیم. در نتیجه شکل نهایی تابع موج عبارت خواهد بود از:

$$\phi_n(x) = \frac{1}{\pi^{\frac{1}{4}}} \frac{1}{\sqrt{2^n n!}} \xi^{\frac{1}{2}} H_n(\xi x) e^{-\frac{(\xi x)^2}{2}}. \quad (35)$$

باتوجه به روابط بالا می توانیم بینیم این چند جمله ای ها به صورت زیر تعریف می شوند:

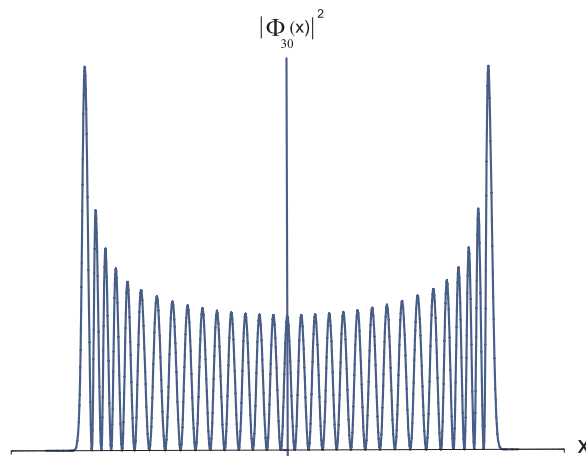
$$\left(x - \frac{d}{dx}\right)^n e^{-\frac{x^2}{2}} = H_n(x) e^{-\frac{x^2}{2}}. \quad (36)$$

و یا

$$H_n(x) = e^{\frac{x^2}{2}} \left(x - \frac{d}{dx}\right)^n e^{-\frac{x^2}{2}}. \quad (37)$$

با اعمال عملگر  $\left(x - \frac{d}{dx}\right)$  به طرفین رابطه 36 و کمی ساده کردن به رابطه زیر می رسیم

$$H_{n+1} = 2xH_n(x) - H'_n(x) \quad (38)$$



شکل ۳: چگالی احتمال برای ویژه حالت  $\phi_{30}$  برای نوسانگر هارمونیک.

ویا

$$H_{n+1} = \left(2x - \frac{d}{dx}\right)H_n(x). \quad (39)$$

بنابراین با توجه به این که  $H_0(x) = 1$ ، چند جمله ای های هرमित به صورت زیر بدست می آیند:

$$H_n(x) = \left(2x - \frac{d}{dx}\right)^n 1. \quad (40)$$

با استفاده از این رابطه می توانیم سرعت چند جمله ای های هرमित را به صورت زیر بدست آوریم:

$$\begin{aligned} H_0 &= 1, \\ H_1 &= 2x, \\ H_2 &= 4x^2 - 2 \\ H_3 &= 8x^3 - 12x, \\ H_4 &= 16x^4 - 48x^2 + 12, \\ &\dots \end{aligned} \quad (41)$$

از آنجا که حالت های  $|n\rangle$  متعامدیکه هستند نتیجه می گیریم که

$$\langle m|n\rangle \equiv \int dx \langle m|x\rangle \langle x|n\rangle = \int dx \phi_n(x) \phi_m(x) \quad (42)$$



و با جایگذاری عبارت های 34 در این رابطه

$$\int dx H_n(x) H_m(x) e^{-x^2} = \delta_{m,n} \sqrt{\pi} 2^n n!. \quad (43)$$

می توانیم برای این چند جمله ای ها یک تابع مولد مثل  $g(t, x)$  تعریف کنیم به قسمی که

$$g(t, x) = \sum_{n=0}^{\infty} \frac{t^n}{n!} H_n(x). \quad (44)$$

برای اینکه فرم تابع مولد را پیدا کنیم از رابطه 37 استفاده می کنیم و می نویسیم

$$g(t, x) = e^{\frac{x^2}{2}} \sum_{n=0}^{\infty} \frac{t^n}{n!} \left(x - \frac{d}{dx}\right)^n e^{-\frac{x^2}{2}} = e^{\frac{x^2}{2}} e^{t(x - \frac{d}{dx})} e^{-\frac{x^2}{2}}. \quad (45)$$

اما از اتحاد  $e^A e^B = e^{A+B + \frac{1}{2}[A, B]}$  برای عملگرهایی که  $[A, B]$  متناسب با واحد است استفاده می کنیم و می نویسیم

$$e^{t(x - \frac{d}{dx})} = e^{\frac{t^2}{2}} e^{tx} e^{-t \frac{d}{dx}}. \quad (46)$$

در نتیجه تابع مولد به شکل زیر درمی آید:

$$\begin{aligned} g(t, x) &= e^{\frac{x^2}{2}} e^{\frac{t^2}{2}} e^{tx} e^{-t \frac{d}{dx}} e^{-\frac{x^2}{2}} \\ &= e^{\frac{x^2}{2}} e^{\frac{t^2}{2}} e^{tx} e^{-\frac{1}{2}(x-t)^2} = e^{-t^2+tx}. \end{aligned} \quad (47)$$

بنابراین نشان داده ایم که

$$e^{-t^2+tx} = \sum_{n=0}^{\infty} \frac{t^n}{n!} H_n(x). \quad (48)$$

از این رابطه خواص بیشتری از چند جمله ای های هرمیت را می توان نتیجه گرفت. بعضی از این خواص ممکن است بطور مستقیم در محاسبات مربوط به درس مکانیک کوانتومی کاربرد نداشته باشند ولی دانستن آنها خالی از فایده نیست. در ضمیمه این درس بعضی از این خواص را بررسی خواهیم کرد.

### ۳ نوسانگر هماهنگ در میدان الکتریکی

ذره ای به جرم  $m$  و بار الکتریکی  $q$  که حول نقطه تعادلش با فرکانس  $\omega$  نوسان می کند در نظری می گیریم. این ذره را در میدان الکتریکی  $E$  قرار می دهیم. هدف ما یافتن ویژه توابع انرژی و مقادیر انرژی است. هامیلتونی این ذره به شکل زیر است:

$$H = \frac{P^2}{2m} + \frac{1}{2}m\omega^2 X^2 - qEX. \quad (49)$$

این هامیلتونی را می توان به شکل زیرنوشت:

$$H = \frac{P^2}{2m} + \frac{1}{2}m\omega^2 \left(X - \frac{qE}{m\omega^2}\right)^2 - \frac{q^2 E^2}{2m\omega^2}, \quad (50)$$

که چیزی نیست جز هامیلتونی یک نوسانگر هارمونیک که نقطه تعادل آن به اندازه  $\frac{qE}{m\omega^2}$  به سمت راست جابجا شده و انرژی کل آن نیز به اندازه مقدار ثابتی کم شده است. با تعریف پارامترهای  $\xi$  و  $E_0$  به شکل زیر

$$\xi := \frac{qE}{m\omega^2}, \quad E_0 := \frac{q^2 E^2}{2m\omega^2}, \quad (51)$$

هامیلتونی به این شکل درمی آید:

$$H = \frac{P^2}{2m} + \frac{1}{2}m\omega^2 (X - \xi)^2 - E_0. \quad (52)$$

عملگر زیر را در نظر می گیریم:

$$T_\xi := e^{-\frac{i}{\hbar}\xi P}. \quad (53)$$

این عملگر دارای خاصیت های زیر است:

$$T_\xi |x\rangle = |x + \xi\rangle, \quad T_\xi X T_\xi^{-1} = X - \xi. \quad (54)$$

بنابراین هرگاه هامیلتونی نوسانگر در غیاب میدان الکتریکی را با  $H_0$  نشان دهیم، معلوم می شود که  $H = T_\xi H_0 T_\xi^{-1} - E_0$ . در نتیجه هرگاه طیف  $T_\xi H_0 T_\xi^{-1}$  که به اختصار آن را با  $H_1$  نشان می دهیم معلوم شود، طیف  $H$  تنها با کم کردن مقدار  $E_0$  از انرژی های  $H_1$  یافته خواهد شد. پیدا کردن طیف  $H_1$  آسان است. داریم

$$H_1 = T_\xi H_0 T_\xi^{-1}. \quad (55)$$

در این صورت هرگاه  $|n\rangle$  یک ویژه حالت  $H_0$  باشد، یعنی هرگاه  $H_0 |n\rangle = E_n |n\rangle$ ، آنگاه با تعریف

$$|\phi_n\rangle = T_\xi |n\rangle, \quad (56)$$

خواهیم داشت

$$H_1|\phi_n\rangle = T_\xi H_0 T_\xi^{-1}(T_\xi|n\rangle) = T_\xi H_0|n\rangle = E_n|\phi_n\rangle. \quad (57)$$

یعنی  $|\phi_n\rangle$  نیز یک ویژه حالت  $H_1$  با همان انرژی خواهد بود. این تناظر یک به یک است. با توجه به اینکه  $E_n = \hbar\omega(n + \frac{1}{2})$  نهایتاً خواهیم داشت:

$$H|\phi_n\rangle = [\hbar\omega(n + \frac{1}{2}) - E_0]|\phi_n\rangle. \quad (58)$$

برای آنکه شکل تابع موج  $|\phi_n\rangle$  را در فضای مختصات تعیین کنیم به رابطه زیر توجه می کنیم:

$$\phi_n(x) = \langle x|\phi_n\rangle = \langle x|T_\xi|n\rangle = \langle x - \xi|n\rangle = \psi_n(x - \xi), \quad (59)$$

یعنی هر ویژه تابع  $H$  چیزی نیست جز ویژه تابع متناظر  $H_0$  که به اندازه  $\xi$  به سمت راست جابجاشده است.

## ۴ حالت های همدوس

از نظر ریاضی حالت همدوس یا *Coherent State* به حالتی گفته می شود که ویژه بردار عملگر پایین برنده  $a$  باشد. از آنجا که عملگر  $a$  هرمیتی نیست ویژه مقدار آن نیز الزاماً حقیقی نیست به همین جهت ویژه مقدار آن را با  $z$  یعنی یک عدد مختلط و ویژه بردار آن را با  $|z\rangle$  نشان می دهیم و می نویسیم

$$a|z\rangle = z|z\rangle. \quad (60)$$

یک راه برای آنکه این ویژه بردار را پیدا کنیم آن است که  $|z\rangle$  را بر حسب حالت های پایه بسط دهیم و با مقایسه ضرایب بسط در دو طرف رابطه بالا آنها را بدست آوریم. راه بهتر استفاده از اتحاد زیر است:

$$e^{-za^\dagger} a e^{za^\dagger} = a + z. \quad (61)$$

این اتحاد براحتی با استفاده از لم هاسدورف ثابت می شود. حال بردار  $|z\rangle$  را به صورت زیر تعریف می کنیم:

$$|z\rangle := A e^{za^\dagger} |0\rangle. \quad (62)$$

که در آن  $A$  یک ضریب بهنجارش است. روی دوطرف عملگر  $a$  را اثر داده و از رابطه 61 استفاده می کنیم. بدست می آوریم

$$a|z\rangle = Aae^{za^\dagger}|0\rangle = Ae^{za^\dagger}(a+z)|0\rangle = z|z\rangle. \quad (63)$$

بنابراین  $|z\rangle$  یک حالت همدوس است. واضح است که  $|z\rangle$  بسط زیر را بر حسب حالت های پایه انرژی دارد.

$$|z\rangle := A \sum_{n=0}^{\infty} \frac{z^n}{\sqrt{n!}} |n\rangle. \quad (64)$$

با استفاده از این بسط می فهمیم که

$$1 = \langle z|z\rangle = A^2 \sum_{n=0}^{\infty} |z|^{2n} \frac{1}{n!} = A^2 e^{|z|^2}. \quad (65)$$

بنابراین برای آنکه حالت همدوس بهنجار باشد  $A$  را برابر با  $e^{-\frac{|z|^2}{2}}$  انتخاب می کنیم:

$$|z\rangle = e^{-\frac{|z|^2}{2}} e^{za^\dagger} |0\rangle. \quad (66)$$

نکته مهمی که باید به آن توجه کنیم آن است که حالت های همدوس بریکدیگر عمود نیستند. در واقع تکرار همان محاسبه ای که برای تعیین ثابت بهنجارش انجام دادیم نشان می دهد که

$$\langle z|w\rangle = e^{-\frac{|z|^2}{2}} e^{-\frac{|w|^2}{2}} \sum_{n=0}^{\infty} \frac{1}{n!} (\bar{z}w)^n = e^{-\frac{|z|^2}{2} - \frac{|w|^2}{2} + \bar{z}w}. \quad (67)$$

حال از خود می پرسیم که در این حالت هامتوسط مکان و تکانه ذره چقدر است. براحتی معلوم می شود:

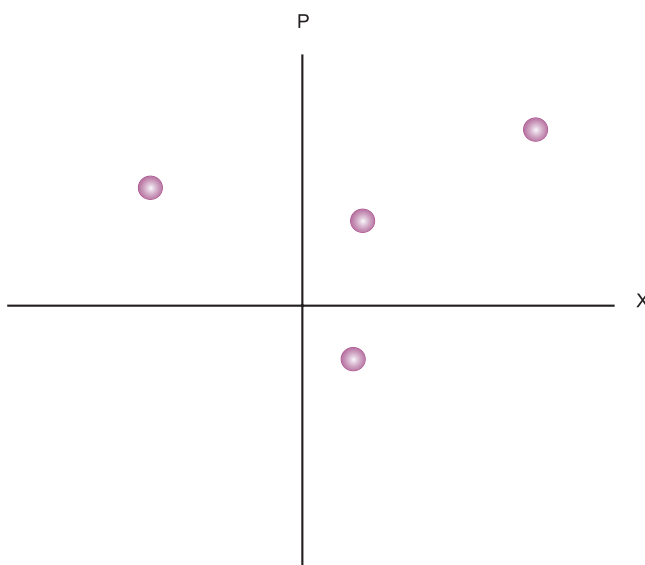
$$\langle z|X|z\rangle = \langle z|\frac{1}{\sqrt{2}}(a+a^\dagger)|z\rangle = \frac{1}{\sqrt{2}}(z+\bar{z}), \quad \langle z|P|z\rangle = \langle z|\frac{1}{i\sqrt{2}}(a-a^\dagger)|z\rangle = \frac{1}{i\sqrt{2}}(z-\bar{z}). \quad (68)$$

بنابراین اگر  $z$  را به صورت زیر بنویسیم

$$z = \frac{1}{\sqrt{2}}(x+ip) \quad (69)$$

آنگاه خواهیم داشت

$$\langle z|X|z\rangle = x, \quad \langle z|P|z\rangle = p. \quad (70)$$



شکل ۴: چند حالت همدوس در صفحه مختلط.

بنابراین هر حالت  $|z\rangle = \frac{1}{\sqrt{2}}(x + ip)$  حالتی است که متوسط مکان و تکانه آن به ترتیب برابرند با  $x$  و  $p$ . حال میزان عدم یقین در مکان و تکانه را حساب می کنیم. داریم

$$\begin{aligned} \langle z|X^2|z\rangle &= \frac{1}{2}\langle z|(a + a^\dagger)^2|z\rangle = \frac{1}{2}(z + \bar{z})^2 + \frac{1}{2} = \langle z|X|z\rangle^2 + \frac{1}{2} \\ \langle z|P^2|z\rangle &= \frac{-1}{2}\langle z|(a - a^\dagger)^2|z\rangle = \frac{-1}{2}(z - \bar{z})^2 + \frac{1}{2} = \langle z|P|z\rangle^2 + \frac{1}{2}. \end{aligned} \quad (71)$$

پس پیدا کردیم که برای یک حالت همدوس همواره روابط زیر برقرارند:

$$(\Delta X)^2 = \frac{1}{2}, \quad (\Delta P)^2 = \frac{1}{2}, \quad \Delta X \Delta P = \frac{1}{2}. \quad (72)$$

بنابراین حالت های همدوس حالت هایی هستند که کمترین میزان عدم یقین را دارند و مستقل از اینکه تکانه متوسط و یا مکان متوسط آنها چقدر است همواره میزان عدم یقین آنها در کمترین مقدار خود یعنی  $\frac{1}{2}$  یا در واحد های استاندارد برابر با  $\frac{\hbar}{2}$  قرار دارد. شکل ۴ به طور شماتیک چند حالت همدوس را نشان می دهد. فاصله هر دایره از مرکز مقدار متوسط  $X$  و  $P$  آن حالت را نشان می دهد. شعاع تمام دایره ها یکسان است و نشان دهنده آن است که عدم یقین همه این حالت ها با هم برابر است مستقل از اینکه مقدار متوسط مکان و تکانه آنها چقدر است.

حال سوال می کنیم تابع موج یک حالت همدوس  $|z\rangle$  در فضای مختصات یا تکانه چیست. برای این کار بازم به تعریف مراجعه می کنیم. مطابق تعریف داریم

$$\psi_z(x) := \langle x|z\rangle. \quad (73)$$

باتوجه به اینکه  $a|z\rangle = z|z\rangle$  و این موضوع که  $a = \frac{1}{\sqrt{2}}(X + iP)$  و رابطه فوق می فهمیم که

$$\frac{1}{\sqrt{2}}(x + \partial_x)\psi_z(x) = z\psi_z(x). \quad (74)$$

این معادله دیفرانسیل بسادگی حل می شود. بدست می آوریم

$$\psi_z(x) = Ae^{\sqrt{2}zx - \frac{1}{2}x^2}, \quad (75)$$

که در آن  $A$  یک ثابت است. هرگاه  $z$  را به صورت  $z = \frac{1}{\sqrt{2}}(x_0 + ip_0)$  بنویسیم این تابع موج شکل گویایی پیدامی کند:

$$\psi_z(x) = A'e^{ip_0x - \frac{1}{2}(x-x_0)^2}, \quad (76)$$

که نشان دهنده یک بسته موج گاوسی بامرکز  $x_0$  و پهنای ۱ است که باتکانه  $p_0$  درحال حرکت است. هم چنین می توانیم شکل تابع موج را در فضای تکانه بدست بیاوریم (یا بااستفاده از تبدیل فوریه و یا دوباره بااستفاده ازتعریف). نتیجه به صورت زیراست:

$$\tilde{\psi}_z(p) = A'e^{-ix_0p - \frac{1}{2}(p-p_0)^2}, \quad (77)$$

که بازهم نشان دهنده یک تابع گاوسی به مرکز  $p_0$  باپهنای ۱ است.

باگذشت زمان و تحت هامیلتونی نوسانگرهارمونیک، یک حالت همدوس چگونه تحول پیدامی کند؟ فرض کنید که در لحظه صفر ذره در یک حالت همدوس مثل  $|z\rangle$  قرارگرفته باشد. دراین صورت بعداززمان  $t$  حالت ذره عبارت خواهد بوداز:

$$|\psi(t)\rangle = e^{-iHt}|\psi(0)\rangle = e^{-iHt}|z\rangle. \quad (78)$$

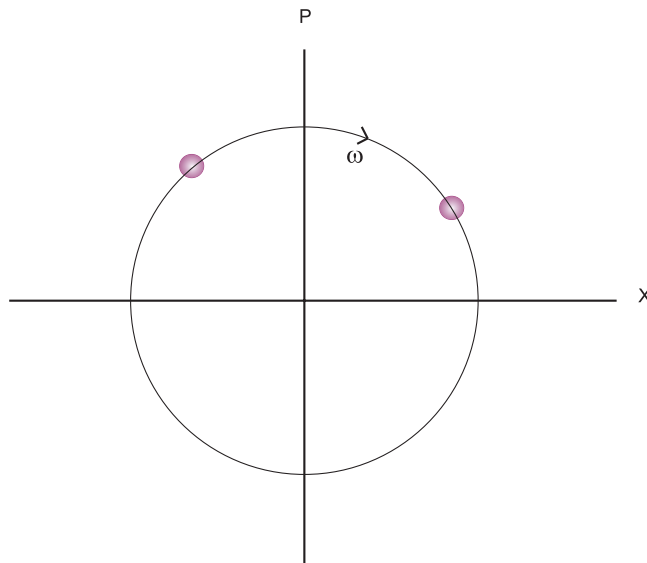
برای محاسبه طرف راست حالت همدوس را برحسب ویژه های هامیلتونی بسط می دهیم

$$|\psi(t)\rangle = e^{-iHt}A \sum_{n=0}^{\infty} \frac{z^n}{\sqrt{n!}}|n\rangle = A \sum_{n=0}^{\infty} \frac{z^n}{\sqrt{n!}} e^{-i(\omega(n+\frac{1}{2}))t}|n\rangle \quad (79)$$

حال اگر به بسط یک حالت همدوس یعنی رابطه 64 دقت کنیم، درمی یابیم که طرف راست یک حال همدوس است:

$$\begin{aligned} |\psi(t)\rangle &= e^{-i(\frac{\omega t}{2})}A \sum_{n=0}^{\infty} \frac{(ze^{-i\omega t})^n}{\sqrt{n!}}|n\rangle \\ &= e^{-i(\frac{\omega t}{2})}|ze^{-i\omega t}\rangle. \end{aligned} \quad (80)$$

بنابراین یک حالت همدوس درطول زمان حول مبدأ باسرعت زاویه ای  $\omega$  می چرخد. خاصیت بسیارمهم این تحول آن است که میران پاشندگی مکان و تکانه آن نیز تغییر نمی کند. این خاصیت کاملاً جالب توجه است زیرا معمولاً یک توابع موج چه



شکل ۵: تحول یک حالت همدوس تحت هامپلتونی نوسانگرهارمونیک.

در فضای تکانه، چه در فضای مختصات باگذشت زمان پهن می شوند. در مورد ذره آزاد و پهن شدگی تابع موج آن در فضای مختصات، خواننده این خاصیت را قبلاً در تمرین ها دیده است.

شکل ۵ تحول یک حالت همدوس را نشان می دهد.

#### ۱.۴ رابطه کامل بودن حالت های همدوس

در پایان این بخش می بایست رابطه کامل بودن حالت های همدوس را مطالعه کنیم. دیدیم که حالت های همدوس بریکدیگر عمود نبودند. آیا حالت های همدوس کامل هستند؟ آیا رابطه ای مثل رابطه  $\int d^2z |z\rangle\langle z| = I$  برقرار است؟ برای تحقیق درستی این رابطه، عملگر طرف چپ را روی حالت پایه  $|n\rangle$  اثر می دهیم. جزئیات این محاسبه را به عهده تمرین ها می گذاریم. نتیجه آن است که رابطه کامل بودن به شکل زیر برقرار است:

$$\frac{1}{\pi} \int d^2z |z\rangle\langle z| = I. \quad (81)$$

حقیقت آن است که حالت های همدوس یک پایه فوق کامل تشکیل می دهند، به این معنا که می توان زیرمجموعه هایی از آنها انتخاب کرد و هنوز هم بتوان هر حالت دلخواهی را برحسب آنها بسط داد.

دیدیم که برای یک حالت های همدوس، عدم یقین در مکان و در تکانه به طور متقارن در کمینه خود قرار گرفته است به طوریکه رابطه  $\Delta X \Delta P = \frac{\hbar}{2}$  برقرار است. متقارن بودن این عدم یقین در دایره هایی که برای نشان دادن این حالت هادشکل ۴ بکار برده ایم نشان داده شده است. حالت های فشرده حالت هایی هستند که این تقارن در آنها زین رفته است و عدم یقین در یک مختصه به بهای افزایش در عدم یقین مختصه دیگر کاهش یافته است. به همین دلیل به آنها حالت های فشرده می گوئیم.

## ۵ دو نوسانگر جفت شده به هم

هسته های یک مولکول دواتمی مثل هیدروژن هرکدام حول نقطه تعادل خود نوسان می کنند. علاوه براین، این دو هسته می توانند به یکدیگر نیز یک نیروی ارتعاشی وارد کنند. هامیلتونی چنین سیستمی به شکل زیر خواهد بود:

$$H = \frac{1}{2}P_1^2 + \frac{1}{2}X_1^2 + \frac{1}{2}P_2^2 + \frac{1}{2}X_2^2 + \frac{1}{2}\omega^2(X_1 - X_2)^2. \quad (82)$$

می خواهیم طیف این هامیلتونی را پیدا کنیم. روشی که برای این سیستم ساده به کار می بریم در مورد تمام سیستم های چند ذره ای که با پتانسیل های مربعی بایکدیگر برهم کنش می کنند نیز به کار می رود. نخست هامیلتونی را به شکل ماتریسی زیر می نویسیم:

$$H = \frac{1}{2}P^T P + \frac{1}{2}X^T A X \quad (83)$$

که در آن  $A$  ماتریس متقارن زیر است

$$A = \begin{pmatrix} 1 + \omega^2 & -\omega^2 \\ -\omega^2 & 1 + \omega^2 \end{pmatrix}. \quad (84)$$

می دانیم که ماتریس متقارن  $A$  بایک تبدیل متعامد قطری می شود، یعنی ماتریس متعامدی مثل  $S$  وجود دارد به قسمی که  $SAS^T = D$  که در آن  $D$  یک ماتریس قطری است. با توجه به متعامد بودن  $S$  یعنی این خاصیت که  $S^T S = I$  می توان نوشت  $A = S^T D S$ . در نتیجه هامیلتونی را می توانیم به شکل زیر بنویسیم کنیم

$$H = \frac{1}{2}P^T S^T S P + \frac{1}{2}X^T S^T D S X \quad (85)$$

با تغییر متغیری به صورت

$$\tilde{P} = S P, \quad \tilde{X} = S X, \quad (86)$$

و توجه به قطری بودن  $D$  این هامیلتونی به شکل ماتریسی زیر نوشته می شود:

$$H = \frac{1}{2}\tilde{P}^T \tilde{P} + \frac{1}{2}\tilde{X}^T D \tilde{X}, \quad (87)$$

و یا



$$H = \frac{1}{2}\tilde{P}_1^2 + \frac{1}{2}\tilde{P}_2^2 + \frac{1}{2}\omega_1^2\tilde{X}_1^2 + \frac{1}{2}\omega_2^2\tilde{X}_2^2, \quad (88)$$

که در آن  $\omega_1^2$  و  $\omega_2^2$  عناصر روی قطری ماتریس  $D$  هستند. می بایست به دونکته مهم توجه کنیم. اول اینکه متغیرهای جدید در همان روابط تعویضگری کانونیک صدق می کنند، یعنی

$$[\tilde{X}_i, \tilde{X}_j] = [\tilde{P}_i, \tilde{P}_j] = 0 \quad [\tilde{X}_i, \tilde{P}_j] = i\hbar\delta_{ij}. \quad (89)$$

دلیل این امر متعامد بودن ماتریس  $S$  است.

دوم اینکه ماتریس  $A$  یک ماتریس مثبت است بنابراین ویژه مقادیرهای آن یعنی عناصر روی قطر  $D$  می بایست مثبت باشند. در مثال فعلی خواننده می توان مثبت بودن ماتریس  $A$  را با یک محاسبه ساده بیازماید. در حالت کلی مثبت بودن این ماتریس برای آنکه انرژی سیستم از پایین محدود باشد لازم است.

رابطه 88 نشان می دهد که برحسب متغیرهای جدید هامیلتونی نشان دهنده دونوسانگر مستقل از هم است که طیف آن را براحتی می توانیم بدست بیاوریم. کافی است که عملگرهای زیر را تعریف کنیم:

$$\begin{aligned} a_1 &:= \frac{1}{\sqrt{2\omega_1}}(\omega_1\tilde{X}_1 + i\tilde{P}_1) & a_2 &:= \frac{1}{\sqrt{2\omega_2}}(\omega_2\tilde{X}_2 + i\tilde{P}_2) \\ a_1^\dagger &:= \frac{1}{\sqrt{2\omega_1}}(\omega_1\tilde{X}_1 - i\tilde{P}_1) & a_2^\dagger &:= \frac{1}{\sqrt{2\omega_2}}(\omega_2\tilde{X}_2 - i\tilde{P}_2). \end{aligned} \quad (90)$$

باتوجه به روابط 89 این عملگرها در روابط زیر صدق می کنند:

$$[a_1, a_1^\dagger] = [a_2, a_2^\dagger] = 1 \quad (91)$$

ضمناً هر دو عملگری بانندیس متفاوت با یکدیگر جابجایی شوند که تاییدی است بر مستقل بودن دونوسانگری که برحسب متغیرهای جدید تعریف شده اند.

برحسب این عملگرها هامیلتونی عبارت خواهد بود از

$$H \equiv H_1 + H_2 = \omega_1(a_1^\dagger a_1 + \frac{1}{2}) + \omega_2(a_2^\dagger a_2 + \frac{1}{2}). \quad (92)$$

طیف این هامیلتونی به صورت زیر است:

$$H|n_1, n_2\rangle = E_{n_1, n_2}|n_1, n_2\rangle, \quad E_{n_1, n_2} = \omega_1(n_1 + \frac{1}{2}) + \omega_2(n_2 + \frac{1}{2}). \quad (93)$$

در این رابطه حالت  $|n_1, n_2\rangle$ ، حالت زیراست

$$|n_1, n_2\rangle = \frac{1}{\sqrt{n_1!n_2!}} a_1^{\dagger n_1} a_2^{\dagger n_2} |0, 0\rangle, \quad (94)$$

که در آن

$$a_1|0, 0\rangle = a_2|0, 0\rangle = 0. \quad (95)$$

یادآوری می‌کنیم که حالت  $|n_1, n_2\rangle$  چیزی نیست جز ضرب تانسوری دو حالت  $|n_1\rangle$  و  $|n_2\rangle$  که در ابتدای درس با آنها آشنا شده ایم.

تابع موج دودره وقتی که سیستم در یک ویژه حالت انرژی مثل  $|n_1, n_2\rangle$  قرار دارد برحسب مختصات کلاه دار به صورت زیر خواهد بود:

$$\begin{aligned} \psi_{n_1, n_2}(\tilde{x}_1, \tilde{x}_2) &= \langle \tilde{x}_1, \tilde{x}_2 | n_1, n_2 \rangle = \langle \tilde{x}_1 | n_1 \rangle \langle \tilde{x}_2 | n_2 \rangle \\ &= H_{n_1}(\tilde{x}_1) e^{-\frac{\tilde{x}_1^2}{2}} H_{n_2}(\tilde{x}_2) e^{-\frac{\tilde{x}_2^2}{2}} \end{aligned} \quad (96)$$

بررسی بقیه این موضوع را به تمرین‌ها واگذار می‌کنیم.

## ۶ ضمیمه: خواص چند جمله‌ای هرمیت

در متن درس دیدیم که چند جمله‌ای‌های هرمیت با تابع مولد زیر تعریف می‌شوند:

$$g(x, t) = e^{-t^2+tx} = \sum_{n=0}^{\infty} \frac{H_n(x)}{n!} t^n. \quad (97)$$

از این تعریف می‌توان بسیاری از خواص چند جمله‌ای‌های هرمیت را نتیجه گرفت. بعضی از این خواص به شرح زیر هستند:

$$\text{الف: } H_0(x) = 1$$

کافی است که در دو طرف رابطه 48، قرار دهیم  $t = 0$ .

ب: توابع هرمیت دارای پارینته مشخص هستند. به عبارت بهتر

$$H_n(-x) = (-1)^n H_n(x). \quad (98)$$

برای اثبات این کافی است که در تابع مولد  $t$  و  $x$  را به  $-t$  و  $-x$  تبدیل کنیم و با بسط اولیه مقایسه کنیم.

ج: در نقطه صفر چند جمله ای های هرمیت مقادیر زیر را دارند:

$$H_{2n+1} = 0, \quad H_{2n}(0) = (-1)^n \frac{(2n)!}{n!}. \quad (99)$$

برای اثبات این رابطه کافی است که در تابع مولد مقدار  $x$  را مساوی صفر قرارداد و بسط دو طرف را در رابطه 48 بایکدیگر مقایسه کرد.

د: به ازای تمام توابع هرمیت رابطه زیر برقرار است:

$$H'_n(x) = 2nH_{n-1}(x). \quad (100)$$

کافی است که از طرفین 48 نسبت به  $x$  مشتق بگیریم و طرفین را باهم مقایسه کنیم.

ه: به ازای تمام توابع هرمیت رابطه تکرار زیر برقرار است:

$$H_{n+1}(x) = 2xH_n(x) - 2nH_{n-1}(x). \quad (101)$$

کافی است که از طرفین 48 نسبت به  $t$  مشتق بگیریم و طرفین را باهم مقایسه کنیم.

د: چند جمله ای های هرمیت در معادله دیفرانسیل زیر صدق می کنند:

$$\left(\frac{d^2}{dx^2} - 2x\frac{d}{dx} + 2n\right)H_n(x) = 0 \quad (102)$$

برای اثبات این رابطه با استفاده از 100 رابطه تکرار 101 را به شکل زیر می نویسیم

$$H_{n+1} = 2xH_n - H'_n \longrightarrow H_n = 2xH_{n-1} - H'_{n-1}. \quad (103)$$

حال به جای توابع طرف راست از رابطه تکرار 100 جایگذاری می کنیم و بدست می آوریم

$$H_n = x\frac{1}{n}H'_n - \frac{1}{2n}H''_n \quad (104)$$

که پس از مرتب کردن به شکل معادله دیفرانسیل یاد شده درمی آید.

## درس نهم: اندازه حرکت زاویه ای و تقارن دورانی در دو بعد

در درس گذشته با سه مفهوم مرتبط با تقارن آشنا شدیم، اول اینکه تبدیل تقارنی چیست؟ دوم اینکه تبدیل تقارنی در فضای هیلبرت چگونه نمایش داده می شود، و بالاخره اینکه متقارن بودن یک سیستم فیزیکی به چه معناست و چه نتایجی در بردارد. در این درس می خواهیم به یکی از مهمترین تقارن ها یعنی تقارن دورانی در دو بعد بپردازیم. نخست ذره ای در نظر می گیریم که در یک صفحه دوبعدی حرکت می کند و هامیلتونی آن تحت دوران حول یک محور عمود بر این صفحه متقارن است. هرگاه محوری که تقارن دورانی حول آن وجود دارد محور  $z$  باشد، مولفه سوم تکانه زاویه ای مولد دوران خواهد بود. بنابراین مطابق با آنچه که در فصل پیشین دیدیم رابطه زیر برقرار است:

$$[L_z, H] = 0, \quad (1)$$

به عبارت دیگر هامیلتونی با مولفه سوم تکانه زاویه ای که مولد دوران است جابجایی می شود. (به عنوان یک تمرین خواننده می تواند صحت تساوی بالا را تحقیق کند.) در اینجا بهتر است بیشتر با خواص تکانه زاویه ای در دو بعد آشنا شویم.

### ۱ تکانه زاویه ای در دو بعد

برای ذره ای که در دو بعد حرکت می کند یک مشاهده پذیر مهم اندازه حرکت زاویه ای است. این مشاهده پذیر با عملگر همیتی زیر تعریف می شود:

$$L_z := XP_y - YP_x. \quad (2)$$

در پایه مختصات این عملگر به صورت زیر درمی آید

$$L_z = XP_y - YP_x = -i\left(x\frac{\partial}{\partial y} - y\frac{\partial}{\partial x}\right) = -i\frac{\partial}{\partial\theta}, \quad (3)$$

که در تساوی آخر مختصات قطبی به کار رفته است.

خوب است که تعویض گرتکانه زاویه ای را با مولفه های مکان و تکانه پیدا کنیم. محاسبه ساده ای نشان می دهد که روابط زیربرقرارند:

$$[L_z, X] = i\hbar Y, \quad [L_z, Y] = -i\hbar X, \quad (4)$$

و

$$[L_z, P_x] = i\hbar P_y, \quad [L_z, P_y] = -i\hbar P_x. \quad (5)$$

هم چنین یک محاسبه ساده نشان می دهد که:

$$[L_z, \vec{r} \cdot \vec{r}] = [L_z, r^2] = 0, \quad [L_z, \vec{P} \cdot \vec{P}] = [L_z, P^2] = 0. \quad (6)$$

علاوه براین براحتی می توان نشان داد که رابطه زیربرقرار است:

$$L_z^2 = r^2 P^2 - (\vec{r} \cdot \vec{P})^2, \quad (7)$$

$$P^2 = P_x^2 + P_y^2 \text{ و } r^2 = X^2 + Y^2$$

## ۱.۱ طیف تکانه زاویه ای

در این بخش می خواهیم ویژه مقادیرها و ویژه توابع تکانه زاویه ای را پیدا کنیم. می دانیم که در پایه مختصات و برحسب مختصات قطبی تکانه زاویه ای به صورت  $L_z = \frac{\hbar}{i} \frac{\partial}{\partial \theta}$  درمی آید. بنابراین معادله ویژه مقداری برای این عملگر به صورت زیرنوشته می شود:

$$\frac{\hbar}{i} \frac{\partial}{\partial \theta} \phi(r, \theta) = \lambda \phi(r, \theta). \quad (8)$$

از آنجا که عملگر به  $r$  بستگی ندارد نتیجه می گیریم که اگر  $\chi(\theta)$  یک ویژه تابع  $L$  باشد، آنگاه  $\phi(r, \theta) = f(r)\chi(\theta)$  برای  $f$  دلخواه نیز یک ویژه تابع تکانه زاویه ای است. بنابراین طیف تکانه زاویه ای یک واگنی بی نهایت بعدی دارد. توجه خود را به تابع  $\chi(\theta)$  معطوف می کنیم. معادله دیفرانسیل مربوطه به صورت ساده زیر درمی آید

$$\frac{\hbar}{i} \frac{d}{d\theta} \chi(\theta) = \lambda \chi(\theta), \quad (9)$$

که حل آن بسادگی تعیین می شود:  $\chi(\theta) = Ae^{\frac{i\lambda}{\hbar}\theta}$  که در آن  $A$  یک ثابت است. از آنجا که تابع  $\chi(\theta)$  می بایست تک مقداری باشد یعنی در شرط  $\chi(\theta) = \chi(\theta + 2\pi)$  صدق کند معلوم می شود که  $\lambda$  تنها مقادیر مشخصی را می بایست اختیار کند. در واقع می بایست داشته باشیم

$$\lambda = \hbar m, \quad \chi_m(\theta) = Ae^{im\theta}, \quad \rightarrow \quad \phi(r, \theta) = f(r)e^{im\theta}. \quad (10)$$

رابطه اخیر نشان می دهد که مقادیر تکانه زاویه ای یک ذره در دو بعد تنها می توانند مضرب صحیحی از  $\hbar$  باشند. هم چنین در فضای توابع روی صفحه دو بعدی  $(r, \theta)$  این ویژه مقدار واگنی بی نهایت بعدی دارد، اما در فضای توابع روی یک دایره واگنی وجود ندارد.

در اینجا برای اولین بار با کوانتش تکانه زاویه ای مواجه می شویم که بطور تاریخی نخستین بار به صورت اصل موضوع در مدل اتمی بوهر پیشنهاد شد.

حال که با تکانه زاویه ای و طیف آن آشنا شده ایم می خواهیم ببینیم چگونه وجود تقارن دورانی در دو بعدی می تواند به حل معادله شرودینگر کمک کند.

## ۲ حل معادله شرودینگر برای پتانسیل هایی که دارای تقارن دورانی دو بعدی هستند

هرگاه پتانسیل فقط به اندازه  $r$  از مبدأ بستگی داشته باشد، هامیلتونی دارای تقارن کروی است. چنین هامیلتونی دارای فرم زیر است

$$\frac{P^2}{2m} + V(r). \quad (11)$$

دقت کنید که جرم ذره را با  $m$  نشان داده ایم.

بنابر روابط 6 داریم

$$[L_z, H] = 0, \quad (12)$$

به عبارت دیگر هامیلتونی با عملگری که مولد دوران است جابجایی می شود. حال می بایست از این تقارن استفاده کنیم. نخستین استفاده ای که می کنیم آن است که می توانیم طیف مشترک هامیلتونی و عملگردوران را پیدا کنیم. می دانیم که

طیف  $L$  ساده است، هرتابعی به صورت  $f(r)e^{in\theta}$  یک ویژه تابع  $L$  با مقدار ویژه  $n\hbar$  است. از رابطه 7 نیز استفاده می کنیم و در هامیلتونی  $P^2$  را برحسب تکانه زاویه ای می نویسیم. نتیجه به صورت زیردرمی آید:

$$H = \frac{1}{2m} \left( \frac{L_z^2 + (\vec{r} \cdot \vec{P})^2}{r^2} \right) + V(r) \quad (13)$$

و یا در پایه مختصات و باتوجه به اینکه  $\vec{r} \cdot \vec{P} = \frac{\hbar}{i} r \partial_r$  و باقراردادن  $\hbar = 1$ ،

$$H = \frac{1}{2m} \left( \frac{-\partial_\theta^2 - (r\partial_r)^2}{r^2} \right) + V(r) \quad (14)$$

حال اثر  $H$  روی هر ویژه تابع تکانه زاویه ای به فرم  $\phi(r, \theta) = f(r)e^{in\theta}$  به صورت زیردرمی آید:

$$H f(r)e^{in\theta} = \left[ \frac{1}{2m} \left( \frac{(n^2 - (r\partial_r)^2)}{r^2} \right) + V(r) \right] f(r)e^{in\theta} \quad (15)$$

بنابراین تابع  $\phi_{E,n}(r, \theta) = f_{E,n}(r)e^{in\theta}$  ویژه تابع هامیلتونی با ویژه مقدار  $E$  نیز هست اگر  $f_{E,n}(r)$  در معادله زیر صدق کند:

$$-\frac{1}{2m} \left( \frac{d^2 f}{dr^2} + \frac{1}{r} \frac{df}{dr} \right) + V_{eff}(r) f_{E,n}(r) = E f_{E,n}(r) \quad (16)$$

که در آن

$$V_{eff}(r) = V(r) + \frac{n^2}{2mr^2}, \quad (17)$$

پتانسیل موثر خوانده می شود که در آن جمله  $\frac{n^2}{2mr^2}$  نشان دهنده تمایل حالت هایی با اندازه حرکت غیر صفر به دور شدن از مرکز است. این معادله معادله شعاعی شرودینگر نامیده می شود.

تذکر: دقت کنید که این موضوع که تابع موج به صورت  $f_{E,n}(r)e^{in\theta}$  نوشته شده است این امر را انعکاس می دهد که ما توانسته ایم ویژه حالت های مشترک انرژی و تکانه زاویه ای را معین کنیم. از این به بعد تنها برای سادگی نوشتاری از نوشتن شاخص های  $E, n$  برای  $f$  مگر در مواقع ضروری اجتناب می کنیم.

می توانیم این معادله را به شکل دیگری نیز بنویسیم که شباهت آن به معادله شرودینگر یک بعدی بیشتر شود. برای این کار تابع  $f(r)$  را به شکل  $f(r) =: \frac{u(r)}{r^{\frac{1}{2}}}$  می گیریم. یک محاسبه ساده نشان می دهد که برحسب  $u(r)$  معادله شعاعی به شکل زیردرمی آید:

$$\left[ \frac{-1}{2m} \partial_r^2 + \tilde{V}_{eff}(r) \right] u(r) = E u(r). \quad (18)$$

که در آن پتانسیل موثر این باره شکل زیر درمی آید

$$\tilde{V}_{eff}(r) = V(r) + \frac{n^2 - \frac{1}{4}}{2mr^2}. \quad (19)$$

### ۳ ذره آزاد در دو بعد

نخستین و مهمترین مثالی را که باید بررسی کنیم، ذره آزاد است. در درسهای گذشته دیدیم که هامیلتونی یک ذره آزاد به صورت  $H = \frac{P^2}{2m}$  است. در این بخش ویژه حالت های این هامیلتونی را بدست می آوریم. نوع این ویژه حالت ها بستگی دارد به این که ما ویژه حالت های هامیلتونی را با کدام یک از مشاهده پذیرهای دیگری که با آن جابجا می شوند پیدا می کنیم.

#### ۱.۳ امواج تخت

هامیلتونی ذره آزاد را در نظر می گیریم.

$$H = \frac{1}{2m} P^2 = \frac{1}{2m} (P_x^2 + P_y^2). \quad (20)$$

این هامیلتونی با مشاهده پذیرهای  $P_x$  و  $P_y$  یا به عبارت بهتر با مشاهده پذیر تکانه  $\mathbf{P}$  جابجایی می شود. حالت های  $|\vec{p}\rangle = |p_x, p_y\rangle$  که تابع موج فضایی آنها به شکل امواج تخت

$$\psi_{\vec{p}}(\vec{x}) = \frac{1}{2\pi\hbar} e^{i\frac{1}{\hbar}\vec{p}\cdot\vec{x}} \quad (21)$$

است ویژه حالت مشترک مشاهده پذیرهای  $P_x$  و  $P_y$  و در نتیجه  $H$  است. یادآوری می کنیم که  $H$  یک مشاهده پذیر مستقل از  $P_x$  و  $P_y$  نیست و بر حسب آنها نوشته می شود.

این ویژه حالت ها یک پایه برای فضای هیلبرت یک ذره تشکیل می دهند و ما می توانیم هر حالت دیگری از این فضای هیلبرت را بر حسب آنها بسط دهیم.

#### ۲.۳ امواج دایره ای

در بعضی مواقع ترجیح مثلاً وقتی که پراکندگی ذرات را از پتانسیل های باتقارن دایره ای بررسی می کنیم، ترجیح می دهیم که حالت های ذره آزاد را چنان بنویسیم که اندازه حرکت زاویه ای آنها مشخص باشد. از نظر فیزیکی توابع موج این حالت ها امواج دایره ای است که از مبدأ مختصات دور می شوند و یا به آن نزدیک می شوند. برای این کار بجای مشاهده پذیرهای  $P_x$  و  $P_y$ ،



مشاهده پذیرهای  $L^2$  و  $H$  را که باهم جابجایی شوند قطری می کنیم. حالت های حاصل که با  $|E, n\rangle$  مشخص می شوند دارای انرژی مشخص و تکانه زاویه ای مشخص هستند. اگر تابع موج آنها را با

$$\psi(r, \theta) = \frac{u(r)}{r^{\frac{1}{2}}} e^{i n \theta} \quad (22)$$

نشان دهیم همانطور که در ابتدای این بخش نشان دادیم تابع  $u_{E,n}(r)$  در معادله شعاعی شرودینگر زیر صدق می کند: مشاهده پذیر است زیرا:

$$-\frac{\hbar^2}{2m} \frac{d^2 u}{dr^2} + \frac{\hbar^2}{2m} \left( \frac{n^2 - \frac{1}{4}}{r^2} \right) u = Eu, \quad (23)$$

که با تعریف  $k^2 = \frac{2mE}{\hbar^2}$  و  $x = kr$  به شکل زیر درمی آید:

$$\frac{d^2 u}{dx^2} - \left( \frac{n^2 - \frac{1}{4}}{x^2} \right) u = -u. \quad (24)$$

برای حل این معادله نخست به رفتار مجانبی آن 24 در  $x$  های بزرگ نگاه می کنیم. در این حد معادله فوق به شکل زیر در می آید:

$$\frac{d^2}{dx^2} u + u \approx 0, \quad (25)$$

که جواب های آن به شکل  $u = e^{ix}$  و  $u = e^{-ix}$  هستند. بنابراین جواب های این معادله در فواصل بزرگ به صورت امواج دور شونده  $e^{ikx}$  و نزدیک شونده  $e^{-ikx}$  به مرکز هستند. حال جواب های کامل را به شکل زیر می نویسیم:

$$\begin{aligned} u^+(x) &= e^{ikx} \sum_{n=0}^{\infty} a_n^+ x^{-n}, \\ u^-(x) &= e^{-ikx} \sum_{n=0}^{\infty} a_n^- x^{-n}. \end{aligned} \quad (26)$$

جایگذاری این بسط ها در معادله 24 منجر به روابط تکرار زیر می شود:

$$\begin{aligned} a_{k+1}^+ &= \frac{k(k+1) + \frac{1}{4} - n^2}{2i(k+1)} a_k^+, \\ a_{k+1}^- &= -\frac{k(k+1) + \frac{1}{4} - n^2}{2i(k+1)} a_k^-. \end{aligned} \quad (27)$$

چند جمله اول بسط به ترتیب زیر هستند:

$$u^+(x) = \left(1 + \frac{(\frac{1}{2})^2 - n^2}{2i} \frac{1}{x} + \dots\right) e^{ix} \quad (28)$$

و

$$u^-(x) = \left(1 - \frac{(\frac{1}{2})^2 - n^2}{2i} \frac{1}{x} + \dots\right) e^{-ix} \quad (29)$$

که در آنها نوشتن ضریب بهنجارش صرف نظر کرده ایم. در نتیجه شکل نهایی توابع موج به صورت زیر خواهد بود:

$$\psi_{E,n}^+(r, \theta) = \frac{A}{\sqrt{r}} \left(1 + \frac{\frac{1}{4} - n^2}{2ikr} + \dots\right) e^{ikr} e^{in\theta}, \quad n \in Z, \quad (30)$$

و

$$\psi_{E,n}^-(r, \theta) = \frac{A}{\sqrt{r}} \left(1 - \frac{\frac{1}{4} - n^2}{2ikr} + \dots\right) e^{-ikr} e^{in\theta} \quad n \in Z. \quad (31)$$

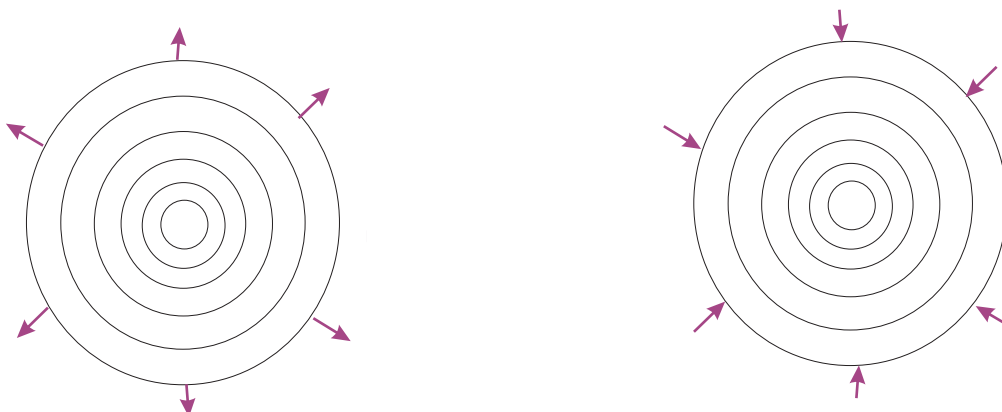
که در آن  $E = \frac{\hbar^2 k^2}{2m}$  انرژی این حالت ها و  $\hbar m$  تکانه زاویه آنهاست. تابع  $\psi^+$  نشان دهنده یک موج دایره ای دورشونده از مرکز و تابع  $\psi^-$  نشان دهنده یک موج دایره ای نزدیک شونده به مرکز است. دقت کنید که عدد کوانتومی  $n$  تکانه زاویه ای جواب ها را مشخص می کند که مثبت بودن آن به معنای تکانه زاویه ای پادساعت گرد و منفی بودن آن به معنای تکانه زاویه ای ساعت گرد است. هر کدام از جواب های فوق دارای انرژی مشخص  $E$  و تکانه زاویه ای  $n\hbar$  است.

### ۳.۳ توابع بسل

در اینجا یک بار دیگر به معادله شرودینگر برای ذره آزاد نگاه می کنیم. از آنجا که پتانسیل برابر با صفر است این معادله به شکل زیر در می آید:

$$\frac{d^2 f(x)}{dx^2} + \frac{1}{x} \frac{df(x)}{dx} + \left(1 - \frac{n^2}{x^2}\right) f(x) = 0 \quad (32)$$

که در آن  $x = kr$  و  $E = \frac{\hbar^2 k^2}{2m}$ . این معادله یک معادله آشنا موسوم به معادله دیفرانسیل بسل از مرتبه  $n$  است و در قرن نوزدهم به وسعت مورد مطالعه قرار گرفته است. در ضمیمه این فصل می توانید با خواص این توابع بیشتر آشنا شوید. دو جواب



شکل ۱: شکل سمت راست یک موج دایره‌ای درون رو و شکل سمت چپ یک موج دایره‌ای بیرون رو را نشان می‌دهد.

مستقل از معادله فوق را با  $J_n(x)$  و  $N_n(x)$  نشان می‌دهیم. بنابراین جواب‌های معادله شرودینگر با انرژی  $E = \frac{\hbar^2 k^2}{2m}$  و تکانه زاویه‌ای  $\hbar n$  به صورت زیر نوشته می‌شوند:

$$\psi^{(1)}(r, \theta) = J_n(kr)e^{in\theta}, \quad \text{و} \quad \psi^{(2)}(kr) = N_n(kr)e^{in\theta}. \quad (33)$$

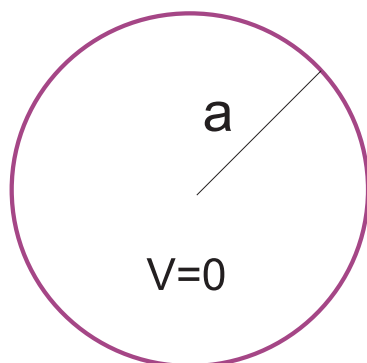
می‌توان نشان داد که برای  $kr$  های بزرگ شکل این توابع به صورت زیر است:

$$\begin{aligned} J_n(kr) &\sim \sqrt{\frac{2}{\pi kr}} \cos \left[ kr - \left(\nu + \frac{1}{2}\right) \frac{\pi}{2} \right] \\ N_n(kr) &\sim \sqrt{\frac{2}{\pi kr}} \sin \left[ kr - \left(\nu + \frac{1}{2}\right) \frac{\pi}{2} \right]. \end{aligned} \quad (34)$$

می‌توان بجای این دو جواب مستقل از معادله بسط ترکیب‌های خطی زیر را از این دو تابع که به توابع هنکل *Hankel Functions* موسومند در نظر گرفت:

$$\begin{aligned} H_n^1(kr) &:= J_n(kr) + iN_n(kr) \sim \sqrt{\frac{2}{\pi kr}} \exp i \left[ kr - \left(\nu + \frac{1}{2}\right) \frac{\pi}{2} \right] \\ H_n^1(kr) &:= J_n(kr) - iN_n(kr) \sim \sqrt{\frac{2}{\pi kr}} \exp -i \left[ kr - \left(\nu + \frac{1}{2}\right) \frac{\pi}{2} \right]. \end{aligned} \quad (35)$$

با این حساب توابع موجی که بدست می‌آوریم نشان دهنده موج‌های بیرون رو و درون رو خواهند بود، شکل (۱)



شکل ۲: چاه پتانسیل دایره‌ای. در درون چاه پتانسیل برابر با صفر و روی دیواره‌ها بی نهایت است. تابع موج روی دیواره‌ها می بایست برابر با صفر باشد.

## ۴ چاه پتانسیل دایره‌ای

در درس‌های پیشین چاه دایره‌ای مربعی را بررسی کردیم. در این درس یک چاه پتانسیل دایره‌ای (۲) را به شکل زیر در نظر می‌گیریم:

$$V(r) = \begin{cases} 0 & r \leq a \\ \infty & r > a \end{cases} \quad (36)$$

در داخل چاه می بایست معادله شرودینگر را برای ذره آزاد حل کنیم با این شرط مرزی که در دیواره‌های پتانسیل تابع موج برابر با صفر باشد.

برای ذره آزاد پتانسیل  $V$  برابر با صفر است و در نتیجه معادله شعاعی شرودینگر برای داخل چاه به صورت زیر درمی آید:

$$-\frac{1}{2m} \left( \frac{d^2 f}{dr^2} + \frac{1}{r} \frac{df}{dr} \right) + \frac{n^2}{2mr^2} f(r) = E f(r). \quad (37)$$

با تعریف  $k := \sqrt{2mE}$  و پس از مرتب کردن به صورت زیر درمی آید:

$$\frac{d^2 f}{dr^2} + \frac{1}{r} \frac{df}{dr} + \left( k^2 - \frac{n^2}{r^2} \right) f(r) = 0. \quad (38)$$

با تعریف متغیر بدون بعد  $x := kr$  این معادله به شکل نهایی زیر درمی آید که چیزی نیست جز معادله بسل از مرتبه صحیح  $n$ :

$$\frac{d^2 f}{dx^2} + \frac{1}{x} \frac{df}{dx} + \left( 1 - \frac{n^2}{x^2} \right) f(x) = 0. \quad (39)$$

خواننده می تواند بعضی از خواص جواب های این معادله را درضمیمه این فصل مطالعه کند. این معادله دوجواب عمومی دارد که آن ها را با  $J_n(x)$  و  $N_n(x)$  نشان می دهیم. تابع  $N_n(x)$  موسوم به تابع نیومان در  $x \rightarrow 0$  واگراست و واگرایی آن به صورت زیراست:

$$N_0(x) = \frac{2}{\pi}(\ln x + \gamma - \ln 2) + O(x^2), \quad (40)$$

و

$$N_n(x) = -\frac{(n-1)!}{\pi} \left(\frac{2}{x}\right)^n \left(1 + \frac{1}{n-1} \left(\frac{x}{2}\right)^2 + \dots\right). \quad (41)$$

در اینجا  $\gamma$  ثابت اویلر است. کلی ترین جواب 39 به صورت  $A_n J_n(x) + B_n N_n(x)$  است. از آنجا که  $N_n(x)$  منجر به تابع نابهنجارپذیری می شود می بایست این جواب ها را کنار گذاشت. شرط مرزی در  $r = a$  الزام می کند که تابع باقیمانده یعنی  $J_n(x)$  در شرط زیر صدق کند:

$$J_n(ka) = 0. \quad (42)$$

هرگاه صفر  $s$  ام تابع بسل  $J_n$  را با  $\beta_s^n$  نشان دهیم خواهیم داشت

$$ka = \beta_s^n \rightarrow k \equiv k_{n,s} = \frac{\beta_s^n}{a}. \quad (43)$$

در نتیجه انرژی های کوانتیده به ترتیب زیر بدست می آیند:

$$E_{n,s} = \frac{\hbar^2}{2m} \left(\frac{\beta_s^n}{a}\right)^2, \quad n = 0, 1, 2, 3, \dots, \quad s = 1, 2, 3, \dots \quad (44)$$

این انرژی ها مربوط به ویژه توابع زیر هستند:

$$\psi_{n,s}(r, \theta) = J_n\left(\frac{\beta_s^n r}{a}\right) e^{i n \theta}, \quad n = 1, 2, 3, \dots, \quad s = 1, 2, 3, \dots \quad (45)$$

در نوشتن این توابع ضریب بهنجارش رانوشته ایم.

## ۵ نوسانگر هارمونیک دو بعدی

نوسانگر هارمونیک دو بعدی همسانگرد با هامیلتونی زیر توصیف می شود:

$$H = \frac{1}{2m}(P_x^2 + P_y^2) + \frac{1}{2}m\omega^2(X^2 + Y^2). \quad (46)$$

در دستگاه واحدهای طبیعی می توان قرارداد  $m = 1, \omega = 1, \hbar = 1$  و در نتیجه هامیلتونی به شکل زیر در می آید:

$$H = \frac{1}{2}(P_x^2 + P_y^2) + \frac{1}{2}(X^2 + Y^2). \quad (47)$$

یک راه برای بدست آوردن طیف این نوسانگر آن است که از تعریف عملگرهای بالابرنده و پایین برنده به صورت زیر شروع کنیم:

$$\begin{aligned} a_x &:= \frac{1}{\sqrt{2}}(X + iP_x), & a_x^\dagger &:= \frac{1}{\sqrt{2}}(X - iP_x), \\ a_y &:= \frac{1}{\sqrt{2}}(Y + iP_y), & a_y^\dagger &:= \frac{1}{\sqrt{2}}(Y - iP_y). \end{aligned} \quad (48)$$

تنها روابط جابجایی غیرصفر بین این عملگرها عبارت است از:

$$[a_x, a_x^\dagger] = 1, \quad [a_y, a_y^\dagger] = 1. \quad (49)$$

هم چنین معلوم می شود که

$$H = (a_x^\dagger a_x + a_y^\dagger a_y + 1) \quad (50)$$

با توجه به آنچه که در مطالعه نوسانگر هارمونیک یک بعدی دیده ایم خواهیم داشت:

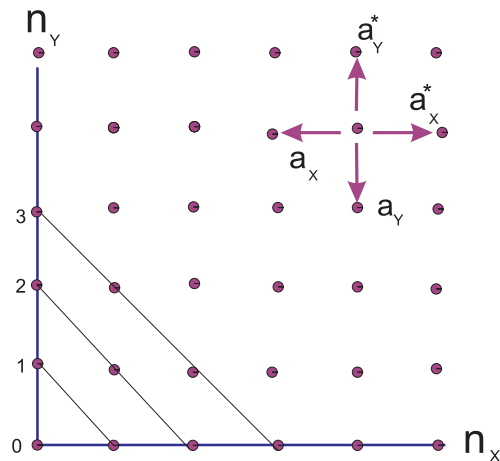
$$H|n_x, n_y\rangle = (n_x + n_y + 1)|n_x, n_y\rangle, \quad n_x, n_y = 0, 1, 2, \dots, \quad (51)$$

که در آن

$$|n_x, n_y\rangle = \frac{1}{\sqrt{n_x!n_y!}} a_x^{\dagger n_x} a_y^{\dagger n_y} |0, 0\rangle, \quad (52)$$

و

$$a_x|0, 0\rangle = a_y|0, 0\rangle = 0. \quad (53)$$



شکل ۳: ویژه حالت های انرژی برای نوسانگر هارمونیک دوبعدی. هر نقطه نشان دهنده یک حالت با اعداد کوانتومی  $(n_x, n_y)$  است. این حالت ها ویژه حالت تکانه زاویه ای  $L_z$  نیستند.

بنابراین هر ویژه حالت هامیلتونی با دو عدد کوانتومی  $n_x$  و  $n_y$  مشخص می شود. حالت پایه عبارت است از  $|0, 0\rangle$ . اولین حالت برانگیخته واگنی درجه دو دارد زیرا هر دو حالت  $|1, 0\rangle$  و  $|0, 1\rangle$  یک انرژی دارند. حالت بعدی واگنی درجه سه دارد زیرا حالت های  $|2, 0\rangle$ ,  $|1, 1\rangle$ ,  $|0, 2\rangle$  انرژی برابر دارند. در شکل (۳) هر حالت با اعداد کوانتومی  $(n_x, n_y)$  یک نقطه در یک شبکه دو بعدی با مختصات  $(n_x, n_y)$  نشان داده شده است.

اثر عملگرهای  $a_x, a_x^\dagger, a_y, a_y^\dagger$  روی شکل نشان داده شده اند. تمام نقاطی که روی خط  $n_x + n_y = \text{constant}$  قرار دارند انرژی یکسان دارند و بنابراین واگن هستند. هم چنین تابع موج این نوسانگر به شرح زیر بدست می آید:

$$\begin{aligned} \psi_{n_x, n_y}(x, y) &:= \langle x, y | n_x, n_y \rangle = \langle x | n_x \rangle \langle y | n_y \rangle = \psi_{n_x}(x) \psi_{n_y}(y) \\ &= \frac{1}{\pi^{\frac{1}{4}} \sqrt{2^{n_x} n_x!}} H_{n_x}(x) e^{-\frac{x^2}{2}} \frac{1}{\pi^{\frac{1}{4}} \sqrt{2^{n_y} n_y!}} H_{n_y}(y) e^{-\frac{y^2}{2}} \\ &= \frac{1}{\pi^{\frac{1}{2}} \sqrt{2^{n_x+n_y} n_x! n_y!}} H_{n_x}(x) H_{n_y}(y) e^{-\frac{x^2+y^2}{2}}. \end{aligned} \quad (54)$$

تا کنون هیچ استفاده ای از اینکه نوسانگر هارمونیک همسانگرد است و تقارن دوارنی دارد نکرده ایم. می دانیم که چنین تقارنی به معنای آن است که می توانیم ویژه حالت های مشترک انرژی و تکانه زاویه ای را پیدا کنیم. آیا حالت های  $|n_x, n_y\rangle$  چنین حالت هایی هستند؟ برای پاسخ به این سوال اثر تکانه زاویه ای را روی این حالت ها محاسبه می کنیم. نخست تکانه زاویه ای را برحسب عملگرهای بالا بر و پایین بر می نویسیم. با استفاده از روابط (48) براحتی معلوم می شود که

$$L_z \equiv XP_y - YP_x = i(a_x^\dagger a_y - a_x a_y^\dagger). \quad (55)$$

واضح است که این عملگر حالت های  $|n_x, n_y\rangle$  را به ترکیبی خطی از حالت های  $|n_x + 1, n_y - 1\rangle$  و  $|n_x - 1, n_y + 1\rangle$  تبدیل می کند و بنابراین پایه فوق پایه ای نیست که بردارهای آن ویژه حالت مشترک هامیلتونی و تکانه زاویه ای باشند. این نتیجه طبیعی هم هست زیرا از همان ابتدا عملگرهای بالا بر و پایین بر براساس متغیرهای دکارتی  $x$  و  $y$  ساخته شده اند و حال آنکه به نظر می رسد که می بایست عملگرهای فوق را با توجه به مختصات قطبی می نوشتیم. برای این کار دقت می

کنیم که به جای دو مختصه  $(x, y) = (r \cos \theta, r \sin \theta)$  می توانیم از دو مختصه  $(z, \bar{z}) = (r e^{i\theta}, r e^{-i\theta})$  استفاده کنیم. این مختصات برای مطالعه چنین مسئله ای مناسب تر هستند. در واقع تحت یک عمل دوران می دانیم که متغیرهای  $(x, y)$  به ترکیبی خطی از هم تبدیل می شوند یعنی

$$\begin{pmatrix} x \\ y \end{pmatrix} \rightarrow \begin{pmatrix} \cos \theta & -\sin \theta \\ \sin \theta & \cos \theta \end{pmatrix} \begin{pmatrix} x \\ y \end{pmatrix} \rightarrow \quad (56)$$

و حال آنکه متغیرهای  $(z, \bar{z})$  تحت دوران تبدیل خیلی ساده ای دارند:

$$z \rightarrow z e^{i\theta}, \quad \bar{z} \rightarrow \bar{z} e^{-i\theta}. \quad (57)$$

بالهام از این تغییر متغیر عملگرهای بالابر و پایین برجذیدی را به شکل زیر تعریف می کنیم:

$$\begin{aligned} a_R &:= \frac{1}{\sqrt{2}}(a_x + i a_y), & a_L &:= \frac{1}{\sqrt{2}}(a_x - i a_y), \\ a_R^\dagger &:= \frac{1}{\sqrt{2}}(a_x^\dagger - i a_y^\dagger), & a_L^\dagger &:= \frac{1}{\sqrt{2}}(a_x^\dagger + i a_y^\dagger). \end{aligned} \quad (58)$$

براحتی معلوم می شود که تنها روابط جابجایی غیر صفر بین این عملگرها عبارت است از:

$$[a_R, a_R^\dagger] = 1, \quad [a_L, a_L^\dagger] = 1. \quad (59)$$

هم چنین معلوم می شود که

$$H = a_R^\dagger a_R + a_L^\dagger a_L + 1, \quad L_z = a_R^\dagger a_R - a_L^\dagger a_L. \quad (60)$$

بنابراین هرگاه حالت های زیر را تعریف کنیم:

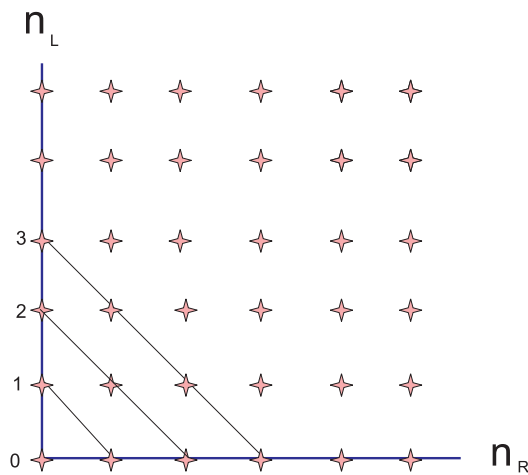
$$|n_R, n_L\rangle := \frac{1}{\sqrt{n_R! n_L!}} a_R^\dagger{}^{n_R} a_L^\dagger{}^{n_L} |0, 0\rangle, \quad (61)$$

خواهیم داشت

$$\begin{aligned} H|n_R, n_L\rangle &= (n_R + n_L + 1)|n_R, n_L\rangle \\ L_z|n_R, n_L\rangle &= (n_R - n_L)|n_R, n_L\rangle. \end{aligned} \quad (62)$$

نتیجه آن است که حالت های  $|n_R, n_L\rangle$  ویژه حالت مشترک هامیلتونی و تکانه زاویه ای هستند. در شکل (۴) این ویژه حالت ها با نقاط یک شبکه دوبعدی نشان داده شده اند.





شکل ۴: ویژه حالت های انرژی برای نوسانگر هارمونیک دوبعدی. هر نقطه نشان دهنده یک حالت با اعداد کوانتومی  $(n_R, n_L)$  است. این حالت ها ویژه حالت تکانه زاویه ای  $L_z$  نیز هستند.

دقت کنید که یک حالت  $|n, m\rangle_{R,L}$  و یک حالت  $|n, m\rangle_{X,Y}$  (حتی اگر اعداد  $(m, n)$  آنها با هم یکسان باشند) کاملاً باهم فرق دارند زیرا از تاثیر عملگرهای متفاوتی بر روی حالت  $|0, 0\rangle_{R,L} = |0, 0\rangle_{X,Y}$  بدست می آیند. در این جا توجه به این تساوی اخیر یعنی تساوی حالت های پایه اهمیت اساسی دارد. خواننده می تواند خود تساوی این دو حالت را ثابت کند. می توانیم شکل فضایی توابع موج جدید را نیز به راحتی بدست آوریم. برای این کار بهتر است از مختصات  $(z, \bar{z})$  بجای  $(x, y)$  استفاده کنیم. باید کمی درباره این مختصات توضیح دهیم. قرار می دهیم:

$$z := x + iy, \quad \bar{z} = x - iy \quad (63)$$

معکوس این روابط به شکل زیر است:

$$x := \frac{z + \bar{z}}{2}, \quad y := \frac{z - \bar{z}}{2i} \quad (64)$$

بنابراین هر تابع  $f := f(x, y)$  را می توان به صورت  $f := f(z, \bar{z})$  نیز نوشت. مثلاً تابع  $f(x, y) = x^2 + y^2$  را می توان به صورت  $f(z, \bar{z}) = z\bar{z}$  نوشت. حال می توانیم مشتقات جزئی نسبت به  $z$  و  $\bar{z}$  را با استفاده از روابط بالا و استفاده از قاعده زنجیره ای برای ترکیب مشتقات تعریف کنیم:

$$\begin{aligned} \frac{\partial f}{\partial z} &= \frac{\partial x}{\partial z} \frac{\partial f}{\partial x} + \frac{\partial y}{\partial z} \frac{\partial f}{\partial y} \\ \frac{\partial f}{\partial \bar{z}} &= \frac{\partial x}{\partial \bar{z}} \frac{\partial f}{\partial x} + \frac{\partial y}{\partial \bar{z}} \frac{\partial f}{\partial y} \end{aligned} \quad (65)$$

و یا به طور کلی:

$$\begin{aligned} \frac{\partial}{\partial z} &= \frac{1}{2} \frac{\partial}{\partial x} - \frac{1}{2} i \frac{\partial}{\partial y} \\ \frac{\partial}{\partial \bar{z}} &= \frac{1}{2} \frac{\partial}{\partial x} + \frac{1}{2} i \frac{\partial}{\partial y} \end{aligned} \quad (66)$$

معکوس این روابط به شکل زیر است:

$$\begin{aligned}\frac{\partial}{\partial x} &= \frac{\partial}{\partial z} + \frac{\partial}{\partial \bar{z}} \\ \frac{\partial}{\partial y} &= i\frac{\partial}{\partial z} - i\frac{\partial}{\partial \bar{z}}.\end{aligned}\quad (67)$$

حال می‌توانیم نمایش عملگرهای بالا بر  $a_L$  و  $a_R$  را در نمایش مختصات بنویسیم:

$$\begin{aligned}a_R &\equiv \frac{1}{\sqrt{2}}(a_x + ia_y) = \frac{1}{2}\left(x + \frac{\partial}{\partial x} + iy + i\frac{\partial}{\partial y}\right) = \frac{1}{2}z + \frac{\partial}{\partial \bar{z}} \\ a_L &\equiv \frac{1}{\sqrt{2}}(a_x - ia_y) = \frac{1}{2}\left(x + \frac{\partial}{\partial x} - iy - i\frac{\partial}{\partial y}\right) = \frac{1}{2}\bar{z} + \frac{\partial}{\partial z} \\ a_R^\dagger &\equiv \frac{1}{\sqrt{2}}(a_x^\dagger - ia_y^\dagger) = \frac{1}{2}\left(x - \frac{\partial}{\partial x} - iy + i\frac{\partial}{\partial y}\right) = \frac{1}{2}\bar{z} - \frac{\partial}{\partial z} \\ a_L^\dagger &\equiv \frac{1}{\sqrt{2}}(a_x^\dagger + ia_y^\dagger) = \frac{1}{2}\left(x - \frac{\partial}{\partial x} + iy - i\frac{\partial}{\partial y}\right) = \frac{1}{2}z - \frac{\partial}{\partial \bar{z}}.\end{aligned}\quad (68)$$

بعد از این مقدمات می‌توانیم تمام توابع موج را براحتی بدست آوریم. نخست حالت پایه را بررسی می‌کنیم. می‌دانیم که تابع موج از رابطه زیر بدست می‌آید.

$$\psi_{n_R, n_L}(z, \bar{z}) := \langle z, \bar{z} | n_R, n_L \rangle. \quad (69)$$

هم چنین می‌دانیم که حالت پایه توسط هر دو عملگر  $a_L$  و  $a_R$  نابود می‌شود. بنابراین داریم

$$\begin{aligned}\left(\frac{1}{2}z + \frac{\partial}{\partial \bar{z}}\right)\psi_{0,0}(z, \bar{z}) &= 0, \\ \left(\frac{1}{2}\bar{z} + \frac{\partial}{\partial z}\right)\psi_{0,0}(z, \bar{z}) &= 0.\end{aligned}\quad (70)$$

از حل معادلات دیفرانسیل بالا که بسیار ساده هم هستند تابع موج حالت پایه براحتی بدست می‌آید:

$$\psi_{0,0}(z, \bar{z}) = \frac{1}{\sqrt{\pi}} e^{-\frac{1}{2}z\bar{z}}, \quad (71)$$

که در آن  $\sqrt{\pi}$  یک ثابت بهنجارش است. حال بقیه توابع موج از اثر عملگرهای بالا بر و پایین بردست خواهند آمد: یعنی

$$\psi_{n_R, n_L}(z, \bar{z}) = \frac{1}{\sqrt{\pi n_R! n_L!}} \left(\frac{1}{2}\bar{z} - \frac{\partial}{\partial z}\right)^{n_R} \left(\frac{1}{2}z - \frac{\partial}{\partial \bar{z}}\right)^{n_L} e^{-\frac{1}{2}z\bar{z}}. \quad (72)$$

## ۶ ذره باردار در میدان مغناطیسی یکنواخت

در فیزیک کلاسیک حرکت ذره بارداری به جرم  $m$  و بار الکتریکی  $e$  را در میدان مغناطیسی یکنواخت  $B$  مطالعه کرده ایم. هرگاه میدان مغناطیسی بر یک صفحه مثلاً صفحه  $xy$  عمود باشد و هرگاه میدان مغناطیسی یک نواخت نیز باشد، و سرعت اولیه ذره نیز در صفحه  $xy$  باشد، ذره تحت تاثیر نیروی جانب به مرکز  $F = evB$  حرکت دایره ای طی می کند. اگر شعاع این دایره را  $r$  بگیریم آنگاه معادله نیوتن برای چنین ذره ای برابر خواهد بود با:

$$m \frac{v^2}{r} = evB = e\omega r B, \quad (73)$$

و از آنجا بدست می آوریم که

$$\omega = \frac{eB}{m}. \quad (74)$$

این فرکانس، فرکانس لارمور خوانده می شود و تنها به مشخصات ذره باردار و میدان مغناطیسی بستگی دارد. یک ذره می تواند در میدان مغناطیسی انرژی های متفاوت داشته باشد اما همواره فرکانس چرخش آن برابر با فرکانس لارمور است. در واقع هرگاه ذره دایره ای به شعاع  $R$  را طی کند، آنگاه انرژی و تکانه زاویه ای آن به ترتیب برابر خواهند بود با:

$$\begin{aligned} E &= \frac{1}{2}mv^2 = \frac{1}{2}m\omega^2 R^2, \\ L_z &= mvR = m\omega R^2. \end{aligned} \quad (75)$$

بنابراین بین انرژی و تکانه زاویه ای این ذره همواره رابطه زیر برقرار است:

$$E = \frac{1}{2}\omega L_z. \quad (76)$$

حال می خواهیم حرکت این ذره را در این میدان در چارچوب مکانیک کوانتومی بررسی کنیم. می دانیم که هامیلتونی یک ذره باردار در میدان الکترومغناطیسی به شکل زیر است:

$$H = \frac{1}{2m}(\vec{P} - e\vec{A})^2 + e\phi \quad (77)$$

که در آن  $e$  بار الکتریکی ذره،  $\phi$  پتانسیل اسکالر و  $\vec{A}$  پتانسیل برداری است. میدان الکتریکی و مغناطیسی به ترتیب زیر از این پتانسیل هاب دست می آیند:

$$\vec{E} = -\frac{\partial \vec{A}}{\partial t} - \nabla\phi, \quad \vec{B} = \nabla \times \vec{A}. \quad (78)$$

از آنجا که میدان الکتریکی صفر است نتیجه می گیریم که  $\phi$  یک عدد ثابت و  $\vec{A}$  مستقل از زمان است. می توانیم  $\phi$  را مساوی صفر بگیریم. در نتیجه تنها نیاز به پتانسیل برداری داریم و این پتانسیل می بایست چنان باشد که در شرط زیر صدق کند:

$$\nabla \times \vec{A} = B\hat{z}. \quad (79)$$

بنابراین آزادی پیمانه ای می دانیم که  $\vec{A}$  به طور یکتا انتخاب نمی شود. در واقع اگر پتانسیل برداری را به صورت  $\vec{A} = A_x(x, y)\hat{x} + A_y(x, y)\hat{y}$  بگیریم آنگاه معادله بالا تبدیل می شود به

$$\frac{\partial}{\partial x} A_y - \frac{\partial}{\partial y} A_x = B \quad (80)$$

که حل های متعددی دارد. این حل ها متناظر با پیمانه های مختلف هستند. در یک پیمانه می توانیم قراردسیم

$$A_x = -\frac{B}{2}y, \quad A_y = \frac{B}{2}x. \quad (81)$$

این پیمانه دارای تقارن دایره است زیرا خطوط میدان  $\vec{A}$  دایره های هم مرکز به مبدأ مختصات هستند. در پیمانه های دیگری می توانیم قراردسیم

$$A_x = -By, \quad A_y = 0, \quad \text{یا} \quad A_x = 0, \quad A_y = Bx. \quad (82)$$

پیمانه 81 را در نظری می گیریم که دارای تقارن دایره است. در این پیمانه هامیلتونی عبارت است از

$$H = \frac{(P_x + \frac{eB}{2}Y)^2}{2m} + \frac{(P_y - \frac{eB}{2}X)^2}{2m}. \quad (83)$$

آیا این هامیلتونی دارای تقارن دورانی است؟ پاسخ این سوال را می توانیم با محاسبه جابجاگر  $[H, L]$  پیدا کنیم. یک محاسبه ساده نشان می دهد که  $[H, L] = 0$  و در نتیجه تقارن دایره ای برقرار است. حال دو عملگر زیر را تعریف می کنیم:

$$Q := \frac{1}{\sqrt{eB}}(P_x + \frac{eB}{2}Y), \quad P := \frac{1}{\sqrt{eB}}(P_y - \frac{eB}{2}X). \quad (84)$$

این دو متغیر کانونیک هستند به این معنا که

$$[Q, P] = i\hbar. \quad (85)$$

بر حسب این دو متغیر هامیلتونی ذره در میدان مغناطیسی به شکل زیر درمی آید

$$H = \frac{eB}{2m}(Q^2 + P^2) =: \frac{\omega}{2}(Q^2 + P^2), \quad (86)$$

که در آن  $\omega = \frac{eB}{m}$  فرکانس لارمور نامیده می شود. این هامیلتونی نشانگر یک نوسانگر هارمونیک است و می توانیم با استفاده از روشی که در مورد نوسانگر هارمونیک بکاربردیم طیف آن را به روش جبری تعیین کنیم. کافی است که عملگرهای بالابرنده و پایین برنده زیر را تعریف کنیم

$$a := \frac{1}{\sqrt{2\hbar}}(Q + iP), \quad a^\dagger := \frac{1}{\sqrt{2\hbar}}(Q - iP), \quad (87)$$

که در نتیجه آن بدست می آوریم

$$[a, a^\dagger] = 1, \quad H = \hbar\omega(a^\dagger a + \frac{1}{2}). \quad (88)$$

حال کافی است که حالت های  $|n\rangle := \frac{1}{\sqrt{n!}}a^{\dagger n}|0\rangle$  را تعریف کنیم که در آن حالت  $|0\rangle$  حالتی است که توسط  $a$  نابود می شود. این حالت ها همگی ویژه حالت انرژی هستند به این معنا که

$$H|n\rangle = \hbar\omega(n + \frac{1}{2})|n\rangle. \quad (89)$$

اما می دانیم که عملگردوران با هامیلتونی جابجایی شود و بنابراین حالت های باتکانه زاویه ای متفاوت می توانند یک انرژی داشته باشند. به عبارت دیگر طیف هامیلتونی واگنی دارد. در نتیجه نماد  $|n\rangle$  به تنهایی نشان دهنده یک ویژه حالت هامیلتونی نیست بلکه نشان دهنده یک ویژه فضا یا *eigenspace* است. در واقع حالت های فضای هیلبرت توسط ویژه بردارهای مشترک هامیلتونی و تکانه زاویه ای جاروب می شوند. این ویژه بردارهای بایست یک عددکوانتومی اضافه داشته باشند که نشان دهنده ویژه مقدار  $L$  باشد. حال سوال می کنیم که اگر  $L$  با هامیلتونی جابجا می شود، آیا می توان  $L$  برحسب عملگرهای بالابرنده و پایین برنده یک نوسانگر دیگر نوشت؟ برای پاسخ به این سوال عملگرهای زیر را تعریف می کنیم:

$$\tilde{P} := \frac{1}{\sqrt{eB}}(P_x - \frac{eB}{2}Y), \quad \tilde{Q} := \frac{1}{\sqrt{eB}}(P_y + \frac{eB}{2}X). \quad (90)$$

یک محاسبه ساده نشان می دهد که  $[\tilde{Q}, \tilde{P}] = 1$  یعنی این دو عملگر نیز کانونیک هستند. علاوه بر آن براحتی معلوم می شود که روابط زیر برقرار هستند

$$[Q, \tilde{Q}] = [Q, \tilde{P}] = 0, \quad [P, \tilde{Q}] = [P, \tilde{P}] = 0. \quad (91)$$

در نتیجه جفت متغیرهای  $(Q, P)$  و  $(\tilde{Q}, \tilde{P})$  هر کدام کانونیک بوده و از هم مستقل هستند. در واقع کاری که انجام داده ایم آن است که بجای مشاهده پذیرهای کانونیک مستقل  $(X, P_x)$  و  $(Y, P_y)$  جفت جدیدی از متغیرهای کانونیک و مستقل برای توصیف این سیستم بکاربرده ایم. بدینست که روابط معکوس را نیز بنویسیم. با توجه به روابط 84 و 90 براحتی معلوم می شود:

$$X = \frac{1}{\sqrt{eB}}(\tilde{Q} - P), \quad Y = \frac{1}{\sqrt{eB}}(Q - \tilde{P}),$$

$$P_x = \frac{\sqrt{eB}}{2}(Q + \tilde{P}), \quad P_y = \frac{\sqrt{eB}}{2}(\tilde{Q} + P). \quad (92)$$

در نتیجه بدست می آوریم

$$L = XP_y - YP_x = \frac{1}{2}(\tilde{Q}^2 - P^2) - \frac{1}{2}(Q^2 - \tilde{P}^2) \quad (93)$$

$$= \frac{1}{2}(\tilde{Q}^2 + \tilde{P}^2) - \frac{1}{2}(Q^2 + P^2). \quad (94)$$

بنابراین با تعریف

$$b := \frac{1}{\sqrt{2\hbar}}(\tilde{Q} + i\tilde{P}), \quad b^\dagger := \frac{1}{\sqrt{2\hbar}}(\tilde{Q} - i\tilde{P}), \quad (95)$$

بدست می آوریم

$$[b, b^\dagger] = 1, \quad L = b^\dagger b - a^\dagger a. \quad (96)$$

حال می توانیم طیف هامیلتونی و تکانه زاویه ای را به طور همزمان پیدا کنیم زیر پیدا کردن طیف این دو چیزی نیست جز پیدا کردن طیف همزمان دو عملگر مستقل و مثبت  $a^\dagger a$  و  $b^\dagger b$  که می دانیم این طیف چیزی نیست جز ضرب تانسوری حالت های یک نوسانگر هارمونیک. این طیف را به شکل زیر نشان می دهیم:

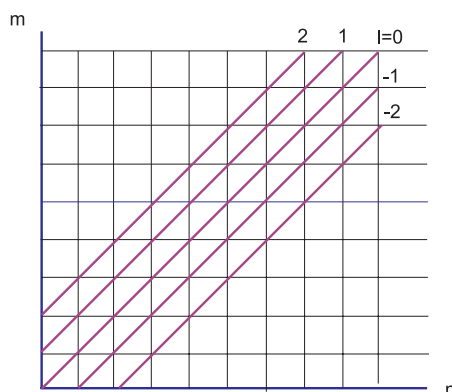
$$|n, m\rangle := \frac{1}{\sqrt{m!n!}} a^{\dagger n} b^{\dagger m} |0, 0\rangle,$$

$$H|n, m\rangle = \hbar\omega(n + \frac{1}{2})|n, m\rangle, \quad L|n, m\rangle = (m - n)|n, m\rangle, \quad (97)$$

که در آن حالت  $|0, 0\rangle$  با رابطه زیر تعریف می شود.

$$a|0, 0\rangle = b|0, 0\rangle = 0. \quad (98)$$

به ازای هر جفت عدد صحیح نامنفی  $(n, m)$  یک حالت  $|m, n\rangle$  با تکانه زاویه  $l = (m - n)\hbar$  و انرژی  $\hbar\omega(n + \frac{1}{2})$  داریم. این حالت ها در شکل ۵ نشان داده شده اند. هر گروه از حالت های  $|n, m\rangle$  با  $n$  ثابت، یک تراز لاندائو خوانده می شود. این حالت ها همه یک انرژی ولی تکانه زاویه ای های مختلف دارند.



شکل ۵: هر حالت  $(m, n)$  یک ویژه حالت مشترک انرژی و اندازه حرکت زاویه‌ای است.

## ۷ ضمیمه: بعضی از خواص توابع بسل

در این ضمیمه به اختصار به معرفی توابع بسل می‌پردازیم. شناختن این توابع و خواص آنها برای درک روابط تحلیلی این درس و درس‌های آینده اهمیت دارند. اگر خواننده از ابتدای این ضمیمه شروع به اثبات روابط کند تقریباً تمامی خواص این توابع را می‌تواند یک به یک استخراج کند.

### ۱.۷ مولد توابع بسل

توابع بسل را مثل بسیاری دیگر از توابع خاص می‌توان با تابع مولدشان تعریف کرد. توابع بسل مرتبه  $n$  که آنها را با  $J_n(x)$  نشان می‌دهیم با تابع مولد زیر تعریف می‌شوند:

$$g(x, t) := e^{\frac{x}{2}(t - \frac{1}{t})} =: \sum_{n=-\infty}^{\infty} J_n(x) t^n. \quad (99)$$

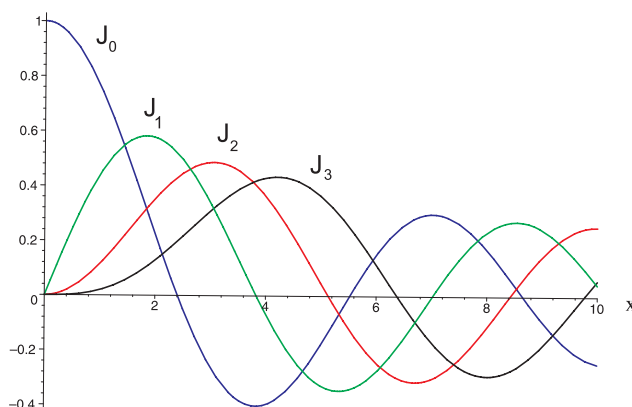
از این تعریف می‌توان بسیاری از خواص توابع بسل را به ترتیب زیر بدست آورد.

۱: با تبدیل  $t \rightarrow -t$  و مقایسه دو طرف خواهیم دید که

$$J_n(-x) = (-1)^n J_n(x). \quad (100)$$

۲: با قراردادن  $t = 1$  و مقایسه دو طرف معلوم می‌شود که

$$J_0(x) + \sum_{n=1}^{\infty} J_{2n}(x) = 1 \quad \forall x. \quad (101)$$



شکل ۶: چند تابع اولیه بسل.

۳: با قراردادن  $x = 0$  در دو طرف و مقایسه آنها بدست می آوریم  $1 = \sum_{n=-\infty}^{\infty} J_n(0)t^n$ . از آنجا که  $t$  متغیر است این رابطه فقط وقتی برقرار است که داشته باشیم

$$J_0(0) = 1, \quad J_{n \neq 0}(0) = 0. \quad (102)$$

۴: با قراردادن  $t = e^{i\theta}$  و مقایسه قسمت های حقیقی و موهومی دو طرف و استفاده از رابطه 100 بدست می آوریم

$$\begin{aligned} \cos(x \sin \theta) &= J_0(x) + 2 \sum_{n=0}^{\infty} J_{2n} \cos 2n\theta, \\ \sin(x \sin \theta) &= 2 \sum_{n=0}^{\infty} J_{2n+1} \sin(2n+1)\theta. \end{aligned} \quad (103)$$

۵: با بسط طرف چپ به صورت  $g(x, t) = e^{\frac{x t}{2}} e^{-\frac{x}{2t}}$  و مقایسه دو طرف، بدست می آوریم:

$$J_n(x) = \sum_{s=0}^{\infty} \frac{(-1)^s}{(n+s)!s!} \left(\frac{x}{2}\right)^{n+2s}. \quad (104)$$

شکل توابع بسل تقریباً مثل توابع سینوسی ولی با دامنه‌ی میرا هستند. چند تابع اولیه بسل در شکل ۶ رسم شده اند. اما برخلاف توابع سینوسی که صفرهای آنها در فواصل منظم رخ می دهند صفرهای توابع بسل مضاربی از یک مقدار معین نیستند. با این وجود در بسیاری از کاربردهای این توابع مهم است که بدانیم این توابع دقیقاً در چه مقادیری رخ می دهند. اهمیت صفرهای تابع بسل تا آنجاست که جدول های بسیاری در کتاب ها به فهرست کردن موقعیت دقیق این صفرها پرداخته اند. جدول ۱.۷ صفرهای چند تابع اولیه بسل را نشان می دهد.

۶: روابط تکرار: با مشتق گرفتن از دو طرف نسبت به  $x$  و نسبت به  $t$  و مقایسه طرفین به روابط تکراری می رسیم:

$$\begin{aligned} J_{n-1} - J_{n+1} &= 2J'_n, \\ J_{n-1} + J_{n+1} &= \frac{2n}{x} J_n, \end{aligned} \quad (105)$$



14.9309	11.7915	8.6537	5.5201	2.4048	$J_0$
13.3237	10.1735	7.0156	3.8317	0	$J_1$
14.7960	11.6198	8.4172	5.1356	0	$J_2$
16.2235	13.015	9.7610	6.3802	0	$J_3$

جدول ۱: صفرهای اولیه از چند تابع اولیه بسل

که در آن منظور از  $J'_n$  مشتق  $J_n$  نسبت به  $x$  است.

۷: معادله دیفرانسیل: با ترکیب این دو معادله تکرار به معادله دیفرانسیل زیر که همان معادله دیفرانسیل بسل است می‌رسیم (انجام ترکیب به عهده خواننده است):

$$\frac{d^2}{dx^2} J_n + \frac{d}{dx} J_n + \left(1 - \frac{n^2}{x^2}\right) J_n = 0. \quad (106)$$

## ۲.۷ توابع بسل از مرتبه غیر صحیح

هر دنباله ای از توابع که در روابط تکرار 105 صدق کنند به طور بدیهی در معادله دیفرانسیل فوق نیز صدق می‌کنند. بنابراین می‌توان معادله بسل از مرتبه غیر صحیح  $\nu$  را به شکل زیر تعریف کرد:

$$\frac{d^2}{dx^2} J_\nu + \frac{d}{dx} J_\nu + \left(1 - \frac{\nu^2}{x^2}\right) J_\nu = 0. \quad (107)$$

دو جواب این معادله به شکل زیر خواهند بود:

$$\begin{aligned} J_\nu(x) &= \sum_{s=0}^{\infty} \frac{(-1)^s}{(\nu+s)!s!} \left(\frac{x}{2}\right)^{\nu+2s} \\ J_{-\nu}(x) &= \sum_{s=0}^{\infty} \frac{(-1)^s}{(-\nu+s)!s!} \left(\frac{x}{2}\right)^{-\nu+2s}. \end{aligned} \quad (108)$$

در این جا منظور از  $\nu!$  فاکتوریل اعداد حقیقی است که به صورت زیر تعریف می‌شود:

$$\nu! = \int_0^{\infty} t^\nu e^{-t} dt. \quad (109)$$

خواننده می تواند براحتی ثابت کند (مثلاً با استفاده از انتگرال گیری جزء به جزء) که این تعریف ضمن نگاه داشتن خاصیت اصلی فاکتوریل یعنی رابطه  $\nu! = \nu(\nu - 1)!$  در مقادیر صحیح مثبت بر تعریف استاندارد فاکتوریل منطبق است.

برای وقتی که  $\nu$  عدد صحیح نباشد، این دوجواب مستقل از هم اند، ولی برای وقتی که  $\nu$  عدد صحیح است، این دوجواب، باهم متناسب اند و مستقل نیستند. در این حالت می بایست یک جواب مستقل پیدا کنیم. یک راه برای پیدا کردن این جواب این است که حد  $n \rightarrow \nu$  را در جواب زیر مطالعه کنیم:

$$N_\nu(x) := \frac{\cos \pi \nu J_\nu(x) - J_{-\nu}(x)}{\sin \nu \pi}. \quad (110)$$

محاسبه دقیق حد منجر به یک بسط برای تابع بسط از نوع دوم ویاتابع نویمان از مرتبه  $n$  می شود. شکل این بسط طولانی است و خواننده می تواند در صورت نیاز شکل کامل آن را در کتاب زیر پیدا کند:

*G. Arfken, Methods of Mathematical Physics, 2nd edition, Chapter 11, page 498.*

آنچه که برای ما مهم است رفتار این توابع در نزدیکی  $x \rightarrow 0$  است. می توان ثابت کرد که برای  $x$  های کوچک روابط حدی زیر برقرار هستند:

$$N_0(x) = \frac{2}{\pi} (\ln x + \gamma - \ln 2) + O(x^2), \quad (111)$$

و

$$N_n(x) = -\frac{(n-1)!}{\pi} \left(\frac{2}{x}\right)^n \left(1 + \frac{1}{n-1} \left(\frac{x}{2}\right)^2 + \dots\right). \quad (112)$$

### ۳.۷ تعامد توابع بسط

می توان ثابت کرد که توابع بسط برهم متعامدند. برای وقتی که این توابع در فاصله صفر تا بی نهایت تعریف می شوند رابطه تعامد آنها به شکل زیر است:

$$\int_0^\infty J_\nu(kr) J_\nu(k'r) r dr = \frac{1}{k} \delta(k - k'). \quad (113)$$

خواننده می تواند از این رابطه استفاده کند و نشان دهد که توابع موج ذره آزاد بر یکدیگر عمودند. هم چنین وقتی که این توابع را محدود به یک فاصله محدود مثلاً 0 تا  $a$  کنیم، رابطه تعامد به شکل زیر درمی آید:

$$\int_0^a J_\nu(\beta_{\nu,m} \frac{r}{a}) J_\nu(\beta_{\nu,n} \frac{r}{a}) r dr = 0 \quad \text{if} \quad m \neq n. \quad (114)$$

در این رابطه  $\beta_{\nu,m}$  صفر شماره  $m$  از تابع  $J_\nu$  است. بنابراین تابع  $J_\nu(\beta_{\nu,m} \frac{r}{a})$  تابعی است که در  $r = a$  برابر با صفر است.

## ۴.۷ توابع هنکل

توابع هنکل *Hankel Functions* ترکیبی خطی از توابع بسل و نویمان هستند که به شکل زیر تعریف می شوند:

$$\begin{aligned} H_\nu^1(x) &= J_\nu(x) + iN_\nu(x) \\ H_\nu^2(x) &= J_\nu(x) - iN_\nu(x). \end{aligned} \quad (115)$$

بسط مجانبی این توابع از روابط زیر بدست می آید:

$$\begin{aligned} H_\nu^1(x) &= \sqrt{\frac{2}{\pi x}} \exp i \left[ x - \left( \nu + \frac{1}{2} \right) \frac{\pi}{2} \right] . [P_\nu(x) + iQ_\nu(x)] \\ H_\nu^2(x) &= \sqrt{\frac{2}{\pi x}} \exp - i \left[ x - \left( \nu + \frac{1}{2} \right) \frac{\pi}{2} \right] . [P_\nu(x) - iQ_\nu(x)], \end{aligned} \quad (116)$$

که در آن توابع  $P_\nu$  و  $Q_\nu$  بسط های مجانبی زیر را دارند:

$$\begin{aligned} P_\nu(x) &\sim 1 - \frac{(\mu-1)(\mu-9)}{2!(8x)^2} + \frac{(\mu-1)(\mu-9)(\mu-25)(\mu-49)}{4!(8x)^4} - \dots \\ Q_\nu(x) &\sim \frac{\mu-1}{1!(8x)^2} - \frac{(\mu-1)(\mu-9)(\mu-25)}{3!(8x)^3} + \dots \end{aligned} \quad (117)$$

و

$$\mu = 4\nu^2. \quad (118)$$

## درس دهم: اندازه حرکت زاویه ای و تقارن دورانی در سه بعد

### ۱ مقدمه

در درس گذشته تقارن دورانی در دو بعد و رابطه آن با تکانه زاویه‌ای را مطالعه کردیم. دیدیم که بدلیل تقارن دورانی مولد این تقارن یعنی عملگر  $L_z$  با هامیلتونی جابجا می‌شود، یعنی

$$[H, L_z] = 0. \quad (1)$$

این رابطه به ما اجازه داد که ویژه حالت های مشترک هامیلتونی و تکانه‌ی زاویه‌ای را مشخص کنیم. در پایه مختصات این امر به این معنا بود که توانستیم جواب های معادله شرودینگر را به صورت  $\psi_{E,n}(r, \theta) = \frac{U_{E,n}(r)}{\sqrt{r}} e^{in\theta}$  بنویسیم که در آن تابع  $U_{E,n}(r)$  در معادله شعاعی شرودینگر با یک پتانسیل موثر صدق می‌کرد. در درس کنونی می‌خواهیم مطالعات خود را درباره تقارن دورانی و رابطه آن با تکانه زاویه‌ای به سه بعد تعمیم دهیم. تقارن دورانی در سه بعد اهمیت ویژه‌ای دارد هم به این جهت که دنیای واقعی و فیزیکی پیرامون ما سه بعدی است و تقارن دورانی یکی از مهم ترین تقارن های این دنیاست، و هم به این دلیل که تقارن دورانی در سه بعد و مولدهای آن یعنی مولفه‌های سه گانه‌ی تکانه زاویه‌ای بسیار غنی تر از دو بعد هستند. آنچه که در طول این درس خواهیم آموخت برای مطالعه اتم هیدروژن که ساده ترین اتم ها است اهمیت اساسی دارد. هم چنین در سرتاسر درس های آینده یعنی هنگامی که به مطالعه‌ی اتم های چند الکترونی و جدول تناوبی و هم چنین مولکولهای پردازیم یا حتی وقتی که پدیده‌های پراکندگی را مطالعه می‌کنیم اهمیت خواهند داشت.

بهبتر است قبل از درگیر شدن با روابط ریاضی نخست به نتیجه‌نهایی تقارن دورانی در سه بعد اشاره کنیم. از درس مربوط به تقارن می‌دانیم که مولفه‌های تکانه‌ی زاویه‌ای مولدهای تقارن حول محورهای مختصات مختلف هستند. بنابراین وجود تقارن دورانی در سه بعد باعث می‌شود که این سه مولفه با هامیلتونی جابجا شوند، یعنی اینکه

$$[H, L_x] = [H, L_y] = [H, L_z] = 0. \quad (2)$$

در ادامه ثابت می‌کنیم که اندازه کل تکانه‌ی زاویه‌ای (یا به بیان دقیق تر مربع این اندازه یعنی  $L^2 := L_x^2 + L_y^2 + L_z^2$ ) با همه مولفه‌های تکانه زاویه ای جابجا می‌شود، یعنی اینکه

$$[L^2, L_a] = 0, \quad a = x, y, z. \quad (3)$$

بنابراین برای پتانسیلی که داری تقارن دوارنی است می توانیم ویژه حالت های مشترک سه عملگر یعنی  $L^2$ ,  $H$  و  $L_z$  را تعیین کنیم. (انتخاب  $L_z$  در این مجموعه تنها یک قرارداد است می توانستیم هر کدام از مولفه های دیگر را نیز انتخاب کنیم بدون این که هیچ تفاوتی در تحلیل ما ایجاد شود. در حقیقت همواره می توانیم دستگاه مختصات را طوری انتخاب کنیم که آن مولفه ای که برای گنجاندن در مجموعه ی سه تایی بالا انتخاب کرده ایم، مولفه ی  $L_z$  باشد.) ویژه حالت های فوق را می توانیم با  $\psi_{E,l,m}(r, \theta, \phi)$  نشان دهیم. در آینده نشان خواهیم داد که عملگرهای  $L^2$  و  $L_z$  تنها روی زاویه های  $\theta$  و  $\phi$  اثر می کنند و بنابراین تابع موج بالا را می توان به شکل زیر نوشت :

$$\psi_{E,l,m}(r, \theta, \phi) = f(r)Y_{l,m}(\theta, \phi), \quad (4)$$

که در آن  $Y_{l,m}(\theta, \phi)$  ویژه حالت مشترک  $L^2$  و  $L_z$  هستند:

$$\begin{aligned} L^2 Y_{l,m} &= \lambda_l Y_{l,m}, \\ L_z Y_{l,m} &= \lambda_m Y_{l,m}, \end{aligned} \quad (5)$$

$\lambda_m$  و  $\lambda_l$  ویژه مقادیر این دو عملگر هستند، و  $f(r) := \frac{R(r)}{r}$  در یک معادله شعاعی شرودینگر صدق می کند، یعنی

$$\left[ \frac{-\hbar^2}{2m} \frac{d^2}{dr^2} + V_{eff}(r) \right] R(r) = ER(r), \quad (6)$$

که در آن

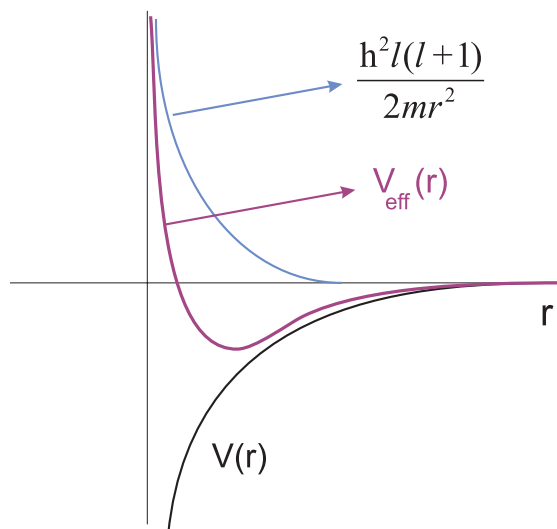
$$V_{eff}(r) = V(r) + \frac{\hbar^2 l(l+1)}{2m} \quad (7)$$

یک پتانسیل موثر است. قسمت اضافه شده به پتانسیل در واقع ناشی از تکانه ی زاویه ای است که در حالت کلاسیک باعث می شود ذره روی مرکز پتانسیل سقوط نکند. در مکانیک کوانتومی این پتانسیل منجر به این می شود که ذره احتمال کمی برای حضور در نزدیکی های پتانسیل داشته باشد و هر چه که تکانه ی زاویه ای بیشتر باشد این احتمال حضور کم تر خواهد شد، شکل (??).

دقت کنید که توابع  $Y_{l,m}$  توابعی روی کره هستند و مستقل از اینکه نوع پتانسیل  $V(r)$  چیست، همواره بخشی از تابع موج هستند و شکل آنها مستقل از نوع پتانسیل مرکزی است که ذره در آن قرار دارد. شکل خاص پتانسیل تنها قسمت شعاعی تابع موج را تعیین می کند و برای هر پتانسیل خاص می بایست معادله شعاعی شرودینگر را مستقلاً حل کرد.

بقیه این درس صرف این می شود که جزئیات روابط بالا را بفهمیم.

نخستین کاری که می کنیم آن است که عملگرهای مربوط به تکانه زاویه ای را به دقت مطالعه می کنیم. سپس ویژه بردارهای  $L^2$  و  $L_z$  را تعیین می کنیم و این قسمت به دلیل اهمیت روش های بکار برده شده در آن قسمت زیادی از این درس را به خود اختصاص خواهد داد. بعد از آن خواص کلی معادله شعاعی را بررسی می کنیم.



شکل ۱: پتانسیل موثر در سه بعد وقتی که تقارن دورانی داریم.

## ۲ تکانه زاویه ای در سه بعد

در سه بعد عملگر تکانه زاویه ای به صورت زیر تعریف می شود:

$$\vec{L} = \vec{r} \times \vec{P}, \quad (8)$$

که مولفه های سه گانه اش به ترتیب زیر هستند:

$$L_x := YP_z - ZP_y, \quad L_y := ZP_x - XP_z, \quad L_z := XP_y - YP_x. \quad (9)$$

براحتی می توان نشان داد که روابط زیر برقرار هستند:

$$[L_x, L_y] = i\hbar L_z, \quad [L_y, L_z] = i\hbar L_x, \quad [L_z, L_x] = i\hbar L_y, \quad (10)$$

یا بطور فشرده

$$[L_a, L_b] = i\hbar \epsilon_{abc} L_c. \quad (11)$$

در این رابطه و همه رابطه های آینده روی شاخص های تکراری جمع می کنیم. با تعریف مربع اندازه کل تکانه زاویه ای به صورت

$$L^2 := L_a L_a = L_x^2 + L_y^2 + L_z^2, \quad (12)$$

معلوم می شود که

$$[L^2, L_a] = 0, \quad \forall a. \quad (13)$$

بنابراین روابط، هرگز نمی توان هر سه مولفه‌ی تکانه‌ی زاویه‌ای را باهم مشخص کرد و تنها کاری که می توان کرد آن است که اندازه‌ی کل تکانه‌ی زاویه و یکی از مولفه‌ها را مشخص کرد.

در بعضی از مواقع بجای عملگرهای  $L_x$  و  $L_y$  از عملگرهای  $L_+ := L_x + iL_y$  و  $L_- := L_x - iL_y$  استفاده می کنیم. خواننده براحتی می تواند صحت روابط زیر را تحقیق کند:

$$\begin{aligned} [L_z, L_+] &= L_+, \\ [L_z, L_-] &= -L_-, \\ [L_+, L_-] &= 2L_z, \end{aligned} \quad (14)$$

و

$$L^2 = L_+L_- + L_z^2 - L_z, \quad L^2 = L_-L_+ + L_z^2 + L_z. \quad (15)$$

هم چنین می توان روابط جابجایی بین مولفه‌های اندازه حرکت زاویه‌ای و مولفه‌های مکان و یا تکانه را پیدا کرد:

$$[L_a, X_b] = i\hbar\epsilon_{abc}X_c, \quad [L_a, P_b] = i\hbar\epsilon_{abc}P_c. \quad (16)$$

هم چنین دیده می شود که

$$[L_a, R^2] \equiv [L_a, X_bX_b] = 0, \quad [L_a, P^2] = [L_a, P_aP_a] = 0, \quad \forall a. \quad (17)$$

می دانیم که برای کمیت‌های کلاسیک که عملگر نیستند رابطه

$$L^2 = (\vec{R} \times \vec{P})^2 = R^2P^2 - (\vec{R} \cdot \vec{P})^2. \quad (18)$$

به عنوان آخرین رابطه‌ی جبری بین مولفه‌های تکانه‌ی زاویه‌ای سعی می کنیم که  $L^2$  را برحسب اندازه حرکت خطی بنویسیم. اگر این کمیت‌ها کلاسیک بودند می دانیم که رابطه‌ی آنها به شکل زیر می شد:

$$L^2 = R^2P^2 - (\mathbf{R} \cdot \mathbf{P})^2$$

. بدلیل اینکه در مکانیک کوانتومی بجای کمیت های کلاسیک عملگرهایی داریم که باهم جابجا نمی شوند، این رابطه اندکی تغییری کند. یادآوری می کنیم که در دو بعد این رابطه به همین شکل برای عملگر تکانه زاویه ای که یک مولفه بیشترنداشت برقرار است. در سه بعد می نویسیم

$$\begin{aligned} L^2 &= L_j L_j = \epsilon_{jkm} X_k P_m \epsilon_{jln} X_l P_n = \epsilon_{jkm} \epsilon_{jln} X_k P_m X_l P_n \\ &= (\delta_{kl} \delta_{mn} - \delta_{kn} \delta_{ml}) X_k P_m X_l P_n \\ &= X_k P_m X_k P_m - X_k P_m X_m P_k = X_k (X_k P_m - i\hbar \delta_{k,m}) P_m - X_k P_m (P_k X_m + i\hbar \delta_{k,m}) \\ &= R^2 P^2 - i\hbar \vec{R} \cdot \vec{P} - (\vec{R} \cdot \vec{P})(\vec{R} \cdot \vec{P}) - i\hbar \vec{R} \cdot \vec{P}. \end{aligned} \quad (19)$$

حال از این مطلب استفاده می کنیم که  $\vec{P} \cdot \vec{R} = \vec{R} \cdot \vec{P} - 3i\hbar$  و به نتیجه زیر می رسیم

$$L^2 = R^2 P^2 - (\vec{R} \cdot \vec{P})^2 + i\hbar (\vec{R} \cdot \vec{P}). \quad (20)$$

جمله آخر در مکانیک کلاسیک و هم چنین در مکانیک کوانتومی دو بعدی غایب است. در بخش های آینده از این رابطه استفاده خواهیم کرد. در بخش بعدی شکل عملگرهای تکانه زاویه ای را در پایه مختصات بدست می آوریم. دانستن این شکل ها چه در مختصات دکارتی و چه در مختصات کروی اهمیت دارد.

## ۱.۲ اندازه حرکت زاویه ای در پایه مختصات

در پایه مختصات عملگرهای تکانه زاویه ای به شکل زیر درمی آیند:

$$L_x := \frac{\hbar}{i}(y\partial_z - z\partial_y), \quad L_y := \frac{\hbar}{i}(z\partial_x - x\partial_z), \quad L_z := \frac{\hbar}{i}(x\partial_y - y\partial_x). \quad (21)$$

هرگاه بخواهیم این عملگرها را در دستگاه مختصات کروی بنویسیم می توانیم از تغییر مختصات زیر استفاده کنیم

$$\begin{aligned} x &= r \sin \theta \cos \phi \\ y &= r \sin \theta \sin \phi \\ z &= r \cos \theta. \end{aligned} \quad (22)$$

انجام این تغییر مختصات و هم چنین استفاده از مشتق های زنجیره ای برای نوشتن مشتق ها در مختصات کروی بعد از محاسباتی نسبتاً طولانی شکل عملگرهای تکانه زاویه ای را در مختصات کروی بدست خواهد داد. اما راه ساده تر آن است که از همان ابتدا تکانه زاویه ای را در دستگاه مختصات کروی به شکل زیر بنویسیم

$$\vec{L} = \vec{R} \times P = \frac{\hbar}{i} \vec{R} \times \vec{\nabla}$$



$$\begin{aligned}
 &= \frac{\hbar}{i} r \hat{r} \times \left( \hat{r} \frac{\partial}{\partial r} + \hat{\theta} \frac{1}{r} \frac{\partial}{\partial \theta} + \hat{\phi} \frac{1}{r \sin \theta} \frac{\partial}{\partial \phi} \right) \\
 &= \frac{\hbar}{i} \left( \hat{\phi} \frac{\partial}{\partial \theta} - \hat{\theta} \frac{1}{\sin \theta} \frac{\partial}{\partial \phi} \right). \tag{23}
 \end{aligned}$$

با استفاده از این که بردارهای یکه در دستگاه مختصات کروی به شکل زیر هستند

$$\begin{aligned}
 \hat{\theta} &= \cos \theta \cos \phi \hat{x} + \cos \theta \sin \phi \hat{y} - \sin \theta \hat{z} \\
 \hat{\phi} &= -\sin \phi \hat{x} + \cos \phi \hat{y}, \tag{24}
 \end{aligned}$$

بدست می آوریم

$$\begin{aligned}
 L_x &= \frac{\hbar}{i} \left( -\sin \phi \frac{\partial}{\partial \theta} - \cot \theta \cos \phi \frac{\partial}{\partial \phi} \right) \\
 L_y &= \frac{\hbar}{i} \left( \cos \phi \frac{\partial}{\partial \theta} - \cot \theta \sin \phi \frac{\partial}{\partial \phi} \right) \\
 L_z &= \frac{\hbar}{i} \frac{\partial}{\partial \phi}. \tag{25}
 \end{aligned}$$

با استفاده از روابط فوق شکل این عملگرها در پایه مختصات عبارت خواهد بود از:

$$\begin{aligned}
 L_+ &= \hbar e^{i\phi} \left( \frac{\partial}{\partial \theta} + i \cot \theta \frac{\partial}{\partial \phi} \right) \\
 L_- &= \hbar e^{-i\phi} \left( -\frac{\partial}{\partial \theta} + i \cot \theta \frac{\partial}{\partial \phi} \right) \\
 L_z &= \frac{\hbar}{i} \frac{\partial}{\partial \phi}. \tag{26}
 \end{aligned}$$

هم چنین می توان با کمی محاسبه دریافت که:

$$L^2 = -\frac{\partial^2}{\partial \theta^2} - \cot \theta \frac{\partial}{\partial \theta} - \frac{1}{\sin^2 \theta} \frac{\partial^2}{\partial \phi^2} \tag{27}$$

### ۳ هارمونیک های کروی : معادله دیفرانسیل لژاندر

در این بخش می خواهیم ویژه بردارهای عملگر تکانه ی زاویه ای را پیدا کنیم. برای این کار توجه می کنیم که عملگرهای  $L_y$ ,  $L_x$  و  $L_z$  همه با هم جابجا نمی شوند، بنابراین نمی توان ویژه حالت مشترک آنها را پیدا کرد. اما عملگر  $L^2$  با هر سه این عملگرها جابجا می شود، بنابراین می توان ویژه حالت مشترک  $L^2$  و یکی از آنها مثلاً  $L_z$  را پیدا کرد. بهترین و آموزنده ترین روش برای

این کار آن است که به روش جبری این طیف را پیدا کنیم. این کاری است که در ادامه‌ی این بخش انجام خواهیم داد. اما بد نیست در همین ابتدا به یک روش دیگر که قدیمی تر است اشاره کنیم. در این روش مستقیماً معادلات دیفرانسیل ویژه مقدری مربوط به عملگرهای  $L^2$  و  $L_z$  را حل می‌کنیم. با توجه به فرم دیفرانسیلی این عملگرها که در بالا بدست آوردیم این معادلات شکل زیر را پیدا می‌کنند:

$$\begin{aligned} L_z Y_{l,m}(\theta, \phi) &= \lambda_m Y_{l,m}(\theta, \phi), \\ L^2 Y_{l,m}(\theta, \phi) &= \lambda_l Y_{l,m}(\theta, \phi), \end{aligned} \quad (28)$$

و یا

$$\begin{aligned} -i \frac{\partial}{\partial \phi} Y_{l,m}(\theta, \phi) &= \lambda_m Y_{l,m}(\theta, \phi), \\ \left[ -\frac{\partial^2}{\partial \theta^2} - \cot \theta \frac{\partial}{\partial \theta} - \frac{1}{\sin^2 \theta} \frac{\partial^2}{\partial \phi^2} \right] Y_{l,m}(\theta, \phi) &= \lambda_l Y_{l,m}(\theta, \phi). \end{aligned} \quad (29)$$

که در آن  $\lambda_l$  و  $\lambda_m$  ویژه مقدرهای مربوط به  $L^2$  و  $L_z$  و  $Y_{l,m}$  ها ویژه توابع مربوطه هستند. واضح است که جواب معادله دیفرانسیل اول به صورت  $P_l^m(\theta) e^{im\phi}$  است که در نتیجه‌ی آن ویژه مقدر  $\lambda_m$  نیز برابر با  $m$  می‌شود. علاوه بر آن به خاطر تک مقدری بودن تابع  $Y_{l,m}$  که می‌بایست روی کره تک مقدر باشد، نتیجه می‌گیریم که  $m$  می‌بایست یک عدد صحیح باشد. با قرار دادن تابع  $P_l^m(\theta) e^{im\phi}$  در معادله دوم به یک معادله دیفرانسیل تنها بر حسب  $\theta$  می‌رسیم که شکل آن چنین است:

$$\left[ -\frac{d^2}{d\theta^2} - \cot \theta \frac{d}{d\theta} + \frac{m^2}{\sin^2 \theta} \right] P_l^m(\theta) = \lambda_l P_l^m(\theta). \quad (30)$$

با تغییر متغیر  $x = \cos \theta$  این معادله برای تابع  $P_l^m(x) := P_l^m(\cos \theta)$  به شکل زیر درمی‌آید:

$$(x^2 - 1) \frac{d^2 P_l^m}{dx^2} + 2x \frac{dP_l^m}{dx} + \frac{m^2}{1 - x^2} P_l^m = \lambda_l P_l^m. \quad (31)$$

به روش‌های مختلفی می‌توان جواب‌های این معادله را پیدا کرد. (خواننده می‌تواند به یک کتاب ریاضی فیزیک و یا به ضمیمه‌ی این فصل رجوع کند). نشان داده می‌شود که این معادله تنها وقتی جواب‌های هنجارپذیر دارد که ویژه مقدر  $\lambda_l$  برابر باشد با  $l(l+1)$  که در آن  $l$  یک عدد صحیح نامنفی باشد و در شرط زیر نیز صدق کند:

$$|m| \leq l. \quad (32)$$

جواب‌های این معادله توابع وابسته لژاندر نامیده می‌شوند. بنابراین توابع وابسته لژاندر پاسخ‌های معادله دیفرانسیل زیر هستند:

$$(x^2 - 1) \frac{d^2 P_l^m}{dx^2} + 2x \frac{dP_l^m}{dx} + \frac{m^2}{1 - x^2} P_l^m = l(l+1) P_l^m. \quad (33)$$

$$P_1^1(x) = (1 - x^2)^{1/2} = \sin \theta$$

$$P_2^1(x) = 3x(1 - x^2)^{1/2} = 3 \cos \theta \sin \theta$$

$$P_2^2(x) = 3(1 - x^2) = 3 \sin^2 \theta$$

$$P_3^1(x) = \frac{3}{2}(5x^2 - 1)(1 - x^2)^{1/2} = \frac{3}{2}(5 \cos^2 \theta - 1) \sin \theta$$

$$P_3^2(x) = 15x(1 - x^2) = 15 \cos \theta \sin^2 \theta$$

$$P_3^3(x) = 15(1 - x^2)^{3/2} = 15 \sin^3 \theta$$

چند تابع اول وابسته لژاندر 1:

در جدول (۳) چند تا از توابع وابسته لژاندر نوشته شده‌اند. در ضمیمه این درس با تفصیل بیشتری با توابع لژاندر آشنا خواهیم شد.

با در دست داشتن این توابع فرم کامل توابع  $Y_{l,m}(\theta, \phi)$  که به هارمونیک های کروی معروفند، تعیین می شوند. چندتا هارمونیک اول کروی در جدول (۳) نشان داده شده‌اند. این هارمونیک ها توابعی هستند که به عنوان توابع روی کره دوعدی، اولاً متعامدند، ثانیاً یک پایه کامل تشکیل می دهند. بنابراین داریم

$$\int d\Omega Y_{l',m'}^*(\theta, \phi) Y_{l,m}(\theta, \phi) = \delta_{l,l'} \delta_{m,m'},$$

$$\sum_{l=0}^{\infty} \sum_{m=-l}^l Y_{l,m}^*(\theta, \phi) Y_{l,m}(\theta', \phi') = \delta(\cos \theta - \cos \theta') \delta(\phi - \phi'). \quad (34)$$

## ۴ هارمونیک های کروی : طیف تکانه ی زاویه ای

در بخش گذشته به روش سنتی یعنی حل معادله دیفرانسیل هارمونیک های کروی را پیدا کردیم. در این بخش این کار را به روش جبری انجام می دهیم. خواهیم دید که این روش از عمق و غنای بیشتری برخوردار است و از طریق آن مطالب خیلی زیادتری درباره این هارمونیک ها یاد خواهیم گرفت. از این به بعد عملگرهای تکانه زاویه ای را به جای  $L_x$ ،  $L_y$  و  $L_z$  با  $J_x$ ،  $J_y$  و  $J_z$  نشان می دهیم. حکمت این تغییر نام در انتهای درس معلوم خواهد شد. می دانیم که عملگرهای تکانه زاویه ای در روابط جبری زیر صدق می کنند:

$$[J_x, J_y] = i J_z,$$

---

$$\begin{aligned} Y_{0,0} & \sqrt{\frac{1}{4\pi}} \\ Y_{1,0} & -\sqrt{\frac{3}{2\pi}} \sin \theta e^{i\phi} \\ Y_{1,0} & \frac{1}{2} \sqrt{\frac{3}{2\pi}} \cos \theta \\ Y_{2,2} & \frac{1}{4} \sqrt{\frac{15}{2\pi}} \sin^2 \theta e^{2i\phi} \\ Y_{2,1} & -\frac{1}{2} \sqrt{\frac{15}{2\pi}} \sin \theta \cos \theta e^{i\phi} \\ Y_{2,0} & \frac{1}{4} \sqrt{\frac{5}{\pi}} (3 \cos^2 \theta - 1) \\ Y_{3,3} & -\frac{1}{8} \sqrt{\frac{35}{\pi}} \sin^3 \theta e^{3i\phi} \\ Y_{3,2} & \frac{1}{4} \sqrt{\frac{105}{2\pi}} \sin^2 \theta \cos \theta e^{2i\phi} \\ Y_{3,1} & -\frac{1}{8} \sqrt{\frac{21}{\pi}} \sin \theta (5 \cos^2 \theta - 1) e^{i\phi} \\ Y_{3,0} & \frac{1}{4} \sqrt{\frac{7}{\pi}} (5 \cos^3 \theta - 3 \cos \theta) \end{aligned}$$

---

چند تا از هماهنگ های کروی 2:

$$\begin{aligned} [J_y, J_z] &= i J_x, \\ [J_z, J_x] &= i J_y, \end{aligned} \quad (35)$$

و یا

$$\begin{aligned} [J_z, J_+] &= J_+, \\ [J_z, J_-] &= -J_-, \\ [J_+, J_-] &= 2J_z. \end{aligned} \quad (36)$$

در این روابط  $J_{\pm} = J_x \pm iJ_y$ . دقت کنید که ثابت  $\hbar$  را در این روابط ننوشته ایم. در انتها می توان این ثابت را اضافه کرد. در این بخش مسئله یافتن ویژه مقادیرهای عملگر  $J_z$  و  $J^2$  را در یک چارچوب کلی تر انجام می دهیم. این مسئله عبارت است از پیدا کردن تمام ماتریس هایی که در روابط جابجایی 49 صدق می کنند. هرگاه چنین ماتریس هایی پیدا کنیم، در اصطلاح ریاضی گفته می شود که یک نمایش برای این روابط جبری پیدا کرده ایم. به بعد ماتریس ها بعد نمایش گفته می شود. در واقع اگر بعد ماتریس ها برابر با  $n$  باشد به این معناست که ما یک فضای برداری  $n$  بعدی  $V$  یافته ایم و توانسته ایم  $J_+$ ،  $J_-$  و  $J_z$  را به عنوان ماتریس هایی در آن فضا نمایش دهیم. به همین جهت بعد نمایش همان بعد فضای برداری  $V$  نیز هست. به یک نکته در باره نماد گذاری نیز باید دقت کنیم. به عنوان مثال یک نمایش یک بعدی برای این جبر می توان یافت و آن این است که قرار دهیم  $J_z = J_+ = J_- = 0$ . واضح است که این ماتریس های یک بعدی در روابط جابجایی فوق صدق می کنند. یک نمایش دو بعدی به صورت زیر است:

$$J_z = \frac{1}{2} \begin{pmatrix} 1 & 0 \\ 0 & -1 \end{pmatrix} \quad J_+ = \begin{pmatrix} 0 & 1 \\ 0 & 0 \end{pmatrix} \quad J_- = \begin{pmatrix} 0 & 0 \\ 1 & 0 \end{pmatrix}. \quad (37)$$

به بیان دیگر این نمایش دو بعدی عبارت است از:

$$J_x = \frac{1}{2}\sigma_x, \quad J_y = \frac{1}{2}\sigma_y, \quad J_z = \frac{1}{2}\sigma_z. \quad (38)$$

خواننده می تواند تحقیق کند که این ماتریس ها در روابط 49 صدق می کنند. در این نمایش، ویژه بردارهای  $J_z$  عبارتند از

$$\left| \frac{1}{2} \right\rangle = \begin{pmatrix} 1 \\ 0 \end{pmatrix} \quad \left| \frac{-1}{2} \right\rangle = \begin{pmatrix} 0 \\ 1 \end{pmatrix}. \quad (39)$$

اثر عملگرهای دیگر روی این حالت ها عبارتند از:

$$\begin{aligned} J_+ \left| \frac{1}{2} \right\rangle &= 0, & J_+ \left| \frac{-1}{2} \right\rangle &= \left| \frac{1}{2} \right\rangle, \\ J_- \left| \frac{1}{2} \right\rangle &= \left| \frac{-1}{2} \right\rangle, & J_- \left| \frac{-1}{2} \right\rangle &= 0. \end{aligned} \quad (40)$$

هم چنین می توان تحقیق کرد که حالت های  $|\frac{1}{2}\rangle$  و  $|\frac{1}{2}\rangle$  ویژه حالت عملگر  $J^2 = J_x^2 + J_y^2 + J_z^2$  نیز هستند یعنی

$$J^2|\frac{1}{2}\rangle = \frac{3}{4}|\frac{1}{2}\rangle, \quad J^2|\frac{-1}{2}\rangle = \frac{3}{4}|\frac{-1}{2}\rangle. \quad (41)$$

به عبارت دیگر حالت های  $|\frac{1}{2}\rangle$  و  $|\frac{-1}{2}\rangle$  ویژه حالت های مشترک  $J_z$  و  $J^2$  در این فضای دو بعدی هستند.

به یک مثال دیگر توجه می کنیم. یک نمایش سه بعدی نیز به صورت زیر است:

$$J_z = \begin{pmatrix} 1 & 0 & 0 \\ 0 & 0 & 0 \\ 0 & 0 & -1 \end{pmatrix} \quad J_+ = \sqrt{2} \begin{pmatrix} 0 & 1 & 0 \\ 0 & 0 & 1 \\ 0 & 0 & 0 \end{pmatrix} \quad J_- = \sqrt{2} \begin{pmatrix} 0 & 0 & 0 \\ 1 & 0 & 0 \\ 0 & 1 & 0 \end{pmatrix}. \quad (42)$$

خواننده می تواند براحتی تحقیق کند که در این نمایش:

$$|1\rangle = \begin{pmatrix} 1 \\ 0 \\ 0 \end{pmatrix} \quad |0\rangle = \begin{pmatrix} 0 \\ 1 \\ 0 \end{pmatrix} \quad |-1\rangle = \begin{pmatrix} 0 \\ 0 \\ 1 \end{pmatrix}, \quad (43)$$

به این معنا که

$$J_z|m\rangle = m|m\rangle, \quad m = 1, 0, -1. \quad (44)$$

هم چنین خواننده می تواند تحقیق کند که

$$J^2|1\rangle = 2|1\rangle, \quad J^2|0\rangle = 2|0\rangle, \quad J^2|-1\rangle = 2|-1\rangle. \quad (45)$$

بنابراین حالت های فوق ویژه حالت های مشترک  $J_z$  و  $J^2$  هستند.

آیا نمایش های دیگری نیز از روابط جبری تکانه ای زاویه ای وجود دارند؟ آیا می توان در هر بعد دلخواه نمایشی از روابط جبری 49 بدست آورد؟ درنگاه اول به نظر می رسد که براحتی می توانیم نمایش های با بعد بالاتر بسازیم مثل نمایش چهاربعدی زیر:

$$J_x = \begin{pmatrix} \frac{1}{2}\sigma_x & 0 \\ 0 & \frac{1}{2}\sigma_x \end{pmatrix}, \quad J_y = \begin{pmatrix} \frac{1}{2}\sigma_y & 0 \\ 0 & \frac{1}{2}\sigma_y \end{pmatrix}, \quad J_z = \begin{pmatrix} \frac{1}{2}\sigma_z & 0 \\ 0 & \frac{1}{2}\sigma_z \end{pmatrix}. \quad (46)$$

اما واضح است که این نمایش واقعاً یک نمایش جدید نیست و بدلیل ساختار بلوکه قطری ماتریس های آن چیزی جز برهم نهادن دو نمایش دو بعدی نیست. چنین نمایشی را یک نمایش کاهش پذیر می گوئیم. هم چنین باید دقت کنیم که اگر  $J_a$  ها

یک نمایش از روابط (49) باشند، و  $S$  یک ماتریس دلخواه وارون پذیر باشد، آنگاه  $J'_a = SJ_a S^{-1}$  ها نیز یک نمایش از همان روابط جبری هستند که اساساً فرقی با همان نمایش اولیه ندارند. در حقیقت مثل این است در فضای برداری یک تغییر پایه داده ایم و در نتیجه ماتریس های نمایش با یک تبدیل تشابهی عوض شده اند. به همین جهت این دو نمایش را دو نمایش معادل می گوئیم. هم چنین برای کاربرد در مکانیک کوانتومی مهم است که ماتریس هایی که پیدا می کنیم هرمیتی باشند. به چنین نمایش هایی نمایش های یکانی می گوئیم. دلیل این نامگذاری آن است که هرگاه ماتریس هایی که پیدا می کنیم هرمیتی باشند، آنگاه ماتریس های  $U_{\hat{n}}(\theta) = e^{i\theta \mathbf{n} \cdot \mathbf{J}}$  که نمایش دهنده دوران هستند یکانی خواهند بود. باتوجه به این ملاحظات، آنچه که اهمیت دارد آن است که نمایش های، یکانی، کاهش ناپذیر و غیر معادل را پیدا کنیم.

نخستین کاری که می کنیم آن است که عملگر هرمیتی  $J_z$  را قطری می کنیم. ویژه مقادیر این عملگر را با  $m$  و ویژه بردارهای آن را با  $|m\rangle$  نمایش می دهیم:

$$J_z |m\rangle = m |m\rangle. \quad (47)$$

هنوز راجع به مقادیر ممکن  $m$  و هم چنین بعد فضای  $V_j$  چیزی نمی دانیم. تنها چیزی که می دانیم آن است که این ویژه مقادیر حقیقی هستند و ویژه بردارهای  $\{|m\rangle\}$  یک پایه بهنجارویکه برای فضای  $V_j$  تشکیل می دهند. حال از روابط جبرمی توانیم نتیجه بگیریم که

$$\begin{aligned} J_+ |m\rangle &= C_+(m) |m+1\rangle \\ J_- |m\rangle &= C_-(m) |m-1\rangle. \end{aligned} \quad (48)$$

که در آن  $C_{\pm}(m)$  ضرایبی هستند که می بایست تعیین شوند. برای آنکه خود را برای نامگذاری آینده آماده کنیم به هر ویژه مقدار  $m$  یک وزنه می گوئیم و به رشته  $\dots, m-2, m-1, m, m+1, m+2, \dots$  یک نردبان از وزنه ها می گوئیم. از آنجا که نمایش محدود بعد است این نردبان می بایست حتماً یک بالاترین پله مثل  $j$  و یک پایین ترین پله مثل  $j-g$  داشته باشد که در آن تعداد پله های یعنی  $g+1$  می بایست یک عدد صحیح باشد.

حال دقت می کنیم که ضرایب  $C_-(m)$  را می توان حقیقی گرفت زیرا هر فازی را که چنین ضریبی داشته باشند می توان با بازتعریف حالت  $|m-1\rangle$  از بین برد.

قدم بعدی آن است که از رابطه (49) روابط زیر را نتیجه بگیریم:

$$\begin{aligned} \langle m | J_- &= C_+^*(m) \langle m+1 | \\ \langle m | J_+ &= C_-(m) \langle m-1 |. \end{aligned} \quad (49)$$

حال عنصر ماتریسی  $\langle m+1 | J_+ | m \rangle$  را از دو طریق حساب می کنیم و به رابطه می رسم:

$$C_+(m) = C_-(m+1), \quad (50)$$

که درضمن نشان می دهد ضرایب  $C_+(m)$  نیز حقیقی هستند.  
 حال به عنصر ماتریسی زیرتوجه می کنیم

$$\langle m|J_+J_-|m\rangle = \langle m|J_-J_+ + 2J_z|m\rangle, \quad (51)$$

که از آن نتیجه می گیریم

$$(C_-(m))^2 = (C_+(m))^2 + 2m, \quad (52)$$

و یا

$$(C_+(m-1))^2 = (C_+(m))^2 + 2m, \quad (53)$$

باتوجه به اینکه بالاترین پله نردبان  $j$  و پایین ترین پله آن  $j-g$  است می دانیم که

$$C_+(j) = 0, \quad C_-(j-g) = 0, \quad (54)$$

ویا باتوجه به رابطه (50)،

$$C_+(j) = 0, \quad C_+(j-g-1) = 0. \quad (55)$$

اگر برای سادگی  $(C_+(m))^2$  را با  $\lambda_m$  نشان دهیم روابط تکرار فوق به شکل زیر هستند:

$$\begin{aligned} \lambda_{j-1} &= 2j, \\ \lambda_{j-2} &= \lambda_{j-1} + 2(j-1), \\ &\dots, \\ \lambda_{m-1} &= \lambda_m + 2m \\ &\dots \end{aligned} \quad (56)$$

حال می توان طرفین رابطه تکرار (53) را برای تمام پله ها جمع زد و به رابطه زیر رسید

$$\sum_{m=j-g}^j \lambda_{m-1} = \sum_{m=j-g}^j \lambda_m + 2 \sum_{m=j-g}^j m, \quad (57)$$



ویا باتوجه به شرط مرزی (55)،

$$0 = 2 \sum_{m=j-g}^j m \rightarrow (2j-g)(g+1) = 0. \quad (58)$$

از آنجا که  $g$  نمی تواند برابر با  $-1$  باشد این رابطه به این معناست که

$$2j = g. \quad (59)$$

این رابطه به این معناست که برچسب نمایش یعنی  $j$  که تاکنون نامعلوم بود یک عدد نیمه صحیح است. بنابراین بالاترین پله نردبان  $j$  و پایین ترین پله آن  $-j$  است.

هم چنین از روابط (56) نشان می توان مقدار  $\lambda_m$  ها و نتیجتاً ضرایب  $C_{\pm}(m)$  را بدست آورد. یک محاسبه ساده نشان می دهد که

$$C_+(m) = \sqrt{(j-m)(j+m+1)} \quad C_-(m) = \sqrt{(j+m)(j-m+1)}. \quad (60)$$

به این ترتیب نمایش های یکانی جبر  $su(2)$  ساخته می شوند. هر نمایش با یک عدد نیمه صحیح  $j$  مشخص می شود و بعد آن برابر است با  $2j+1$ . بردارهای پایه نمایش عبارتند از  $\{|j\rangle, |j-1\rangle, \dots, |-j+1\rangle, |-j\rangle\}$ . ماتریس های نمایش نیز توسط روابط زیر تعیین می شوند:

$$\begin{aligned} J_z|m\rangle &= m|m\rangle \\ J_+|m\rangle &= \sqrt{(j-m)(j+m+1)}|m+1\rangle \\ J_-|m\rangle &= \sqrt{(j+m)(j-m+1)}|m-1\rangle. \end{aligned} \quad (61)$$

اگر در این نمایش اثر عملگر  $J^2 = J_x^2 + J_y^2 + J_z^2 = J_+J_- + J_-J_+ + J_z^2 - J_z$  عملگر را روی بردارها حساب کنیم نتیجه خیلی ساده ای بدست می آید. خواننده می تواند تحقیق کند که

$$J^2|m\rangle = j(j+1)|m\rangle. \quad (62)$$

بنابراین اثر این عملگر روی تمام بردار یکسان و برابر با  $2j+1$  است. این امر به این معناست که اثر این عملگر تنها به عدد  $j$  یعنی نوع نمایش بستگی دارد. برای تاکید بر این امر و هم چنین برای آنکه بین حالت های نمایش های گوناگون تمایز قائل شویم از این به بعد بجای  $|m\rangle$  از نماد گویاتر  $|j, m\rangle$  استفاده می کنیم. این نماد درعین حال نشان می دهد که این حالت ویژه بردار همزمان عملگر  $J^2$  و  $J_z$  است.

در نتیجه ماتریس های نمایش  $J_z$  برابرندبا:

$$\begin{aligned} \langle j, m' | J_z | j, m \rangle &= m \delta_{m, m'} \\ \langle j, m' | J_+ | j, m \rangle &= \sqrt{j(j+1) - m(m+1)} \delta_{m', m+1} \\ \langle j, m' | J_- | j, m \rangle &= \sqrt{j(j+1) - m(m-1)} \delta_{m', m-1}. \end{aligned} \quad (63)$$

مثال ۱: نمایش اسپین  $\frac{1}{2}$

این نمایش دوبعدی است و بردارهای پایه آن عبارتنداز  $\{|\frac{1}{2}, \frac{1}{2}\rangle, |\frac{1}{2}, -\frac{1}{2}\rangle\}$ . در این نمایش داریم

$$J_z = \frac{1}{2} \begin{pmatrix} 1 & 0 \\ 0 & -1 \end{pmatrix} \quad J_x = \frac{1}{2} \begin{pmatrix} 0 & 1 \\ 1 & 0 \end{pmatrix} \quad J_y = \frac{1}{2} \begin{pmatrix} 0 & -i \\ i & 0 \end{pmatrix}. \quad (64)$$

مثال ۲: نمایش اسپین 1

این نمایش سه بعدی است و بردارهای پایه آن عبارتنداز  $\{|1, 1\rangle, |1, 0\rangle, |1, -1\rangle\}$ . در این نمایش داریم

$$J_z = \begin{pmatrix} 1 & 0 & 0 \\ 0 & 0 & 0 \\ 0 & 0 & -1 \end{pmatrix} \quad J_x = \sqrt{2} \begin{pmatrix} 0 & 1 & 0 \\ 1 & 0 & 1 \\ 0 & 1 & 0 \end{pmatrix} \quad J_y = i\sqrt{2} \begin{pmatrix} 0 & -1 & 0 \\ 1 & 0 & -1 \\ 0 & 1 & 0 \end{pmatrix}. \quad (65)$$

## ۵ شکل فضایی ویژه حالت های تکانه زاویه ای : توابع هماهنگ کروی

در این بخش می خواهیم شکل ویژه توابع تکانه زاویه ای را در فضای مختصات پیدا کنیم. می دانیم که

$$\begin{aligned} J^2 |j, m\rangle &= j(j+1) |j, m\rangle \\ J_z |j, m\rangle &= m |j, m\rangle. \end{aligned} \quad (66)$$

در پایه مختصات قرار می دهیم

$$f_{j,m}(r, \theta, \phi) := \langle \vec{r} | j, m \rangle. \quad (67)$$

در این پایه عملگرهای  $J_z$  و  $J^2$  به صورت دو عملگر دیفرانسیل و روابط بالا به صورت دو معادله دیفرانسیل در می آیند. نگاهی به روابط شکل این عملگرها نشان می دهد که تنها به  $\theta$  و  $\phi$  بستگی دارند. بنابراین نتیجه می گیریم که

$$f_{j,m}(r, \theta, \phi) = f(r) \langle \theta, \phi | j, m \rangle, \quad (68)$$

که در آن  $f(r)$  هر تابع دلخواهی از  $r$  تابع

$$Q_{j,m}(\theta, \phi) := \langle \theta, \phi | j, m \rangle \quad (69)$$

تابعی روی کره است که د معادلات دیفرانسیل بالا صدق می کند. حال دقت می کنیم که بجای حل معادلات دیفرانسیل فوق می توانیم از نمایش هایی که بدست آورده ایم استفاده کنیم. اولاً هرگاه  $Q_{j,j}(\theta, \phi) := \langle \theta, \phi | j, j \rangle$  را پیدا کنیم بقیه توابع به ترتیب زیر بدست می آیند:

$$Q_{j,m}(\theta, \phi) = AJ_-^{j-m} Q_{j,j}(\theta, \phi), \quad (70)$$

که در آن  $A$  یک ثابت بهنجارش و  $J_-$  عملگر دیفرانسیل زیر است:

$$J_- := e^{-i\phi} \left( \frac{\partial}{\partial \theta} - i \cot \theta \frac{\partial}{\partial \phi} \right). \quad (71)$$

ثانیاً  $Q_{j,j}(\theta, \phi)$  تابعی است که در دو رابطه زیر صدق می کند:

$$\begin{aligned} J_z Q_{j,j}(\theta, \phi) &= j Q_{j,j}(\theta, \phi), \\ J_+ Q_{j,j}(\theta, \phi) &= 0, \end{aligned} \quad (72)$$

که در آن  $J_z$  و  $J_+$  عملگرهای دیفرانسیل زیر هستند:

$$\begin{aligned} J_z &= -i \frac{\partial}{\partial \phi} \\ J_+ &= e^{i\phi} \left( \frac{\partial}{\partial \theta} + i \cot \theta \frac{\partial}{\partial \phi} \right). \end{aligned} \quad (73)$$

بنابراین برای یافتن  $Q_{j,j}(\theta, \phi)$  می بایست دو معادله دیفرانسیل زیر را حل کنیم:

$$\begin{aligned} -i \frac{\partial}{\partial \phi} Q_{j,j} &= 0, \\ \left( \frac{\partial}{\partial \theta} + i \cot \theta \frac{\partial}{\partial \phi} \right) Q_{j,j} &= 0. \end{aligned} \quad (74)$$

این معادلات یک جواب یکتا دارند که منهای یک ضریب بهنجارش عبارت است از:

$$Q_{j,j}(\theta, \phi) = (\sin \theta)^j e^{ij\phi}. \quad (75)$$

اما برای  $j$  های نیمه صحیح این توابع پیوسته نیستند زیرا به ازای  $\phi$  و  $\phi + 2\pi$  دو مقدار متفاوت می گیرند. پیوسته نبودن تابع به این معناست که مشتق  $\frac{\partial}{\partial \phi}$  روی این توابع تولید بی نهایت می کند که مانع صدق کردن این توابع در معادلات بالا می شود.

بنابراین حالت های  $|j, j\rangle$  و در نتیجه  $|j, m\rangle$  برای  $j$  های نیمه صحیح توصیفی در فضای مختصات ندارند. تنها حالت های با  $j$  صحیح چنین توصیفی دارند. برای تمیز این حالت ها از این به بعد آن ها را با  $|l, m\rangle$  نشان می دهیم و شکل تابع موج آنها را روی کره نیز با  $Y_{l,m}(\theta, \phi)$  نشان می دهیم، یعنی قرار می دهیم

$$Y_{l,m}(\theta, \phi) := \langle \theta, \phi | l, m \rangle. \quad (76)$$

توابع  $Y_{l,m}(\theta, \phi)$  هارمونیک های کروی خوانده می شوند.  $l$  عدد کوانتومی مربوط به اندازه تکانه زاویه ای و  $m$  عدد کوانتومی مربوط به مولفه سوم تکانه زاویه ای است. اندازه تکانه زاویه ای حالت  $|l, m\rangle$  با تابع موج  $Y_{l,m}(\theta, \phi)$  برابر است با  $\hbar^2 l(l+1)$  و مولفه سوم تکانه زاویه ای برابر است با  $\hbar m$ . بحث فوق به مانشان می دهد که

$$Y_{l,l}(\theta, \phi) = A_l \sin^l \theta e^{il\phi}, \quad (77)$$

که در آن  $A_l$  یک ضریب بهنجارش است. این ضریب بهنجارش را می توان به ترتیب زیر بدست آورد. باید داشته باشیم

$$\int_0^\pi \sin \theta \int_0^{2\pi} d\phi |Y_{l,l}|^2 = A_l^2 2\pi \int_0^\pi \sin^{2l+1} \theta = 1. \quad (78)$$

اما می دانیم که

$$\int_0^{\frac{\pi}{2}} d\theta \cos^{2m+1} \theta \sin^{2n+1} \theta = \frac{m!n!}{2(m+n+1)!}, \quad (79)$$

و  $n! = n(n-1)!$  و  $\frac{1}{2}! = \frac{\sqrt{\pi}}{2}$ . بنابراین بعد از کمی محاسبه بدست می آوریم

$$A_l = \sqrt{\frac{(2l+1)!!}{2\pi 2^{l+1} l!}} \quad (80)$$

و در نتیجه

$$Y_{l,l}(\theta, \phi) = \sqrt{\frac{(2l+1)!!}{2\pi 2^{l+1} l!}} \sin^l \theta e^{il\phi}. \quad (81)$$

بقیه هارمونیک های کروی را با اثر عملگرهای پایین آورنده یعنی عملگر  $L_- = e^{-i\phi} \left( \frac{\partial}{\partial \theta} - i \cot \theta \frac{\partial}{\partial \phi} \right)$  روی  $Y_{l,l}$  بدست می آوریم. در زیر هارمونیک های کروی را برای  $l=0$  و  $l=1$  بدست می آوریم.

الف: هارمونیک های کروی با  $l=0$

در این حالت فقط یک هارمونیک کروی داریم که عبارت است از

$$Y_{0,0}(\theta, \phi) = \frac{1}{\sqrt{4\pi}}. \quad (82)$$

الف: هارمونیک های کروی با  $l = 1$

در این حالت سه هارمونیک کروی داریم که عبارت اند از  $Y_{1,1}$ ,  $Y_{1,0}$ ,  $Y_{1,-1}$ . با توجه به رابطه 81 داریم

$$Y_{1,1}(\theta, \phi) = -\frac{1}{2}\sqrt{\frac{3}{2\pi}} \sin \theta e^{i\phi}. \quad (83)$$

دقت کنید که علامت - ناشی از قراردادهای رایج است. از نمایش اسپین یک داریم

$$\begin{aligned} |1, 0\rangle &= \frac{1}{\sqrt{2}}L_-|1, 1\rangle, \\ |1, -1\rangle &= \frac{1}{\sqrt{2}}L_-|1, 0\rangle. \end{aligned} \quad (84)$$

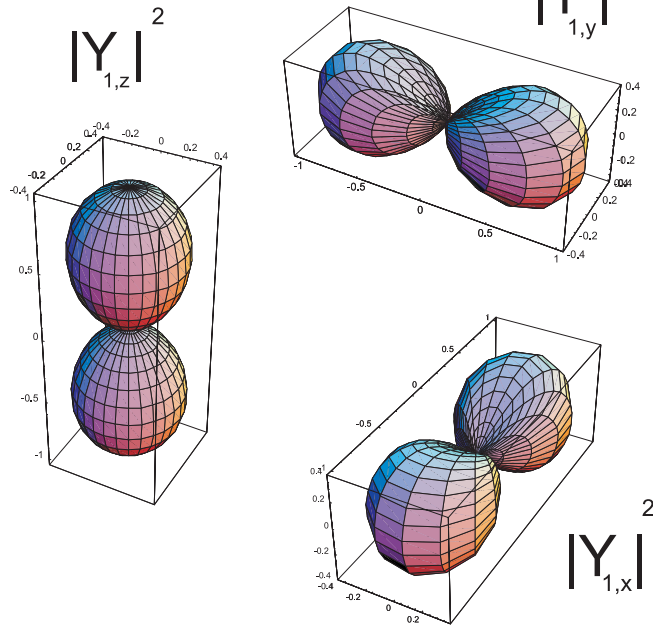
بنابراین بدست می آوریم

$$\begin{aligned} Y_{1,0}(\theta, \phi) &= \frac{1}{\sqrt{2}}e^{-i\phi} \left( \frac{\partial}{\partial \theta} - i \cot \theta \frac{\partial}{\partial \phi} \right) Y_{1,1}(\theta, \phi) = \sqrt{\frac{3}{2\pi}} \cos \theta, \\ Y_{1,-1}(\theta, \phi) &= \frac{1}{\sqrt{2}}e^{-i\phi} \left( \frac{\partial}{\partial \theta} - i \cot \theta \frac{\partial}{\partial \phi} \right) Y_{1,0}(\theta, \phi) = \frac{1}{2}\sqrt{\frac{3}{2\pi}} \sin \theta e^{-i\phi}. \end{aligned} \quad (85)$$

برای آنکه با شکل فضایی این هارمونیک ها و ارتباط آنها با مفهوم اوربیتال ها بیشتر آشنا شویم هارمونیک های مربوط به  $l = 1$  را رسم می کنیم. دقت کنید که شکل کامل تابع موج عبارت است از

$$\psi_{E,l,m}(r, \theta, \phi) = f(r)Y_{l,m}(\theta, \phi) \quad (86)$$

این تابع موج نشان دهنده حالتی است که انرژی ذره برابر با  $E$ ، تکانه‌ی زاویه‌ای کل آن برابر با  $\hbar^2 l(l+1)$  و مولفه سوم تکانه‌ی زاویه‌ای آن برابر با  $\hbar m$  است. چگالی احتمال ذره به صورت  $|f_E(r)|^2 |Y_{l,m}|^2$  نوشته می شود که به صورت حاصل ضرب یک تابع از شعاع در یک تابع از زاویه‌های روی کره است. هرگاه در یک شعاع ثابت به چگالی ابرالکترونی نگاه کنیم یعنی روی یک کره حرکت کرده و به چگالی این ابر نگاه کنیم، تغییرات غلظت آن مطابق با تابع  $|Y_{l,m}(\theta, \phi)|^2$  داده می شود. برای تجسم بهتر می توانیم این تابع را روی کره رسم کنیم به این معنا که به ازای هر نقطه با مختصات  $(\theta, \phi)$  روی کره شعاعی به اندازه‌ی  $r := |Y_{l,m}(\theta, \phi)|^2$  روی همان نقطه رسم می کنیم. به این ترتیب شکل هارمونیک  $|Y_{0,0}|^2$  یک کره خواهد شد و شکل هارمونیک  $|Y_{1,0}|^2$  به صورت تابع  $r = \frac{3}{2\pi} \cos^2 \theta$  داده خواهد شد، شکل (۱). این همان اوربیتال دامبل شکلی است که در راستای محور  $z$  قرار گرفته است، به همین دلیل یک اسم مناسب برای هارمونیک کروی  $Y_{1,0}$ ،  $Y_{1,z}$  است، شکل (۲). توجه کنید که معنای این شکل این نیست که غلظت ابرالکترونی منحصر به درون این اوربیتال است بلکه فقط و فقط نشان می دهد که غلظت این ابر نسبت به زوایای مختلف چگونه است. چگالی احتمال کل به عنوان تابعی از نقاط فضا فقط وقتی بدست می آید



شکل ۲: اوربیتال های  $Y_{1,z}$ ,  $Y_{1,x}$ ,  $Y_{1,y}$

که تابع شعاعی را نیز معین کرده باشیم.

ممکن است از خود بپرسیم که اوربیتال های دامبل شکلی که محور آنها در راستای محورهای  $x$  یا  $y$  هستند، کدام ها هستند؟ این سوال از آن جهت جالب است که اگر شکل فضایی هارمونیک های  $|Y_{1,1}|^2$  و  $|Y_{1,-1}|^2$  را تصور کنیم به وضوح با آن اوربیتال ها متفاوتند. برای بدست آوردن شکل چنین اوربیتالهایی کافی است که بجای  $Y_{1,1}$  و  $Y_{1,-1}$  اوربیتال های زیر را تعریف کنیم:

$$\begin{aligned}
 Y_{1,x} &:= Y_{1,1} - Y_{1,-1} = -\sqrt{\frac{3}{2\pi}} \sin \theta \cos \phi, \\
 Y_{1,y} &:= Y_{1,1} + Y_{1,-1} = i\sqrt{\frac{3}{2\pi}} \sin \theta \sin \phi.
 \end{aligned}
 \tag{87}$$

شکل فضایی این اوربیتال ها همان هایی است که در درس های شیمی با آن آشنا شده ایم یعنی دامبل هایی که محورهای آنها در راستای  $x$  یا  $y$  قرار گرفته اند، شکل (۲)

## ۱.۵ پارته هماهنگ های کروی

عملگر پارته درسه بعد به صورت زیر تعریف می شود:

$$\Pi|\vec{r}\rangle = |-\vec{r}\rangle.
 \tag{88}$$

به همان ترتیبی که در درس های پیشین نشان دادیم می توان روابط زیر را از تعریف فوق نتیجه گرفت:

$$\Pi|\vec{p}\rangle = |-\vec{p}\rangle,$$

$$\begin{aligned} \{\Pi, X\} = \{\Pi, Y\} = \{\Pi, Z\} = 0, \\ \{\Pi, P_x\} = \{\Pi, P_y\} = \{\Pi, P_z\} = 0. \end{aligned} \quad (89)$$

از دو رابطه اخیر بدست می آید که

$$[\Pi, L_x] = [\Pi, L_y] = [\Pi, L_z] = 0, \quad \longrightarrow \quad [\Pi, L^2] = 0. \quad (90)$$

بنابراین ویژه حالت های مشترک  $L_z$  و  $L^2$  ویژه حالت پاریته هم هستند. برای آنکه پاریته حالت های  $|l, m\rangle$  را پیدا کنیم آنها را در پایه مختصات مطالعه می کنیم. می دانیم که اثر پاریته در مختصات کروی به شکل زیر است:

$$\Pi|r, \theta, \phi\rangle = |r, \pi - \theta, \phi + \pi\rangle. \quad (91)$$

فرض کنید که پاریته حالت  $|l, l\rangle$  برابر با  $\alpha$  باشد. در این صورت بادر نظر گرفتن مختصه شعاعی خواهیم داشت

$$\langle \theta, \phi | \Pi | l, l \rangle = \langle \pi - \theta, \phi + \pi | l, l \rangle, \quad (92)$$

و یا

$$\alpha Y_{l,l}(\theta, \phi) = Y_{l,l}(\pi - \theta, \phi + \pi). \quad (93)$$

نگاهی به شکل تابع  $Y_{l,l}(\theta, \phi)$  نشان می دهد که  $\alpha = (-1)^l$ . از آنجا که عملگر  $L_-$  با پاریته جابجایی شود نتیجه می گیریم که دیگر حالت های یک چند تایی با  $l$  ثابت همگی یک پاریته دارند. بنابراین

$$\Pi | l, m \rangle = (-1)^l | l, m \rangle. \quad (94)$$

در پایان بهتر است فرم کلی هماهنگ های کروی را برای استفاده در آینده بنویسیم. صحت روابط زیر را خواننده می تواند یا با محاسبه به روشی که گفته شد تحقیق کند. روابط بیشتر را خواننده می تواند با مراجعه به کتاب های ریاضی فیزیک پیدا کند.

$$Y_{lm}(\theta, \phi) = (-1)^m \left[ \frac{2l+1}{4\pi} \frac{(l-m)!}{(l+m)!} \right]^{1/2} P_l^m(\cos \theta) e^{im\phi} \quad m \geq 0. \quad (95)$$

$$Y_{l,-m} = (-1)^m Y_{lm}^*. \quad (96)$$

در این روابط  $P_l^m(x)$  چند جمله ای های وابسته لژاندر هستند که یک پایه متعامد برای فضای چند جمله ای ها تشکیل داده و برای  $m \geq 0$  به طریق زیر تعریف می شوند:

$$P_l^m(x) = (-1)^{l+m} \frac{(l+m)!}{(l-m)! 2^l l!} (1-x^2)^{-m/2} \frac{d^{l-m}}{dx^{l-m}} (1-x^2)^l, \quad (97)$$

و برای  $m < 0$  به طریق زیر:

$$P_l^{-m}(x) = (-1)^m \frac{(l-m)!}{(l+m)!} P_l^m(x). \quad (98)$$

## ۶ معادله شعاعی

برای ذره ای که در یک پتانسیل مرکزی حرکت می کند هامیلتونی به شکل زیر است

$$H = \frac{1}{2\mu} \vec{P} \cdot \vec{P} + V(r), \quad (99)$$

که در آن  $r = (\vec{R} \cdot \vec{R})^{1/2}$  و جرم ذره را با  $\mu$  نشان داده ایم. این پتانسیل بوضوح تقارن دورانی دارد و بامولفه های تکانه زاویه ای جابجایی شود. بنابراین می توانیم طیف مشترک  $H, L_z$  و  $L^2$  را پیدا کنیم. برای این کار از رابطه  $L^2 = R^2 P^2 - (\vec{R} \cdot \vec{P}^2 + i\hbar(\vec{R} \cdot \vec{P}))$  استفاده می کنیم و معادله شرودینگر را به شکل زیر بازنویسی می کنیم

$$\left[ \frac{L^2 + (\vec{r} \cdot \vec{P})^2 - i\vec{r} \cdot \vec{P}}{2\mu r^2} + V(r) \right] \psi(r, \theta, \phi) = E\psi(r, \theta, \phi), \quad (100)$$

که در آن  $\vec{P} = -i\vec{\nabla}$  عملگر تکانه درپایه مختصات است. حال ویژه تابع را به شکل زیر در نظر می گیریم

$$\psi(r, \theta, \phi) = R(r)Y_{l,m}(\theta, \phi), \quad (101)$$

و پس از جایگذاری در معادله فوق به رابطه زیر می رسیم

$$\left[ -\frac{1}{2\mu} \frac{d^2}{dr^2} - \frac{1}{\mu r} \frac{d}{dr} + V_{eff}(r) \right] f(r) = E f(r), \quad (102)$$

که در آن پتانسیل موثر است و شکل آن برابر است با

$$V_{eff}(r) = V(r) + \frac{l(l+1)}{2\mu r^2}. \quad (103)$$



به معادله فوق معادله شعاعی شرودینگر گفته می شود. دقت کنید که در این معادله ثابت پلانک را برابر با ۱ گرفته ایم. هر جا که لازم باشد می توانیم مقدار واقعی این ثابت را در روابط قرار دهیم. هرگاه قرار دهیم

$$f(r) = \frac{R(r)}{r}$$

آنگاه معادله حاکم بر  $R$  به شکل ساده تر زیر درمی آید که کاملاً با معادله یک بعدی شرودینگر برای یک پتانسیل موثر یکسان است:

$$\left[ -\frac{1}{2\mu} \frac{d^2}{dr^2} + V(r) + \frac{l(l+1)}{2\mu r^2} \right] R(r) = E R(r), \quad (104)$$

## ۱.۶ ملاحظات کلی درباره معادله شعاعی

نخست بهتراست به چند نکته مهم دقت کنیم.

۱ - می دانیم که حالت های مقید یعنی حالت هایی که در بی نهایت به سمت صفر میل می کنند انرژی آنها منفی است انرژی های گسسته ای دارند. گسسته بودن این انرژی را باید با یک عدد گسسته مثل  $n$  نشان دهیم. به ازای هر عدد  $l$  که در معادله بالا قرار می دهیم مجموعه ای از انرژی های گسسته وجود خواهد داشت. بنابراین این انرژی ها را با  $E_{n,l}$  نشان می دهیم. در نتیجه تابع شعاعی  $R(r)$  را نیز با  $R_{n,l}$  نشان می دهیم. حل معادله کامل شرودینگر عبارت است از

$$\psi_{n,l,m}(r, \theta, \phi) = \frac{R_{n,l}(r)}{r} Y_{l,m}(\theta, \phi), \quad H\psi_{n,l,m} = E_{n,l}\psi_{n,l,m}. \quad (105)$$

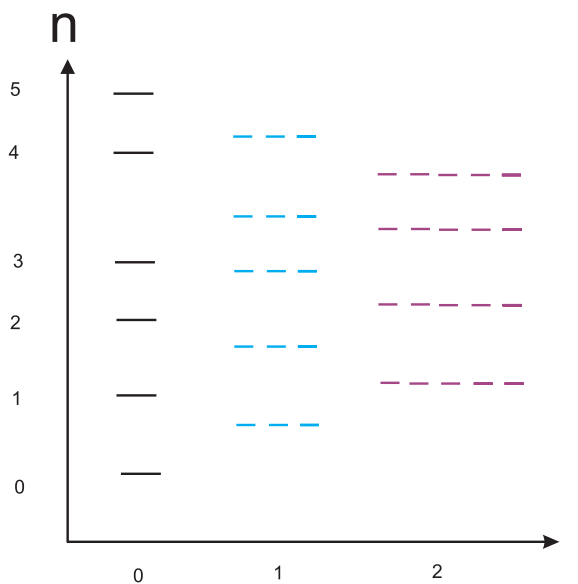
بنابراین هر تابع موج با سه عدد کوانتومی  $n, l, m$  مشخص می شود ولی هر انرژی تنها با دو عدد کوانتومی  $n, l$  مشخص می شود و به عدد کوانتومی سوم یعنی  $m$  بستگی ندارد. این امر نتیجه تقارن دورانی است. برای فهمیدن بهتر این خاصیت به این به این نکته توجه می کنیم که  $[H, L_+] = 0$  و اینکه

$$L_+\psi_{n,l,m} = \sqrt{l(l+1) - m(m+1)}\psi_{n,l,m+1}. \quad (106)$$

در نتیجه اگر  $H\psi_{n,l,m} = E\psi_{n,l,m}$  آنگاه

$$H\psi_{n,l,m+1} \propto HL_+\psi_{n,l,m} = L_+H\psi_{n,l,m} = L_+E\psi_{n,l,m} = E\psi_{n,l,m+1}. \quad (107)$$

یعنی اینکه هر دو تابع موج  $\psi_{n,l,m}$  و  $\psi_{n,l,m+1}$  یک انرژی دارند.



شکل ۳: نمونه طیف انرژی برای پتانسیلی که دارای تقارن کروی است.

بنابراین برای هر پتانسیلی که دارای تقارن دورانی است می توانیم سطوح انرژی را در یک شبکه دو بعدی مطابق با شکل ۳ رسم کنیم. اما برای دو پتانسیل خاص یعنی برای پتانسیل کپلری  $V(r) = \frac{K}{r}$  و پتانسیل نوسانگر یعنی  $V(r) = Kr^2$  مقایسه انرژی  $E$  به مقدار  $l$  نیز بستگی نخواهند داشت و تنها به یک عدد کوانتومی یعنی عدد  $n$  بستگی خواهند داشت. طیف این پتانسیل ها شبیه به شکل نشان داده شده در شکل ۴ خواهد شد. این عدم وابستگی ناشی از یک تقارن اضافی علاوه بر تقارن دورانی است که در مورد این دو پتانسیل وجود دارد و در آینده به آن خواهیم پرداخت.

۴ - برای  $r$  های کوچک و به شرط آنکه پتانسیل سریعتر از  $\frac{1}{r^2}$  به سمت بی نهایت میل نکند، که برای تمام پتانسیل های متعارف چنین است، معادله شعاعی به شکل زیر درمی آید:

$$\left[ -\frac{1}{2\mu} \frac{d^2}{dr^2} + \frac{l(l+1)}{2\mu r^2} \right] \tilde{R}(r) \approx 0, \quad (108)$$

حل این معادله به شکل  $\tilde{R}(r) = r^s$  است به شرط آنکه  $s$  در معادله زیر صدق کند:

$$s(s-1) = l(l+1) \quad (109)$$

که نشان می دهد  $s = l+1$  و یا  $s = -l$ . بنابراین تابع موج شعاعی برای  $r$  های کوچک به یکی از دو صورت زیر رفتار می کند:

$$\tilde{R}(r) \rightarrow r^l \quad (110)$$

ویا

$$\tilde{R}(r) \rightarrow r^{-l-1} \quad (111)$$

جوابی که برای  $r$  های کوچک به صورت 110 رفتاری کند جواب منظم یا *regular* و جوابی که به صورت 111 رفتاری کند جواب نامنظم یا *irregular* نامیده می شود.

۵ - برای  $r$  های بزرگ، و به شرط آنکه پتانسیل در ناحیه محدودی از فضا حضور داشته باشد که همواره چنین است، معادله شعاعی شرودینگر به صورت زیر درمی آید

$$\frac{d^2}{dr^2} \tilde{R} + 2\mu E \tilde{R} \approx 0. \quad (112)$$

اگر به دنبال جواب های بهنجار هستیم می بایست شرط زیر برقرار باشد

$$\int r^2 dr \int d\Omega |R(r)|^2 |Y_{l,m}(\theta, \phi)|^2 = \int dr |\tilde{R}(r)|^2 = 1. \quad (113)$$

در نتیجه جواب های شعاعی بهنجار پذیر آنهایی هستند که در بی نهایت به سمت صفر میل می کنند. برای وقتی که  $r$  خیلی بزرگ باشد، جواب این معادله برابر است با

$$\tilde{R}(r) \approx e^{-\kappa r} \quad (114)$$

ویا

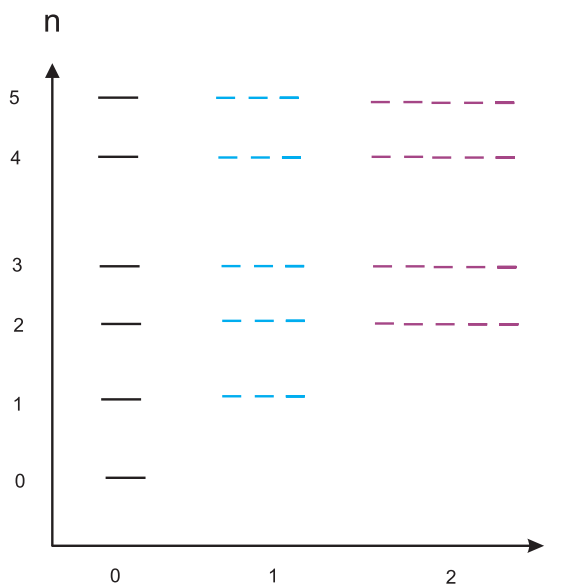
$$R(r) \approx \frac{e^{-\kappa r}}{r} \quad (115)$$

که در آن  $\kappa = \sqrt{2\mu|E|}$ . برای انرژی های مثبت  $E > 0$  که حالت ها مقید نیستند بدنبال جواب های بهنجار نیستیم. در این صورت تابع موج در  $r$  های بزرگ به صورت زیر رفتاری کند

$$\tilde{R}(r) \approx e^{ikr} + Ae^{-ikr}, \quad (116)$$

ویا

$$R(r) \approx \frac{e^{ikr} + Ae^{-ikr}}{r}, \quad (117)$$



شکل ۴: نمونه طیف انرژی برای پتانسیل های  $V = \frac{K}{r^2}$  و  $V = Kr^2$ .

$$k = \sqrt{2\mu E}$$

پس از این ملاحظات کلی در درس های آینده به مطالعه مثال های خاص می پردازیم.

## ۷ ضمیمه

در این قسمت می خواهیم با چند جمله ای های لژاندر و توابع وابسته ی لژاندر آشنا شویم. خواننده می بایست ضمن خواندن متن تمرین های کوچکی را که طرح کرده ایم حل کند تا بتواند متن را بخوبی دنبال کند. مثل همیشه این توابع را با مولد آنها معرفی می کنیم که به صورت زیر تعریف می شود:

$$g(t, x) = (1 - 2xt + t^2)^{-1/2} = \sum_{n=0}^{\infty} P_n(x)t^n, \quad |t| < 1. \quad (118)$$

توابع  $P_n(x)$  چند جمله ای هایی از درجه ی  $n$  هستند و چند جمله ای های لژاندر خوانده می شوند. تمرین: نشان دهید که چند جمله ای های لژاندر خاصیت های زیر را دارند:

$$P_n(1) = 1, \quad P_n(-1) = (-1)^n, \quad (119)$$

$$P_{2n}(0) = (-1)^n \frac{(2n-1)!!}{(2n)!!} \quad P_{2n+1}(0) = 0. \quad (120)$$

تمرین: با بسط طرف چپ رابطه (118) و مقایسه عبارت زیر را برای چند جمله‌ای های لژاندر بدست آورید:

$$P_n(x) = \sum_{k=0}^{[n/2]} (-1)^k \frac{(2n-2k)!}{2^n k!(n-k)!(n-2k)!} x^{n-2k}. \quad (121)$$

تمرین: روابط تکرار: با مشتق گیری از طرفین رابطه‌ی (118) نسبت به متغیر  $t$  و مقایسه طرفین نشان دهید که:

$$(2n+1)xP_n(x) = (n+1)P_{n+1}(x) + nP_{n-1}(x), \quad n = 1, 2, 3, \dots \quad (122)$$

هم چنین با مشتق گیری از طرفین نسبت به متغیر  $x$  و مقایسه طرفین نشان دهید که

$$P'_{n+1}(x) - P'_{n-1}(x) = (2n+1)P_n(x). \quad (123)$$

تمرین: معادله دیفرانسیل با ترکیب روابط تکرار بالا نشان دهید که  $P_n(x)$  در معادله دیفرانسیل زیر صدق می کند:

$$(1-x^2)P_n'' - 2xP_n' + n(n+1)P_n(x) = 0. \quad (124)$$

تمرین: تعامد: با نوشتن معادله دیفرانسیل لژاندر، معادله‌ای که در تمرین قبل بدست آوردید، یک بار برای پارامتر  $m$  و یک بار برای  $n$  و انجام عملیات مناسب نشان دهید که

$$\int_{-1}^1 P_n(x)P_m(x)dx = 0 \quad m \neq n. \quad (125)$$

حال با استفاده از این مطلب می توانید چند جمله‌ای های لژاندر را بهنجار کنید. برای این کار دو طرف رابطه‌ی (118) را مربع کرده و روی متغیر  $x$  از  $-1$  تا  $1$  انتگرال بگیرید. برای این کار می بایست نخست انتگرال طرف چپ را به عنوان تابعی از متغیر  $t$  حساب کرده و آن را به عنوان تابعی از  $t$  بسط دهید. در این صورت ثابت خواهید کرد که

$$\int_{-1}^1 [P_n(x)]^2 dx = \frac{2}{2n+1}. \quad (126)$$

---


$$P_0(x) = 1$$

$$P_1(x) = x$$

$$P_2(x) = \frac{1}{2}(3x^2 - 1)$$

$$P_3(x) = \frac{1}{2}(5x^3 - 3x)$$

$$P_4(x) = \frac{1}{8}(35x^4 - 30x^2 + 3)$$

$$P_5(x) = \frac{1}{8}(63x^5 - 70x^3 + 15x)$$


---

چند جمله‌ای های اول لژاندر 3:

تمرین: فرمول رودریگز نشان دهید که  $P_n(x)$  را می توان به صورت زیر نوشت:

$$P_n(x) = \frac{1}{2^n n!} \left( \frac{d}{dx} \right)^n (x^2 - 1)^n. \quad (127)$$

یک راه برای حل این تمرین آن است که نشان دهید این عبارت در معادله دیفرانسیل لژاندر صدق می کند. راه بهتر آن است که از عبارت (121) شروع کنید و از اتحاد دو جمله‌ای وهم چنین دو اتحاد زیر استفاده کنید:

$$\frac{d^n}{dx^n} x^m = \frac{m!}{(m-n)!} x^{m-n} \quad (128)$$

و

$$\frac{d^n}{dx^n} (fg) = \sum_{k=0}^n \frac{n!}{k!(n-k)!} f^k(x) g^{n-k}(x), \quad (129)$$

که در آن معنای  $f^k(x)$  مشتق مرتبه  $k$  از تابع  $f$  است.

تمرین: نشان دهید که چند جمله‌ای های اولیه لژاندر مطابق با جدول (۷) هستند.

تمرین: توابع وابسته لژاندر معادله دیفرانسیل لژاندر را در نظر بگیرید:

$$(1-x^2)P_n'' - 2xP_n'(x) + n(n+1)P_n(x) = 0 \quad (130)$$

حال قرار دهید

$$u := \frac{d^m}{dx^m} P_n(x) \quad (131)$$

و معادله دیفرانسیل حاکم بر  $u$  را بدست آورید. سپس قرار دهید

$$v = (1 - x^2)^{m/2}u \quad (132)$$

و نشان دهید که  $v$  در معادله دیفرانسیل زیر صدق می کند:

$$(1 - x^2)v'' - 2xv' + [n(n + 1) - \frac{m^2}{1 - x^2}]v = 0. \quad (133)$$

این معادله، همان معادله دیفرانسیل وابسته لژاندر است. با استفاده از روابطی که بدست آورده اید، چند تابع اولیه لژاندر را بدست آورید و نشان دهید که مطابق با جدول (۳) هستند.

## درس دوازدهم : اسپین

دردرس گذشته جبر زیر را مطالعه کردیم و تمام نمایش های یکانی آن را بدست آوردیم

$$[L_a, L_b] = i\epsilon_{abc}L_c. \quad (1)$$

به عبارت دیگر تمام ماتریس های هرمیتی ممکن را که در روابط فوق صدق می کنند بدست آوردیم. دیدیم که هر نمایش با یک عدد صحیح یا نیمه صحیح  $j$  مشخص می شود که بعد آن برابراست با  $2j + 1$ . هر ماتریس روی بردارهای  $|j, m\rangle$  ( $m = -j, \dots, j$ ) به صورت زیر عمل می کند:

$$L_z|j, m\rangle = m|j, m\rangle, \quad (2)$$

$$L_+|j, m\rangle = \sqrt{j(j+1) - m(m+1)}|j, m+1\rangle \quad L_-|j, m\rangle = \sqrt{j(j+1) - m(m-1)}|j, m-1\rangle. \quad (3)$$

هم چنین دیدیم که تصویر فضایی چنین حالت هایی فقط برای وقتی که  $j$  یک عدد صحیح باشد وجود دارد. هرگاه این اعداد صحیح را با  $l$  نشان دهیم، آنگاه نمایش فضایی این حالت ها همان هماهنگ های کروی خواهند بود به این معنا که

$$Y_{l,m}(\theta, \phi) = \langle \theta, \phi | l, m \rangle. \quad (4)$$

هماهنگ های کروی هرگاه در یک پایه برای توابع شعاعی ضرب شوند یک پایه برای کل توابع موج در فضای سه بعدی بدست می دهند.

نمایش های با اسپین نیمه صحیح بخصوص نمایش اسپین  $1/2$  هیچ گونه تصویر فضایی ندارند. بد نیست نمایش اسپین  $1/2$  را به یاد بیاوریم. این نمایش با ماتریس های دو بعدی  $S_x, S_y, S_z$  مشخص می شود که عبارتند از:

$$S_x = \frac{1}{2} \begin{pmatrix} 0 & 1 \\ 1 & 0 \end{pmatrix} \quad S_y = \frac{1}{2} \begin{pmatrix} 0 & -i \\ i & 0 \end{pmatrix} \quad S_z = \frac{1}{2} \begin{pmatrix} 1 & 0 \\ 0 & -1 \end{pmatrix}. \quad (5)$$

این نمایش ها روی حالت های

$$|+\rangle := \left| \frac{1}{2}, \frac{1}{2} \right\rangle = \begin{pmatrix} 1 \\ 0 \end{pmatrix} \quad |-\rangle := \left| \frac{1}{2}, \frac{-1}{2} \right\rangle = \begin{pmatrix} 0 \\ 1 \end{pmatrix}, \quad (6)$$



به صورت زیر عمل می کنند:

$$S_x|\pm\rangle = \frac{1}{2}|\mp\rangle, \quad S_y|\pm\rangle = \frac{\pm i}{2}|\mp\rangle, \quad S_z|\pm\rangle = \frac{\pm 1}{2}|\pm\rangle, \quad (7)$$

و طبیعی است که در روابط جابجایی زیر صدق می کنند.

$$[S_a, S_b] = i\hbar\epsilon_{abc}S_c, \quad (8)$$

در این جا ثابت پلانک را که تا کنون برابر با یک گرفته بودیم دوباره در جای خود قراردادیم.

حال از خود می پرسیم که آیا یک ذره کوانتومی می تواند درحالتی مثل  $|+\rangle$  و یا  $|-\rangle$  و یا ترکیبی از آن دو باشد؟ اگر چنین چیزی وجود داشته باشد آنگاه می توان به این ذره مشاهده پذیرهایی مثل  $S_x, S_y, S_z$  نسبت داد که درست همان روابط جابجایی و در نتیجه همان خواص تکانه زاویه ای را دارند؟ آنچه که مسلم است این حالت ها نمی توانند مربوط به حرکت الکترون باشند زیرا همانطور که دیدیم این حالت ها تصویری در فضای مختصات ندارند و فضای هیلبرت یک ذره در فضای سه بعدی توسط توابع  $Y_{l,m}f_n(r)$  که در آن  $f_n(r)$  یک پایه برای توابع شعاعی است به طور کامل پوشانده می شود. بنابراین اگر دریابیم که الکترون یا هر ذره دیگری می تواند در چنین حالت هایی قرار بگیرد ناگزیریم که آن را به یک خصلت غیرفضایی یا درونی و ذاتی آن ذره نسبت دهیم. حال به سوال اولیه بازمی گردیم. آیا یک ذره در چنین حالت هایی قرار می گیرد؟ پاسخ مثبت این سوال در همان سالهای ابتدایی تکوین مکانیک کوانتومی با آزمایش های اشترن گرایخ داده شده است که شرح آن در درس دوم با تفصیل نسبی آورده شد. اکنون می دانیم که الکترون و بعضی از ذرات یا اتم های دیگر می توانند یک خصلت ذاتی از خود بروز دهند که تمام خواص مربوط به آن را می توان با در نظر گرفتن یک فضای هیلبرت دو بعدی مختلط توضیح داد. مشاهده پذیرهای مناسبی که رفتار الکترون را در این فضا توصیف می کنند به عملگرهای  $S_x, S_y, S_z$  مرتبط هستند. هرگاه ذره درحالتی مثل  $|z, +\rangle$  قرار می گیرد می گوییم که اسپین آن در جهت  $z$  روبه بالا است و هرگاه درحالت  $|z, -\rangle$  قرار می گیرد می گوییم اسپین آن در جهت  $z$  روبه پایین است. این حالت ها ویژه بردارهای مشترک  $S_z$  و  $S^2$  هستند یعنی

$$S_z|z, \pm\rangle = \frac{\pm\hbar}{2}|z, \pm\rangle \\ S^2|z, \pm\rangle = \frac{3}{4}\hbar^2|z, \pm\rangle. \quad (9)$$

## ۱ عملگرهای اسپین و ماتریس های پاولی

عملگرهای اسپین را می توان به صورت  $S_a = \frac{\hbar}{2}\sigma_a$  نوشت که در آن  $\sigma_a$  ها ماتریس های پاولی نامیده می شوند و عبارتند از:

$$\sigma_x = \begin{pmatrix} 0 & 1 \\ 1 & 0 \end{pmatrix} \quad \sigma_y = \begin{pmatrix} 0 & -i \\ i & 0 \end{pmatrix} \quad \sigma_z = \begin{pmatrix} 1 & 0 \\ 0 & -1 \end{pmatrix}. \quad (10)$$

این ماتریس ها خواص جالبی دارند که در مطالعه روابط مربوط به اسپین و هم چنین انجام محاسبات مربوط به آن بسیار مفیدند. خواننده می تواند به راحتی صحت روابط زیر را تحقیق کند:  
الف:

$$\sigma_a^\dagger = \sigma_a, \quad \sigma_a^2 = I, \quad \{\sigma_a, \sigma_b\} = 2\delta_{ab}I, \quad Tr(\sigma_a\sigma_b) = 2\delta_{ab}. \quad (11)$$

که در آن  $\{a, b\} := ab + ba$

ب:

$$[\sigma_a, \sigma_b] = 2i\epsilon_{abc}\sigma_c, \quad \sigma_a\sigma_b = \delta_{ab}I + i\epsilon_{abc}\sigma_c. \quad (12)$$

از این روابط بدست می آید:

$$\{a \cdot \sigma, b \cdot \sigma\} = 2a \cdot b, \quad (a \cdot \sigma)(b \cdot \sigma) = a \cdot bI + (a \times b) \cdot \sigma \quad (13)$$

ج:

$$e^{-i\theta n \cdot S} = \cos \frac{\theta}{2} - i \sin \frac{\theta}{2} n \cdot S. \quad (14)$$

د: ویژه بردارهای عملگر پاولی در راستای  $\hat{n}$

عملگر پاولی در راستای  $\mathbf{n}$  به صورت  $\hat{n} \cdot \sigma$  تعریف می شود. داریم

$$\hat{n} \cdot \sigma = \begin{pmatrix} n_3 & n_1 - in_2 \\ n_1 + in_2 & -n_3 \end{pmatrix}. \quad (15)$$

از آنجا که  $(\hat{n} \cdot \sigma)^2 = I$ ، بنابراین ویژه مقدارهای این عملگر برابر با  $\pm 1$  است، ویژه بردارهای متناظر را با  $|\hat{n}, +\rangle$  و  $|\hat{n}, -\rangle$  نشان می دهیم. یک محاسبه ساده نشان می دهد که

$$|\hat{n}, +\rangle = \begin{pmatrix} \cos \frac{\theta}{2} \\ \sin \frac{\theta}{2} e^{i\phi} \end{pmatrix}, \quad |\hat{n}, -\rangle = \begin{pmatrix} \sin \frac{\theta}{2} \\ -\cos \frac{\theta}{2} e^{i\phi} \end{pmatrix} \quad (16)$$

براحتی می توان تحقیق کرد که وقتی ذره درحالت  $|\hat{n}, +\rangle$  است مشاهده پذیرهای  $S_x, S_y, S_z$  مقادیر زیر را دارند:

$$\langle \hat{n}, + | S_x | \hat{n}, + \rangle = \sin \theta \cos \phi, \quad \langle \hat{n}, + | S_y | \hat{n}, + \rangle = \sin \theta \sin \phi, \quad \langle \hat{n}, + | S_z | \hat{n}, + \rangle = \cos \theta. \quad (17)$$

به عبارت دیگر درست مثل این است که حالت ذره با برداریکه کلاسیکی در راستای  $n$  مشخص می شود.

## ۲ فضای هیلبرت کامل

حال که مشخص شده است الکترون هم خصلت های فضایی دارد که با مختصات و تکانه مشخص می شوند و هم خصلت های درونی که با اسپین، می توان پرسید که حالت کامل آن را چگونه باید توصیف کرد؟ برای این کار بازم باید به آزمایش بازگردیم. تجربه های بسیار نشان داده اند که اسپین الکترون را می توان به همراه تکانه و یا مختصات آن اندازه گیری کرد. به عبارت دیگر اسپین و مختصه الکترون یا اسپین و تکانه الکترون مشاهده پذیرهای سازگار باهم هستند. این امر به این معناست که عملگرهای مربوط به این مشاهده پذیرها باهم جابجا می شوند، یعنی

$$[P_i, S_j] = 0 \quad [X_i, S_j] = 0, \quad [X_i, P_j] = i\hbar\delta_{ij}, \quad [S_i, S_j] = i\hbar\epsilon_{ijk}S_k. \quad (18)$$

اما از آنجا که دیدیم حالت های اسپینی الکترون نمایش فضایی ندارند. این امر به این معناست که روابط جابجایی مربوط به اسپین را نمی توان در همان فضای هیلبرتی که تاکنون برای توصیف الکترون بکار می رفت نمایش داد و ما ناچاریم که برای نمایش تمام روابط بالا فضای هیلبرت بزرگ تری اختیار کنیم. برای این کار فضای هیلبرت کامل را از ضرب دو فضای هیلبرت بی نهایت بعدی و دو بعدی می سازیم. فضای هیلبرتی که تاکنون با آن سروکار داشتیم با  $V_0$  نشان می دهیم. این فضای هیلبرت بی نهایت بعدی است و با بردارهای  $|x\rangle$  یا  $|p\rangle$  جابجا می شود. فضای هیلبرت اسپین را که دو بعدی است با  $V_s$  نشان می دهیم. فضای هیلبرت کامل را به صورت زیر در نظر می گیریم:

$$V = V_0 \otimes V_s. \quad (19)$$

در این فضا عملگر های مختصات، تکانه، و اسپین به صورت زیر عمل خواهند کرد:

$$\begin{aligned} \mathcal{P}_i &= P_i \otimes I, & \mathcal{X}_i &= X_i \otimes I \\ \mathcal{S}_a &= I \otimes S_a, \end{aligned} \quad (20)$$

و بدیهی است که روابط جابجایی آنها مطابق با (18) است. بنابراین فضایی ساخته ایم که تمام روابط بین مشاهده پذیرها را می توان در آن نمایش داد. بردارهای پایه این فضا به شکل زیر

$$\begin{aligned} |x, +\rangle &= |x\rangle \otimes |+\rangle = \begin{pmatrix} |x\rangle \\ 0 \end{pmatrix} \\ |x, -\rangle &= |x\rangle \otimes |-\rangle = \begin{pmatrix} 0 \\ |x\rangle \end{pmatrix} \end{aligned} \quad (21)$$

وروابط تعامد آنها به شکل زیر خواهد بود

$$\langle x, \alpha | x', \beta \rangle = \delta_{\alpha, \beta} \delta(x - x'). \quad (22)$$

هم چنین این بردارها یک پایه کامل برای فضای  $V$  تشکیل می دهند:

$$\begin{aligned} \sum_{\alpha} \int dx |x, \alpha\rangle \langle x, \alpha| &= \int dx |x, +\rangle \langle x, +| + \int dx |x, -\rangle \langle x, -| \\ &= \int dx \begin{pmatrix} |x\rangle \\ 0 \end{pmatrix} \begin{pmatrix} \langle x| & 0 \end{pmatrix} + \int dx \begin{pmatrix} 0 \\ |x\rangle \end{pmatrix} \begin{pmatrix} 0 & \langle x| \end{pmatrix} \\ &= \begin{pmatrix} \int dx |x\rangle \langle x| & 0 \\ 0 & \int dx |x\rangle \langle x| \end{pmatrix} = \begin{pmatrix} I & 0 \\ 0 & I \end{pmatrix} = I \end{aligned} \quad (23)$$

$$\sum_{\alpha} \int dx |x, \alpha\rangle \langle x, \alpha| = I \otimes I. \quad (24)$$

حالت کامل یک ذره رامی توان برحسب این بردارهای پایه بسط داد:

$$|\Psi\rangle = \sum_{\alpha} \int dx |x, \alpha\rangle \langle x, \alpha | \Psi \rangle = \sum_{\alpha} \int dx \psi_{\alpha}(x) |x, \alpha\rangle \quad (25)$$

که در آن

$$\psi_{+}(x) = \langle x, + | \Psi \rangle, \quad \psi_{-}(x) = \langle x, - | \Psi \rangle. \quad (26)$$

توابع موج ذره با مولفه مثبت و منفی اسپین هستند. به عبارت دیگر  $|\psi_{+}(x)|^2$  چگالی احتمال یافتن ذره با اسپین بالا در نقطه  $x$  است و  $|\psi_{-}(x)|^2$  نیز چگالی احتمال یافتن ذره با اسپین پایین در نقطه  $x$  است. مناسب است که شکل صریح عملگرهای  $\mathcal{X}$ ،  $\mathcal{P}$  و  $\mathcal{S}_a$  را در نظر آوریم. درپایه مختصات داریم

$$\vec{X} = \begin{pmatrix} X & 0 \\ 0 & X \end{pmatrix} \quad (27)$$

و

$$\vec{P} = \begin{pmatrix} -i\hbar\vec{\nabla} & 0 \\ 0 & -i\hbar\vec{\nabla} \end{pmatrix}. \quad (28)$$

هم چنین عملگرهای اسپین در فضای هیلبرت کل به شکل زیر هستند

$$\begin{aligned} S_x &= I \otimes S_x = I \otimes \begin{pmatrix} 0 & 1 \\ 1 & 0 \end{pmatrix} = \frac{\hbar}{2} \begin{pmatrix} 0 & I \\ I & 0 \end{pmatrix} \\ S_y &= I \otimes S_y = I \otimes \begin{pmatrix} 0 & -i \\ i & 0 \end{pmatrix} = \frac{\hbar}{2} \begin{pmatrix} 0 & -iI \\ iI & 0 \end{pmatrix} \\ S_z &= I \otimes S_z = I \otimes \begin{pmatrix} 1 & 0 \\ 0 & -1 \end{pmatrix} = \frac{\hbar}{2} \begin{pmatrix} I & 0 \\ 0 & -I \end{pmatrix}. \end{aligned} \quad (29)$$

که در آن ها عملگر  $I$  عملگری است که روی قسمت فضایی فضای هیلبرت یعنی  $V_0$  اثر می کند. به عبارت دیگر

$$I = \int dx |x\rangle\langle x|$$

قیافه هامیلتونی یک ذره که در پتانسیل  $V$  قرار دارد و اسپین در آن دخالتی ندارد به شکل زیر خواهد بود

$$\mathcal{H} = \frac{P^2}{2m} + V(\mathcal{X}) = \begin{pmatrix} \frac{P^2}{2m} + V(X) & 0 \\ 0 & \frac{P^2}{2m} + V(X) \end{pmatrix} = \begin{pmatrix} H & 0 \\ 0 & H \end{pmatrix}. \quad (30)$$

هرگاه ویژه بردارهای  $H$  را تعیین کرده باشیم ویژه بردارهای  $\mathcal{H}$  به شکل زیر خواهند بود که نشان دهنده یک واگنی است. این واگنی ناشی از یک تقارن است و آن اینکه عملگرهای اسپین با هامیلتونی جابجا می شوند:

$$\mathcal{H}|\psi_n, \alpha\rangle = E_n|\psi_n, \alpha\rangle. \quad (31)$$

برای یک چنین هامیلتونی عملگرتحول عبارت است از

$$U(t) = e^{-\frac{i}{\hbar}\mathcal{H}t} = \begin{pmatrix} e^{-\frac{i}{\hbar}Ht} & 0 \\ 0 & e^{-\frac{i}{\hbar}Ht} \end{pmatrix} \quad (32)$$

که نشان می دهد در طول زمان قسمت اسپینی یک حالت اولیه دچار تغییر نمی شود.

### ۳ برهم کنش یک ذره باردار با میدان الکترومغناطیسی

می دانیم که هامیلتونی ذره ای با بارالکتریکی  $q$  که در یک میدان الکترومغناطیسی با پتانسیل اسکالر  $\phi$  و پتانسیل برداری  $\mathbf{A}$  قرار می گیرد به شکل زیر است:

$$H = \frac{(P + \frac{q}{c}A)^2}{2m} + q\phi = \frac{1}{2m}(P^2 + \frac{q^2}{c^2}A^2 + \frac{q}{c}\vec{P} \cdot \vec{A} + \frac{q}{c}\vec{A} \cdot \vec{P}) + q\phi(r). \quad (33)$$

دقت کنید که این رابطه در دستگاه واحدهای گاوسی نوشته شده است که در آن بارالکتریکی یک الکترون برابر با  $esu \times 10^{-10} \times 4.8$  است. در این دستگاه میدان مغناطیسی بر حسب واحد گاوس سنجیده می شود.

هرگاه هامیلتونی بالا را در پایه مختصات بنویسیم بدست می آوریم

$$H = \frac{1}{2m}(-\hbar^2\nabla^2 + \frac{q^2}{c^2}A^2 - \frac{q}{c}i\hbar\vec{\nabla} \cdot \vec{A} - \frac{q}{c}i\hbar\vec{A} \cdot \vec{\nabla}) + q\phi(r) \quad (34)$$

از طرفی می دانیم که

$$\vec{\nabla} \cdot \vec{A}\psi = (\vec{\nabla} \cdot \vec{A})\psi + \vec{A} \cdot \vec{\nabla}\psi. \quad (35)$$

همیشه می توانیم پیمانه ای را انتخاب کنیم که در آن شرط  $(\nabla \cdot \mathbf{A}) = 0$  برقرار باشد. در این پیمانه هامیلتونی به شکل زیر درمی آید:

$$H = \frac{1}{2m}(-\hbar^2\nabla^2 + \frac{q^2}{c^2}A^2 - 2i\frac{q}{c}\hbar\vec{A} \cdot \vec{\nabla}) + q\phi(r). \quad (36)$$

هرگاه ذره تنها در یک میدان مغناطیسی یکنواخت  $\mathbf{B}$  قرار گرفته باشد آنگاه  $\phi(\mathbf{r}) = 0$  و

$$\vec{A} = \frac{1}{2}\vec{B} \times \vec{r}. \quad (37)$$

در این شرایط هامیلتونی به شکل زیر درمی آید:

$$H = \frac{1}{2m}(-\hbar^2\nabla^2 + \frac{q^2}{c^2}(r^2B^2 - (\vec{r} \cdot \vec{B})^2) - i\frac{q}{c}\hbar(\vec{B} \times \vec{r}) \cdot \vec{\nabla}) \quad (38)$$

اما تقریباً همواره می توانیم از جمله های متناسب با  $B^2$  بدلیل کوچکی شان صرف نظر کنیم. درحقیقت دانشجو می تواند با یک محاسبه ساده نشان دهد که این جملات برای میدان های مغناطیسی ای که در آزمایشگاه قابل حصول باشد

( $B < 10^5$  Gauss) درمقابل جملات دیگر همواره قابل چشم پوشی هستند. تحت این شرایط هامیلتونی به شکل زیردرمی آید:

$$H = \frac{1}{2m}(-\hbar^2\nabla^2 - \frac{q}{c}\vec{B} \cdot \vec{L}) = H_0 - \mu \cdot B, \quad (39)$$

که در آن  $\mu = \frac{q}{2mc}\mathbf{L}$  آن قسمت از گشتاورمغناطیسی ذره است که ناشی از حرکت دورانی آن و یا تکانه زاویه ای اربیتالی آن است. درفضای هیلبرت کامل این هامیلتونی به شکل زیراست:

$$H = \begin{pmatrix} H_0 - \mu \cdot B & 0 \\ 0 & H_0 - \mu \cdot B \end{pmatrix}, \quad (40)$$

که در آن  $H_0 = \frac{P^2}{2m}$ .

دراین محاسبه از گشتاورمغناطیسی ناشی از اسپین ذره صرف نظر کرده ایم. به همین دلیل این هامیلتونی به شکل بلوکه قطری درآمده است. هرگاه بخواهیم گشتاورمغناطیسی ناشی از اسپین را نیز درنظر بگیریم می بایست هامیلتونی را به شکل زیرتغییر دهیم:

$$H = H_0 - \mu_l \cdot B - \mu_s \cdot B = \begin{pmatrix} H_0 - \mu \cdot B & 0 \\ 0 & H_0 - \mu \cdot B \end{pmatrix} - \frac{q}{mc} \begin{pmatrix} B_z & B_x - iB_y \\ B_x + iB_y & -B_z \end{pmatrix}. \quad (41)$$

دراین جا ذکر یک نکته لازم است. جمله  $\mathbf{S} \cdot \mathbf{B}$  را مثل جمله  $\mathbf{B} \cdot \mathbf{L}$  از اصول اولیه بدست نیاورده ایم. بلکه آن را باتوجه به تشابه گشتاورمغناطیسی اسپینی و مداری اضافه کرده ایم. این که آیا چنین کاری صحیح است یا نه بستگی به تطبیق نهایی نتایج این هامیلتونی با تجربه دارد و تجربه نشان داده است که چنین جایگزینی ای صحیح است، با یک تفاوت و آن اینکه بجای ضریب  $\frac{q}{2mc}$  می بایست ضریب  $\frac{q}{mc}$  در کنار  $\mathbf{S}$  قرار بگیرد تا گشتاورمغناطیسی اسپینی بدست آید. درمکانیک کوانتومی نسبیتی جمله مربوط به برهم کنش اسپین باهمان ضریب صحیح یعنی  $\frac{q}{mc}$  به طور طبیعی و از اصول اولیه بدست می آید.

## درس سیزدهم: معادله شعاعی شرودینگر برای ذره آزاد و برای نوسانگر هارمونیک همسانگرد

در این درس معادله شعاعی شرودینگر را در سه بعد برای ذره آزاد و نوسانگر هارمونیک حل می‌کنیم. حل ذره آزاد به خصوص اهمیت دارد زیرا منجر به امواج کروی می‌شود. امواج کروی بر خلاف امواج تخت که تکانه خطی مشخص دارند، ویژه حالت‌هایی از انرژی هستند که تکانه زاویه‌ای مشخص دارند و در درجه‌های آینده به خصوص در مسائل مربوط به پراکندگی از پتانسیل‌های کروی کاربرد دارند. ممکن است که خواننده سوال کند چرا با وجود سادگی این دو مسئله که حل‌های آنها را به خوبی می‌شناسیم، باز هم در این فصل به این دو مسئله می‌پردازیم. پاسخ این سوال در همین عبارت بالا نهفته است یعنی اینکه هامیلتونی را همزمان با چه عملگرهای دیگری قطری می‌کنیم. در این درس هامیلتونی را همزمان با عملگرهای تکانه زاویه‌ای  $L_z$  و  $L^2$  قطری می‌کنیم.

### ۱ ذره آزاد

در درجه‌های گذشته معادله شرودینگر را برای ذرات آزاد در دستگاه مختصات دکارتی یعنی معادله

$$\frac{P^2}{2\mu}\psi = \frac{-\hbar^2 \nabla^2}{2\mu}\psi = E\psi \quad (1)$$

حل کرده ایم. می‌دانیم که این حل‌ها به شکل زیر هستند:

$$\psi_{\vec{k}}(\vec{r}) = \frac{1}{\sqrt{(2\pi)^3}} e^{i\vec{k}\cdot\vec{r}}, \quad (2)$$

که در آن  $E = \frac{\hbar^2}{2m}k^2$ . هر حلی از این نوع در واقع ویژه بردار مشترک سه عملگر  $P_x$ ،  $P_y$  و  $P_z$  است. در واقع تابع موج فوق چیزی نیست جز تصویر ویژه حالت  $|\vec{k}\rangle$  در فضای مختصات، یعنی

$$\psi_{\vec{k}}(\vec{r}) = \langle \vec{r} | \vec{k} \rangle. \quad (3)$$

از آنجایی که  $H$  بر حسب  $P_x$ ،  $P_y$  و  $P_z$  نوشته می‌شود حالت  $|\vec{k}\rangle$  یا تابع موج آن در فضا یعنی  $\psi_{\vec{k}}(\vec{r})$  انرژی مشخصی دارند. تابع موج  $\psi_{\vec{k}}(\vec{r})$  در واقع نشان دهنده یک موج تخت است که با بردار موج  $\vec{k}$  مشخص می‌شود.



از طرفی می دانیم که هامیلتونی یک ذره آزاد یک عملگر اسکالراست و بنابراین با عملگرهای تکانه زاویه ای یعنی  $L_z$  و  $L^2$  جابجا می شود. بنابراین می توانیم بجای ویژه حالت های مشترک تکانه های خطی حالت هایی را بیابیم که ویژه حالت مشترک  $L_z$  و  $L^2$  باشند. این ویژه حالت ها را با  $|E, l, m\rangle$  و توابع موج آنها را در فضای مختصات با  $\psi_{E,l,m}(\vec{r}) = \psi_{E,l,m}(r, \theta, \phi)$  نشان می دهیم. هم ویژه حالت های  $|\vec{k}\rangle$  و هم ویژه حالت های  $|E, l, m\rangle$  تشکیل پایه برای فضای هیلبرت یک ذره آزاد می دهند و هر دو به یکسان معتبر هستند و پیدایش و استفاده از آنها بستگی به شرایط بیرونی دارد، همچنانکه در یک استخر یا برکه آب هم امواج تخت می توان ایجاد کرد و هم امواج دایره ای که به صورت دایره های هم مرکز به یک نقطه نزدیک و یا از آن دور می شوند. هرگاه قرار دهیم  $E = \frac{\hbar^2 k^2}{2\mu}$  آن گاه می توانیم حالت های  $|\vec{k}\rangle$  را بر حسب حالت های  $|E, l, m\rangle$  بسط دهیم و بنویسیم

$$|\vec{k}\rangle = \sum_{l=0}^{\infty} \sum_{m=-l}^l |E, l, m\rangle \langle E, l, m|\vec{k}\rangle \quad (4)$$

و یا با تصویر کردن این رابطه در فضای مختصات

$$\psi_{\vec{k}}(\vec{r}) = \sum_{l=0}^{\infty} \sum_{m=-l}^l C(\vec{k}, l, m) \psi_{E,l,m}(r, \theta, \phi) \quad (5)$$

که در آن

$$C(\vec{k}, l, m) := \langle E, l, m|\vec{k}\rangle. \quad (6)$$

در آینده به این رابطه باز خواهیم گشت ولی حالا بهتر است توابع موج  $\psi_{E,l,m}(r, \theta, \phi)$  را بدست بیاوریم. اکنون دیگری دانیم که این توابع به شکل کلی زیر هستند

$$\psi_{E,l,m}(r, \theta, \phi) = f(r) Y_{l,m}(\theta, \phi) \equiv \frac{R_l(r)}{r} Y_{l,m}(\theta, \phi), \quad (7)$$

که تابع شعاعی  $R(r)$  در معادله زیر صدق می کند:

$$-\frac{\hbar^2}{2\mu} \frac{d^2 R_l}{dr^2} + \frac{\hbar^2 l(l+1)}{2\mu r^2} R_l = E R_l. \quad (8)$$

با انتخاب متغیر بدون بعد  $x$  با تعریف  $x = kr$  که در آن  $k = \sqrt{\frac{2\mu E}{\hbar^2}}$  به رابطه زیر می رسیم:

$$\frac{d^2 R_l}{dx^2} - \frac{l(l+1)}{x^2} R_l = -R_l. \quad (9)$$

حل منظم این معادله را می توان با نوشتن تابع  $R_l$  به صورت  $R_l(x) = x^l \sum_{n=0}^{\infty} c_n x^n$  و حل نامنظم آن را با نوشتن تابع  $R$  به صورت  $R(x) = x^{-l-1} \sum_{n=0}^{\infty} c_n x^n$  و جایگذاری آنها در معادله بالا بدست آورد. اما برای ذره آزاد می توان از یک روش جبری ساده و زیباییزکمک گرفت که آموزنده است. در زیر این روش را توضیح می دهیم. نخست دقت می کنیم که معادله 9 را می توان به صورت زیرین نوشت:

$$D_l R_l = -R_l, \quad (10)$$

که در آن  $D_l$  عملگر دیفرانسیل زیر است

$$D_l := \frac{d^2}{dx^2} - \frac{l(l+1)}{x^2} \quad (11)$$

این عملگر یادآور هامیلتونی نوسانگر هارمونیک است و بنابراین شاید بتوانیم با روشی شبیه به نوسانگر این مسئله را نیز به طریق جبری حل کنیم: برای این کار عملگرهای زیر را تعریف می کنیم:

$$d_l := \frac{d}{dx} + \frac{l+1}{x}, \quad d_l^\dagger = -\frac{d}{dx} + \frac{l+1}{x}. \quad (12)$$

در این صورت محاسبات ساده ای نشان می دهد که

$$d_l d_l^\dagger = -\frac{d^2}{dx^2} + \frac{l(l+1)}{x^2} = D_l, \quad d_l^\dagger d_l = d_{l+1} d_{l+1}^\dagger = D_{l+1}. \quad (13)$$

حال فرض کنید که  $R_l$  جوابی از معادله شرودینگر برای تکانه زاویه ای  $l$  باشد یعنی

$$D_l R_l = -R_l \quad \text{یا} \quad d_l d_l^\dagger R_l = -R_l. \quad (14)$$

در این صورت عملگر  $d_l^\dagger$  را روی طرفین از چپ اثر می دهیم:

$$d_l^\dagger (d_l d_l^\dagger) R_l = -d_l^\dagger R_l \longrightarrow D_{l+1} (d_l^\dagger R_l) = -d_l^\dagger R_l \quad (15)$$

بنابراین  $d_l^\dagger R_l$  جواب معادله شرودینگر برای تکانه زاویه ای  $l+1$  خواهد بود. این رابطه را به شکل زیر می نویسیم

$$R_{l+1} = d_l^\dagger R_l. \quad (16)$$

هم چنین اگر روی طرفین رابطه بالا عملگر  $d_l$  را اثر دهیم و از رابطه 14 استفاده کنیم بدست می آوریم

$$d_l R_{l+1} = d_l d_l^\dagger R_l = D_l R_l = -R_l, \quad (17)$$

بنابراین مشابه با رابطه 16 رابطه زیر را داریم

$$R_l = -d_l R_{l+1}. \quad (18)$$

روابط 16 و 18 نشان می دهند که با داشتن یک جواب برای تکانه زاویه ای  $l = 0$  می توان همه جواب های دیگر را برای تکانه های زاویه ای دلخواه بدست آورد. بنابراین در این جا جواب برای تکانه زاویه ای صفر را بدست می آوریم. برای  $l = 0$  دو جواب داریم که عبارتند از

$$R_0 = \sin x \quad \longrightarrow \quad f_0(x) = j_0(x) = \frac{\sin x}{x}$$

یا

$$R_0 = -\cos x \quad \longrightarrow \quad f_0(x) = n_0(x) = -\frac{\cos x}{x}$$

. علامت - صرفاً از روی قرارداد نوشته شده است. با اثر متوالی عملگرهای  $d_0^\dagger, d_1^\dagger, d_2^\dagger, \dots$  می توان تمام توابع  $u_l$  را بدست آورد. برای این که این کار را به طریق فشرده ای انجام دهیم به رابطه زیردقت می کنیم

$$R_{l+1} = \left( -\frac{d}{dx} + \frac{l+1}{x} \right) R_l \quad (19)$$

شاید بتوان با بازتعریف تابع  $R$  کاری کرد که عملگر دیفرانسیل طرف راست بستگی به  $l$  نداشته باشد. اگر موفق به این کار شویم می توانیم براحتی تمام توابع را به صورت توانی از یک عملگر که روی یک تابع اثر می کند بنویسیم. برای بازتعریف تابع  $R$  قرار می دهیم

یک محاسبه ساده نشان می دهد که اگر  $\alpha_l$  را برابر با  $l+1$  بگیریم، یعنی اگر قرار دهیم

$$R_l(x) = x^{l+1} F_l(x), \quad (20)$$

آنگاه معادله تکرار برای  $F_l$  شکل ساده زیر را به خود می گیرد:

$$F_{l+1} = \left( -\frac{1}{x} \frac{d}{dx} \right) F_l. \quad (21)$$

در نتیجه خواهیم داشت

$$F_l = \left( -\frac{1}{x} \frac{d}{dx} \right)^l F_0, \quad (22)$$

ویا

$$R_l = x^{l+1} \left( -\frac{1}{x} \frac{d}{dx} \right)^l \frac{R_0}{x}. \quad (23)$$

با توجه به رابطه 7 بدست می آوریم

$$f_l(x) = x^l \left( -\frac{1}{x} \frac{d}{dx} \right)^l f_0. \quad (24)$$

بسته به اینکه  $f_0$  را کدام جواب بگیریم دو دسته جواب برای تابع موج شعاعی  $f_l(x)$  به دست می آید که عبارتند از

$$\begin{aligned} f_l(x) &= x^l \left( -\frac{1}{x} \frac{d}{dx} \right)^l \frac{\sin x}{x} =: j_l(x) \\ f_l(x) &= x^l \left( -\frac{1}{x} \frac{d}{dx} \right)^l \frac{-\cos x}{x} =: n_l(x). \end{aligned} \quad (25)$$

این جواب ها توابع بسل کروی از نوع اول و دوم نامیده می شوند. چند تابع اولیه به شکل زیر هستند:

$$\begin{aligned} j_0(x) &= \frac{\sin x}{x} & n_0(x) &= -\frac{\cos x}{x} \\ j_1(x) &= \frac{\sin(x)}{x^2} - \frac{\cos x}{x} & n_1(x) &= -\frac{\cos x}{x^2} - \frac{\cos x}{x} \\ j_2(x) &= \left( \frac{3}{x^2} - \frac{1}{x} \right) \sin x - 3 \frac{\cos x}{x^2}, & n_2(x) &= -\left( \frac{3}{x^2} - \frac{1}{x} \right) \cos x - \frac{3 \sin x}{x^2}. \end{aligned} \quad (26)$$

برای بعضی از کاربردها به ترکیبی از توابع بسل علاقه داریم که توابع هنکل  $Hankel$  نامیده می شود و عبارتند از

$$\begin{aligned} h_l^{(+)}(x) &= j_l(x) + in_l(x), \\ h_l^{(-)}(x) &= j_l(x) - in_l(x). \end{aligned} \quad (27)$$

چند تابع اولیه هنکل به شکل زیر هستند:

$$\begin{aligned} h_0^{(+)}(x) &= \frac{e^{ix}}{ix} \\ h_1^{(-)}(x) &= -\frac{e^{ix}}{x} \left( 1 + \frac{i}{x} \right) \end{aligned}$$

$$h_2^{(+)}(x) = \frac{ie^{ix}}{x} \left( 1 + \frac{3i}{x} - \frac{3}{x^2} \right). \quad (28)$$

برای  $x$  های کوچک می توان با استفاده از روابط 25 رفتار توابع بسل را در نزدیکی مرکز به دست آورد:

$$j_l(x) \approx \frac{x^l}{(2l+1)!!} \quad (29)$$

و

$$n_l(x) \approx -\frac{(2l-1)!!}{x^l}. \quad (30)$$

می توان ثابت کرد که برای  $x$  های بزرگ توابع بسل رفتار مجانبی زیر را دارند:

$$\begin{aligned} j_l(x) &\approx \frac{1}{x} \sin\left(x - \frac{l\pi}{2}\right) \\ n_l(x) &\approx -\frac{1}{x} \cos\left(x - \frac{l\pi}{2}\right). \end{aligned} \quad (31)$$

در نتیجه تابع هنکل کروی برای  $x$  های بزرگ به شکل زیر رفتار می کند:

$$h_l^{(+)}(x) \approx \frac{1}{x} e^{ix} \quad h_l^{(-)}(x) \approx \frac{-1}{x} e^{-ix}. \quad (32)$$

بنابراین ویژه توابع انرژی ذره آزاد که دارای تکانه زاویه ای مشخص نیز باشند به شکل زیر هستند:

$$\begin{aligned} \psi_{E,l,m}^{(1)}(r, \theta, \phi) &= j_l(kr) Y_{l,m}(\theta, \phi), \\ \psi_{E,l,m}^{(2)}(r, \theta, \phi) &= n_l(kr) Y_{l,m}(\theta, \phi). \end{aligned} \quad (33)$$

و یا به شکل زیر:

$$\begin{aligned} \psi_{E,l,m}^{+}(r, \theta, \phi) &= h_l^{(+)}(kr) Y_{l,m}(\theta, \phi), \\ \psi_{E,l,m}^{-}(r, \theta, \phi) &= h_l^{(-)}(kr) Y_{l,m}(\theta, \phi). \end{aligned} \quad (34)$$

دقت کنید که تابع  $\psi_{E,l,m}^{(2)}$  در  $r = 0$  واگراست. با توجه به بسط مجانبی 32، برای  $r$  های بزرگ توابع  $\psi_{E,l,m}^+$  و  $\psi_{E,l,m}^-$  به شکل زیر رفتار می کنند: برای  $r$  های بزرگ این تابع به شکل زیر رفتار می کند

$$\begin{aligned}\psi_{E,l,m}^{(+)}(r, \theta, \phi) &= \frac{e^{ikr}}{kr} Y_{l,m}(\theta, \phi) \\ \psi_{E,l,m}^{(1)}(r, \theta, \phi) &= \frac{-e^{-ikr}}{kr} Y_{l,m}(\theta, \phi).\end{aligned}\quad (35)$$

هرگاه تحول زمانی این توابع موج را نیز در نظر بگیریم که با ضرب کردن جمله  $e^{-iEt}$  در آن ها بدست می آید، درمی یابیم که تابع موج  $\psi_{E,l,m}^{(+)}$  نشان دهنده یک موج کروی است که از مرکز دور می شود و تابع موج  $\psi_{E,l,m}^{(-)}$  نشان دهنده یک موج کروی است که به مرکز نزدیک می شود.

## ۱.۱ رابطه امواج تخت و امواج کروی

حال که شکل صریح توابع موج کروی را بدست آورده ایم می توانیم به بحث خود درباره بسط امواج تخت بر حسب امواج کروی بازگردیم. بنابر رابطه (7) داریم

$$\psi_{\vec{k}}(\vec{r}) = \sum_{l=0}^{\infty} \sum_{m=-l}^l C(\vec{k}, l, m) \psi_{E,l,m}(r, \theta, \phi) \quad (36)$$

که در آن

$$C(\vec{k}, l, m) := \langle E, l, m | \vec{k} \rangle. \quad (37)$$

فرض کنید که موج تخت در راستای محور  $z$  حرکت می کند، یعنی  $\vec{k} = k\hat{z}$ ، در حقیقت همواره می توانیم با انتخاب محورهای مختصات کاری کنیم که محور  $z$  بر بردار موج  $\vec{k}$  منطبق شود. در این صورت می توانیم نشان دهیم که ضرایب  $C(k\hat{z}, l, m)$  تنها برای  $m$  های برابر با صفر مقدار دارند و برای بقیه  $m$  ها مساوی با صفر هستند. برای درک این نکته عنصر ماتریسی  $\langle E, l, m | L_z | k\hat{z} \rangle$  را از دو طریق حساب می کنیم. با اثر بردار سمت چپ بدست می آوریم که

$$\langle E, l, m | L_z | k\hat{z} \rangle = m \langle E, l, m | L_z | k\hat{z} \rangle, \quad (38)$$

و با اثر  $L_z = xP_y - yP_x$  روی بردار سمت راست که مولفه های تکانه اش در راستاهای  $x$  و  $y$  صفر هستند، بدست می آوریم که

$$\langle E, l, m | L_z | k\hat{z} \rangle = 0. \quad (39)$$

بنابراین بسط به شکل زیر درمی آید:

$$e^{ikz} = \sum_{l=0}^{\infty} C_l j_l(kr) Y_{l,0}(\theta, \phi), \quad (40)$$

دقت کنید که  $\langle \mathbf{r} | k \mathbf{z} \rangle$  را به صورت  $e^{ikz}$  نوشته‌ایم و برای سادگی از ضرب  $\frac{1}{\sqrt{(2\pi\hbar)^3}}$  صرف نظر کرده‌ایم.

در این جا به دو نکته باید اشاره کنیم. اول آنکه در طرف راست فقط جواب های منظم در بسط آورده شده اند. دلیل این امر آن است که طرف چپ در  $r = 0$  مقدار متناهی دارد و در طرف راست نمی بایست توابعی که در  $r = 0$  نامتناهی اند وجود داشته باشند. دوم آنکه ضرایب را به جای  $C(kz, l, 0)$  به شکل ساده تر  $C_l$  نوشته ایم که در آن پارامتر  $k$  که در هر دو طرف بسط یکسان است دیگر وجود ندارد. در تمرین های این درس نشان می دهید که ضرایب بسط عبارت اند از:

$$C_l = i^l \sqrt{4\pi(2l+1)}. \quad (41)$$

هرگاه به این مسئله دقت کنیم که

$$Y_{l,0}(\theta, \phi) = \left(\frac{2l+1}{4\pi}\right)^{\frac{1}{2}} P_l(\cos\theta), \quad (42)$$

که در آن  $P_l(\cos\theta)$  تابع لژانداراست، به بسط زیر می رسیم که در درس های آینده از آن استفاده خواهیم کرد:

$$e^{ikz} = \sum_{l=0}^{\infty} i^l (2l+1) j_l(kr) p_l(\cos\theta). \quad (43)$$

## ۲ چاه پتانسیل کروی

ذره ای تصور کنیم که در پتانسیل زیر گیر افتاده است:

$$V(r) = \begin{cases} 0 & r \leq a, \\ \infty & a \leq r, \end{cases} \quad (44)$$

هرگاه بخواهیم ترازهای انرژی یک ذره در چنین پتانسیلی را بدست آوریم می بایست معادله شرودینگر را برای ذره آزاد درون چاه حل کنیم و سپس شرط مرزی  $\psi_{E,l,m}(r=a) = 0$

را اعمال کنیم. می دانیم که تابع موج شعاعی در درون چاه عبارت است از:

$$R(r) = j_l(kr) \quad (45)$$

یادآوری می کنیم که تابع موج  $n_l(kr)$  در مبدأ نامنظم است و بنابراین یک جواب مجاز نیست. حال شرط صفربودن تابع موج منجر به شرط زیر می شود

$$j_l(ka) = 0. \quad (46)$$

هرگاه  $n$  ام این صفر تابع بسل  $j_l$  را با  $x_{l,n}$  نمایش دهیم خواهیم داشت :

$$ka = x_{l,n} \quad (47)$$

و در نتیجه ترازهای انرژی به شکل زیر خواهند بود:

$$E_{n,l} = \frac{\hbar^2 k^2}{2\mu} = \frac{\hbar^2 x_{l,n}^2}{2\mu a^2}. \quad (48)$$

همانطور که از تقارن انتقالی انتظار داریم ترازهای انرژی واگن هستند و انرژی تنها به دو عدد کوانتومی  $l$  و  $n$  بستگی دارند و مستقل از  $m$  هستند.

### ۳ نوسانگر هارمونیک همسانگرد

پتانسیل موثر برای نوسانگر هارمونیک همسانگرد به شکل زیر است:

$$V_{eff} = \frac{1}{2}\mu\omega^2 r^2 + \frac{l(l+1)}{2\mu r^2} \quad (49)$$

مطابق معمول ویژه حالت های انرژی به شکل زیر خواهند بود:

$$\psi_{E,l,m} = \frac{R_{E,l}(r)}{r} Y_{l,m}(\theta, \phi). \quad (50)$$



که در آن  $R_{E,l}$  یعنی تابع موج شعاعی در معادله شعاعی شرودینگر یعنی معادله زیر صدق می کند

$$\left[ -\frac{\hbar^2}{2\mu} \frac{d^2}{dr^2} + \frac{1}{2} \mu \omega^2 r^2 + \frac{\hbar^2 l(l+1)}{2\mu r^2} \right] R(r) = ER(r). \quad (51)$$

جزئیات حل این معادله دیفرانسیل را به عهده خواننده می گذاریم. در اینجا تنها به مراحل کلی حل آن که برای مسائل دیگر نیز صادق است اشاره می کنیم:

مرحله اول: پارامترهای مسئله را با پارامترهای بدون بعد جایگزین می کنیم. برای این کار می توانیم از تجزیه تحلیل ابعادی استفاده کنیم. بنابراین قرار می دهیم

$$r = \left( \frac{\hbar}{\mu\omega} \right)^{\frac{1}{2}} x \quad (52)$$

و

$$E = \hbar\omega\lambda. \quad (53)$$

این انتخاب ها کاملاً طبیعی هستند زیرا  $\hbar\omega$  و  $\sqrt{\frac{\hbar}{\mu\omega}}$  تنها کمیت هایی هستند با بعد انرژی و طول که در مسئله نوسانگر هارمونیک وجود دارند. دقت کنید که  $x$  و  $\lambda$  بدون بعد هستند. با این انتخاب ها معادله شعاعی به شکل زیر درمی آید:

$$\left[ -\frac{d^2}{dx^2} + x^2 + \frac{l(l+1)}{x^2} \right] R(x) = 2\lambda R(x). \quad (54)$$

مرحله دوم: به رفتار معادله برای  $x$  های بزرگ نگاه می کنیم. در این حد داریم

$$-\frac{d^2 R}{dx^2} + x^2 R(x) \approx 0 \quad (55)$$

که یک حل بهنجار از آن به شکل زیر است:

$$R(x) \approx e^{-\frac{1}{2}x^2} \quad (56)$$

مرحله سوم: قرار می دهیم  $R(x) = e^{-\frac{1}{2}x^2} u(x)$  و معادله حاکم بر  $u$  را بدست می آوریم که به شکل زیر است:

$$u'' - 2xu' + (2\lambda - 1 - \frac{l(l+1)}{x^2})u = 0. \quad (57)$$

مرحله چهارم: حال  $u(x)$  را به صورت زیر بسط می دهیم

$$u(x) = x^{l+1} \sum_{k=0}^{\infty} C_k x^k \quad (58)$$

و یک رابطه تکرار برای  $C_k$  ها بدست می آوریم. این رابطه تکرار را برای  $k$  های بزرگ نگاه می کنیم تا رفتار مجانبی تابع  $u$  را بفهمیم. نتیجه ای که می گیریم آن است که اگر این سری درجایی قطع نشود رفتار مجانبی تابع  $u(x)$  چنان خواهد بود که تابع  $R(x) = e^{-\frac{1}{2}x^2} u(x)$  دربی نهایت به سمت صفر میل نخواهد کرد. بنابراین سری مربوطه می بایست درجایی قطع شود. قطع شدن سری به رابطه زیر منجر می شود:

$$\lambda = (2k + l + \frac{3}{2}), \quad k = 0, 1, 2, \dots \quad (59)$$

و یا

$$E = (2k + l + \frac{3}{2})\hbar\omega, \quad k = 0, 1, 2, \dots \quad (60)$$

با تعریف  $n$  به صورت زیر

$$n = 2k + l, \quad (61)$$

نتیجه می گیریم که انرژی به صورت زیر خواهد بود:

$$E = (n + \frac{3}{2})\hbar\omega. \quad (62)$$

به این ترتیب انرژی نوسانگر هارمونیک تنها به یک عدد کوانتومی یعنی  $n$  که آن را عدد کوانتومی اصلی می خوانیم بستگی پیدامی کند. با توجه به روابط 59 و 61 نتیجه می گیریم که به ازای هر عدد کوانتومی اصلی  $n$  یک مجموعه از تراز های واگن با  $l$  های مختلف وجود دارند که همگی یک انرژی دارند. عدد کوانتومی  $l$  برای هر تراز  $n$  مقادیر زیر را اختیار می کند:

$$l = n, n - 2, n - 4, \dots, 1, \text{ یا } 0. \quad (63)$$

## درس سیزدهم: اتم هیدروژن

### ۱ مقدمه

این فصل سرآغازی برای آشنایی ما با مکانیک کوانتومی اتم‌ها، مولکول‌ها و جامدات است. در این درس یاد می‌گیریم که چگونه معادله شرودینگر را برای اتم هیدروژن که ساده‌ترین اتم در طبیعت است حل کنیم و طیف آن را بدست آوریم. برای سادگی نخست یک اتم هیدروژن ایده آل را بررسی می‌کنیم، یعنی فرض می‌کنیم که هسته ساکن است و تنها الکترون انرژی جنبشی دارد. این فرض از آنجا که هسته بسیار سنگین‌تر از اتم است فرض خوبی است. در انتهای این درس یاد می‌گیریم که چگونه تاثیر جرم محدود هسته را محاسبه کنیم. هم‌چنین در مطالعه اتم هیدروژن از اثرات نسبیتی و برهم‌کنش ممان مغناطیسی الکترون با ممان مغناطیسی ای که ناشی از حرکت مداری آن است صرف نظر می‌کنیم. هم‌چنین برهم‌کنش ممان مغناطیسی الکترون با ممان مغناطیسی هسته را نادیده می‌نگاریم. در فصل‌های بعدی است که این اثرات را به صورت اختلالی در نظر می‌گیریم. بنابراین فعلاً در این فصل یک اتم هیدروژن ساده را بررسی می‌کنیم.

### ۲ تجزیه تحلیل ابعادی برای اتم هیدروژن

کمیت‌های مربوط در اتم هیدروژن عبارتند از  $e$  و  $m$  یعنی بار و جرم الکترون علاوه بر  $\hbar$  یعنی ثابت پلانک. می‌بایست از این سه کمیت‌ها مرتبه همه کمیت‌های دیگر نظیر انرژی، طول، سرعت و فرکانس را بدست بیاوریم. در ساختن این کمیت‌ها  $c$  سرعت نور وارد نخواهد شد زیرا مسئله نسبیتی نیست اگر چه ممکن است برای استخراج این کمیت‌ها زیباتر باشد که از این ثابت استفاده کنیم. می‌دانیم که طول موج کامپتون الکترون برابر است با

$$\lambda_c = \frac{\hbar}{mc} \quad (1)$$

هم‌چنین می‌دانیم که ثابت ساختار ریز که کمیت بدون بعدی است برابر است با

$$\alpha = \frac{e^2}{\hbar c}. \quad (2)$$

تنها راهی که بتوانیم کمیتی با بعد طول بدون  $c$  بسازیم آن است که قراردیم

$$a_0 := \frac{\lambda_c}{\alpha} = \frac{\hbar^2}{me^2} \approx 0.5 \text{ \AA} \text{ آنگستروم} \quad (3)$$

می دانیم که انرژی در حال سکون الکترون برابر است با

$$E_0 = mc^2. \quad (4)$$

تنهاراهی که بتوانیم کمیتی با بعد انرژی ولی بدون سرعت نور بسازیم آن است که این کمیت را در مجذور ثابت ساختار ریز ضرب کنیم. نصف این کمیت چیزی است که به طور سنتی آن را یک رایدبرگ *Rydberg* می خوانیم و با نماد  $Ry$  نشان می دهیم. راید برگ واحدی است برای سنجش انرژی الکترون ها و برابر است با 13.6 الکترون ولت.

$$Ry := \frac{1}{2}\alpha^2 \times mc^2 = \frac{1}{2}m\left(\frac{e^2}{\hbar}\right)^2. \quad (5)$$

هم چنین اگر بخواهیم کمیتی با بعد سرعت بسازیم که در آن سرعت نور نقشی نداشته باشد آن است که قرار دهیم

$$v := \alpha c = \frac{e^2}{\hbar} \approx \frac{1}{137} \text{ سرعت نور} \quad (6)$$

$v$ ،  $a$  و  $Ry$  طول، سرعت و انرژی مشخصه الکترون در اتم هیدروژن هستند. این مقادیر به ترتیب تخمینی هستند از شعاع، سرعت و انرژی الکترون در اتم هیدروژن. و بالاخره می توانیم تخمینی از فرکانس های تشعشعی از اتم هیدروژن بدست آوریم. کافی است که قرار دهیم

$$\omega = \frac{Ry}{\hbar} \approx 10^{15} \text{ Hz}. \quad (7)$$

برای اتم های شبه هیدروژن یعنی اتم هایی که یک الکترون بدور هسته ای با بار مثبت  $Ze$  می چرخد، می بایست در کمیت های فوق  $e^2$  را با  $Ze^2$  جایگزین کرد. همانطور که از روابط بالا پیداست، در نتیجه این جایگزینی انرژی و فرکانس  $Z^2$  برابر، طول مشخصه  $\frac{1}{Z}$  و سرعت  $Z$  برابری شود.

بعد از این مقدمات به حل معادله شعاعی شرودینگر می پردازیم. از درس گذشته دیدیم که ویژه توابع هامیلتونی برای یک پتانسیل که دارای تقارن دوارنی است حتماً به صورت زیر نوشته می شوند:

$$\psi_{E,l,m}(r, \theta, \phi) = f_E(r)Y_{l,m}(\theta, \phi) \quad (8)$$

و هرگاه تابع شعاعی را به صورت  $f_E(r) = \frac{R(r)}{r}$  بنویسیم آنگاه تابع  $R(r)$  در یک معادله شرودینگر یک بعدی صدق می کنند که در آن پتانسیل اولیه با یک پتانسیل موثر جایگزین شده است. برای اتم هیدروژن معادله شعاعی شرودینگر به شکل زیر در می آید. در این معادله ثابت  $\hbar$  را صریحاً نوشته ایم. از آنجا که انرژی  $E$  منفی است آن را به صورت  $|E|$  - نوشته ایم.

$$-\frac{\hbar^2}{2\mu} \frac{d^2 R}{dr^2} - \frac{e^2}{r} R + \frac{\hbar^2 l(l+1)}{2\mu r^2} R = -|E| R(r), \quad (9)$$

نخستین کاری که می‌کنیم پارامتر  $r$  را بایک پارامتر بدون بعد مثل  $x$  که با رابطه  $r = a_0 x$  تعریف می‌شود جایگزین می‌کنیم، در اینجا  $a_0$  یک واحد طول طبیعی یعنی همان شعاع بوهر است. در این صورت رابطه بالا به شکل زیر درمی‌آید:

$$-\frac{\hbar^2}{2\mu a_0^2} \frac{d^2 R}{dx^2} - \frac{e^2}{a_0 x} R + \frac{\hbar^2 l(l+1)}{2\mu a_0^2 x^2} R = -|E| R, \quad (10)$$

و یا

$$-\frac{d^2 R}{dx^2} - \frac{2\mu \xi e^2}{\hbar^2 x} R + \frac{l(l+1)}{x^2} R = -\frac{2\mu a_0^2}{\hbar^2} |E| R, \quad (11)$$

حال اگر قرار دهیم

$$R(r) = R(a_0 x) \equiv \tilde{R}(x), \quad (12)$$

معادله به شکل زیر درمی‌آید:

$$-\frac{d^2 \tilde{R}(x)}{dx^2} - \frac{2}{x} \tilde{R}(x) + \frac{l(l+1)}{x^2} \tilde{R}(x) = -\lambda^2 \tilde{R}(x), \quad (13)$$

که در آن  $\lambda$  یک پارامتر بدون بعد و برابر است با  $\lambda^2 = \frac{|E|}{R_y}$ . برای حل معادله 13 نخست به رفتار مجانبی آن برای  $x$  های بزرگ نگاه می‌کنیم. برای  $x$  های بزرگ این معادله به شکل زیر درمی‌آید

$$\frac{d^2 \tilde{R}}{dx^2} \approx \lambda^2 \tilde{R}, \quad (14)$$

که حل آن عبارت است از  $\tilde{R}(x) \sim e^{-\lambda x}$ . بنابراین حل کامل معادله شعاعی را به صورت

$$\tilde{R}(x) = f(x) e^{-\lambda x} \quad (15)$$

می‌نویسیم و با جایگذاری آن در 13 به معادله زیر می‌رسیم

$$-\frac{d^2 f(x)}{dx^2} + 2\lambda \frac{d}{dx} f(x) + \left( \frac{l(l+1)}{x^2} - \frac{2}{x} \right) f(x) = 0. \quad (16)$$

در این مرحله می توان بانوشتن  $f(x)$  به صورت یک سری به شکل  $f(x) = \sum_{k=0}^{\infty} c_k x^{r+k}$  حل کرد که هم مقدار  $r$  را بدست خواهد داد و هم یک رابطه تکرار برای ضرایب بسط تولید خواهد کرد. برای  $r$  دو جواب بدست می آید که عبارتند از  $r = -l$  و  $r = l + 1$  که دومی منجر به یک تابع موج نابهنجار خواهد شد. بنابراین جواب صحیح برای  $r$  برابر با  $l + 1$  است و رابطه تکرار به شکل زیر خواهد بود:

$$c_{k+1} = \frac{2[\lambda(k+l+1) - 1]}{(k+1)[k+2(l+1)]} c_k. \quad (17)$$

رفتار مجانبی این سری با نگاه کردن به این رابطه تکرار برای  $k$  های بزرگ بدست می آید که نشان می دهد برای  $k$  های بزرگ

$$c_{k+1} \sim \frac{2\lambda}{k} c_k. \quad (18)$$

اما این رابطه بیان می کند که تابع  $f(x)$  چنانچه سری ادامه پیدا کند به صورت  $e^{2\lambda x}$  رفتار می کند و در نتیجه تابع موج  $\bar{R}(x)$  دربی نهایت واگرا خواهد شد. بنابراین سری  $f(x)$  می بایست درجایی قطع شود. برای این کار لازم است که داشته باشیم

$$\lambda = \frac{1}{k_0 + l + 1}, \quad (19)$$

که در آن  $k_0 = 0, 1, 2, \dots$  یک عدد صحیح است که بعد از آن چند جمله ای قطع می شود. تحت این شرایط سری  $f(x)$  تبدیل به یک چند جمله ای

$$f(x) = \sum_{k=0}^{k_0} c_k x^{k+l+1} = x^{l+1} (c_0 + c_1 x + c_2 x^2 + \dots + c_{k_0} x^{k_0}) \quad (20)$$

می شود. در نتیجه خواهیم داشت

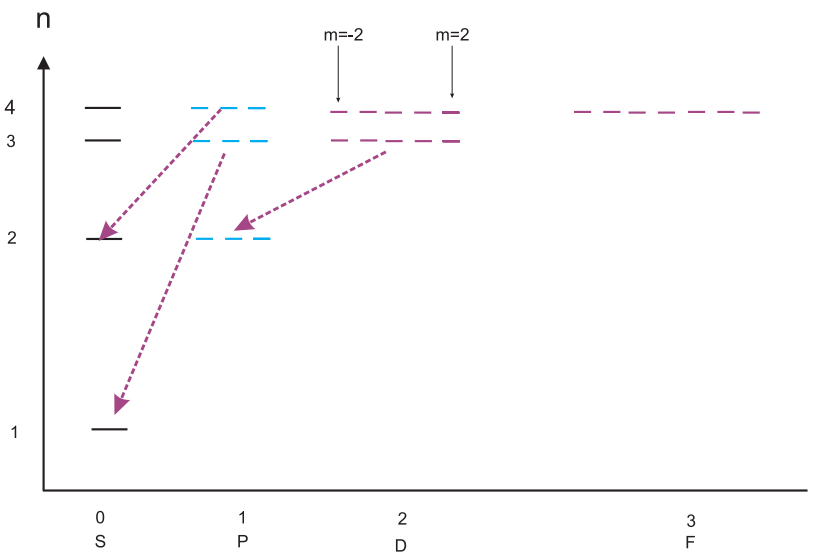
$$\lambda = \frac{1}{k_0 + l + 1}, \quad k_0 = 0, 1, 2, 3, \dots \quad (21)$$

بهبتر است که نام  $k_0 + l + 1$  را به یک عدد صحیح دیگر مثل  $n$  که آن را عدد کوانتومی اصلی می نامیم تغییر دهیم. در این صورت خواهیم داشت

$$\lambda = \frac{1}{n}, \quad n = 1, 2, 3, \dots \quad (22)$$

این رابطه مهمترین رابطه ای است که از حل معادله دیفرانسیل شعاعی بدست می آوریم و نحوه کوانتس انرژی را در اتم هیدروژن بیان می کند. هرگاه تعریف  $\lambda$  را به یاد بیاوریم به این نتیجه می رسیم که سطوح انرژی الکترون در اتم هیدروژن به صورت زیر هستند:

$$E_n = \frac{-R_{H}}{n^2}, \quad n = 1, 2, 3, \dots \quad (23)$$



شکل ۱: طیف اتم هیدروژن.

از آنجا که داریم  $0 \leq k_0$  و  $l = n - 1 - k_0$  بنابراین به ازای هر عدد صحیح  $n$  عدد  $l$  مقادیر زیر را اختیار می کند:

$$l = 0, 1, 2, \dots, n - 1. \quad (24)$$

بنابراین مقدار انرژی تنها به یک عدد کوانتومی یعنی  $n$  که عدد کوانتومی اصلی است وابسته است و مستقل از عدد کوانتومی  $l$  است. این واگنی ناشی از یک تقارن اضافی است که برای پتانسیل های  $V(r) = \frac{k}{r}$  و  $V(r) = kr^2$  برقرار است. شکل ۱ طیف اتم هیدروژن را نشان می دهد. دقت کنید که در این طیف سه عدد کوانتومی هر حالت را مشخص می کنند. این سه عدد عبارتند از  $n, l, m$ ، اما انرژی تنها به یکی از این سه عدد یعنی  $n$  که آن را عدد کوانتومی اصلی می گوئیم بستگی دارد. در این شکل چند تا از ترازها و هم چنین گذارهایی که بین آنها انجام می شود و باعث ساطع شدن فوتون می شود، رسم شده اند. هم چنین برای لایه های با  $l$  های مختلف از نمادگذاری طیفی که در شیمی و فیزیک اتمی مرسوم است استفاده کرده ایم. در این نمادگذاری به جای اعداد  $0, 1, 2, 3, \dots$  از حروف  $S, P, D, F$  استفاده می شود. در درس های آینده باز هم درباره این نمادگذاری و جزئیات آن بیشتر خواهیم گفت.

همانطور که در درس گذشته دیدیم، وابسته نبودن انرژی به عدد کوانتومی  $m$  به دلیل تقارن دورانی است، ولی وابسته نبودن انرژی به عدد کوانتومی  $l$  ناشی از یک تقارن اضافی است که اصطلاحاً به آن تقارن  $SO(4)$  می گویند و خاص پتانسیل های  $\frac{K}{r}$  و  $Kr^2$  است.

به تابع موج شعاعی بازمی گردیم. با انتخاب عدد کوانتومی  $n$  بجای  $k_0$  تابع  $f(x)$  به شکل زیر درمی آید:

$$f(x) = x^{l+1} \sum_{k=0}^{n-l-1} c_k x^k. \quad (25)$$

و رابطه تکرار به صورت زیر خواهد بود:

$$c_{k+1} = \frac{2}{n} \frac{k+l+1-n}{(k+1)(k+2(l+1))} c_k. \quad (26)$$

این رابطه تکرار به عدد کوانتومی  $l$  نیز بستگی دارد. بنابراین توابع شعاعی را باید به صورت  $f_{n,l}(r) = \frac{R_{n,l}(r)}{r}$  نوشت و در نتیجه شکل کامل توابع موج اتم هیدروژن به صورت زیر خواهد بود:

$$\psi_{n,l,m}(r, \theta, \phi) = \frac{R_{n,l}(r)}{r} Y_{l,m}(\theta, \phi), \quad E_n = -\frac{R_y}{n^2}. \quad (27)$$

برای آنکه شکل دقیق تابع موج شعاعی را بدست آوریم می بایست رابطه تکرار 26 را به کار ببریم. از این رابطه می توان شکل کلی ضرایب را بدست آورد:

$$c_k = \frac{1}{k!} \left(\frac{2}{n}\right)^k \frac{(l+k-n)!(2l+1)!}{(l-n)!(2l+k+1)!} c_0. \quad (28)$$

ضریب  $c_0$  چنان تعیین می شود که تابع موج شعاعی بهنجار باشد. از آنجا که تابع موج شعاعی به  $n$  و  $l$  هردو وابسته است نماد  $R_{n,l}$  را برای آن بکار می بریم.

$$\tilde{R}_{n,l}(x) = x^{l+1} f_{n,l}(x) e^{-\frac{x}{n}} \quad (29)$$

و یا

$$\tilde{R}_{n,l}(x) = c_0 e^{-\frac{x}{n}} x^{l+1} \sum_{k=0}^{n-l-1} \left(\frac{2}{n}\right)^k \frac{1}{k!} \frac{(l+k-n)!(2l+1)!}{(l-n)!(2l+k+1)!} x^k \quad (30)$$

ثابت  $c_0$  را چنان می بایست تعیین کنیم که تابع موج شعاعی بهنجار باشد. این انتخاب را بعداً انجام می دهیم.

با استفاده از رابطه 12، خواهیم داشت

$$R_{n,l}(r) = \left(\frac{r}{a_0}\right)^{l+1} f_{n,l}\left(\frac{r}{a_0}\right) e^{-\frac{r}{na_0}}, \quad (31)$$



و تابع موج کامل عبارت خواهد بود از:

$$\psi_{n,l,m}(r, \theta, \phi) = \frac{1}{r} R_{n,l}\left(\frac{r}{a_0}\right) Y_{l,m}(\theta, \phi). \quad (32)$$

در اینجا می بایست راجع به بهنجارش توابع موج شعاعی تصمیم بگیریم. می دانیم که

$$\int_0^\infty R_{n,l}^2(r) dr = 1 \quad (33)$$

که به معنای این است که

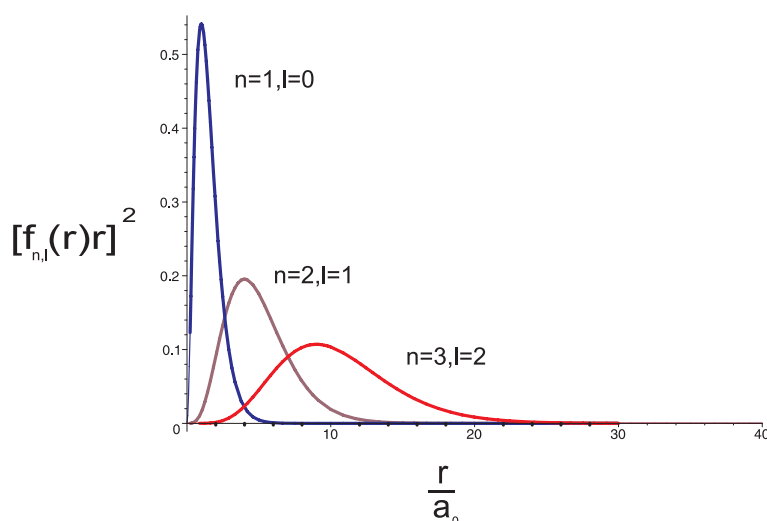
$$\int_0^\infty \tilde{R}_{n,l}^2(x) a_0 dx = 1, \quad \longrightarrow \quad \int_0^\infty x^{2(l+1)} f_{n,l}(x) e^{-2\frac{x}{a_0}} dx = \frac{1}{a_0}. \quad (34)$$

با استفاده از این رابطه می توانیم ضریب  $c_0$  را نیز پیدا کنیم. این کار برای توابع موج شعاعی که عدد کوانتومی  $n$  آنها کوچک است به سادگی از روی رابطه ی 30 انجام می شود. برای اعداد کوانتومی بزرگ تر می بایست از روابطی که برای توابع لاگر می شناسیم کمک بگیریم.

در زیر چند تا از توابع موج شعاعی را می نویسیم.

$$\begin{aligned} \frac{R_{1,0}}{r} &= 2\left(\frac{1}{a_0}\right)^{\frac{3}{2}} e^{-r/a_0} \\ \frac{R_{2,0}}{r} &= 2\left(\frac{1}{2a_0}\right)^{\frac{3}{2}} \left(1 - \frac{r}{2a_0}\right) e^{-r/2a_0} \\ \frac{R_{2,1}}{r} &= \frac{1}{\sqrt{3}} \left(\frac{1}{2a_0}\right)^{\frac{3}{2}} \frac{r}{a_0} e^{-r/2a_0} \\ \frac{R_{3,0}}{r} &= 2\left(\frac{1}{3a_0}\right)^{\frac{3}{2}} \left[1 - \frac{2r}{3a_0} + \frac{2r^2}{27a_0^2}\right] e^{-r/3a_0} \\ \frac{R_{3,1}}{r} &= \frac{4\sqrt{2}}{9} \left(\frac{1}{3a_0}\right)^{\frac{3}{2}} \frac{r}{a_0} \left(1 - \frac{r}{6a_0}\right) e^{-r/3a_0} \\ \frac{R_{3,2}}{r} &= \frac{2\sqrt{2}}{27\sqrt{5}} \left(\frac{1}{3a_0}\right)^{\frac{3}{2}} \left(\frac{r}{a_0}\right)^2 e^{-r/3a_0}. \end{aligned} \quad (35)$$

شکل های ۲ و ۳ چندتا از توابع شعاعی را نشان می دهند. به این نکته دقت کنید که تعداد ماکزیمم های یک تابع شعاعی  $R_{n,l}$  برابر است با  $n-l$ . هم چنین به این نکته دقت کنید که با افزایش  $n$  یعنی عدد کوانتومی اصلی، شعاع متوسط افزایش می



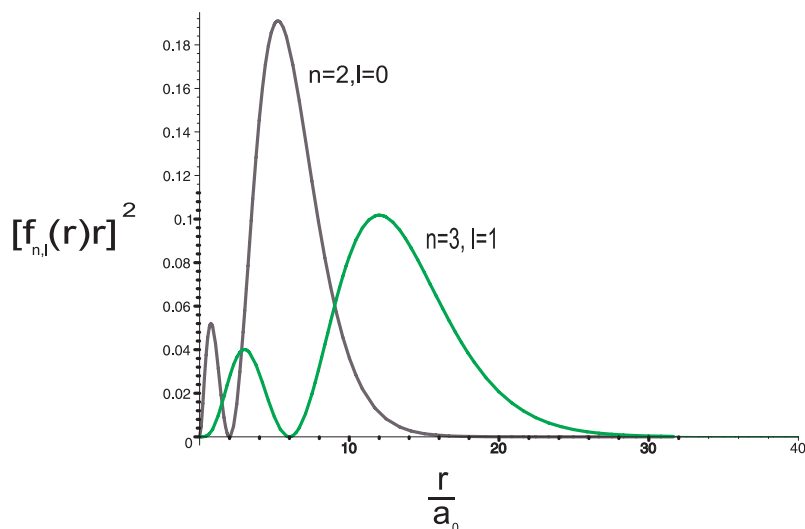
شکل ۲: چند تابع موج شعاعی برای اتم هیدروژن .

یابد.

توابع  $R_{n,l}(r)$  برحسب چند توابع وابسته لاگر *Associated Laguerre Laguerre* که مجموعه ای از توابع متعامد هستند قابل بیان هستند. (برای فهم بهتر خواص این توابع به یک کتاب ریاضی فیزیک رجوع کنید.) با استفاده از این ارتباط می توان متوسط توان های  $r$  را برای توابع موج حساب کرد. (ضمیمه شماره ۱). در زیر چند تا از این متوسط هارا که در آینده به آنها احتیاج داریم می نویسیم:

$$\begin{aligned} \langle r \rangle &= \frac{a_0}{2} [3n^2 - l(l+1)] \\ \langle r^2 \rangle &= \frac{a_0^2 n^2}{2} [5n^2 + 1 - 3l(l+1)] \\ \left\langle \frac{1}{r} \right\rangle &= \frac{1}{a_0 n^2} \\ \left\langle \frac{1}{r^2} \right\rangle &= \frac{1}{a_0^2 n^3 (l + \frac{1}{2})}. \end{aligned} \quad (36)$$

به این نکته دقت کنید که متوسط فاصله از مرکز یعنی  $\langle r \rangle$  که در مدل اتمی بوهر شعاع یک مدار دایره ای بود، باز هم به صورت مجذور عدد کوانتومی اصلی یعنی  $n$  افزایش می یابد، ولی این بار عدد کوانتومی  $l$  نیز در آن سهم است.



شکل ۳: چند تابع موج شعاعی برای اتم هیدروژن.

## ۱.۲ تأثیر جرم محدود هسته

تاکنون فرض کردیم که هسته کاملاً ساکن است و در واقع جرم آن بی نهایت است. در این بخش تأثیر جرم محدود هسته را مطالعه می کنیم. در واقع می بایست اتم هیدروژن را به عنوان یک مسئله دوجسمی در نظر بگیریم که هامیلتونی آن به شکل زیر است

$$H = \frac{P_1^2}{2M_1} + \frac{P_2^2}{2M_2} - \frac{e^2}{|\vec{R}_2 - \vec{R}_1|} \quad (37)$$

که در آن  $\vec{R}_2$  و  $\vec{P}_2$  مکان و تکانه هسته و  $\vec{R}_1$  و  $\vec{P}_1$  مکان و تکانه الکترون را نشان می دهند.  $M_2$  جرم هسته و  $M_1 \ll M_2$  جرم الکترون است. حال متغیرهای جدیدی به شکل زیر تعریف می کنیم:

$$\begin{aligned} \vec{r} &:= \vec{R}_1 - \vec{R}_2, & \vec{R} &:= \frac{M_1 \vec{R}_1 + M_2 \vec{R}_2}{M_1 + M_2} \\ \vec{p} &:= \frac{M_2 \vec{P}_1 - M_1 \vec{P}_2}{M_2 + M_1}, & \vec{P} &:= \vec{P}_1 + \vec{P}_2. \end{aligned} \quad (38)$$

خواننده می تواند براحتی تحقیق کند که متغیرهای جدید نیز کانونیک هستند یعنی

$$[X_i, P_j] = i\hbar\delta_{ij}, \quad [x_i, p_j] = i\hbar\delta_{ij}, \quad (39)$$

و بقیه روابط جابجایی برابر صفر هستند. از نظر فیزیکی  $\vec{r}$  مکان الکترون نسبت به هسته و  $\vec{R}$  مکان مرکز جرم الکترون و هسته را نشان می دهد. از آنجا که هسته خیلی سنگین تر از الکترون است مکان مرکز جرم تفاوت بسیار کمی با مکان هسته دارد. هم

چنین  $\vec{P}$  تکانه کل و  $\vec{p}$  یک نوع تکانه نسبی الکترون نسبت به هسته را نشان می دهد. در واقع اگر به یاد بیاوریم که  $\vec{P}_1 = M_1 \vec{v}_1$  و  $\vec{P}_2 = M_2 \vec{v}_2$ ، آنگاه معلوم می شود که  $\vec{p} = \mu(\vec{v}_1 - \vec{v}_2)$  که در آن  $\mu$  جرم کاهش یافته است که مطابق با تعریف برابری با

$$\mu = \frac{M_1 M_2}{M_1 + M_2}. \quad (40)$$

از آنجا که  $M_1 \ll M_2$  جرم کاهش یافته تنها اندکی از جرم الکترون یعنی  $M_1$  کمتر است. حال می توانیم هامیلتونی را بر حسب متغیرهای جدید بنویسیم. یک محاسبه ساده نشان می دهد که هامیلتونی بر حسب متغیرهای جدید برابری با

$$H = \frac{P^2}{2M} + \frac{p^2}{2\mu} - \frac{e^2}{r} \quad (41)$$

که در آن  $M = M_1 + M_2$  جرم کل و  $\mu$  جرم کاهش یافته است. بدین ترتیب هامیلتونی مجموع دو هامیلتونی است که با هم جابجایی شوند و در درجه های گذشته دیده ایم که ویژه توابع انرژی در این حالت برابرند با حاصل ضرب ویژه توابع هامیلتونی های جداگانه و ویژه مقادیر انرژی نیز عبارتند از مجموع ویژه انرژی ها. اما هامیلتونی  $\frac{P^2}{2M}$  هامیلتونی یک ذره آزاد است که ویژه توابع آن امواج تخت هستند. بنابراین شکل کامل ویژه حالت ها برای وقتی که جرم واقعی هسته و امکان حرکت آن را نیز در نظر می گیریم به صورت زیر است:

$$\Psi_{P,n,l,m}(R,r) = \frac{1}{(2\pi\hbar)^{3/2}} e^{\frac{i}{\hbar} P \cdot R} \psi_{n,l,m}(r, \theta, \phi). \quad (42)$$

در این رابطه  $R$  مکان مرکز جرم (که تقریباً بر مکان هسته منطبق است)،  $P$  تکانه مرکز جرم و  $r$  فاصله الکترون تا هسته است. این رابطه بیان می کند که همچنان که مرکز جرم یا هسته حرکت آزاد خود را ادامه می دهند، مثلاً در یک گاز هیدروژن، الکترون درون اتم در اوربیتال های مجاز و با انرژی های گسسته قرار دارد. این انرژی ها درست همان هایی است که برای یک اتم هیدروژن ایده آل بدست آوردیم با این تفاوت که می بایست در روابط مربوطه، مثلاً در ثابت رایدبرگ، جرم الکترون را با جرم کاهش یافته جایگزین کرد.

### ۳ ضمیمه ۱

در این ضمیمه بعضی از انتگرال های شعاعی را محاسبه می کنیم. هدف ما محاسبه متوسط عمومی زیر است:

$$\langle R^q \rangle_{n,l,m} = \int_0^\infty r^{q+2} |R_{n,l}(r)|^2 dr. \quad (43)$$

توابع موج شعاعی برای اتم هیدروژن همگی به صورت  $P(r)e^{-pr/a_0}$  هستند که در آن  $P(r)$  یک چند جمله ای و  $p$  یک عدد صحیح است. بنابراین کافی است که مقدار یک انتگرال کلی به شکل زیر را حساب کنیم:

$$I(k,p) = \int_0^\infty r^k e^{-pr/a_0} dr, \quad (44)$$

که در آن  $k$  و  $p$  اعداد صحیح هستند. فرض می‌کنیم که  $k \geq 0$ ، یعنی  $q \geq -2$ . با انتگرال گیری جزء به جزء رابطه تکرار زیر را بدست می‌آوریم:

$$\begin{aligned} I(k, p) &= \left[ -\frac{a_0}{p} e^{-pr/a_0} r^k \right]_0^\infty + \frac{ka_0}{p} \int_0^\infty r^{k-1} e^{-pr/a_0} dr \\ &= \frac{ka_0}{p} I(k-1, p). \end{aligned} \quad (45)$$

اما  $I(0, p)$  به سادگی به دست می‌آید:

$$I(0, p) = \int_0^\infty e^{-pr/a_0} dr = \frac{a_0}{p}. \quad (46)$$

در نتیجه رابطه کلی زیر بدست می‌آید:

$$I(k, p) = k! \left( \frac{a_0}{p} \right)^{k+1}. \quad (47)$$

با استفاده از این رابطه خواهیم داشت:

$$\langle 1/R \rangle_{1s} = \frac{4}{a_0^3} \int_0^\infty r e^{-2r/a_0} dr = \frac{4}{a_0^3} I(1, 2) = \frac{1}{a_0}, \quad (48)$$

$$\begin{aligned} \langle 1/R \rangle_{2s} &= \frac{4}{8a_0^3} \int_0^\infty r \left[ 1 - \frac{r}{2a_0} \right]^2 e^{-r/a_0} dr \\ &= \frac{1}{2a_0^3} \left[ I(1, 1) - \frac{1}{a_0} I(2, 1) + \frac{1}{4a_0^2} I(3, 1) \right] \\ &= \frac{1}{4a_0}. \end{aligned} \quad (49)$$

چند انتگرال مفید دیگر باهمین روش محاسبه می‌شوند:

$$\begin{aligned} \langle 1/R \rangle_{2p} &= \frac{1}{4a_0}, \\ \langle 1/R^2 \rangle_{1s} &= \frac{2}{a_0^2}, \\ \langle 1/R^2 \rangle_{2s} &= \frac{1}{4a_0^2}, \\ \langle 1/R^2 \rangle_{2p} &= \frac{1}{12a_0^2}. \end{aligned} \quad (50)$$

## درس چهاردهم : جمع اندازه حرکت زاویه ای

### ۱ مقدمه

فرض کنید که یک ذره اندازه حرکت خطی  $\vec{p}_1$  و ذره دیگر اندازه حرکت خطی  $\vec{p}_2$  دارد. می پرسیم اندازه حرکت خطی کل برای این دودره چقدر است؟ پاسخ این سوال در مکانیک کلاسیک ساده است. اندازه حرکت کل جمع برداری اندازه حرکت های تک تک ذرات است یعنی  $\vec{P} = \vec{p}_1 + \vec{p}_2$ . حال سعی می کنیم در چارچوب مکانیک کوانتومی به این سوال پاسخ دهیم. تاکنون ما به مشاهده پذیرهای یک ذره مثل تکانه یا مکان عملگرهای هرمیتی نسبت داده ایم. برای این کار از اصل تناظر دیراک استفاده کرده ایم و تقاضا کرده ایم که این عملگرها در رابطه  $[X, P] = i\hbar$  صدق کنند. حال می خواهیم به تکانه ها و مکان های دو یا چند ذره عملگرهای هرمیتی نسبت دهیم. برای سادگی خود را به یک بعد و دو ذره محدود می کنیم. تعمیم نتایج به چند ذره و ابعاد دلخواه ساده خواهد بود. مکان این ذرات را با  $x_1$  و  $x_2$  و تکانه های آنها را با  $p_1$  و  $p_2$  نشان می دهیم. از آنجا که در مکانیک کلاسیک روابط زیر برقرار هستند

$$\begin{aligned} \{x_1, x_2\} &= \{p_1, p_2\} = \{x_1, p_2\} = \{x_2, p_1\} = 0 \\ \{x_1, p_1\} &= \{x_2, p_2\} = 1 \end{aligned} \quad (1)$$

عملگرهایی که به این مشاهده پذیرها نسبت می دهیم می بایست در روابط زیر صدق کنند:

$$\begin{aligned} [X_1, X_2] &= [P_1, P_2] = [X_1, P_2] = [X_2, P_1] = 0 \\ [X_1, P_1] &= [X_2, P_2] = i\hbar. \end{aligned} \quad (2)$$

یک بار که عملگرهای  $X$  و  $P$  را با رابطه  $[X, P] = i\hbar$  فضای هیلبرتی که این رابطه در آن نمایش داده می شود ساخته باشیم می توانیم بسادگی عملگرهای بالا و فضای هیلبرتی که روی آن عمل می کنند بسازیم. برای این کار کافی است که از ضرب تانسوری فضاهای برداری استفاده کنیم و تعریف کنیم

$$\begin{aligned} X_1 &= X \otimes I, & X_2 &= I \otimes X, \\ P_1 &= P \otimes I, & P_2 &= I \otimes P. \end{aligned} \quad (3)$$

با استفاده از خواص ضرب تانسوری عملگرها بر اکتی دیده می شود که باین تعریف روابط جابجایی صحیح بین این مشاهده پذیرها برقرار می شود. عملگر تکانه خطی کل نیز به صورت زیر تعریف می شود:

$$P := P_1 + P_2 = P \otimes I + I \otimes P. \quad (4)$$

از آنجا که  $[P_1, P_2] = 0$  می توان حالت هایی را یافت که ویژه حالت مشترک هر دو عملگر باشند که معنای فیزیکی این حالت ها آن است که در آنها تکانه خطی هر دو ذره معین است. این حالت ها عبارت اند از

$$|p_1, p_2\rangle = |p_1\rangle \otimes |p_2\rangle. \quad (5)$$

باتوجه به روابط 40 واضح است که

$$P_1|p_1, p_2\rangle = p_1|p_1, p_2\rangle, \quad P_2|p_1, p_2\rangle = p_2|p_1, p_2\rangle, \quad P|p_1, p_2\rangle = (p_1 + p_2)|p_1, p_2\rangle \quad (6)$$

بنابراین حالت  $|p_1, p_2\rangle := |p_1\rangle \otimes |p_2\rangle$ ، حالتی است که تکانه زاویه ای کل آن برای دو ذره مقدار مشخصی دارد و برابر است با  $p_1 + p_2$ . حال همین روش را برای تکانه زاویه ای به کار می بریم. نخست عملگرهای تکانه زاویه کل را می بایست تعریف کنیم. می دانیم که تکانه زاویه ای هر کدام از دو ذره به شکل زیر تعریف می شود:

$$\vec{J}_1 := \vec{J} \otimes I, \quad \vec{J}_2 := I \otimes \vec{J}, \quad (7)$$

بنابراین تکانه زاویه ای کل برای دو ذره که آن را با نماد  $\vec{J}$  نشان خواهیم داد برابر است با

$$\vec{J} = \vec{J}_1 + \vec{J}_2 = \vec{J} \otimes I + I \otimes \vec{J}. \quad (8)$$

این رابطه به این معناست که

$$\mathcal{J}_x = \mathcal{J}_{1x} + \mathcal{J}_{2x}, \quad \mathcal{J}_y = \mathcal{J}_{1y} + \mathcal{J}_{2y}, \quad \mathcal{J}_z = \mathcal{J}_{1z} + \mathcal{J}_{2z}, \quad (9)$$

یا

$$\begin{aligned} \mathcal{J}_x &= \mathcal{J}_x \otimes I + I \otimes \mathcal{J}_x, \\ \mathcal{J}_y &= \mathcal{J}_y \otimes I + I \otimes \mathcal{J}_y, \\ \mathcal{J}_z &= \mathcal{J}_z \otimes I + I \otimes \mathcal{J}_z. \end{aligned} \quad (10)$$

براحتی نشان داده می شود که مولفه های تکانه زاویه ای کل در روابط زیر صدق می کنند:

$$[\mathcal{J}_a, \mathcal{J}_b] = i\hbar \epsilon_{abc} \mathcal{J}_c. \quad (11)$$

این رابطه به این معناست که عملگرهای  $J_x$ ،  $J_y$  و  $J_z$  واقعاً عملگر تکانه زاویه ای هستند زیرا در روابط جابجایی تعریف کننده مربوط به مشاهده پذیرهای تکانه زاویه ای صدق می کنند.

هم چنین اندازه تکانه زاویه ای کل برابر است با

$$\mathcal{J}^2 = \mathcal{J}_a \mathcal{J}_a, \quad (12)$$

که باهمه مولفه های تکانه زاویه ای کل جابجایی می شود یعنی  $[\mathcal{J}^2, \mathcal{J}_a] = 0$ . اما مهم است که دقت کنید

$$\mathcal{J}^2 \neq J_1^2 + J_2^2$$

و همین موضوع است که در درس ساز است. در واقع با توجه به رابطه (10) داریم

$$\begin{aligned} \mathcal{J}^2 &= (J_x \otimes I + I \otimes J_x)^2 + (J_y \otimes I + I \otimes J_y)^2 + (J_z \otimes I + I \otimes J_z)^2 \\ &= (J_x^2 + J_y^2 + J_z^2) \otimes I + I \otimes (J_x^2 + J_y^2 + J_z^2) + 2(J_x \otimes J_x + J_y \otimes J_y + J_z \otimes J_z) \\ &= \mathcal{J}^2 \otimes I + I \otimes \mathcal{J}^2 + 2(J_x \otimes J_x + J_y \otimes J_y + J_z \otimes J_z) \\ &= J_1^2 + J_2^2 + 2J_{1x}J_{2x} + 2J_{1y}J_{2y} + 2J_{1z}J_{2z} \\ &= J_1^2 + J_2^2 + 2\vec{J}_1 \cdot \vec{J}_2. \end{aligned} \quad (13)$$

برای محاسبات آینده توجه به یک نکته مهم است و آن اینکه عملگر  $\vec{J}_1 \cdot \vec{J}_2$  را به دو صورت می توانیم بنویسیم. با توجه به تعاریف  $J_+ := J_x + iJ_y$  و  $J_- := J_x - iJ_y$  می توانیم بنویسیم:

$$\vec{J}_1 \cdot \vec{J}_2 = J_{1x}J_{2x} + J_{1y}J_{2y} + J_{1z}J_{2z} \quad (14)$$

و یا

$$\vec{J}_1 \cdot \vec{J}_2 = \frac{1}{2}(J_{1+}J_{2-} + J_{1-}J_{2+}) + J_{1z}J_{2z}. \quad (15)$$

در محاسبات آینده از این رابطه ها استفاده می کنیم.

حال سوال می کنیم که حالتی که تکانه زاویه ای کل برای دو ذره مشخص باشد کدام حالت است؟ بیایید این کار را برای ساده ترین حالت انجام دهیم. قبل از ادامه بحث بهتر است به نکته ای درباره نمادگذاری اشاره کنیم و آن این است که تکانه زاویه ای کل را با  $\vec{T}$  یا  $\vec{K}$  نمایش می دهیم ولی معمولاً تکانه زاویه ای مربوط به ذرات اسپین  $\frac{1}{2}$  را همواره با  $\vec{S}$  نمایش می دهیم.



## ۲ جمع تکانه زاویه ای برای دو ذره اسپین ۱/۲

دو ذره اسپین ۱/۲ در نظر می گیریم. برای هر کدام از این دو ذره داریم

$$\begin{aligned} S_z|+\rangle &= \frac{1}{2}|+\rangle, & S_+|+\rangle &= 0, & S_-|+\rangle &= |-\rangle \\ S_z|-\rangle &= -\frac{1}{2}|-\rangle, & S_+|-\rangle &= |+\rangle, & S_-|-\rangle &= 0. \end{aligned} \quad (16)$$

حالت های  $|+\rangle$  و  $|-\rangle$  به ترتیب نمادهای خلاصه ای هستند برای  $|\frac{1}{2}, \frac{1}{2}\rangle$  و  $|\frac{1}{2}, -\frac{1}{2}\rangle$ . حال حالت های چهارگانه زیر را در نظر می گیریم

$$\begin{aligned} &|+, +\rangle \\ &|+, -\rangle \\ &|-, +\rangle \\ &|-, -\rangle. \end{aligned} \quad (17)$$

از خود سوال می کنیم که آیاتکانه زاویه ای کل این حالت ها مقدار مشخصی است؟ آیا این حالت ها ویژه بردارهای مشترک  $J^2$  و  $J_z$  هستند؟ برای پاسخ به این سوال دقت می کنیم که عملگر تکانه زاویه ای کل برای این دو ذره به شکل زیر تعریف می شود:

$$\begin{aligned} J_z &= S_{1z} + S_{2z} \\ J^2 &= (S_1 + S_2)^2 = S_1^2 + S_2^2 + 2S_1 \cdot S_2. \end{aligned} \quad (18)$$

عملگر  $S_1 \cdot S_2$  را برای محاسبات آینده بهتراست به شکل زیر بنویسیم:

$$S_1 \cdot S_2 = S_{1z}S_{2z} + 2S_{1+}S_{2-} + 2S_{1-}S_{2+}. \quad (19)$$

در نتیجه خواهیم داشت

$$J^2 = \frac{3}{2} + 2S_{1z}S_{2z} + 4S_{1+}S_{2-} + 4S_{1-}S_{2+}. \quad (20)$$

براحتی معلوم می شود که حالت های چهارگانه 17 مولفه سوم تکانه زاویه ای مشخصی دارند یعنی

$$\begin{aligned} J_z|+, +\rangle &= |+, +\rangle \\ J_z|+, -\rangle &= 0 \end{aligned}$$

$$\begin{aligned} J_z|-, +\rangle &= 0 \\ J_z|-, -\rangle &= -|-, -\rangle. \end{aligned} \quad (21)$$

برای اینکه ببینیم آیا اندازه تکانه زاویه ای کل این حالت ها نیز مشخص است یا نه عملگر  $J^2$  را روی آنها اثر می دهیم. با توجه به روابط 18 و 19 بدست می آوریم

$$\begin{aligned} J^2|+, +\rangle &= 2|+, +\rangle \\ J^2|+, -\rangle &= |+, -\rangle + |-, +\rangle \\ J^2|-, +\rangle &= |-, +\rangle + |+, -\rangle \\ J^2|-, -\rangle &= 2|-, -\rangle. \end{aligned} \quad (22)$$

بنابراین اگر چه حالت های  $|+, +\rangle$  و  $|-, -\rangle$  اندازه تکانه زاویه ای مشخصی دارند حالت های  $|+, -\rangle$  و  $|-, +\rangle$  چنین نیستند. اما می توان ترکیب جدیدی از این دو حالت چنان درست کرد که خاصیت گفته شده را داشته باشند. از روابط بالا این ترکیب جدید مشخص می شود که به صورت دو حالت  $\frac{1}{\sqrt{2}}(|+, -\rangle + |-, +\rangle)$  خواهند بود. بنابراین بجای چهار حالت فوق می توان یک دسته سه تایی و یک دسته یک تایی ساخت که ویژه مقدارهای  $J^2$  و  $J_z$  آنها مشخص باشد. هرگاه این ویژه بردارها را با  $|j, m\rangle$  نشان دهیم این حالت ها عبارتند از:

$$\begin{aligned} |1, 1\rangle &= |+, +\rangle \\ |1, 0\rangle &= \frac{1}{\sqrt{2}}(|+, -\rangle + |-, +\rangle) \\ |1, -1\rangle &= |-, -\rangle \end{aligned} \quad (23)$$

و

$$|0, 0\rangle = \frac{1}{\sqrt{2}}(|+, -\rangle - |-, +\rangle). \quad (24)$$

نکته مهم آن است که دسته سه تایی که آن را اصطلاحاً *Triplet* می گوئیم یک نمایش اسپین 1 از جبر تکانه زاویه ای تشکیل می دهد به این معنا که عمل گرهای  $J_z$  و  $J_{\pm}$  این حالت ها را درست مثل حالت های یک نمایش اسپین 1 به هم تبدیل می کند. دسته یک تایی نیز که اصطلاحاً آن را *Singlet* می گوئیم یک نمایش اسپین صفر از جبر تکانه زاویه ای تشکیل می دهد. کاری که انجام داده ایم از نظر ریاضی تجزیه حاصل ضرب تانسوری دو نمایش اسپین 1/2 به جمع دو نمایش اسپین 1 و 0 نامیده می شود. به همین دلیل است که می نویسیم

$$\frac{1}{2} \otimes \frac{1}{2} = 0 \oplus 1. \quad (25)$$

### ۳ جمع دو تکانه زاویه ای دلخواه

آنچه را که دربخش گذشته گفتیم می توانیم به جمع دو تکانه زاویه ای دلخواه تعمیم دهیم. حالتی مثل  $|j_1, m_1\rangle \otimes |j_2, m_2\rangle := |j_1, m_1; j_2, m_2\rangle$  را در نظر بگیرید. وقتی که دو ذره در این حالت هستند تکانه زاویه ای هر کدام از آنها به تنهایی معین است. به عبارت دیگر این حالت ویژه حالت مشترک چهار عملگر  $J_1^2, J_{1z}, J_2^2, J_{2z}$  است. در نتیجه در این حالت اندازه تکانه زاویه ای هر دو ذره و هم چنین مولفه سوم تکانه زاویه ای هر دو ی آنها معین است. این حالت ها یک پایه برای حالت های هر دو ذره تشکیل می دهند. حال سوال می کنیم که آیا در این حالت تکانه زاویه ای کل دوزره نیز مقدار معینی دارد؟ به عبارت دیگر آیا این حالت ویژه بردار  $J^2$  و یا  $J_z$  نیز هست یا نه؟ از آنجا که  $J_z = J_{1z} + J_{2z}$  بسادگی می فهمیم که

$$J_z |j_1, m_1; j_2, m_2\rangle = (m_1 + m_2) |j_1, m_1; j_2, m_2\rangle, \quad (26)$$

یعنی در این حالت مولفه سوم تکانه زاویه ای کل نیز مقدار معینی دارد و برابر است با مجموع مولفه های سوم تکانه های زاویه ای برای تک تک ذرات. اما یک محاسبه ساده و استفاده از رابطه

$$J^2 = J_1^2 + J_2^2 + 2J_{1z}J_{2z} + 4J_{1+}J_{2-} + 4J_{1-}J_{2+} \quad (27)$$

نشان می دهد که این حالت ویژه بردار عملگر  $J^2$  نیست و بنابراین در این حالت اندازه تکانه زاویه ای کل مقدار مشخصی ندارد. از خود می پرسیم آیا می توان حالت هایی را یافت که در آنها تکانه زاویه کل دوزره و مولفه سوم تکانه زاویه ای کل معلوم باشد؟ به عبارت بهتری پرسیم که ویژه بردارهای دو عملگر  $J^2$  و  $J_z$  کدامند؟ و چه ربطی به حالت های  $|j_1, m_1; j_2, m_2\rangle$  دارند؟ مسلم است که می توان این دو عملگر را در یک پایه قطری کرد و حالت های مزبور را به صورت یک بسط از پایه قبلی یعنی حالت های  $|j_1, m_1; j_2, m_2\rangle$  نوشت. اما می توانیم مسئله را با سادگی بیشتری حل کنیم اگر توجه کنیم که دو عملگر دیگر وجود دارند که با  $J^2$  و  $J_z$  جابجایی شوند. این دو عملگر عبارتند از  $J_1^2$  و  $J_2^2$ . تحقیق درستی این مطلب را به خواننده واگذار می کنیم. این موضوع مثل همیشه باعث می شود که ما بهتر بتوانیم طیف عملگرها را پیدا کنیم. حال باید به دنبال ویژه حالت های مشترک چهار عملگر باشیم که همه با هم جابجایی شوند که عبارتند از

$$J^2, \quad J_z, \quad J_1^2, \quad J_2^2. \quad (28)$$

این ویژه حالت ها را به شکل  $|j, m; j_1, j_2\rangle$  می نویسیم. این حالت ها چنان اند که روابط زیر برقرار خواهند بود:

$$\begin{aligned} J^2 |j, m; j_1, j_2\rangle &= j(j+1) |j, m; j_1, j_2\rangle, \\ J_z |j, m; j_1, j_2\rangle &= m |j, m; j_1, j_2\rangle, \\ J_1^2 |j, m; j_1, j_2\rangle &= j_1(j_1+1) |j, m; j_1, j_2\rangle, \\ J_2^2 |j, m; j_1, j_2\rangle &= j_2(j_2+1) |j, m; j_1, j_2\rangle. \end{aligned} \quad (29)$$

می توان این حالت ها را بر حسب حالت های  $|j_1, m_1; j_2, m_2\rangle$  بسط داد. این بسط را به شکل کلی زیر می توان نوشت:

$$|j, m; j_1, j_2\rangle = \sum_{m_1, m_2} C(j, m; j_1, j_2, m_1, m_2) |j_1, m_1; j_2, m_2\rangle. \quad (30)$$

ضرایب  $C(j, m; j_1, j_2, m_1, m_2)$  Clebsch – Gordon نامیده می شوند.

از آنجا که پایه  $\{|j_1, m_1; j_2, m_2\rangle\}$  و  $\{|j, m; j_1, j_2\rangle\}$  هردو کامل و متعامد هستند داریم

$$\sum_{m_1, m_2} |j_1, m_1; j_2, m_2\rangle \langle j_1, m_1; j_2, m_2| = I, \quad (31)$$

و

$$\sum_{j, m} |j, m; j_1, j_2\rangle \langle j, m; j_1, j_2| = I. \quad (32)$$

بنابراین بسط 30 را به شکل زیرین می توان نوشت

$$|j, m; j_1, j_2\rangle = \sum_{j_1, j_2, m_1, m_2} |j_1, m_1; j_2, m_2\rangle \langle j_1, m_1; j_2, m_2|j, m; j_1, j_2\rangle, \quad (33)$$

این رابطه در واقع بیان می کند که ضرایب *Clebsch Gordon* عبارتند از ضرایب تغییر پایه، یعنی:

$$C(j, m; j_1, j_2, m_1, m_2) = \langle j_1, m_1; j_2, m_2|j, m; j_1, j_2\rangle. \quad (34)$$

این رابطه به ما اجازه می دهد که قیود معینی را روی این ضرایب بدست آوریم. به عنوان اولین قید بدست می آوریم که یک ضریب کلبش – گوردون تنها وقتی غیر صفر است که شرط  $m = m_1 + m_2$  برقرار باشد. برای این کار کافی است که عنصر ماتریسی عملگر  $J_z = J_{1z} + J_{2z}$  را حساب کنیم. داریم:

$$\langle j_1, m_1; j_2, m_2|J_z - J_{1z} - J_{2z}|j, m; j_1, j_2\rangle = [m - (m_1 + m_2)] \langle j_1, m_1; j_2, m_2|J_z - J_{1z} - J_{2z}|j, m; j_1, j_2\rangle \quad (35)$$

بنابراین وقتی که  $m$  برابر با  $m_1 + m_2$  نباشد، ضریب کلبش – گوردون برابر با صفر می شود. شرط دوم در قضیه زیر بیان می شود. اثبات این قضیه ساده است و در ضمیمه این درس آمده است.

**قضیه:** هرگاه تکانه زاویه ای  $j_1$  را با تکانه زاویه ای  $j_2$  جمع کنیم، تکانه زاویه ای کل که آن را با  $j$  نمایش می دهیم هر کدام از مقادیر  $\{j_1 + j_2, j_1 + j_2 - 1, j_1 + j_2 - 2, \dots, |j_1 - j_2|\}$  را اختیار کند.

## ۴ جمع تکانه زاویه ای از دیدگاه نمایش ها

می دانیم که عملگرهای  $J_1, J_2, J_3$  یا  $J_x, J_y, J_z$  مولدهای گروه دوران هستند. این عملگرها در یک رابطه جابجایی یعنی رابطه

$$[J_a, J_b] = i\epsilon_{abc}J_c \quad (36)$$

صدق می کنند. اصطلاحاً می گوئیم که این روابط، یک جبر تعریف می کنند. در این بخش می خواهیم معنای جمع تکانه زاویه‌ای را از این نقطه نظر بفهمیم.

در درس های گذشته دیدیم که نمایش های یکانی این جبر همگی محدود بعد هستند و هر نمایش با یک عدد صحیح یا نیمه صحیح که آن را با  $j$  نمایش می دادیم، مشخص می شود. وقتی می گوئیم که یک نمایش محدود بعد و یکانی اسپین  $-j$  از این جبر پیدا کرده ایم، یعنی این که یک فضای برداری محدود بعد مثل  $V_j$  پیدا کرده ایم و توانسته ایم در آن فضا به این مولدها عملگرهایی یا ماتریس هایی نسبت دهیم که همان رابطه جابجایی بالا را بین خود داشته باشند. بنابراین اگر به مولد  $J_a$  ماتریس  $D(J_a)$  را نسبت داده باشیم، آنگاه این روابط در یک نمایش برقرار هستند:

$$[D(J_a), D(J_b)] = i\epsilon_{abc}D(J_c). \quad (37)$$

دقت کنید که این ماتریس ها، یا عملگرها روی فضای  $2j + 1$  بعدی  $V_j$  عمل می کنند. هرگاه بردارهای پایه  $V_j$  را با  $|j, m\rangle$  نمایش دهیم، آنگاه عملگرهای  $D(J_a)$  این بردارهای پایه را طبق قاعده مشخصی به هم تبدیل می کنند. این قاعده مشخص را در درس مربوط به تکانه زاویه‌ای پیدا کردیم به این معنا که:

$$\begin{aligned} D(J_z)|j, m\rangle &= m|j, m\rangle \\ D(J_+)|j, m\rangle &= \sqrt{j(j+1) - m(m+1)}|j, m+1\rangle \\ D(J_-)|j, m\rangle &= \sqrt{j(j+1) - m(m-1)}|j, m-1\rangle. \end{aligned} \quad (38)$$

البته معمولاً با تسامح از نوشتن علامت  $D$  صرف نظر کرده‌ایم ولی نوشتن این علامت در بحث های نظری مهم است زیرا باید تاکید کنیم که یک جبر معین وجود دارد که می تواند نمایش های متعدد و باابعاد متفاوت داشته باشد. کاهش ناپذیر بودن یک نمایش به این معناست که حالت های پایه فضای  $V_j$  را نمی توان به دو گروه جداگانه تقسیم کرد به قسمی که هر گروه جداگانه تحت تاثیر عملگرها به عناصری از همان گروه تبدیل شوند. به عبارت بهتر وقتی به ماتریس های نمایش نگاه می کنیم، این ماتریس ها بلوکه قطری نیستند. حال فرض کنید که دو نمایش  $D$  و  $D'$  روی فضاهای  $V$  و  $V'$  از جبر تکانه‌ی زاویه‌ای در اختیار داریم. از آنجا که  $D$  و  $D'$  هر دو نمایش هستند داریم

$$[D(J_a), D(J_b)] = i\epsilon_{abc}D(J_c), \quad [D'(J_a), D'(J_b)] = i\epsilon_{abc}D'(J_c), \quad (39)$$

حال می توانیم یک نمایش بزرگ تر روی فضای  $V \otimes V'$  به شکل زیر بسازیم:

$$\mathcal{D}(J_a) := D(J_a) \otimes I + I \otimes D'(J_a). \quad (40)$$

دانشجو می تواند براحتی تحقیق کند که  $\mathcal{D}$  واقعاً یک نمایش است. این نمایش جدید را ضرب تانسوری دو نمایش  $D$  و  $D'$  می خوانیم. نکته مهم آن است که حتی اگر نمایش های  $D$  و  $D'$  کاهش ناپذیر باشند، ضرب تانسوری آنها عموماً کاهش پذیر است. حال مطالب گفته شده را که در مورد هر جبر و هر نمایشی صادق بود به جبر تکانه زاویه‌ای و نمایش های کاهش ناپذیر آن تخصیص می دهیم. نمایش اسپین  $j_1$  را با  $D_{j_1}$  نمایش می دهیم و نمایش اسپین  $j_2$  را با  $D_{j_2}$ . فضاهای این دو نمایش را با  $V_{j_1}$  و  $V_{j_2}$  نشان می دهیم و پایه های آنها را با  $\{|j_1, m_1\rangle\}$  و  $\{|j_2, m_2\rangle\}$ . در این صورت حالت های

$\{|j_1, m_1\rangle \otimes |j_2, m_2\rangle\} := |j_1, m_1; j_2, m_2\rangle$  تشکیل یک پایه برای فضای  $V_{j_1} \otimes V_{j_2}$  تشکیل می دهند. این پایه نمایش حاصل ضرب که آن را با  $\mathcal{D}_{j_1 \otimes j_2}$  نشان می دهیم و ماتریس های آن مطابق با رابطه ی 40 تعریف شده اند، حمل می کنند، به این معنا که این پایه ها تحت اثر ماتریس های  $\mathcal{D}(J_a) := D(J_a) \otimes I + I \otimes D'(J_a)$  به هم تبدیل می شوند. ولی نمایش بدست آمده یک نمایش کاهش پذیر است و می توان با یک تبدیل پایه آن را بلوکه قطری کرد. تبدیل پایه ای که این کار را انجام می دهد همانی است که توسط ضرایب کلیش - گوردون تشکیل می شود. در این پایه جدید تمام ماتریس های نمایش بلوکه قطری می شوند. این که حاصل ضرب دو نمایش فوق به چه نمایش هایی تجزیه می شود، پاسخ اش توسط قضیه زیر داده می شود. اثبات این قضیه در ضمیمه ی این فصل آمده است.

قضیه: حاصل ضرب دو نمایش  $j_1$  و  $j_2$  از تکانه زاویه ای به نمایش های کاهش ناپذیر زیر تجزیه می شود:

$$\mathcal{D}_{j_1 \otimes j_2} = D_{(j_1+j_2)} \oplus D_{(j_1+j_2-1)} \oplus \cdots \oplus D_{|j_1-j_2|}. \quad (41)$$

معمولاً این رابطه را به شکل ساده تر زیر می نویسیم:

$$j_1 \otimes j_2 = (j_1 + j_2) \oplus (j_1 + j_2 - 1) \oplus \cdots \oplus |j_1 - j_2|. \quad (42)$$

این رابطه به صورت نمادین بیان می کند که فضای حاصل ضرب تانسوری  $V_{j_1} \otimes V_{j_2}$  به زیر فضاهایی تجزیه می شود که هر کدام یک نمایش کاهش ناپذیر را حمل می کنند. این زیر فضاهای به یکدیگر عمود هستند زیرا که هر کدام از آنها ویژه مقدار متفاوتی برای عملگر هرمیتی  $J^2 = (L_1 + L_2)^2$  دارند. در زیر بخش بعدی نحوه عملی این تجزیه را شرح خواهیم داد.

## ۱.۴ روش تجزیه حاصل ضرب دو نمایش

باز هم بهتر است که روش تجزیه را بایک مثال ساده شرح دهیم. فرض کنید که دو ذره با تکانه زاویه ای  $1/2$  و  $1$  داریم. یا اینکه ذره ای داریم که هم تکانه زاویه ای مداری به اندازه یک و هم تکانه زاویه ای اسپینی دارد. می خواهیم بینیم که تکانه زاویه ای کل چه مقادیری می تواند اختیار کند. حالت های  $l = 1$  عبارتند از

$$\begin{aligned} &|1, 1\rangle \\ &|1, 0\rangle \\ &|1, -1\rangle. \end{aligned} \quad (43)$$

و حالت های اسپین یا  $s = \frac{1}{2}$  عبارتند از

$$\begin{aligned} &|+\rangle, \\ &|-\rangle. \end{aligned} \quad (44)$$

نخستین کاری که می‌کنیم آن است که بالاترین حالت نمایش 1 را در بالاترین حالت نمایش 1/2 ضرب می‌کنیم. حالت بدست آمده چیزی نیست جز  $|\frac{3}{2}, \frac{3}{2}\rangle$ .

$$|\frac{3}{2}, \frac{3}{2}\rangle. \quad (45)$$

دلیل این امر را خواننده با یک محاسبه ساده و اثر دادن  $J^2$  و  $J_z$  روی دو طرف می‌تواند بفهمد. حال با اثر  $J_z = L_z + S_z$  روی دو طرف حالت‌های دیگر این نمایش را بدست می‌آوریم. بنابراین یک چهارتایی که همان نمایش  $\frac{3}{2}$  است بدست می‌آید:

$$\begin{aligned} |\frac{3}{2}, \frac{3}{2}\rangle &= |1, 1\rangle|+\rangle \\ |\frac{3}{2}, \frac{1}{2}\rangle &= \sqrt{\frac{2}{3}}|1, 0\rangle|+\rangle + \sqrt{\frac{1}{3}}|1, 1\rangle|-\rangle \\ |\frac{3}{2}, \frac{3}{2}\rangle &= \sqrt{\frac{1}{3}}|1, -1\rangle|+\rangle + \sqrt{\frac{2}{3}}|1, 0\rangle|-\rangle \\ |\frac{3}{2}, \frac{-3}{2}\rangle &= |1, -1\rangle|-\rangle. \end{aligned} \quad (46)$$

به این ترتیب یک دسته چهارتایی حالت بدست می‌آید که نمایش اسپین  $\frac{3}{2}$  از جبر تکانه زاویه ای را می‌سازند. اما می‌دانیم که دو حالت دیگر باقی مانده است. رابطه 41 نیز به ما می‌گوید که  $\frac{1}{2} \otimes \frac{1}{2} = \frac{3}{2} \oplus \frac{1}{2}$ . بنابراین دو حالت دیگر می‌بایست نمایش اسپین  $\frac{1}{2}$  را بسازند. برای یافتن بالاترین حالت این نمایش یعنی  $|\frac{1}{2}, \frac{1}{2}\rangle$  ترکیب زیر را می‌سازیم که در آن  $\alpha$  و  $\beta$  می‌بایست پیدا شوند.

$$|\frac{1}{2}, \frac{1}{2}\rangle = \alpha|1, 0\rangle|+\rangle + \beta|1, 1\rangle|-\rangle. \quad (47)$$

حال کافی است که  $\alpha$  و  $\beta$  را چنان پیدا کنیم که اثر  $J_+$  روی این حالت برابر با صفر باشد، یعنی این حالت واقعاً بالاترین حالت یک نمایش باشد. با استفاده از این شرط و شرط بهنجارش این حالت پیدا می‌شود. سپس با استفاده از اثر  $J_-$  روی آن حالت دیگر نمایش نیز یافته خواهد شد. نهایتاً حالت‌های این نمایش عبارت خواهند بود از:

$$\begin{aligned} |\frac{1}{2}, \frac{1}{2}\rangle &= \sqrt{\frac{1}{3}}|1, 0\rangle|+\rangle - \sqrt{\frac{2}{3}}|1, 1\rangle|-\rangle \\ |\frac{1}{2}, \frac{-1}{2}\rangle &= \sqrt{\frac{2}{3}}|1, -1\rangle|+\rangle - \sqrt{\frac{1}{3}}|1, 0\rangle|-\rangle. \end{aligned} \quad (48)$$

آنچه که نشان داده ایم مثالی است از قضیه کلی ای که در بالا به آن اشاره کردیم، یعنی اینکه نشان داده ایم

$$\frac{1}{2} \otimes \frac{1}{2} = 1 \oplus 0. \quad (49)$$

## ۵ جمع تکانه زاویه ای مداری و اسپینی

در این بخش روابط بسته ای برای جمع تکانه های زاویه ای  $l$  و  $\frac{1}{2}$  بدست می آوریم. این نتیجه از نظر کاربردی نیز اهمیت زیادی دارد زیرا خیلی از اوقات می خواهیم تکانه زاویه ای کل را برای الکترونی که تکانه زاویه ای مداری  $l$  و تکانه زاویه ذاتی یا اسپین  $\frac{1}{2}$  دارد بدست آوریم. معمولاً عملگر تکانه زاویه ای را با  $S$ ، تکانه زاویه مداری را با  $L$  و تکانه زاویه ای کل را با  $J$  نشان می دهیم. بنابراین  $J = L + S$ . می دانیم که

$$l \otimes \frac{1}{2} = (l + \frac{1}{2}) \oplus (l - \frac{1}{2}). \quad (50)$$

با کمی دقت متوجه می شویم که یک حالت با عدد کوانتومی  $m + \frac{1}{2}$  را در چند تایی  $l + \frac{1}{2}$  تنها می توان به شکل زیر نوشت:

$$|l + \frac{1}{2}, m + \frac{1}{2}\rangle = \alpha_{l,m} |l, m\rangle |+\rangle + \beta_{l,m} |l, m + 1\rangle |-\rangle, \quad (51)$$

که در آن  $\alpha_{l,m}$  و  $\beta_{l,m}$  ضرایبی هستند که می بایست تعیین شوند. هم چنین یک حالت با عدد کوانتومی  $m + \frac{1}{2}$  را در چند تایی  $l - \frac{1}{2}$  می توان به صورت زیر نوشت:

$$|l - \frac{1}{2}, m + \frac{1}{2}\rangle = \gamma_{l,m} |l, m\rangle |+\rangle + \delta_{l,m} |l, m + 1\rangle |-\rangle. \quad (52)$$

تعامد این حالت بر حالت قبلی و هم چنین بهنجاری بودن آنها منجر به روابط زیر می شود:

$$\begin{aligned} \alpha_{l,m}^2 + \beta_{l,m}^2 &= 1 \\ \gamma_{l,m}^2 + \delta_{l,m}^2 &= 1 \\ \alpha_{l,m} \gamma_{l,m} + \beta_{l,m} \delta_{l,m} &= 0. \end{aligned} \quad (53)$$

بنابراین کافی است که یکی از ضرایب را پیدا کنیم زیرا روابط فوق بقیه ضرایب را بدست خواهند داد. برای بدست آوردن این ضریب کافی است که روی طرفین رابطه 51 عملگر  $J_- = L_- + S_-$  را اعمال کنیم. در این صورت بدست می آوریم

$$C(l + \frac{1}{2}, m + 1) |l + \frac{1}{2}, m - 1\rangle = \alpha_{l,m} C(l, m) |l, m - 1\rangle |+\rangle + \alpha_{l,m} |l, m\rangle |-\rangle + \beta_{l,m} C(l, m + 1) |l, m\rangle |-\rangle, \quad (54)$$

$$C(l, m) = \sqrt{l(l+1) - m(m-1)}$$

با مقایسه این رابطه با رابطه  $a$  به نتیجه زیر می رسیم:

$$\alpha_{l,m-1} = \frac{C(l, m)}{C(l + \frac{1}{2}, m + 1)} \alpha_{l,m} \quad (55)$$



ویا پس از ساده کردن

$$\alpha_{l,m} = \sqrt{\frac{l+m+1}{2l+1}} \alpha_{l,m-1}. \quad (56)$$

با تکرار این رابطه و توجه به اینکه  $\alpha_{l,l} = 1$  به نتیجه زیر می‌رسیم:

$$\alpha_{l,m} = \sqrt{\frac{l+m+1}{2l+1}}. \quad (57)$$

با استفاده از روابط 53 بقیه ضرایب نیز بدست می‌آیند. بنابراین

$$\begin{aligned} |l + \frac{1}{2}, m + \frac{1}{2}\rangle &= \sqrt{\frac{l+m+1}{2l+1}} |l, m\rangle |+\rangle + \sqrt{\frac{l-m}{2l+1}} |l, m+1\rangle |-\rangle, \\ |l - \frac{1}{2}, m + \frac{1}{2}\rangle &= \sqrt{\frac{l-m}{2l+1}} |l, m\rangle |+\rangle - \sqrt{\frac{l+m+1}{2l+1}} |l, m+1\rangle |-\rangle. \end{aligned} \quad (58)$$

## ۶ عملگرهای اسکالر، عملگرهای برداری و تانسوری

در بسیاری از محاسباتی که بعداً با آنها سروکار پیدا خواهیم کرد، می‌خواهیم عناصر ماتریسی بعضی از عملگرها را در ویژه پایه تکانه زاویه ای یعنی حالت های  $|j, m\rangle$  پیدا کنیم. هرگاه خواص این عملگرها و رابطه آنها را با تکانه زاویه ای بهتر بدانیم می‌توانیم حتی بدون محاسبه زیاد این عناصر ماتریسی را مشخص کنیم. عملگرها را می‌توانیم بسته به این که چه نوع رابطه‌ی جابجایی با عملگرهای تکانه زاویه‌ای دارند، طبقه بندی کنیم. عملگرها را بسته به نوع این رابطه به عملگرهای اسکالر، برداری و تانسوری تقسیم بندی می‌کنیم. در این بخش این عملگرها را مطالعه می‌کنیم و نشان می‌دهیم که چگونه خواص آنها منجر به بعضی قیود مهم روی عناصر ماتریسی آنها در پایه تکانه زاویه‌ای می‌شود.

### ۱.۶ عملگرهای اسکالر

در درسهای گذشته عملگر اسکالر را معرفی کردیم. در تمام این بخش فرض ما این است که فضای هیلبرتی که عملگرها در آن تعریف شده اند نمایشی از تکانه زاویه ای و در نتیجه نمایشی از دوران را حمل می‌کند. نمایش مولفه های تکانه زاویه‌ای را با  $J_{x,y,z}$  نشان می‌دهیم. در این فضای هیلبرت یک عملگر اسکالر مثل  $S$ ، عملگری است که تحت دوران تغییر نمی‌کند، به این معنا که

$$U(R) S U^\dagger(R) = S, \quad (59)$$

که در آن  $U(R)$ ، نمایشی از دوران  $R$  روی آن فضای هیلبرت است. از آنجا که  $U(R) = e^{i\theta \mathbf{n} \cdot \mathbf{J}}$ ، رابطه بالا به این معناست که

$$[J_i, S] = 0, \quad (60)$$

یعنی اینکه عملگر  $S$  با مولفه‌های تکانه زاویه‌ای یا به عبارت بهتر با نمایش های آن در آن فضای هیلبرت جابجا می شود. نمونه هایی از عملگرهای اسکالر در فضای هیلبرت یک ذره که در سه بعد حرکت می کند عبارت اند از  $\mathbf{P} \cdot \mathbf{J}$  و یا  $\mathbf{P} \cdot \mathbf{P}$ . هرکدام از روابط 59 یا 60 را می توان به عنوان تعریف عملگر اسکالر در نظر گرفت.

قضیه: هرگاه  $S$  یک عملگر اسکالر باشد آنگاه روی عناصر ماتریسی اش قید زیر برقرار است:

$$\langle j, m | S | j', m' \rangle = A \delta_{j,j'} \delta_{m,m'} \quad (61)$$

که در آن  $A$  ثابتی است که بستگی به نوع عملگر دارد. این رابطه نمونه ای از آن قواعد انتخابی است که گفتیم به این معنا که از قبل می توان گفت کدام عناصر ماتریسی صفر و کدام یک غیر صفر هستند.

اثبات: از رابطه 60 می بینیم که  $[J^2, S] = 0$ . بنابراین بدست می آوریم

$$\begin{aligned} 0 &= \langle j, m | [J^2, S_i] | j', m' \rangle = \langle j, m | J_z S_i - S_i J_z | j', m' \rangle = (m' - m) \langle j, m | S | j', m' \rangle, \\ 0 &= \langle j, m | [J^2, S_i] | j', m' \rangle = \langle j, m | J^2 S_i - S_i J^2 | j', m' \rangle = [j'(j' + 1) - j(j + 1)] \langle j, m | S | j', m' \rangle. \end{aligned} \quad (62)$$

این دو رابطه حکم قضیه را ثابت می کنند.

## ۲.۶ عملگرهای برداری

تعریف: عملگر  $\mathbf{A} = (A_1, A_2, A_3)$  عملگری است که تحت دوران مثل یک بردار تبدیل شود، به این معنا که:

$$U(R) A_i U^\dagger(R) = R_{ij} A_j. \quad (63)$$

بنابر تعریف این رابطه می بایست برای همه دوران ها از جمله دوران های بی نهایت کوچک نیز برقرار باشد. اما برای دوران های بی نهایت کوچک به اندازه  $\theta$  حول محور  $\mathbf{n}$  داریم

$$R_{ij} = \delta_{ij} + \theta \epsilon_{ijk} n_k \quad (64)$$

و

$$U(R) = I + i\theta n_j J_j, \quad (65)$$

که در آن  $J_j$  ها نمایش های تکانه‌ی زاویه‌ای در همان فضای هیلبرتی هستند که  $A_i$  ها روی آن عمل می‌کنند. جایگذاری 64 و 65 در 67 و نگاه داشتن جملات تا رتبه  $\theta$  منجر به رابطه زیر می‌شود:

$$[J_i, A_j] = i\epsilon_{ijk}A_k. \quad (66)$$

از این به بعد این رابطه را به عنوان رابطه تعریف کننده‌ی عملگرهای برداری به کار می‌بریم، به این معنا که می‌گوییم عملگر  $A$  یک عملگر برداری است اگر مولفه‌هایش با تکانه زاویه‌ای یا نمایش های آن چنین رابطه‌ی جابجایی ای داشته باشند. عملگرهای  $\mathbf{P} = (P_x, P_y, P_z)$  و  $\mathbf{R} = (X, Y, Z)$  نمونه‌هایی از عملگرهای برداری هستند.

### ۳.۶ عملگرهای تانسوری

تعریف: عملگر  $T$  با مولفه های  $T_{i,j}$ ,  $i, j = 1, 2, 3$  یک عملگر تانسوری رتبه دو است هرگاه تحت دوران مثل یک تانسور رتبه ۲ تبدیل شود، به این معنا که:

$$U(R)T_{ij}U^\dagger(R) = R_{ik}R_{jl}T_{kl}. \quad (67)$$

هرگاه رابطه های 64 و 65 را در این رابطه جایگذاری کنیم و جملات تا رتبه  $\theta$  را نگاه داریم به رابطه زیر می‌رسیم:

$$[J_i, T_{jk}] = i\epsilon_{ijl}T_{lk} + i\epsilon_{ikl}T_{jl}. \quad (68)$$

که از این به بعد آن را به عنوان رابطه تعریف کننده تانسورهای رتبه ۲ بکار می‌بریم. این تعریف به همین صورت تعمیم می‌یابد، به عنوان مثال تانسورهای رتبه ۳ با رابطه زیر تعریف می‌شوند:

$$[J_i, T_{jkl}] = i\epsilon_{ijm}T_{mkl} + i\epsilon_{ikm}T_{jml} + \epsilon_{ilm}T_{jkm}. \quad (69)$$

### ۴.۶ تانسورهای کروی

فرض کنید که  $A$  یک عملگر برداری باشد. در این صورت قرار می‌دهیم:

$$\begin{aligned} A_{1,1} &:= -\frac{1}{\sqrt{2}}(A_x + iA_y) \\ A_{1,0} &:= A_z \\ A_{1,-1} &:= \frac{1}{\sqrt{2}}(A_x - iA_y). \end{aligned} \quad (70)$$

خواننده می تواند براحتی تحقیق کند که جابجایی این عملگرها با مولفه های تکانه زاویه ای درست مثل حالت های نمایش اسپین ۱ است. یعنی اینکه

$$\begin{aligned} [J_z, A_{1,1}] &= A_{1,1}, & [J_z, A_{1,0}] &= 0, & [J_z, A_{1,-1}] &= -A_{1,-1} \\ [J_+, A_{1,1}] &= 0, & [J_+, A_{1,0}] &= \sqrt{2}A_{1,1}, & [J_+, A_{1,-1}] &= \sqrt{2}A_{1,0}, \\ [J_-, A_{1,1}] &= \sqrt{2}A_{1,0}, & [J_-, A_{1,0}] &= \sqrt{2}A_{1,-1}, & [J_-, A_{1,-1}] &= 0. \end{aligned} \quad (71)$$

اصطلاحاً می گوئیم که این عملگرها تحت جابجاگر با تکانه زاویه ای مثل حالت های اسپین ۱ تبدیل می شوند. می گوئیم عملگرهای  $A_{1,1}$ ,  $A_{1,0}$ ,  $A_{1,-1}$  مولفه های یک تانسور کروی رتبه ۱ را تشکیل می دهند. به طور کلی یک تانسور کروی رتبه  $j$ ، را به شکل زیر تعریف می کنیم:

تعریف: مجموعه ای از عملگرهای  $A_{j,m}$ ,  $m = -j, -j+1, \dots, j-1, j$  که تحت جابجایی با عملگرهای تکانه زاویه ای مثل حالت های نمایش اسپین  $j$  رفتار کنند، یعنی

$$\begin{aligned} [J_z, A_{j,m}] &= mA_{j,m}, \\ [J_+, A_{j,m}] &= \sqrt{j(j+1) - m(m+1)}A_{j,m+1}, \\ [J_-, A_{j,m}] &= \sqrt{j(j+1) - m(m-1)}A_{j,m-1}. \end{aligned} \quad (72)$$

مولفه های یک تانسور کروی رتبه  $j$  نامیده می شوند. دقت کنید که با این تعریف یک عملگر اسکالر یک تانسور کروی رتبه 0 است.

حال می پرسیم که فایده تانسورهای کروی و این تعریف ها چیست؟ فایده مهم آنها این است که می توانیم بدون در نظر گرفتن نوع تانسور و اینکه از چه چیزی ساخته شده است، تنها با دانستن روابط جابجایی اش با مولفه های تکانه زاویه ای اطلاعات مهمی درباره عناصر ماتریسی آن روی  $Y_{l,m}$  ها بدست بیاوریم، و این فایده بزرگی است زیرا اولاً محاسبه این عناصر ماتریسی به طور مستقیم کار بسیار سختی است، ثانیاً چنین روابط ماتریسی ای مرتباً در مطالعات مربوط به ساختمان اتمی به خصوص در مطالعات مربوط به گذارهای بین لایه های مختلف اتمی پیش می آید. به عنوان ساده ترین مثال یک عملگر اسکالر مثل  $S$  در نظر بگیرید. این عملگر ممکن است  $X \cdot P$  یا  $P \cdot P$  یا چیزی نظیر آن باشد. دیدیم که برای یک عملگر اسکالر  $S$ ، قواعد انتخاب ساده ای برقرار است. می خواهیم ببینیم که آیا برای تانسورهای کروی نیز قواعد انتخاب ساده ای برقرار هستند یا نه؟ برای پاسخ به این سوال مجموعه حالت های  $A_{j,m}|j', m'\rangle$  را که در آن  $A_{j,m}$  ها یک تانسور کروی هستند در نظر می گیریم. بیایید اثر عملگرهای  $J_z$ ، و  $J_{\pm}$  را روی این حالت ها حساب کنیم. با استفاده از تعریف حالت های  $|j, m\rangle$  و هم چنین تانسور کروی ?? می توان براحتی دریافت که:

$$J_z(A_{j,m}|j', m'\rangle) = (m + m')A_{j,m}|j', m'\rangle, \quad (73)$$

$$\begin{aligned} J_+(A_{j,m}|j', m'\rangle) &= \sqrt{j(j+1) - m(m+1)}A_{j,m+1}|j', m'\rangle + \sqrt{j'(j'+1) - m'(m'+1)}A_{j,m}|j', m'+1\rangle \\ J_-(A_{j,m}|j', m'\rangle) &= \sqrt{j(j+1) - m(m-1)}A_{j,m-1}|j', m'\rangle + \sqrt{j'(j'+1) - m'(m'-1)}A_{j,m}|j', m'-1\rangle \end{aligned} \quad (74)$$

به عبارت دیگر حالت های  $A_{j,m}|j', m'\rangle$  تاجاییکه که به رفتار آنها تحت اثر مولدهای تکانه زاویه ای مربوط است مثل حالت های ضرب تانسوری دو نمایش  $j$  و  $j'$  رفتار می کنند. اما می دانیم که چنین حالت هایی را می توان به گروه هایی تقسیم کرد که تحت نمایش های کاهش ناپذیر  $j + j'$  تا  $|j - j'|$  تبدیل شوند. بنابراین می توان نوشت:

$$A_{j,m}|j', m'\rangle = \sum_{J=|j-j'|}^{j+j'} C(J; j, m; j', m')|J, m + m'; j, j'\rangle. \quad (75)$$

که در آن همان ضرایب کلبش - گوردونی هستند که در تجزیه زیر به کار می روند:

$$|j, m\rangle|j', m'\rangle = \sum_{J=|j-j'|}^{j+j'} C(J; j, m; j', m')|J, m + m'; j, j'\rangle. \quad (76)$$

به عبارت بهتر

$$C(J; j, m; j', m') = \langle J, m + m' | j, m; j, j' \rangle. \quad (77)$$

از رابطه 75 بلافاصله یک نتیجه مهم بدست می آید و آن اینکه:

$$\langle j'', m'' | V_{j,m} | j', m' \rangle = \begin{cases} 0 & \text{if } m'' \neq m + m', \\ 0 & \text{if } j'' > j + j' \text{ or } j'' < |j - j'| \end{cases} \quad (78)$$

این یک قاعده انتخاب مهم است که بیان می کند این عنصر ماتریسی در چه مواقعی می تواند غیر صفر باشد. به عنوان مثالهایی از این قاعده انتخاب، خواننده می تواند خود را قانع کند که روابط زیر درست هستند:

$$\begin{aligned} \int \psi_{n,l,m}^*(r, \theta, \phi) x \psi_{n',l',m'}^*(r, \theta, \phi) r^2 d\Omega &= 0 \quad \text{if } l \neq l', l' \pm 1, m \neq m' \pm 1 \\ \int \psi_{n,l,m}^*(r, \theta, \phi) \frac{\partial}{\partial x} \psi_{n',l',m'}^*(r, \theta, \phi) r^2 d\Omega &= 0 \quad \text{if } l \neq l', l' \pm 1, m \neq m' \pm 1 \\ \int \psi_{n,l,m}^*(r, \theta, \phi) xy \psi_{n',l',m'}^*(r, \theta, \phi) r^2 d\Omega &= 0 \quad \text{if } l \neq l', l' \pm 1, l' \pm 2, m \neq m' \pm 2. \end{aligned} \quad (79)$$

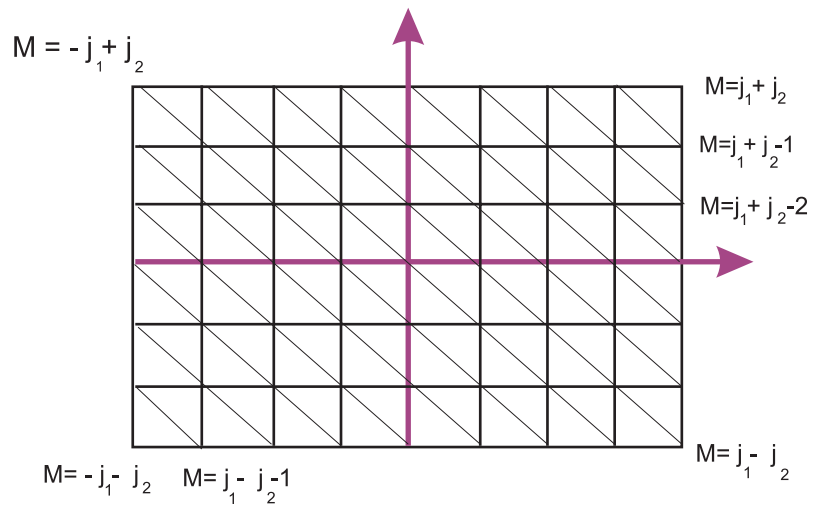
## ۷ ضمیمه شماره ۱

در این ضمیمه می خواهیم قضیه اصلی مربوط به تجزیه نمایش ها (یا جمع تکانه‌ی زاویه‌ای) را ثابت کنیم. نقطه شروع و در واقع مهمترین قسمت این استدلال شمارش واگنی حالت های  $|j_1, m_1; j_2, m_2\rangle$  ای است که  $M = m_1 + m_2$  آنها معین است. می دانیم که بیشترین مقدار ممکن از  $M$  برابر است با  $j_1 + j_2$  که مربوط به حالت  $|j_1, j_1; j_2, j_2\rangle$  است. این حالت توسط یک نقطه در سمت راست بالای شکل ۱ مشخص شده است. واگنی این حالت برابر است با ۱. مقدار بعدی از  $M$  برابر است با  $M = j_1 + j_2 - 1$  که همان طور که در شکل ۱ نشان داده شده است دارای واگنی ۲ است. درجه واگنی همین طور با کاهش  $M$  یکی یکی زیاد می شود و مقدار ماکزیمم خود را برای  $M = j_1 - j_2$  اختیار می کند (بدون نقض کلیت فرض کرده ایم که  $j_2 \leq j_1$ ). بعد از آن درجه واگنی ثابت می ماند تا وقتی که  $M$  به مقدار  $M = -(j_1 - j_2)$  می رسد و بعد از آن دوباره یکی یکی کاهش می یابد تا به مقدار  $M = -j_1 - j_2$  می رسد. حال مقدار  $M = j_1 + j_2$  را در نظر بگیرید که متعلق به حالت  $|j_1, j_1; j_2, j_2\rangle$  است. با افزودن متوالی عملگر  $J_-$  روی این حالت یک نمایش کاهش ناپذیر با اسپین  $j = j_1 + j_2$  ساخته می شود. این نمایش تنها دارای یک حالت با  $M = j_1 + j_2 - 1$  است و حال آنکه مطابق با شکل دو حالت با این ویژه مقدار وجود دارد. پس معنایش این است که حالت دیگر چیزی نیست جز بالاترین حالت نمایش  $j_1 + j_2 - 1$ . احال ویژه مقدار  $M = j_1 + j_2 - 2$  را در نظر می گیریم. مطابق با جدول می دانیم که واگنی این مقدار برابر است با ۳ و حال آنکه نمایش های قبلی هر کدام یک ویژه حالت با این ویژه مقدار دارند. پس بنابراین حالت دیگر می بایست بالاترین ویژه مقدار نمایش با اسپین  $j_1 + j_2 - 2$  باشد. این استدلال تا وقتی که به  $M = j_1 - j_2$  می رسیم ادامه پیدا می کند که منجر می شود به این که تمام نمایش های با اسپین های  $J = j_1 + j_2 - 1$ ،  $J = j_1 + j_2 - 2$ ،  $J = j_1 + j_2 - 3$  تا  $J = j_1 - j_2$  می بایست الزاماً وجود داشته باشند. اما به این نقطه که می رسیم متوجه می شویم که تمام حالت ها در این نمایش های مصرف شده اند زیرا هر نمایش با اسپین  $J$  تعداد  $2J + 1$  حالت دارد و

$$\sum_{J=j_1-j_2}^{j_1+j_2} (2J+1) = (2j_1+1)(2j_2+1), \quad (80)$$

که برابر است با تعداد کل حالت های  $|j_1, m_1; j_2, m_2\rangle$ . بنابراین دیگر حالتی باقی نمانده است و به این نتیجه می رسیم که

$$j_1 \otimes j_2 = (j_1 + j_2) \oplus (j_1 + j_2 - 1) \oplus (j_1 + j_2 - 2) \oplus \dots \oplus (j_1 - j_2). \quad (81)$$



شکل ۱: هر نقطه‌ای این جدول یک حالت  $|j_1, m_1; j_2, m_2\rangle$  با  $m_1$  و  $m_2$  معین را نشان می‌دهد. نقاط روی حالت‌های اوربیت مقدار  $M = m_1 + m_2$  معینی دارند. تعداد نقاط روی یک خط اریب درجه واگنی آن مقدار از  $M$  را نشان می‌دهد.

## درس پانزدهم : روش اختلال مستقل از زمان

### ۱ مقدمه

تاکنون مسائلی را بررسی کرده ایم که به طور دقیق قابل حل بودند، مثل جاه های پتانسیل، نوسانگر هارمونیک، واتم هیدروژن. اگر چه این مسائل اهمیت فوق العاده ای دارند و حل بسیاری از مسائل مهم دیگر بر آنها مبتنی است ولی از نظر فیزیکی مسائلی هستند ایده آل و غیر واقعی. مسایل واقعی فیزیک تقریباً هیچگاه به طور دقیق حل پذیر نیستند. به عنوان مثال هرگاه بخواهیم واتم هیدروژن را که پتانسیل آن به نظر ساده می آید با دقت مطالعه کنیم متوجه اثرات بسیار کوچکی خواهیم شد که برای توصیف دقیق طیف می بایست آن ها را در نظر گرفت. به عنوان مثال می دانیم که سرعت الکترون در واتم هیدروژن زیاد است و بنابراین می بایست اثرات نسبیتی را در نظر گرفت. هم چنین میدان مغناطیسی ناشی از گردش الکترون روی گشتاور مغناطیسی آن اثر می گذارد آن اثر می گذارد. همه اینها باعث می شود که ترازهای واتم هیدروژن به میزان بسیار کمی نسبت به واتم هیدروژن ایده آل جابجا شوند. مهم تراز این مسئله وقتی است که به سیستم های بس ذره ای می پردازیم. واتم های چند الکترونی، مولکول ها و جامدات، همه سیستم هایی هستند بس ذره ای که هامیلتونی آنها هیچگاه به طور دقیق قابل حل نیست. بنابراین برای مطالعه این سیستم ها و تقریباً هر سیستم واقعی فیزیکی دیگری می بایست یک روش تقریبی به کار ببریم. نظریه اختلال مهمترین روش تقریبی است که در مکانیک کوانتومی تدوین شده است. اهمیت آن هم این است که به حوزه های متعدد نظیر مکانیک کوانتومی نسبیتی، مکانیک کوانتومی میدان ها و سیستم های بس ذره ای در ماده چگال قابل تعمیم است. بنابراین یادگیری اصول آن اهمیت اساسی دارد.

در این فصل به معرفی روش های تقریبی برای یافتن طیف انرژی یک هامیلتونی می پردازیم. نخست به روش اختلال مستقل از زمان می پردازیم که دلیل نامگذاری اش آن است که با یک مسئله ایستا که همان یافتن طیف انرژی است سرو کار دارد. در فصل های آینده با روش اختلال وابسته به زمان نیز که برای بررسی اختلالی دینامیک یک سیستم به کار می رود خواهیم پرداخت.



## ۲ تقریب اختلالی برای حالت های غیرواگن

فرض کنید که طیف هامیلتونی  $H_0$  را به طور دقیق می شناسیم.  $H_0$  هامیلتونی ایده آل یک سیستم است که به نحوی توانسته ایم طیف آن را حساب کنیم. حال می خواهیم طیف هامیلتونی

$$H = H_0 + \lambda V, \quad (1)$$

را که در آن  $\lambda$  یک پارامتر کوچک است به تقریب تعیین کنیم. روش اختلال روشی است که به مابین امکان را می دهد که ویژه مقادیر و ویژه بردارهای  $H$  را به صورت یک سری توانی از پارامتر  $\lambda$  پیدا کنیم. البته معمولاً پیدا کردن جملات اول و دوم این سری به آسانی امکان پذیر است اما هرچه که پیش می رویم محاسباتی که می بایست انجام دهیم دشوارتر و طولانی تر می شود، خوشبختانه همان جملات اولیه برای بسیاری از مقاصد عملی کفایت می کنند. از آنجا که طیف  $H_0$  را می شناسیم می نویسیم

$$H_0 |n^0\rangle = E_n^0 |n^0\rangle \quad (2)$$

که در آن شاخص 0 را برای آن بکار برده ایم که این ویژه مقادیر و ویژه بردارها را از تصحیحاتی که بعداً پیدامی کنیم متمایز کنیم. حال می خواهیم ویژه بردارها و ویژه مقادیرهای  $H$  را پیدا کنیم. می نویسیم

$$H |n\rangle = E_n |n\rangle \quad (3)$$

نخست فرض می کنیم که حالت  $|n^0\rangle$  یک حالت غیرواگن است، شکل ۱ در این صورت می دانیم که اگر پارامتر  $\lambda$  به سمت صفر میل کند، انرژی  $E_n$  به انرژی  $E_n^0$  میل می کند و حالت  $|n\rangle$  نیز به  $|n^0\rangle$  میل می کند. بنابراین قرار می دهیم:

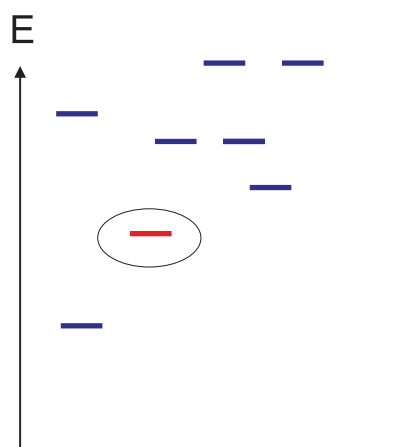
$$\begin{aligned} E_n &= E_n^0 + \lambda E_n^1 + \lambda^2 E_n^2 + \dots \\ |n\rangle &= |n^0\rangle + \lambda |n^1\rangle + \lambda^2 |n^2\rangle + \dots \end{aligned} \quad (4)$$

با این کار ویژه مقدار  $E_n$  و ویژه بردار مربوط به آن را به صورت یک بسط از پارامتر اختلال یعنی  $\lambda$  نوشته ایم. در این بسط ها می بایست ضرایب  $\lambda$  را پیدا کنیم. با قراردادن 3 در 4 به عبارت زیر می رسیم:

$$(H_0 + \lambda V) (|n^0\rangle + \lambda |n^1\rangle + \lambda^2 |n^2\rangle + \dots) = (E_n^0 + \lambda E_n^1 + \lambda^2 E_n^2 + \dots) (|n^0\rangle + \lambda |n^1\rangle + \lambda^2 |n^2\rangle + \dots) \quad (5)$$

اگر این بسط بخواهد برای هر مقدار  $\lambda$  صحیح باشد می بایست جملات هم رتبه از  $\lambda$  را مساوی قرار دهیم. بنابراین می رسیم به روابط زیر:

$$H_0 |n^0\rangle = E_n^0 |n^0\rangle$$



شکل ۱: حالت ای که بایضی محصور شده است، یک حالت غیر واگن است. برای این حالت روش اختلال را می توان به کار برد. واگن بودن یا نبودن دیگر انرژی ها اهمیت ندارد.

$$\begin{aligned}
 V|n^0\rangle + H_0|n^1\rangle &= E_n^1|n^0\rangle + E_n^0|n^1\rangle \\
 V|n^1\rangle + H_0|n^2\rangle &= E_n^2|n^0\rangle + E_n^1|n^1\rangle + E_n^0|n^2\rangle \\
 V|n^2\rangle + H_0|n^3\rangle &= E_n^3|n^0\rangle + E_n^2|n^1\rangle + E_n^1|n^2\rangle + E_n^0|n^3\rangle \\
 \dots &\quad \dots
 \end{aligned}
 \tag{6}$$

رابطه اول همان رابطه 2 مربوط به طیف  $H_0$  است.

## ۱.۲ رتبه اول اختلال

حال طرفین رابطه دوم را می توانیم از چپ در بردار  $|n^0\rangle$  ضرب کنیم و پس از ساده کردن بدست بیاوریم

$$E_n^1 = \langle n^0|V|n^0\rangle. \tag{7}$$

بنابراین تصحیح مرتبه اول انرژی براحتی معلوم می شود. تارتبه اول داریم

$$E_n^1 = E_n^0 + \lambda \langle n^0|V|n^0\rangle + \dots \tag{8}$$

برای بدست آوردن تصحیح مرتبه اول ویژه بردار رابطه دوم از 6 را در  $\langle m^0|$  ضرب می کنیم که در آن  $\langle m^0|$  حالتی است با انرژی  $E_m^0 \neq E_n^0$ . از آنجا که فرض کرده ایم طیف هامیلتونی  $H_0$  غیر واگن است می دانیم که  $\langle m^0|n^0\rangle = 0$ . بعد از ساده کردن طرفین بدست می آوریم

$$\langle m^0|n^1\rangle = \frac{\langle m^0|V|n^0\rangle}{E_n^0 - E_m^0}, \quad n \neq m. \tag{9}$$

می دانیم که ویژه بردارهای  $H_0$  یعنی  $|n^0\rangle$  ها تشکیل یک پایه می دهند. این رابطه تصویر بردار  $|n^1\rangle$  روی تمام بردارهای پایه بجز  $|n^0\rangle$  را تعیین می کند. به عبارت دیگر تصویر  $|n^1\rangle$  روی  $|n^0\rangle$  هرچیزی می تواند باشد وهم چنان معادلات 6 برقرار باشند. برای آنکه بردار  $|n\rangle$  تا رتبه اول اختلال بهنجار باشد تصویر  $|n^1\rangle$  روی  $|n^0\rangle$  را برابر با صفر می گیریم. برای فهم این نکته بردار  $|n\rangle$  را تا رتبه اول به صورت زیر می نویسیم:

$$|n\rangle = |n^0\rangle + \lambda|n^1\rangle + O(\lambda^2) \quad (10)$$

که از آن نتیجه می گیریم

$$\langle n|n\rangle = 1 + \lambda(\langle n^0|n^1\rangle + \langle n^1|n^0\rangle) + O(\lambda^2). \quad (11)$$

بنابراین هرگاه قرار دهیم  $\langle n^0|n^1\rangle = 0$ ، بردار  $|n\rangle$  تا رتبه اول بهنجار خواهد بود. بنابراین بردار  $|n^1\rangle$  به طور کامل برابر است با

$$|n^1\rangle = \sum_{m \neq n} |m^0\rangle \langle m^0|n^1\rangle = \sum_{m \neq n} \frac{\langle m^0|V|n^0\rangle}{E_n^0 - E_m^0} |m^0\rangle, \quad (12)$$

و در نتیجه تا رتبه اول اختلال

$$|n\rangle = |n^0\rangle + \sum_{m \neq n} \frac{\langle m^0|\lambda V|n^0\rangle}{E_n^0 - E_m^0} |m^0\rangle, \quad (13)$$

## ۲.۲ رتبه دوم اختلال

برای بدست آوردن تصحیح انرژی تا رتبه دوم اختلال رابطه سوم 6 را از چپ در  $\langle n^0|$  ضرب می کنیم و از شرط  $\langle n^0|n^1\rangle = 0$  که قبلاً بدست آوردیم استفاده می کنیم. پس از ساده کردن بدست می آوریم

$$E_n^2 = \langle n^0|V|n^1\rangle, \quad (14)$$

و با استفاده از 12

$$E_n^2 = \sum_{m \neq n} \frac{\langle n^0|V|m^0\rangle \langle m^0|V|n^0\rangle}{E_n^0 - E_m^0} = \sum_{m \neq n} \frac{|\langle n^0|V|m^0\rangle|^2}{E_n^0 - E_m^0}. \quad (15)$$

از این عبارت می توان دو نکته آموخت. نخست آنکه تصحیح مرتبه دوم انرژی برای هر نوع اختلالی برای حالت پایه همواره منفی است زیرا در این حالت تمام جملات  $E_n^0 - E_m^0$  منفی هستند. دوم آنکه در تصحیح انرژی رتبه دوم حالت هایی مهم هستند که یا انرژی آنها نزدیک انرژی حالت اولیه است و یا

عنصر ماتریسی  $\langle n^0 | V | m^0 \rangle$  برای آنها فوق العاده بزرگ است. درغیاب هر نوع اطلاع خاص در مورد مرتبه عناصر ماتریسی  $\langle n^0 | V | m^0 \rangle$  می توان فرض کرد که اندازه همه آنها از یک مرتبه است و در این صورت می توان با در نظر گرفتن تنها حالت هایی که انرژی آنها نزدیک حالت اولیه است تقریب خوبی از  $E_n^2$  بدست آورد.

### ۳.۲ مثال: نوسانگر غیرهارمونیک

در این بخش نوسانگر غیرهارمونیک را با هامیلتونی

$$H = \frac{P^2}{2m} + \frac{1}{2}m\omega^2 X^2 + \lambda X^4 = H_0 + \lambda X^4 \quad (16)$$

می دانیم که  $H_0 |n^0\rangle = \hbar\omega(n + \frac{1}{2})|n^0\rangle$ . تصحیح انرژی تا اولین رتبه اختلال برابراست با

$$E_n^1 = \langle n^0 | X^4 | n^0 \rangle. \quad (17)$$

برای محاسبه این عنصر ماتریسی از بسط عملگر  $X$  بر حسب عملگرهای پایین بر و بالا بر استفاده می کنیم. می دانیم که

$$X = \sqrt{\frac{\hbar}{2m\omega}}(a + a^\dagger). \quad (18)$$

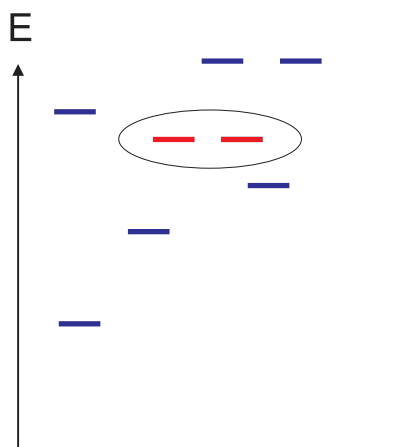
بنابراین

$$\begin{aligned} E_n^1 &= \left(\frac{\hbar}{m\omega}\right)^2 \langle n | (a + a^\dagger)^4 | n \rangle \\ &= \left(\frac{\hbar}{m\omega}\right)^2 \langle n | a^2 a^{\dagger 2} + a^{\dagger 2} a^2 + aa^\dagger aa^\dagger + a^\dagger aa^\dagger a + aa^\dagger a^\dagger a + a^\dagger aaa^\dagger | n \rangle \\ &= \left(\frac{\hbar}{m\omega}\right)^2 (6n^2 + 6n + 3). \end{aligned} \quad (19)$$

بنابراین تا رتبه اول اختلال، انرژی حالت  $n$  ام به صورت زیر خواهد بود:

$$E_n = \hbar\omega\left(n + \frac{1}{2}\right) + \lambda\left(\frac{\hbar}{m\omega}\right)^2 (6n^2 + 6n + 3) + O(\lambda^2). \quad (20)$$

برای پیدا کردن تصحیح انرژی تا رتبه دوم اختلال می توانیم از رابطه 15 استفاده کنیم. جزییات این محاسبه را به عهده خواننده می گزاریم.



شکل ۲: حالت هایی که بایضی محصور شده اند یک ویژه فضای واگن تشکیل می دهند. برای این حالت ها روش اختلال را می توان به کار برد. واگن بودن یا نبودن دیگر حالت ها تاثیری در محاسبه اختلال برای این حالت ها ندارد.

### ۳ تقریب اختلالی برای حالت های واگن

تا کنون روش اختلال را برای یک حالت غیر واگن بکار برده ایم. به همین دلیل وجود جملات  $E_n^0 - E_m^0$  درمخرج عباراتی مثل (12) و (15) نگران کننده نیست. حال فرض می کنیم که قسمتی از طیف هامیلتونی واگن است. حال روش اختلال را برای یک حالت واگن به کار می بریم. فرض کنید که انرژی این حالت برابر با  $E_n^0$  و درجه واگنی آن برابر با  $g$  باشد، شکل ۲ در این صورت داریم

$$H^0|n^0, r\rangle = E_n^0|n^0, r\rangle, \quad r = 1, \dots, g. \quad (21)$$

پارامتر  $r$  پارامتری است که حالت های واگن را از هم تمیز می دهد. مثل قبل وقتی که پتانسیل اختلالی وجود دارد می نویسیم

$$H|n, r\rangle = E_{n,r}|n, r\rangle, \quad r = 1, \dots, g. \quad (22)$$

که در آن  $E_{n,r}$  دیگر الزاماً مستقل از  $r$  نیست. در حالت کلی واگنی یا بخشی از آن ممکن است از بین برود ولی این موضوع، یعنی اینکه آیا اختلال واگنی را از بین می برد یا خیر، اهمیتی ندارد. وقتی که واگنی نداشتیم، مطمئن بودیم که در حد  $\lambda \rightarrow 0$ ، حالت جدید به همان حالت قبلی میل می کرد، بنابراین می توانستیم از رابطه ی 4 شروع کنیم. ولی آیا درحالتی که واگنی داریم آیا باز هم مطمئن هستیم که در حد  $\lambda \rightarrow 0$  یک حالت  $|n, r\rangle$  به حالت  $|n^0, r\rangle$  میل می کند؟ این سوال از آنجا اهمیت دارد که در حضور واگنی حالت های  $|n^0, r\rangle$  به همان اندازه ویژه بردارهای انرژی با ویژه مقدار  $E_n^0$  هستند که هر ترکیب دلخواه دیگری از آنها و هیچ پایه ای برای این زیرفضا (زیرفضای با انرژی  $E_n^0$  بر پایه دیگر ترجیح ندارد). بنابراین از قبل معلوم نیست که وقتی  $\lambda \rightarrow 0$ ، ویژه حالت های جدید به سمت کدام حالت های زیرفضای واگن میل می کنند. برای روشن تر شدن مطلب

یک مثال ساده می آوریم. مثال: هامیلتونی خیلی ساده زیر را در یک فضای دوبعدی در نظر بگیرید.

$$H_0 = \begin{pmatrix} 1 & 0 \\ 0 & 1 \end{pmatrix}. \quad (23)$$

این هامیلتونی دارای دو ویژه حالت برای انرژی واگن  $E = 1$  است. این دو حالت را به طرق مختلف می توان اختیار کرد، مثل

$$|1\rangle = \begin{pmatrix} 1 \\ 0 \end{pmatrix}, \quad |2\rangle = \begin{pmatrix} 0 \\ 1 \end{pmatrix}, \quad (24)$$

یا

$$|1'\rangle = \frac{1}{\sqrt{2}} \begin{pmatrix} 1 \\ 1 \end{pmatrix}, \quad |2'\rangle = \frac{1}{\sqrt{2}} \begin{pmatrix} 1 \\ -1 \end{pmatrix}, \quad (25)$$

و یا هر دو حالت مستقل دیگری. حال فرض کنید که جمله اختلالی را به صورت زیر اضافه کنیم:

$$H_1 = H_0 + \lambda V_1 = \begin{pmatrix} 1 & 0 \\ 0 & 1 \end{pmatrix} + \lambda \begin{pmatrix} 1 & 0 \\ 0 & -1 \end{pmatrix} = \begin{pmatrix} 1+\lambda & 0 \\ 0 & 1-\lambda \end{pmatrix}. \quad (26)$$

در این صورت می توان طیف این هامیلتونی را به دقت تعیین کرد. واضح است که ویژه حالت ها عبارتند از:

$$\begin{aligned} |e_1\rangle &= |1\rangle, & E_1 &= 1 + \lambda, \\ |e_2\rangle &= |2\rangle, & E_2 &= 1 - \lambda. \end{aligned} \quad (27)$$

بنابراین در حد  $\lambda \rightarrow 0$  حالت های جدید به حالت های  $|1\rangle$  و  $|2\rangle$  تبدیل می شوند. اما حالا فرض کنید که اختلال به شکل زیر باشد:

$$H_2 = H_0 + \lambda V_2 = \begin{pmatrix} 1 & 0 \\ 0 & 1 \end{pmatrix} + \lambda \begin{pmatrix} 0 & 1 \\ 1 & 0 \end{pmatrix} = \begin{pmatrix} 1 & \lambda \\ \lambda & 1 \end{pmatrix}. \quad (28)$$

در این صورت باز هم ویژه حالت ها را می توان دقیقاً تعیین کرد:

$$\begin{aligned} |e'_1\rangle &= \frac{1}{\sqrt{2}} \begin{pmatrix} 1 \\ 1 \end{pmatrix}, & E_1 &= 1 + \lambda, \\ |e'_2\rangle &= \frac{1}{\sqrt{2}} \begin{pmatrix} 1 \\ -1 \end{pmatrix}, & E_2 &= 1 - \lambda. \end{aligned} \quad (29)$$

بنابراین در حد  $\lambda \rightarrow 0$  حالت های جدید به حالت های  $|1\rangle$  و  $|2\rangle$  تبدیل می شوند. درسی که از این مثال می گیریم آن است که وقتی بسط اختلالی را برای حالت های واگن می نویسیم، این بسط در حد  $\lambda \rightarrow 0$  به سمت ترکیب خطی معینی از حالت های واگن میل می کند که این ترکیب خطی دلخواه نیست. این ترکیب در واقع چنان است که پتانسیل اختلال در آن قطری است. حال با الهام از این مثال می توانیم مسئله اختلال برای حالت های واگن را به صورت کلی بررسی کنیم. فرض کنید که لایه واگن دارای درجه واگنی  $g$  باشد، یعنی

$$H_0|n^0, r\rangle = E_n^0|n^0, r\rangle, \quad r = 1, \dots, g. \quad (30)$$

حالت های  $|n^0, r\rangle$  ویژه حالت های واگن هامیلتونی  $H_0$  هستند. حال بسط اختلالی زیر را برای انرژی ها و حالت های جدید می نویسیم:

$$E_{n,r} = E_n^0 + \lambda E_{n,r}^1 + \lambda^2 E_{n,r}^2 + \lambda^3 E_{n,r}^3 + \dots \quad (31)$$

$$|n, r\rangle = |\hat{n}, r\rangle + \lambda|n^1, r\rangle + \lambda^2|n^2, r\rangle + \dots, \quad (32)$$

که در آن  $|\hat{n}^0, r\rangle$  ترکیبی بهنجار از حالت های واگن اولیه یعنی حالت های  $|n^0, r\rangle$  هستند که می بایست آنها را پیدا کنیم. دقت کنید که این حالت ها همچنان ویژه حالت  $H_0$  با ویژه مقدار  $E_n^0$  هستند، یعنی

$$H_0|\hat{n}^0, r\rangle = E_n^0|\hat{n}^0, r\rangle, \quad \langle \hat{n}^0, s | \hat{n}^0, r \rangle = \delta_{r,s}. \quad (33)$$

باجایگذاری این دو رابطه در معادله شرودینگر یعنی معادله

$$(H_0 + \lambda V)|n, r\rangle = E_{n,r}|n, r\rangle \quad (34)$$

به رابطه زیر می رسیم:

$$(H_0 + \lambda V)(|\hat{n}^0, r\rangle + \lambda|n^1, r\rangle + \lambda^2|n^2, r\rangle + \dots) = (E_n^0 + \lambda E_{n,r}^1 + \lambda^2 E_{n,r}^2 + \lambda^3 E_{n,r}^3 + \dots)(|\hat{n}^0, r\rangle + \lambda|n^1, r\rangle + \lambda^2|n^2, r\rangle + \dots)$$

حال توان های مختلف  $\lambda$  را در دو طرف مقایسه می کنیم و به معادلات زیر می رسیم:

$$H_0|\hat{n}^0, r\rangle = E_n^0|\hat{n}^0, r\rangle$$

$$V|\hat{n}^0, r\rangle + H_0|n^1, r\rangle = E_{n,r}^1|\hat{n}^0, r\rangle + E_n^0|n^1, r\rangle$$

$$V|n^1, r\rangle + H_0|n^2, r\rangle = E_{n,r}^2|\hat{n}^0, r\rangle + E_n^1|n^1, r\rangle + E_n^0|n^2, r\rangle \dots \quad (35)$$

معادله اول همان معادله دقیقِ مربوط به ویژه حالت های  $H_0$  است. اطلاعات بیشتر را می توان از معادلات دوم به بعد بدست آورد. برای این کار ابتدا معادله دوم را از چپ در  $\langle \hat{n}^0, s|$  ضرب می کنیم و از رابطه های 33 استفاده می کنیم. پس از ساده کردن بدست می آوریم:

$$\langle \hat{n}^0, s|V|\hat{n}^0, r\rangle = E_{n,r}^1\delta_{r,s}. \quad (36)$$

این رابطه به این معناست که پتانسیل اختلال در پایه  $|\hat{n}^0, r\rangle$  ها قطری است یعنی این حالت ها چیزی نیستند جز ویژه حالت های پتانسیل اختلال و تصحیح های رتبه یک هر کدام از این حالت ها نیز چیزی نیست جز ویژه مقدار مربوطه که روی قطر قرار گرفته است. این رابطه تعمیم مستقیم رابطه ی 7 است، درست مثل این است که آن رابطه حالت خاص این رابطه است برای وقتی که درجه واگنی برابر با یک باشد. برای پیدا کردن تصحیح مرتبه یک بردارها طرفین رابطه دوم را در یک حالت دیگر که مربوط به این ویژه فضای واگن نیست مثل  $\langle m^0|$  ضرب می کنیم. طبیعی است که  $E_m^0 \neq E_n^0$ . دقت کنید که در اینجا دیگر مهم نیست که آیا حالت های دیگر واگن هستند یا نه. از این ضرب کردن و سپس ساده کردن بدست می آوریم:

$$\langle m^0|n^1, r\rangle = \frac{\langle m^0|V|\hat{n}^0, r\rangle}{(E_n^0 - E_m^0)}. \quad (37)$$

این رابطه تصویر  $|n^1, r\rangle$  را روی تمام حالت های دیگر یعنی روی حالت های  $|m^0, r\rangle$  بدست می دهد و درباره ی تصویر این حالت روی بردارهای پایه ویژه فضای واگن یعنی  $|\hat{n}^0, r\rangle$  چیزی نمی گوید. برای آنکه حالت های جدید همچنان در رتبه یک متعامد و بهنجار باقی بمانند، می بایست مقدار این مولفه ها را مثل قبل برابر با صفر قرار دهیم. استدلالی که در اینجا لازم است تعمیم سراسر استدلالی است که برای یک حالت غیر واگن به کار بردیم، به این معنا که فرض کنید

$$|n, r\rangle = |\hat{n}^0, r\rangle + \lambda|n^1, r\rangle + O(\lambda^2), \quad (38)$$

در این صورت داریم

$$\langle n, s|n, r\rangle = \delta_{r,s} + \lambda(\langle \hat{n}^0, s|n^1, r\rangle + \langle \hat{n}^0, r|n^1, s\rangle) + O(\lambda^2) \quad (39)$$

برای آنکه حالت های جدید تا رتبه اول اختلال همچنان متعامد بهنجار باشند لازم است که  $\langle \hat{n}^0, r|n^1, s\rangle = 0$ . بنابراین بدست می آوریم:

$$|n^1, r\rangle = \sum_{m \neq n} \frac{\langle m^0|V|\hat{n}^0, r\rangle}{E_n^0 - E_m^0}|m^0\rangle. \quad (40)$$

یعنی تا رتبه اول حالت ها برابرند با:

$$|n, r\rangle = |\hat{n}^0, r\rangle + \lambda \sum_{m \neq n} \frac{\langle m^0|V|\hat{n}^0, r\rangle}{E_n^0 - E_m^0}|m^0\rangle + \dots \quad (41)$$



برای آنکه مقدار تصحیح انرژی را تا رتبه ۲ بدست آوریم، رابطه سوم از 35 را از چپ در  $\langle \hat{n}^0, r |$  ضرب می کنیم و بدست می آوریم:

$$E_{n,r}^2 = \langle \hat{n}^0, r | V | n^1, r \rangle, \quad (42)$$

و یا پس از جایگذاری<sup>41</sup>،

$$E_{n,r}^2 = \sum_{m \neq n} \frac{|\langle \hat{n}^0, r | V | m^0 \rangle|^2}{E_n^0 - E_m^0}. \quad (43)$$

درسی که از این تجزیه تحلیل می گیریم آن است که یک بار که پتانسیل اختلال را در زیر فضای واگن قطری کردیم و ویژه حالت های آن یعنی  $|\hat{n}^0, r\rangle$  را بدست آوردیم، روش اختلال و روابط مربوط به آن کاملاً شبیه به حالت غیر واگن خواهد بود و هیچ چیزی تغییر نخواهد کرد، تنها کافی است که در روابط مربوط از حالت های  $|\hat{n}^0, r\rangle$  بجای حالت های اولیه  $|n^0, r\rangle$  استفاده کنیم.

## ۴ مثال های بیشتر از کاربرد نظریه اختلال

در این بخش مثال های بیشتری از کاربرد نظریه اختلال را مطالعه می کنیم. اهمیت این مثال ها از آن جهت است که پدیده های واقعی را در اتم ها بررسی می کنند. از آنجا که دو مثالی که در این بخش بررسی می کنیم مربوط به تغییر طیف اتم ها در حضور میدان های مغناطیسی (اثر زیمان) و الکتریکی (اثر اشتارک) است، نخست به بررسی کلی هامیلتونی یک ذره در میدان الکترومغناطیسی می پردازیم.

### ۱.۴ برهم کنش اتم و میدان الکترومغناطیسی

می دانیم که هامیلتونی یک ذره در حضور میدان الکترومغناطیسی ای که با پتانسیل های اسکالر و برداری  $(\phi, A)$  توصیف می شود عبارت است از:

$$H = \frac{1}{2m}(P - eA)^2 - e\phi(r) \quad (44)$$

پس از بسط جمله مربعی و توجه به این که در مکانیک کوانتومی عملگر تکانه با مختصات و در نتیجه با  $A$  جابجا نمی شود خواهیم داشت:

$$H = \frac{1}{2m}(P^2 + e^2 A^2 - eP \cdot A - eA \cdot P) - e\phi(r), \quad (45)$$

ویا

$$H = \frac{1}{2m}(-\hbar^2\nabla^2 + e^2A^2 + ie\hbar\nabla \cdot A + ie\hbar A \cdot \nabla) - e\phi(r). \quad (46)$$

اما می دانیم که

$$\nabla \cdot A\psi = (\nabla \cdot A)\psi + A \cdot \nabla\psi \quad (47)$$

هم چنین داریم

$$A = \frac{1}{2}B \times r. \quad (48)$$

با توجه به این رابطه می توان نشان داد که جمله مربعی برای میدان های مغناطیسی متعارف کاملاً ناچیز و قابل صرف نظر کردن است. در واقع از نظر اندازه بزرگی داریم:

$$A^2 \approx \frac{1}{4}B^2\langle r^2 \rangle \approx \frac{1}{4}B^2a_0^2, \quad (49)$$

که در آن  $a_0$  شعاع بوهر است خواننده می تواند نشان دهد که از این جمله می توان در برابر جمله خطی برای اندازه های متعارف میدان مغناطیسی صرف نظر کرد. در نتیجه

$$\begin{aligned} H &= \frac{1}{2m}(-\hbar^2\nabla^2 + 2ie\hbar A \cdot \nabla) - e\phi(r) \\ &= \frac{1}{2m}(-\hbar^2\nabla^2 + ie\hbar(B \times r) \cdot \nabla) - e\phi(r) \\ &= \frac{1}{2m}(-\hbar^2\nabla^2 + ie\hbar(B \cdot r) \times \nabla) - e\phi(r) \\ &= \frac{1}{2m}(-\hbar^2\nabla^2 - eB \cdot L) - e\phi(r), \end{aligned} \quad (50)$$

که در آن  $L$  تکانه زاویه ای مداری است. در بخش های آینده این درس به مطالعه دو پدیده می پردازیم که کاربرد روش اختلال را به خوبی نشان می دهند. این دو پدیده اثر زیمان *Zeemann Effect* و اثر اشتارک *Start Effect* نام دارند.

## ۲.۴ اثر زیمان

اثر زیمان عبارت است از شکافتگی خطوط طیفی اتم هیدروژن یا هراتم یا مولکول دیگری در میدان مغناطیسی. این شکافتگی ناشی از تغییر انرژی ای است که در اثر برهم کنش گشتاور مغناطیسی مداری الکترون با میدان مغناطیسی ایجاد می شود. الکترون در حرکت مداری خود به دور هسته مثل یک حلقه جریان عمل می کند که یک گشتاور مغناطیسی به اندازه  $\mu$  دارد. برهم کنش این حلقه با میدان مغناطیسی باعث تغییر انرژی یک الکترون نسبت به حالتی می شود که میدان مغناطیسی وجود

ندارد. می‌توانیم اندازه این تغییرانرژی را تخمین بزنیم. اگر اندازه حرکت زاویه ای الکترون برابر با  $m\hbar$  باشد، انرژی این گشتاور مغناطیسی در میدان مغناطیسی  $B$  برابر است با

$$\Delta E \sim \frac{e}{2\mu c} \hbar m B \quad (51)$$

در یک میدان مغناطیسی به اندازه  $10^4$  گاوس این تغییرانرژی برای الکترون با جرم حدود  $10^{-27}$  گرم و بارالکتریکی  $4.8 \times 10^{-10}$  esu حدوداً برابر است با

$$\begin{aligned} \Delta E &\sim \frac{4.8 \times 10^{-10}}{2 \times 10^{-27} \times 3 \times 10^{10}} \times 10^{-27} \times 10^4 \sim 10^{-16} \text{ erg} \\ &\sim 10^{-23} \text{ Joule} \sim 10^{-4} \text{ الکترون ولت} \end{aligned} \quad (52)$$

بنابراین این تغییر در مقایسه با انرژی ترازها و اختلاف آنها که از مرتبه ۱ الکترون ولت است بسیار کوچک ولی با این وجود قابل مشاهده است. این به این معناست که فرکانس و یا طول موج نورهای ساطع شده از اتم هیدروژن در میدان مغناطیسی به اندازه  $10^{-4}$  برابر مقدار اولیه خود جابجا می‌شوند و این مقداری است که در طیف نگاری های دقیق براحتی قابل تشخیص است.

برای حل دقیق ترین مسئله می‌بایست از هامیلتونی زیر شروع کنیم

$$H = H_0 - \frac{e}{2\mu} B \cdot L = H_0 - \frac{eB}{2\mu} L_z \quad (53)$$

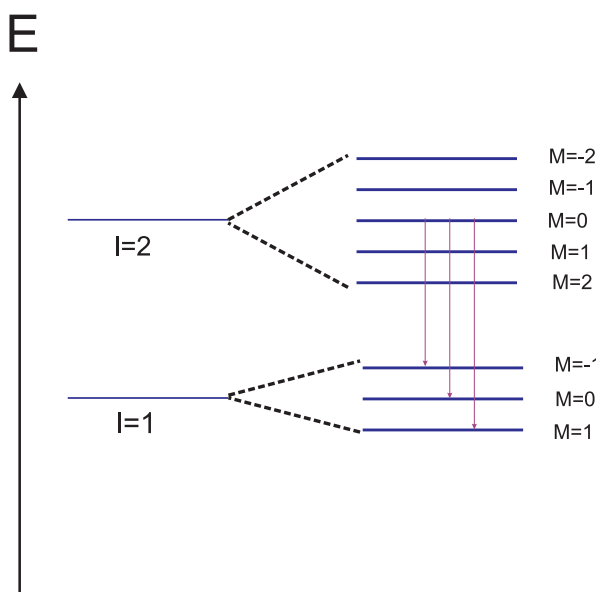
که در آن  $H_0$  هامیلتونی اتم هیدروژن است. از آنجا که همه ترازهای انرژی اتم هیدروژن بجز حالت پایه واگن هستند می‌بایست از روش اختلال واگن استفاده کنیم. خوشبختانه جمله پتانسیل در هر کدام از زیرفضاهای واگن خود بخود قطری است و نیازی به قطری کردن آن نیست. در واقع داریم

$$\langle n, l', m' | V | n, l, m \rangle = -\frac{eB}{2\mu} \langle l', m' | L_z | l, m \rangle = -\frac{eB}{2\mu} \hbar m \delta_{l',l} \delta_{m',m}. \quad (54)$$

این امر نشان می‌دهد که ترازهای انرژی جدید برابرند با:

$$E_{n,l,m} = -\frac{Ry}{n^2} - \frac{eB}{2\mu} \hbar m. \quad (55)$$

این که پتانسیل در پایه جدید قطری است ناشی از آن است که در حضور میدان مغناطیسی درست است که دیگر تقارن کامل دورانی نداریم ولی هنوز تقارن حول محور  $z$  (حول میدان مغناطیسی) وجود دارد. بنابراین هامیلتونی جدید هنوز با مولد این تقارن یعنی  $L_z$  جابجا می‌شود و بنابراین می‌توان ویژه پایه ای مشترک برای  $H$  و  $L_z$  یافت. در پدیده زیمن هر دسته تراز  $2l + 1$  تایی انرژی  $|n, l, m\rangle$  برای  $(m = -l, \dots, l)$  که قبلاً همگی یک مقدار انرژی داشتند  $2l + 1$



شکل ۳: اثر زیمنان. درست است که یک حالت با  $l = 2$  به پنج حالت و یک حالت با  $l = 1$  به سه حالت شکافته می شود ولی فوتون تنها می تواند گذارهایی با  $\Delta m = 0, \pm 1$  انجام دهد.

انرژی متفاوت پیدا می کنند. این وضعیت در شکل (??) نشان داده شده است. اما این به این معنایست که هر خط طیفی به تعداد زیادی خطوط نزدیک به هم تجزیه می شود. در حقیقت طیف نگاری دقیق نشان می دهد که هر خط طیفی حداکثر به سه خط با فاصله مساوی از هم تجزیه می شود. دلیل این امر آن است که هر نوع گذاری بین خطوط ممکن نیست. از آنجا که فوتون تکانه زاویه ای برابر با 1 دارد تنها گذار بین ترازهایی ممکن است که برای آنها  $\Delta m = 0, \pm 1$  باشد. بنابراین بین انرژی های (55) تنها گذارهای زیر اتفاق می افتد:

$$\hbar\omega' = E_{n,l',m'} - E_{n,l,m} = \left(\frac{Ry}{n'^2} - \frac{Ry}{n^2}\right) + \frac{eB}{2\mu}\hbar\Delta m = \hbar\omega + \frac{eB}{2\mu}\hbar\Delta m \quad (56)$$

که در آن  $\omega$  فرکانس یک خط طیفی در غیاب میدان مغناطیسی است. به عبارت دیگر داریم

$$\omega' = \omega, \quad \text{یا} \quad \omega' = \omega \pm \frac{eB}{2\mu}. \quad (57)$$

این موضوع بوضوح نشان می دهد که در اثر حضور میدان مغناطیسی در دو طرف یک خط طیفی دو خط دیگر با فاصله  $\frac{eB}{2\mu}$  بوجود می آید.

### ۳.۴ اثر اشتارک برای حالت پایه اتم هیدروژن

در درس های فیزیک پایه دیده ایم که هرگاه اتمی در میدان الکتریکی قرارگیرد مرکز بارهای مثبت و منفی آن از هم جدا شده و یک دو قطبی الکتریکی در اتم القا می شود. این اثر در مکانیک کوانتومی به اثر اشتارک معروف است. قبل از محاسبه دقیق می توان تخمینی از مرتبه دو قطبی الکتریکی که در یک اتم القا می شود بدست آورد. هرگاه اندازه دو قطبی الکتریکی یک اتم را با

$P$  و اندازه میدان الکتریکی را با  $\mathcal{E}$  نشان دهیم در این صورت می دانیم که  $P = \alpha \mathcal{E}$  که در آن  $\alpha$  ضریبی است با دیمانسیون حجم یا طول به توان سه. تنها طولی که در یک اتم مثلا اتم هیدروژن وجود دارد شعاع بوهر است. بنابراین انتظار داریم که دو قطبی الکتریکی از مرتبه  $P \sim a_0^3 \mathcal{E}$  باشد. برای بررسی دقیق اثر اشتارک می بایست از هامیلتونی زیر شروع کنیم که در آن  $H_0$  هامیلتونی اتم در غیاب میدان الکتریکی است. در اینجا اتم هیدروژن را در نظر می گیریم.

$$H = H_0 - e\mathcal{E}z \quad (58)$$

نخست تغییر انرژی حالت پایه اتم هیدروژن یعنی حالت  $(n, l, m) = (1, 0, 0)$  را در رتبه اول حساب می کنیم. داریم

$$E_{1,0,0}^1 = -e\mathcal{E}\langle 1, 0, 0 | z | 1, 0, 0 \rangle \quad (59)$$

اما عنصر ماتریسی بالا برابر با صفر است. این امر را به طرق مختلف می توان دریافت. ساده ترین راه آن است که توجه کنیم حالت پایه اتم هیدروژن تقارن کامل کروی دارد (زیرا  $Y_{0,0} = \frac{1}{\sqrt{4\pi}}$ ) و بنابراین انتگرال  $z$  روی این حالت صفر می شود. راه دوم که در مواقع دیگر نیز مفید خواهد بود توجه به پاریته حالت های  $|l, m\rangle$  است. از درس مربوط به تقارن زاویه ای در سه بعد می دانیم که  $\Pi |l, m\rangle = (-1)^l |l, m\rangle$ . بنابراین با توجه به اینکه  $\Pi z + z \Pi = 0$  نتیجه می گیریم که عنصر ماتریسی بالا صفر است. پس در رتبه یک اثر اشتارک هیچ نوع تغییری در انرژی حالت پایه ندارد. حال تغییر رتبه دوم را حساب می کنیم. داریم

$$E_{1,0,0}^2 = e^2 \mathcal{E}^2 \sum_{n=2} \sum_{l,m} \frac{|\langle n, l, m | z | 1, 0, 0 \rangle|^2}{E_1 - E_n} \quad (60)$$

می توان عنصر ماتریسی را به طور صریح حساب کرد. داریم

$$\langle n, l, m | z | 1, 0, 0 \rangle = \int r^2 dr d\Omega R_{n,l}(r) Y_{l,m}^*(\theta, \phi) (r \cos \theta) R_{1,0}(r) Y_{0,0}(\theta, \phi). \quad (61)$$

با توجه به تساوی های زیر

$$Y_{0,0} = \frac{1}{\sqrt{4\pi}}, \quad Y_{1,0} = \sqrt{\frac{3}{4\pi}} \cos \theta \quad (62)$$

نتیجه می گیریم که

$$\int d\Omega Y_{l,m}^* \sqrt{\frac{4\pi}{3}} Y_{1,0} \sqrt{\frac{1}{4\pi}} = \frac{1}{\sqrt{3}} \int d\Omega Y_{l,m}^* Y_{1,0} = \frac{1}{\sqrt{3}} \delta_{l,1} \delta_{m,0}. \quad (63)$$

حال انتگرال شعاعی را حساب می کنیم: این انتگرال برابر است با

$$I_R = \int_0^\infty r^2 dr R_{n,1,0}(r) r R_{1,0,0}(r). \quad (64)$$

مقدار این انتگرال به طور دقیق قابل محاسبه است اگر چه ما در این درس آن را محاسبه نخواهیم کرد. مقدار این انتگرال برابر است با:

$$|\langle n, 1, 0 | z | 1, 0, 0 \rangle|^2 = \frac{1}{3} \frac{2^8 n^7 (n-1)^{2n-5}}{(n+1)^{2n+5}} a_0^2 =: f(n) a_0^2 \quad (65)$$

که در آن  $a_0$  شعاع بوهر است و تابع  $f(n)$  عبارت کنار  $a_0^2$  است. با توجه به اینکه  $E_n = -Ry \frac{1}{n^2}$  و جمع و جور کردن محاسبات خواهیم داشت

$$E_{1,0,0}^2 = -\frac{(e\mathcal{E}a_0)^2}{Ry} \sum_{n=2} \frac{f(n)}{1 - \frac{1}{n^2}}. \quad (66)$$

ضریب پشت سری را می توان به شکل ساده تری نیز نوشت: می دانیم که  $Ry = \frac{e^2}{2a_0}$ . بنابراین

$$E_{1,0,0}^2 = -2a_0^3 \mathcal{E}^2 \sum_{n=2} \frac{f(n)}{1 - \frac{1}{n^2}}. \quad (67)$$

سری فوق یک سری واگراست و مقدار عددی آن را می توان بایک برنامه ساده براحتی حساب کرد. با محاسبه این سری درمی یابیم که مقدار  $E_{1,0,0}$  برابر است با

$$E_{1,0,0}^2 = -1.43313 a_0^3 \mathcal{E}^2. \quad (68)$$

حال می توانیم میزان قطبش الکتریکی ایجاد شده در یک اتم را حساب کنیم. می دانیم که دوقطبی القا شده در اتم متناسب با میدان الکتریکی است. یعنی  $p = \alpha \mathcal{E}$  که در آن  $\alpha$  ضریب قطبش پذیری اتم است. وقتی که میدان الکتریکی را تغییر می دهیم اندازه دوقطبی الکتریکی نیز تغییر می کند و انرژی لازم برای این تغییر برابر است با  $dU = -pd\mathcal{E} = -\alpha \mathcal{E} d\mathcal{E}$ . بنابراین کل انرژی ذخیره شده وقتی که میدان به مقدار نهایی  $\mathcal{E}$  می رسد برابر است با  $U = -\frac{1}{2} \alpha \mathcal{E}^2$ . با مقایسه این رابطه با رابطه (68) می توانیم ضریب قطبش پذیری اتم هیدروژن را پیدا کنیم:

$$\alpha = 2.86626 a_0^3. \quad (69)$$

تا کنون سعی کردیم که عبارت دقیقی را در چارچوب روش اختلال برای تغییر مرتبه دوم انرژی پیدا کنیم. این کار مستلزم محاسبه یک عنصر ماتریسی و جمع یک سری بود که کار محاسبه را طولانی می کرد. با محاسبه بسیار کمتری می توانیم یک

حد پایین برای این تغییر انرژی پیدا کنیم. برای این کار به این نکته توجه می کنیم که

$$|E_{1,0,0}^2| = e^2 \mathcal{E}^2 \frac{1}{R_y^2} \sum_{n=2} \sum_{l,m} \frac{|\langle n, l, m | z | 1, 0, 0 \rangle|^2}{1 - \frac{1}{n^2}} \quad (70)$$

در نتیجه

$$\begin{aligned} |E_{1,0,0}^2| &> e^2 \mathcal{E}^2 \frac{1}{R_y^2} \sum_{n=2} \sum_{l,m} |\langle n, l, m | z | 1, 0, 0 \rangle|^2 = e^2 \mathcal{E}^2 \frac{1}{R_y^2} \left( \sum_{n,l,m} |\langle n, l, m | z | 1, 0, 0 \rangle|^2 - |\langle 1, 0, 0 | z | 1, 0, 0 \rangle|^2 \right) \\ &= e^2 \mathcal{E}^2 \frac{1}{R_y^2} |\langle 1, 0, 0 | z^2 | 1, 0, 0 \rangle|, \end{aligned} \quad (71)$$

که در آن از کامل بودن پایه  $|n, l, m\rangle$  و هم چنین صفر بودن  $\langle 1, 0, 0 | z | 1, 0, 0 \rangle$  استفاده کرده ایم. اما با استفاده از تقارن دورانی می دانیم که

$$|\langle 1, 0, 0 | z^2 | 1, 0, 0 \rangle| = |\langle 1, 0, 0 | x^2 | 1, 0, 0 \rangle| = |\langle 1, 0, 0 | y^2 | 1, 0, 0 \rangle| = \frac{1}{3} |\langle 1, 0, 0 | r^2 | 1, 0, 0 \rangle|. \quad (72)$$

اما عنصر ماتریسی آخری براحتی قابل محاسبه است و برابر است با

$$\langle 1, 0, 0 | r^2 | 1, 0, 0 \rangle = \int_0^\infty r^4 dr R_{10}^2(r) = \int_0^\infty r^2 dr \left( 2 \left( \frac{1}{a_0} \right)^{3/2} e^{-r/a_0} \right)^2 = a_0^2 \quad (73)$$

بنابراین بدست می آوریم

$$|E_{1,0,0}^2| > e^2 \mathcal{E}^2 \frac{1}{3R_y^2} |\langle 1, 0, 0 | r^2 | 1, 0, 0 \rangle| = e^2 \mathcal{E}^2 \frac{1}{3R_y^2} a_0^2. \quad (74)$$

هرگاه به این نکته توجه کنیم که  $R_y = \frac{1}{2} \frac{e^2}{a_0}$  آنگاه عبارت بالا به صورت زیر درمی آید:

$$|E_{1,0,0}^2| >= \frac{2}{3} a_0^3 \mathcal{E}^2. \quad (75)$$

دقت کنید که مقدار دقیقی که برای تغییر مرتبه دوم انرژی بدست آوردیم با این حد تطبیق می کند.

#### ۴.۴ اثر اشتارک برای حالت برانگیخته اتم هیدروژن

حال می خواهیم اثر اشتارک را برای اولین حالت برانگیخته اتم هیدروژن یعنی حالت  $n = 2$  محاسبه کنیم. این حالت واگنی مرتبه چهار دارد. بنابراین می بایست ماتریس اختلال را در این زیرفضای چهاربعدی که با حالت های  $|2, 0, 0\rangle$  و

بریم و ثابت کنیم که از ۱۶ درایه این ماتریس چهارده درایه آن صفر هستند. برای این کار ثابت می کنیم که به طور کلی عنصر ماتریسی

$$\langle n', l', m' | z | n, l, m \rangle \propto \delta_{m, m'} \delta_{l, l' \pm 1}. \quad (76)$$

برای اثبات این که این عنصر ماتریسی متناسب با  $\delta_{m, m'}$  است کافی است به رابطه زیر توجه کنیم:

$$[z, L_z] = 0, \quad \longrightarrow 0 = \langle n', l', m' | z L_z - L_z | n, l, m \rangle = (m - m') \langle n', l', m' | z | n, l, m \rangle. \quad (77)$$

برای اثبات این که این عنصر ماتریسی متناسب با  $\delta_{l, l' \pm 1}$  است کافی است که به پارامترهای حالت های  $|l, m\rangle$  توجه کنیم و اینکه  $z$  پارامتر فرد دارد به عبارت دیگر به روابط زیر

$$\Pi z + z \Pi = 0 \quad \Pi |l, m\rangle = (-1)^l |l, m\rangle. \quad (78)$$

بنابراین ماتریس اختلال تنهادر یک زیر فضای دوبعدی از فضای واگن چهاربندی اولیه غیر صفر است و در این زیر فضا که با بردارهای  $|2, 0, 0\rangle$  و  $|2, 1, 0\rangle$  جاروب می شود قیافه ماتریس اختلال عبارت است از

$$\mathcal{V} = -e\mathcal{E} \begin{pmatrix} 0 & \langle 2, 0, 0 | z | 2, 1, 0 \rangle \\ \langle 2, 1, 0 | z | 2, 0, 0 \rangle & 0 \end{pmatrix} = -e\mathcal{E} \begin{pmatrix} 0 & \eta \\ \eta & 0 \end{pmatrix} \quad (79)$$

که در آن  $\eta = \langle 2, 0, 0 | z | 2, 1, 0 \rangle$  و برابر است با

$$\begin{aligned} \eta = \langle 2, 0, 0 | z | 2, 1, 0 \rangle &= \int r^2 dr d\Omega R_{2,0}(r) Y_{0,0}^*(r) R_{2,1}(r) Y_{1,0}(r \cos \theta) \\ &= \left( \int r^3 dr R_{2,0} R_{2,0} \right) \left( \int \frac{1}{\sqrt{4\pi}} Y_{1,0} \sqrt{4\pi} 3 Y_{1,0} d\Omega \right) \\ &= \frac{1}{\sqrt{3}} \int r^3 dr R_{2,0} R_{2,1} \end{aligned} \quad (80)$$

با توجه به اینکه

$$R_{20} = 2 \left( \frac{1}{2a_0} \right)^{\frac{3}{2}} \left( 1 - \frac{r}{2a_0} \right) e^{-r/a_0}, \quad R_{21} = \frac{1}{\sqrt{3}} \left( \frac{1}{2a_0} \right)^{\frac{3}{2}} \frac{r}{a_0} e^{-r/2a_0}, \quad (81)$$

انتگرال شعاعی به راحتی محاسبه می شود و مقدار  $\eta$  برابر می شود با  $\eta = -\frac{128\sqrt{3}}{729} a_0 = -0.3041 a_0$ . بسادگی معلوم می شود که ویژه مقادیرها برابرند با  $-e\mathcal{E}\eta$  و  $e\mathcal{E}\eta$  به ترتیب با ویژه بردارهای

$$|+\rangle = \frac{1}{\sqrt{2}} (|2, 0, 0\rangle + |2, 1, 0\rangle), \quad |-\rangle = \frac{1}{\sqrt{2}} (|2, 0, 0\rangle - |2, 1, 0\rangle). \quad (82)$$



بنابراین نتیجه می‌گیریم که از چهار حالت اولیه انرژی حالت های  $|2, 1, -1\rangle$  و  $|2, 1, 1\rangle$  دست نخورده باقی می‌ماند و ترکیبی از دو حالت دیگر که در رابطه فوق نوشته شده اند انرژی شان به اندازه  $\pm e\mathcal{E}\eta$  جابجا می‌شود.

در درس آینده از روش اختلال برای مطالعه اتم هیدروژن واقعی استفاده می‌کنیم یعنی وقتی که آثار مختلفی را که در اتم هیدروژن وجود دارند و تا کنون از آنها صرف نظر کرده ایم مورد مطالعه قرار می‌دهیم.

## درس شانزدهم: اتم هیدروژن واقعی

### ۱ مقدمه

آنچه را که تاکنون به عنوان اتم هیدروژن مورد مطالعه قرار داده‌ایم، می‌توان اتم هیدروژن ایده‌آل نامید زیرا در آن تنها پتانسیل  $\frac{e^2}{r}$  را که معرف مهترین برهم‌کنش بین الکترون و هسته است در نظر گرفته‌ایم. برای مطالعه کامل تر اتم هیدروژن می‌بایست اثرات دیگری را نیز در نظر بگیریم. در نظر گرفتن این آثار باعث می‌شود که طیف اتم هیدروژن تفاوت‌هایی جزئی با اتم هیدروژن ایده‌آل پیدا کند. نخستین این اثرات آثار نسبیته ناشی از سرعت زیاد الکترون است. دومین اثر ناشی از برهم‌کنش ممان مغناطیسی ذاتی الکترون با ممان مغناطیسی مدار آن است که اصطلاحاً می‌گوییم باعث شکافت ریز طیف یا ساختار ریز طیف *Fine Structure* می‌شود. بالاخره آخرین اثری که در نظر می‌گیریم ناشی از برهم‌کنش ممان مغناطیسی الکترون و ممان مغناطیسی هسته است که اصطلاحاً می‌گوییم باعث شکافت فوق ریز طیف یا ساختار فوق ریز طیف *Hyperfine Structure* می‌شود.

برای مطالعه تمام این آثار از روش اختلال تا مرتبه اول استفاده می‌کنیم. قبل از پرداختن به محاسبات بهتر است چند رابطه مفید را درباره کمیت‌های مختلف در اتم هیدروژن به یاد بیاوریم. انرژی حالت پایه اتم هیدروژن برابر است با

$$E_0 = -\frac{1}{2}mc^2\alpha^2 = -\frac{1}{2}\frac{e^2}{a_0} \quad (1)$$

که در آن  $\alpha = \frac{1}{137}$  ثابت ساختار ریز و  $a_0$  شعاع بوهر و حدوداً برابر با نیم آنگستروم است. انرژی حالت  $n$  ام نیز برابر است با  $E_n = \frac{E_0}{n^2}$ . شعاع بوهر نیز برابر است با

$$a_0 = \frac{1}{\alpha} \frac{\hbar}{mc}. \quad (2)$$

یادآوری می‌کنیم که  $\frac{\hbar}{mc}$  طول موج کامپتون الکترون است.

## ۲ اثر نسبیتی

دیدیم که سرعت الکترون از مرتبه  $\frac{1}{137}$  سرعت نور است و به همین دلیل در تقریب صفرم از اثرات نسبیتی صرف نظر کردیم. برای دقت بیشتر می بایست این اثرات را بحساب بیاوریم. نخست می بایست هامیلتونی را تصحیح کنیم. برای انرژی جنبشی الکترون می بایست بجای  $\frac{p^2}{2m}$  عبارت نسبیتی آن را به کار ببریم که برابر است با

$$T = \sqrt{m^2c^4 + P^2c^2} - mc^2 = mc^2(1 + (\frac{p}{mc})^2)^{\frac{1}{2}} - mc^2 \quad (3)$$

با استفاده از بسط دو جمله‌ای یعنی  $(1+x)^p \sim 1 + px + \frac{1}{2}p(p-1)x^2 + O(x^3)$  عبارت انرژی جنبشی را می توانیم به صورت زیر بسط دهیم

$$T = \frac{P^2}{2m} - \frac{1}{8}(\frac{p^4}{m^3c^2}) \quad (4)$$

اولین تصحیح به جمله انرژی جنبشی وقتی بدست می آید که تنها دوجمله اول و دوم را نگاه داریم. بنابراین هامیلتونی یک اتم هیدروژن گونه به صورت زیر خواهد بود:

$$H = H_0 - \frac{1}{8} \frac{P^4}{m^3c^2} = H_0 + H_1. \quad (5)$$

بهبتر است که نخست مرتبه تصحیح انرژی را تخمین بزنیم. علامت  $\approx$  را برای این تخمین بکار خواهیم برد. با این مقدمه می توانیم بنویسیم

$$H_1 \sim \frac{1}{4} \frac{1}{2} mc^2 (\frac{P}{mc})^4 \sim \frac{1}{4} \frac{1}{2} mc^2 (\frac{v}{c})^4 \sim \frac{1}{4} \frac{1}{2} mc^2 \alpha^4 \sim \frac{1}{4} E_0 \alpha^2. \quad (6)$$

بنابراین تصحیح انرژی ناشی از اثر نسبیتی حدوداً یک صد هزارم انرژی یک حالت است. با این وجود این تصحیح را می بایست در نظر گرفت زیرا دقت اندازه گیری ها آنقدر هست که آن را آشکار کند.

حال به محاسبه دقیق این تصحیح در مرتبه اول اختلال می پردازیم. جمله  $H_1$  را به صورت اختلال بررسی می کنیم. می دانیم که ترازهای اتم هیدروژن در یک لایه با  $|n, l, m\rangle$  یعنی سه عدد کوانتومی نشان داده می شوند ولی انرژی آنها تنها به عدد کوانتومی  $n$  بستگی دارد. بنابراین ممکن است که در نگاه اول فکر کنیم که می بایست از روش اختلال واگن استفاده کنیم. اما کمی دقت نشان می دهد که پتانسیل  $H_1$  در پایه  $|n, l, m\rangle$  قطری است یعنی

$$\langle n, l', m' | H_2 | n, l, m \rangle \propto \delta_{l', l} \delta_{m', m}. \quad (7)$$

دلیل این امر آن است که عملگر  $H_2$  با دو عملگری که ترازهای واگن را تعریف می کنند یعنی با  $L_z$  و  $L^2$  جابجا می شود ( زیرا  $H_1$  یک عملگر اسکالر است). برای فهم رابطه فوق به محاسبه زیر توجه کنید:

$$0 = \langle n, l', m' | H_1 L_z - L_z H_1 | n, l, m \rangle = (m - m') \langle n, l', m' | H_1 | n, l, m \rangle. \quad (8)$$

همین استدلال برای عملگر  $L^2$  نیز بکار می رود. بنابراین تا نسایل اختلال در پایه  $|n, l, m\rangle$  از همان ابتدا قطری است و تنها کافی است که عناصر روی قطر آن را حساب کنیم تا تصحیح انرژی هر حالت را در مرتبه اول بدست آوریم. بنابراین خواهیم داشت

$$\Delta E_{n,l,m} = \langle n, l, m | H_1 | n, l, m \rangle. \quad (9)$$

قبل از محاسبه این عنصر ماتریسی یک سوال خوب می توانیم بپرسیم و آن اینکه آیا تصحیح انرژی به هر سه عدد کوانتومی  $n, l, m$  بستگی دارد یا خیر؟ برای پاسخ به این سوال دقت می کنیم که هامیلتونی کامل یعنی  $H_0 + H_1$  هنوز یک اسکالر است و بنابراین تقارن دورانی دارد. از آنجا که واگنی نسبت به عدد کوانتومی  $m$  ناشی از تقارن دورانی است، تصحیح انرژی هر حالت هنوز این واگنی را حفظ می کند و بنابراین تصحیح انرژی به عدد کوانتومی  $m$  بستگی ندارد. یک راه دیگر برای فهم این نتیجه توجه به محاسبه زیر است. با توجه به اسکالر بودن  $H_1$  و در نتیجه رابطه  $[H_1, L_-] = 0$  می نویسیم

$$0 = \langle n, l, m | H_1 L_- - L_- H_1 | n, l, m + 1 \rangle, \quad (10)$$

امامی دانیم که

$$L_- |l, m + 1\rangle = \sqrt{l(l+1) - (m+1)m} |l, m\rangle, \quad \langle l, m | L_- = \sqrt{l(l+1) - (m+1)m} \langle l, m + 1|. \quad (11)$$

بنابراین خواهیم داشت

$$0 = \sqrt{l(l+1) - (m+1)m} (\langle n, l, m | H_1 | n, l, m \rangle - \langle n, l, m + 1 | H_1 | n, l, m + 1 \rangle). \quad (12)$$

این رابطه نشان می دهد که عنصر ماتریسی مستقل از  $m$  است. بنابراین باید بنویسیم

$$\Delta E_{n,l} = \langle n, l, m | H_1 | n, l, m \rangle. \quad (13)$$

حال به محاسبه صریح این عنصر ماتریسی می پردازیم. از این مطلب استفاده می کنیم که

$$H_1 = \frac{-1}{8} \frac{P^4}{m^3 c^2} = \frac{-1}{2mc^2} \left( \frac{P^2}{2m} \right)^2 = \frac{-1}{2mc^2} \left( H_0 + \frac{e^2}{r} \right)^2.$$

بنابراین

$$\Delta E_{n,l} = -\frac{1}{2mc^2} \langle n, l, m | H_0^2 + \frac{e^4}{r^2} + H_0 \frac{e^2}{r} + \frac{e^2}{r} H_0 | n, l, m \rangle$$

$$= -\frac{1}{2mc^2} \left( E_n^2 + 2E_n e^2 \langle \frac{1}{r} \rangle_{n,l} + e^4 \langle \frac{1}{r^4} \rangle_{n,l} \right). \quad (14)$$

اما می دانیم که

$$\langle \frac{1}{r} \rangle_{n,l} = \frac{1}{a_0 n^2}, \quad \langle \frac{1}{r^2} \rangle_{n,l} = \frac{1}{a_0^2 n^3 (l + \frac{1}{2})}. \quad (15)$$

باجایگذاری این مقادیر در رابطه قبلی خواهیم داشت

$$\Delta E_{n,l} = -\frac{1}{2mc^2} \left( E_n^2 + 2E_n e^2 \frac{1}{a_0 n^2} + e^4 \frac{1}{a_0^2 n^3 (l + \frac{1}{2})} \right). \quad (16)$$

با توجه به رابطه هایی که در مقدمه به آن اشاره کردیم تصحیح انرژی به صورت زیر ساده می شود:

$$\Delta E_{n,l} = \left[ \frac{-3}{4n^2} + \frac{1}{n(l + \frac{1}{2})} \right] \alpha^2 E_n. \quad (17)$$

این رابطه نشان می دهد که درترازهای بالاتر اثرات نسبیتی کمتر می شود. دلیل این امر آن است که با افزایش  $n$  مرتبه سرعت به صورت  $\frac{1}{n}$  کم می شود و این امر باعث کاهش اثرات نسبیتی می شود. برای اینکه این کاهش را ببینید کافی است که یک محاسبه ساده با استفاده از مدل اتمی بوهر انجام دهید.

### ۳ جفتدگی اسپین مدار – شکافت ریز

در این بخش تصحیح ناشی از برهم کنش ممان مغناطیسی الکترون را با میدان مغناطیسی ناشی از حرکت مداری آن بدست می آوریم. می دانیم که الکترون بدلیل تکانه زاویه ای ذاتی یا اسپین خود یک ممان مغناطیسی دارد که آن را با  $\mu_s$  نشان می دهیم:

$$\mu = -\frac{g_e \epsilon}{2mc} S. \quad (18)$$

در این رابطه  $g_e$  ثابت ژیرو مغناطیسی الکترون نام دارد و مقدار آن به عدد 2 بسیار نزدیک است. به همین جهت از این به بعد می نویسیم  $\mu = -\frac{\epsilon}{mc} S$ .

از دید ناظری که نسبت به الکترون ساکن است هسته اتم با بار  $e$  و سرعت  $v$  حرکت می کند. چنین ذره ای یک میدان مغناطیسی تولید می کند که اندازه اش از روی میدان الکتریکی تولید شده توسط آن بدست می آید و برابر است با

$$B = \frac{v}{2c} \times E. \quad (19)$$

دقت کنید که ضریب 2 درمخرج در حرکت مستقیم الخط وجود ندارد. بنابراین انرژی برهم کنش ممان مغناطیسی الکترون در این میدان مغناطیسی برابر است با

$$H_2 = -\mu_s \cdot B = \frac{e}{mc} S \cdot \frac{v}{2c} \times E = \frac{e}{m^2 c} S \cdot \frac{P}{2c} \times \frac{e}{r^3} \vec{r} \quad (20)$$

و یا

$$H_2 = \frac{-e^2}{2m^2 c^2} \frac{1}{r^3} S \cdot L. \quad (21)$$

حال همان مراحل را که برای تصحیح نسیتی طی کردیم برای این پتانسیل نیز طی می کنیم یعنی:

الف: مرتبه تصحیح را تخمین می زنیم

ب: نگاه می کنیم که آیا پتانسیل  $H_2$  در پایه  $|n, l, m\rangle$  قطری است یا خیر؟ اگر قطری نیست آیا پایه دیگری از حالت های موجود در این تراز می توانیم انتخاب کنیم بطوری که پتانسیل  $H_2$  در آن قطری باشد؟ برای این کار می بایست به رابطه جابجایی  $H_2$  و  $L_z$  و  $L^2$  نگاه کنیم.

ج: آیا این تصحیح واگنی موجود در یک تراز انرژی را از بین می برد؟ برای این کار می بایست به تقارن های  $H_2$  به خصوص به تقارن آن تحت دوران نگاه کنیم. این تقارن با روابط جابجایی  $H_2$  با مولد های دوران یعنی  $L_z$  و  $L_{\pm}$  مشخص می شود.

حال این مراحل را یک به یک طی می کنیم. نخست مرتبه تصحیح:

$$H_2 \sim \frac{-e^2}{2m^2 c^2} \frac{1}{a_0^3} \hbar^2 \sim \frac{e^2}{2a_0} \left( \frac{\hbar}{mc} \right)^2 \frac{1}{a_0} \sim E_0 \alpha^2. \quad (22)$$

که در آن از روابط درج شده در مقدمه استفاده کرده ایم. بنابراین این تصحیح از همان مرتبه تصحیح نسیتی است.

حال به مرحله دوم می پردازیم. عملگر  $S \cdot L$  در پایه  $|n, l, m\rangle$  قطری نیست. ولی  $S \cdot L$  را به شکل زیر می نویسیم

$$S \cdot L = \frac{1}{2}(J^2 - L^2 - S^2), \quad (23)$$

که در آن  $\mathbf{J} = \mathbf{L} + \mathbf{S}$  تکانه زاویه ای کل است. این رابطه نشان می دهد که حالت هایی که تکانه زاویه ای کل آنها مشخص باشد، ویژه بردار  $S \cdot L$  و در نتیجه  $H_2$  هستند. در فصل مربوط به جمع اندازه حرکت زاویه ای دیدیم که این حالت ها را می توان به شکل زیر نمایش داد

$$|j, m_j, l\rangle \quad (24)$$

که ویژه بردارهای مشترک  $J^2$ ،  $J_z$  و  $L^2$  هستند. ضمناً می دانیم که از  $2 \times (2l + 1)$  حالت  $|l, m\rangle|+\rangle$  و  $|l, m\rangle|-\rangle$  می توان یک دسته  $2l + 2$  تایی با  $j = l + \frac{1}{2}$  و یک دسته  $2l$  تایی دیگر با  $j = l - \frac{1}{2}$  ساخت. از آنجا که  $H_2$  در این پایه قطری است می توانیم بنویسیم

$$\Delta E_{n,j,m_j,l} = \langle n, j, m_j, l | H_2 | n, j, m_j, l \rangle. \quad (25)$$

حال می توانیم به مرحله سوم پردازیم و آن اینکه آیا این تصحیح انرژی به همه اعداد کوانتومی بستگی دارد یا خیر. برای پاسخ به این سوال بازهم به تقارن دورانی توجه می کنیم و اینکه عملگر  $\mathbf{S} \cdot \mathbf{L}$  و در نتیجه  $H_2$  در فضای هیلبرت کل (فضایی + اسپینی) یک اسکالر است یعنی

$$[H_2, J_z] = [H_2, J_{\pm}] = 0. \quad (26)$$

این تقارن نشان می دهد که تصحیح انرژی به  $m_j$  بستگی ندارد. بنابراین می نویسیم

$$\Delta E_{n,j,l} = \langle n, j, m_j, l | H_2 | n, j, m_j, l \rangle. \quad (27)$$

حال این عنصر ماتریسی را صریحاً محاسبه می کنیم.

$$\begin{aligned} \Delta E_{n,j,l} &= \langle n, j, m_j, l | \frac{-e^2}{2m^2c^2} \frac{1}{r^3} \frac{1}{2} (J^2 - L^2 - S^2) | n, j, m_j, l \rangle \\ &= \frac{-e^2}{2m^2c^2} \langle \frac{1}{r^3} \rangle_{n,l} \left( j(j+1) - l(l+1) - \frac{3}{4} \right). \end{aligned} \quad (28)$$

با توجه به اینکه

$$\langle \frac{1}{r^3} \rangle_{n,l} = \frac{1}{a_0^3} \frac{1}{n^3 l(l+1/2)(l+1)} \quad (29)$$

با جایگزینی این مقدار در رابطه قبلی بدست می آوریم

$$\begin{aligned} \Delta E_{n,j,l} &= \langle n, j, m_j, l | \frac{-e^2}{2m^2c^2} \frac{1}{r^3} \frac{1}{2} (J^2 - L^2 - S^2) | n, j, m_j, l \rangle \\ &= \frac{-e^2}{2m^2c^2} \frac{j(j+1) - l(l+1) - \frac{3}{4}}{a_0^3 n^3 l(l+1/2)(l+1)}. \end{aligned} \quad (30)$$

و یا پس از کمی ساده کردن

$$\Delta E_{n,j=l+1/2,l} = \frac{-1}{2} E_n \alpha^2 \frac{l}{n l(l+1/2)(l+1)}$$

$$\Delta E_{n,j=l-1/2,l} = \frac{-1}{2} E_n \alpha^2 \frac{-l-1}{n l (l+1/2)(l+1)}. \quad (31)$$

## ۴ جفتدگی اسپین اسپین – شکافت فوق ریز

شکافت فوق ریز ناشی از برهم کنش ممان مغناطیسی الکترون با ممان مغناطیسی هسته است. هسته اتم باجرم  $M_N$ ، بار  $+e$ ، اسپین  $I$  و ضریب زیرومغناطیسی  $g_N$  ممان مغناطیسی زیر را دارد.

$$M = \frac{g_N e}{2M_N c} I \quad (32)$$

این ممان مغناطیسی در نقطه  $r$  یک پتانسیل برداری تولید می کند که با رابطه زیر داده می شود

$$A = -\frac{1}{4\pi} (M \times \nabla) \frac{1}{r} = \frac{1}{4\pi} M \times \frac{r}{r^3}. \quad (33)$$

میدان مغناطیسی ناشی از این پتانسیل برداری برابر است با

$$B = \nabla \times A = \frac{1}{4\pi} \nabla \times (M \times \frac{r}{r^3}). \quad (34)$$

کمی محاسبه و استفاده از اتحاد های برداری نشان می دهد که میدان مغناطیسی برابر است با:

$$B = -\frac{1}{4\pi} \left[ (\nabla^2 \frac{1}{r}) M - (M \cdot \nabla) \nabla \frac{1}{r} \right]. \quad (35)$$

از طرفی می دانیم که ممان مغناطیسی الکترون برابر است با

$$\mu = \frac{-e}{mc} S. \quad (36)$$

انرژی برهم کنش ممان مغناطیسی الکترون و این میدان مغناطیسی که آن را با  $H_3$  نشان می دهیم برابر است با:

$$\begin{aligned} H_3 &= \mu \cdot B = \frac{1}{4\pi} \left( \frac{e}{mc} \right) \left( \frac{g_N e}{2M_N c} \right) \left[ (\nabla^2 \frac{1}{r}) S \cdot I - (I \cdot \nabla) (S \cdot \nabla) \frac{1}{r} \right] \\ &= -\gamma \left[ (\nabla^2 \frac{1}{r}) S \cdot I - (I \cdot \nabla) (S \cdot \nabla) \frac{1}{r} \right] \end{aligned} \quad (37)$$

که در آن  $\gamma$  ضریب پشت کروسه است.

حال که هامیلتونی برهم کنش را بدست آورده ایم می خواهیم تصحیح انرژی را محاسبه کنیم. برای سادگی این تصحیح را فقط برای اربیتال های  $S$  یعنی حالت های  $|n, 0, 0\rangle$  محاسبه می کنیم. در نمادی که برای نمایش دادن این اربیتال بکاربرده



ایم هیچ اثری از عدد کوانتومی اسپین الکترون دیده نمی شود. هم چنین اسپین هسته نیز وارد نشده است. می توانیم می توانیم از نوشتن اعداد کوانتومی  $l = 0$  و  $m = 0$  صرف نظر کنیم و در عوض توجه خود را به این اعداد کوانتومی معطوف کنیم و یک حالت را با  $|n, \alpha, \beta\rangle$  نمایش دهیم که در آن  $\alpha = \pm$  و  $\beta = \pm$  به ترتیب نشان دهنده اسپین الکترون و هسته هستند. یادآوری می کنیم که هرگاه اسپین هسته را نیز در نظر بگیریم هر تراز  $|n, l, m\rangle$  از اتم هیدروژن ایده آل از جمله تراز  $|n, 0, 0\rangle$  که برای سادگی آن را با  $|n\rangle$  نشان می دهیم یک واگنی 4 گانه دارد که این واگنی ناشی از درجات آزادی اسپینی الکترون و هسته است. به عبارت دیگر حالت های  $|n, -, -\rangle$ ,  $|n, -, +\rangle$ ,  $|n, +, -\rangle$ ,  $|n, +, +\rangle$  همه یک انرژی دارند. این واگنی در اثر برهم کنش اسپین - اسپین از بین می رود و ما اکنون در صدد هستیم که این تغییرات را حساب کنیم. نخست انتگرال های فضایی را حساب می کنیم. بنابراین

$$\langle n|H_3|n\rangle = -\gamma \int \psi_{n,0,0} \left[ (\nabla^2 \frac{1}{r}) S \cdot I - (I \cdot \nabla)(S \cdot \nabla) \frac{1}{r} \right] \psi_{n,0,0} d^3r \quad (38)$$

برای محاسبه طرف راست دقت می کنیم که جمله دوم داخل کروشه را در طرف راست با توجه به تقارن دورانی توابع موج می توان به شکل زیر نوشت:

$$(I \cdot \nabla)(S \cdot \nabla) \frac{1}{r} = \frac{1}{3} (I \cdot S) \nabla^2 \frac{1}{r}. \quad (39)$$

بنابراین طرف راست برابر است با

$$-\frac{2}{3} \gamma \int \psi_{n,0,0} \left[ \nabla^2 \frac{1}{r} \right] \psi_{n,0,0} d^3r \quad (40)$$

باتوجه به اینکه  $\nabla^2 \frac{1}{r} = -4\pi\delta^3(r)$  و  $\psi_{n,0,0}(\mathbf{r}) = \frac{1}{\sqrt{4\pi}} R_{n,0,0}(r)$  عبارت بالا برابر است با

$$\frac{2}{3} \gamma |R_{n,0,0}(0)|^2. \quad (41)$$

مقدار  $|R_{n,0,0}(0)|^2$  برابر است با  $\frac{4}{n^3 a_0^3}$ . (برای اثبات این می توانید به یک کتاب پیشرفته مکانیک کوانتومی مثل کتاب *Bethe* و *Salpeter* نگاه کنید).

باکنارهم قرارداد این مقادیر بدست می آوریم

$$\langle n|H_3|n\rangle = \frac{8}{3} \gamma \frac{1}{n^3 a_0^3} S \cdot I. \quad (42)$$

با توجه به آنچه که درباره واگنی مربوط به اسپین گفتیم این رابطه را می بایست به شکل دقیق تر زیر بنویسیم

$$\langle n, \alpha', \beta'|H_3|n, \alpha, \beta\rangle = \frac{8}{3} \gamma \frac{1}{n^3 a_0^3} \langle \alpha', \beta'|S \cdot I|\alpha, \beta\rangle. \quad (43)$$

اما می دانیم که عملگر  $\mathbf{S} \cdot \mathbf{I}$  در پایه  $|n, \alpha, \beta\rangle$  قطری نیست. اما درست شبیه به کاری که در مورد جفتیدگی اسپین مدارانجام دادیم در این مورد هم می توانیم به این نکته توجه کنیم که  $\mathbf{S} \cdot \mathbf{I}$  را می توان به شکل زیر نوشت

$$S \cdot I = \frac{1}{2}(F^2 - I^2 - S^2) = \frac{1}{2}(F^2 - \frac{3}{2}). \quad (44)$$

که در آن  $\mathbf{F} = \mathbf{S} + \mathbf{I}$  اسپین کل هسته و الکترون است. بنابراین در پایه ای که اسپین کل هسته و الکترون در آن مشخص است  $H_3$  قطری است. بنابراین بجای پایه  $|\alpha, \beta\rangle$  حالت های *Singlet* با  $F = 0$  و *Triplet* با  $F = 1$  را در نظر می گیریم یعنی حالت های

$$Singlet = \frac{1}{\sqrt{2}}(|+, -\rangle - |-, +\rangle), \quad (45)$$

و

$$Triplet = \begin{cases} |+, +\rangle \\ \frac{1}{\sqrt{2}}(|+, -\rangle + |-, +\rangle) \\ |-, -\rangle \end{cases} \quad (46)$$

تغییر انرژی حالت *Singlet* برابر خواهد بود با

$$\Delta E(F = 0) = \frac{8}{3}\gamma \frac{1}{n^3 a_0^3} \times \frac{-3}{4} = -2\gamma \frac{1}{n^3 a_0^3} \quad (47)$$

و تغییر انرژی حالت های *Triplet* برابر خواهد بود با

$$\Delta E(F = 1) = \frac{8}{3}\gamma \frac{1}{n^3 a_0^3} \times \frac{1}{4} = \frac{2}{3}\gamma \frac{1}{n^3 a_0^3}. \quad (48)$$

تفاوت انرژی این دو لایه برابر است با

$$\Delta E = \Delta E(F = 1) - \Delta E(F = 0) = \frac{8}{3}\gamma \frac{1}{n^3 a_0^3}. \quad (49)$$

برای لایه  $n = 1$  تفاوت انرژی این دو لایه متناظر با طول موج

$$\lambda \approx 21.1 \text{ cm} \quad (50)$$

است.

خط ۲۱ سانتی متر هیدروژن، آنطور که در نجوم و اختر فیزیک نامیده می شود اهمیت فوق العادی ای در مشاهدات اخترفیزیکی

دارد. دلیل این امر آن است که در حالت عادی یک اتم هیدروژن در پایین ترین حالت انرژی یعنی  $n = 1, F = 0$  است. در این حالت بخاطر یک قاعده انتخاب که بعداً با آن آشنا خواهیم شد اتم نمی تواند فوتونی را جذب کرده و به حالت بالاتر یعنی  $n = 1, F = 1$  تحریک شود. اما برخورد با دیگر اتم های هیدروژن می تواند باعث تحریک آن به این لایه بشود. در بازگشت از این لایه اتم می تواند نوری با طول موج  $21.1$  سانمتر از خود ساطع کند که در طیف نگاری به آن خط  $21$  سانتی متر هیدروژن گفته می شود. اختریف یکدانان با مطالعه این خط می توانند اطلاعات باارزشی از چگالی و دمای گازهای میان ستاره ای که عموماً از هیدروژن تشکیل یافته اند و هم چنین نحوه حرکت آنها بدست آورند. شدت و پهنای این خط به ترتیب به چگالی و دمای گاز هیدروژن مربوط هستند و جابجایی دوپلری این خط نیز سرعت حرکت گاز را تعیین می کند.

## ۵ اثر زیمان با در نظر گرفتن اسپین

در پایان این فصل می خواهیم اثر زیمان را با در نظر گرفتن اسپین الکترون یک بار دیگر مطالعه کنیم. در یک میدان مغناطیسی ثابت  $B$  در راستای  $z$ ، برهم کنش میدان مغناطیسی و ممان مغناطیسی مداری و اسپینی الکترون منجر به انرژی برهم کنش زیر می شود:

$$H_B = -(\mu_l + \mu_s) \cdot B = \frac{e}{2\mu c}(2S + L) \cdot B = \frac{e}{2\mu c}(2S_z + L_z)B, \quad (51)$$

که در آن جرم الکترون را برای اشتباه نشدن با عدد کوانتومی  $m$  با  $\mu$  نشان داده ایم.

نخست بهتر است که مرتبه این انرژی را با تصحیح ناشی از برهم کنش اسپین مدار مقایسه کنیم. می دانیم که برهم کنش اسپین مدار از مرتبه  $\alpha^2 \frac{e^2}{a_0}$  است. باتوجه به اینکه  $\frac{\hbar}{\mu c} = \alpha a_0$ ، خواهیم داشت

$$\frac{H_B}{H_{S-O}} \sim \frac{1}{\alpha} \frac{B}{e} \frac{a_0^2}{e} \sim 10^{-4} B. \quad (52)$$

در نتیجه در میدان های مغناطیسی متعارف که از  $10^4$  گاوس کوچکترند، اثر زیمان بسیار کوچکتر از اثر جفتیدگی اسپین-مدار است. به همین جهت می بایست اثر زیمان را برای حالت های انرژی اتم هیدروژن واقعی بدست بیاوریم و نه اتم هیدروژن ایده آل. البته از جفتیدگی اسپین-اسپین می توانیم صرف نظر کنیم زیرا می دانیم که اثر آن حدوداً  $2000$  بار کوچکتر از جفتیدگی اسپین مدار است. ویژه حالت های انرژی برای اتم هیدروژن ایده آل با چهار عدد کوانتومی  $|n, j, m_j = m + \frac{1}{2}, l\rangle$  که در آن  $j = l \pm \frac{1}{2}$  مشخص می شوند و می دانیم که طیف انرژی نسبت به  $m_j$  واگنی دارد. مطابق معمول نخستین سوالی که باید از خود بپرسیم آن است که آیا در این پایه پتانسیل اختلال قطری است یا خیر؟ پاسخ این سوال مثبت است زیرا پتانسیل اختلال با عملگر  $J_z$  جابجا می شود. بنابراین خواهیم داشت:

$$\begin{aligned} \Delta E_{n,j,m+\frac{1}{2},l} &= \langle n, j, m + \frac{1}{2}, l | H_B | n, j, m + \frac{1}{2}, l \rangle = \frac{e}{2\mu c} \langle n, j, m + \frac{1}{2}, l | J_z + S_z | n, j, m + \frac{1}{2}, l \rangle \\ &= \frac{e}{2\mu c} \left( m + \frac{1}{2} + \langle n, j, m + \frac{1}{2}, l | S_z | n, j, m + \frac{1}{2}, l \rangle \right). \end{aligned} \quad (53)$$

اما از درس مربوط به جمع تکانه زاویه ای می دانیم که

$$|j = l + \frac{1}{2}, m + \frac{1}{2}, l\rangle = \alpha_{l,m}|l, m\rangle|+\rangle + \beta_{l,m}|l, m + 1\rangle|-\rangle,$$

$$|j = l - \frac{1}{2}, m + \frac{1}{2}, l\rangle = \beta_{l,m}|l, m\rangle|+\rangle - \alpha_{l,m+1}|l, m + 1\rangle|-\rangle, \quad (54)$$

که در آن

$$\alpha_{l,m} = \sqrt{\frac{l+m+1}{2l+1}}, \quad \beta_{l,m} = \sqrt{\frac{l-m}{2l+1}}. \quad (55)$$

با استفاده از این رابطه براحتی معلوم می شود که

$$\langle n, j, m + \frac{1}{2}, l | S_z | n, j, m + \frac{1}{2}, l \rangle = \alpha_{l,m}^2 - \beta_{l,m}^2 = \frac{2m+1}{2l+1} \quad j = l + \frac{1}{2}$$

$$\langle n, j, m + \frac{1}{2}, l | S_z | n, j, m + \frac{1}{2}, l \rangle = \beta_{l,m}^2 - \alpha_{l,m}^2 = -\frac{2m+1}{2l+1} \quad j = l - \frac{1}{2}. \quad (56)$$

در نتیجه بدست می آوریم

$$\Delta E_{n, j=l+\frac{1}{2}, m+\frac{1}{2}, l} = \frac{e}{2\mu c} \frac{2l+2}{2l+1} (2m+1), \quad (57)$$

و

$$\Delta E_{n, j=l-\frac{1}{2}, m+\frac{1}{2}, l} = \frac{e}{2\mu c} \frac{2l}{2l+1} (2m+1). \quad (58)$$

هر دو رابطه را می توان در رابطه زیر گنجانند که در آن  $m_j = m + \frac{1}{2}$

$$\Delta E_{n, j, m_j, l} = \frac{2e}{\mu c} \frac{j + \frac{1}{2}}{2l+1} m_j. \quad (59)$$

## درس هفدهم: روش وردشی

### ۱ مقدمه

روش وردشی یا *Variational Method* روشی است که به کمک آن می توانیم یک حد بالا برای انرژی حالت پایه یک هامیلتونی پیدا کنیم به این معنا که می توانیم بگوییم انرژی حالت پایه هرچه که باشد، از یک مقدار معین کمتر است. این روش محتاج حل یک معادله دیفرانسیل و یا قطری کردن هامیلتونی نیست و تنها نیازمند محاسبه متوسط هامیلتونی روی یک حالت اولیه است که آن را حالت یا تابع موج آزمایشی *Trial Wave Function* می گوئیم. هرچه که تابع موج آزمایشی خود را با دید فیزیکی بهتری انتخاب کنیم، می توانیم از روش وردشی استفاده بهتری ببریم. در این درس تنها به ذکر دو قضیه اساسی در روش وردشی اکتفا می کنیم. کاربردهای این روش را در درس های آینده خواهیم دید.

### ۲ دوقضیه اساسی در روش وردشی

قضیه: اگر  $E_0$  انرژی حالت پایه یک هامیلتونی باشد آنگاه به ازای هر حالت دلخواه  $|\psi\rangle$  همواره نامساوی زیر برقرار است:

$$\frac{\langle \psi | H | \psi \rangle}{\langle \psi | \psi \rangle} \geq E_0. \quad (1)$$

اثبات: ویژه حالت های هامیلتونی را با  $|n\rangle$  و انرژی آنها را با  $E_n$  نشان می دهیم. می توانیم  $|\psi\rangle$  را برحسب ویژه حالت های هامیلتونی بسط دهیم.

$$|\psi\rangle = \sum_n c_n |n\rangle. \quad (2)$$

در این صورت طرف چپ نامساوی به صورت زیر درمی آید:

$$\frac{\langle \psi | H | \psi \rangle}{\langle \psi | \psi \rangle} = \frac{\sum_n E_n |c_n|^2}{\sum_n |c_n|^2} \geq \frac{E_0 \sum_n |c_n|^2}{\sum_n |c_n|^2} = E_0 \quad (3)$$

که در قدم آخر از نامساوی  $E_n \geq E_0 \quad \forall n$  استفاده کرده ایم.

در عمل وقتی که از این قضیه استفاده می کنیم سعی می کنیم که یک بردار حالت که به یک یا چند پارامتر پیوسته بستگی دارد انتخاب کنیم و کمینه  $\frac{\langle \psi | H | \psi \rangle}{\langle \psi | \psi \rangle}$  را حساب کنیم. به این ترتیب یک حد بالا برای انرژی حالت پایه هامیلتونی بدست می آوریم.

مثال ۱: در این مثال یک حد بالا برای انرژی حالت پایه نوسانگر ساده بدست می آوریم. می دانیم که هامیلتونی به شکل زیر است

$$H = \frac{-\hbar^2}{2m} \frac{d^2}{dx^2} + \frac{1}{2} m \omega^2 x^2. \quad (4)$$

تابع موج زیر را در نظر می گیریم

$$\psi(x) = e^{-\alpha x^2} \quad (5)$$

که در آن  $\alpha$  یک پارامتر آزاد و مثبت است. برای محاسبه تابع  $F(\psi) \equiv F(\alpha)$  به انتگرال های زیر احتیاج داریم:

$$\int_{-\infty}^{\infty} e^{-2\alpha x^2} dx = \sqrt{\frac{\pi}{2\alpha}}, \quad \int_{-\infty}^{\infty} x^2 e^{-2\alpha x^2} dx = \frac{1}{4\alpha} \sqrt{\frac{\pi}{2\alpha}} \quad (6)$$

با استفاده از شکل هامیلتونی بدست می آوریم

$$F(\alpha) = \int_{-\infty}^{\infty} e^{-2\alpha x^2} \left[ \frac{\hbar^2 \alpha}{m} + \left( \frac{1}{2} m \omega^2 - \frac{2\hbar^2 \alpha^2}{m} \right) x^2 \right], \quad (7)$$

و با محاسبه انتگرال ها

$$F(\alpha) = \frac{m\omega^2}{8\alpha} + \frac{\hbar^2 \alpha}{2m} \quad (8)$$

کمینه این تابع در نقطه  $\alpha_0 = \frac{m\omega}{2\hbar}$  اتفاق می افتد و مقدار تابع در آن نقطه برابر است با

$$F(\alpha_0) = \frac{1}{2} \hbar \omega. \quad (9)$$

بنابراین بدست می آوریم

$$E_0 \leq \hbar \omega. \quad (10)$$

در این مثال می بینیم که حد بالایی که برای انرژی حالت پایه بدست آورده ایم دقیقاً انرژی حالت پایه است. تابع آزمایشی ای که با آن شروع کردیم پس از بهنجار کردن در این نقطه برابر می شود با

$$\psi_0(x) = \sqrt{\frac{m\omega}{\pi\hbar}}^{\frac{1}{4}} e^{-\frac{m\omega}{2\hbar}x^2}, \quad (11)$$

که همان تابع موج حالت پایه نوسانگر است. این مثال نشاندهنده کیفیت کلی تری است که در قضیه زیر بیان شده است.

**قضیه ریتز (Reitz):** تابع  $\langle H | \psi \rangle := \langle H \rangle$  را که در آن  $\psi$  یک حالت بهنجار است، در نظر بگیرید. این تابع در نقاطی دارای اکسترمم است که ویژه بردار هامیلتونی باشند. به عبارت دیگر تغییرات درجه اول این تابع در این نقاط صفر است.

**اثبات:** با توجه به شرطی که برای بهنجاری بودن بردار  $|\psi\rangle$  داریم می بایست تغییرات درجه اول تابع  $F := \langle H \rangle - \epsilon \langle \psi | \psi \rangle$  را که در آن  $\epsilon$  یک ضریب لاگرانژ است حساب کنیم. تغییرات درجه اول تابع  $F(\psi)$  را حساب می کنیم. داریم

$$\delta F = \langle \delta\psi | H | \psi \rangle + \langle \psi | H | \delta\psi \rangle - \epsilon \langle \delta\psi | \psi \rangle - \epsilon \langle \psi | \delta\psi \rangle. \quad (12)$$

حال قرار می دهیم

$$|v\rangle := (H - \epsilon)|\psi\rangle. \quad (13)$$

در این صورت رابطه بالا به شکل زیر درمی آید:

$$\langle v | \delta\psi \rangle + \langle \delta\psi | v \rangle = 0 \quad \forall \delta\psi. \quad (14)$$

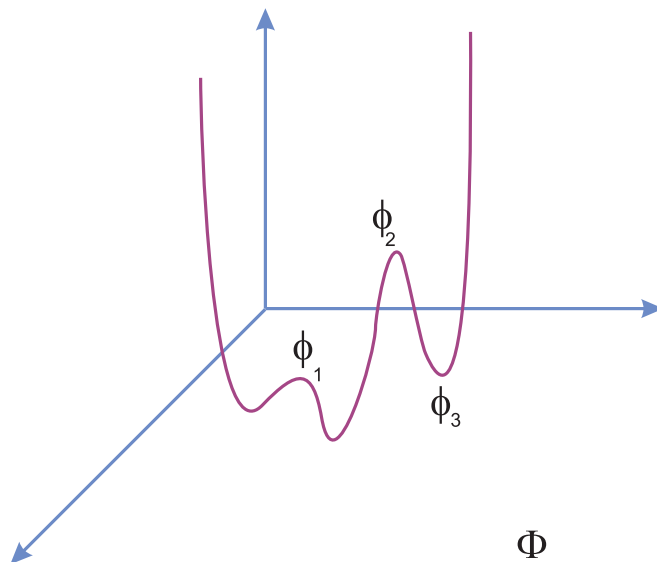
از آن جا که این رابطه هم برای  $\delta\psi$  و هم برای  $i\delta\psi$  می بایست برقرار باشد با نوشتن دو رابطه و جمع کردن آن ها بایکدیگر به این نتیجه می رسیم که

$$\langle v | \delta\psi \rangle = 0 \quad \forall \delta\psi \quad (15)$$

اما این شرط فقط وقتی برقرار می شود که خود بردار  $|v\rangle$  برابر با صفر باشد یعنی  $H|\psi\rangle = \epsilon|\psi\rangle$ . بنابراین نقطه ای که تابع  $F$  اکسترمم است همان نقطه ای است که ویژه بردار هامیلتونی است و ضریب لاگرانژ نیز در این جا همان ویژه مقدار انرژی هامیلتونی است. شکل یک قضیه ریتز را بیان می کند.

**نکته مهم:** باید دقت کنیم که یک نقطه اکسترمم تنها وقتی یک ویژه بردار دقیق هامیلتونی را بدست می دهد که بتوانیم عبارت  $F(\psi)$  را در همه جهات در فضای توابع بردش دهیم. این امر از اثبات قضیه نیز واضح است به این معنا که نقطه اکسترمم

$$\langle \phi | H | \phi \rangle$$



شکل ۱: بنابراین قضیه ریتز، نقاط فرین (اکسترمم) تابع  $\langle \phi | H | \phi \rangle$  همان ویژه بردارهای هامیلتونی هستند. در این شکل  $\phi_1$ ،  $\phi_2$  و  $\phi_3$  سه نقطه فرین و بنابراین سه ویژه بردار مختلف از هامیلتونی هستند.

وقتی منجر به معادله ویژه مقداری می شود که  $\delta\psi$  کاملاً دلخواه باشد. به این ترتیب قضیه ریتز تنها یک ارزش نظری دارد. ولی می توان از این قضیه برای یافتن ویژه بردارها و ویژه مقدارهای تقریبی تابع موج استفاده کرد، و این موقعی است که یک تابع آزمایشی را که به یک یا چند پارامتر وابسته است در عبارت  $\langle \psi | H | \psi \rangle$ . قرار داده و مقدار اکسترم آن را پیدا کنیم. هرچه که تعداد پارامترهای قابل وردش در تابع بیشتر باشد، امکان اینکه تقریب بهتری از ویژه تابع هامیلتونی بدست بیاوریم بیشتر خواهد بود.

### ۳ استفاده از روش وردشی برای حل معادله شرودینگر چند ذره ای: روش هارتری

نخست یک مثال ساده دو ذره ای را بررسی می کنیم. مثال چند ذره ای تعمیم ساده ای از محاسبات این مثال ساده خواهد بود. یک سیستم دو ذره ای با هامیلتونی زیر توصیف می شود:

$$H = \frac{P_1^2}{2m} + \frac{P_2^2}{2m} + V(X_1) + V(X_2) + W(|X_1 - X_2|), \quad (16)$$

که در آن  $W(|X_1 - X_2|)$  پتانسیل برهم کنش بین دو ذره است و به فاصله دو ذره بستگی دارد. می توانیم این هامیلتونی را به شکل زیر بازنویسی کنیم:

$$H = H_1 + H_2 + W(|X_1 - X_2|), \quad (17)$$

که در آن  $H_1$  و  $H_2$  پتانسیل هایی همانند هستند که به ترتیب روی ذره یک و ذره دو اثر می کنند، یعنی

$$H_1 = \frac{P_1^2}{2m} + V(X_1), \quad H_2 = \frac{P_2^2}{2m} + V(X_2). \quad (18)$$



به عنوان یک تابع آزمایشی تابع موج زیر را انتخاب می کنیم:

$$\psi(x_1, x_2) = \phi_1(x_1)\phi_2(x_2), \quad (19)$$

که در آن  $\phi_1$  و  $\phi_2$  توابع تک ذره‌ای دلخواه هستند. دقت کنید که در این جا تعداد پارامترهایی که در تابع موج آزمایشی به کار رفته اند بی نهایت است، زیرا شکل تابع های  $\phi_1$  و  $\phi_2$  کاملاً دلخواه هستند. با این وجود نباید انتظار داشته باشیم که با این روش تابع موج دقیق را بدست بیاوریم، زیرا خود را به توابع ضربی محدود کرده ایم و این یعنی این که وردش را در تمامی فضای توابع انجام نمی دهیم. می دانیم که این دو تابع می بایست بهنجارباشند به این معنا که

$$\langle \phi_1 | \phi_1 \rangle = 1 \quad \langle \phi_2 | \phi_2 \rangle = 1. \quad (20)$$

مطابق با اصل وردشی می بایست تابع زیر را فرینه کنیم:

$$F(\phi_1, \phi_2) := \langle \psi | H | \psi \rangle - \epsilon_1 \langle \phi_1 | \phi_1 \rangle - \epsilon_2 \langle \phi_2 | \phi_2 \rangle. \quad (21)$$

با توجه به شکل تابع وردشی این عبارت به صورت زیر در می آید:

$$F(\phi_1, \phi_2) = \langle \phi_1 | H_1 | \phi_1 \rangle + \langle \phi_2 | H_2 | \phi_2 \rangle - \epsilon_1 \langle \phi_1 | \phi_1 \rangle - \epsilon_2 \langle \phi_2 | \phi_2 \rangle + \langle \phi_1, \phi_2 | W | \phi_1, \phi_2 \rangle, \quad (22)$$

که در آن  $\langle \phi_1, \phi_2 | W | \phi_1, \phi_2 \rangle$  نماد خلاصه‌ای برای عبارت زیراست:

$$\langle \phi_1, \phi_2 | W | \phi_1, \phi_2 \rangle := \int dx_1 \int dx_2 \phi_1^*(x_1) \phi_2^*(x_2) W(|x_1 - x_2|) \phi_1(x_1) \phi_2(x_2). \quad (23)$$

وردش یک یک جملات را بسادگی می توان حساب کرد:

$$\delta \langle \phi_1 | \phi_1 \rangle = \int \delta \phi_1^*(x) \phi_1(x) dx + cc, \quad (24)$$

که علامت  $cc$  در این جمله و بقیه جملات دیگر نشانه‌ی مزدوج مختلط است:

$$\delta \langle \phi_2 | \phi_2 \rangle = \int \delta \phi_2^*(x) \phi_2(x) dx + cc, \quad (25)$$

$$\delta \langle \phi_1 | H_1 | \phi_1 \rangle = \int \delta \phi_1^*(x) \hat{H}_1 \phi_1(x) dx + cc, \quad (26)$$

که در آن منظور از  $\hat{H}_1$  عملگر  $-\frac{\hbar^2}{2m} \frac{d^2}{dx_1^2} + V(x_1)$  است. هم چنین

$$\delta \langle \phi_2 | H_2 | \phi_2 \rangle = \int \delta \phi_2^*(x) \hat{H}_2 \phi_2(x) dx + cc, \quad (27)$$

و بالاخره

$$\delta \langle \phi_1, \phi_2 | W | \phi_1, \phi_2 \rangle = \int dx_1 \int dx_2 (\delta \phi_1^*(x_1) \phi_2^*(x_2) + \phi_1^*(x_1) \delta \phi_2^*(x_2)) W(x_1, x_2) \phi_1(x_1) \phi_2(x_2) + cc. \quad (28)$$

با کنار هم گذاردن تمام این جملات به عبارت زیر برای تغییرات درجه اول  $F$  می رسیم:

$$\begin{aligned} \delta F = & \int dx_1 \delta \phi_1^*(x_1) \left[ \hat{H}_1 \phi_1(x_1) + \int dx_2 W(x_1, x_2) |\phi_2(x_2)|^2 \phi_1(x_1) - \epsilon_1 \phi_1(x_1) \right] \\ & + \int dx_2 \delta \phi_2^*(x_2) \left[ \hat{H}_2 \phi_2(x_2) + \int dx_1 W(x_1, x_2) |\phi_1(x_1)|^2 \phi_2(x_2) - \epsilon_2 \phi_2(x_2) \right] + c.c. \end{aligned} \quad (29)$$

برای آنکه تغییرات درجه اول  $F$  برای هر تغییری از  $\phi_1$  و  $\phi_2$  برابر با صفر باشد، می بایست عبارت های داخل کرشه جداگانه برابر با صفر شوند، یعنی اینکه توابع موج  $\phi_1$  و  $\phi_2$  می بایست در معادلات جفت شده ی زیر صدق کنند:

$$\begin{aligned} \hat{H}_1 \phi_1(x_1) + \int dx_2 W(x_1, x_2) |\phi_2(x_2)|^2 \phi_1(x_1) &= \epsilon_1 \phi_1(x_1) \\ \hat{H}_2 \phi_2(x_2) + \int dx_1 W(x_1, x_2) |\phi_1(x_1)|^2 \phi_2(x_2) &= \epsilon_2 \phi_2(x_2). \end{aligned} \quad (30)$$

این معادلات تعبیر فیزیکی روشنی دارند. معادله یک بیان می کند که تابع موج ذره ی یک یعنی  $\phi_1(x_1)$  در یک معادله تک ذره ای شرودینگر صدق می کند با این تفاوت که پتانسیل آن علاوه بر جمله ی  $V(x_1)$  یک جمله موثر ناشی از برهم کنش این ذره با ذره دوم را نیز در بردارد. بنابراین معادلات بالا را می توان به شکل زیر نوشت:

$$\begin{cases} \left[ -\frac{\hbar^2}{2m} \frac{d^2}{dx_1^2} + V_{eff}(x_1) \right] \phi_1(x_1) = \epsilon_1(x_1) \\ \left[ -\frac{\hbar^2}{2m} \frac{d^2}{dx_2^2} + V_{eff}(x_2) \right] \phi_2(x_2) = \epsilon_2(x_2), \end{cases} \quad (31)$$

که در آن

$$V_{eff}(x_1) = V(x_1) + \int dx_2 W(x_1, x_2) |\phi_2(x_2)|^2$$

$$V_{eff}(x_2) = V(x_2) + \int dx_1 W(x_1, x_2) |\phi_1(x_1)|^2. \quad (32)$$

بدین ترتیب توابع موج  $\phi_1, \phi_2$  در معادلات شرودینگر تک ذره‌ای صدق می‌کنند ولی پتانسیل این معادلات یک پتانسیل موثر است که در عبارت آن تابع موج ذره دیگر نیز وارد می‌شود. اگر پتانسیل  $V_{eff}(x_1)$  را به عنوان مثال در نظر بگیرید، جمله اضافه شده به پتانسیل اصلی تعبیر روشنی دارد، زیرا  $|\phi_2(x_2)|^2 dx_2$  احتمال آن است که ذره دوم در فاصله‌ی  $(x_2, x_2 + dx_2)$  باشد و  $W(x_1, x_2)$  انرژی پتانسیلی است که در این وضعیت بین دو ذره وجود دارد. بنابراین عبارت  $\int dx_2 W(x_1, x_2) |\phi_2(x_2)|^2$  متوسط انرژی پتانسیل بین دو ذره است. همین تعبیر برای معادله شرودینگر دوم نیز برقرار است. دقت کنید که اگر چه بجای یک معادله شرودینگر دو ذره‌ای دو معادله شرودینگر تک ذره‌ای بدست آورده ایم ولی برای این سادگی بهایی پرداخت کرده‌ایم. اول آنکه دو معادله به هم جفت شده و از هم مستقل نیستند. دوم آنکه این معادلات خطی نیستند، یعنی توان‌های بالاتر از مرتبه اول از تابع موج هم در آنها وارد شده است. به همین دلیل مجموع دو جواب دیگر یک جواب از معادله شرودینگر نیست. به یک نکته دیگر هم باید اشاره کنیم و آن این که ضرایب تکثیر لاگرانژی یعنی  $\epsilon_1$  و  $\epsilon_2$  نقش انرژی‌های تک ذره‌ها را بازی می‌کنند. باید دقت کنیم که حتی اگر بتوانیم معادلات جفت شده و غیرخطی 31 را به طور دقیق حل کنیم، به معنای این نیست که حل دقیقی از معادله دو ذره‌ای شرودینگر بدست آورده‌ایم، زیرا مجموعه‌توابعی که روی آنها وردش داده ایم در عین این که بزرگ بوده است ولی شامل تمام فضای توابع نمی‌شده است. فهم مستقیم این نکته بسیار ساده است. کافی است که تابع  $\psi(x_1, x_2) = \phi_1(x_1)\phi_2(x_2)$  را در معادله

$$(H_1 + H_2 + W(X_1, X_2))\phi_1(x_1)\phi_2(x_2) = E\phi_1(x_1)\phi_2(x_2) \quad (33)$$

قرار دهیم و از معادلات 31 نیز استفاده کنیم. بنابراین با این روش تنها به یک ویژه بردار تقریبی از معادله شرودینگر می‌رسیم که ارزش نهایی آن را نیز می‌بایست تطبیق نتایج ناشی از آن و داده‌های تجربی معین کنند. ولی به هر حال در غیاب هر گونه روش دقیق برای حل معادله دو ذره‌ای شرودینگر استفاده از این روش می‌تواند به عنوان گام اول بسیار مفید باشد. حال که اصول اساسی این روش را در مورد یک سیستم دو ذره‌ای یاد گرفته‌ایم می‌توانیم آن را بدون انجام محاسبات بیشتر برای یک سیستم  $N$  ذره‌ای به کار ببریم. ما تنها نتایج را می‌نویسیم زیرا محاسبات آن تعمیم سراسری از مثال دو ذره‌ای است و خواننده خود می‌تواند محاسبات لازم را انجام دهد. برای یک سیستم  $N$  ذره‌ای داریم:

$$H = H_1 + H_2 + \dots + H_N + \sum_{1 \leq i < j \leq N} W(|X_i - X_j|). \quad (34)$$

قرار می‌دهیم:

$$\psi(x_1, x_2, \dots, x_N) \quad (35)$$

که در آن توابع تک ذره‌ای  $\phi_1$  تا  $\phi_N$  همگی بهنجار هستند. در این صورت وردش نسبت به توابع موج تک ذره‌ای منجر به دستگاه معادلات جفت شده‌ی زیر می‌شود:

$$\left[ \frac{-\hbar^2}{2m} \frac{\partial^2}{\partial x_i^2} + V_{eff}(x_i) \right] \phi_i(x_i) = \epsilon_i \phi_i(x_i), \quad i = 1, 2, \dots, N, \quad (36)$$

که در آن

$$V_{eff}(x_i) = V_i(x_i) + \frac{1}{2} \sum_{i \neq j} \int W(|x_i - x_j|) |\phi_j(x_j)|^2 dx_j, \quad (37)$$

پتانسیل موثری است که روی ذره  $i$  اثر می کند. مجموعه معادلاتی که به این صورت بدست می آیند، به معادلات هارتری موسوم است.

### ۱.۳ ضمیمه: تابعی ها و وردش نسبت به یک تابع

در این ضمیمه به معرفی تابعی  $Functional$  و مشتق تابعی  $Functional Derivative$  می پردازیم. خواندن این ضمیمه برای فهم متن این درس الزامی نیست، ولی دانشجوی علاقمند می تواند با مطالعه این ضمیمه به درک بهتری از وردش یک عبارت نسبت به یک تابع برسد. در حقیقت به زبان دقیق تر، عبارتی که از آن صحبت می کنیم یک تابعی و وردش آن عبارت نسبت به آن تابع مشتق تابعی خوانده می شود. وقتی که می گوئیم وردش یا تغییرات درجه اول یک عبارت نسبت به یک تابع برابر با صفر باشد، منظور این است که مشتق آن تابعی نسبت به تابعی که متغیر آن است برابر با صفر باشد.

به زبان ریاضی تابعی یا  $Functional$ ، نگاشتی است که متغیر آن یک تابع و حاصل آن یک عدد است. مثالهایی از تابعی ها عبارتند از:

$$F(\phi) := \int_a^b \phi(x) dx, \quad (38)$$

$$G(\phi) := \int_a^b e^{-\phi^2(x)} dx \quad (39)$$

$$F_{x_0}(\phi) := \phi(x_0), \quad (40)$$

در مثال سوم، تابعی  $F_{x_0}$  هر تابع مثل  $\phi$  را به عنوان متغیر می پذیرد و مقدار آن را در نقطه  $x_0$  تحویل می دهد. یک تابعی را می توان به عنوان حد یک تابع چند متغیره وقتی که تعداد متغیرهای آن به سمت بی نهایت میل کرده است نیز نگاه کرد. به عبارت دیگر می توانیم یک تابع مثل  $\phi(x)$  را با مقادیر آن در رشته ای از نقاط نزدیک به هم مثل  $\{\phi_n\}$ . بنابراین یک تابعی را می توان به عنوان یک تابع  $N$  متغیره از متغیرهای  $(\phi_1, \dots, \phi_N)$  در حدی که  $N$  به سمت بی نهایت میل می کند نگاه کرد. با این دیدگاه خواننده براحتمی می تواند مفهوم مشتق تابعی یا همان وردش را نیز دریابد. برای کامل بودن در زیر نشان می دهیم که چگونه در حد  $N \rightarrow \infty$  مفاهیم مربوط به تابع به مفاهیم مربوط به تابعی تبدیل می شوند:

$$\phi_n \rightarrow \phi(x)$$

$$(\phi_1, \phi_2, \dots, \phi_N) \rightarrow \phi$$

$$F(\phi_1, \phi_2, \dots, \phi_N) \longrightarrow F[\phi]$$

$$F(\phi_1 + \epsilon_1, \dots, \phi_N + \epsilon_N) = F(\phi_1, \dots, \phi_N) + \sum_{n=1}^N \frac{\partial F}{\partial \phi_n} \epsilon_n \longrightarrow F[\phi + \epsilon] = F[\phi] + \int \frac{\delta F}{\delta \phi(x)} \epsilon(x) dx$$

$$\frac{\partial F}{\partial \phi_n} \longrightarrow \frac{\delta F}{\delta \phi(x)} \quad (41)$$

از رابطه ماقبل آخر می توان عبارت صریحی برای مشتق تابعی بدست آورد. دراین رابطه بجای تابع  $\epsilon(x)$  قرار می دهیم  $\epsilon_{x_0}(x) := \epsilon \delta(x - x_0)$  که در آن  $\epsilon$  یک پارامتر ثابت ولی دلخواه و  $x_0$  یک نقطه دلخواه در محدوده تعریف تابع  $\phi(x)$  است. در نتیجه بدست می آوریم:

$$F[\phi + \epsilon_{x_0}] = F[\phi] + \epsilon \frac{\delta F}{\delta \phi(x_0)} \quad (42)$$

و در نتیجه به تعریف زیر از مشتق تابعی می رسیم:

$$\frac{\delta F}{\delta \phi(x_0)} = \lim_{\epsilon \rightarrow 0} \frac{F[\phi + \epsilon_{x_0}] - F[\phi]}{\epsilon} \quad (43)$$

این تعریف تعمیم سرراست تعریف زیر از مشتق جزئی یک تابع است و بیان می کند که مقدار تابعی  $F$  چه مقدار تغییر می کند اگر تابع  $\phi$  را تنها در نقطه  $x_0$  تغییر دهیم. بهترین راه برای اثبات خواص مشتق تابعی استفاده از همان رابطه ماقبل آخر در معادلات 41 است. در زیر نمونه ای از روابطی را که خواننده می تواند براحتی با استفاده از آن تعریف ثابت کند بدست می دهیم:

$$F[\phi] = \phi(x_0) \longrightarrow \frac{\delta F}{\delta \phi(x)} = \delta(x - x_0)$$

$$F[\phi] = \int_a^b K(y) \phi(y) dy \longrightarrow \frac{\delta F}{\delta \phi(x)} = K(x) \quad \text{if } x \in (a, b)$$

$$F[\phi] = \int dy \int dz \phi(y) K(y, z) \phi(z) \longrightarrow \frac{\delta F}{\delta \phi(x)} = \int dz K(x, z) \phi(z) + \int dy K(y, x) \phi(y)$$

$$\frac{\delta(F + G)}{\delta \phi(x)} = \frac{\delta F}{\delta \phi(x)} + \frac{\delta G}{\delta \phi(x)}$$

$$\frac{\delta FG}{\delta \phi(x)} = F[\phi] \frac{\delta G}{\delta \phi(x)} + \frac{\delta F}{\delta \phi(x)} G[\phi]$$

$$\frac{\delta g(F[\phi])}{\delta \phi(x)} = \frac{\partial g(F[\phi])}{\partial F[\phi]} \frac{\delta F[\phi]}{\delta \phi(x)}. \quad (44)$$

در رابطه‌ی آخر،  $F$  یک تابعی و  $h$  یک تابع معمولی است. به عنوان مثالی از رابطه آخر داریم:

$$\frac{\delta e^{\phi^2(x)}}{\delta \phi(y)} = 2\delta(x-y)\phi(x) \times e^{\phi^2(x)}. \quad (45)$$

بنابراین می‌توان قضیه ریتز را به شکل زیر نیز بیان کرد. نقاطی که در آن مشتق تابعی  $F[\phi] := \langle \phi | H | \phi \rangle - \epsilon \langle \phi | \phi \rangle$  صفر می‌شوند، ویژه بردارهای هامیلتونی هستند.

$$\frac{\delta F[\phi]}{\delta \phi} = 0 \quad \leftrightarrow \quad H|\phi\rangle = \epsilon|\phi\rangle. \quad (46)$$

## درس هجدهم : ذرات یکسان

### ۱ ذرات یکسان و اصل طرد پاولی

در فیزیک کلاسیک همواره می توانیم مجموعه ای از ذرات یکسان را با دنبال کردن مسیرهایشان مشخص کنیم زیرا پذیرفته ایم که مکان و سرعت هر ذره یعنی مسیر آن با دقت دلخواه قابل اندازه گیری است. اگر بر فرض هر ذره را با برچسب یا شماره ای علامت زده باشیم، همواره می توانیم در طول زمان مسیر ذرات را دنبال کنیم و وقتی که این ذرات به هم نزدیک شده باهم برهم کنش می کنند و سپس از هم دور می شوند با دنبال کردن شماره ها ذرات را از یکدیگر تمیز دهیم. اما در دنیای میکروسکوپی که فیزیک کوانتومی سینماتیک و دینامیک ذرات را تعیین می کند، چنین چیزی ممکن نیست زیرا یک ذره نه با مسیر خود بلکه با تابع موجی که در فضا گسترده است تعیین می شود. تصور کنید که مجموعه ای از ذرات یکسان کاملاً دور از هم قرار گرفته باشند. هر کدام از این ذرات با یک بسته موج سه بعدی، چیزی مثل یک ابر یا مه، که به احتمال حضور آن وابسته است مشخص می شود. می توانیم فرض کنیم که ذرات آنقدر از هم دورند که ابرهای احتمال آنها با یکدیگر تداخل نمی کنند. در این صورت می توانیم هر ابر احتمال را با یک شماره معین کنیم و در ذهن خود این شماره ها را دنبال کنیم. با سپری شدن زمان بسته های موج یا ابرهای احتمال این ذرات به یکدیگر نزدیک شده درهم ادغام می شوند و تغییر شکل می دهند و سپس از هم جدا می شود. حال می پرسیم که کدام ابر متعلق به کدام ذره است؟ واضح است که به این پرسش نمی توانیم پاسخ قطعی بدهیم. بنابراین در دنیای میکروسکوپی یک مجموعه از ذرات یکسان الزاماً از یکدیگر تمیز پذیر نیستند. در نتیجه تابع موجی مثل  $\Psi(r, r')$  که در آن مکان ذره ۱ و  $r'$  مکان ذره ۲ را نشان دهد در مکانیک کوانتومی بی معناست. آنچه که می توانیم بگوییم آن است که یکی از ذرات در مکان  $r$  و دیگری در مکان  $r'$  است. چنین تابع موجی به ناگزیر باید دارای این خاصیت باشد که مربع آن که نشان دهنده احتمال حضور ذرات است تحت جایگشت دو ذره تغییر نکند، به عبارت دیگر می بایست در شرط زیر صدق کند:

$$|\Psi(r, r')|^2 = |\Psi(r', r)|^2. \quad (1)$$

این امر به این معناست که خود تابع موج تحت جایگشت دو ذره به ترتیب زیر رفتار کند

$$\Psi(r, r') = e^{i\phi} \Psi(r', r). \quad (2)$$

اما می دانیم که اگر جایگشت دو ذره را دو بار انجام دهیم مثل این است که هیچ کاری نکرده باشیم بنابراین می بایست داشته باشیم

$$\Psi(r, r') = e^{2i\phi} \Psi(r, r'). \quad (3)$$

و در نتیجه  $e^{2i\phi} = 1$  و  $e^{i\phi} = \pm 1$ . بنابراین تابع موج دو ذره یکسان می بایست دارای خاصیت زیر باشد:

$$\Psi(r, r') = \pm \Psi(r', r). \quad (4)$$

بحث ما تا اینجا از یک نقطه نظر اساسی ناقص است و آن اینکه توصیف کامل یک ذره تنها با تابع موج فضایی آن امکان پذیر نیست، بلکه حالت یک ذره به طور کامل در فضای هیلبرتی صورت می گیرد که هم مختصات فضایی و هم مختصات اسپینی در آن قابل نمایش باشد. به همین دلیل است که برای توصیف دو ذره متفاوت بجای تابع موج  $\Psi(\mathbf{r}, \mathbf{r}')$  می بایست از تابع موج  $\Psi_{\alpha, \beta}(\mathbf{r}, \mathbf{r}')$  استفاده کرد. این تابع موج احتمال این را می دهد که ذره شماره ۱ در مکان  $\mathbf{r}$  و اسپین اش در وضعیت  $\alpha$  باشد و ذره شماره ۲ در نقطه  $\mathbf{r}'$  و اسپین اش در وضعیت  $\beta$  باشد. برای ذرات یکسان این توصیف می بایست اصلاح شود زیرا نمی توان ذرات را حتی با یک برچسب ذهنی از یکدیگر تمیز داد. بنابراین تنها می توانیم بگوییم که یک ذره در نقطه  $\mathbf{r}$  با اسپین  $\alpha$  وجود دارد و یک ذره دیگر در نقطه  $\mathbf{r}'$  با اسپین  $\beta$ . بنابراین، تابع موج این دو ذره باید دارای این خاصیت باشد که مربع آن تحت جایگشت دو ذره تغییر نکند، به این معنا که

$$|\Psi_{\alpha, \beta}(r, r')|^2 = |\Psi_{\beta, \alpha}(r', r)|^2. \quad (5)$$

باید دقت کنیم که این جایگشت، جایگشت بین دو ذره یعنی بین برچسب های آن هاست و نه فقط مکان آنها. به همین دلیل است که در توابع موج هر دو طرف در رابطه فوق هنوز ذره ای که در مکان  $\mathbf{r}$  است همچنان اسپین  $\alpha$  و ذره ای که در مکان  $\mathbf{r}'$  است همچنان اسپین  $\beta$  دارد، و تنها نکته ای که این تساوی می خواهد نشان دهد آن است که ما نمی دانیم که آیا آن ذره ای که در نقطه  $\mathbf{r}$  قرار دارد و اسپین اش  $\alpha$  است ذره ۱ است یا ذره ۲. برای تاکید بر این نکته نامساوی زیر را می نویسیم تا نشان دهیم که تساوی تابع موج تحت جایگشت را به چه صورت می بایست نوشت و به چه صورت نمی بایست نوشت:

$$|\Psi_{\alpha, \beta}(r, r')|^2 \neq |\Psi_{\alpha, \beta}(r', r)|^2. \quad (6)$$

در طرف چپ این رابطه ذره ای که در نقطه  $\mathbf{r}$  است اسپین اش  $\alpha$  است و در طرف راست ذره ای که در نقطه  $\mathbf{r}$  است اسپین اش  $\beta$  است و تمیز ناپذیری ذرات هیچ چیزی در باره نسبت این دو تابع موج به ما نمی گوید.

با همان استدلالی که درباره توابع موج فضایی خالص انجام دادیم اکنون نیز می توانیم بنویسیم

$$\Psi_{\alpha, \beta}(r, r') = \pm \Psi_{\beta, \alpha}(r', r). \quad (7)$$

## ۱.۱ قضیه اسپین — آمار

حال مسئله این است که از علامت مثبت و منفی کدام یک را باید انتخاب کرد؟ پاسخ به این سوال در چارچوب مکانیک کوانتومی امکان پذیر نیست. پاسخ این سوال در چارچوب مکانیک کوانتومی نسبیتی و یا نظریه کوانتومی میدانها که در آن ها لوازم تلفیق یک نظریه کوانتومی با نسبیت خاص مورد بررسی قرار می گیرد، طی یک قضیه موسوم به قضیه اسپین — آمار یا



*Spin – Statistics* داده می شود. بنابراین قضیه می بایست برای ذراتی که اسپین آنها صحیح است یعنی بوزون ها علامت مثبت و برای ذراتی که اسپین آنها نیمه صحیح است یعنی فرمیون ها علامت منفی را انتخاب کرد. بنابراین بنابراین تحت جایگشت ذرات تابع موج فرمیونها می بایست پاد متقارن و تابع موج بوزون ها می بایست متقارن باشد. آنچه که برای دو ذره گفتیم برای یک مجموعه  $N$  ذره ای نیز صحیح است به این معنا که

$$\Psi_{\alpha_{\sigma(1)}, \alpha_{\sigma(2)}, \dots, \alpha_{\sigma(N)}}(r_{\sigma(1)}, r_{\sigma(2)}, \dots, r_{\sigma(N)}) = (\pm)^{|\sigma|} \Psi_{\alpha_1, \alpha_2, \dots, \alpha_N}(r_1, r_2, \dots, r_N), \quad (8)$$

که در آن  $\sigma$  یک جایگشت دلخواه،  $|\sigma|$  علامت آن جایگشت (0 برای جایگشت های زوج و 1 برای جایگشت های فرد) است. علامت مثبت برای بوزون ها و علامت منفی نیز برای فرمیون ها در نظر گرفته می شود.

به یک نکته می بایست توجه کنیم و آن اینکه اگر تابع موج به صورت ضرب یک تابع موج فضایی در یک تابع حالت اسپینی باشد، می توان تقارن یا پاد تقارن را روی این دو حالت به طور جداگانه اعمال کرد به طوریکه تابع موج کل تقارن یا پاد تقارن مورد نیاز را داشته باشد.

## ۲ ذرات یکسان درون جعبه

فرض کنید که دو ذره یکسان در یک چاه پتانسیل بی نهایت عمیق به پهنای  $L$  قرار دارند. برای سادگی نیز فرض می کنیم که این دو ذره با هم برهم کنش نمی کنند. در این بخش می خواهیم ویژه حالت ها و ویژه انرژی این سیستم دو ذره ای را پیدا کنیم. بدلیل این که ذرات با هم برهم کنش ندارند ویژه توابع هامیلتونی حاصل ضرب ویژه توابع تک ذره ای و ویژه انرژی ها حاصل جمع انرژی تک ذرات است با این تفاوت که می بایست این توابع را بسته به فرمیون یا بوزون بودن ذرات کاملاً پاد متقارن یا کاملاً متقارن کرد. این کار را جداگانه برای هر حالت انجام می دهیم. در ضمن از درس های مقدماتی می دانیم که توابع موج تک ذرات و انرژی آنها در این چاه پتانسیل عبارت اند از:

$$\phi_n(x) = \sqrt{\frac{2}{L}} \sin \frac{n\pi}{L} x, \quad E_n = \frac{\hbar^2}{2m} \frac{n^2 \pi^2}{L^2}. \quad (9)$$

### ۱.۲ فرمیون ها

اگر این دو ذره فرمیون باشند، می بایست تابع موج کامل آنها کاملاً پاد متقارن باشد. منظور از تابع موج تابع فضایی و اسپینی است. برای سادگی اسپین ذرات را  $1/2$  می گیریم. بنابراین ویژه حالت های این ذرات به ترتیب زیر خواهند بود:

$$\Psi^s(x_1, x_2) = A (\phi_n(x_1)\phi_m(x_2) - \phi_n(x_2)\phi_m(x_1)) \chi^s \quad (10)$$

و یا

$$\Psi^t(x_1, x_2) = A (\phi_n(x_1)\phi_m(x_2) - \phi_n(x_2)\phi_m(x_1)) \chi^t. \quad (11)$$

انرژی این حالت ها برابر است با

$$E_{n,m} = E_n + E_m. \quad (12)$$

در روابط بالا  $\chi^s$  و  $\chi^t$  به ترتیب حالت های اسپین دو ذره هستند:

$$\chi^s = \frac{1}{\sqrt{2}}(|+, -\rangle - |-, +\rangle), \quad (13)$$

و

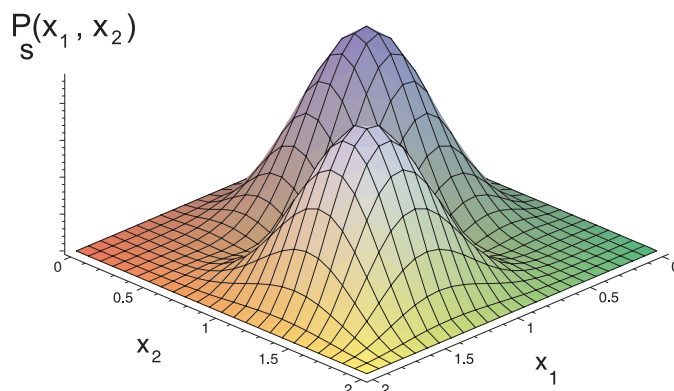
$$\chi^t = \begin{cases} |+, +\rangle, \\ \frac{1}{\sqrt{2}}(|+, -\rangle + |-, +\rangle), \\ |-, -\rangle \end{cases} \quad (14)$$

چگالی احتمال اینکه یک ذره را در نقطه  $x_1$  و دیگری را در نقطه  $x_2$  پیدا کنیم در این دو حالت برابر است با:

$$P^s(x_1, x_2) = A^2 (\phi_n(x_1)\phi_m(x_2) + \phi_n(x_2)\phi_m(x_1))^2 \quad (15)$$

$$P^t(x_1, x_2) = A^2 (\phi_n(x_1)\phi_m(x_2) - \phi_n(x_2)\phi_m(x_1))^2. \quad (16)$$

از رابطه های بالا می بینیم که هرگاه  $x_2$  را به  $x_1$  نزدیک کنیم،  $P^t(x_1, x_2)$  به سمت صفر میل می کند و حال آنکه  $P^s(x_1, x_2)$  به سمت دو برابر چگالی احتمال تک ذره ها میل می کند. معنای این حرف آن است که وقتی دو ذره در حالت  $|+, +\rangle$  یا  $|-, -\rangle$  هستند یعنی اسپین شان یکی است نمی توان آنها را در یک نقطه قرار داد. این همان بیان متعارف و غیردقیق از اصل طرد پاولی است. بدین جهت لفظ غیردقیق را به کار می بریم که حتی وقتی که دو ذره در حالت  $(|+, -\rangle + |-, +\rangle)/\sqrt{2}$  هستند، که اسپین شان با هم متفاوت است باز هم احتمال یافتن دو ذره در یک نقطه صفر است. این نکته یعنی کوچک شدن تابع چگالی احتمال را وقتی که دو ذره را به هم نزدیک می کنیم، می توان به زبان حسی تری نیز بیان کرد و آن اینکه دو ذره که اسپین شان یکی است یا اینکه در حالت *triplet* هستند یک دیگر را دفع می کنند و اگر در حالت *singlet* باشند یکدیگر را جذب می کنند. بنابراین مثل این است که این دودره یک برهم کنش از نوع مغناطیسی بین اسپین هایشان برقرار است که واقعاً مغناطیسی نیست بلکه ناشی از اصل طرد پاولی است. این نوع برهم کنش را برهم کنش تبدالی یا *Exchange Interaction* می گویند. این موضوع را می توان در شکل های ۱ و ۲ ببینیم.



شکل ۱: تابع  $P^s(x_1, x_2)$ ، توزیع احتمال برای دو فرمیون که اسپین آنها در حالت منفرد است. در این حالت به نظر می رسد که این دو ذره یک دیگر را جذب می کنند.

## ۲.۲ سط/فرمی

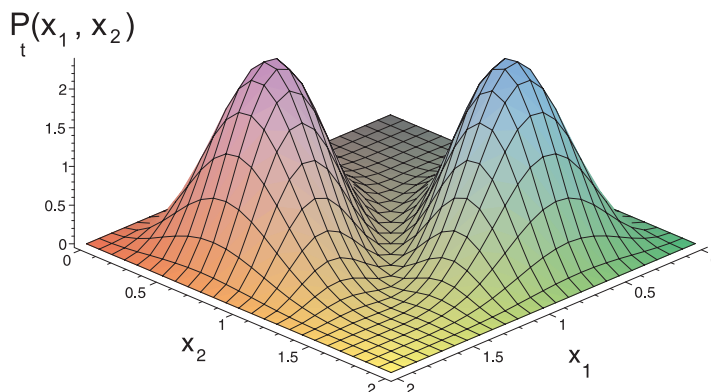
در این بخش می خواهیم با یک مفهوم مهم یعنی سطح فرمی، که در فیزیک حالت جامد بارها به آن برمی خوریم، آشنا شویم. برای سادگی چاه پتانسیل بی نهایت عمیق و یک بعدی با پهنای  $L$  را در نظر می گیریم. فرض کنید که تعدادی فرمیون اسپین  $1/2$  را در این چاه می ریزیم. این فرمیون ها با هم برهم کنش نمی کنند. از خود می پرسیم که حالت پایه این سیستم چیست؟ می دانیم که ویژه حالت های این سیستم، عبارت از حاصل ضرب حالت های تک ذره ای است به شرطی که به درستی پاد متقارن شده باشند. در حالت پایه می بایست مجموع انرژی این ذرات کمترین مقدار خود را دارا باشد. بنابراین اگر اصل طرد پاولی برقرار نبود، همه ذرات به حالت  $n = 1$  می رفتند، ولی بدلیل اصل طرد این حالت تنها دو ذره قبول می کند که می بایست اسپین آنها در خلاف جهت هم باشد. بنابراین ذرات دیگر دو به دو ترازهای بالاتر را اشغال می کنند. اگر  $2N$  ذره داشته باشیم بالاترین تراز می شود، تراز  $N$  ام که انرژی اش برابر است با

$$E_N = \frac{\hbar^2 N^2 \pi^2}{2m L^2}. \quad (17)$$

این بالاترین تراز که در شکل ۳ نشان داده شده است سطح انرژی فرمی خوانده می شود و معمولاً با  $E_F$  نشان داده می شود. انرژی حالت پایه برابر است با:

$$E_{gs} = 2 \sum_{n=1}^N \frac{\hbar^2 n^2 \pi^2}{2m L^2} = 2 \frac{\hbar^2 \pi^2}{2m L^2} \sum_{n=1}^N n^2. \quad (18)$$

در این حالت ساده می توان انرژی حالت پایه را به طور دقیق حساب کرد. از رابطه  $\sum_{n=1}^N n^2 = \frac{1}{6} N(N+1)(2N+1)$



شکل ۲: تابع  $P_t(x_1, x_2)$ ، توزیع احتمال برای دو فرمیون که اسپین آنها در حالت سه تایی است. در این حالت به نظر می رسد که این دو ذره یک دیگر را دفع می کنند.

بدست می آوریم:

$$E_{gs} = \frac{\hbar^2 \pi^2}{12m L^2} N(N+1)(2N+1). \quad (19)$$

محاسبات فوق مربوط به یک چاه پتانسیل یک بعدی است. در یک چاه پتانسیل دوبعدی مربعی به ابعاد  $L$  انرژی ها به ترتیب زیر هستند:

$$E_{n_1, n_2} = \frac{\hbar^2 \pi^2}{2m L^2} (n_1^2 + n_2^2). \quad (20)$$

در این حالت می توانیم سطح فرمی را با توجه به شکل ۴، به صورت زیر محاسبه کنیم. تعداد حالت هایی که انرژی آنها بین  $E$  و  $E + dE$  هستند برابر است با:

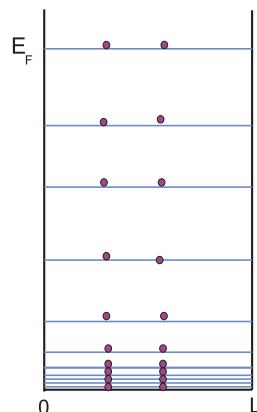
$$g(E)dE = 2 \times \frac{1}{4} d\pi R^2 \quad (21)$$

ضریب  $1/2$  به خاطر اسپین ذرات آمده است. که در آن  $R$  از رابطه زیر بدست می آید:

$$R^2 = \frac{2mEL^2}{\hbar^2 \pi^2} \quad (22)$$

در نتیجه تعداد تراز هایی که انرژی از یک مقدار معین مثل  $E$  کمتر است برابر است با:

$$N(E) = \int_0^E g(\epsilon) d\epsilon = \int_0^E \frac{1}{2} \pi \frac{2mL^2}{\hbar^2 \pi^2} d\epsilon = \frac{1}{2} \pi \frac{2mL^2}{\hbar^2 \pi^2} E. \quad (23)$$



شکل ۳: سطح فرمی برای یک چاه پتانسیل یک بعدی

سطح فرمی جایی است که تمام ترازها تا زیر آن پر شده اند و تمام ترازهای بالای آن خالی هستند. این وضعیت در واقع حالت پایه سیستم بس ذره‌ای را نشان می‌دهد. بنابراین اگر تعداد  $N$  داشته باشیم از رابطه بالا بدست می‌آوریم:

$$N = \frac{1}{2} \pi \frac{2mL^2}{\hbar^2 \pi^2} E_F \quad (24)$$

و یا

$$E_F = \frac{\hbar^2 \pi}{mL^2} N. \quad (25)$$

عبارت  $\frac{N}{L^2}$  برابر با چگالی سطحی تعداد ذرات است. انرژی حالت پایه برابر می‌شود با:

$$E_{gs} = \int_0^{E_F} d\epsilon \epsilon g(\epsilon) = \int_0^{E_F} d\epsilon \epsilon \frac{1}{2} \pi \frac{2mL^2}{\hbar^2 \pi^2} = \frac{1}{2} \pi \frac{2mL^2}{\hbar^2 \pi^2} \frac{1}{2} E_F^2, \quad (26)$$

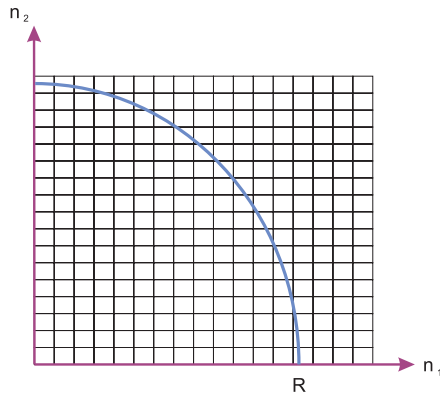
و یا پس از ساده کردن

$$E_{gs} = \frac{1}{2} N E_F. \quad (27)$$

خواننده می‌تواند محاسبات مربوطه را برای یک چاه پتانسیل دو بعدی انجام دهد.

به همین ترتیب می‌توان تکانه فرمی  $P_F$  را حساب کرد. تکانه فرمی در حقیقت تکانه‌ی ذراتی است که در سطح فرمی قرار دارند. دقت کنید که یک تراز انرژی فرمی ممکن است همزمان تکانه مشخصی نداشته باشد، منظور ما از تکانه یک ذره در این حالت متوسط مقدار آن یا مرتبه آن است که در رژیم غیرنسبیتی از رابطه‌ی ساده‌ی

$$P_F = \sqrt{2mE_F}$$



شکل ۴: سطح فرمی برای یک چاه پتانسیل یک بعدی

بدست می آید. هم چنین می توان از دمای فرمی سخن گفت که بنابر نظریه جنبشی یا مکانیک آماری از رابطه‌ی

$$E_F = \frac{3}{2}kT_F \quad (28)$$

بدست می آید که در آن  $d$  بعد سیستم است.

دقت کنید که حالت های برانگیخته حالت هایی هستند که در آن ذرات نزدیک سطح فرمی به ترازهای بالا تر می روند و جای آنها خالی می شود.

اکنون از خود می پرسیم که تابع موج ذرات در حالت پایه چیست؟ برای سادگی خود را به چاه پتانسیل یک بعدی محدود می کنیم. برای شروع فرض کنید که تنها دو ذره در چاه وجود داشته باشند. یعنی  $N = 2$ ، در این صورت حالت پایه برابر است با:

$$\psi(x_1, x_2)\chi = A(\phi_1(x_1)\phi_1(x_2) + \phi_1(x_2)\phi_1(x_1))\chi^s, \quad (29)$$

اصطلاحاً می گوئیم که دو ذره با اسپین های مخالف تراز پایه را اشغال کرده اند. ذرات دیگر می بایست حالت های بالاتر را اشغال کنند. بنابراین اگر سیستم ما بجای دو ذره چهار ذره داشته باشد، آنگاه حالت پایه وضعیتی است که دو ذره با اسپین های مخالف در تراز  $n = 1$  و دو ذره دیگر با اسپین های مخالف در تراز  $n = 2$  قرار می گیرند. نوشتن شکل کامل تابع موج در این حالت کمی دردسر دارد و مفید نیست. مثلاً این تابع چنین شکلی دارد:

$$\psi(x_1, x_2, x_3, x_4) = A(\phi_1(x_1)\phi_1(x_2) + \phi_1(x_2)\phi_1(x_1))\chi_{12}^s + (\phi_2(x_3)\phi_2(x_4) + \phi_2(x_4)\phi_2(x_3))\chi_{34}^s + \dots \quad (30)$$

که در آن علامت  $\dots$  نشان دهنده این است که می بایست جایگشت های کافی با علامت های مناسب به عبارت اول اضافه شود تا تمیزناپذیری کامل ذرات تضمین شود، زیرا عبارت اول بیان کننده این است که دو ذره ۱ و ۲ که در تراز اول

قرار دارند از دو ذره ۳ و ۴ که در تراز دوم قرار دارند تمیز داده شده اند و حال آنکه این ممکن نیست. واضح است که وقتی تعداد ذرات بیشتر می شود نوشتن شکل صریح تابع موج حالت پایه و حالت های برانگیخته از این هم پیچیده تر می شود که در عین حال دارای اطلاع مفیدی هم نیست. برای ما تنها این مهم است که چه تعداد ذره در هر تراز قرار دارد. به عبارت بهتر پایه مناسب برای توصیف یک سیستم بس ذره ای آن است که بگوییم چه تعداد ذره در هر تراز انرژی قرار دارد. ما در فصل های آینده دوباره به سیستم های بس ذره ای باز می گردیم و پایه مناسب را که به آن پایه عدد اشغال *Occupation Number Representation* می گویند، به تفصیل توضیح می دهیم.

## ۳.۲ بوزون ها

حال فرض کنید که این دو ذره بوزون باشند. برای سادگی می توانیم فرض کنیم که اسپین آنها صفر است. بنابراین تنها قسمت فضایی را کافی است در نظر بگیریم زیرا اسپین صفر یعنی اینکه ذره یک حالت اسپینی بیشتر ندارد و همواره در این حالت یعنی  $|0\rangle$  است. در این حالت تنها می بایست تابع موج فضایی را متقارن کرد. بنابراین ویژه های این دو ذره به ترتیب زیر خواهند بود:

$$\Psi(x_1, x_2) = A(\phi_n(x_1)\phi_m(x_2) + \phi_n(x_2)\phi_m(x_1)) \quad (31)$$

چگالی احتمال اینکه یک ذره را در نقطه  $x_1$  و دیگری را در نقطه  $x_2$  پیدا کنیم برای این دو ذره بوزون برابر است با:

$$P(x_1, x_2) = A^2(\phi_n(x_1)\phi_m(x_2) + \phi_n(x_2)\phi_m(x_1))^2 \quad (32)$$

که نشان دهنده آن است که بوزون ها تمایل دارند به سمت هم نزدیک شوند. این هم در واقع یک نوع برهم کنش القاشده است که ناشی از اصل طرد پاولی است. در مثالی که ذکر کردیم، اثر اسپین را نتوانستیم ببینیم زیرا اسپین هر دو ذره را صفر گرفته بودیم. برای آنکه اثر اسپین را بهتر بفهمیم، اسپین هر دو ذره را یک می گیریم. در این صورت اسپین کل دو ذره می تواند مقادیر 0، 1 و یا 2 را اختیار کند. اگر حالت های اسپین یک ذره را به اختصار با  $|1, 1\rangle := |1\rangle$ ،  $|1, 0\rangle := |0\rangle$  و  $|1, -1\rangle := |\bar{1}\rangle$  نمایش دهیم آنگاه از جمع تکانه زاویه ای می دانیم که حالت های اسپین ۲ و اسپین 0 حالت های متقارن و حالت های اسپین 1 پاد متقارن اند. در واقع داریم:

$$\chi^{(2)} = \begin{cases} |1, 1\rangle, \\ \frac{1}{\sqrt{2}}(|1, 0\rangle + |0, 1\rangle), \\ \frac{1}{\sqrt{6}}(|1, \bar{1}\rangle + 2|0, 0\rangle + |\bar{1}, 1\rangle), \\ \frac{1}{\sqrt{2}}(|\bar{1}, 0\rangle + |0, \bar{1}\rangle), \\ |\bar{1}, \bar{1}\rangle \end{cases} \quad (33)$$

$$\chi^{(1)} = \begin{cases} \frac{1}{\sqrt{2}}(|1, 0\rangle - |0, 1\rangle), \\ \frac{1}{\sqrt{2}}(|1, \bar{1}\rangle - |\bar{1}, 1\rangle), \\ \frac{1}{\sqrt{2}}(|\bar{1}, 0\rangle + |0, \bar{1}\rangle), \end{cases} \quad (34)$$

و

$$\chi^{(0)} = \frac{1}{\sqrt{2}}(|1, \bar{1}\rangle - |0, 0\rangle + |\bar{1}, 1\rangle). \quad (35)$$

بنابراین ویژه حالت های انرژی برای دو بوزون در چاه پتانسیل به صورت زیر هستند: و حالت های

$$\begin{aligned} \Psi^{(2)}(x_1, x_2) &= A(\phi_n(x_1)\phi_m(x_2) + \phi_n(x_2)\phi_m(x_1))\chi^{(2)} \\ \Psi^{(1)}(x_1, x_2) &= A(\phi_n(x_1)\phi_m(x_2) - \phi_n(x_2)\phi_m(x_1))\chi^{(1)} \\ \Psi^{(0)}(x_1, x_2) &= A(\phi_n(x_1)\phi_m(x_2) + \phi_n(x_2)\phi_m(x_1))\chi^{(0)}. \end{aligned} \quad (36)$$

در این جا دیده می شود که وقتی اسپین کل ۲ یا ۰ است ذرات تمایل به جذب هم و وقتی که اسپین کل برابر با یک است ذرات تمایل به دفع هم دارند. بنابراین همواره نمی توان گفت که برهم کنشی که توسط اصل طرد پاولی بین اسپین ذرات القا می شود دافعه یا جاذبه است بلکه نوع این برهم کنش بستگی به بوزون بودن یا فرمیون بودن ذرات و هم چنین بستگی به اسپین کل دو ذره دارد.

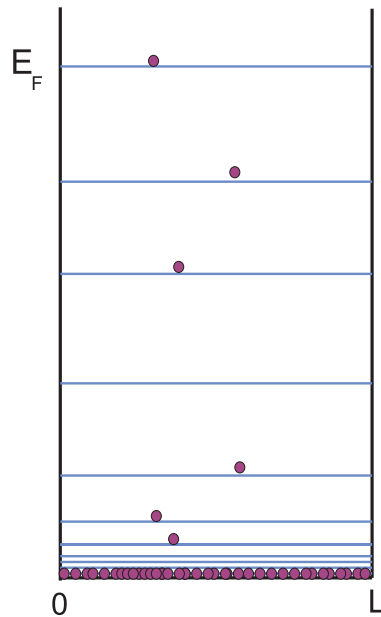
## ۴.۲ چگالش بوز-اینشتین

برخلاف فرمیون ها که بیش از دوتای آنها نمی توانند یک تراز انرژی را اشغال کنند، برای بوزون ها هیچ محدودیتی در اشغال تراز های انرژی نیست. به همین جهت در یک گاز بوزونی ممکن است در دماهای خیلی پایین کسر قابل ملاحظه ای از کل ذرات به حالت پایه یک تک ذره بروند و آنرا اشغال کنند. در این حالت می گوییم که این ذرات به حالت پایه چگالیده شده اند، شکل ۵، یا اصطلاحاً چگالش بوز-اینشتین به وقوع پیوسته است. این پدیده آثار فیزیکی خیلی مهمی دارد، زیرا به این معناست که عددکوانتومی کسر قابل ملاحظه ای از کل ذرات و در نتیجه خواص آنها مثل تکانه و انرژی آنها باهم یکسان شده است. این پدیده به نوبه خود منشاء پدیده هایی مثل ابررسانایی فلزات در دماهای پایین و یا ابرشارگی هلیوم است.

## ۵.۲ چه موقع اصل طرد پاولی مهم می شود؟

سوال مهمی که می بایست به آن پاسخ بدهیم آن است که چه موقع می بایست تمیزناپذیری ذرات را در نظر بگیریم و چه موقع می بایست از آن چشم پوشی کنیم. به عبارت دقیق تر، می توان پرسید که آیا برای مثلاً باریکه ای از الکترون ها که در اشعه





شکل ۵: چگالش بوز-اینشتین.

کاتودی مشاهده می شود، بازهم باید اصل طرد پاولی را در نظر گرفت یا خیر؟ برای یک گاز تک اتمی اکسیژن که همه ذرات گاز یکسان و یک شکل هستند، چطور؟ برای پاسخ دادن به این سوال می بایست به طول موج دوبروی ذرات یعنی  $\lambda$  از یک طرف و فاصله میانگین آنها یعنی  $l$  نگاه کرد. هرگاه  $\lambda \ll l$  امکان همپوشانی توابع موج ذرات وجود ندارد و از لحاظ نظری ذرات از یک دیگر قابل تمیز هستند. اما هرگاه که  $\lambda \approx l$  یا اینکه هرگاه  $\lambda < l$  آنگاه توابع موج براحتی همپوشان می شوند و دیگر نمی توان آنها را از هم تمیز داد. طول موج دوبروی را سرعت ذرات و در نتیجه دما تعیین می کند. به عبارت بهتر داریم:

$$\lambda = \frac{h}{p} = \frac{h}{\sqrt{2mE}} \approx \frac{h}{\sqrt{mkT}} \quad (37)$$

و حال آنکه  $l$  توسط چگالی ذرات تعیین می شود،

$$l^3 = \frac{N}{V} = n \longrightarrow l = n^{\frac{1}{3}} \quad (38)$$

بنابراین شرط آنکه تمیزناپذیری ذرات را در نظر بگیریم آن است که دما به اندازه کافی پایین و چگالی آنقدر بالا باشد، که شرط زیر برآورده شود:

$$n^{\frac{1}{3}} \approx \frac{h}{mkT} \quad (39)$$

### ۳ فضای هیلبرت بوزونی و فرمیونی

در این آخرین بخش می خواهیم ساختار فضای هیلبرت را برای دو ذره یکسان بیشتر بررسی کنیم. در درس های نخستین دیدیم که هرگاه فضای هیلبرت یک ذره را با  $V$  نشان دهیم فضای هیلبرت مربوط به دو ذره ضرب تانسوری دو فضای تک

ذره ای یعنی  $V \otimes V$  است. هرگاه بردارهای پایه فضای  $V$  را با  $|e_\mu\rangle$  نشان دهیم، بردارهای پایه فضای  $V \otimes V$  عبارتند از  $|e_m, e_n\rangle := |e_m\rangle \otimes |e_n\rangle$ . خواص تعامد و کامل بودن این بردارهای پایه به شکل زیر است:

$$\langle e_m, e_n | e_{m'}, e_{n'} \rangle = \delta_{m,m'} \delta_{n,n'} \quad (40)$$

و

$$\sum_{m,n} |e_m, e_n\rangle \langle e_m, e_n| = I_{V \otimes V}. \quad (41)$$

دقت کنید که در اینجا اندیس  $m$  را به عنوان کلی ترین اندیسی که بردارهای پایه را مشخص می کند، به کار برده ایم. این اندیس می تواند پیوسته یا گسسته و یا ترکیبی از هر دو باشد. در نتیجه نماد  $\delta_{m,m'}$  و یا علامت  $\sum_m$  در هر مورد تعبیر مناسب خود را دارد. مثلاً برای یک دودزهی اسپین 1/2 داریم:

$$|e_m\rangle \longrightarrow |x, \alpha\rangle, \quad \alpha = \pm. \quad (42)$$

که در این صورت روابط تعامد و کامل بودن به شکل زیر خواهند بود:

$$\langle x, \alpha | x', \alpha' \rangle = \delta(x - x') \delta_{\alpha, \alpha'}, \quad (43)$$

و

$$\int dx \sum_{\alpha} |x, \alpha\rangle \langle x, \alpha| = I_V \quad (44)$$

وقتی که فضای هیلبرت دو ذره را به این گونه در نظر می گیریم، به طور ضمنی پذیرفته ایم که با دو ذره تمیز پذیر سرو کار داریم. سوالی که در اینجا پیش می آید این است که فضای هیلبرت دو ذره تمیز ناپذیر به چه صورت می بایست تعریف شود و بردارهای پایه چنین فضایی چیست؟ آنچه که در مورد متفان کردن تابع موج ذرات در ابتدای این درس گفتیم راهنمای ما برای یافتن پاسخ صحیح این سوال است. در فضای  $V \otimes V$  عملگر جایگشت، عملگری مثل  $\mathcal{P}$  است که به صورت زیر عمل می کند:

$$\mathcal{P}|u, v\rangle = |v, u\rangle. \quad (45)$$

بدیهی است که  $\mathcal{P}^2 = I$ . بنابراین ویژه مقادیرهای  $\mathcal{P}$  برابر با 1 یا -1 هستند. ویژه فضای مربوط به مقدار 1 را فضای هیلبرت متفان و ویژه فضای مربوط به مقدار -1 را فضای هیلبرت پاد متفان می گوئیم و این دو زیر فضا را به ترتیب با  $(V \otimes V)_+$  و  $(V \otimes V)_-$  نشان می دهیم. می توانیم هر دو فضا را به شکل  $(V \otimes V)_\xi$  بنویسیم که در آن  $\xi = \pm$ . از عملگر  $\mathcal{P}$  می توان دو عملگر تصویرگر به صورت زیر ساخت:

$$\Pi_+ := \frac{1}{2}(I + \mathcal{P}), \quad \Pi_- := \frac{1}{2}(I - \mathcal{P}). \quad (46)$$

یا بطور خلاصه  $\Pi_\xi = \frac{1}{2}(I + \xi P)$ . خواننده براحتی می تواند خواص زیر را تحقیق کند:

$$\Pi_\pm^2 = \Pi_\pm, \quad \Pi_+ \Pi_- = \Pi_- \Pi_+ = 0, \quad \Pi_+ + \Pi_- = I. \quad (47)$$

از رابطه آخر معلوم می شود که

$$V \otimes V = (V \otimes V)_+ \oplus (V \otimes V)_- \quad (48)$$

هرگاه دو ذره بوزون باشند، فضای هیلبرت آنها را  $(V \otimes V)_+$  و هرگاه فرمیون باشند، فضای هیلبرت آنها را  $(V \otimes V)_-$  می گیریم. یک مجموعه بردارهای پایه برای  $(V \otimes V)_+$  با اثر عملگر  $\Pi_+$  روی بردارهای پایه  $V \otimes V$  بدست می آید. هم چنین یک مجموعه بردارهای پایه برای  $(V \otimes V)_-$  با اثر عملگر  $\Pi_-$  روی بردارهای پایه  $V \otimes V$  بدست می آید:

$$|e_m, e_n\rangle_\xi = \frac{1}{2}(I + \xi P)|e_m, e_n\rangle = \frac{1}{2}(|e_m, e_n\rangle + \xi|e_n, e_m\rangle). \quad (49)$$

$$|e_m, e_n\rangle_\xi = \frac{1}{2}(I + \xi P)|e_m, e_n\rangle = \frac{1}{2}(|e_m, e_n\rangle + \xi|e_n, e_m\rangle). \quad (50)$$

رابطه تعامد هر دو نوع پایه به شکل زیر است:

$$\xi \langle e_m, e_n | e_{m'}, e_{n'} \rangle_\xi = \frac{1}{2}(\langle e_m, e_n | (I + \xi P) | e_{m'}, e_{n'} \rangle) = \frac{1}{2}(\delta_{m,m'} \delta_{n,n'} + \xi \delta_{m,n'} \delta_{n,m'}). \quad (51)$$

و رابطه کامل بودن آنها نیز عبارت است از:

$$\sum_{m,n} |e_m, e_n\rangle_\xi \langle e_m, e_n| = \sum_{m,n} \frac{1}{4}((I + \xi P)|e_m, e_n\rangle \langle e_m, e_n|(I + P)) = \frac{1}{2}(I + \xi P) = I_{(V \otimes V)_\xi}. \quad (52)$$

به این ترتیب ساختار فضای هیلبرت برای دو ذره بوزون یکسان یا دو ذره فرمیون یکسان را مشخص کردیم. وقتی که با مجموعه بزرگ تری از ذرات سرو کار داریم، این نوع نگرش به فضای هیلبرت مناسب نخواهد بود. در درس های آینده ساختار مناسب تری را برای فضای هیلبرت ذرات یکسان معرفی خواهیم کرد.

## درس نوزدهم: اتم هلیوم

### ۱ مقدمه

در این درس ساده ترین اتم بعد از هیدروژن یعنی اتم هلیوم را مطالعه می کنیم. برای این اتم و دیگر اتم ها نمی توان معادله شرودینگر را به طور دقیق حل کرد و می بایست از مجموعه ای از روش های اختلالی برای تعیین طیف آنها کمک گرفت.

### ۲ روش های تقریبی برای یافتن طیف اتم هلیوم

هامیلتونی اتم هلیوم در ساده ترین شکل خود (یعنی وقتی که از جفتیدگی های اسپین - مدار، آثار نسبیتی و نظایر آن صرف نظر کنیم) به شکل زیر است:

$$H = \frac{P_1^2}{2m} + \frac{P_2^2}{2m} - \frac{Ze^2}{r_1} - \frac{Ze^2}{r_2} + \frac{e^2}{|r_1 - r_2|} = H_0 + H_1. \quad (1)$$

در این هامیلتونی جمله برهم کنش دو الکترون را به صورت اختلال در نظر می گیریم و سعی می کنیم ترازهای پایین اتم هلیوم را به طور تقریبی بدست بیاوریم. نخست بهتر است که طیف هامیلتونی  $H_0$  را مطالعه کنیم که چیزی نیست جز مجموع دو هامیلتونی برای اتم های هیدروژن گونه با عدد اتمی  $Z = 2$ . اگر از اسپین صرف نظر کنیم، ویژه حالت های این هامیلتونی با ۶ عدد کوانتومی مشخص می شوند و می توان آنها را به شکل زیر نوشت:

$$\Psi_{n,l,m}(r_1, r_2) = \psi_{n_1, l_1, m_1}(r_1) \psi_{n_2, l_2, m_2}(r_2), \quad (2)$$

که در آن  $\mathbf{n} = (n_1, n_2)$ ،  $\mathbf{l} = (l_1, l_2)$  و  $\mathbf{m} = (m_1, m_2)$ . انرژی چنین حالتی برابر است با

$$E_n = E_{n_1} + E_{n_2} = -\frac{1}{2} \left( \frac{1}{n_1^2} + \frac{1}{n_2^2} \right) (Z\alpha)^2 mc^2. \quad (3)$$

چنانکه می دانیم الکترون ها فرمیون هستند و بنابراین اصل طرد پاولی تابع موج کل دو الکترون می بایست نسبت به جایگشت آنها پاد متقارن باشد. بنابراین وقتی که اسپین الکترون ها را در نظر می گیریم می بایست توابع موج بالا را با توابع موج زیر جایگزین کرد:

$$\Psi_{n,l,m}^s(r_1, r_2) = \frac{1}{\sqrt{2}} (\psi_{n_1, l_1, m_1}(r_1) \psi_{n_2, l_2, m_2}(r_2) + \psi_{n_1, l_1, m_1}(r_2) \psi_{n_2, l_2, m_2}(r_1)) \chi_{singlet}, \quad (4)$$

و

$$\Psi_{n,l,m}^t(r_1, r_2) = \frac{1}{\sqrt{2}} (\psi_{n_1, l_1, m_1}(r_1) \psi_{n_2, l_2, m_2}(r_2) - \psi_{n_1, l_1, m_1}(r_2) \psi_{n_2, l_2, m_2}(r_1)) \chi_{triplet}, \quad (5)$$

که در آن

$$\chi_{singlet} = \frac{1}{\sqrt{2}} (|+, -\rangle - |-, +\rangle), \quad (6)$$

و

$$\chi_{triplet} = \begin{cases} |+, +\rangle, \\ \frac{1}{\sqrt{2}} (|+, -\rangle + |-, +\rangle), \\ |-, -\rangle \end{cases} \quad (7)$$

توابع حالت در فضای اسپین هستند.

حالت  $\Psi^s$  حالتی است که تابع موج فضایی در آن متقارن و تابع موج اسپینی پاد متقارن است و حالت  $\Psi^t$  حالتی است که در آن تابع موج فضایی پاد متقارن و تابع موج اسپینی متقارن است. هرکدام از این حالت ها یک واگنی چهارگانه دارند که توسط تکانه زاویه ای  $l$  و  $m$  مشخص می شود. بنابراین هر ویژه حالت انرژی  $H_0$  یک واگنی هشت گانه دارد. انرژی تمام این حالت ها یکسان و برابر است با:

$$E_n = E_{n_1} + E_{n_2} = -\frac{1}{2} \left( \frac{1}{n_1^2} + \frac{1}{n_2^2} \right) (Z\alpha)^2 mc^2. \quad (8)$$

به این ترتیب حالت پایه  $H_0$  حالت زیر خواهد بود:

$$\phi_0^s = \psi_{1,0,0}(r_1) \psi_{1,0,0}(r_2) \chi_{singlet} = \psi_{1,0,0}(r_1) \psi_{1,0,0}(r_2) \frac{1}{\sqrt{2}} (|+, -\rangle - |-, +\rangle). \quad (9)$$

در این حالت تابع  $\phi_0^t$  وجود ندارد.

انرژی این حالت برابر است با:

$$E_0 = \frac{-1}{2}mc^2(Z\alpha)^2 - \frac{-1}{2}mc^2(Z\alpha)^2 = -8 \times 13.6 \text{ ev} = -108.8 \text{ ev}. \quad (10)$$

اولین حالت برانگیخته وقتی درست می شود که یکی از الکترون ها در حالت  $n = 1$  و دیگری در حالت  $n = 2$  باشد. ویژه حالت های انرژی در این حالت برابرند با:

$$\phi_1^s = \frac{1}{\sqrt{2}} (\psi_{1,0,0}(r_1)\psi_{2,l,m}(r_2) + \psi_{2,l,m}(r_1)\psi_{1,0,0}(r_2)) \chi_{singlet}, \quad (11)$$

و

$$\phi_1^t = \frac{1}{\sqrt{2}} (\psi_{1,0,0}(r_1)\psi_{2,l,m}(r_2) - \psi_{2,l,m}(r_1)\psi_{1,0,0}(r_2)) \chi_{triplet}, \quad (12)$$

که انرژی تمام آنها برابر است با:

$$E_1 = \frac{-1}{2}mc^2(Z\alpha)^2 - \frac{-1}{2}mc^2\left(\frac{1}{4}\right)(Z\alpha)^2 = -5 \times 13.6 \text{ ev} = -68 \text{ ev}. \quad (13)$$

## ۱.۲ بدست آوردن انرژی حالت پایه به روش اختلال

حال می توانیم جمله برهم کنش بین دو الکترون را به صورت یک جمله اختلالی در نظر گرفته و تصحیح انرژی حالت پایه را در مرتبه اول حساب کنیم. مطابق با روش اختلال می دانیم که این تصحیح به صورت زیر محاسبه می شود:

$$\Delta E_0 = \langle \phi_0 | H_1 | \phi_0 \rangle = \int d^3r_1 d^3r_2 \psi_{1,0,0}^2(r_1) \psi_{1,0,0}^2(r_2) \frac{e^2}{|r_1 - r_2|} \quad (14)$$

قبل از محاسبه این عبارت به تعبیر فیزیکی آن توجه می کنیم. می توان طرف راست را به شکل زیر نوشت:

$$\Delta E_0 = \int d^3r_1 d^3r_2 \rho(r_1) \frac{1}{|r_1 - r_2|} \rho(r_2) = \int d^3r \rho(r) V(r), \quad (15)$$

که در آن  $\rho(\mathbf{r}) = e|\phi(\mathbf{r})|^2$  چگالی بار الکترون در نقطه  $\mathbf{r}$  است و  $V(\mathbf{r})$  پتانسیل ای است که یک الکترون در مکان نقطه  $\mathbf{r}$  ایجاد می کند.

حال به محاسبه طرف راست می پردازیم. می دانیم که

$$\psi_{1,0,0}(r) = Ae^{-\frac{Zr}{a_0}}, \quad (16)$$

که در آن

$$A = \frac{1}{\sqrt{\pi}} \left(\frac{Z_0}{a}\right)^{\frac{3}{2}}. \quad (17)$$

بنابراین

$$\Delta E_0 = A^2 \int d^3r_1 d^3r_2 e^{-\frac{2Zr_1}{a_0}} e^{-\frac{2Zr_2}{a_0}} \frac{e^2}{|r_1 - r_2|}. \quad (18)$$

برای محاسبه انتگرال روی  $r_2$ ، محورهای مختصات را طوری در نظر می گیریم که محور  $z$  روی بردار  $r_1$  که در محاسبه این انتگرال ثابت فرض می شود، منطبق شود. در این حالت خواهیم داشت

$$|r_1 - r_2| = (r_1^2 + r_2^2 - 2r_1r_2 \cos \theta_2)^{1/2} \quad (19)$$

و در نتیجه

$$\Delta E_0 = A^2 \int d^3r_1 e^{-\frac{2Zr_1}{a_0}} \int r_2^2 dr_2 e^{-\frac{2Zr_2}{a_0}} \int d\Omega_2 \frac{e^2}{r_1^2 + r_2^2 - 2r_1r_2 \cos \theta_2}. \quad (20)$$

اما انتگرال روی  $\cos \theta_2$  براحتی قابل محاسبه است: یک محاسبه ساده نشان می دهد که

$$\int d\Omega_2 \frac{1}{|r_1 - r_2|} = \frac{4\pi}{r_>}, \quad (21)$$

که در آن  $r_>$  یعنی اندازه بردار بزرگتر در بین بردارهای  $r_1$  و  $r_2$ .

بنابراین بدست می آوریم

$$\begin{aligned} \Delta E_0 &= e^2 A^2 (4\pi)^2 \int dr_1 r_1^2 dr_2 r_2^2 e^{-\frac{2Zr_1}{a_0}} e^{-\frac{2Zr_2}{a_0}} \frac{1}{r_>} \\ &= (4\pi e A)^2 \int_0^\infty r_1^2 dr_1 e^{-2\frac{Zr_1}{a_0}} \left[ \int_0^{r_1} r_2 dr_2 e^{-2Zr_2/a_0} + \int_{r_1}^\infty \frac{r_2^2}{r_1} dr_2 e^{-2Zr_2/a_0} \right] \end{aligned} \quad (22)$$

محاسبه انتگرال های فوق دیگر کار ساده ای است. پس از جایگذاری مقدار  $A$  و مرتب کردن حاصل انتگرال بدست می آوریم

$$\Delta E_0 = \frac{5}{8} \frac{Ze^2}{a_0} = \frac{5}{4} Z \left(\frac{1}{2} mc^2 \alpha^2\right). \quad (23)$$

برای هلیوم ( $Z = 2$ ) این مقدار برابر خواهد بود با

$$\Delta E_0 \approx 34 \text{ ev.} \quad (24)$$

با افزودن این تصحیح به انرژی حالت پایه  $H_0$  بدست می آوریم که

$$E_0 \approx -108.8 + 34 = -74.8 \text{ ev.} \quad (25)$$

مقدار تجربی برابر است با:

$$E_{exp} \approx -78.975 \text{ ev.} \quad (26)$$

بنابراین توانسته ایم با تصحیح مرتبه اول تطابق بسیار خوبی بین مقدار نظری و تجربی انرژی حالت پایه دست آوریم.

## ۲.۲ استفاده از روش وردشی برای تصحیح/انرژی حالت پایه

در این بخش از روش وردشی استفاده می کنیم و حد بالایی برای انرژی حالت پایه بدست می آوریم. برای این کار از یک تابع موج فیزیکی استفاده می کنیم که معنای فیزیکی روشنی نیز دارد. می توانیم استدلال کنیم که هرکدام از الکترون ها درغیاب الکترون دیگر تنها یک هسته با بار  $Z$  می بیند و اثر الکترون دیگر که در فضای اتم گردش می کند، آن است که به طور متوسط قسمتی از این بار را از نظر الکترون مورد نظر ما می پوشاند و باعث می شود که آن الکترون بار موثری به اندازه  $Z^*$  که از  $Z$  کمتر است ببیند.

با این استدلال می توانیم یک تابع موج آزمایشی به صورت زیر در نظر بگیریم:

$$\Psi(r_1, r_2) = \phi(r_1)\phi(r_2) \quad (27)$$

که در آن  $\phi_{1,0,0}(r)$  تابع موج حالت پایه برای یک اتم هیدروژن گونه است که بار هسته آن برابر است با  $Z^*$ . به عبارت دیگر  $\phi_{1,0,0}$  در معادله زیر صدق می کند:

$$H^* \phi = \left( \frac{P^2}{2m} - \frac{Z^* e^2}{r} \right) \phi(r) = E_0^* \phi(r) \quad (28)$$

که در آن

$$E_0^* = -\frac{1}{2} (Z^* \alpha)^2 mc^2 = -\frac{(Z^* e)^2}{2a_0}. \quad (29)$$



حال متوسط تابع  $\langle \Psi | H | \Psi \rangle$  را برای این تابع آزمایشی حساب کرده و مقدار آن را به عنوان تابعی از متغیر  $Z^*$  کمینه می کنیم. این کار هم یک حد بالای انرژی بدست می دهد و هم به یک معنا مقداری برای بار موثر هسته که هرکدام از الکترون ها حس می کنند بدست می دهد. داریم

$$\langle \Psi | H | \Psi \rangle = \int d^3r_1 d^3r_2 \phi^*(r_1) \phi^*(r_2) \left( \frac{P_1^2}{2m} + \frac{P_2^2}{2m} - \frac{Ze^2}{r_1} - \frac{Ze^2}{r_2} + \frac{e^2}{|r_1 - r_2|} \right) \phi(r_1) \phi(r_2) \quad (30)$$

برای محاسبه طرف راست واقعاً نیازی به محاسبه دوباره انتگرال ها نداریم زیرا می توانیم هامیلتونی را به شکل زیر بازنویسی کنیم:

$$\begin{aligned} H &= \frac{P_1^2}{2m} - \frac{Z^*e^2}{r_1} + \frac{P_2^2}{2m} - \frac{Z^*e^2}{r_2} + \frac{(Z^* - Z)e^2}{r_1} + \frac{(Z^* - Z)e^2}{r_2} + \frac{e^2}{|r_1 - r_2|} \\ &= H_1^* + H_2^* + \frac{(Z^* - Z)e^2}{r_1} + \frac{(Z^* - Z)e^2}{r_2} + \frac{e^2}{|r_1 - r_2|}. \end{aligned} \quad (31)$$

بنابراین با توجه به بهنجار بودن هرکدام از توابع  $\phi_1$  و  $\phi_2$  خواهیم داشت:

$$\langle \Psi | H | \Psi \rangle = 2E_0^* + 2(Z^* - Z)e^2 \langle \frac{1}{r} \rangle + \langle \frac{e^2}{|r_1 - r_2|} \rangle. \quad (32)$$

که در آن می بایست برای عبارت  $\langle \frac{1}{r} \rangle$  مقدار آن را از درس مربوط به اتم هیدروژن قرار دهیم و عبارت  $\langle \frac{e^2}{|r_1 - r_2|} \rangle$  را در بخش قبلی حساب کرده ایم. داریم

$$\langle \frac{1}{r} \rangle = \frac{1}{a_0} \quad (33)$$

و

$$\langle \frac{e^2}{|r_1 - r_2|} \rangle = \frac{5Ze^2}{8a_0}. \quad (34)$$

با جایگذاری این مقادیر در طرف راست  $\langle H \rangle$  و مرتب کردن آن بدست می آوریم

$$\langle \Psi | H | \Psi \rangle = -\frac{e^2}{2a_0} \left[ -2Z^{*2} + 4Z^*Z - \frac{5}{4}Z^* \right]. \quad (35)$$

مطابق با اصل وردشی این عبارت برای هر مقدار  $Z^*$  از انرژی حالت پایه بیشتر است. بنابراین می توانیم بهترین حد بالا برای انرژی را با کمینه کردن این عبارت برحسب  $Z^*$  بدست آوریم. با محاسبه مشتق این عبارت بدست می آوریم که مقدار کمینه آن در نقطه  $Z^* = Z - \frac{5}{16}$  قرار دارد و برابر است با

$$\langle H \rangle_{min} = -2 \times \frac{1}{2} \alpha^2 mc^2 \left( Z - \frac{5}{16} \right)^2. \quad (36)$$

این نتیجه را می توان به این شکل تعبیر کرد که یک الکترون باعث کاهش بارالکتریکی هسته از  $Z$  به مقدار موثر  $Z - \frac{5}{16}$  شود. عبارت بالا برای  $Z = 2$  برابر می شود با  $-77.38$  الکترون ولت که با مقدار دقیق  $-79.975$  الکترون ولت تفاوت بازهم کمتری نسبت به آنچه که از طریق روش اختلال بدست آوردیم دارد. یادآوری می کنیم که تطابق خیلی خوبی که با مقدار دقیق بدست آورده ایم تنها ناشی از به کار بردن یک تابع موج آزمایشی با یک پارامتر آزاد بوده است. می توان با استفاده از توابع موج آزمایشی با تعداد بیشتری پارامترهای آزاد بازهم نتایج بهتری بدست آورد.

### ۳ تصحیح/انرژی حالت های برانگیخته

اولین سری از حالت های برانگیخته اتم هلیوم برای اعداد کوانتومی  $\{(1, n)\} = \{(1, 2), (1, 3), (1, 4), \dots\}$  بدست می آید. در این بخش می خواهیم با استفاده از روش اختلال، تصحیح انرژی این حالت ها را بدست آوریم. دیدیم که تابع موج هر کدام از این حالت ها به یکی از دو شکل زیر است:

$$\Psi^s(r_1, r_2) = \frac{1}{\sqrt{2}} (\psi_{1,0,0}(r_1)\psi_{n,l,m}(r_2) + \psi_{1,0,0}(r_2)\psi_{n,l,m}(r_1)) \chi_{singlet}, \quad (37)$$

و

$$\Psi^t(r_1, r_2) = \frac{1}{\sqrt{2}} (\psi_{1,0,0}(r_1)\psi_{n,l,m}(r_2) - \psi_{1,0,0}(r_2)\psi_{n,l,m}(r_1)) \chi_{triplet}. \quad (38)$$

در این جا نیز واگنی وجود دارد و در وهله اول به نظر می رسد که محاسبه تصحیح انرژی کار مشکلی است. ولی خوشبختانه پتانسیل اختلال در پایه این ویژه حالت ها قطری است و کافی است که برای بدست آوردن تصحیح انرژی عناصر روی قطر را حساب کنیم. پتانسیل اختلال برابر است با:  $\frac{e^2}{|\mathbf{r}_1 - \mathbf{r}_2|}$ . نخستین سوالی که با آن مواجه هستیم این است که آیا این عملگر در پایه فوق قطری است یا خیر؟ قبل از هر نوع محاسبه ای می دانیم که بدلیل متعامد بودن بردارهای حالت منفرد و سه گانه اسپین بریکدیگر این عملگر در پایه فوق بلوکه قطری است. یعنی اینکه

$$\langle \Psi^t | \frac{e^2}{|r_1 - r_2|} | \Psi^s \rangle = 0. \quad (39)$$

حال دقت می کنیم که عملگر  $\frac{1}{|r_1 - r_2|}$  در فضای دو ذره یک عملگر اسکالراست یعنی با تمام مولفه های تکانه زاویه ای کل جابجا می شود. باید تاکید کنیم که این عملگر در فضای یک ذره یک اسکالر نیست و به همین دلیل هم با مولفه های تکانه زاویه ای مربوط به یک ذره جابجا نمی شود. این امر ممکن است ما را به این نتیجه برساند که این عملگر در پایه فوق قطری نیست زیرا اعداد کوانتومی  $l, m$  مربوط به تکانه یک ذره هستند، ولی با کمی تامل این نگرانی رفع می شود زیرا ذره دیگر در حالتی است که تکانه زاویه ای آن کاملاً صفر است و در نتیجه تکانه زاویه ای یک ذره همان تکانه زاویه ای کل است و اعداد

کوانتومی  $l, m$  نشان دهنده تکانه زاویه ای کل نیز هستند. ضمناً به دلیل این که هامیلتونی کل هنوز تقارن دورانی دارد تصحیح انرژی بستگی به عدد کوانتومی  $m$  نخواهد داشت. بنابراین بدست می آوریم:

$$\begin{aligned} \Delta E_{n,l}^{(s,t)} &= \langle \Psi_{n,l,m}^{(s,t)} | \frac{e^2}{|r_1 - r_2|} | \Psi_{n,l,m}^{(s,t)} \rangle \\ &= \frac{1}{2} \int \frac{e^2}{|r_1 - r_2|} [\psi_{1,0,0}(r_1)\psi_{n,l,m}(r_2) \pm \psi_{1,0,0}(r_2)\psi_{n,l,m}(r_1)]^2 \\ &= \int \frac{e^2}{|r_1 - r_2|} |\psi_{1,0,0}(r_1)|^2 |\psi_{n,l,m}(r_2)|^2 \pm \int \frac{e^2}{|r_1 - r_2|} \psi_{1,0,0}^*(r_1)\psi_{1,0,0}(r_2)\psi_{n,l,m}^*(r_1)\psi_{n,l,m}(r_2) \\ &= J_{n,l} \pm K_{n,l} \end{aligned} \quad (40)$$

انتگرال های مربوطه را می توان به طریق تحلیلی حساب کرد اگر چه ما این کار را در اینجا انجام نخواهیم داد. آنچه که به آن توجه خواهیم کرد آن است که این انتگرال ها مثبت هستند و هم چنین درقید زیر صدق می کنند:

$$0 \leq K_{n,l} \leq J_{n,l} \quad (41)$$

بنابراین بدست می آوریم

$$\Delta E_{n,l}^s = J_{n,l} + K_{n,l}, \quad (42)$$

و

$$\Delta E_{n,l}^t = J_{n,l} - K_{n,l}. \quad (43)$$

این روابط نشان می دهند که تصحیح انرژی برای هر دو نوع حالت مثبت است که طبیعی است زیرا این تصحیح ناشی از نیروی دافعه الکترون هاست، ثانیاً تصحیح انرژی حالت  $\Psi^s$  از تصحیح انرژی حالت های  $\Psi^t$  بیشتر است. این نتیجه نیز طبیعی است زیرا در حالت  $\Psi^s$  تابع موج فضایی متقارن است و احتمال اینکه الکترون ها به نزدیکی یکدیگر بیایند بیشتر است، در نتیجه انرژی دافعه آنها بیشتر از وقتی است که در حالت پادمقارن  $\Psi^t$  قرار دارند. جمله  $J_{n,l}$  تعبیر روشنی دارد و نشان دهنده انرژی دافعه دو الکترون با یکدیگر است. جمله دوم ناشی از اصل طرد پاولی و متقارن کردن یا پادمقارن کردن تابع موج فضایی است و هیچ تعبیر کلاسیکی ندارد. این جمله به جمله تبدالی یا *Exchange Term* معروف است. می توان به یک معنا آن را برهم کنش ناشی از اسپین الکترون ها در نظر گرفت اگرچه این برهم کنش ناشی از گشتاور مغناطیسی الکترون ها نیست و فقط ناشی از فرمیون بودن الکترون ها و اصل طرد پاولی است. برای آنکه بستگی این برهم کنش را به اسپین نشان دهیم می توانیم راه زیر را طی کنیم. قرار می دهیم

$$\Delta E_{n,l} = J_{n,l} + \alpha K_{n,l} \quad (44)$$

که در آن  $\alpha$  عددی است که برای حالت منفرد یا  $S(S+1) = 0$  برابر است با 1 و برای حالت سه گانه یا  $S(S+1) = 2$  برابر است با -1. بنابراین می توانیم بنویسیم

$$\alpha = 1 - 2S(S+1). \quad (45)$$

از طرفی می دانیم که

$$S(S+1) = (s_1 + s_2)^2 = \frac{3}{4} + \frac{3}{4} + 2s_1 \cdot s_2 = \frac{3}{2} + \frac{1}{2}\sigma_1 \cdot \sigma_2. \quad (46)$$

بنابراین خواهیم داشت

$$\alpha = -\frac{1}{2}(1 + \sigma_1 \cdot \sigma_2), \quad (47)$$

و در نتیجه

$$\Delta E_{n,l} = J_{n,l} - \frac{1}{2}(1 + \sigma_1 \cdot \sigma_2)K_{n,l}. \quad (48)$$

به این ترتیب می بینیم که تصحیح انرژی به صورت یک ضریب منفی در جمله برهم کنش دو اسپین نوشته شده است. این جمله عیناً مثل جمله هامیلتونی برهم کنش مغناطیسی دو اسپین است با این تفاوت که منشأ آن اصل طرد پاولی است و از نظر مرتبه نیز از برهم کنش مغناطیسی بین اسپین دو الکترون بسیار قوی تر است. در واقع انرژی برهم کنش مغناطیسی اسپین دو الکترون که در فاصله ای از مرتبه ابعاداتمی از هم قرار گرفته اند از مرتبه زیر است:

$$E_{mag} \sim \frac{\mu_1 \cdot \mu_2}{r^3} \sim \frac{1}{a_0^3} \left(\frac{e}{mc}\right)^2 s_1 \cdot s_2 \sim \frac{1}{a_0^3} \left(\frac{e}{mc}\right)^2 \hbar^2 \quad (49)$$

و برهم کنش تبدالی دو الکترون از مرتبه زیر است:

$$E_{exchange} \sim e^2 \frac{1}{a_0} \quad (50)$$

که در آن  $a_0$  شعاع بوهر است. با توجه به اینکه  $a_0 = \frac{1}{\alpha} \frac{\hbar}{mc}$  بدست می آوریم که

$$E_{exchange} \sim \alpha^{-2} E_{mag} \sim (137)^2 E_{mag}, \quad (51)$$

که نشان می دهد انرژی تبدالی بین ده تا صد هزار بار از انرژی برهم کنش مغناطیسی دو الکترون بیشتر است. این موضوع که در مواد فرومغناطیسی اسپین ها چگونه با برهم کنش مغناطیسی ضعیف شان می توانند بایکدیگر برهم کنش کرده و یک نظم

بلند برد و مغناطش خود بخود بوجود آورند تا مدتها به عنوان یک معما در فیزیک کوانتومی و فیزیک حالت جامد باقی مانده بود تا اینکه ورنر هایزنبرگ توضیح فوق را مبنی بر برهم کنش تبادل الکترون ها برای انرژی زیاد برهم کنش بین اسپین ها در مواد فرامغناطیس ارائه کرد.